# KOEWACHT-EMMABAAN
**(GEMEENTE TERNEUZEN, PROVINCIE ZEELAND)**

## Standaardrapport van een inventariserend veldonderzoek (IVO-O/P)

*Gunther* NOENS
*Pieter* LALOO
*Jari H.* MIKKELSEN

met een bijdrage van J.A.A. BOS
(ADC Archeoprojecten)

# DEEL I: TEKST

**GATE** – rapport 33

Ghent Archaeological Team bvba
Eindeken 18
9940 Evergem

**Project:**
Koewacht-Emmabaan (gemeente Terneuzen, provincie Zeeland): Standaardrapport van een inventariserend veldonderzoek (IVO-O/P)

**Opdrachtgever:**
GEMEENTE TERNEUZEN
Postbus 35 - 4530 AA Terneuzen

**Uitvoerder:**
GHENT ARCHAOLOGICAL TEAM bvba (GATE)
o.l.v. Pieter Laloo (IVO-P) & Gunther Noens (IVO-O)

ISSN: 2033 8678
D/2012/33

© 2012 - GHENT ARCHAOLOGICAL TEAM bvba

Niets uit deze uitgave mag vermenigvuldigd of aangepast worden, opgeslagen in een geautomatiseerd gegevensbestand en/of openbaar gemaakt worden onder enige vorm of wijze ook, elektronisch, mechanisch, door fotokopie, zonder toestemming van Ghent Archaeological Team bvba.

# INHOUDSOPGAVE

## DEEL I: TEKST

**OVERZICHT FIGUREN** **3**
**OVERZICHT TABELLEN** **5**
**SAMENVATTING** **6**

**1. INLEIDING** **7**

**1.1. Beknopte onderzoekshistoriek** **7**
**1.2. Specifieke aanleidingen voor het onderzoek** **7**
**1.3. Een archeologisch kader op nationaal, provinciaal en gemeentelijk niveau** **8**
**1.4. Leeswijzer** **9**
**1.5. Dankwoord** **10**

**2. ADMINISTRATIEVE GEGEVENS** **11**

**3. DE ONDERZOEKSOPDRACHT** **13**

**3.1. Algemene doelstellingen van het IVO-O/P** **13**
**3.2. Resultaten van het voorgaande onderzoek en de gecreëerde verwachtingen** **13**
3.2.1. Samenvatting van de resultaten van voorgaand onderzoek op de onderzoekslocatie 13
*3.2.1.1. Met betrekking tot de lokale en regionale geologie, geomorfologie en bodemkunde 13*
*3.2.1.2. Met betrekking tot de lokale en regionale geschiedenis 20*
*3.2.1.3. Met betrekking tot de lokale archeologie 24*
3.2.2. Het verwachtingskader voor de onderzoekslocatie gecreëerd op basis van het voorgaande onderzoek 25
**3.3. Specifieke doel- en vraagstellingen van het IVO-O/P** **26**

**4. METHODE** **29**

**4.1. De operationele ontwerpeisen voor het IVO-O/P** **29**
**4.2. De toegepaste onderzoeksstrategie tijdens het IVO-O/P** **31**

**5. RESULTATEN** **39**

**5.1. Resultaten uit het proefsleuvenonderzoek** **39**
5.1.1. Inleiding 39
5.1.2. Een grachtspoor 39
5.1.3. Een vroegprehistorisch spoor? 40
5.1.4. Vuursteenvondsten aangetroffen tijdens het proefsleuvenonderzoek 49
**5.2. Resultaten uit het manuele booronderzoek** **49**
5.2.1. Onderzoek naar de top van de bodemopbouw 49
5.2.2. Onderzoek naar de paleoniveaus 50
**5.3. Resultaten uit de oppervlaktekarteringen** **59**
**5.4. Resultaten uit het mechanische booronderzoek** **69**
5.4.1. Inleiding 69
5.4.2. Lithologische beschrijving van de mechanische boringen (J.H. Mikkelsen) 70
*5.4.2.1. Lithologische beschrijving en interpretatie van boring 063 70*
*5.4.2.2. Lithologische beschrijving en interpretatie van boring 249 70*
*5.4.2.3. Lithologische beschrijving en interpretatie van boring 387 71*
*5.4.2.4. Conclusies 79*

5.4.3. Waardering van de pollenstalen uit de mechanische boringen (J.A.A. Bos) 80
*5.4.3.1. Inleiding 80*
*5.4.3.2. Methoden 80*
*5.4.3.3. Resultaten 80*
*5.4.3.4. Conclusies en advies 83*
**5.5. Synthese 83**
5.5.1. Nieuwe inzichten omtrent de lokale bodemopbouw 84
*5.5.1.1. De top van het bodemprofiel 84*
*5.5.1.2. De afgedekte paleosequentie 84*
5.5.2. Nieuwe inzichten omtrent de lokale archeologie 86
*5.5.2.1 Archeologische vindplaatsen met bodemsporen uit historische perioden 86*
*5.5.2.2. Niet-afgedekte prehistorische vindplaatsen 86*
*5.5.2.3. De potentiële aanwezigheid van prehistorische vindplaatsen in afgedekte context 95*

**6. WAARDESTELLING 96**

**6.1. Inleiding 96**
**6.2. Waardering van archeologische vindplaatsen geassocieerd met de top van de bodemopbouw 97**
6.2.1. Archeologische vindplaatsen met bodemsporen uit historische perioden 97
6.2.2. Niet-afgedekte prehistorische vindplaatsen 97

**7. SELECTIEADVIES 100**

**LIJST VAN GEBRUIKTE TECHNISCHE TERMEN EN AFKORTINGEN 102**
**GERAADPLEEGDE BRONNEN EN LITERATUUR 103**
**EINDNOTEN 107**

## DEEL II: DIGITALE BIJLAGEN

# OVERZICHT FIGUREN

**opmerking vooraf** : alle figuren zijn eveneens in digitale vorm opgenomen. De figuren in de analoge tekstversie zijn omwille van praktische redenen gereduceerd tot maximaal A4-formaat. Figuren met een * zijn in de digitale versie vergroot tot A3-formaat, conform de opmerkingen van het bevoegde gezag.

**Figuur 1** De topografische locatie van het onderzoeksgebied en een situering binnen de archeoregio's

**Figuur 2** De lokale geologische situatie volgens Van Rummelen 1977.

**Figuur 3** De lokale geomorfologische situatie volgens Archis 2.

**Figuur 4** De lokale geomorfologische kaart volgens de Moor & Heyse 1990.

**Figuur 5** De lokale bodemkundige situatie.

**Figuur 6** De lokale topografie op basis van het Actueel Hoogtebestand Nederland.

**Figuur 7** De ruimtelijke verspreiding van een paleosol ter hoogte van de akker langsheen de Emmabaan zoals geobserveerd en geïnterpoleerd in 2009.

**Figuur 8** De ruimtelijke verspreiding van de podzol ter hoogte van de akker langsheen de Emmabaan zoals geobserveerd en geïnterpoleerd in 2009.

**Figuur 9** De ruimtelijke verspreiding van de prehistorische indicatoren ter hoogte van de onderzoekslocatie, op basis van voorgaande onderzoeken (aangepast naar Crombé 2011: 35 en Timmers & van Dasselaar 2009, bijlage 2).

**Figuur 10** Sfeeropname van de rondleiding die op 28 juni 2011 werd georganiseerd, tijdens de uitvoering van het veldwerk.

**Figuur 11*** Sfeeropnames van de uitvoering van het onderzoek, deel 1: uitvoeren van manuele boringen en aanleg van proefsleuven.

**Figuur 12*** Sfeeropnames van de uitvoering van het onderzoek, deel 2: uitzeven van archeologische monsters, manuele en mechanische bemonstering, veldkartering en studie van paleosequentie.

**Figuur 13** Ruimtelijk overzicht van de archeologische ingrepen (proefsleuven, manuele en mechanische boringen) uitgevoerd in het kader van het IVO-O/P.

**Figuur 14** Het akkerperceel langsheen de Emmabaan gefotografeerd vanuit het zuidoosten op verschillende tijdstippen tussen 2009 en 2011.

**Figuur 15*** De intactheid van de bodemopbouw zoals geobserveerd in de profielwanden tijdens de uitvoering van het proefsleuvenonderzoek.

**Figuur 16*** Natuurlijke bodemsporen in het onderzoeksvlak van de proefsleuven suggereren de voormalige aanwezigheid van een (intact) podzolprofiel op de onderzoekslocatie.

**Figuur 17** Ruimtelijke verspreiding van de archeologische bodemsporen aangetroffen tijdens het proefsleuvenonderzoek.

**Figuur 18** Ruimtelijke verspreiding van de gracht vergeleken met het minuutplan uit 1811.

**Figuur 19*** Locatie en doorsnede van de gracht zoals geobserveerd en geregistreerd in verschillende coupes.

**Figuur 20** Het vondstmateriaal uit de grachtvulling, bestaande uit aardewerkfragmenten die wijzen op een datering in de Nieuwe of Nieuwste Tijd.

**Figuur 21*** Opnames van het bodemspoor P16 S17, waarvan de inhoud volledig werd bemonsterd en uitgezeefd; het leverde 146 lithische artefacten, verkoolde hazelnootfragmenten en houtskool op.

**Figuur 22*** De intactheid van de bodemopbouw zoals geobserveerd in de profielwanden tijdens de uitvoering van het manuele booronderzoek.

**Figuur 23** Ruimtelijke verspreiding van de bewaring van de top van het bodemprofiel zoals geregistreerd tijdens het manuele booronderzoek.

**Figuur 24** Ruimtelijke verspreiding van de manuele boringen waarin vuurstenen artefacten werden aangetroffen, indicatief voor de aanwezigheid van prehistorische vindplaatsen.

**Figuur 25** Ruimtelijke verspreiding van de manuele boringen waarin één of meerdere (vermeende) afgedekte

paleobodem(s) werd(en) aangetroffen

**Figuur 26** Indicatie van de diepte van de top van het (bovenste) venige en/of humeus zandige pakket, in het veld geïnterpreteerd als potentiële paleosol

**Figuur 27** Opnames van de variatie van de paleobodem zoals geobserveerd in de manuele boringen.

**Figuur 28** Ruimtelijke verspreiding van de manuele boringen waarin een venig pakket werd aangetroffen.

**Figuur 29** Ruimtelijke verspreiding van de manuele boringen waarin meerdere opeenvolgende humeuze zandige laagjes werden aangetroffen

**Figuur 30** Ruimtelijke verspreiding van de manuele boringen waarvoor één of meerdere archeologische monsters uit de paleobodem(s) kon worden genomen.

**Figuur 31** Opname van een selectie van de lithische artefacten uit het IVO-O/); figuur in twee delen.

**Figuur 32** Tekening van een selectie van de lithische artefacten uit het IVO-O/P (figuur in twee delen.

**Figuur 33** Opname van een selectie van brokken, knollen en kernfragmenten uit vuursteen aangetroffen tijdens verschillende oppervlaktekarteringen.

**Figuur 34** Ruimtelijke verspreiding van lithische artefacten aangetroffen tijdens de veldkarteringen uit het IVO-O/P. De locaties zijn bij benadering.

**Figuur 35** Samenvattend overzicht van de ruimtelijke verspreiding van de gekarteerde lithische vondsten uit de opppervlaktekarteringen en uit het manuele booronderzoek van het IVO-O/P.

**Figuur 36** Observaties uit het manuele booronderzoek die mee aan de basis lagen voor de locatiekeuze van de mechanische Begemann-boringen).

**Figuur 37*** Opname van de bodemopbouw zoals geobserveerd in de eerste mechanische boring.

**Figuur 38*** Opname van de bodemopbouw zoals geobserveerd in de tweede mechanische boring.

**Figuur 39*** Opname van de bodemopbouw zoals geobserveerd in de derde mechanische boring.

**Figuur 40** Voorbeelden van referentieprofielen voor duinbodems.

**Figuur 41** Vergelijking van de intactheid van de top van het bodemprofiel zoals waargenomen (en geïnterpoleerd) in 2009 (Archeomedia) en in 2011 (GATE).

**Figuur 42** Opname van een selectie van de lithische artefacten uit het IVO-onderzoek uitgevoerd door ArcheoMedia in 2009.

**Figuur 43** Samenvattend overzicht van de ruimtelijke verspreiding van alle gekarteerde lithische vondsten uit de verschillende onderzoeken.

**Figuur 44** Het gevolgde stroomdiagram voor het waarderingsproces van de archeologische vindplaatsen aangetroffen te Koewacht-Emmabaan (aangepast naar KNA 3.2.)

# OVERZICHT TABELLEN

**Tabel 1** Veralgemeend schema van de lokale bodemopbouw ter hoogte van het onderzoeksgebied op basis van eerder booronderzoek.

**Tabel 2** Overzicht van de lithische vondsten uit het bodemspoor P16 S17.

**Tabel 3** Overzicht van de lithische vondsten aangetroffen tijdens het proefsleuvenonderzoek, met uitzondering van de vondsten geassocieerd met het bodemspoor P16 S17.

**Tabel 4** Overzicht van de lithische vondsten uit de boringen.

**Tabel 5** Overzicht van de lithische vondsten uit de oppervlaktekartering.

**Tabel 6** Lithologische beschrijving van mechanische boring 063.

**Tabel 7** Lithologische beschrijving van mechanische boring 249.

**Tabel 8** Lithologische beschrijving van mechanische boring 387.

**Tabel 9** Overzicht van de waarderingsresultaten van de pollenstalen uit de paleobodems.

**Tabel 10** Overzicht van het aantal lithische vondsten verzameld tijdens de verschillende onderzoeksfases ter hoogte van het onderzoeksgebied

**Tabel 11** Relatie tussen typologie, verbranding en fragmentatie van alle tot dusver verzamelde lithische artefacten in het onderzoeksgebied.

**Tabel 12** Resultaten van het waarderingsproces toegepast op de gracht.

**Tabel 13** Resultaten van het waarderingsproces toegepast op vroegprehistorische vindplaats(en) aangetroffen in de top van het bodemprofiel.

## SAMENVATTING

Naar aanleiding van de geplande aanleg van een nieuwe woonwijk en een verdere uitbreiding van een bestaand woonwagencentrum te Koewacht (gemeente Terneuzen), werd een inventariserend veldonderzoek door middel van proefsleuven en boringen (IVO-O/P) uitgevoerd op de percelen van het huidige 'Emmahof' en op het aanpalende, ten noorden hiervan gelegen akkerperceel. Beide percelen vormden tussen 2002 en 2011 reeds het decor van verschillende archeologische interventies, bestaande uit manuele booronderzoeken in combinatie met oppervlaktekarteringen. Deze voorgaande onderzoeken leverden echter onvoldoende informatie over de bewaring van de aangetroffen vuursteenvindplaats(en). Daarnaast was de toegepaste onderzoekstechniek niet geschikt voor het vinden van andere vindplaatstypes, met name deze gekenmerkt door de aanwezigheid van bodemsporen. Daarom werd door het bevoegde gezag gekozen om een aanvullend inventariserend onderzoek uit te voeren.

De algemene doelstelling van het onderzoek bestond erin de archeologische verwachtingen, gecreëerd op basis van de vorige onderzoeken, te toetsen en aan te vullen en tot een betrouwbare archeologische kartering en waardering van het onderzoeksgebied, uitgedrukt in termen van aanwezigheid, aard, lokalisatie, conservering en datering van archeologische vindplaatsen te komen. Dit diende te resulteren in een selectieadvies omtrent bewaring, *in*- of *ex-situ,* van de vastgestelde en verwachte archeologische waarden.

Om deze doelstellingen te kunnen bereiken, werd geopteerd voor een booronderzoek in combinatie met proefsleuven. Het volledige onderzoeksgebied werd systematisch manueel afgeboord in een regelmatig, dicht grid tot op maximaal drie meter onder het maaiveld. Dit liet een gedetailleerde observatie van de bodemopbouw toe en tegelijk kon de bodem bemonsterd worden voor archeologische doeleinden. Dit gebeurde telkens op twee niveaus, namelijk in de top van het bodemprofiel en ter hoogte van dieper gelegen, afgedekte oude bodems (paleoniveaus). Enkel in de monsters uit de top werden indicaties voor archeologische vindplaatsen aangetroffen, in de vorm van vuurstenen artefacten. Vertrekkende van de observaties uit het manuele booronderzoek werden drie locaties geselecteerd voor het mechanisch verzamelen van kwalitatieve, ongeroerde boorkernen (zgn. Begemann-boringen). Deze boorkernen lieten een gedetailleerde lithologische beschrijving en paleoecologische bemonstering van de afgedekte paleoniveaus toe. Een waarderend pollenonderzoek van monsters uit de paleoniveaus bevestigde niet alleen de laatglaciale ouderdom, maar tevens de grote complexiteit van het afgedekte landschap. Voor het proefsleuvenonderzoek werden ter hoogte van de akker 24 parallelle proefsleuven aangelegd die echter slechts een beperkt aantal archeologische bodemsporen opleverden. In één van de bodemsporen werden een beperkte hoeveelheid verkoold organisch materiaal (i.e. houtskool, hazelnootschelpen) en meer dan 140 lithische artefacten op. Op basis van deze vondsten kan dit spoor in de vroege prehistorie gedateerd worden.

Naast bovenvermelde onderzoekshandelingen werd ook een aanvullende oppervlaktekartering uitgevoerd, die net als bij de voorgaande karteringen, verschillende lithische artefacten opleverde. Alle tot dusver verzamelde artefacten uit de verschillende oppervlaktekarteringen werden in functie van de geformuleerde vraagstellingen tezamen bestudeerd. Binnen de lithische vondstenverzameling is een mesolithische component aanwezig (*i.e.* kerfrest, Wommersomkwartsiet). Gave en goed geconserveerde vindplaatsen werden op de onderzoekslocatie echter niet aangetroffen en worden evenmin verwacht gezien de beperkte gaafheid van de top van het bodemprofiel over het ganse terrein.

# 1. INLEIDING

Naar aanleiding van de geplande aanleg van een nieuwe woonwijk langsheen de Emmabaan (nr. 5) en een verdere uitbreiding van het bestaande woonwagencentrum 'het Emmahof' te Koewacht werd in opdracht van de gemeente Terneuzen door GATE bvba een inventariserend veldonderzoek door middel van proefsleuven en boringen (IVO-O/P) uitgevoerd op de percelen van het huidige Emmahof en op het aanpalende, ten noorden hiervan gelegen akkerperceel. Aangezien er nog voldoende ruimte was omtrent de concrete invulling van de nieuwe inrichtingsplannen waren noch de diepte, noch de precieze locatie van de toekomstige verstoringen geassocieerd met de geplande werkzaamheden op het moment van uitvoering van dit archeologische onderzoek gekend (Crombé 2011: 5).

## 1.1. Beknopte onderzoekshistoriek

Beide percelen maakten voorheen reeds onderwerp uit van diverse archeologische interventies. Naar aanleiding van een uitbreiding van de lokale basisschool en van het aanpalende woonwagencentrum 'het Emmahof' werd in april 2002 door ArcheoMedia BV een standaard archeologische inventarisatie (SAI) en een aanvullende archeologische inventarisatie (AAI) uitgevoerd, onder andere ter hoogte van het Emmahof (Holthausen & Bulten 2002)[1]. Doelstelling van deze archeologische interventie was om door middel van een bureaustudie, een oppervlaktekartering en een booronderzoek inzicht te verwerven in de aanwezigheid en bewaring van archeologische waarden (Holthausen & Bulten 2002: 3).

Op het aanpalende akkerperceel langsheen de Emmabaan vonden tussen april 2009 en februari 2011 drie archeologische interventies plaats naar aanleiding van de geplande uitbreiding van het woonwagencentrum, welke tevens de directe aanleiding vormt voor het huidige IVO-O/P. ArcheoMedia BV voerde in april 2009 een bureauonderzoek en een eerste inventariserend veldonderzoek uit, eveneens met behulp van oppervlaktekartering en boringen (Timmers & van Dasselaar 2009)[2]. Doelstelling hiervan was het formuleren, aanvullen en toetsen van een archeologische verwachting met betrekking tot de aanwezigheid, gaafheid, conservering, datering en kwaliteit van bekende of verwachte archeologische waarden binnen het onderzoeksgebied (Timmers & van Dasselaar 2009: 6, 14). Vervolgens werden in het voorjaar van 2010 en 2011 twee oppervlaktekarteringen uitgevoerd door de Stichting Cultureel Erfgoed Zeeland (SCEZ), deels in samenwerking met de Archeologische Werkgemeenschap voor Nederland (AWN, afdeling Zeeland), de Werkgroep Archeologie Hulst (WAH) en de gemeente Terneuzen (Jongepier 2010; de Koning & Jongepier 2011)[3]. Doelstelling van deze karteringen was bijkomende informatie te verwerven aanvullend op het eerder uitgevoerde onderzoek door ArcheoMedia BV (Jongepier 2010).

## 1.2. Specifieke aanleidingen voor het onderzoek

Naast bovenvermelde geplande verstoring van de onderzoekslocatie, is de directe aanleiding voor een aanvullend inventariserend veldonderzoek het te beperkte aantal observaties en een te selectieve bemonstering ter hoogte van beide percelen (Crombé 2011: 5).

Ondanks de afwezigheid van concrete aanwijzingen voor archeologische vindplaatsen ter hoogte van het Emmahof lieten Holthausen & Bulten (2002: 13) de mogelijkheid open dat tijdens hun onderzoek archeologische vindplaatsen van kleine omvang werden gemist. Omwille van die reden adviseerden ze een archeologische begeleiding tijdens de uitvoering van de werkzaamheden (Holthausen & Bulten 2002: 13), een advies dat aanvankelijk werd opge-

volgd door de toenmalig provinciaal archeoloog (Crombé 2011: 5). Ook Timmers & van Dasselaar (2009: 15, 22) opperden de mogelijkheid dat hun booronderzoek niet had toegelaten alle aanwezige archeologische vindplaatsen ter hoogte van het akkerperceel langsheen de Emmabaan in kaart te brengen. Op basis van hun onderzoek adviseerden ze een waarderend archeologisch gravend vervolgonderzoek, behalve voor het zuidoostelijke deel van het perceel, waar "*archeologische indicatoren in de boringen* […] *erop duiden dat de vuursteenvindplaats daar in ieder geval nog gedeeltelijk intact is*". Voor deze zuidoostelijke zone werd door hen een aanpassing van de inrichtingsplannen en een behoud *in-situ* aanbevolen (Timmers & van Dasselaar 2009: 23).

Het Programma van Eisen (PvE) voor onderhavig onderzoek bevat verschillende argumenten ter verantwoording van een aanvullend inventariserend onderzoek (Crombé 2011: 5-6). In de eerste plaats wordt gesteld dat de gekozen onderzoeksstrategieën tijdens de AAI op het Emmahof[4] en tijdens het IVO ter hoogte van de aangrenzende akker[5] beide ontoereikend waren voor het beantwoorden van de gestelde onderzoeksvragen betreffende de aanwezigheid, omvang, datering, gaafheid en conservering van archeologische waarden uit alle perioden. Uitgebreid archeologisch onderzoek, onder meer in het aangrenzende Zandig Vlaanderen (De Clercq *et al.* 2011), heeft duidelijk aangetoond dat een aangepaste onderzoeksstrategie (*i.e.* een voldoende dicht en regelmatig boorgrid in combinatie met systematische bemonstering en nat zeven over een fijne zeefmaas) absoluut noodzakelijk is om te kunnen komen tot een betrouwbare kartering en waardering van steentijdvindplaatsen in (afgedekte) zandige contexten. Daarnaast laten noch booronderzoek, noch oppervlaktekarteringen toe archeologische vindplaatsen gekenmerkt door de aanwezigheid van bodemsporen nauwkeurig in kaart te brengen en te evalueren. Het gecreëerde verwachtingskader voor het onderzoeksgebied te Koewacht met betrekking tot de bewaring van de top van de bodemopbouw en de aanwezigheid van een begraven oude bodem (paleosol) op geringe diepte, vereist daarom een meer aangepast en gedetailleerd paleoecologisch en archeologisch onderzoekskader om de karakteristieken van potentiële archeologische waarden geassocieerd met deze bodemopbouw nauwkeuriger in kaart te kunnen brengen.

Ten tweede wordt in het PvE de betrouwbaarheid van de boorbeschrijvingen ten aanzien van de mate van intactheid van de bodem voor het AAI-onderzoek op het Emmahof in vraag gesteld en worden eveneens vraagtekens geplaatst bij de interpretatie van een "*(in ieder geval gedeeltelijk) intacte vindplaats*" (Timmers & van Dasselaar 2009: 23) in het zuidoostelijke deel van de akker langsheen de Emmabaan. Deze interpretatie werd gebaseerd op de vondst van verschillende lithische artefacten tijdens de oppervlaktekartering en uit het booronderzoek.

Ten slotte wordt aangehaald dat een archeologische begeleiding tijdens de uitvoering van de werkzaamheden, zoals geadviseerd door Holthausen & Bulten (2002), praktisch lastig uitvoerbaar is, kan leiden tot vertragingen van de werkzaamheden en bovendien niet strikt noodzakelijk is omwille van het eerder aangehaalde voorlopige karakter van de bestaande inrichtingsplannen.

### 1.3. Een archeologisch kader op nationaal, provinciaal en gemeentelijk niveau

Het IVO-O/P past in het kader van het hedendaagse nationale, provinciale en gemeentelijke archeologische beleid. Het beleid dat momenteel door de gemeente Terneuzen wordt uitgewerkt, en dat in januari 2011 werd vastgelegd in de beleidsnota "*De onderste steen boven? Interim-beleid Archeologie Gemeente Terneuzen*" (Gemeente Terneuzen 2011), sluit nauw

aan bij het provinciale beleidskader waarvan de voornaamste onderzoeksvragen, kernthema's en aandachtsgebieden werden geformuleerd in de *Provinciale Onderzoeksagenda Archeologie Zeeland 2009-2012* (POAZ 2009-2012, Provincie Zeeland 2009). In deze provinciale onderzoeksagenda wordt aangegeven dat de feitelijke kennis omtrent de vroege prehistorie in de provincie Zeeland uiterst beperkt is omwille van het lage aantal gekende vroegprehistorische vindplaatsen in deze regio.

Ondermeer samenhangend met de toenemende commercialisering van het archeologische onderzoek en de implementatie van de Conventie van La Valetta vormt daarnaast ook de *Nationale Onderzoeksagenda Archeologie* (NOaA) vandaag de dag een belangrijk beleidsondersteunend en richtinggevend instrument voor het hedendaagse archeologische onderzoek op het Nederlandse grondgebied. In deze nationale onderzoeksagenda wordt duidelijk gemaakt dat karterend en waarderend onderzoek naar het (afgedekte) vroegprehistorische bodemarchief ondanks recente vernieuwde inzichten en methoden in de praktijk een problematisch karakter heeft:

> "*De praktijk wijst uit dat het huidige scala aan methoden en technieken in veel gevallen niet toereikend is bij het opsporen en waarderen van resten uit de vroege prehistorie, al dan niet in relatie tot paleolandschappelijke ontwikkelingen. Vindplaatsen worden gemist of gegevens uit waardestellend onderzoek blijken niet voldoende bruikbaar voor een goed waardeoordeel.*" (Deeben *et al.* 2006: 26-27).

Omwille van dit problematische karakter wordt de nadruk gelegd op de noodzaak en het belang van een accuraat en gedetailleerd prospectief onderzoek van het al dan niet afgedekte, archeologische en paleolandschappelijke bodemarchief als basis voor een vervolgonderzoek:

> "*In relatie tot de AMZ-cyclus en het proces van waardering en selectie is het van belang om in een vroeg stadium van onderzoek de fysieke gaafheid van een vindplaats of gebied te bepalen*" (Deeben *et al.* 2006: 26-28).

Specifieke aandachtspunten bij de ontwikkeling, toepassing en verfijning van methoden en technieken doorheen het ganse onderzoeksproces zijn:
(1) regio- en periodespecifieke voorspellingsmodellen met informatie over de (verwachte) fysieke kwaliteit van het al dan niet afgedekte bodemarchief,
(2) gedetailleerde regionale en lokale paleogeografische (landschapsgenetische) reconstructies,
(3) een minder sterk vindplaatsgerichte waarderingssystematiek voor vroegprehistorische verschijnselen die "*in de regel … niet als 'vindplaats' of 'site* [zijn] *te definiëren*" (Deeben *et al.* 2006: 28) en
(4) doelgerichte, grootschalige karteringen van door sedimenten afgedekte vindplaatsen, "*een categorie die lange tijd vrijwel volledig buiten ons blikveld is gebleven*" (Deeben *et al.* 2006: 28) en die, in dit geval, zowel op het nationale, provinciale als gemeentelijke niveau een groot archeologisch en wetenschappelijk belang krijgen toebedeeld.

## 1.4. Leeswijzer

Onderhavig standaardrapport bevat de onderzoeksopdracht, de toegepaste methode en de verkregen resultaten van het IVO-O/P. Na het administratieve fiche (*cf.* hoofdstuk 2) wordt de onderzoeksopdracht uit de doeken gedaan in hoofdstuk 3, met aandacht voor de algemene en specifieke doel- en vraagstellingen van het onderzoek in relatie tot de resultaten en het gecre-

eerde archeologische verwachtingskader uit voorgaande onderzoeken. Vervolgens worden de gehanteerde strategie (*cf.* hoofdstuk 4) en de resultaten van het onderzoek (*cf.* hoofdstuk 5) nader toegelicht, die beide een belangrijke basis vormen voor het evaluatie- en selectieproces uit hoofdstukken 6 en 7.

Het rapport werd - volgens de opgegeven volgorde - opgesteld conform:
(1) het vigerende PvE (Crombé 2011),
(2) de *Checklist archeologische rapporten Provincie Zeeland* (meer bepaald: artikel 3.4 + bijlage 1) en
(3) de *Kwaliteitsnorm Nederlandse Archeologie* versie 3.2 (KNA 3.2., meer bepaald: protocol 4003 – VS05 t.e.m. VS07).

## 1.5. Dankwoord

We wensen in de eerste plaats dhr. Everaert, dhr. Weemaes en dhr. de Vos van de gemeente Terneuzen, die optreden als opdrachtgever en bevoegd gezag, en Marcel De Koning en Karel-Jan Kerckhaert, adviseurs van het bevoegde gezag en contactpersonen van de SCEZ, te bedanken voor de aangename samenwerking tijdens de uitvoering van dit project.

Een speciaal woord van dank wordt gericht aan volgende personen die elk vanuit hun expertisedomein een onmisbare bijdrage leverden aan dit onderzoek: Vanessa Gelorini (UGent) voor de palynologische bemonstering van de mechanische boorkernen; Hanneke Bos (ADC Archeoprojecten) voor het waarderende onderzoek van de pollenmonsters; landmeter-expert Jonas Van Hooreweghe (Meetburo) voor alle gedetailleerde topografische opmetingen; Davy Herremans (UGent) voor de determinatie van het aardewerk uit de grachtvulling; en de GATE-archeologen Frederik Wuyts, Aäron Steurbaut, Raphaël de Brant, Bert de Bruyne, Lien Lombaert en Wouter Beek voor hun gewaardeerde hulp tijdens de uitvoering van het veldwerk en de verwerking van het onderzoek.

Voorts gaat onze dank uit naar Hans Jongepier voor inzage in zowel het lithische materiaal als de erbij horende, ongepubliceerde vondstdocumentatie van beide oppervlaktekarteringen die werden uitgevoerd in het voorjaar van 2010 en 2011. Eveneens dank aan ArcheoMedia BV, voor de bruikleen van het lithische materiaal uit de oppervlaktekarteringen van 2009, en aan Karel-Jan Kerckhaert voor het opzetten van een vlot communicatienetwerk omtrent de uitwisseling van deze vondsten. Prof. Dr. Roger Langohr (UGent) wensen we te bedanken voor het ter beschikking stellen van de opnames van duinbodems, die werden opgenomen in figuur 40. Dank aan Dr. Wim Hoek voor de mondelinge mededelingen omtrent de niet-gepubliceerde gegevens van het paleoecologische onderzoek te Heikant. Tot slot, dank aan Frans Weemaes, Karel-Jan Kerckhaert, Machteld Bats en Joris Sergant voor het nalezen, becommentariëren en bijsturen van dit rapport.

# 2. ADMINISTRATIEVE GEGEVENS

| | |
|---|---|
| *SOORT ONDERZOEK* | IVO-O & IVO-P (boringen + proefsleuven) |
| *PROVINCIE* | Zeeland |
| *GEMEENTE* | Terneuzen |
| *PLAATS* | Koewacht |
| *LOCATIENAAM* | Emmabaan (& Emmahof) |
| *PROJECTNAAM* | Koewacht-Emmabaan |

*RD-COÖRDINATEN* (zie figuur 1 )

| | x-coördinaat | y-coördinaat |
|---|---|---|
| hoekpunt 1 | 055.737 | 361.471 |
| hoekpunt 2 | 055.810 | 361.436 |
| hoekpunt 3 | 055.791 | 361.390 |
| hoekpunt 4 | 055.940 | 361.330 |
| hoekpunt 5 | 055.860 | 361.142 |
| hoekpunt 6 | 055.648 | 361.277 |

| | | |
|---|---|---|
| *KADASTRALE PERCEELSNUMMERS* | Emmabaan: gemeente Axel, sectie N, perceelsnummer 833 | |
| *OPPERVLAKTE PLANLOCATIE* | ca. 5 ha | |
| *OPPERVLAKTE ONDERZOEKSLOCATIE* | ca. 5 ha | |
| *CMA/AMK STATUS TERREIN* | - | |
| *ARCHIS-WAARNEMINGSNUMMERS* | 414993 ; 421303 | |
| *CIS-ONDERZOEKSMELDINGSNUMMER* | 47114 | |
| | | contactpersonen |
| *OPDRACHTGEVER* | Gemeente Terneuzen | J. EVERAERT<br>Postbus 35 - 4530 AA Terneuzen |
| *BEVOEGDE OVERHEID* | Gemeente Terneuzen | C.M. DE VOS<br>Postbus 35 - 4530 AA Terneuzen |
| *ADVISEUR BEVOEGDE OVERHEID* | Stichting Cultureel Erfgoed Zeeland (SCEZ) | M.W.A. DE KONING<br>KAREL-JAN KERCKHAERT<br>Postbus 49 - 4330 AA Middelburg<br>mwa.de.koning@scez.nl<br>Kjr.kerckhaert@scez.nl |
| *BEHEER EN PLAATS VAN VONDSTEN* | Provinciaal Archeologisch Depot Zeeland (PADZ) | H. HENDRIKSE<br>Postbus 49 - 4330 AA Middelburg<br>h.hendrikse@scez.nl |
| *BEHEER EN PLAATS VAN DOCUMENTATIE* | Zeeuws Archeologisch Archief (ZAA) | J.J.B. KUIPERS<br>Postbus 49 - 4330 AA Middelburg<br>jjb.kuiper@scez.nl |
| *UITVOERDER* | GATE bvba | P. LALOO<br>Eindeken 18 - 9940 Evergem<br>pieter.laloo@gatearchaeology.be |
| *PERIODE VAN UITVOERING* | Juni - oktober 2011 | |
| *KAART ONDERZOEKS- EN PLANGEBIED* | Zie figuur 1 | |

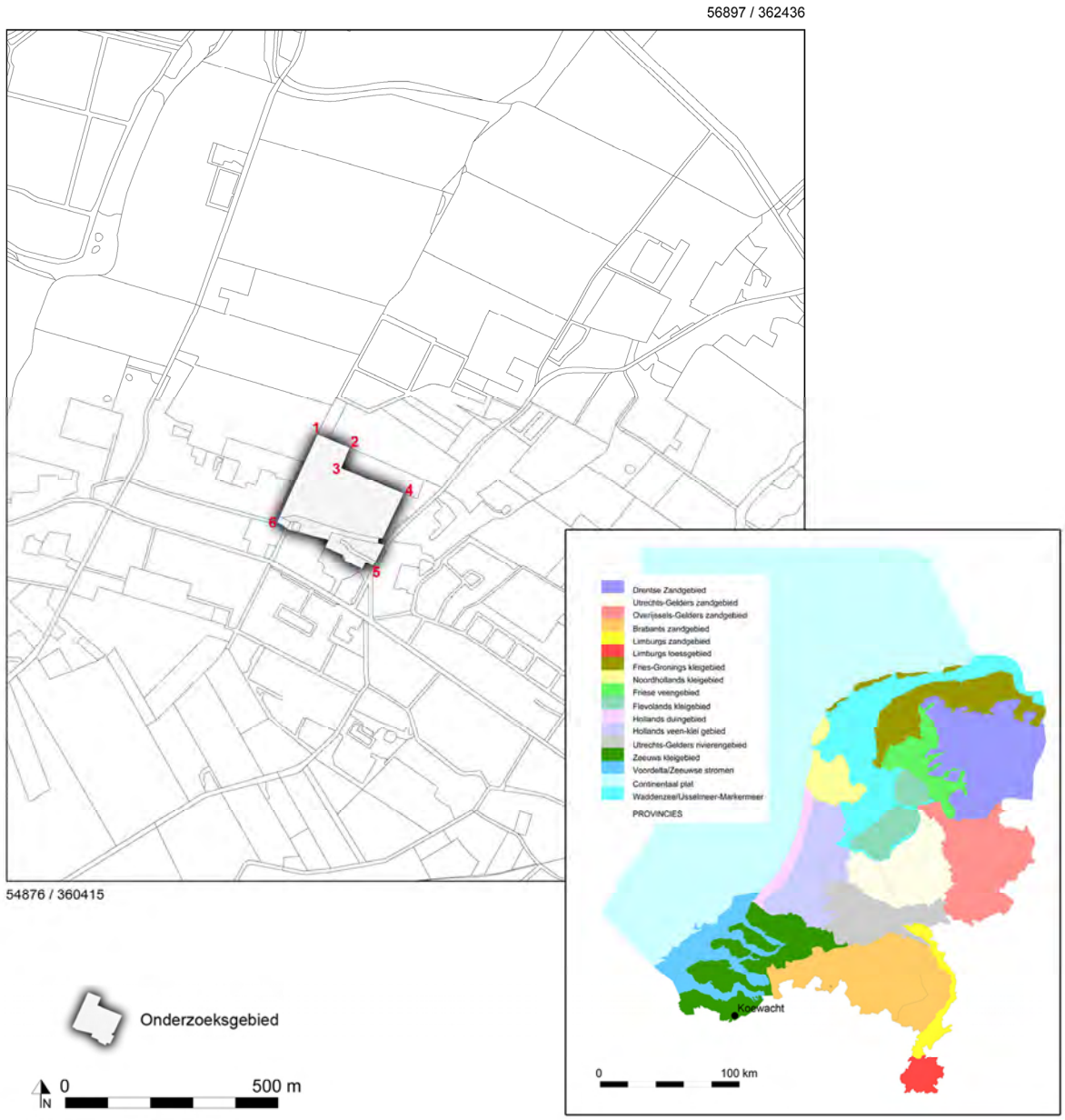


**Figuur 1** | De topografische locatie van het onderzoeksgebied en een situering binnen de archeoregio's (bron: Archis 2, © TDN).

# 3. DE ONDERZOEKSOPDRACHT

Dit hoofdstuk omvat een overzicht van de algemene en specifieke doel- en vraagstellingen van het IVO-O/P (paragrafen 3.1. en 3.3.). Deze vinden hun oorsprong in de archeologische interventies die eerder op het onderzoeksgebied werden uitgevoerd. Omwille van die reden worden de resultaten van dit eerder onderzoek, evenals het daaruit resulterende archeologische verwachtingskader voor het onderzoeksgebied, nader toegelicht in paragraaf 3.2.

## 3.1. Algemene doelstellingen van het IVO-O/P

De onderzoeksopdracht van het IVO-O/P, zoals geformuleerd in het PvE (Crombé 2011: 5-6, 13-14) en in de gunningsbrief (*d.d* 10/06/2011, kenmerk 16501), is drieledig en kan als volgt worden samengevat:

(1) het aanvullen en toetsen van de archeologische verwachtingen binnen het onderzoeksgebied, gecreëerd op basis van de voorgaande onderzoeken (Holthausen & Bulten 2002; Timmers & van Dasselaar 2009; Jongepier 2010; de Koning & Jongepier 2011). Hiervoor werd geopteerd voor een systematisch boor- en proefsleuvenonderzoek.

(2) op basis van deze onderzoeksstrategie komen tot een betrouwbare archeologische kartering en waardering van het onderzoeksgebied, *in concreto* een evaluatie van de intactheid van de bodemopbouw en het vaststellen waar archeologische waarden aanwezig zijn of verwacht kunnen worden. Dit waarderingsproces van te verwachten of aangetroffen archeologische vindplaatsen zowel in de top van het dekzand als in de afgedekte paleosequentie berust op de waarden, criteria en parameters zoals geformuleerd in de KNA 3.2. (meer bepaald: protocol 4003, VS06 + bijlage IV).

(3) het formuleren van een selectieadvies ('aanbevelingen') omtrent de bewaring (bij voorkeur) *in-situ* of (indien niet anders mogelijk) *ex-situ* van de vastgestelde en/of verwachte archeologische waarden, eveneens conform de KNA 3.2. (meer bepaald: protocol 4003, VS07).

## 3.2. Resultaten van het voorgaande onderzoek en de gecreëerde verwachtingen

### 3.2.1. Samenvatting van de resultaten van voorgaand onderzoek op de onderzoekslocatie

De ganse opzet van het IVO-O/P, alsook het specifieke archeologische verwachtingskader voor het onderzoeksgebied vloeien beide voornamelijk voort uit de eerdere archeologische onderzoeken ter plaatse (*cf.* hoofdstuk 1). Direct relevant in dit verband is het verwerven van betrouwbare inzichten in de lokale en regionale geologische, geomorfologische, bodemkundige, archeologische en historische ontwikkeling op basis van een uitgebreid bureauonderzoek en gedetailleerde terreinobservaties. De resultaten van de reeds uitgevoerde onderzoeken en het hieruit resulterende verwachtingskader omtrent deze thema's kunnen als volgt worden samengevat:

#### *3.2.1.1. Met betrekking tot de lokale en regionale geologie, geomorfologie en bodemkunde*

Volgens de geologische kaart van Nederland (figuur 2) behoort het onderzoeksgebied tot de Formatie van Boxtel (Laagpakket van Wierden), bestaande uit een dekzandpakket van meer dan twee meter dikte (code TW; Van Rummelen 1977).

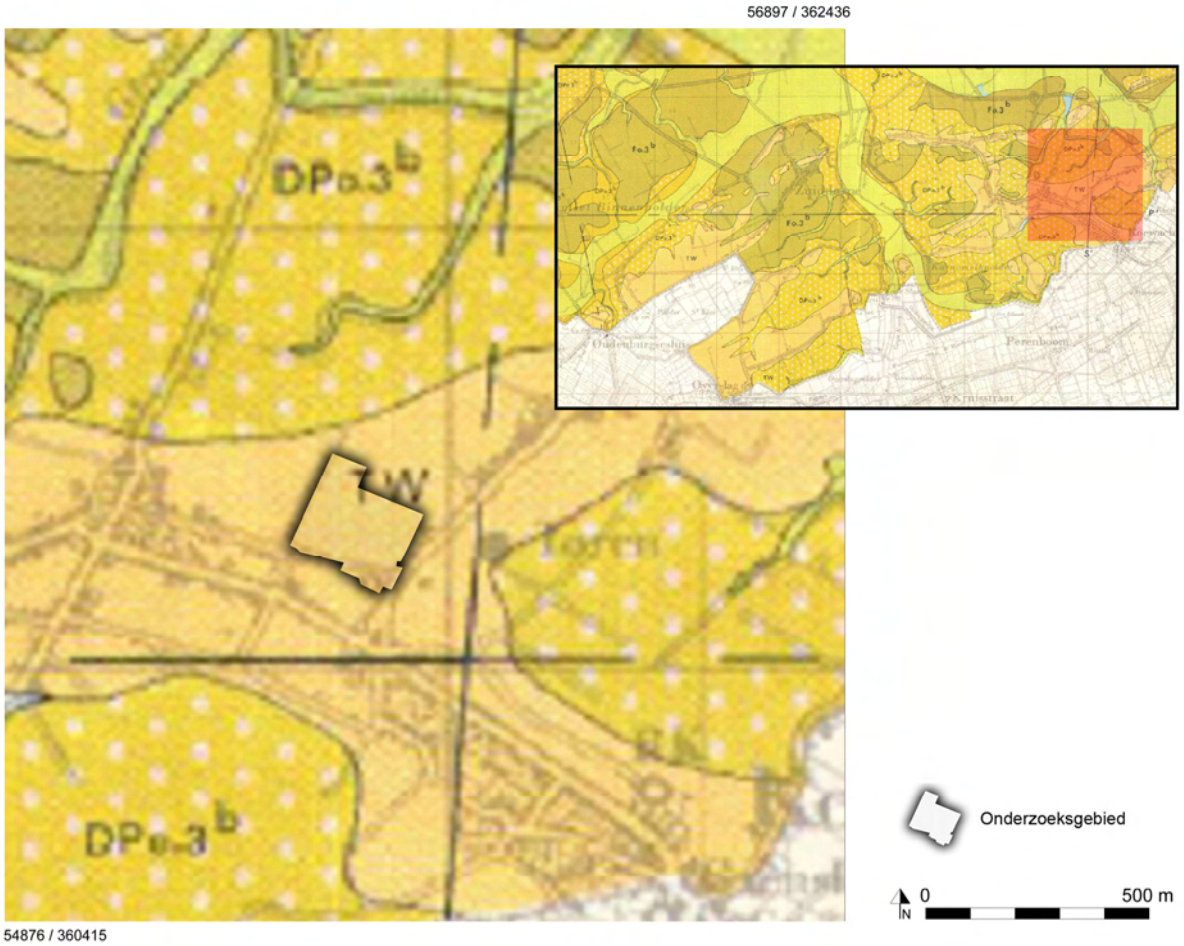


**Figuur 2** | De lokale geologische situatie volgens Van Rummelen 1977.

**Figuur 3** De lokale geomorfologische situatie volgens Archis 2 (bron: Archis 2, © Alterra).

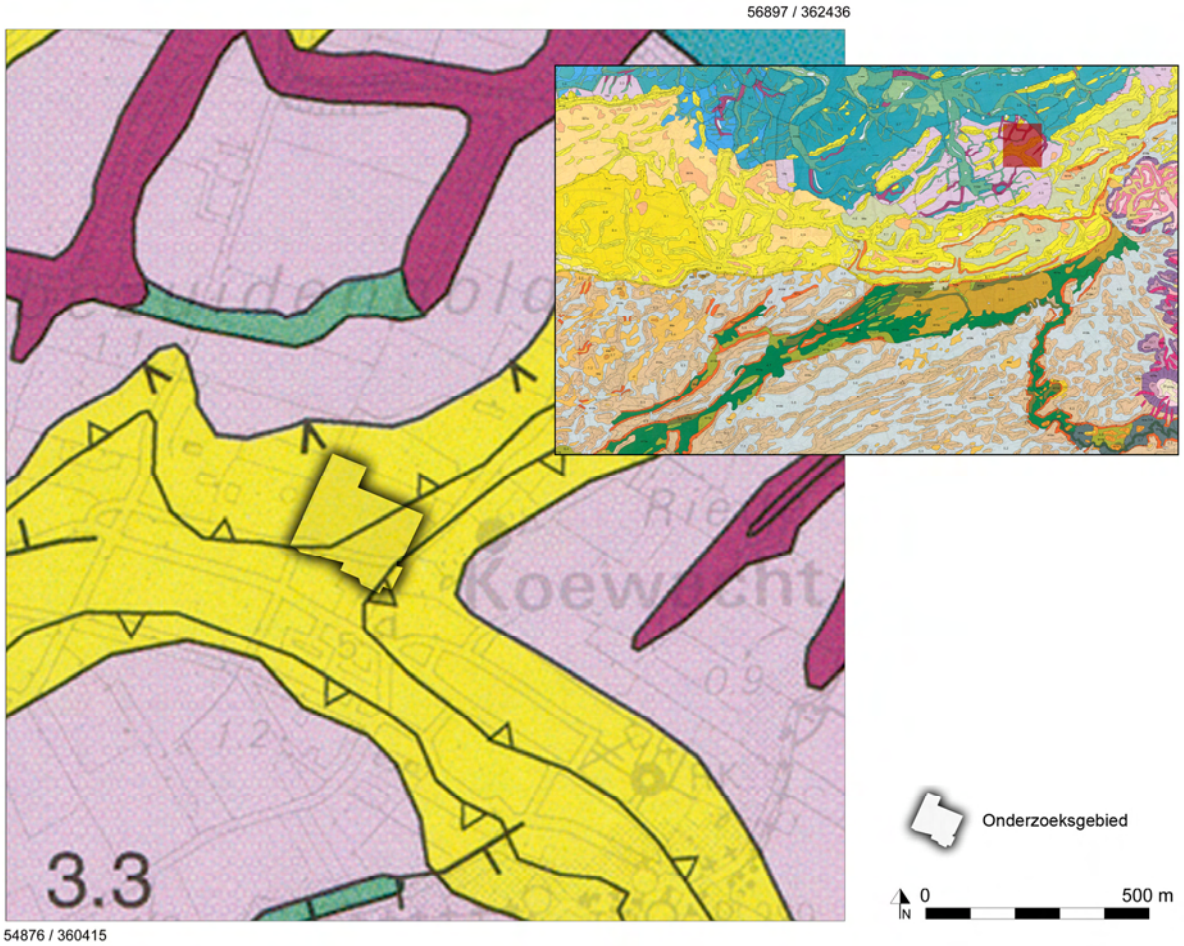


**Figuur 4** | De lokale geomorfologische kaart volgens de Moor & Heyse 1990.

**Figuur 5** De lokale bodemkundige situatie (bron: Archis 2, © Alterra).

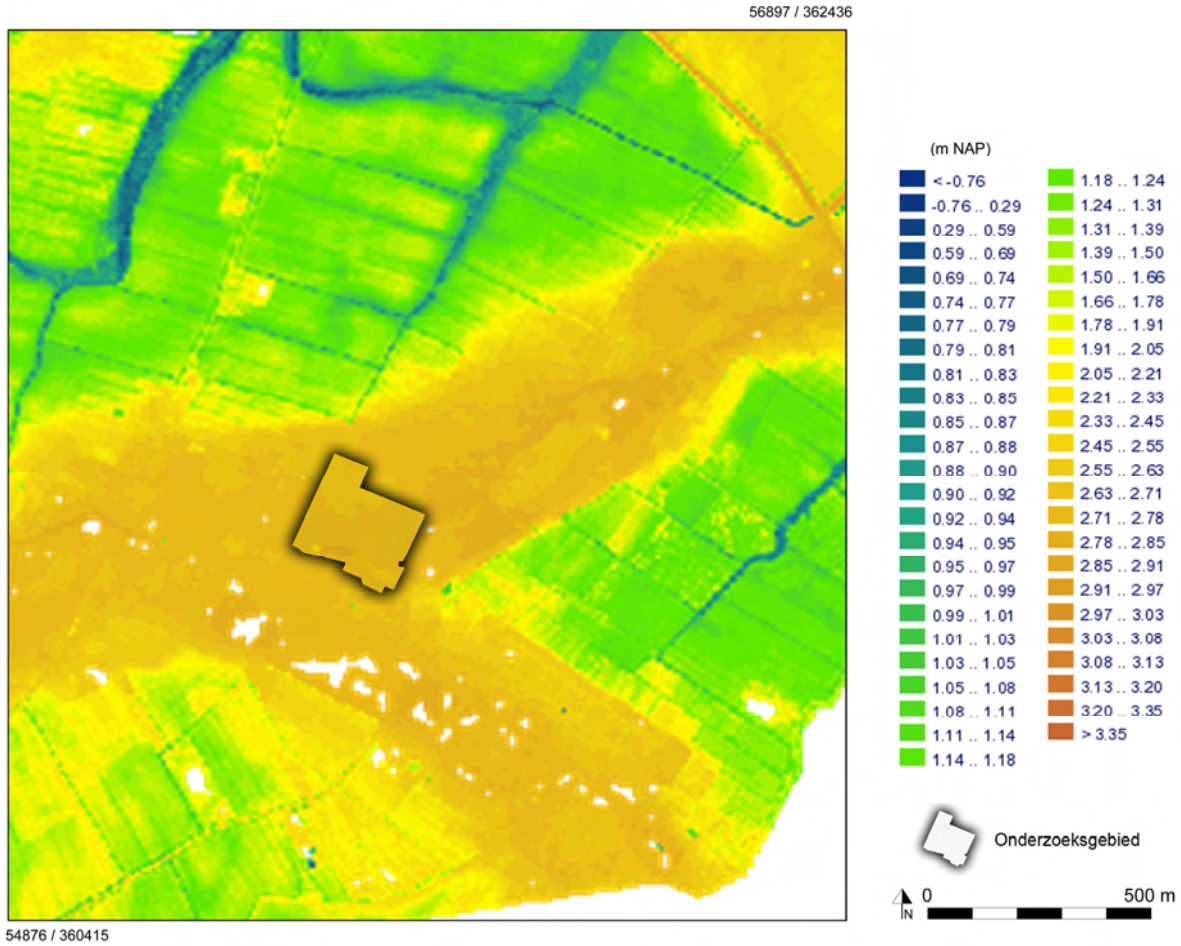


**Figuur 6** | De lokale topografie op basis van het Actueel Hoogtebestand Nederland (AHN, bron: www.ahn.nl).

Vanuit geomorfologisch standpunt is het onderzoeksgebied gelegen op de noordelijke rand van een dekzandrug van pleistocene ouderdom, met aan de uiterste noordwestelijke rand een lagere vlakte van ten dele verspoelde dekzanden (figuur 3). Ook op de geomorfologische kaart van België (figuur 4) wordt het onderzoeksgebied omschreven als een dekzandrug, onderdeel van een tardiglaciaal dekzandreliëf, met name de laatglaciale dekzandrug Maldegem-Stekene (De Moor & Heyse 1990).

Op de bodemkaart van Nederland staat het gebied gekarteerd als laarpodzolgronden, opgebouwd uit leemarm en zwak lemig zand (figuur 5). De toelichting op de bodemkaart vermeldt over dergelijke humuspodzolgronden onder andere het volgende (STIBOKA 1980: 37-40):

> "*Humuspodzolgronden* […] *zijn ontstaan in eolische afzettingen (dekzanden)* […] [Het] *zijn gronden waarin een duidelijke inspoelingshorizont (B-horizont) met organische stof en/of ijzer en aluminium voorkomt.* […] *Het dekzand is in de bovenste meter vrijwel overal kalkloos, maar plaatselijk wordt binnen boorbereik kalkrijk materiaal aangetroffen. Ook komen hier en daar in de ondergrond leemlagen voor, die soms venig zijn ontwikkeld. Zij vormen vaak de overgang tussen het jonge dekzand I en II (laag van Usselo uit het Allerød-Interstadiaal).* […] *De humuspodzolgronden in dit gebied zijn ontstaan in zeer fijn tot matig dekzand. De askleurige loodzandlaag (A2-horizont) is vrijwel steeds door de grondbewerking verdwenen en vaak met een deel van de B-horizont opgenomen in het humushoudende dek. Dit vertoont dan ook - vooral aan de onderzijde - veel afgeloogde korrels en ook bruine brokjes B-horizont. De oudere cultuurgronden hebben door diepe grondbewerking en mogelijk enige ophoping een 30-50 cm dikke, humushoudende bovengrond gekregen (laarpodzolgronden).* […] *De ondergrond bevat soms plaatselijk wat roest, maar is meestal roestloos. De humuspodzolgronden liggen veelal op de hogere gedeelten van de dekzandruggen.*"

De terreinobservaties uit 2002 en 2009 hebben aanvullende informatie verschaft omtrent de lokale topografie, bodemopbouw en -verstoring. Deze informatie had zowel betrekking op de top van het bodemprofiel (*i.e.* esdek, podzolprofiel) als op een dieper gelegen paleoniveau (*i.e.* veen, "laag van Usselo"). Op basis van het Actueel Hoogtebestand Nederland (AHN) is duidelijk dat het huidige onderzoeksterrein afhelt van het zuidoostelijke deel naar het noordwestelijke deel, met een maximaal hoogteverschil van ca. één meter; in het uiterste zuidoostelijke deel helt het terrein opnieuw af (figuur 6).

De algemene, lokale bodemopbouw tot twee meter onder het maaiveld zoals geregistreerd tijdens beide booronderzoeken is opgenomen in tabel 1[6].

Zowel Holthausen & Bulten (2002) als Timmers & van Dasselaar (2009) vermelden de aanwezigheid van een veenpakket op geringe diepte in een aantal van hun boringen. Op het Emmahof werd door Holthausen & Bulten een ca. 20 centimeter dik veenbandje aangetroffen in twee boringen (19 en 22) op een diepte van ca. 1,60 meter onder het huidige maaiveld. Op basis van de plantenresten, ander andere bestaande uit veenmos, sluiten ze een datering in het Allerød-interstadiaal van dit veenlaagje niet uit, terwijl Timmers & van Dasselaar op basis van de regionale bodemopbouw hiervoor een datering in het Bølling- of Allerød-interstadiaal vooropstellen, maar vermoedelijk toch ook Allerød. Voorts vermelden laatste auteurs dat de zogenaamde "laag van Usselo", een bodem gevormd tijdens het Allerød-interstadiaal, in de directe omgeving van het onderzoeksgebied werd aangetroffen onder de vorm van een lemige of humeuze zandlaag van ca. vijf centimeter dikte, waarin zich vaak houtskooldeeltjes bevin-

den. In het PvE voor het IVO-O/P (Crombé 2011: 9) is sprake van een aantal recente en lopende paleoecologische onderzoeken van dergelijke paleosols aan de Universiteiten van Utrecht en Gent (*i.e.* Bos & Verbruggen 2011; Bats *et al.* 2009, 2010). Voorts wordt hierin gewezen op de complexiteit van de vorming van deze paleosols en de noodzaak van een gedetailleerd onderzoek ervan voor paleolandschappelijke, paleoklimatologische en archeologische doeleinden.

| *diepte (cm -mv)* | **Holthausen & Bulten 2002: 12 (boring 19, Emmahof)** | *diepte (cm -mv)* | **Timmers & van Dasselaar 2009: 17 (Emmabaan)** |
|---|---|---|---|
| *0 - 30* | zand, matig fijn, zwak humeus, lichtgrijs (bouwvoor) | *0 - 30/40* | zand, zeer humeus, donkerbruin (bouwvoor) |
| *30 - 60* | zand, zeer fijn, zwak humeus, geelbruin-grijs, kleurige laag | *30/40 - 35/45* | zand, grijsbruin/grijs (E-horizont) |
| *60 - 90* | zand, zeer fijn, lichtgrijs | *35/45 - 50/80* | zand, lichtbruin/organje roestig (B-horizont) |
| *90 - 150* | zand, zeer fijn, beige | *50/80 - 170/180* | zand, lichtgeel/beige (C1-horizont) |
| *150 - 160* | zand, zeer fijn, matig humeus, bruin, gelaagd met lichtbruin zand | *170/180 - 175/185* | zand, lemig, humeus OF venig, bruin/grijs (Alleröd-laag) |
| *160 - 180* | veen, matig plantenhoudend, donkerbruin | *175/185 - 200* | zand, lichtgeel/beige (C2-horizont) |
| *180 - 200* | zand, zeer fijn, matig veenhoudend, lichtbruin-roodbruin | | |

**Tabel 1** Veralgemeend schema van de lokale bodemopbouw ter hoogte van het onderzoeksgebied op basis van eerder booronderzoek.

Het booronderzoek dat Timmers & van Dasselaar uitvoerden op de akker langsheen de Emmabaan kwam in grote mate overeen met hun verwachtingen uit het bureauonderzoek. Niet alleen werd de laarpodzolbodem over een groot deel van de boringen intact aangetroffen, maar in het noordwestelijke deel van het onderzoeksgebied meenden zij in een zestal boringen (001, 002, 034, 036, 038, 040) op een diepte van ca. 1,60 tot 1,80 meter onder het maaiveld tevens de laag van Usselo te hebben waargenomen, bestaande uit een dunne humeuze zandlaag van ca. vijf centimeter dikte (figuur 7). Direct ten zuidoosten hiervan, in boring 006, troffen zij op hetzelfde stratigrafische niveau tevens een ca. één centimeter dik veenlaagje aan, dat zij eveneens toewezen aan het Allerød-interstadiaal (Timmers & van Dasselaar 2009, tabel 2). Op basis van hun observaties van de top van het bodemprofiel, concludeerden ze dat op ca. 50% van het onderzoeksgebied een vrijwel intact podzolprofiel met een dunne E-horizont (5 à 10 centimeter dik) aanwezig was onder de ca. 30 centimeter dikke bouwvoor (figuur 8). Ze hielden er rekening mee dat deze uitspoelingshorizont oorspronkelijk dikker zou zijn geweest en nu deels is opgenomen in de bouwvoor. Waar de E-horizont niet werd aangetroffen, was vaak nog wel de top van de inspoelingshorizont (B-horizont) bewaard gebleven. Door hen vermelde oorzaken van de gedeeltelijke verstoring van de top van het bodemprofiel zijn ploegactiviteiten sinds het begin van de 20e eeuw[7], de aanleg van greppels en de rioolsleuf die in noordwest-zuidoostelijke richting over het onderzoeksgebied loopt. Een esdek bovenin het bodemprofiel, dat zij op basis van hun bureauonderzoek hadden verwacht, werd in de boringen niet aangetroffen.

### *3.2.1.2. Met betrekking tot de lokale en regionale geschiedenis*

Een beknopt overzicht van de lokale en regionale geschiedenis van de historische perioden gebeurde in beide rapporten op basis van archeologische, cartografische en historische bronnen (Holthausen & Bulten 2002: 7-10; Timmers & van Dasselaar 2009: 8-13). Aandacht werd daarbij voornamelijk besteed aan de Vier Ambachten, de 16$^{e}$ en 17$^{e}$ eeuwse Tachtigjarige Oorlog (en de bijbehorende linies, forten en schansen), het ontstaan en de ontwikkeling van Axel, St-Jansteen en Koewacht en de lokale vlasindustrie. Voor een gedetailleerd overzicht van hun bevindingen hieromtrent verwijzen we naar hun rapportages.

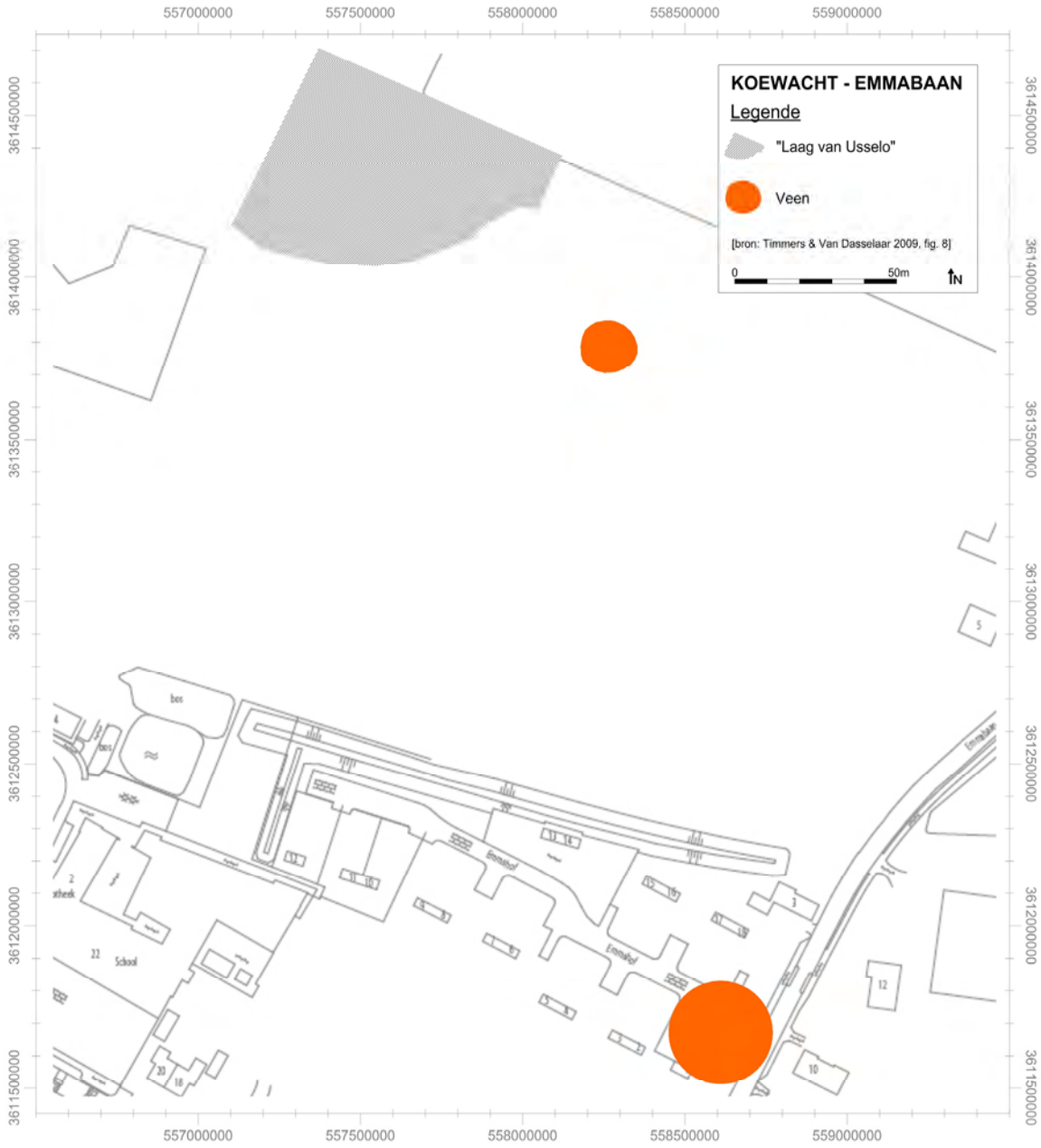


**Figuur 7** De ruimtelijke verspreiding van een paleosol ter hoogte van de akker langsheen de Emmabaan zoals geobserveerd en geïnterpoleerd in 2009 (aangepast naar Timmers & van Dasselaar 2009, figuur 8).

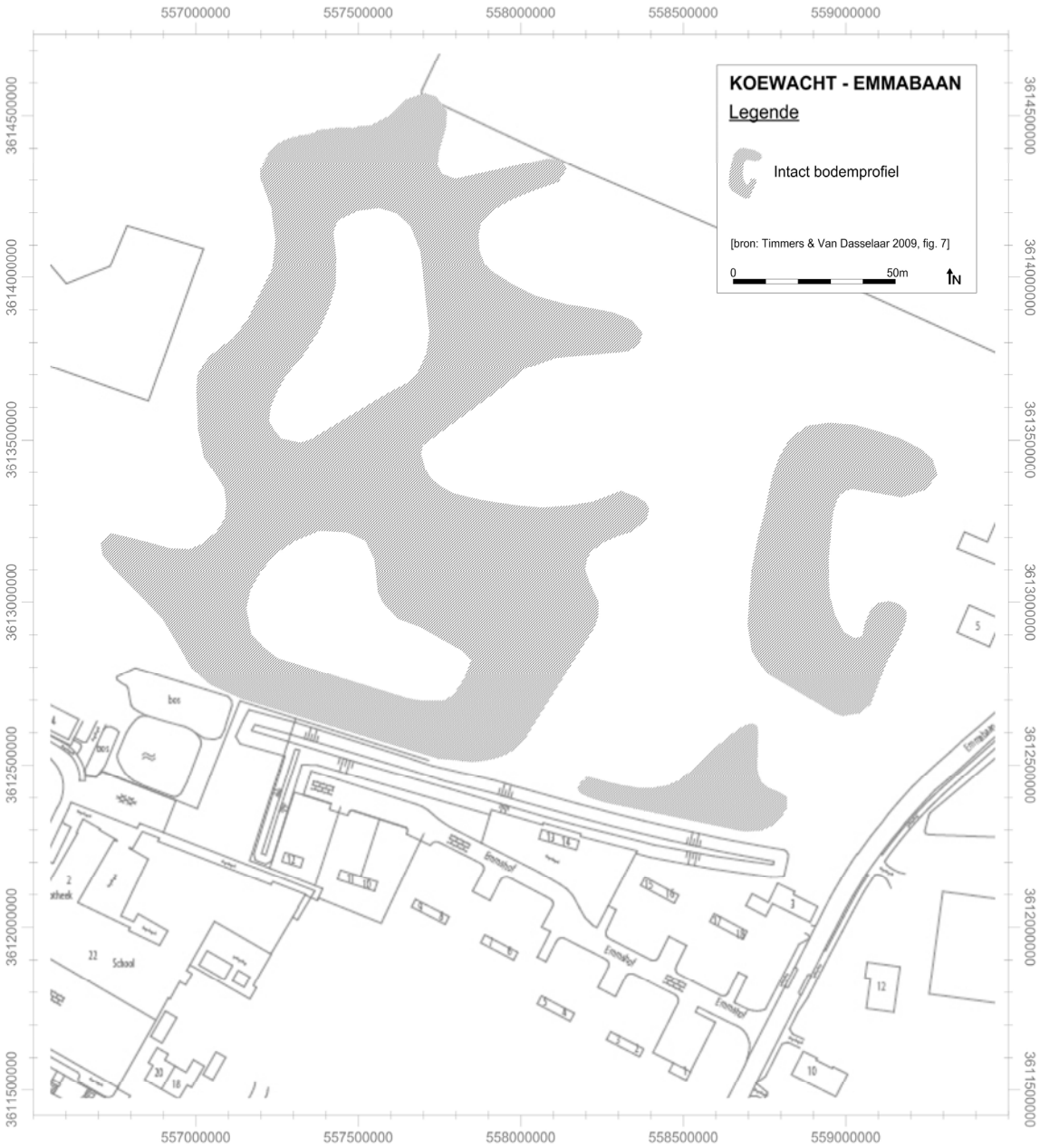


**Figuur 8** De ruimtelijke verspreiding van de podzol ter hoogte van de akker langsheen de Emmabaan zoals geobserveerd en geïnterpoleerd in 2009 (aangepast naar Timmers & van Dasselaar 2009, afb. 7).

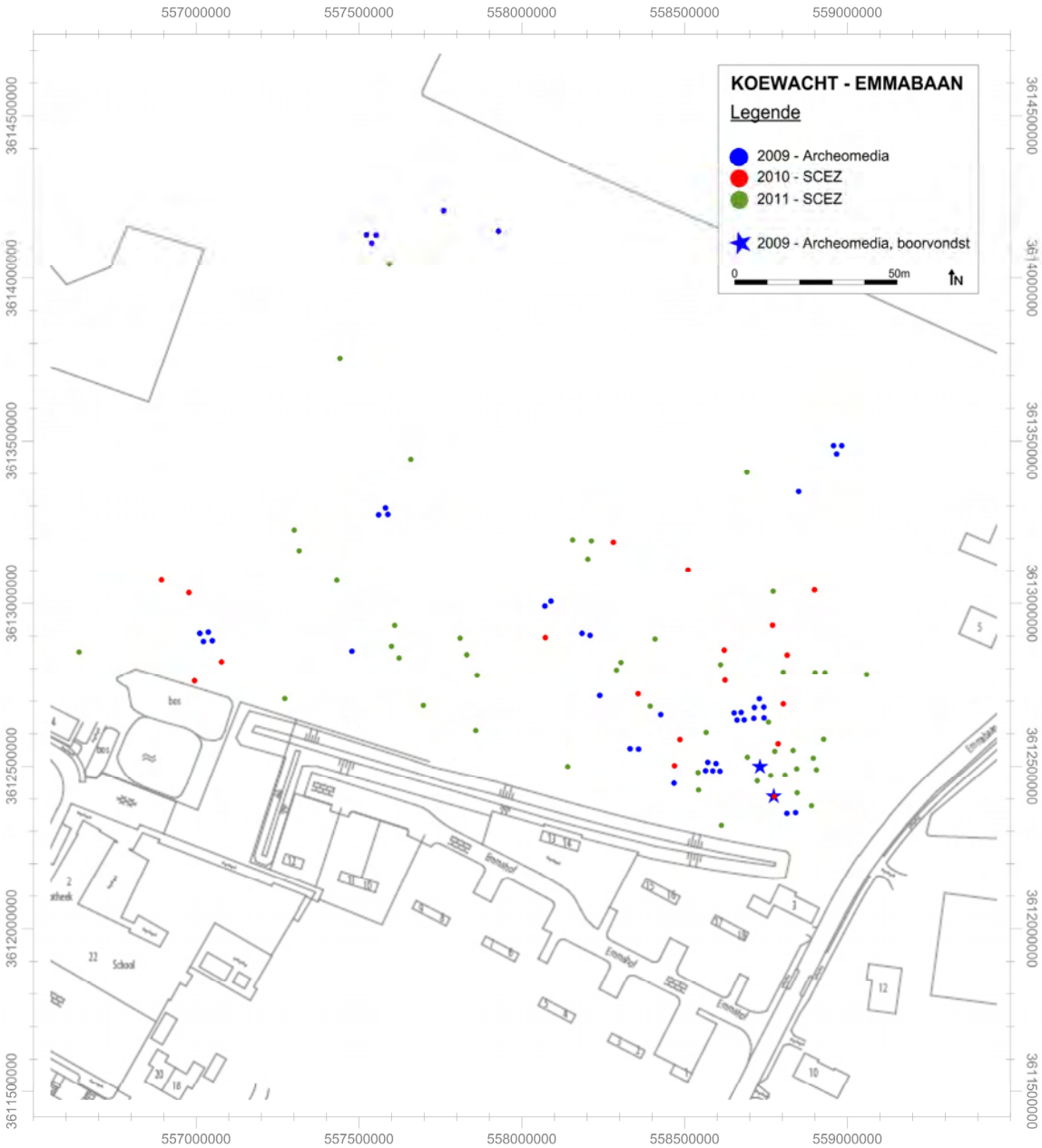


**Figuur 9** De ruimtelijke verspreiding van de prehistorische indicatoren ter hoogte van de onderzoekslocatie, op basis van voorgaande onderzoeken (aangepast naar Crombé 2011: 35 en Timmers & van Dasselaar 2009, bijlage 2).

### *3.2.1.3. Met betrekking tot de lokale archeologie*

Zowel Holthausen & Bulten (2002) als Timmers & van Dasselaar (2009) wezen op de afwezigheid van gekende archeologische vondsten, waarnemingen of onderzoeken in het onderzoeksgebied bij aanvang van hun onderzoek. Op basis van de Indicatieve Kaart van Archeologische Waarden (IKAW) werd "*een middelhoge tot hoge archeologische verwachting*" (Holthausen & Bulten 2002: 7) en een "*hoge trefkans* […] *op archeologische resten*" (Timmers & van Dasselaar 2009: 4) voor het onderzoeksgebied naar voren geschoven. In beide rapporten werd een beknopt overzicht gegeven van de reeds gekende archeologische waarden in de directe omgeving van het onderzoeksgebied, op basis van gegevens uit de nationale databank ARCHIS(2).

In tegenstelling tot de terreininterventies uit 2009, 2010 en 2011 op de akker langsheen de Emmabaan, hebben de oppervlaktekartering en het booronderzoek uit 2002 op het Emmahof geen noemenswaardige archeologische indicatoren opgeleverd. Holthausen en Bulten (2002) halen aan dat de aanwezigheid van een dun esdek op hun onderzoekslocatie, indicatief voor een langdurig gebruik als landbouwgrond, ertoe kan hebben geleid dat eventuele archeologische resten van kleine omvang gemist werden met hun onderzoek; bovendien werden slechts 19 boormonsters genomen, namelijk "*daar waar de noodzaak van monstername bestond*" (Holthausen & Bulten 2002: 12). Hoewel ook Timmers & van Dasselaar geregeld aanhalen dat tijdens hun onderzoek vindplaatsen kunnen zijn gemist, leverden hun oppervlaktekarteringen en boringen, net als de daaropvolgende oppervlaktekarteringen van de SCEZ in samenwerking de AWN (afdeling Zeeland), de WAH en de gemeente Terneuzen, wel directe indicaties op voor de aanwezigheid van archeologische vindplaatsen (figuur 9).

ArcheoMedia's vlakdekkende oppervlaktekartering uit 2009 werd verspreid over een periode van drie dagen uitgevoerd bij een goede tot zeer goede vondstzichtbaarheid. Deze kartering leverde in totaal 49 vuurstenen artefacten op die door E. Drenth werden gedetermineerd (voor een overzicht zie Timmers & van Dasselaar 2009: tabel 1 en bijlage 2)[8]. In het zuidoostelijke deel van de akker werd een duidelijke concentratie aangetroffen, "*zo groot dat dit gebied als vindplaats gedefinieerd kan worden*" (Timmers & van Dasselaar 2009: 22). Van de overige oppervlaktevondsten die verspreid over het terrein werden verzameld, was niet duidelijk of "*zij een intacte vindplaats aanduiden, of losse vondsten, mogelijk behorend tot een verploegde vindplaats*" (Timmers & van Dasselaar 2009: 22). Over de aard en omvang van deze vindplaatsen konden geen verdere uitspraken worden gedaan. Slechts twee artefacten, gedetermineerd als fragment van een (verbrande) Tjonger- of grote A-spits en viervoudige steker, wijzen "*met zekerheid*" (Timmers & van Dasselaar 2009: 23 + figuur 5) op een laatpaleolithische/vroegmesolithische ouderdom, waarbij een datering in het vroegmesolithicum het meest waarschijnlijk werd geacht (Timmers & van Dasselaar 2009: 23). Indien het echter zou handelen om laatpaleolithische vondsten werd een datering in "*een jongere facies van de Tjonger-cultuur of de Ahrensburg-cultuur*" (Timmers & van Dasselaar 2009: 23) geopperd, gelet op de stratigrafische positie van het veen uit de boringen waarvoor een Allerød-ouderdom werd aangenomen (*cf. supra*). De eerste vondst, het spitsfragment, bevond zich in de zuidoostelijke concentratie (nabij boring 067), terwijl de steker in het zuidwestelijke deel van het terrein werd verzameld (nabij boring 071). Voorts werd niet uitgesloten dat zich in het assemblage ook vuurstenen artefacten uit het neolithicum of de bronstijd bevonden.

De systematische veldkartering die op 28 april 2010 op het zuidelijke deel van de akker werd uitgevoerd[9], leverde 19 vuurstenen vondsten op, in twee afzonderlijke concentraties in het zuidwestelijke en zuidoostelijke deel van het terrein (Jongepier 2010). Een algemene datering

in het mesolithicum werd voor deze vondsten naar voren geschoven. De oppervlaktekartering die onder leiding van de SCEZ in het voorjaar van 2011 werd uitgevoerd, leverde nog eens 55 vondsten op die voornamelijk in het vroegmesolithicum werden geplaatst. Enkele scherfjes handgevormd aardwerk kunnen op neolithische of recentere activiteiten ter plaatse wijzen (De Koning & Jongepier 2011).

Ook het booronderzoek dat ArcheoMedia in 2009 op het akkerperceel uitvoerde, leverde directe archeologische indicatoren op. Naast steenkool, vensterglas en plastic uit de 19$^{e}$ of 20$^{e}$ eeuw, die duiden op een verstoring van de bodem in deze periodes, werden in de 34 boormonsters een aantal archeologische indicatoren van prehistorische vindplaatsen aangetroffen. Deze bevonden zich allemaal in het topografisch hoger gelegen zuidoostelijke deel van het terrein ter hoogte van de duidelijke concentratie aan oppervlaktevondsten; omwille van die reden werd door Timmers & van Dasselaar gesproken over één (gedeeltelijk intacte) vindplaats. In boringen 032 en 079 werden op een diepte van 30-50 centimeter onder het maaiveld telkens één vuurstenen afslag aangetroffen in een "*intacte laag*", terwijl houtskool voorkwam in vijf boringen (032, 051, 068, 069 en 078) (Timmers & van Dasselaar 2009: 18, tabel 2, bijlage 2). Aan de associatie van dit houtskool met de prehistorische vindplaats wordt echter getwijfeld; mogelijk dateert het uit de Nieuwe Tijd. In hun vermeende "laag van Usselo" en Allerød-veenlaagje, waarvan in totaal slechts drie monsters werden genomen (het veenlaagje uit boring 006 en de humeuze zandlaagjes uit boringen 036 en 038), troffen Timmers & van Dasselaar (2009, tabel 2) geen archeologische indicatoren aan.

### 3.2.2. Het verwachtingskader voor de onderzoekslocatie gecreëerd op basis van het voorgaande onderzoek

Het bureau- en terreinonderzoek uitgevoerd tussen 2002 en 2011 resulteerde in een archeologisch verwachtingskader dat diende als uitgangspunt voor het IVO-O/P dat door ons werd uitgevoerd. Algemeen werd in dit verwachtingskader aangenomen dat op de onderzoekslocatie op geringe diepte vindplaatsen vanaf het laatpaleolithicum tot en met de Nieuwe Tijd kunnen worden aangetroffen. Deze algemene verwachting is gebaseerd op:

- de geomorfologische ligging van het onderzoeksgebied op een pleistocene dekzandrug;
- de aanwezigheid van een grotendeels intacte podzolbodem op ca. 50% van het onderzoeksgebied, aangetroffen tijdens het booronderzoek;
- de aanwezigheid van een afgedekte paleosol (*i.e* de veen- en humeuze zandlagen) op geringe diepte in het onderzoeksgebied, aangetroffen tijdens het booronderzoek; hiervoor wordt, in afwezigheid van een gedetailleerd onderzoek, een vermoedelijke Allerød-ouderdom aangenomen;
- de aanwezigheid van archeologische indicatoren (*i.e.* vuursteen, houtskool) in het onderzoeksgebied, aangetroffen tijdens de oppervlaktekartering en het booronderzoek;
- de aanwezigheid van archeologische vondsten, waarnemingen en onderzoeken in de directe omgeving;
- verschillende historische en cartografische bronnen.

De meest recente archeologische verwachting werd door Timmers & van Dasselaar (2009: 12-13, 21-24) nader toegelicht en verder opgesplitst naar periode en materiaalcategorieën.

(1) Voor het <u>laatpaleo- tot en met het neolithicum</u> gold aanvankelijk een middelhoge verwachting gebaseerd op de geo(morfo)logische ligging van het onderzoeksgebied en het gekende regionale archeologische bestand. Deze verwachting werd op basis van het terreinwerk bijgesteld tot hoog.

Voor het paleo- en mesolithicum betekende dit concreet dat aan of direct onder het huidige oppervlak omvangrijke en/of kleinere concentraties van lithisch materiaal en/of verkoolde/verbrande organische resten aanwezig kunnen zijn, al dan niet voor een deel opgenomen in de bouwvoor. Op het hoogst gelegen deel van de dekzandrug in het zuidoostelijke deel van het onderzoeksgebied moet de aanwezigheid van een gedeeltelijk intacte steentijdvindplaats blijken uit de resultaten van de oppervlaktekartering en de boorvondsten. De overige oppervlaktevondsten kunnen daarnaast wijzen op nog één of meerdere, kleinere steentijdvindplaats(en) waarvan de aard, omvang, gaafheid en conservering op basis van het uitgevoerde onderzoek nog niet in kaart konden worden gebracht. Ondanks de afwezigheid van directe archeologische indicatoren kunnen tevens gelijkaardige laatpaleolithische vindplaatsen worden verwacht in associatie met de afgedekte paleobodem.
Voor het neolithicum, waarvoor tijdens de laatste oppervlaktekartering mogelijk enkele handgevormde scherfjes aardewerk werden verzameld en dat tevens vertegenwoordigd kan zijn in de lithische verzameling, kunnen nederzettingsresten en *off-site* fenomenen worden verwacht in de vorm van bodemsporen (*i.e.* paalsporen, wandstructuren en funderingsgreppels van houtbouw, haardkuilen, afvalkuilen, waterputten, erfafscheidingen, veekralen, akkerlagen, enz. … ) en/of vondstenmateriaal (*i.e.* lithische artefacten, aardewerk, siervoorwerpen, houtskool, (on)verkoold menselijk en dierlijk botmateriaal, pollen, zaden, fosfaat, enz. …).

(2) Voor de <u>bronstijd tot en met de vroege middeleeuwen</u> is sprake van een lage archeologische verwachting, op basis van het beperkte aantal gekende vindplaatsen in de directe omgeving en de afwezigheid van directe archeologische indicatoren op de onderzoekslocatie.

(3) Hetzelfde is van toepassing voor de <u>late middeleeuwen</u>, waarvoor oorspronkelijk op basis van vondsten uit de directe omgeving een middelhoge verwachting gold voor archeologisch vondstenmateriaal (*i.e.* artefacten uit aardewerk, glas, metaal en natuursteen) en bodemsporen (*i.e.* waterputten, paal- en afvalkuilen, ploegsporen, esdek, plaggen, wegen, greppels, enz. …), maar op basis van de resultaten van het booronderzoek de verwachting naar beneden werd bijgesteld tot laag.

(4) Voor de <u>postmiddeleeuwse bewoning</u>, in deze regio gekenmerkt door talrijke natuurlijke en antropogene inundaties waardoor archeologische resten uit eerdere perioden kunnen zijn geërodeerd en/of verspoeld, werd aanvankelijk een middelhoge verwachting voor het aantreffen van resten van infrastructuur (*i.e.* greppels, onverharde wegen, enz. …) opgesteld op basis van het bureauonderzoek (Timmers & van Dasselaar 2009: 1). Het booronderzoek resulteerde in een bijstelling van deze verwachting naar beneden tot laag, net zoals van toepassing is voor nederzettingsresten uit deze periode, en dit op basis van historische en historisch-geografische gegevens (Timmers & van Dasselaar 2009: 13).

## 3.3. Specifieke doel- en vraagstellingen van het IVO-O/P

Het IVO-O/P bestaat uit een gecombineerd boor- en een proefsleuvenonderzoek (*cf.* hoofdstuk 4). De specifieke doelstelling van het booronderzoek over het ganse onderzoeksgebied (IVO-O) is het verfijnen en toetsen van de archeologische verwachtingen gecreëerd op basis van het reeds uitgevoerde onderzoek in 2002 en 2009 (*cf. supra*) en tevens het verkrijgen van een meer betrouwbaar inzicht in de aanwezigheid, aard, lokalisatie, conservering en datering van steentijdvindplaatsen, *in casu* lithische vindplaatsen. De specifieke doelstelling van het proefsleuvenonderzoek op de akker langsheen de Emmabaan (IVO-P) is het in kaart brengen

van archeologische bodemsporen en vondsten uit alle archeologische perioden, inclusief de vroege prehistorie.

Deels naar analogie met de onderzoeksvragen geformuleerd voor het onderzoek uit 2009 (Timmers & van Dasselaar 2009: 5), werden de specifieke vraagstellingen voor het IVO-O/P in het PvE (Crombé 2011: 13-14) als volgt geformuleerd:

1. Wat kan er worden gezegd over de mate van gaafheid van de top van het dekzand (onder de ploeglaag)? Is hier sprake van erosie en/of verspoeling, en zo ja waaruit blijkt dat? Geldt in dat geval de erosie van de toplaag voor de gehele pleistocene ondergrond in de werkput of zijn er nog delen intact? Zo ja, waar? Zijn er in de toplaag sporen van bodemvorming aanwezig? Wat kan hier verder over worden gezegd? Zijn er elders in het profiel sporen van bodemvorming aanwezig? Wat kan hier verder over worden gezegd?

2. Zijn in het onderzoeksgebied archeologische resten aanwezig die (mogelijk) bedreigd worden door de herinrichting van het gebied? Zo ja:

   2.1. Wat is de aard en datering (periodisering) daarvan, en op grond waarvan?
   2.2. Wat is de (horizontale) verspreiding daarvan?
   2.3. Wat is de diepteligging (en spreiding) daarvan?
   2.4. Wat is de gaafheid en conservering daarvan?
   2.5. Is binnen het onderzoeksgebied onderscheid te maken tussen kerngebied(en) en perifere activiteiten?

3. Welke materiaalcategorieën zijn aanwezig, wat is de vondstdichtheid en hoe is de conserveringstoestand?

4. Wat kan er worden gezegd over het gebruik van het dekzandlandschap ter plekke?

5. Bestaat er een relatie tussen eventuele opeenhopingen van (vuurstenen) artefacten en aangetroffen grondsporen?

6. Kunnen er, indien er grondsporen worden aangetroffen, uitspraken worden gedaan over de functie ervan?

7. Kunnen op basis van het waarderend onderzoek concrete uitspraken worden gedaan omtrent de intensiteit en duur van de prehistorische bewoning ter plekke? En welke conclusies zijn hier aan te verbinden ten aanzien van de informatie- (en zeldzaamheids)waarde?

8. Kan er, voor wat de aangetroffen archeologische resten, een verband worden gelegd met soortgelijke vindplaatsen in de directe of wijdere omgeving (lees: Zeeuws-Vlaanderen en het noorden van Vlaanderen)?

9. Zijn de archeologische resten behoudenswaardig en om welke reden(en)?

10. Hoe kunnen de resten *in-situ* behouden worden?

11. Voor de resten die niet *in-situ* behouden kunnen worden geldt: wat is de omvang van het eventuele vervolgonderzoek om de resten *ex-situ* te behouden? Wat zijn daarvoor de aanvullende onderzoeksvragen?

In de volgende hoofdstukken wordt gepoogd een gefundeerd antwoord te formuleren op deze vraagstellingen. Hiertoe wordt de toegepaste methodologie gedetailleerd uit de doeken gedaan (*hoofdstuk 4*) en worden de verkregen resultaten van het terreinwerk (*hoofdstuk 5*) nader toegelicht in functie van deze vraagstellingen en als basis voor het archeologische waarderingsproces (*hoofdstuk 6*).

# 4. METHODE

In dit hoofdstuk wordt een overzicht geboden van de onderzoeksstrategie uit het IVO-O/P. In de eerste plaats worden de gestelde eisen uit het PvE hieromtrent nader toegelicht (*paragraaf 4.1.*) en vervolgens worden de door ons toegepaste onderzoeksstrategie en -methodes belicht in paragraaf 4.2., waarbij afwijkingen ten opzichte van de gestelde eisen worden aangehaald en beargumenteerd.

## 4.1. De operationele ontwerpeisen voor het IVO-O/P

De te volgen onderzoeksstrategie en operationele ontwerpeisen voor het IVO-O/P werden gedetailleerd uit de doeken gedaan in het PvE (Crombé 2011: 15-25). Belangrijk is te wijzen op een expliciete basisveronderstelling van de vooropgestelde onderzoeksstrategie waarin werd gesteld dat het *in één beweging* uitvoeren van een boor- en proefsleuvenonderzoek toelaat de vooropgestelde algemene en specifieke doelstellingen (*cf. supra*) te bereiken zonder verlies aan informatie en daarenboven tijdbesparend is (Crombé 2011: 15). Voorts werd het onderzoeksgebied, gezien het actuele differentiële gebruik van de percelen, opgesplitst in twee deelgebieden (respectievelijk Emmahof en Emmabaan) met elk een deels afwijkende onderzoeksstrategie. Ter hoogte van het huidige Emmahof, dat grotendeels is ingevuld met standplaatsen, diende enkel een booronderzoek te worden uitgevoerd; ter hoogte van de akker langsheen de Emmabaan tegelijkertijd een boor- en proefsleuvenonderzoek. Tenslotte willen we er ook op wijzen dat de keuze voor het opgelegde boorgrid uit het PvE, dat in principe een te kleine resolutie heeft voor een *betrouwbare kartering* van lithische vindplaatsen (*i.e.* De Clercq *et al.* 2011: Verhagen *et al.* 2011), mede werd ingegeven door de reeds voorafgaande kennis omtrent aanwezigheid en (beperkte) conservering van lithische vindplaatsen op basis van de reeds uitgevoerde systematische oppervlaktekarteringen.

Voor het <u>proefsleuvenonderzoek</u> op de akker gelden volgende specifieke eisen:
- het onderzoek wordt conform KNA 3.2. uitgevoerd, onder leiding van een ervaren KNA-archeoloog met ruime ervaring in proefsleuvenonderzoek in dekzandgronden;
- de proefsleuven worden in functie van het booronderzoek aangelegd;
- hun onderlinge tussenafstand, gemeten vanaf de centrale sleufassen, bedraagt 10 meter;
- ze lopen steeds over de volledige breedte van het onderzoeksterrein en hebben een noord-zuid oriëntatie, d.w.z. loodrecht op de helling en parallel met de perceelsgrens;
- ze zijn ca. twee meter breed en worden aangelegd met een gesloten kraanbak met vlak snijvlak;
- hun locatie wordt ingemeten met totaalstation;
- indien nodig voor een beter begrip kan, na overleg met de bevoegde overheid, een kijkvenster worden aangelegd, dat max. 2% van het onderzoeksterrein omvat;
- enkel de ploeglaag/bouwvoor mag worden afgegraven; er dient nauwkeurig op te worden toegezien dat de aanwezige podzol niet wordt afgegraven; er wordt bovendien slechts één vlak aangelegd;
- het vlak en/of de profielwand worden ‘leesbaar’ gemaakt daar waar een archeologische registratie noodzakelijk is;
- van bodemsporen die behoren tot een structuur wordt slechts een verstandige selectie gecoupeerd; bodemsporen die niet behoren tot een structuur worden allemaal gecoupeerd, behalve geïsoleerde, complexe sporen (*i.e.* waterput) die pas na overleg met de bevoegde overheid of tijdens een vervolgonderzoek worden gecoupeerd. Aandachtspunten bij deze strategie zijn de mogelijkheid tot bestudering van structuren, inclusief aard, datering, conservering en gaafheid ervan;

- anorganische en organische vondsten uit bodemsporen dienen te worden verzameld, met uitzondering van greppels waar enkel diagnostische en bijzondere artefacten worden verzameld in functie van de onderzoeksvraagstellingen; vondsten buiten bodemsporen worden in drie dimensies geregistreerd. Bijzondere vondsten worden *in-situ* gefotografeerd. het verzamelen van de vondsten gebeurt conform KNA 3.2. en de Veldhandleiding archeologie (Carmiggelt & Schulten 2002);
- gezien de oppervlakte van het terrein, in combinatie met bovenvermelde eisen, dienen ca. 25 proefsleuven te worden aangelegd.

Voor het <u>booronderzoek</u> op beide locaties gelden volgende specifieke eisen:
- het booronderzoek wordt conform KNA 3.2. uitgevoerd, onder leiding van een archeoloog of fysisch-geograaf met ruime ervaring in steentijdonderzoek geassocieerd met dekzanden en afgedekte paleosols;
- het boorgrid in beide locaties sluit bij voorkeur aan op elkaar;
- de boringen worden in een verspringend driehoeksgrid van 10 meter aangelegd, waarbij de assen van de proefsleuven fungeren als noord-zuid georiënteerde boorraaien; ter hoogte van het Emmahof zal -in overleg met het bevoegde gezag- deels moeten worden afgeweken van het driehoeksgrid: enkel op niet bebouwde en/of ingenomen locaties kan in het voorgestelde grid worden geboord;
- ter hoogte van de akker worden de boringen in de proefsleuven geplaatst, voorafgaand aan het couperen van eventueel aanwezige bodemsporen; ter hoogte van het Emmahof worden de boringen uitgevoerd vanaf het maaiveld;
- hun locatie, d.w.z. x-, y- en z-coördinaten, wordt ingemeten met totaalstation;
- per boring wordt een profielbeschrijving gemaakt;
- de bemonstering van de top van het bodemprofiel gebeurt met een Edelmanboor met een diameter van 12 centimeter; het volledige podzolprofiel dient tot en met één boorkop in de C-horizont te worden bemonsterd, waarbij één monster maximaal twee boorkoppen mag bevatten. De diepte van de monsters wordt genoteerd en de monsters worden zorgvuldig nat gezeefd over een zeef met een maaswijdte van één millimeter, waarna het residu aan de lucht wordt gedroogd en vervolgens door een archeoloog met de nodige steentijdervaring wordt uitgeselecteerd op archeologische indicatoren. Deze archeologische indicatoren worden per vondstcategorie en per monster afzonderlijk bewaard;
- na bemonstering van de podzol wordt verder geboord tot een diepte van twee meter onder het maaiveld, dit kan gebeuren met een Edelmanboor met een diameter van zeven centimeter of een smalle zandguts; doel hiervan is het in kaart brengen en beschrijven van paleosols;
- gezien de omvang en de invulling van de percelen, bedraagt het aantal boringen ter hoogte van het Emmahof maximaal 135; op de akker langsheen de Emmabaan worden ca. 360 manuele boringen uitgevoerd.

Tussen het veldwerk en de uitwerkingsfase is een gedegen <u>evaluatiefase</u> vereist, resulterend in een tussentijds evaluatie- en selectierapport. Dit evaluatie- en selectierapport dient binnen het kader van bovengeschetste doel- en vraagstellingen en in functie van het vervolgtraject van het IVO-O/P te omvatten:
- een algemeen overzicht van de methodes en resultaten van het uitgevoerde veldonderzoek;
- een selectieadvies voor een waardering en uitwerking van aangetroffen archeologische vondsten, bodemsporen en monsters;
- een selectieadvies van te bemonsteren locaties van de afgedekte paleosequentie voor paleoecologische doeleinden, inclusief een argumentatie voor zowel de noodzaak van een pa-

leoecologische monstername als voor de voorgestelde methode voor bemonstering, indien deze laatste zou afwijken van de eisen uit het PvE;
- een overzicht van de overeengekomen aanpassingen van het PvE;
- een concreet en aanvullend Plan van Aanpak (PvA) gericht op het vervolgtraject, de uitwerking en de standaardrapportage van het volledige IVO-O/P.

Op twee of drie locaties met een goed bewaarde paleosequentie vindt een gedetailleerd bemonsteringsonderzoek van deze paleosequentie plaats, volgens de eerder gemaakte afspraken tijdens het evaluatieoverleg. Specifieke eisen uit het PvE voor dit bemonsteringsonderzoek zijn:
- het dient te worden uitgevoerd na het manuele booronderzoek (inclusief zeven van de boormonsters en uitselecteren van het zeefresidu) en is gebaseerd op de resultaten uit dit booronderzoek;
- de geselecteerde locaties liggen bij voorkeur in archeologisch vondstloze gebieden, op basis van de inzichten verkregen uit het proefsleuven- en booronderzoek;
- het onderzoek vindt plaats door middel van machinaal gegraven putten tot ca. twee meter diepte[10];
- de paleosol wordt op deze locaties grondig geregistreerd door middel van foto's en profielbeschrijvingen;
- op één locatie, waar de bewaring het best is, worden OSL-monsters genomen boven en onder de paleosol en wordt de paleobodem bemonsterd ten behoeve van een waarderend palynologisch onderzoek. Voortgezet wetenschappelijk onderzoek van deze paleosol valt buiten het kader van de huidige onderzoeksopdracht;
- het veldonderzoek naar en de onderzoeksresultaten van de paleosol worden opengesteld voor derden en de universiteit van Utrecht wordt hiertoe tijdig ingelicht.

Voor een gedetailleerd overzicht van de specifieke eisen omtrent verdere uitwerking, rapportage en deponering, evenals de randvoorwaarden en eventuele afwijkingen van de gestelde eisen, wordt verwezen naar het PvE (Crombé 2011: 18-25).

### 4.2. De toegepaste onderzoeksstrategie tijdens het IVO-O/P

Het veldwerk vond grotendeels plaats tussen 15 juni en 05 juli 2011. Het proefsleuvenonderzoek werd uitgevoerd onder leiding van P. Laloo en het booronderzoek onder leiding van G. Noens. In de loop van het terreinwerk werd voor lokale geïnteresseerden een opensleuvennamiddag georganiseerd (figuur 10). Na het beëindigen van het proefsleuven- en manuele booronderzoek vond op 28 juli 2011 een evaluatieoverleg plaats in Terneuzen in aanwezigheid van dhr. F. Weemaes (namens de opdrachtgever gemeente Terneuzen), dhr. M.W.A. de Koning (als adviseur van de bevoegde overheid), P. Laloo en G. Noens (beide namens de uitvoerder GATE bvba). Dit gezamenlijk overleg resulteerde in een tussentijds evaluatie- en selectierapport (Noens & Laloo 2011), dat de basis vormde voor het daaropvolgende bemonsteringsonderzoek naar de paleosequentie. Deze onderzoeksfase vond plaats tussen 27 september en 27 oktober 2011. De uitwerking en verslaglegging van het onderzoek in onderhavig standaardrapport werden in het najaar van 2011 en het voorjaar van 2012 gerealiseerd.

Het IVO-O/P werd grotendeels uitgevoerd volgens de voorgestelde onderzoeksstrategie. Enkele sfeeropnames van dit onderzoek zijn opgenomen in figuren 11 en 12. In totaal werden 24 proefsleuven aangelegd en 411 boorpunten uitgezet (figuur 13). Het aantal boorpunten ter hoogte van het Emmahof bedraagt 36 en ter hoogte van de akker 375. Op een aantal punten werd afgeweken van het PvE, grotendeels in overleg met de bevoegde overheid. De toegepas-

te methodes, net als de afwijkingen ten opzichte van het PvE, zullen hier beknopt worden toegelicht en beargumenteerd.

**Figuur 10** | Sfeeropname van de rondleiding die op 28 juni 2011 werd georganiseerd, tijdens de uitvoering van het veldwerk.

Het archeologische proefsleuvenonderzoek werd uitgevoerd conform de methode uitgeschreven in het PvE. Door het aanhouden van een tussenafstand van 10 meter tussen de sleuven werden binnen het vier hectare grote projectgebied uiteindelijk 24 parallelle proefsleuven aangelegd van één graafbak breed (ca. 1,8 meter). De ploeglaag werd voorzichtig verwijderd. Doordat in geen enkele sleuf aanduidingen waren van een intacte bewaring van een podzolbodem onder de ploeglaag werd ook een tweede laag voorzichtig machinaal verwijderd tot op het niveau van de moederbodem (C-horizont, geel zand). Deze tweede laag van ca. 20 centimeter dik was ontstaan door het ploegen en bestond uit een vermenging van de ploeglaag met de moederbodem. Het verwijderen van deze laag was noodzakelijk om na te gaan of er geen archeologisch relevante sporen in de ondergrond bewaard waren gebleven. De aanwezige sporen en verstoringen werden vervolgens ingemeten en ingetekend op vlaktekening op schaal 1/50$^{e}$. De archeologisch relevante sporen werden nadien door een landmeter-expert samen met de contouren en dieptes van de proefsleuven ingemeten en uitgeplot op een grondplan in het RD-coördinatenstelsel. Een selectie van deze sporen werd nadien verder onderzocht door middel van enkele coupes.

Eén van de voornaamste eisen voor het proefsleuvenonderzoek - dat volgens het PvE in functie stond van het booronderzoek - was dat enkel de bouwvoor mocht worden verwijderd, en in geen geval de onderliggende podzol om eventueel aanwezige, gave steentijdvindplaatsen in

de top van het dekzand niet te verstoren. Hierdoor was de zichtbaarheid voor archeologische bodemsporen echter zeer beperkt tot nihil, waardoor (voornamelijk oudere) vindplaatsen opgebouwd uit bodemsporen gemist zouden kunnen worden. Daarom werd uiteindelijk besloten het onderzoeksvlak uit de proefsleuven toch iets dieper onder de bouwvoor aan te leggen, zoals dat gebruikelijk is een proefsleuvenonderzoek. Op die manier konden bovendien de profielwanden nauwkeuriger worden bestudeerd op de mate van intactheid van de bodem. Mede gezien de beperkte gaafheid van de bodemopbouw en de aangetroffen lithische vindplaats(en) (*cf.* hoofdstukken 5 & 6) bleek dit in dit geval niet nadelig voor de kwaliteit van het steentijdonderzoek.

De veelvuldige aanwezigheid van ondergrondse nutsvoorzieningen (*i.e.* rioleringen, leidingen, enz. …), evenals de betegeling van grote delen van het Emmahof (figuur 11, onder-rechts) beperkten het aantal boringen dat in dit deelgebied kon worden uitgevoerd en lieten boren in een regelmatig verspringend 10 x 10 meter grid nauwelijks toe. Voor een zinvolle interpretatie van de resultaten van het onderzoek op deze locatie dienen deze beperkingen in acht te worden genomen. Ter hoogte van de akker kon een aantal manuele boringen niet of slechts in beperkte mate worden uitgevoerd, hetzij door de aanwezigheid van de rioleringssleuf die dwars over de akker loopt, hetzij door de aanwezigheid van ondoordringbare puinlagen op geringe diepte. Het gaat in totaal om elf boringen, in overeenstemming met 2,7% van de uitgezette boorpunten (bijlagen 1 t.e.m. 3).

De boringen werden grotendeels uitgevoerd vanuit de proefsleuven (= ca. 30-60 centimeter onder het actuele maaiveld) en gebruik makend van één verlengstuk. Dit impliceert dat in de meeste gevallen dieper dan vooropgesteld werd geboord, tot maximaal drie meter onder het maaiveld. Deze aanvulling op het PvE liet toe de verspreiding van de paleoniveaus nauwkeuriger in kaart te brengen en beter te begrijpen. Anderzijds kon de top van de bodemopbouw niet in de boringen worden geobserveerd, aangezien de boringen vanuit de proefsleuven werden uitgevoerd; omwille van die reden werd tijdens de uitvoering van het onderzoek besloten om ter hoogte van elke boring een deel van de profielwand ‘leesbaar’ te maken en te registreren door middel van foto (bijlage 5). Op die wijze werd de variatie in de bodemopbouw over het ganse terrein nauwkeurig in kaart gebracht, als aanvulling op de gelijkaardige observaties uit het proefsleuvenonderzoek.

Het karterende en waarderende onderzoek naar de afgedekte paleosequentie werd uitgevoerd met een Edelmanboor met een diameter van 12 centimeter in plaats van één met een diameter van zeven centimeter of een zandgutsboor. Gezien de aard van het sediment en de grote diepte van de grondwatertafel ten tijde van de uitvoering van het onderzoek, betekende deze aanvulling op het PvE slechts een beperkte extra onderzoeksinspanning, terwijl het een betere observatiemogelijkheid leverde. Bovendien liet deze strategie toe de paleosequentie uitgebreid en systematisch te bemonsteren voor archeologische doeleinden (figuur 12, boven-links).

In de gevallen waar de vermeende paleosol werd aangetroffen, werd deze in de mate van het mogelijke bemonsterd voor archeologische doeleinden[11], vergelijkbaar met de monsters genomen voor de top van het dekzand. Dit was niet het geval voor de 36 boringen die werden uitgevoerd op het Emmahof, die in de beginfase van het project werden uitgevoerd. Tijdens het tussentijdse evaluatieoverleg in Terneuzen werd beslist deze monsters eveneens nat uit te zeven over een zeef met maaswijdte van 1 mm (figuur 12, boven-midden), aan de lucht te drogen, en vervolgens te inspecteren op archeologische indicatoren. Op die manier kon een eerste inzicht verkregen worden omtrent de aanwezigheid van afgedekte archeologische vindplaatsen.

**Figuur 11** | Sfeeropnames van de uitvoering van het onderzoek, deel 1: uitvoeren van manuele boringen en aanleg van proefsleuven.

**Figuur 12** Sfeeropnames van de uitvoering van het onderzoek, deel 2: uitzeven van archeologische monsters, manuele en mechanische bemonstering, veldkartering en studie van paleosequentie.

Volgens het PvE dienden putten gegraven te worden om in de profielwanden de paleosequenties te bemonsteren voor een waarderend paleoecologisch onderzoek. In overleg met het bevoegde gezag werd besloten de putten te vervangen door mechanische boringen van het Begemann-type. Deze boormethode laat niet alleen op een veilige manier een gedetailleerde registratie van de bodemopbouw toe, het levert tevens kwaliteitsvolle en gesloten (d.w.z. ongeroerde) boor- en pollenmonsters op. Bovendien kunnen in een beperkte tijdspanne meerdere locaties worden bemonsterd waardoor de eerder geobserveerde variatie in bodemopbouw (*i.e.* paleotopografie, dikte van de paleosols, al dan niet aanwezigheid van veen, aantal opeenvolgende paleosols, enz. …) in detail kan worden onderzocht. Naast veiligheid, kwaliteit, prijs en snelheid van uitvoering en aandacht voor de variabiliteit van de bodemopbouw is deze methode bovendien weinig destructief voor eventueel aanwezige, maar tot dusver ongekende archeologische waarden geassocieerd met dergelijke paleobodems. Dit in tegenstelling tot het plaatsen van profielwanden wat uit veiligheidsoverwegingen noodzakelijk volgens een getrapt systeem zou dienen te verlopen en met behulp van bronbemaling, evenwel zonder garantie op succes. Een bijkomend argument voor het gebruik van boringen in plaats van profielwanden tijdens ons onderzoek is de door ons geobserveerde diepte van de top van de (bovenste) paleoniveaus. Deze varieert tussen ca. 1,08 en 2,75 meter onder maaiveld. Deze observaties wijken deels af van het verwachtingskader waarin een diepte tussen ca. 1,50 en maximaal 1,90 meter onder maaiveld werd vooropgesteld. Een extra voordeel van de uitgevoerde mechanische boringen, naast de eerder reeds aangehaalde argumenten, was de grotere diepte die ermee

kon worden bereikt (tot maximaal 5,5 meter onder maaiveld). Er werd uiteindelijk geopteerd om drie Begemann-boringen uit te voeren, verspreid over de akker (figuur 12, onder-links en -midden).

Gezien de huidige inzichten omtrent OSL-onderzoek van laatglaciale contexten, verkregen uit recent grootschalig onderzoek van laatglaciale paleobodems in het nabijgelegen Zandig Vlaanderen *(i.e.* Bats *et al.* 2009, 2010, 2011; mondelinge mededeling prof. dr. P. Crombé), werd in overleg met het bevoegde gezag afgezien van OSL-bemonstering boven en onder de paleosol. De verwachting is immers dat dit beperkt aantal dateringen, gezien de onzekerheidsmarges, weinig kan bijdragen tot een beter begrip van de ouderdom van de paleosol.

Als aanvulling op het PvE en op de eerdere oppervlaktekarteringen uit 2009, 2010 en 2011 werd op de akker langsheen de Emmabaan op twee tijdstippen een beperkte oppervlaktekartering uitgevoerd (figuur 12, boven-rechts). In de eerste plaats werd de directe omgeving van de proefsleuven en boorpunten, zowel de verplaatste grond van de proefsleuven als de akker, tijdens de uitvoering van de manuele boringen (tussen 20 juni en 05 juli) telkens geïnspecteerd op de aanwezigheid van archeologische indicatoren. De locatie van de aangetroffen artefacten werd gekoppeld aan de dichtstbijzijnde boorpunten, naar analogie met de oppervlaktekartering uit 2009. Vervolgens werd de akker tijdens het uitvoeren van de mechanische Begemann-boringen naar de paleosol op 27 september opnieuw geprospecteerd, op een moment dat de proefsleuven reeds opnieuw waren dichtgegooid (figuur 14, onder). In dit geval kon de locatie van de vondsten echter niet exact worden ingemeten. Tijdens beide oppervlaktekarteringen was bovendien de zichtbaarheid beperkt, zoals duidelijk blijkt uit figuur 14. Tot op de dag van vandaag werd de akker langsheen de Emmabaan dus in totaal reeds vijfmaal onderworpen aan een oppervlaktekartering, zij het niet altijd onder ideale omstandigheden uitgevoerd.

De hierboven beschreven, toegepaste onderzoeksstrategie, inclusief afwijkingen van het PvE, vormt de basis voor de basale gegevens die het onderzoek opleverde en die in volgend hoofdstuk in detail worden toegelicht.

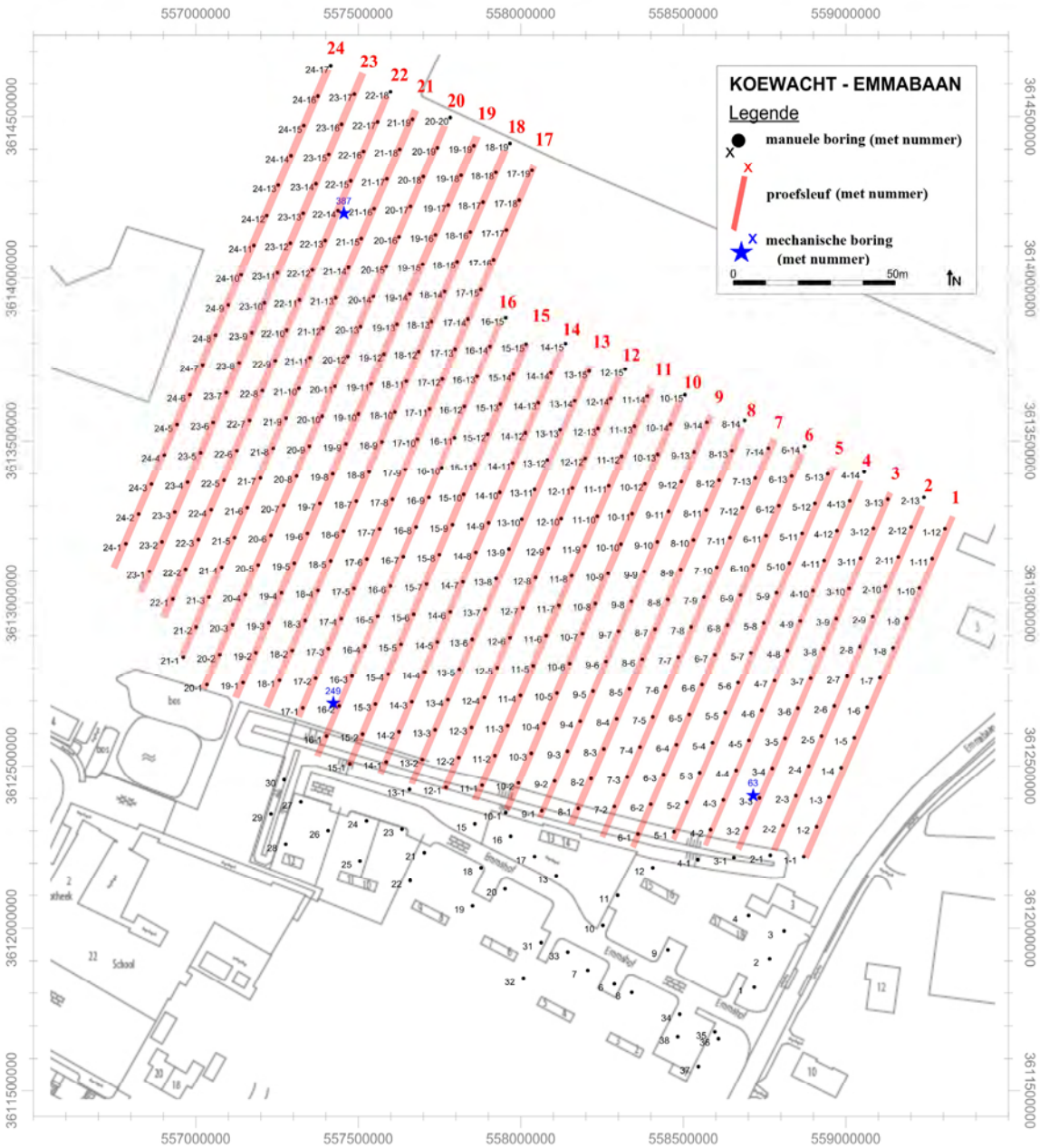


**Figuur 13** Ruimtelijk overzicht van de archeologische ingrepen (proefsleuven, manuele en mechanische boringen) uitgevoerd in het kader van het IVO-O/P.

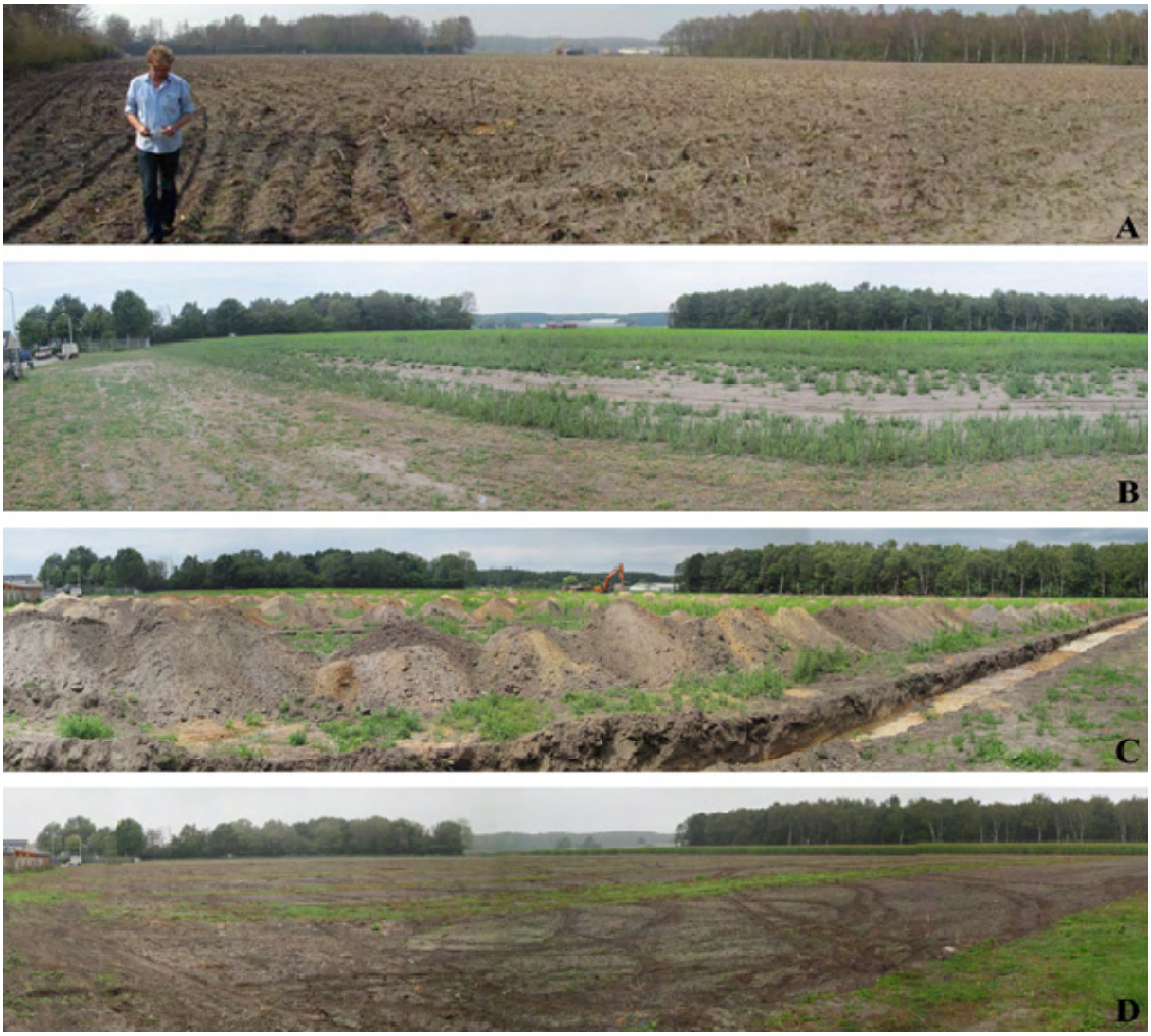


**Figuur 14** Het akkerperceel langsheen de Emmabaan gefotografeerd vanuit het zuidoosten op verschillende tijdstippen tussen 2009 en 2011 (van boven naar onder): (1) tijdens het onderzoek van ArcheoMedia (bron: Timmers & van Dasselaar 2009, afb. 2), (2) bij aanvang van het onderzoek van GATE, (3) tijdens de aanleg van de proefsleuven en (4) na het opnieuw dichtgooien van de proefsleuven.

# 5. RESULTATEN

Dit hoofdstuk biedt een overzicht van de resultaten van het IVO-O/P, opgesplitst per deelonderzoek. In de eerste plaats wordt een beschrijving gegeven van de archeologische bodemsporen en vondsten aangetroffen tijdens het proefsleuvenonderzoek (paragraaf 5.1.). Vervolgens worden in paragraaf 5.2. de inzichten uit de doeken gedaan omtrent de bodemopbouw en de aanwezigheid van archeologische indicatoren verkregen tijdens het manuele booronderzoek. Paragraaf 5.3. bevat de resultaten van beide aanvullende oppervlaktekarteringen. In paragraaf 5.4. komen de lithologische beschrijving van de bodemopbouw zoals geobserveerd in de mechanische boringen (onderzoek J.H. Mikkelsen) en de paleoecologische waardering van de pollenmonsters uit de paleosol (onderzoek J. Bos, ADC) aan bod. In de synthese (paragraaf 5.5.) worden de verkregen inzichten uit het IVO-O/P vergeleken met de resultaten uit de voorgaande onderzoeken en getoetst aan het verwachtingskader zoals beschreven in paragraaf 3.2.

De resultaten zullen toelaten een gefundeerd antwoord te formuleren op een deel van de gestelde onderzoeksvragen. De synthese zal tevens de basis vormen voor de waardestelling en het selectieadvies uit hoofdstukken 6 en 7, waarin eveneens getracht zal worden een antwoord te formuleren op de overige onderzoeksvragen.

## 5.1. Resultaten uit het proefsleuvenonderzoek

### 5.1.1. Inleiding

(*Antwoord op vraagstelling 1*)
Uitgebreide observaties van de profielwanden tonen aan dat de top van de natuurlijke bodemopbouw over de ganse onderzoekslocatie, tegen de verwachtingen uit het vooronderzoek in, in sterke mate verstoord is (figuur 15). Een (quasi) intact podzolprofiel met een opeenvolging van A-, E-, Bh-, Bs- en C-horizonten werd nergens aangetroffen. In het meest gunstige geval is enkel een deel van de Bh-horizont bewaard gebleven. Verschillende natuurlijke bodemsporen waarin de originele bodem is beschermd gebleven (*i.e.* windvallen, wortelpennen, enz. …) suggereren evenwel dat ooit een intacte podzolbodem aanwezig moet zijn geweest op de onderzoekslocatie (figuur 16); deze bodemsporen kunnen als proxy-data worden gebruikt voor de mate van verstoring van de natuurlijke bodemopbouw.

(*Antwoord op vraagstellingen 2, 3, 4, 5 en 6*)
Het aantal archeologische bodemsporen dat werd aangetroffen in de proefsleuven is uiterst beperkt; structuren werden niet vastgesteld (figuur 17). De aangetroffen sporen vallen uiteen in twee categorieën. Enerzijds is er sprake van recente sporen en verstoringen, anderzijds werd ook een grachttracé aangesneden dat op basis van het vondstmateriaal te plaatsen valt in de Nieuwe of Nieuwste Tijden. Van de recente sporen bestaat het merendeel uit ploegsporen of de restanten hiervan. Daarnaast werden rond de zone van de voormalige dijk enkele recente verstoringen met bouwpuin aangetroffen.

### 5.1.2. Een grachtspoor

In proefsleuven 21 en 22 werd een noordoost-zuidwest georiënteerde gracht (P22 S1) aangesneden (figuur 17). Het tracé van deze gracht verloopt nagenoeg gelijk aan de perceelsgrens/gracht die aangeduid staat op een minuutplan uit 1811 (figuur 18). Op recenter kaartmateriaal is de gracht niet meer te zien. In een tweede fase van het onderzoek werden op deze

gracht vier coupes gezet (figuur 19). Deze tonen aan dat de gracht zo'n drie meter breed is en nog ca. één meter diep bewaard is gebleven onder de ploeglaag, zoals eveneens geobserveerd kan worden in de derde mechanische boring die de gracht aansneed (*cf.* figuur 39). Op basis van de registratie van haar opvullingspakketten lijkt de gracht in eerste instantie op natuurlijke wijze en geleidelijk te zijn dicht geslibd. Hiervan getuigen enkele humeuze, donkergrijze zandlagen. Uiteindelijk lijkt de gracht sneller te zijn gedicht met drogere, minder humusrijke zandpakketten, wat tevens bevestigd wordt door het lithologisch onderzoek van de Begemann-kernen.

In de opvulling van het grachttracé werden twee fragmenten aardewerk aangetroffen (figuur 20). Het betreffen respectievelijk een roodbakkend bodemfragment met loodglazuur aan binnen- en buitenzijde van een grote voorraadpot (moderne tijd: 17$^{e}$-18$^{e}$ eeuw) en een klein fragment aardewerk met groenglazuur met wit slib aan de binnenzijde[12]. Mogelijk gaat het om een voet van een olielamp. Ook deze vorm lijkt thuis te horen in de moderne periode. Dateren op rood aardewerk alleen is moeilijk, maar beide fragmenten wijzen ruim gezien in de richting van een datering in de Nieuwe Tijden voor dit grachttracé.

5.1.3. Een vroegprehistorisch spoor?

Naast dit grachtspoor en bovenvermelde recente bodemsporen werd tijdens de aanleg van proefsleuf 16 een klein archeologisch bodemspoor (P16 S17) aangetroffen tegen de rand van de westelijke profielwand (figuur 21). Naar aanleiding van de vondst van enkele lithische artefacten werd het opvullingspakket ervan integraal bemonsterd en nat uitgezeefd op een zeef met maaswijdte van één millimeter; hiervoor werd een klein kijkvenster aangelegd.

De potentieel vroegprehistorische ouderdom van het bodemspoor is gebaseerd op de vondst van 146 vuurstenen artefacten, 86 individuele fragmenten van verkoolde hazelnootschelpen en ca. 95 gram houtskool in de bemonsterde vulling van het bodemspoor. Zoals zichtbaar in figuur 21 handelt het om een klein en onregelmatig, min of meer circulair bodemspoor met een diameter van 30-40 centimeter en een bewaarde diepte van 10 tot 15 centimeter. Het wordt verder gekenmerkt door een heterogeen, grijs gevlekt opvullingspakket dat doorspekt is met zwarte houtskoolfragmenten. De aflijning van het spoor is vaag in het grondvlak en relatief scherp in doorsnede. Het spoor is deels opgenomen in de bovenliggende bouwvoor en deels omringd door C-horizont.

Een beschrijving van de vuurstenen artefacten geassocieerd met dit bodemspoor is opgenomen in tabel 2. Tijdens de ontdekking van het bodemspoor werden zes vuurstenen artefacten aangetroffen in de directe omgeving ervan (o.a. figuur 31-1: 5, 7, 20; figuur 31-2: 5; figuur 32-1: 4, 19; figuur 32-2: 14). Het gaat om vijf kleine afhakingen, waaronder twee fragmenten. Eén ervan, en mogelijk ook nog een tweede, vertonen sporen van matige verbranding. Het zesde artefact is een geretoucheerde afslag/schrabber.

Vervolgens werden uit de gezeefde inhoud nog eens 140 vuurstenen artefacten verzameld. De overgrote meerderheid hiervan zijn afhakingen kleiner dan één centimeter (N=134), waarvan er slechts 24 macroscopisch zichtbare sporen van verbranding vertonen. Naast deze chips bevatte het gezeefde residu drie kleine afhakingsfragmenten, waaronder telkens een proximaal, een distaal en een meervoudig fragment. Het distale fragment was mogelijk licht verbrand, de overige zijn niet zichtbaar verbrand. De rest van het kleine lithische assemblage geassocieerd met dit bodemspoor was opgebouwd uit een microkling, een mogelijke kerfrest ("microsteker") en een matig verbrande *potlid*. Kerfresten worden traditioneel beschouwd als een rest-

product dat ontstaat bij de productie van onderdelen van pijlbewapening (pijlspitsen en weerhaken) en zijn voornamelijk geassocieerd met het mesolithicum.

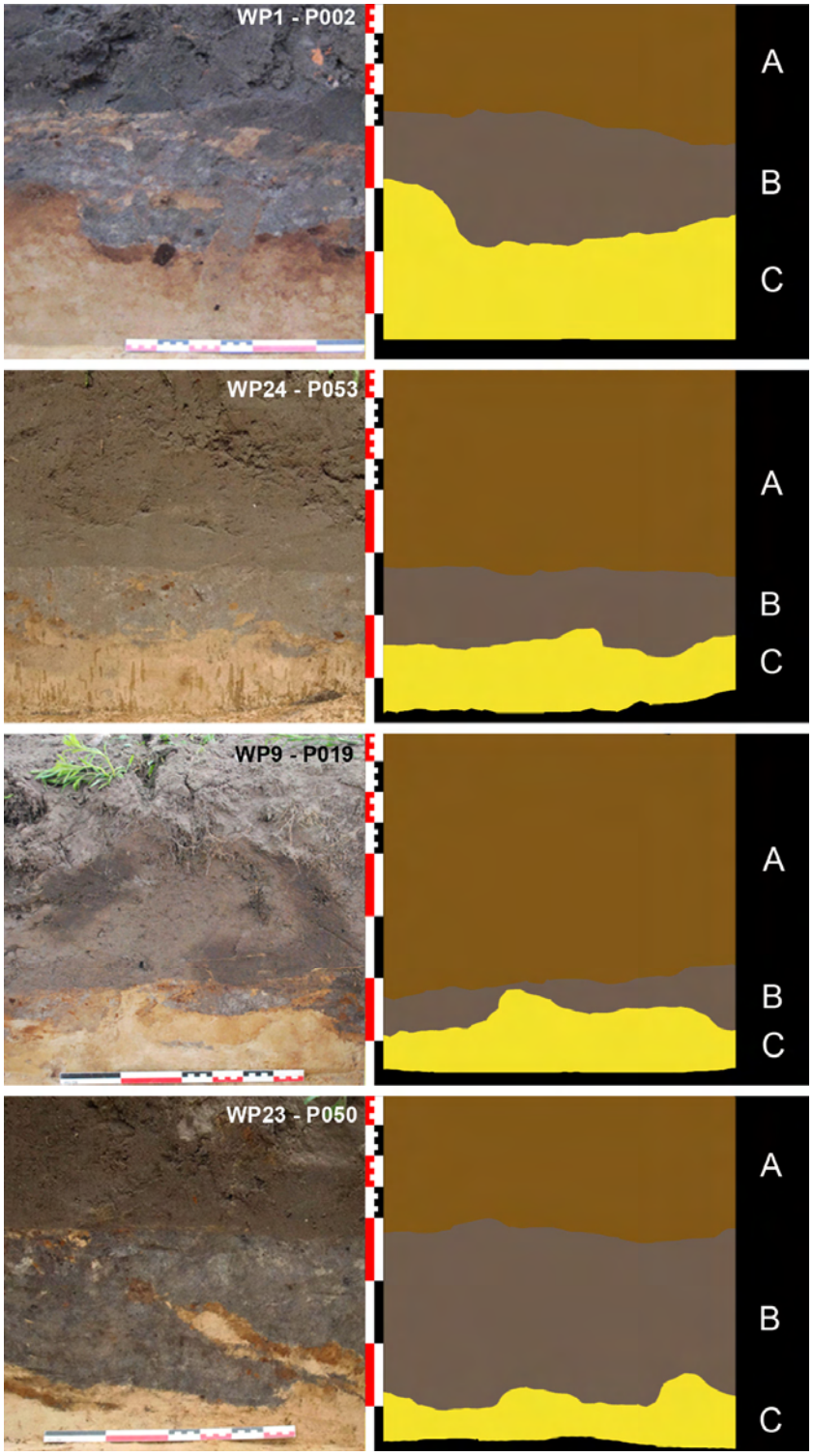


**Figuur 15** De intactheid van de bodemopbouw zoals geobserveerd in de profielwanden tijdens de uitvoering van het proefsleuvenonderzoek. (A) = ploeglaag, (B) = tweede ploeglaag, (C) = moederbodem.

**Figuur 16** Natuurlijke bodemsporen in het onderzoeksvlak van de proefsleuven suggereren de voormalige aanwezigheid van een (intact) podzolprofiel op de onderzoekslocatie.

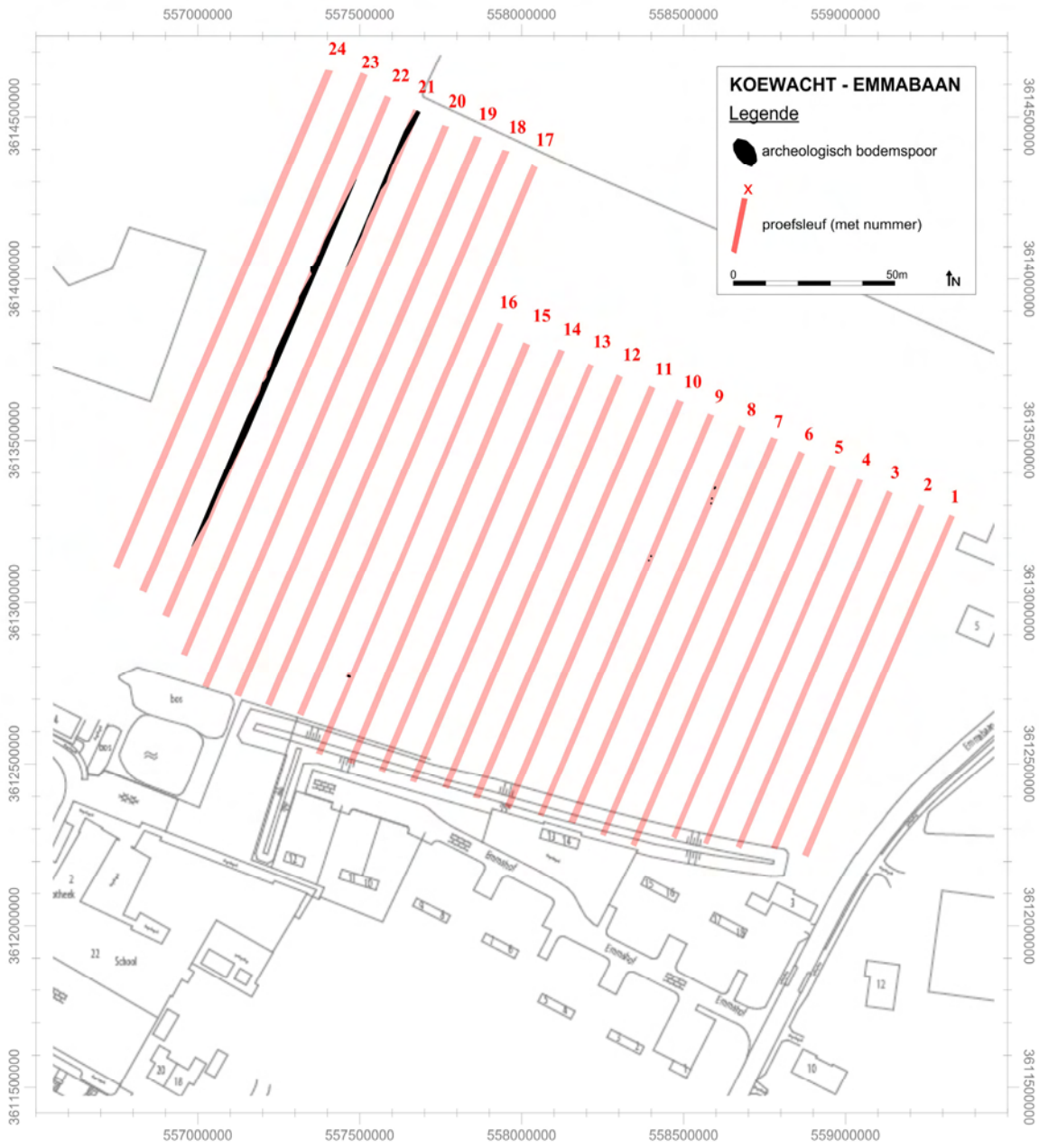


**Figuur 17** | Ruimtelijke verspreiding van de archeologische bodemsporen aangetroffen tijdens het proefsleuvenonderzoek.

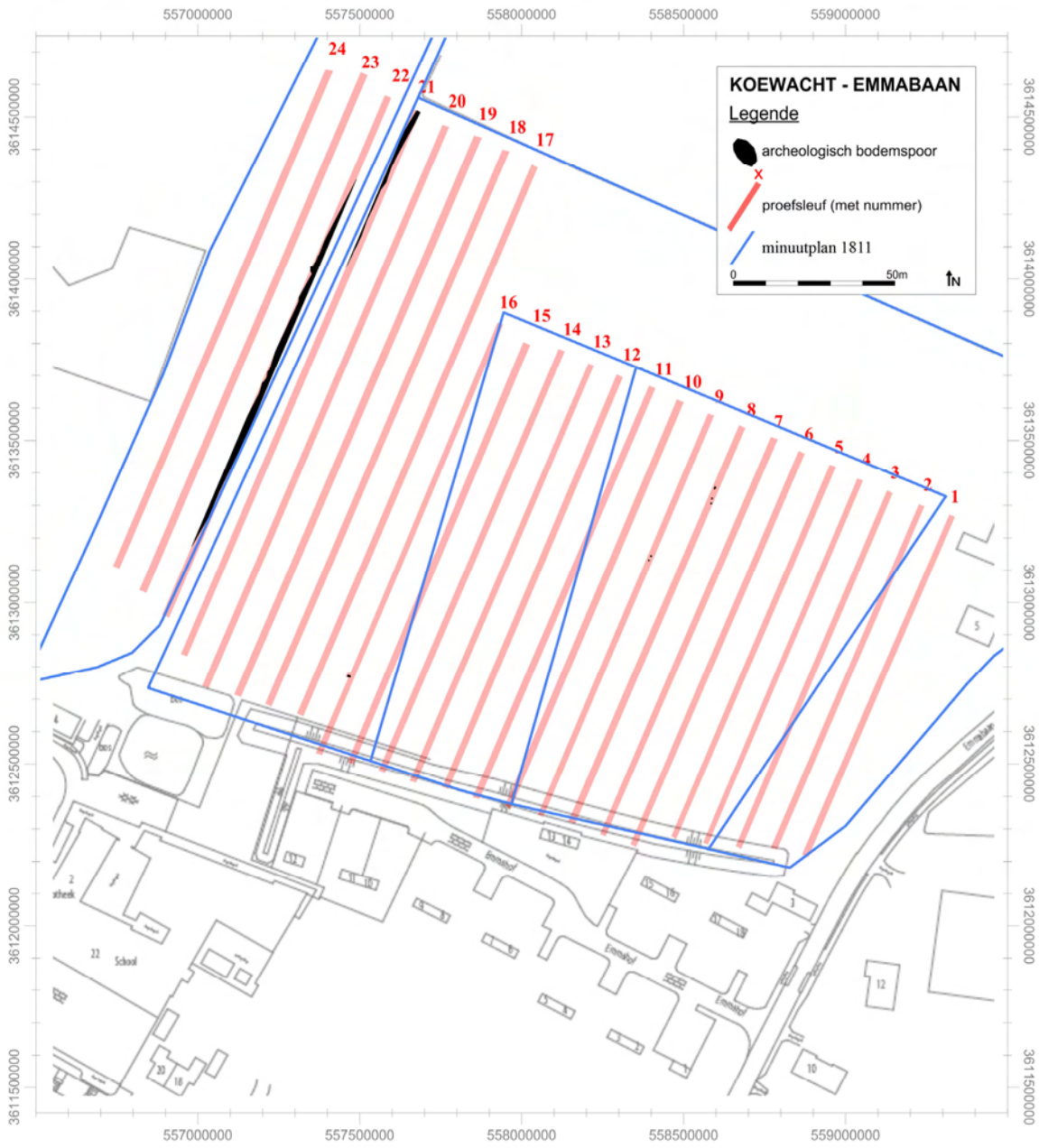


**Figuur 18** | Ruimtelijke verspreiding van de gracht vergeleken met het minuutplan uit 1811.

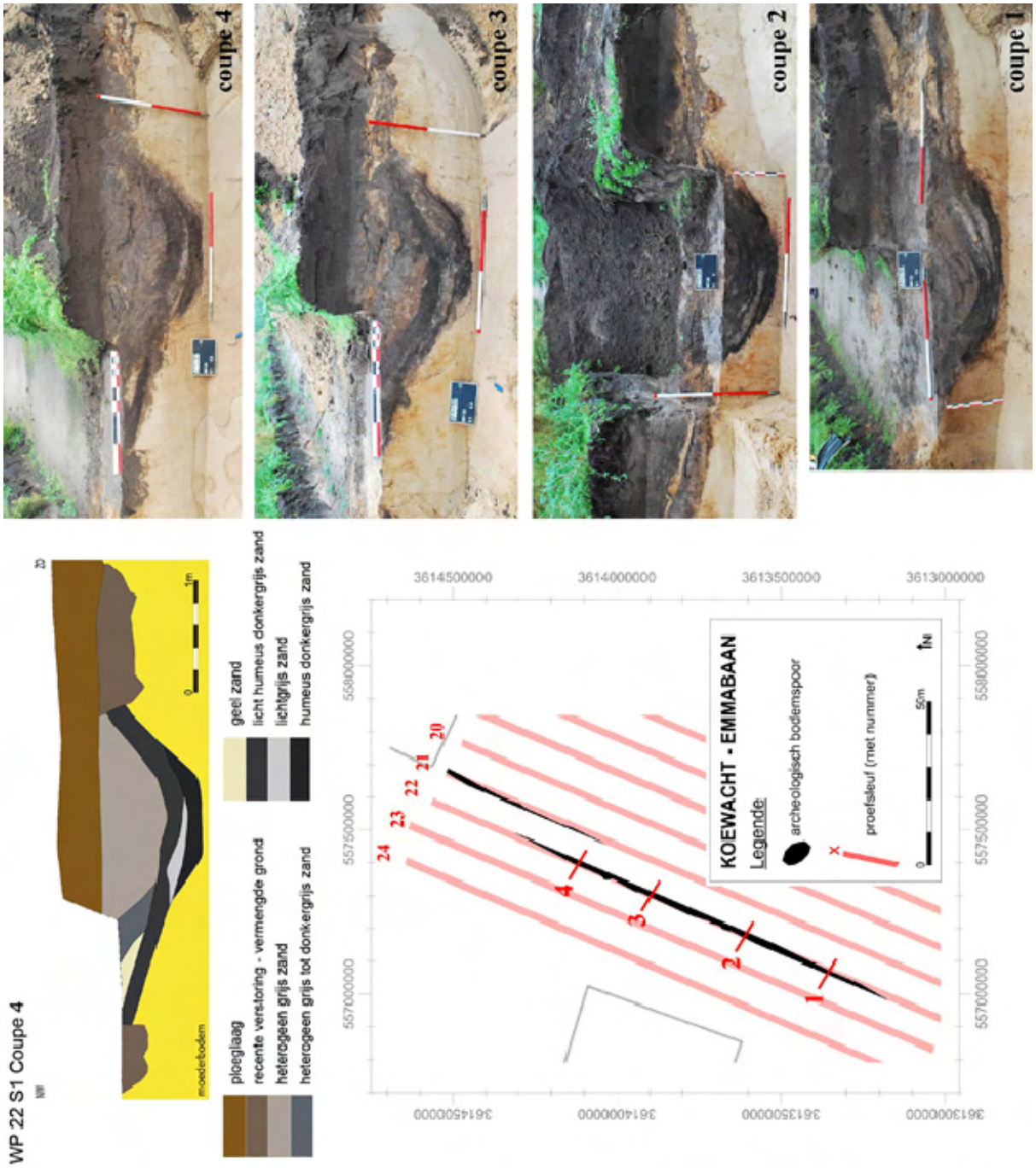


**Figuur 19** | Locatie en doorsnede van de gracht zoals geobserveerd en geregistreerd in verschillende coupes.

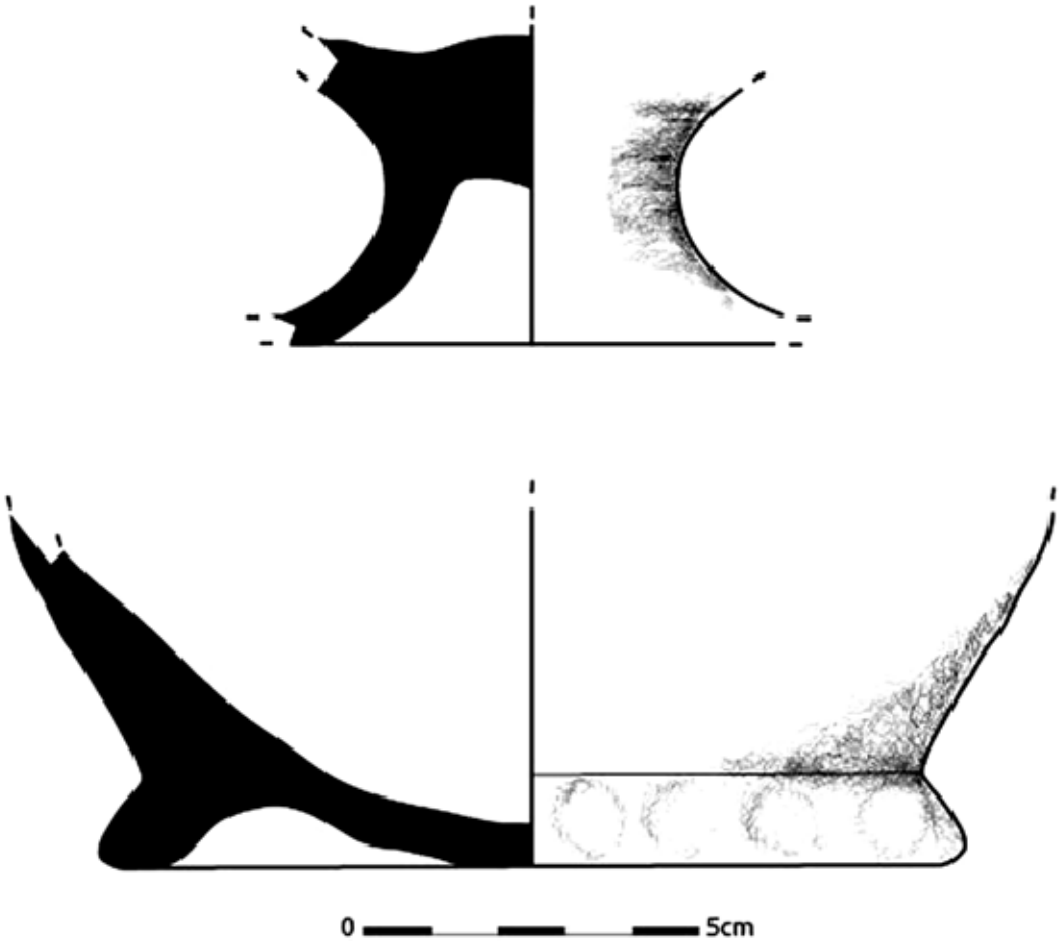


**Figuur 20** Het vondstmateriaal gerecupereerd uit de grachtvulling, bestaande uit aardewerkfragmenten die wijzen op een datering in de Nieuwe of Nieuwste Tijd (tekeningen: Bert de Bruyne & Wouter Beek).

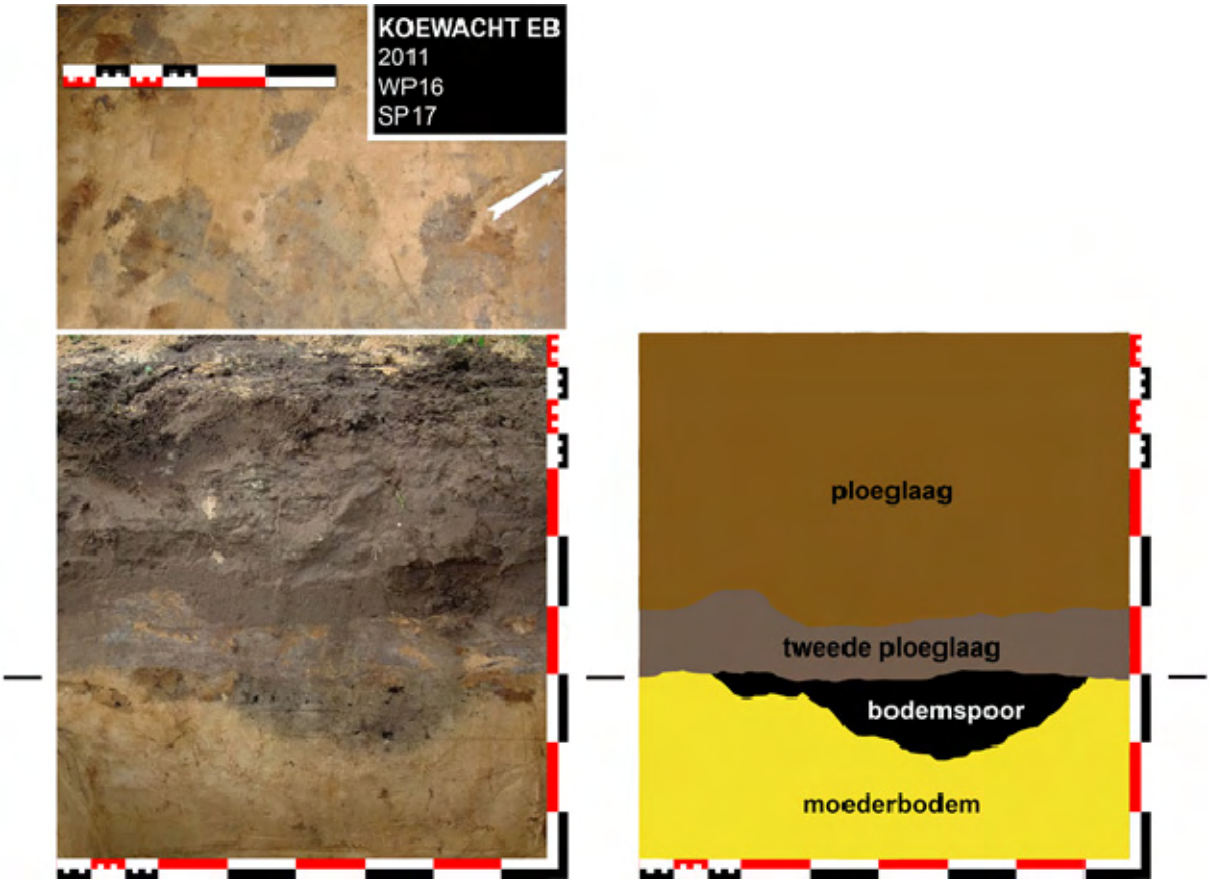


**Figuur 21** Opnames van het bodemspoor P16 S17, waarvan de inhoud volledig werd bemonsterd en uitgezeefd; het leverde 146 lithische artefacten, verkoolde hazelnootfragmenten en houtskool op.

| typologie (volgens ABR) | toelichting | grondstof (volgens ABR) | vondstnr. | verbranding | | | | TOTAAL |
|---|---|---|---|---|---|---|---|---|
| | | | | niet | licht | matig | zwaar | |
| AFSLAG | < 1cm (chip) | SVU | uit zeefresidu | 110 | | 19 | 5 | **134** |
| | fragment - distaal | SVU | P16 (V010) | 1 | | | | **1** |
| | fragment - proximaal | SVU | uit zeefresidu | 1 | | | | **1** |
| | | | P16 (V011) | 1 | | | | **1** |
| | volledig | SVU | P16 (V007) | | | 1 | | **1** |
| | | | P16 (V008) | 1 | | | | **1** |
| | | | P16 (V009) | | 1? | | | **1** |
| AFSLAG (RETOUCHE) | fragment - meervoudig? | SVU | uit zeefresidu | 1 | | | | **1** |
| | volledig | SVU | P16 (V006) | 1 | | | | **1** |
| KLING | fragment - distaal | SVU | uit zeefresidu | | 1? | | | **1** |
| | volledig | SVU | uit zeefresidu | | 1 | | | **1** |
| MICROSTE? | | SVU | uit zeefresidu | 1 | | | | **1** |
| POTLID | | SVU | uit zeefresidu | | | 1 | | **1** |
| | | | | **117** | **1 + 2?** | **21** | **5** | **146** |

**Tabel 2** Overzicht van de lithische vondsten uit het bodemspoor P16 S17.

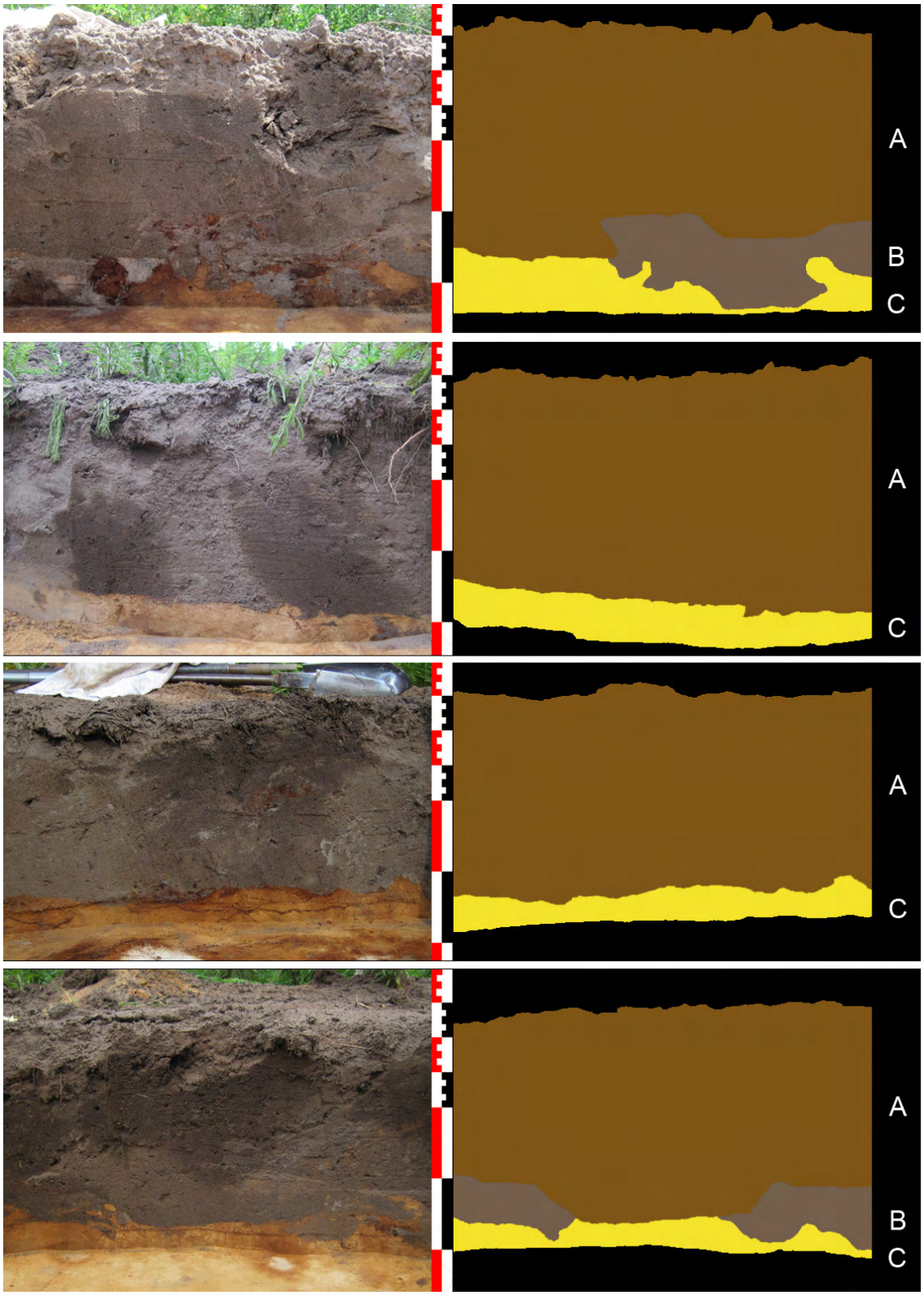


**Figuur 22** De intactheid van de bodemopbouw zoals geobserveerd in de profielwanden tijdens de uitvoering van het manuele booronderzoek. (A) = ploeglaag, (B) = tweede ploeglaag, (C) = B- en/of C-horizonten.

### 5.1.4. Vuursteenvondsten aangetroffen tijdens het proefsleuvenonderzoek

Naast de vuursteenvondsten geassocieerd met dit bodemspoor werden tijdens de aanleg van de proefsleuven verspreid over de akker nog zes vuurstenen artefacten aangetroffen (tabel 3). Het gaat om vijf fragmenten van afhakingen (één afslag en vier microklingen; figuur 32-1: 7 t.e.m. 10; figuur 32-2: 2; figuur 31-1: 8, 9, 10, 12; figuur 31-2: 8) en één kerfrest ("microsteker", figuur 32-2: 5; figuur 31-2: 4). Twee distale (micro)klingfragmenten vertonen lichte sporen van verbranding.

| typologie (volgens ABR) | toelichting | grondstof (volgens ABR) | vondstnr. | verbranding | | | | TOTAAL |
|---|---|---|---|---|---|---|---|---|
| | | | | niet | licht | matig | zwaar | |
| AFSLAG (KERNVERN?) | fragment - distaal | SVU | P24 (V014) | 1 | | | | **1** |
| KLING | fragment - distaal | SVU | V002 | | 1 | | | **1** |
| | | | V003 | | 1 | | | **1** |
| | | | P21 | 1 | | | | **1** |
| | fragment - proximaal | SVU | P24 (V013) | 1 | | | | **1** |
| MICROSTE | volledig | SVU | P13 (V005) | 1 | | | | **1** |
| | | | | **4** | **2** | | | **6** |

**Tabel 3** Overzicht van de lithische vondsten aangetroffen tijdens het proefsleuvenonderzoek, met uitzondering van de vondsten geassocieerd met het bodemspoor P16 S17.

## 5.2. Resultaten uit het manuele booronderzoek

### 5.2.1. Onderzoek naar de top van de bodemopbouw

(*Antwoord op vraagstelling 1*)
Uitgebreide observaties van de boorkernen tonen aan dat de natuurlijke bodemopbouw ter hoogte van het Emmahof in sterke mate verstoord is en deels gekenmerkt wordt door de aanwezigheid van antropogene ophogingspakketten. In overeenstemming met de observaties uit het proefsleuvenonderzoek (*cf.* figuur 15), bevestigen de uitgebreide observaties van de profielwanden ter hoogte van alle boorpunten op de akker dit verstoorde karakter van de podzolbodem (figuren 22 en 23). Een gedetailleerd overzicht van alle geregistreerde observaties aan de profielwanden ter hoogte van de boorpunten is opgenomen in bijlage 5.

(*Antwoord op vraagstelling 2, 3 en 4*)
In totaal werden uit de top van de bodemsequentie 413 monsters voor archeologische doeleinden genomen (bijlage 2). In deze nat gezeefde en vervolgens gedroogde monsters werden uit negen boringen (= ca. 2,25% van de uitgevoerde boringen) 21 archeologische indicatoren voor prehistorische vindplaatsen aangetroffen. Een beschrijving van de vuurstenen artefacten uit deze monsters is opgenomen in tabel 4. Hoewel de meeste 'positieve' boringen zich in het zuidoostelijke deel van de onderzoekslocatie bevinden, kan een duidelijke clustering niet worden aangetoond (figuur 24).

Ter hoogte van het Emmahof bevond zich in boring 33 één vuurstenen artefact (een microchip). Op de akker langsheen de Emmabaan werd naast lithische artefacten ook houtskool aangetroffen in de boringen. Voor het lithische materiaal handelt het om 20 vuurstenen artefacten, verspreid over acht boringen: één boring in het zuidoostelijke deel van de akker (R3 B5) bevatte zeven chips en één zogenaamde Krukowski-kerfrest, allemaal onverbrand. In het residu van R20 B7 werden vier chips aangetroffen, waaronder één matig verbrand en de overige onverbrand. Voorts bevonden zich in twee boringen (R9 B4 en R14 B15) telkens twee

vuurstenen chips, waaronder telkens één matig verbrand. In de overige vier positieve boringen op de akker (R2 B13, R8 B10, R10 B8 en R11 B2) betreft het telkens één onverbrand vuurstenen artefact: in drie van de vier gevallen een chip, in R11 B2 een distaal fragment van een microkling.

| vondstnr. | typologie (volgens ABR) | toelichting | grondstof (volgens ABR) | verbranding | | | | TOTAAL |
|---|---|---|---|---|---|---|---|---|
| | | | | niet | licht | matig | zwaar | |
| **Emmahof** | | | | | | | | |
| Boring 33 | AFSLAG? | < 1cm (chip) | SVU | 1 | | | | **1** |
| **Emmabaan** | | | | | | | | |
| R2 B13 | AFSLAG | < 1cm (chip) | SVU | 1 | | | | **1** |
| R3 B5 | AFSLAG | < 1cm (chip) | SVU | 7 | | | | **7** |
| | MICROSTE | Krukowski | SVU | 1 | | | | **1** |
| R8 B10 | AFSLAG | < 1cm (chip) | SVU | 1 | | | | **1** |
| R9 B4 | AFSLAG | < 1cm (chip) | SVU | 1 | | 1 | | **2** |
| R10 B8 | AFSLAG? | < 1cm (chip) | SVU | 1 | | | | **1** |
| R11 B2 | KLING | fragment - distaal | SVU | 1 | | | | **1** |
| R14 B15 | AFSLAG | < 1cm (chip) | SVU | 1 | | 1 | | **2** |
| R20 B7 | AFSLAG | < 1cm (chip) | SVU | 3 | | 1 | | **4** |
| | | | | **18** | | **3** | | **21** |

**Tabel 4** Overzicht van de lithische vondsten uit de boringen.

### 5.2.2. Onderzoek naar de paleoniveaus

*(Antwoord op vraagstelling 1)*
In de overgrote meerderheid van de boringen werden op geringe diepte één of meerdere opeenvolgende pakketten aangetroffen bestaande uit venige en/of humeus zandige sedimenten (figuur 25, zie ook bijlage 4). In een aantal boringen was dit niet het geval, hetzij omwille van hun vermoedelijk diepere ligging, hetzij omwille van een slechte zichtbaarheid ten gevolge de grondwatertafel. Een derde reden is dat sommige van de boringen vanaf het maaiveld en niet vanuit de proefsleuven werden uitgevoerd, waardoor ze minder diep reikten. De diepte van de top van het bovenste venige en/of humeus zandige pakket ten opzichte van het maaiveld varieert tussen ca. 1,08 en 2,75 meter (figuur 26). Deze observaties wijken deels af van de observaties uit het vooronderzoek waar de diepte varieerde tussen ca. 1,50 en 1,90 meter onder het maaiveld. Voornamelijk in het noordwesten en in het zuidoosten van het onderzoeksgebied bevindt de top ervan zich op geringe diepte, globaal tussen ca. 1 en 1,5 meter onder het maaiveld.

Niet alleen de diepte is variabel, ook het uitzicht van deze paleosequentie vertoonde een sterke variatie, gaande van een zeer dun en licht zandig organisch bandje tot en met meerdere, opeenvolgende donkerbruin gekleurde en gelaagde zandige organische pakketten al dan niet met tussenliggend venig laagje (figuur 27). Voor een gedetailleerd overzicht van deze variatie verwijzen we naar bijlagen 4 en 6. In verschillende boringen, voornamelijk in het zuidelijke en zuidoostelijke deel van het onderzoeksgebied, werd een venig pakket van variabele dikte (enkele centimeters) aangetroffen (figuur 28). Verspreid over het terrein werden in talrijke boringen meerdere, opeenvolgende en van elkaar gescheiden humeuze zandpakketten waargenomen (figuur 29). Vooral in de noordwestelijke hoek van het onderzoeksgebied waren deze uitgesproken aanwezig. De variabiliteit in diepte en uitzicht van de paleosequenties bemoeilijkt in grote mate een eenduidige interpretatie, een onderlinge vergelijking en een correcte extrapolatie van de boorgegevens[13].

**Figuur 23** Ruimtelijke verspreiding van de bewaring van de top van het bodemprofiel zoals geregistreerd tijdens het manuele booronderzoek.

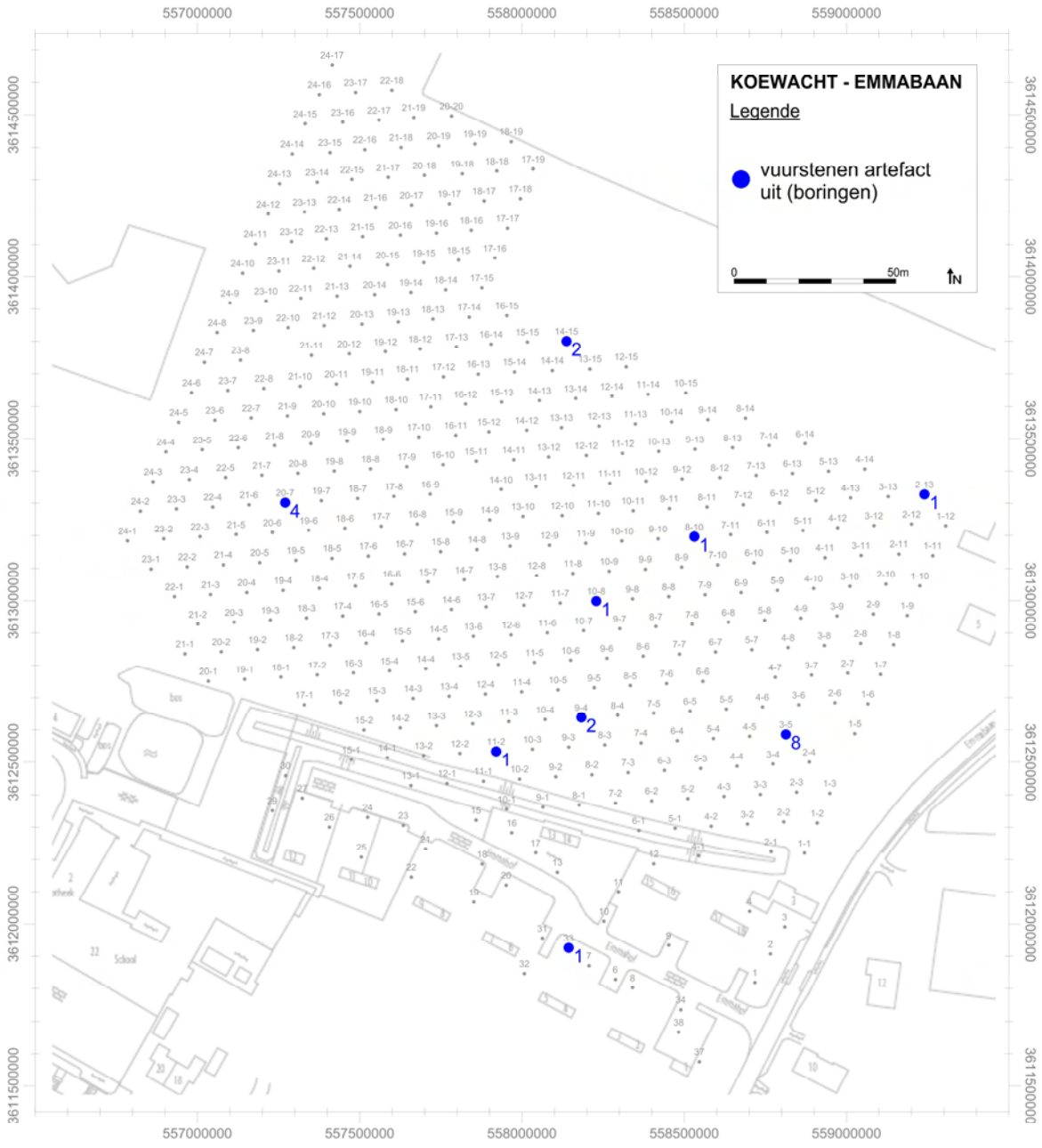


**Figuur 24** Ruimtelijke verspreiding van de manuele boringen waarin vuurstenen artefacten werden aangetroffen, indicatief voor de aanwezigheid van prehistorische vindplaatsen.

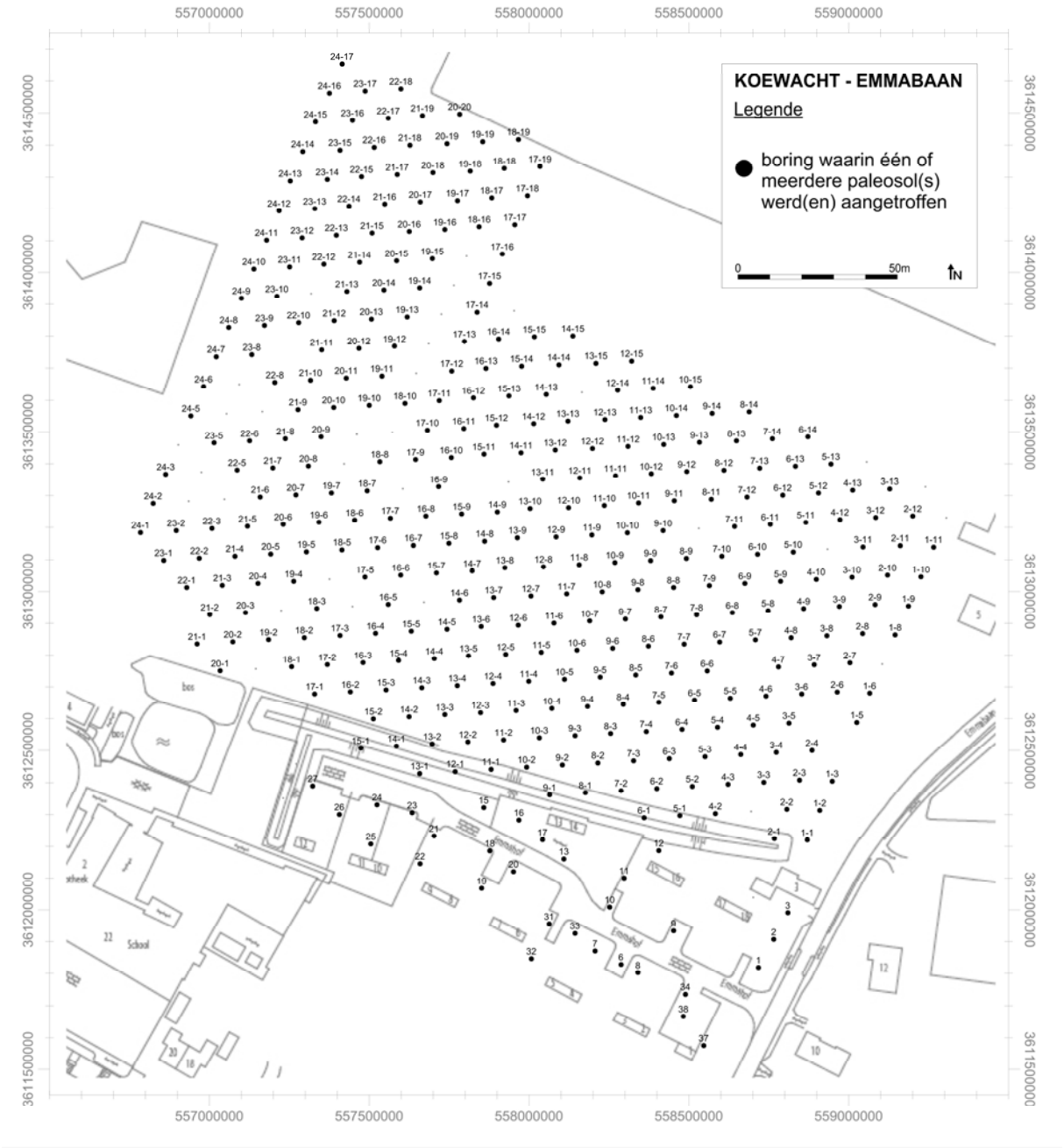


**Figuur 25** Ruimtelijke verspreiding van de manuele boringen waarin één of meerdere (vermeende) afgedekte paleobodem(s) werd(en) aangetroffen.

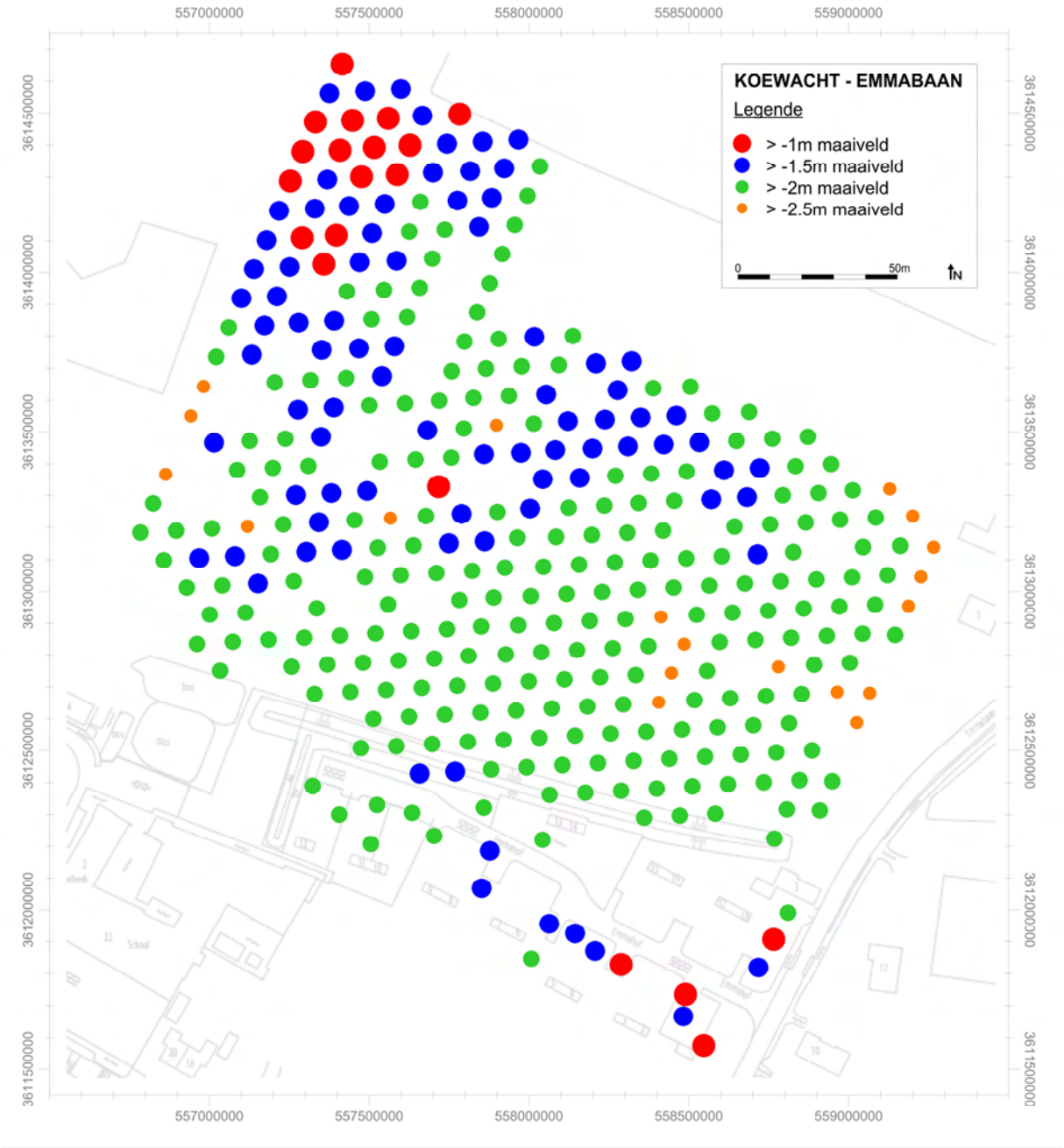


**Figuur 26** Indicatie van de diepte van de top van het (bovenste) venige en/of humeus zandige pakket, in het veld geïnterpreteerd als potentiële paleosol.

**Figuur 27** Opnames van de variatie van de paleobodem zoals geobserveerd in de manuele boringen (90° gedraaid). Op de foto boven is een venig pakket zichtbaar (B05 02); op de twee overige foto's zijn meerdere opeenvolgende humeuze lagen zichtbaar (resp. B23 16 en B22 16).

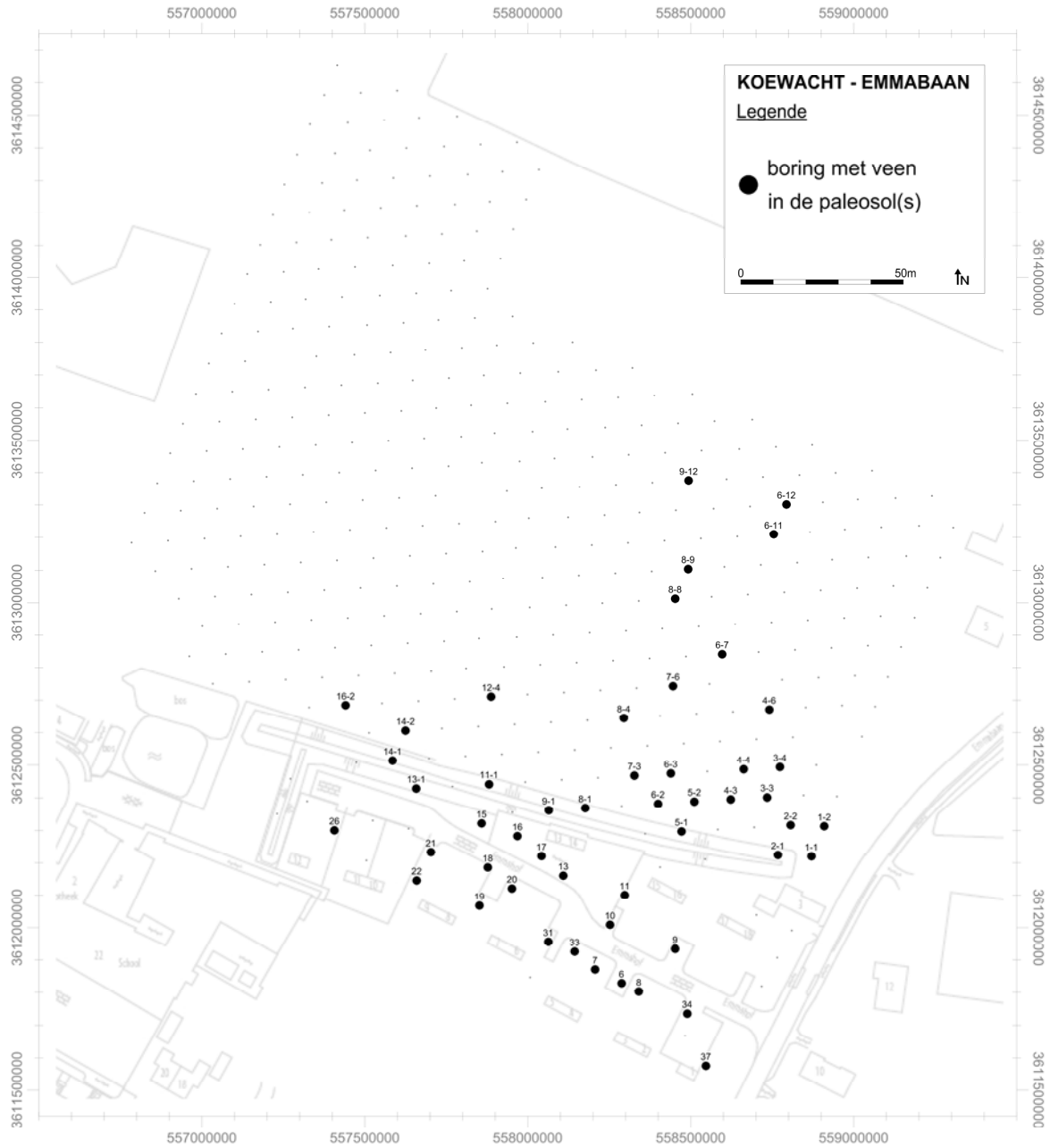


**Figuur 28** | Ruimtelijke verspreiding van de manuele boringen waarin een venig pakket werd aangetroffen.

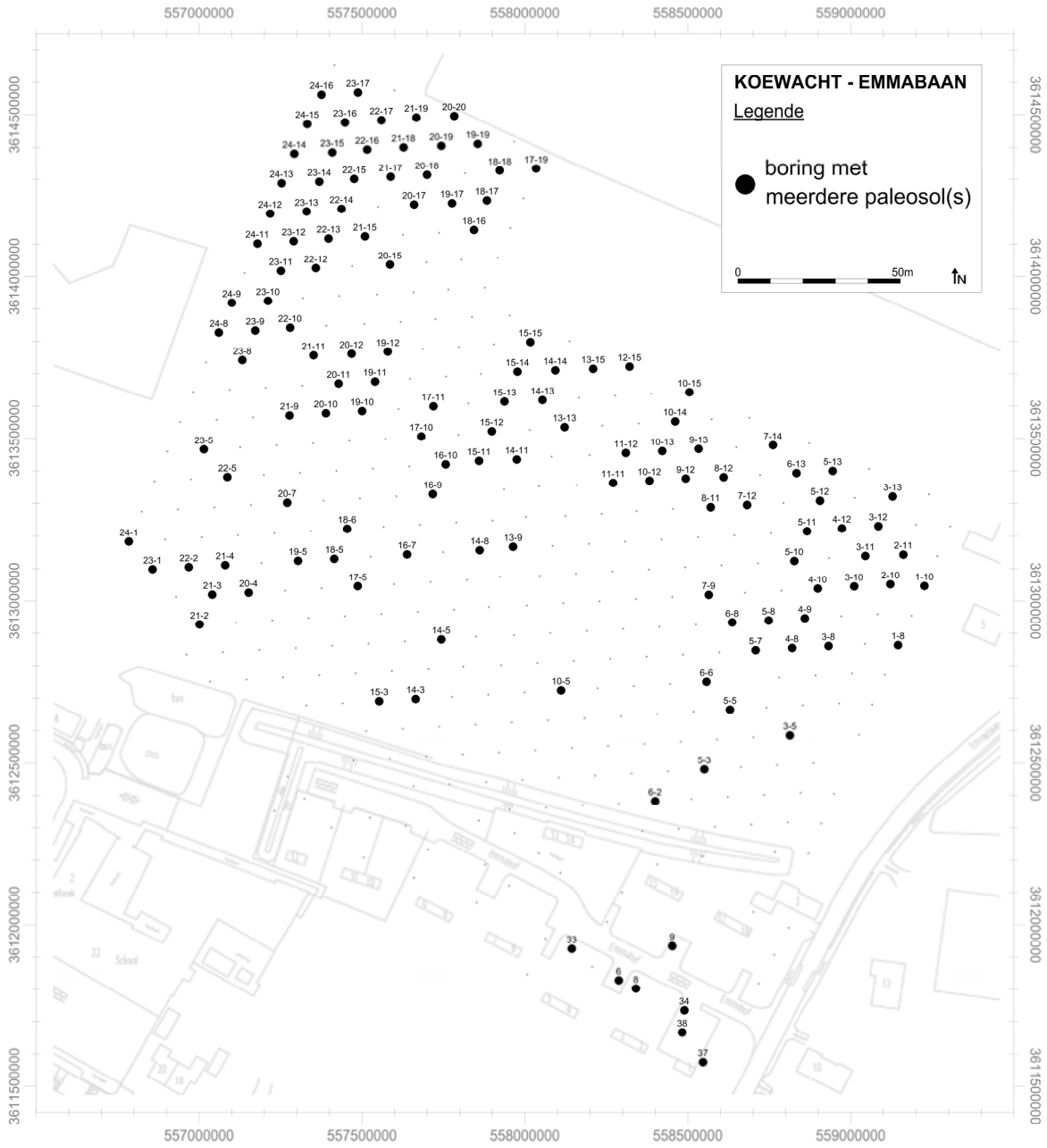


**Figuur 29** Ruimtelijke verspreiding van de manuele boringen waarin meerdere opeenvolgende humeuze zandige laagjes werden aangetroffen.

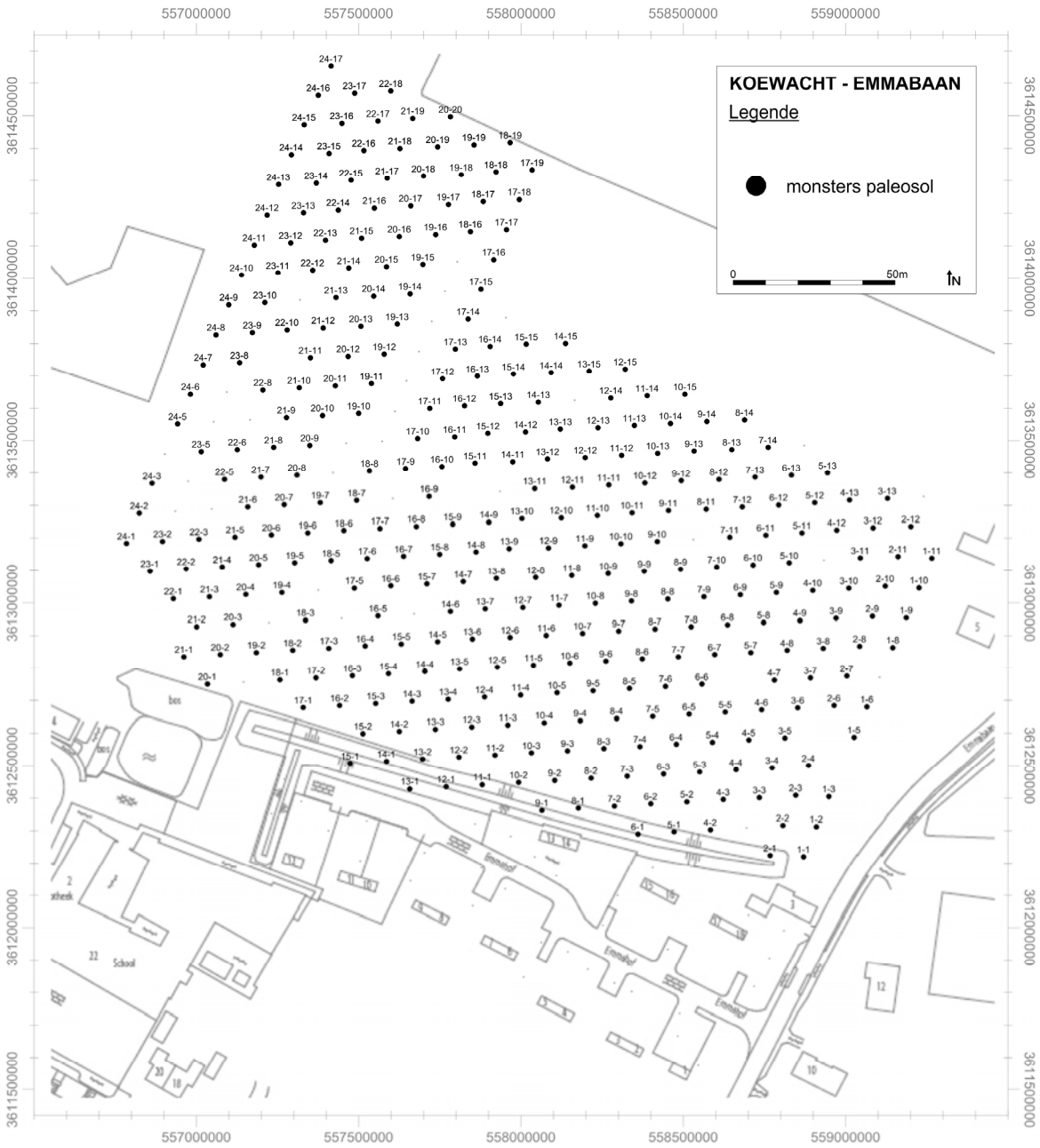


**Figuur 30** Ruimtelijke verspreiding van de manuele boringen waarvoor één of meerdere archeologische monsters uit de paleobodem(s) kon worden genomen.

(*Antwoord op vraagstellingen 2 en 3*)
In totaal konden met betrekking tot deze (mogelijke) paleobodems 370 monsters voor archeologische doeleinden worden genomen, verwerkt en bestudeerd (figuur 30; bijlage 3). In geen enkel ervan werden archeologische indicatoren aangetroffen. Houtskool, dat vaak als karakteristiek voor de Allerød-"laag van Usselo" wordt aangehaald, werd evenmin aangetroffen in het zeefresidu. Dit in tegenstelling tot de bevindingen uit het waarderingsonderzoek van de pollenmonsters waarin kleine hoeveelheden van fragmentarisch houtskool werden herkend (*cf.* paragraaf 5.4.3.3.).

## 5.3. Resultaten uit de oppervlaktekarteringen

(*Antwoord op vraagstellingen 2, 3, 4 en 5*)
Beide oppervlaktekarteringen samen, in weinig gunstige omstandigheden uitgevoerd, leverden in totaal 34 duidelijke lithische artefacten op; 24 ervan konden worden gelokaliseerd; van 10 vondsten zijn geen precieze locatiegegevens gekend. Een beschrijving van deze artefacten is opgenomen in tabel 5; een illustratie van een ruime selectie ervan in figuren 31 en 32 (figuur 31-1: 1-3, 5, 6, 11-18, 20, 21; figuur 31-2: 3, 4, 6-13 ; figuur 32-1: 1-4, 6, 11, 13-19, 21, 22; figuur 32-2: 1-3, 6, 7). De meerderheid van deze vondsten zijn (fragmenten van) afhakingen; 19 werden gedetermineerd als afslag en 10 als (micro)kling. Zeven afhakingen vertonen macroscopische sporen van verbranding. Voorts werden ook vier verbrande brokken opgeraapt, naast één kern en een vermoedelijk fragment van een steker. De kern werd tijdens de tweede oppervlaktekartering aangetroffen nabij de afrastering van de aanpalende woning in het zuidoostelijke deel van het onderzoeksgebied.

Op één na gaat het allemaal om artefacten in vuursteen; één onverbrande afslag is vervaardigd uit Wommersomkwartsiet, een grondstof die voornamelijk wordt geassocieerd met mesolithische vindplaatsen en in de provincie Zeeland o.a. werd aangetroffen te Aardenburg, Nieuw-Namen en Sint Kruis (Jongepier 1995: 37). Naast deze duidelijke lithische artefacten, hebben de oppervlaktekarteringen nog verscheidene brokken en kleine knollen uit vuursteen opgeleverd waarvan het antropogene karakter echter niet altijd met zekerheid kan worden vastgesteld (figuur 33).

| typologie (volgens ABR) | toelichting | grondstof (volgens ABR) | verbranding | | | | TOTAAL |
|---|---|---|---|---|---|---|---|
| | | | niet | licht | matig | zwaar | |
| AFSLAG | fragment - proximaal | SVU | 2 | 2 | | | **4** |
| | fragment - mediaal | SVU | 1 | | 1 | | **2** |
| | fragment - distaal | SVU | 4 + 1? | | | 1 | **5 + 1?** |
| | volledig | SVU | 5 | 1 | | | **6** |
| | | SZA | 1 | | | | **1** |
| KLING | fragment - proximaal | SVU | 3 | | | | **3** |
| | fragment - mediaal | SVU | | 1 | | | **1** |
| | fragment - distaal | SVU | 3 | | | 1 | **4** |
| | volledig | SVU | 2 | | | | **2** |
| KERN | | SVU | 1 | | | | **1** |
| STEKER | fragment - determinatie? | SVU | 1 | | | | **1** |
| BROK | | SVU | | | 2 | 1 | **3** |
| | | | **23 + 1?** | **4** | **3** | **3** | **34** |

**Tabel 5** Overzicht van de lithische vondsten uit de oppervlaktekartering.

Een duidelijke ruimtelijke clustering van de gelokaliseerde artefacten kan niet worden aangetoond (figuur 34), misschien met uitzondering van een drietal kleine clustertjes: in het noordwestelijke deel van het terrein (N=6 vondsten), rond boring R19 B12 (N=4 vondsten) en ter

hoogte van raaien 10 t.e.m. 12 in de buurt van de boringen 7 t.e.m. 10 (N = vier vondsten + één boorvondst). De overige vondsten liggen verspreid over het terrein. Evenmin is een eenduidige ruimtelijke relatie met de boorvondsten uit de top van de bodem (figuur 35) en met het bodemspoor aanwezig: oppervlaktevondsten werden niet aangetroffen in de directe omgeving van de boringen die meer dan een lithisch artefact opleverden (R3 B5, R9 B4, R14 B5 en R20 B7). Enkel de chip uit boring R10 B8 bevindt zich direct ter hoogte van het derde clustertje.

**Figuur 31** Opname van een selectie van de lithische artefacten uit het IVO-O/P; figuur in twee delen. Gedetailleerde determinaties van deze vondsten, inclusief verwijzingen naar deze figuur, zijn opgenomen in bijlage 7.

**Figuur 31** | Vervolg.

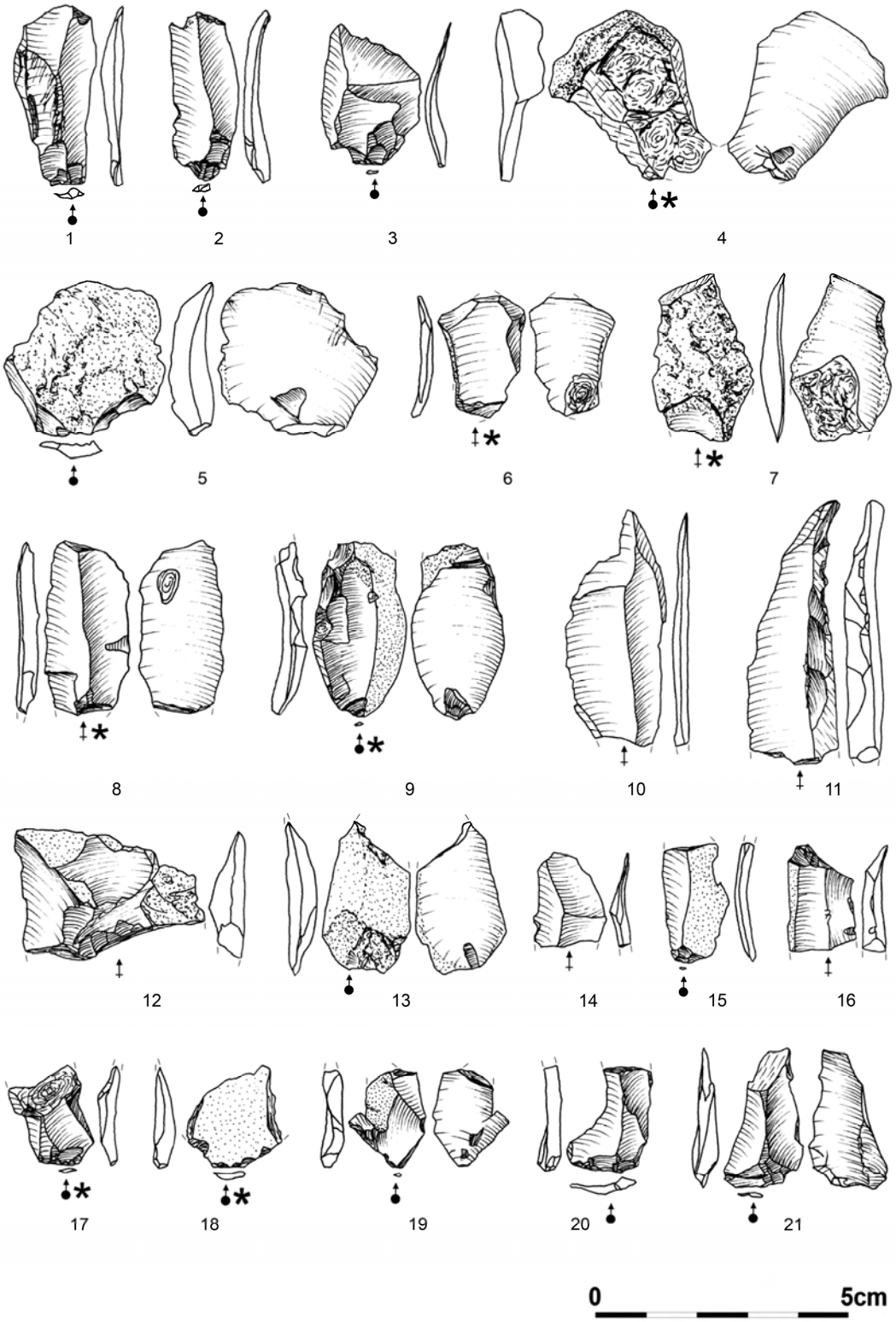


**Figuur 32** Tekening van een selectie van de lithische artefacten uit het IVO-O/P; figuur in twee delen. Gedetailleerde determinaties van deze vondsten, inclusief verwijzingen naar deze figuur, zijn opgenomen in bijlage 7.

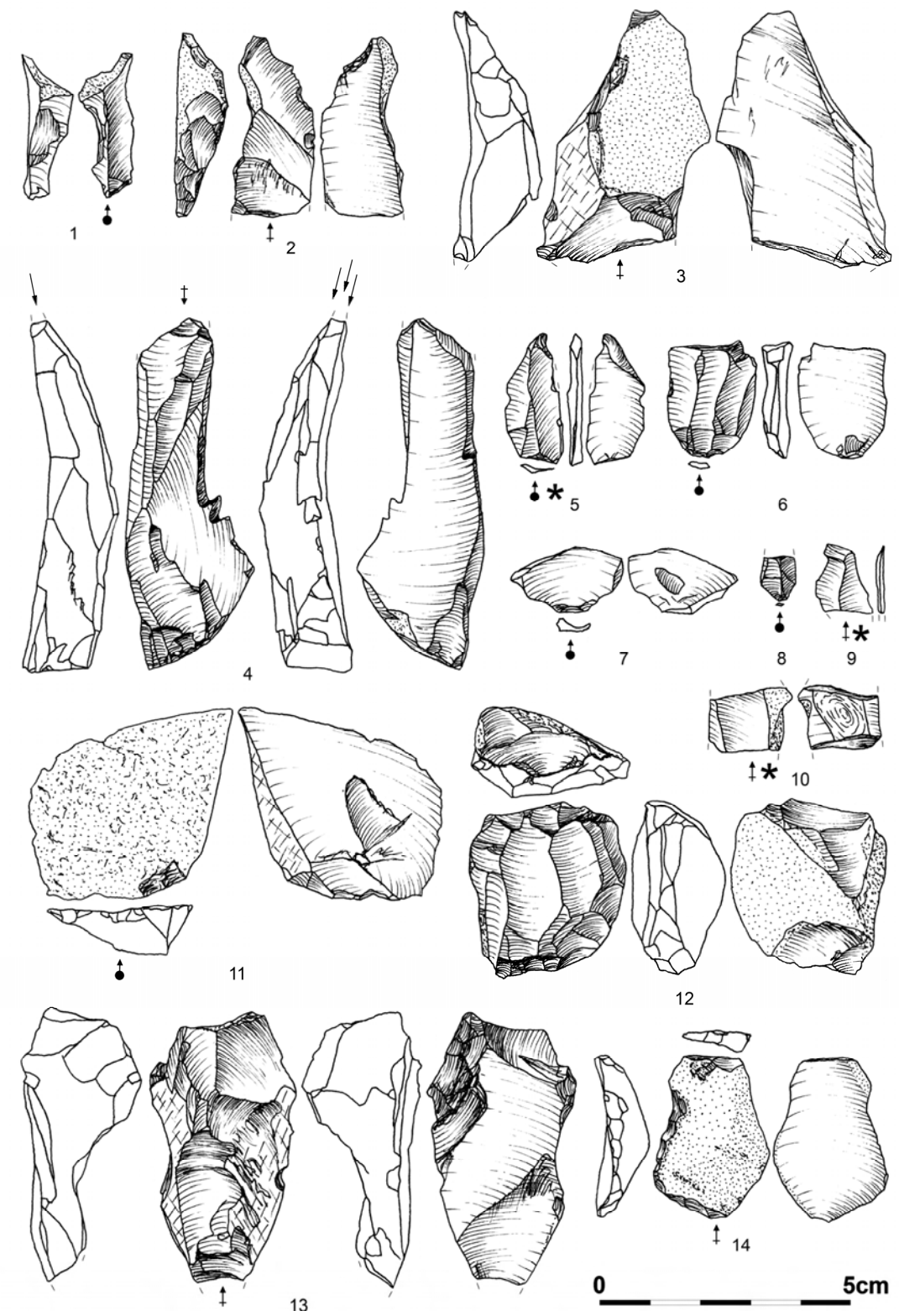


**Figuur 32** | Vervolg.

**Figuur 33** Opname van een selectie van brokken, knollen en kernfragmenten uit vuursteen aangetroffen tijdens verschillende oppervlaktekarteringen; figuur in twee delen: deel 1: vondsten uit de kartering uitgevoerd door ArcheoMedia, deel 2: vondsten uit de karteringen uitgevoerd door GATE. Gedetailleerde determinaties van deze vondsten, inclusief verwijzingen naar deze figuur, zijn opgenomen in bijlage 7.

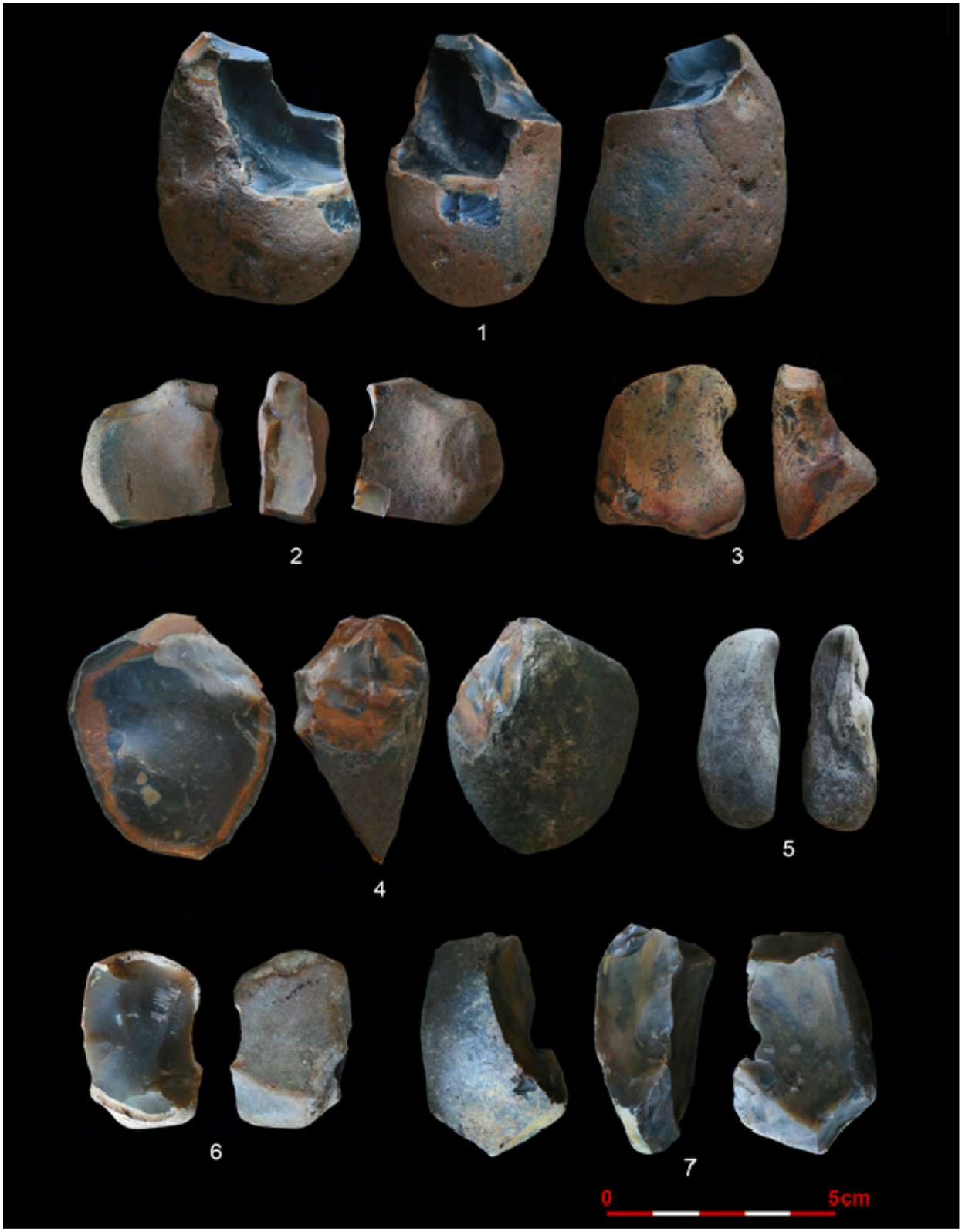


**Figuur 33** | Vervolg.

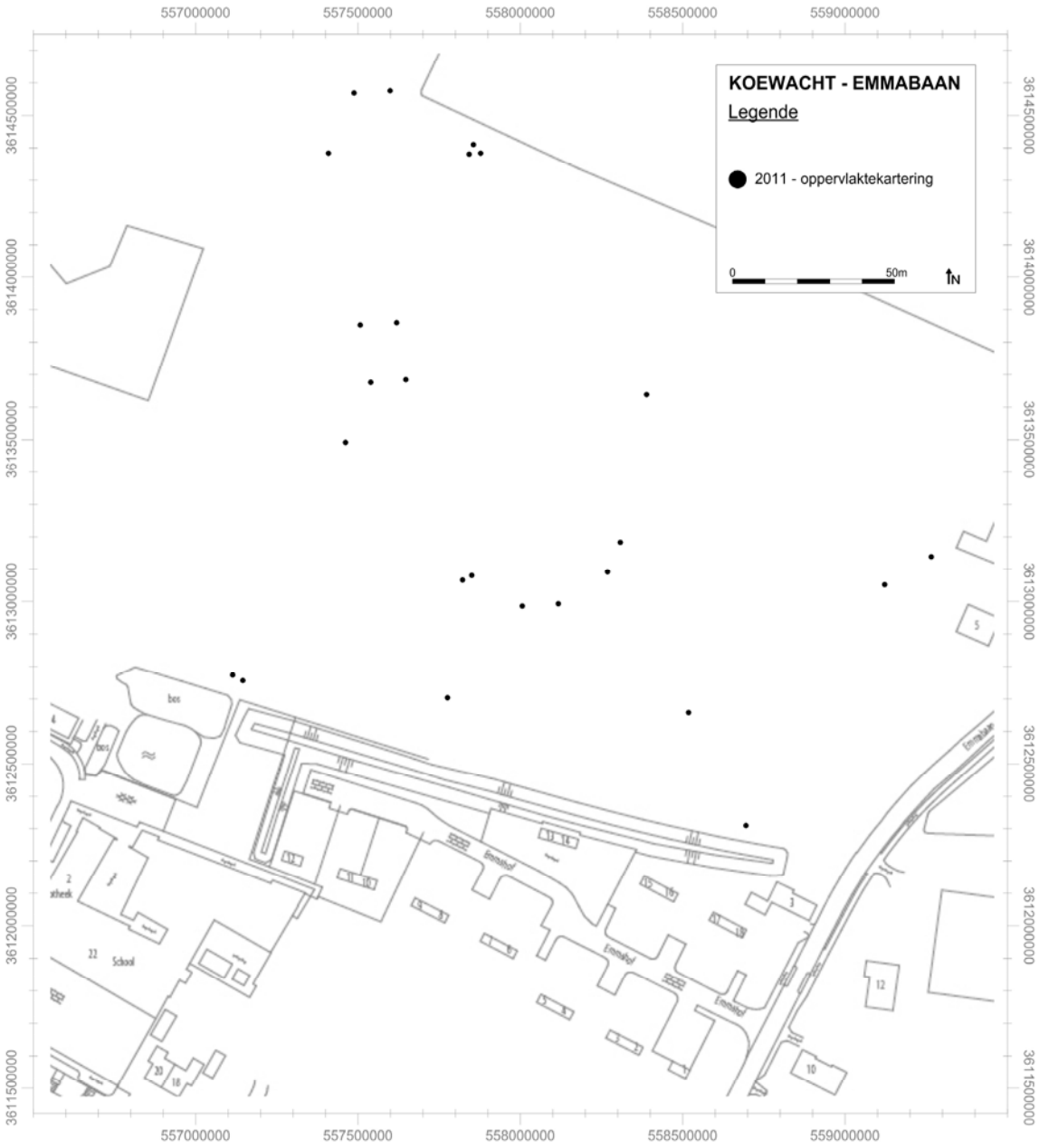


**Figuur 34** Ruimtelijke verspreiding van lithische artefacten aangetroffen tijdens de veldkarteringen uit het IVO-O/P. De locaties zijn bij benadering.

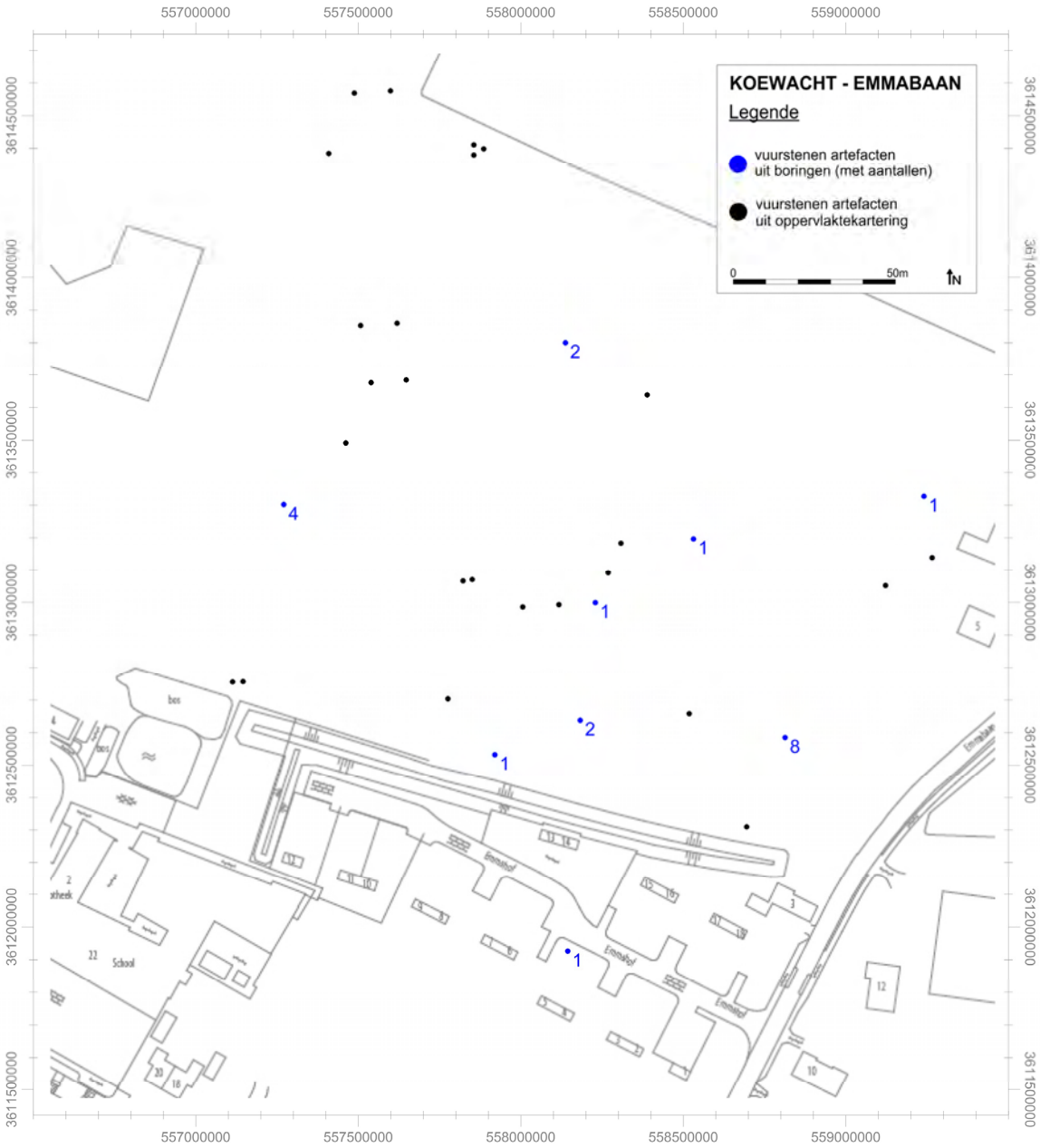


**Figuur 35** Samenvattend overzicht van de ruimtelijke verspreiding van de gekarteerde lithische vondsten uit de opppervlaktekarteringen en uit het manuele booronderzoek van het IVO-O/P. De locaties van de oppervlaktevondsten zijn bij benadering.

## 5.4. Resultaten uit het mechanische booronderzoek (*Antwoord op vraagstelling 1*)

### 5.4.1. Inleiding

Zoals weergegeven in figuur 13 werden verspreid over de akker in totaal drie mechanische Begemann-boringen uitgevoerd (boringen 063, 249 en 387)[14]. De keuze voor hun locatie is gebaseerd op de resultaten van het manuele booronderzoek. De eerste twee boringen werden in het zuidoosten en zuidwesten van de akker gezet, in de directe omgeving van twee boringen waar in de Edelmanboringen een venig pakket was aangetroffen (figuur 36); de derde boring bevond zich in het noordwesten van het terrein, in een zone waar tijdens het manuele booronderzoek op de meest uitgesproken manier opeenvolgende humeuze, zandige lagen werden geobserveerd (bijlage 6).

**Figuur 36** Observaties uit het manuele booronderzoek die mee aan de basis lagen voor de locatiekeuze van de mechanische Begemann-boringen. In beide boringen is een venig pakket zichtbaar.

De eerste en derde boringen lieten observaties tot 5,5 meter onder het maaiveld toe; de tweede boring bereikte een diepte van 4,5 meter onder het maaiveld, waarna de weerstand te groot werd en de boring diende te worden gestaakt. De opmerkelijke afwezigheid van veen in de tweede mechanische boring, evenals de beperkte dikte van het veenpakket in de eerste boring, bevestigen nogmaals de grote variatie en complexiteit van deze paleosequentie zoals eerder waargenomen tijdens het manuele booronderzoek.

De lithologische beschrijving en interpretatie van de drie mechanische boringen werd uitgevoerd door een bodemkundige (J.H. Mikkelsen), de monstername voor paleoecologische doeleinden en de waardering van de monsters telkens door een paleo-ecologe (respectievelijk

V. Gelorini voor de monstername en J. Bos voor de waardering). Na hun analyses (*cf.* figuur 12, onder-rechts) werden de boorkernen opnieuw zorgvuldig verpakt en gestockeerd voor eventueel vervolgonderzoek.

### 5.4.2. Lithologische beschrijving van de mechanische boringen

Kenmerkend voor de drie diepe boringen is de overwegend zandige textuur, met occasioneel dunne kleibandjes. Een reeks stabilisatiehorizonten is aanwezig maar geen goed ontwikkelde paleobodem[15].

#### *5.4.2.1. Lithologische beschrijving en interpretatie van boring 063*

Een gedetailleerd overzicht van de lithologische beschrijving van boring 063 is opgenomen in figuur 37 en tabel 6. De bodem bevat een ploeglaag aan de oppervlakte. Ooit is de bodem dieper bewerkt geweest waardoor een heterogene horizont is gevormd, gedeeltelijk met materiaal van de ploeglaag, gedeeltelijk met materiaal afkomstig van de onderliggende gekleurde B-horizont.

Vermoedelijk is de eerste begraven stabilisatielaag al op 60 centimeter diepte aanwezig. Deze laag van amper drie centimeter dik is aangerijkt met humus van vegetatie die in de bodem gegroeid heeft. De stabilisatie is van korte duur geweest. Daarna werd de bodem begraven onder het sediment waarin de huidige bodem is ontstaan. Op een diepte tussen 225 en 237 centimeter werd een tweede stabilisatieperiode herkend. Uit deze laag werd een pollenmonster genomen. De bodem hier aanwezig bestaat uit een dunne organische laag met daaronder een dunne deflatie-sedimentatie laag, vervolgens een A-horizont en uiteindelijk een zwak ontwikkelde gekleurde B-horizont. De deflatie-sedimentatie laag (227-230 centimeter) betreft een lokale accumulatie van zand dat afgezet werd bovenop de A-horizont (230-233 centimeter). Hierdoor raakte de vegetatie lichtjes begraven onder het zand. Blijkbaar heeft de vegetatie zich kunnen herstellen, tenminste voor een periode aangezien er zich vervolgens een O-horizont (225-227 centimeter) heeft kunnen vormen. De onderliggende B-horizont is bijzonder zwak ontwikkeld. Er is voornamelijk sprake van wortelgroei en amper van verkleuring, bijvoorbeeld door humus of ijzer. Op een diepte tussen 294-303 centimeter is er sprake van een derde stabilisatieperiode. De bodem die zich hier ontwikkelde, bestaat uit een drie centimeter dunne A-horizont, gekenmerkt door humusaccumulatie en een zeer zwak verkleurde B-horizont van zes centimeter dikte. De kleur van het moedermateriaal is duidelijk meer beige of lichtbruin dan dat waarin de tweede stabilisatiehorizont is gevormd.

Vanaf 303 centimeter tot de maximaal bereikte diepte op 531 centimeter onder het maaiveld werd een reeks zandlagen herkend. Zij reflecteren een dynamische sedimentopbouw zonder perioden van stabilisatie of de ontwikkeling van een vegetatiedeken.

#### *5.4.2.2. Lithologische beschrijving en interpretatie van boring 249*

Een gedetailleerd overzicht van de lithologische beschrijving van boring 249 is opgenomen in figuur 38 en tabel 7. De oppervlaktehorizont is de huidige ploeglaag, die 32 centimeter dik is. Net hieronder bevindt zich een dunne horizont van vijf centimeter. Deze tweede ploeglaaghorizont is het resultaat van een eenmalige diepe ploegactiviteit, net zoals het geval was bij boring 063. Onder de ploeglagen is er een zwak ontwikkelde kleur B-horizont. Opvallend is hoe zwak ontwikkeld de B-horizont hier is in vergelijking met deze afkomstig uit boring 063. Hiervoor zijn verschillende mogelijke verklaringen: (1) Bij boring 063 werd de bodem aange-

rijkt met materiaal voor de bodem werd geploegd; hierdoor kon een belangrijk deel van de B-horizont *in-situ* bewaard worden; (2) de bodem ter hoogte van boring 249 heeft erosie gekend, bijvoorbeeld colluviale erosie; hierdoor is een deel van de ploeglaag verdwenen en wordt er stelselmatig dieper in de originele bodem geploegd of (3) het verschil in verkleuring van de B-horizont reflecteert gewoonweg de laterale variatie van het bodemlandschap. De ploeglaag bij boring 063 is in totaal 36 centimeter dik. Met de eenmalige dieper geploegde horizont wordt zelfs 52 centimeter dikte bereikt. Bij boring 249 zijn deze dieptes respectievelijk 32 centimeter en 37 centimeter. Dit wijst op colluviale erosie bij boring 249 en colluviale accumulatie bij boring 063.

In boring 249 werd de eerste stabilisatielaag gevonden op een diepte van 238-240 centimeter onder het maaiveld. Uit deze laag werd een pollenmonster genomen. Het betreft een dunne humusaanrijking. De onderliggende horizont is amper verkleurd. Indien *in-situ* moet de vegetatieve periode dus van zeer korte duur geweest zijn. Aangezien de met humus aangerijkte laag een zeker stratificatie vertoont, kan het niet uitgesloten worden dat deze horizont eerder is gevormd door erosie van een nabijgelegen stabilisatiehorizont. Een kleine halve meter dieper in de boring, op 288-291 centimeter diepte, werd een tweede stabilisatiehorizont waargenomen. De onderliggende horizont is iets meer verkleurd door humusaccumulatie, wat kan wijzen op een iets langere periode van vegetatiegroei.

Beginnend op 376 centimeter diepte is er een laatste mogelijke stabilisatiehorizont. De kleur is zeer homogeen bruin en het materiaal was lichtjes gecementeerd. Dit wijst eerder op een Bh-horizont van een podzolachtige bodem. Indien correct zijn de podzol A- en E-horizonten dus geërodeerd en is de erosie gestopt ter hoogte van de door humus licht gecementeerde subbodem horizont. Onder deze Bh-horizont blijft de bodem een uniforme roodbruine kleur behouden tot aan het einde van de boring. Het zou een restant kunnen zijn van een heel oude goed gedraineerde bodem.

#### *5.4.2.3. Lithologische beschrijving en interpretatie van boring 387*

Een gedetailleerd overzicht van de lithologische beschrijving van boring 387 is opgenomen in figuur 39 en tabel 8. De boring bleek uitgevoerd te zijn in een oude, relatief droge gracht. die over een langere periode werd opgevuld. Onder de huidige ploeglaag bevindt zich een colluviale opvullingslaag met daaronder een aantal lagen, stabilisatiehorizonten, kenmerkend door een zeer trage opvulling in de gracht. Af en toe werd er materiaal bijgevoegd maar gewoonlijk kon de vegetatie steeds overleven. Enkele keren is er meer materiaal bijgekomen, dit is herkenbaar aan de lichtere kleuren. De gracht gaat tot 110 centimeter onder het maaiveld. De volgende 140 centimeter bestaat uit zandig moedermateriaal dat gesedimenteerd is over meerdere keren. Bij elke nieuwe sedimenttoevoer is er een lithologische discontinuïteit en aan deze grenzen wordt er migrerend humus tegengehouden. Hierdoor werden enkele dunne humusaccumulatiebanden ontwikkeld.

Op 250-254 centimeter diepte is er een stabilisatielaag die weinig sporen heeft achtergelaten in de onderliggende horizont. Uit deze laag werd een pollenmonster genomen. Er is dus sprake van een kortstondige stabilisatie met vegetatiegroei. Verder zijn er geen duidelijke stabilisatiehorizonten, maar vanaf 392 centimeter diepte is er wel een mogelijke bruin gekleurde B-horizont die vergelijkbaar is met deze waargenomen vanaf 376 centimeter diepte bij boring 249. Dit zou mogelijk de restant kunnen zijn van een oude paleobodem.

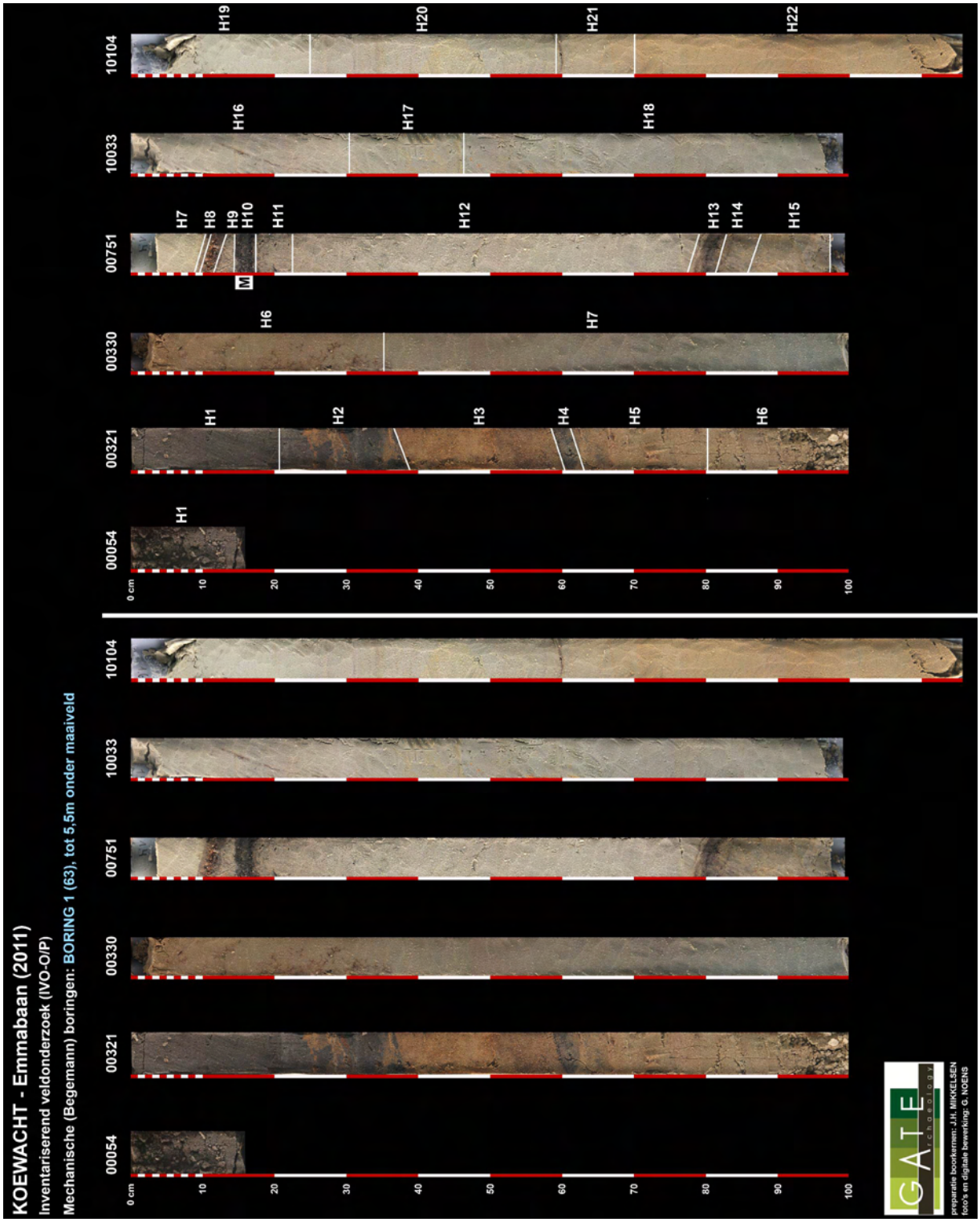


**Figuur 37** Opname van de bodemopbouw zoals geobserveerd in de eerste mechanische boring. Voor een toelichting hiervan wordt verwezen naar tabel 6.

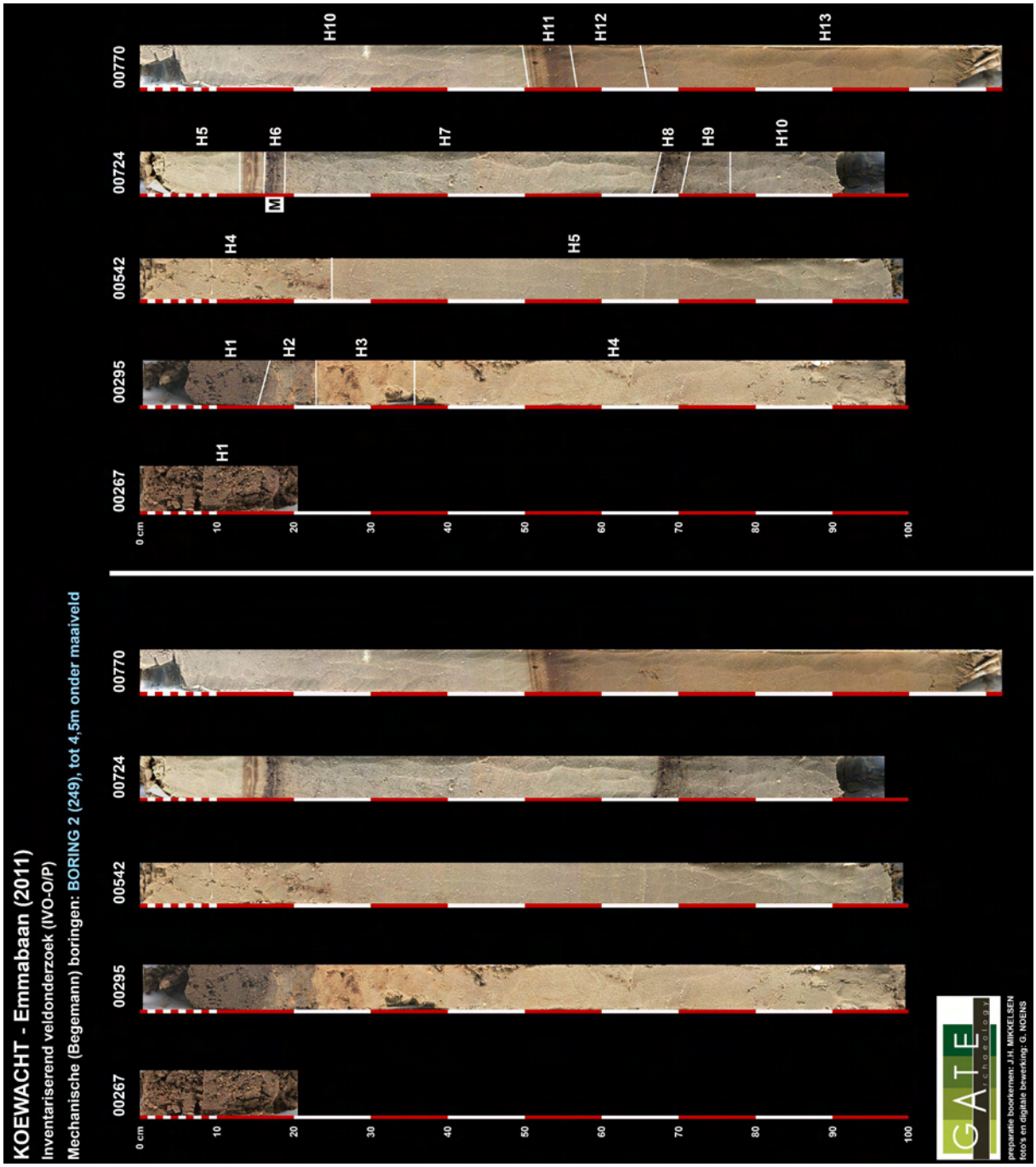


**Figuur 38** Opname van de bodemopbouw zoals geobserveerd in de tweede mechanische boring. Voor een toelichting hiervan wordt verwezen naar tabel 7.

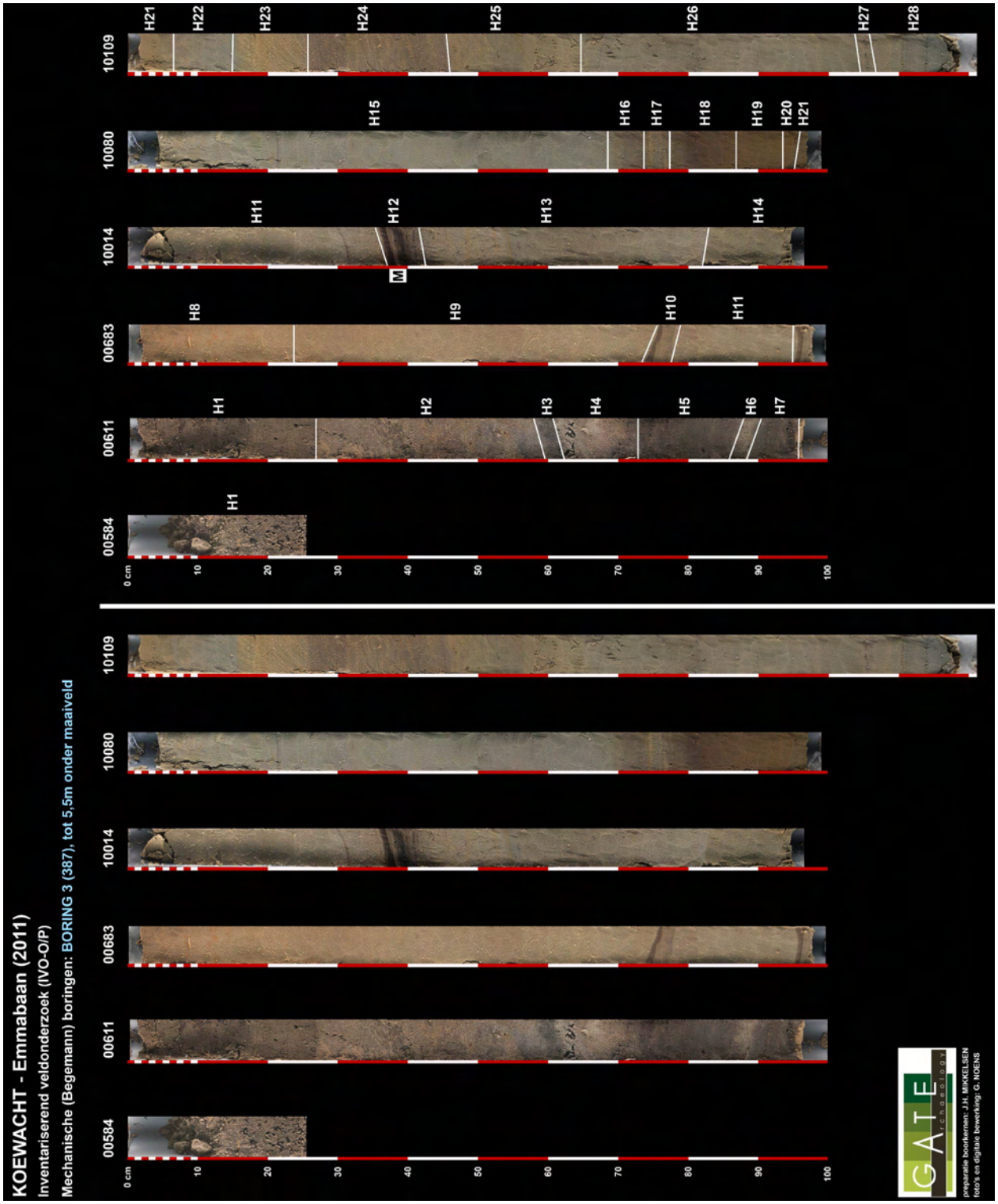


**Figuur 39** Opname van de bodemopbouw zoals geobserveerd in de derde mechanische boring. Voor een toelichting hiervan wordt verwezen naar tabel 8.

| Nr. boorkop | Diepte in boring (cm) | diepte in boorkop | Horizont nr. | Horizont symbool | Omschrijving bodemhorizont | Kleur | Kleurcode | Humus | Opmerkingen |
|---|---|---|---|---|---|---|---|---|---|
| **00054** | 0-16 | 0-16 | 1 | Ap1 | ploeglaag | grijsbruin | | matig veel | |
| **00321** | 16-36 | 0-20 | 1 | Ap1 | ploeglaag | grijsbruin | | matig veel | zeer scherpe ondergrens; vervolg op Ap1 uit boorstaal 00054 |
| | 36-52 | 20-36 | 2 | Ap2 | Eenmalig dieper geploegd | heterogeen | | matig veel | menging van Ap en B horizont materiaal; zeer scherpe grens |
| | 52-74 | 36-58 | 3 | Bw | Kleur B-horizont | roodbruin | 10YR 4/4 | weinig | aangerijkt met ijzer en mogelijk met humus |
| | 74-77 | 58-61 | 4 | bA1 | stabilisatielaag | bruingrijs | 10YR 3,5/2 | matig | Kortstondig stabilisatie met vegetatiegroei; zand fijner dan er bovenop |
| | 77-94 | 61-78 | 5 | CB(w) | zwak gekleurde B-horizont | bruinbeige | 1,5Y 6/4 | zeer weinig | zwak bruin; sporen van wortels |
| | 94-115 | 78-99 | 6 | C1 | moedermateriaal | beige-lichtgrijs | 1,5Y 7/4 | praktisch geen | sporen van wortels |
| | 115-116 | 99-100 | | X | geen staal | | | | |
| **00330** | 116-153 | 0-37 | 6 | C1 | moedermateriaal | licht grijs | | praktisch geen | vervolg op C1 uit boorstaal 00321 |
| | 153-216 | 37-100 | 7 | C2 | moedermateriaal | licht grijs tot grijs | 2,5Y 7/4 | geen | ijzer uitgeloogd; stratificatie beter zichtbaar met de diepte |
| **00751** | 216-220 | 0-4 | | X | geen staal | | | | |
| | 220-225 | 4-9 | 7 | C2 | moedermateriaal | beigewit | | geen | vervolg op C2 uit boorstaal 00330 |
| | 225 | 9 | 7 | Ch | humusmigratieband | bruin-lichtgrijs | | weinig | klei- en humusmigratie stopt boven op organische laag |
| | 225-227 | 9-10 | 8 | O | dunne strooisellaag | bruingrijs | | veel | fabric organisch materiaal |
| | 227-230 | 11-14 | 9 | C3 | dunne deflatie-accumulatielaag | | | praktisch geen | sporen van wortels |
| | **230-233** | **14-17** | **10** | **bA2** | **stabilisatielaag** | **donker grijsbruin** | **10YR 2/1** | **veel** | **Kortstondige stabilisatie met vegetatiegroei** |
| | 233-237 | 17-21 | 11 | CB | Zeer zwak gekleurde B-horizont | licht beige | | weinig | sporen van wortels |
| | 237-294 | 21-78 | 12 | C4 | moedermateriaal | wit | 2,5Y 7/2 | geen | enkele stratificatiebanden |
| | 294-297 | 78-81 | 13 | bA3 | stabilisatielaag | bruin | 10YR 3/2 | matig | kortstondige stabilisatiehorizont met vegetatiegroei; minder zandig dan er bovenop |
| | 297-303 | 81-87 | 14 | CB | Zeer zwak gekleurde B-horizont | licht grijs | | weinig | sporen van wortels; zwak gekleurd door humus |
| | 303-316 | 87-100 | 15 | C5 | moedermateriaal | geel lichtgrijs | 2,5Y 6/3 | geen | |
| **10033** | 316-347 | 0-31 | 16 | C6 | moedermateriaal | lichtgrijs | 2,5Y 7/2 | geen | stratificatie |
| | 347-362 | 31-46 | 17 | C7 | moedermateriaal | licht bruingrijs | 2,5Y 6/3 | geen | aan de onderkant een kleiband |
| | 362-413 | 46-97 | 18 | C8 | moedermateriaal | grijs | 5Y 5/2,5 | geen | stratificatie |
| | 413-416 | 97-100 | | X | geen materiaal | | | | |
| **10104** | 416-422 | 0-6 | | X | geen materiaal | | | | |
| | 422-440 | 6-24 | 19 | C9 | moedermateriaal | wit | 5Y 5/2 | geen | meer kleiig |
| | 440-476 | 24-60 | 20 | C10 | moedermateriaal | zeer licht grijs | 5Y 6/2 | geen | stratificatie |
| | 476-486 | 60-70 | 21 | C11 | moedermateriaal | geelgrijs | 5Y 5/3 | geen | |
| | 486-531 | 70-115 | 22 | C12 | moedermateriaal | beige | 2,5Y 5/4 | geen | stratificatie |

**Tabel 6** Lithologische beschrijving mechanische boring 063. De locatie van het pollenmonster is gemarkeerd in grijs.

| Nr. boorkop | Diepte in boring (cm) | diepte in boorkop | Horizont nr. | Horizont symbool | Omschrijving bodemhorizont | Kleur | Kleurcode | Humus | Opmerkingen |
|---|---|---|---|---|---|---|---|---|---|
| **00267** | 0-21 | 0-21 | 1 | Ap1 | ploeglaag | bruin | | matig veel | |
| **00295** | 21-27 | 0-6 | | X | geen staal | | | | |
| | 27-38 | 6-17 | 1 | Ap1 | ploeglaag | bruin | | matig veel | scherpe ondergrens; vervolg op Ap uit boorstaal 00267 |
| | 38-43 | 17-22 | 2 | Ap2 | eenmalig diepere bodembewerking | grijsbruin | | matig | dieper geploegd of gespit, of beddenbouw? Scherpe ondergrens |
| | 43-55 | 22-34 | 3 | B(w)1 | zwak gekleurde B-horizont | bruinbeige | 10YR 5/4 | weinig | |
| | 55-119 | 34-98 | 4 | C1 | moedermateriaal | beigewit | 10YR 7/4 | praktisch geen | geen stratificatie, enkele wortels |
| | 119-121 | 98-100 | | X | geen staal | | | | |
| **00542** | 121-123 | 0-2 | | X | geen staal | | | | |
| | 123-146 | 2-25 | 4 | C1 | moedermateriaal | beige | 1,5Y 7/4 | praktisch geen | vervolg op C1 uit boorstaal 00295 |
| | 146-219 | 25-98 | 5 | C2 | moedermateriaal | beigegrijs | 2,5Y 7/4 | geen | iets grijzer, met zeer zwak zichtbare stratificatie |
| | 219-221 | 98-100 | | X | geen staal | | | | |
| **00724** | 221-224 | 0-3 | | X | geen staal | | | | |
| | 224-235 | 3-14 | 5 | C2 | moedermateriaal | beigegrijs | 2,5Y 7/3 | geen | zwakke stratificatie; vervolg op C2 uit boorstaal 00542 |
| | 235-238 | 14-17 | 5 | Ch | humusmigratie banden | bruin | | matig | meerdere zeer dunne bandjes |
| | **238-240** | **17-19** | **6** | **bA1** | **stabilisatielaag** | **donker grijsbruin** | **10YR 2/2** | **matig veel** | **kortstondige stabilisatie met vegetatiegroei** |
| | 240-288 | 19-67 | 7 | C3 | moedermateriaal | grijs | 5Y 6/2 | praktisch geen | stratificatie; wortelresten |
| | 288-291 | 67-70 | 8 | bA2 | stabilisatielaag | bruin | | matig veel | kortstondige stablisatie met vegetatiegroei |
| | 291-297 | 70-76 | 9 | CB1 | zwak gekleurde B-horizont | grijs | | zeer weinig | sporen wortels |
| | 297-311 | 76-90 | 10 | C4 | moedermateriaal | witgrijs | 3,5Y 6/2 | geen | gestratificeerd, sporen van wortels |
| | 311-321 | 90-100 | | X | geen staal | | | | |
| **00770** | 321-325 | 0-4 | | X | geen staal | | | | |
| | 325-372 | 4-51 | 10 | C4 | moedermateriaal | grijswit | 3,5Y 6/2 | geen | vervolg op C4 uit boorstaal 00724; uitgesproken stratificatie, zeer weinig wortels |
| | 372-374 | 51-53 | 10 | Ch | humusbantjes | licht bruin, bruin | | matig | tweede bandje lokaal gecementeerd |
| | 374-377 | 53-56 | 11 | bA3 | onderkant stabilisatiehorizont | bruin | | matig | bovenste deel van stabilisatiehorizont geërodeerd |
| | 376-386 | 56-65 | 12 | Bw2 | Zeer zwak gekleurde B-horizont | licht bruin | 10YR 3/4 | praktisch geen | bruine kleur neemt af met de diepte |
| | 386-439 | 65-118 | 13 | C5 | moedermateriaal | roodbruin | 1,5Y 5/4 | | matig zichtbare stratificatie |

**Tabel 7** Lithologische beschrijving mechanische boring 249. De locatie van het pollenmonster is gemarkeerd in grijs.

| Nr. boorkop | Diepte in boring (cm) | diepte in boorkop | Horizont nr. | Horizont symbool | Omschrijving bodemhorizont | Kleur | Kleurcode | Humus | Opmerkingen |
|---|---|---|---|---|---|---|---|---|---|
| **00584** | 0-14 | 0-14 | 1 | Ap | ploeglaag | bruin | | matig veel | bijmenging van humusfragmenten |
| **00611** | 14-16 | 0-2 | | X | geen staal | | | | |
| | 16-41 | 2-27 | 1 | Ap | ploeglaag | bruin | | matig veel | vervolg op Ap uit boorstaal 00584; zeer scherpe ondergrens |
| | 41-74 | 27-60 | 2 | C1 | Grachtvulling | licht beigegrijs | | zeer weinig | lijkt op colluvium |
| | 74-76 | 60-62 | 3 | bA1 | stabilisatielaag | bruingrijs | | matig | stabilisatie in gracht |
| | 76-87 | 62-73 | 4 | C2 | Grachtvulling | licht bruingrijs | | praktisch geen | vermoedelijk eolisch zand geaccumuleerd in de gracht |
| | 87-100 | 73-86 | 5 | bA2 | stabilisatiehorizont | grijsbruin | | matig veel | Gevormd aan de bodem van een natte gracht, aangerijkt met klei en humus |
| | 100-103 | 86-89 | 6 | C3 | Grachtvulling | licht grijs | | zeer weinig | kortstondige (één enkele storm?) input eolisch zand |
| | 103-109 | 89-95 | 7 | bA3 | stabilisatiehorizont | grijsbruin | | matig veen | identiek met bA2 |
| | 109-110 | 95-96 | 8 | C4 | moedermateriaal | beige | | praktisch geen | beige zand met zwak ontwikkelde oranjebruine oxidoreductie vlekken |
| | 110-114 | 97-100 | | X | geen staal | | | | |
| **00683** | 114-116 | 0-2 | | X | geen staal | | | | |
| | 116-138 | 2-24 | 8 | C4 | moedermateriaal | beige | 10YR 5,5/4 | praktisch geen | vervolg op C4 uit boorstaal 00611; geleidelijke overgang naar onderliggende horizont |
| | 138-188 | 24-74 | 9 | C5 | Moedermateriaal | licht beigegrijs | 1,5Y 6/3 | geen | zeer homogeen, geen klei |
| | 188-191 | 74-77 | 9 | Ch1 | humus migratieband | bruin | 10YR 3/4 & 10YR 4/3 | matig | zwak onregelmatig |
| | 191-209 | 77-95 | 10 | C6 | moedermateriaal | licht beigegrijs | 2,5Y 6/3 | geen | |
| | 209-211 | 95-97 | 10 | Ch2 | Dubbele humusmigratie band | bruin | | matig | zoals vorige, met bovenaan donkerbruine kleur (10YR 3/4) en onderaan bruingrijs (10YR 4/3) |
| | 211-212 | 97-98 | 11 | C7 | moedermateriaal | licht beige | | geen | |
| | 212-214 | 98-100 | | X | geen staal | | | | |
| **10014** | 214-218 | 0-4 | | X | geen staal | | | | |
| | 218-250 | 4-36 | 11 | C7 | moedermateriaal | licht grijs | 2,5Y 6/2,5 | geen | vervolg op C7 uit boorstaal 00683; zwakke stratificatie; enkele humusmigratieband |
| | **250-254** | **36-40** | **12** | **bA4** | **Stabilisatielaag** | **donkerbruin** | **10YR 3/1** | **matig veel** | **duinbodem? met AC profielontwikkeling; kortstondinge stabilisatie met vegetatiegroei** |
| | 254-296 | 40-82 | 13 | C8 | moedermateriaal | licht beigegrijs | 2,5Y 6/2 | praktisch geen | sedimentatie; bovenste 15cm zwak ontwikkelde ijzermigratiebanden |
| | 296-308 | 82-94 | 14 | C9 | moedermateriaal | groengrijs | 2,5Y 6/3 | geen | gestratificeerd zand; geen wortels |
| | 208-309 | 94-95 | 14 | Bt | kleiband | grijs | | geen | in situ; waterdepositie of migratie? |
| | 309-314 | 95-100 | | X | geen staal | | | | |

→ Zie volgende pagina (deel 2/2) voor het vervolg van de tabel

**Tabel 8** Lithologische beschrijving mechanische boring 387 (deel 1/2). De locatie van het pollenmonster is gemarkeerd in grijs.

| Nr. boorkop | Diepte in boring (cm) | diepte in boorkop | Horizont nr. | Horizont symbool | Omschrijving bodemhorizont | Kleur | Kleurcode | Humus | Opmerkingen |
|---|---|---|---|---|---|---|---|---|---|
| **10080** | 314-318 | 0-4 | | X | geen staal | | | | |
| | 318-383 | 4-69 | 15 | C10 | moedermateriaal | licht grijs | 5Y 6/2 | geen | gestratificeerd zand met een 2mm dunne humusband |
| | 383-388 | 69-74 | 16 | C11 | moedermateriaal | licht bruingrijs | 2,5Y 4/4 | praktisch geen | zwakke verkleuring van moedermateriaal |
| | 388-392 | 74-78 | 17 | C12 | moedermateriaal | geelgrijs | 2,5Y 6/3 | praktisch geen | gestratificeerd grof zand met humus |
| | 392-400 | 78-86 | 18 | bB1 | gekleurde B-horizont | bruin | 1,5Y 3/4 | weinig | mogelijk restant van gedeeltelijk geërodeerde bodem |
| | 400-407 | 86-93 | 19 | bB2 | zwak gekleurde B-horizont | beigebruin | 1,5Y 5/4 | zeer weinig | bruin |
| | 407-408 | 93-94 | 20 | C13 | moedermateriaal | beigebruin | | praktisch geen | geelbruin zandbandje bestaand uit grof zand |
| | 408-411 | 94-97 | 21 | C14 | moedermateriaal | grijsbruin | | geen | grijsbruin |
| | 411-414 | 97-100 | | X | geen staal | | | | |
| **10109** | 414-416 | 0-2 | | X | geen staal | | | | |
| | 416-421 | 2-7 | 21 | C14 | moedermateriaal | grijsbruin | | geen | vervolg op C14 uit boorstaal 10080 |
| | 421-430 | 7-16 | 22 | C15 | moedermateriaal | grijs | 5Y 5/2,5 | geen | fijn zand |
| | 430-440 | 16-26 | 23 | C16 | moedermateriaal | beigegeel | | geen | zand grover |
| | 440-460 | 26-46 | 24 | C17 | moedermateriaal | beigebruin | 2,5Y 4,5/3 | geen | stratificatie; zand grover |
| | 460-477 | 46-63 | 25 | C18 | moedermateriaal | lichtbruingrijs | | geen | zand fijner |
| | 477-520 | 63-106 | 26 | C19 | moedermateriaal | grijs | | geen | |
| | 520-521 | 106-107 | 27 | C20 | kleibandje | grijs | | geen | |
| | 521-533 | 107-119 | 28 | C21 | moedermateriaal | grijs | | geen | stratificatie |

**Tabel 8** Lithologische beschrijving mechanische boring 387 (deel 2/2).

### *5.4.2.4. Conclusies*

De drie boringen vertonen in grote lijnen hetzelfde verhaal. Ze liggen allemaal op een akker die één of enkele keren dieper is geploegd dan de gebruikelijke 30 centimeter. Door colluviale erosie en sedimentatie werden de gronden tenminste gedeeltelijk genivelleerd. Aangezien het bodemlandschap origineel gedomineerd werd door podzolen, kan de diepte van verstoring aan de hand van de restanten van de onverstoorde bodem geschat worden op minstens 50 tot 70 centimeter. Dit impliceert ondermeer dat enkel zeer diepe archeologische sporen nog *in situ* bewaard zijn.

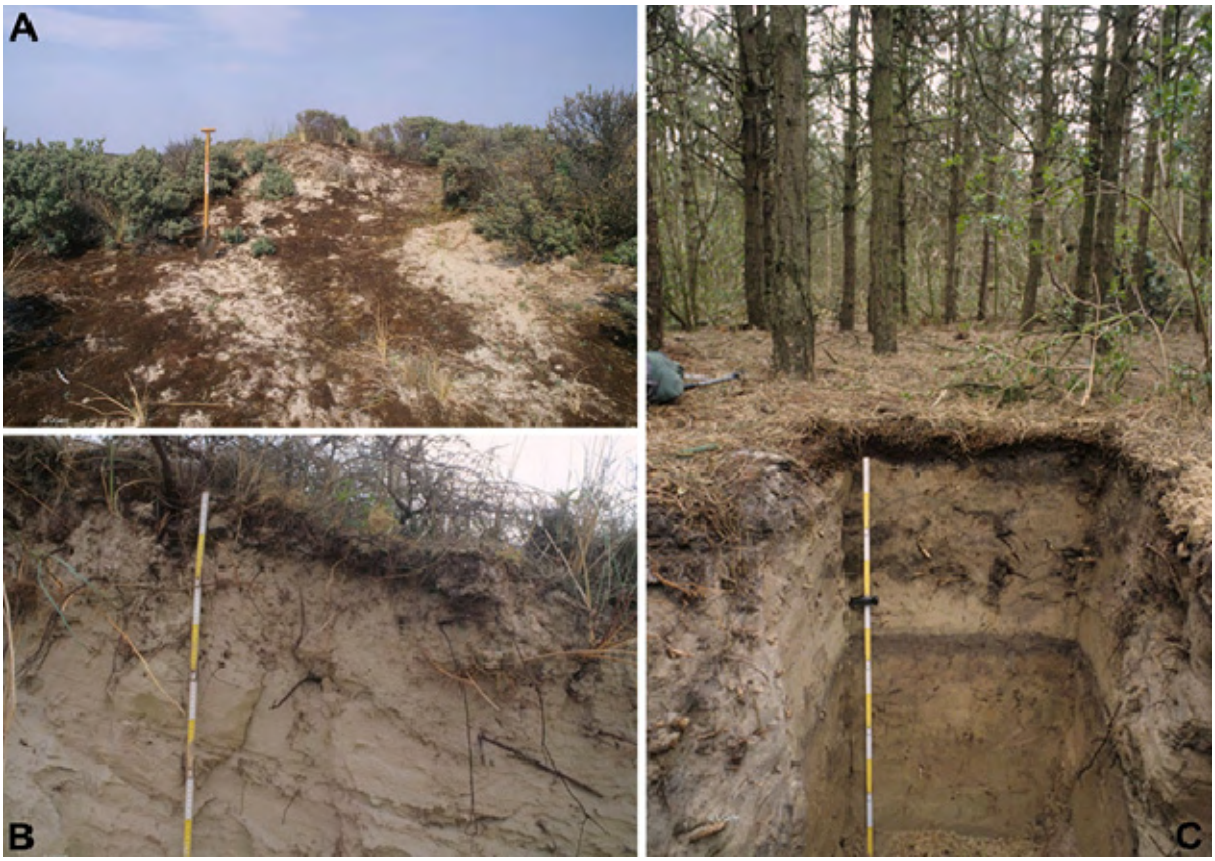


**Figuur 40** Voorbeelden van referentieprofielen voor duinbodems (opnames © R. Langohr, UGent). Opname A is een voorbeeld van een duinlandschap met een droge zandige bodem die kwetsbaar is voor winderosie. Opname B is een voorbeeld van een duinbodem met een humusrijke A-horizont en onderaan een bodem die amper verkleurd is door humusaanrijking; er is sprake van een zeer jonge bodem, gekenmerkt door een A-C profielopbouw zoals dit te Koewacht werd aangetroffen in de drie diepe boringen op verschillende dieptes. Opname C is een voorbeeld van een zandige bodem in een fossiel duinlandschap; de huidige bodem is ontwikkeld in eolisch zand (0-50 cm) en is minstens even oud als de bomen; onderaan is er een begraven bodem (50-110 cm). In de besproken diepe boringen is er eveneens sprake van polysequentie van eolisch sediment met tussenin de ontwikkeling van stabilisatiehorizonten en bodemontwikkeling.

De oude gracht ter hoogte van boring 387 is opgevuld over een langere periode. Deze gracht heeft eerst een periode met vegetatiegroei gekend. De scherpe grens tussen de gracht en de onderliggende horizont wijst op ofwel natuurlijke erosie, ofwel het uitgraven van het bodemmateriaal.

Dieper dan de grachthorizonten vinden we een hele reeks zandige lagen met verschillende kleuren en licht variërende korrelgroottemediaan. Op verschillende dieptes vinden we zeer dunne stabilisatiehorizonten (twee tot vier centimeter), met duidelijke verkleuring door hu-

musaccumulatie. In de onderliggende sedimenten is de verkleuring soms nauwelijks zichtbaar. Het betreft telkens periodes waarin deze duinbodems een rustiger periode kenden. Kenmerkend voor duinbodems is de bijzonder korte afstand tussen bodems met vegetatie en stabilisatie en bodems met erosie en verlies van sporen van bodemontwikkeling (figuur 40). Het heeft dan ook weinig zin om de stabilisatielagen tussen de boringen met elkaar te correleren zuiver aan de hand van bodemmorfologische kenmerken. Een dergelijke correlatie is wel mogelijk voor de bruine B-horizont gevonden bij boring 249 en 387 op respectievelijk 376 en 392 centimeter diepte. Dit betreft dieper ontwikkelde bodems die wijzen op een langere periode van stabiliteit. De diepste horizont bij boring 063 (H22, C12, tussen 486 en 531 centimeter) zou misschien een dieper restant kunnen zijn van deze mogelijke paleobodem. Het dient wel genoteerd te worden dat het waarderende palynologische onderzoek uitgevoerd op de best bewaarde organische laag bij elk van de drie boringen een pollensamenstelling aantoont die wijst op een laatglaciale of vroegholocene leeftijd (*cf.* paragraaf 5.4.3.). Indien dit klopt is het zeer de vraag hoe een goed ontwikkelde bodem zich heeft kunnen ontwikkelen op een positie enkele meter dieper dan deze pollenlagen. Mogelijk gaat het om een interglaciale paleobodem, maar dit is zonder verder onderzoek enkel en alleen een suggestie.

### 5.4.3. Waardering van de pollenstalen uit de mechanische boringen[16]

#### *5.4.3.1. Inleiding*

Het doel van het waarderende pollenonderzoek is een paleoecologische waardering ('scan') van veen- of organische lagen aangetroffen in de Begemann-boringen aan de hand van drie pollenstalen, met het oog op een eventuele verdere paleoecologische analyse van deze bodemlagen.

#### *5.4.3.2. Methoden*

Voor de pollenstalen is een volume van ongeveer 3-4 $cm^3$ gebruikt. De pollenstalen zijn volgens de standaard methoden van Fægri & Iversen door het Laboratorium Sedimentanalyse op de Vrije Universiteit Amsterdam opgewerkt (Fægri *et al.* 1989). Het pollen is gedetermineerd met behulp van de standaarddeterminatie werken van Moore *et al.* (1991), Beug (2004) en de Northwest European Pollen Flora, vol. I-VIII (Punt 1976; Punt & Blackmore 1991; Punt & Clarke 1980, 1981, 1984; Punt *et al.* 1988, 1995). De naamgeving van de plantensoorten is op deze determinatiewerken gebaseerd. Van alle stalen kan op basis van deze scan een indicatie gegeven worden van de (maximale) ouderdom. De exacte ouderdom van deze stalen zou met een kwantitatieve analyse mogelijk nader genuanceerd kunnen worden. De inhoud van de stalen en de geschatte ouderdom is in tabel 9 weergegeven.

#### *5.4.3.3. Resultaten*

De conservering en de concentratie van de pollen en sporen is in alle drie de stalen goed. Alle drie de stalen zijn geschikt voor een eventuele kwantitatieve analyse. Bij een kwantitatieve analyse wordt het preparaat geteld en op basis van een pollensom (van ca. 300 pollen en sporen van bomen, struiken en droge kruiden) de onderlinge verhoudingen tussen de verschillende pollentypen berekend.

De stalen uit de veen- of organische lagen bevatten pollen van bomen en struiken als berk (*Betula*), wilg (*Salix*), jeneverbes (*Juniperus*), duindoorn (*Hippophae rhamnoides*) en den

(*Pinus sylvestris*). Ook is pollen van kruiden aanwezig, voorbeelden hiervan zijn bijvoet (*Artemisia*), ruit (*Thalictrum*) en ganzevoetachtigen (*Chenopodiaceae*).

| Diepte monster | volume (cm3) | locatie monster | lithologie | inhoud pollen-stalen | geschatte ouderdom op basis van polleninhoud | analyse | conservering | concentratie | houtskool | Schimmel sporen, NPP | Brand indicatoren |
|---|---|---|---|---|---|---|---|---|---|---|---|
| 15-16 | 3-4 | Boring 063 (boorkop 00752) | humeuze, zandige klei | Betula +++<br>Salix<br>Juniperus<br>Pinus +<br>Artemisia ++<br>Anthemis type<br>Thalictrum<br>Filipendula<br>Galium type<br>Peucedanum palustre type<br>Poaceae ++<br>Cyperaceae ++++ | (einde ) berken fase Allerød | J | G | G/R | x | Sordaria type, T. 126 +, T.128 | verkoold Cyperaceae epidermis |
| 17-18 | 3-4 | Boring 249 (boorkop 00724) | humeuze, zandige klei | Betula +++<br>Salix<br>Juniperus<br>Hippophae<br>Pinus +<br>Artemisia ++<br>Chenopodiaceae<br>Ophioglussum vulgatum<br>Filipendula<br>Galium type<br>Poaceae +<br>Cyperaceae ++++<br>Equisetum + | (einde ) berken fase Allerød | J | G | G | x | Podospora en Sordaria type +, T. 126 +, T.128 | |
| 38.5-40 | 3-4 | Boring 387 (boorkop 10014) | venige, zandige klei | Betula +<br>Salix +<br>Juniperus<br>Pinus<br>Artemisia +<br>Thalictrum<br>Radiola linoides<br>Ophioglussum vulgatum<br>Phragmites<br>Poaceae ++<br>Cyperaceae ++++<br>Potentilla type<br>Equisetum +<br>Potamogeton<br>Botryococcus | einde Oude Dryas of Bølling | J | G | G | x | Podospora type +, T. 126 +, T.128 | verkoold Cyperaceae epidermis |

**Tabel 9** Overzicht van de waarderingsresultaten van de pollenstalen uit de paleobodems aangepast naar J.A.A. Bos).

Verklaring tekens: + meer dan eenmaal aanwezig, ++ talrijk aanwezig , +++ zeer talrijk aanwezig, ++++ dominant aanwezig. De stalen die geschikt zijn voor analyse zijn met een J (=ja) aangegeven.

De onderlinge verhoudingen van bovengenoemde pollentypen variëren in de drie stalen en op basis hiervan kan er iets over de ouderdom van de stalen gezegd worden. In de pollenstalen is pollen aanwezig van planten die in combinatie met elkaar typisch zijn voor het laatglaciaal. De pollenstalen uit boringen 063 en 249 bevatten veel pollen van berk, maar ook is pollen van den, bijvoet en in mindere mate van jeneverbes en wilg aanwezig. De onderlinge verhoudingen van de taxa suggereert dat beide stalen mogelijk dateren in de berkenfase van het Allerød (zone 2a *sensu* Hoek 1997a, 1997b). Het feit dat dennenpollen aanwezig is, zou zelfs kunnen suggereren dat hier mogelijk het einde van deze fase weerspiegeld is. Het pollenstaal uit boring 387 bevat minder pollen van berk en in verhouding meer pollen van wilg en jeneverbes. Dennenpollen is bij de scan niet aangetroffen. Dit geeft aan dat deze staal mogelijk dateert in de Oude Dryas (zone 1c *sensu* Hoek 1997a, 1997b) of Bølling (zone 1a/b *sensu* Hoek 1997a, 1997b). Over het algemeen kent jeneverbes pollen zeer hoge waarden in de Oude Dryas in dit gebied. Deze hoge waarden zijn in deze staal niet aangetroffen. Dit zou aan kunnen geven dat de ouderdom meer richting Bølling of einde Oude Dryas gezocht moet worden. Met een analyse kan de ouderdom van dit pollenstaal nog verder bepaald worden.

Een leuke vondst in de pollenstaal van boring 387 is de aanwezigheid van pollen van dwergvlas (*Radiola linoides*). Deze soort komt voor op open, vochtige zandgrond in lage duingraslanden en is vandaag de dag vrijwel verdwenen uit het Nederlandse landschap. In zuidwest Nederland is de soort zeer zeldzaam en het betreft hier dus mogelijk een relict uit het laatglaciaal.

In alle drie de stalen domineert pollen van zeggen (*Cyperaceae*). Ook is pollen van grassen (*Poaceae*) waaronder riet (*Phragmites*), paardenstaart (*Equisetum*), moerasspirea (*Filipendula*) en addertong (*Ophioglossum vulgatum*) aanwezig. Dit zijn taxa die lokaal in een depressie voorkwamen waar de veen- of organische laag zich gevormd heeft. Deze lagen hebben zich vermoedelijk dan ook in een ondiep zeggen/rietveenmoeras gevormd.

Alle stalen bevatten kleine hoeveelheden fragmentarisch houtskool en in sommige gevallen was het epidermis van zeggen (*Cyperaceae*) in te herkennen. Dit geeft aan dat er in de periode die de stalen weerspiegelen regelmatig brand voorkwam in de zeggenmoerassen. De aanwezigheid van houtskool in de stalen kan met menselijke activiteit samen hangen, maar ook natuurlijke oorzaken (natuurlijke brand) hebben.

Naast pollen en sporen zijn er in de pollenstalen ook non-pollen palynomorfen (NPP) als algen, schimmelsporen en andere botanische en dierlijke microfossielen aangetroffen (Pals *et al.* 1980; van Geel 1976, 2001; van Geel & Aptroot 2006; van Geel *et al.* 2003). In de drie stalen zijn bijvoorbeeld algen als *Botryococcus braunii* en T.128 aanwezig. Eveneens zijn taxa aangetroffen die een gastheer nodig hebben om op te parasiteren. *Gaeumannomyces* (T.126) is een schimmel die op *Carex* (zegge) parasiteert. De vondst van deze schimmel geeft aan dat *Carex* in het lokale milieu voorkomt, hetgeen door de grote hoeveelheden pollen van zeggen bevestigd wordt. De aanwezigheid van *Gaeumannomyces* vormt dus extra indicatie dat *Cyperaceae* (zeggen) lokaal aanwezig zijn. Schimmelsporen van mestschimmels (zoals de hier gevonden *Sordaria* type en *Podospora* type) kunnen aanvullende informatie geven met betrekking tot de aanwezigheid van mest van grote herbivoren zoals wild. Er zijn slechts enkele mestschimmels die soortspecifiek zijn. Een voorbeeld hiervan is het hier gevonden *Bombardioidea* type, wat vaak geassocieerd wordt met de aanwezigheid van elandenpoep (Bos *et al.* 2005: 41, Plate 41). De meeste mestschimmels komen echter op mest van verschillende grote herbivoren voor. Vondsten van mestschimmels in de gewaardeerde stalen geven dus aan dat grote herbivoren in het gebied aanwezig waren. Dergelijke mestschimmels werden even-

eens aangetroffen in gelijkaardige sequenties op de dekzandrug te Rieme, in Vlaanderen (Bos & Verbruggen 2011: 12).

#### *5.4.3.4. Conclusies en advies*

Deze eerste waardering heeft aangetoond dat de kwaliteit van de drie gewaardeerde pollenstalen goed is. Alle drie de stalen zijn geschikt voor verdere analyse. De stalen dateren allen in het laatglaciaal. Het pollenstaal uit boring 387 dateert in de Oude Dryas (zone 1c *sensu* Hoek 1997a, 1997b; GI-1d, Lowe *et al.* 2001) of Bølling (zone 1a/b *sensu* Hoek 1997a, 1997b; GI-1$^{e}$, Lowe *et al.* 2001) en de twee pollenstalen uit boringen 063 en 249 dateren in de berkenfase van het Allerød (zone 2a *sensu* Hoek 1997a, 1997b; GI-1c, Lowe *et al.* 2001).

Verdere gedetailleerde analyse van de onderlinge verhoudingen van de verschillende pollentypen en 14C-onderzoek zijn nodig om deze voorlopige datering verder te kunnen bevestigen/preciseren. Aangezien dit slechts de tweede ontsluiting is van laatglaciale bodems op de dekzandrug die voor dit doel bemonsterd werd, adviseren wij om deze sequenties aan een gedetailleerd pollenonderzoek te onderwerpen. Hiermee zou immers een goed beeld geschetst kunnen worden van het lokale milieu in de depressies zelf evenals van de vegetatie in het omliggende regionale landschap.

De in het PvE (Crombé 2011: 6, 10) herhaaldelijk geformuleerde noodzaak voor uitgebreide en gerichte paleoecologische en radiometrische studies van afgedekte paleosols wordt door de nieuw verkregen gegevens andermaal bevestigd. Dergelijke studies zullen in de eerste plaats toelaten de lokale paleolandschappelijke en klimatologische ontwikkeling te reconstrueren. Samen met een aantal recente, grootschalige studies in de directe omgeving van de onderzoekslocatie (*i.e.* Bats *et al.* 2009, 2010, 2011; Bos & Verbruggen 2011; Meylemans *et al.* 2011) zullen ze tevens een belangrijke bijdrage kunnen leveren aan een beter begrip van de complexe regionale ontwikkeling van het landschap en het klimaat tijdens het laatglaciaal en vroegholoceen. Dergelijke data vormen een noodzakelijk basiskader voor een beter begrip van het beperkte aantal reeds gekende, maar ook talrijk te verwachten, prehistorische vindplaatsen uit deze perioden die geassocieerd zijn met deze paleosols (*i.e.* Verrebroek-Dok 2, Crombé 2005; Perdaen *et al.* 2004).

Vooralsnog zijn echter te weinig directe gegevens voorhanden omtrent de precieze datering van deze paleosol(s) te Koewacht-Emmabaan, en daarmee van eventueel ermee geassocieerde vroegprehistorische vindplaatsen. Een dergelijk onderzoek past binnen een aantal van de onderzoeksvragen, -thema's en aandachtsgebieden die specifiek van belang zijn voor het Zeeuwse bodemarchief, zoals geformuleerd in de POAZ 2009-2012. Met name de eerste en derde kernthema's en zwaartepunten - het verkrijgen van basale, harde gegevens en het onderzoek van diepere bodemontsluitingen - hebben in dit verband een directe relevantie.

## 5.5. Synthese

Het IVO-O/P heeft een reeks nieuwe inzichten aangeleverd omtrent de lokale bodemopbouw (tot maximaal 5,5 meter onder het maaiveld) en de aanwezigheid van archeologische vindplaatsen in het onderzoeksgebied (tot maximaal ca. 3 meter onder het maaiveld). Deze inzichten worden in deze synthese geconfronteerd met de observaties en interpretaties uit het voorgaande onderzoek en met het archeologische verwachtingskader. Hiermee wordt een antwoord geformuleerd op vraagstelling 8. Bovendien worden tezelfdertijd de antwoorden op de vraagstellingen 1 t.e.m. 7 , die hierboven reeds werden beantwoord, samengevat.

### 5.5.1. Nieuwe inzichten omtrent de lokale bodemopbouw (*vraagstelling 1*)

#### *5.5.1.1. De top van het bodemprofiel*

Tegen alle verwachtingen uit het voorgaande onderzoek in hebben de veelvuldige observaties van de bodemopbouw tijdens het IVO-O/P onmiskenbaar aangetoond dat de top van het dekzandprofiel over het hele onderzoeksgebied verstoord tot lokaal zelfs sterk verstoord is (figuur 41).

Deze (sterke) verstoring van de podzolbodem suggereert dat eventueel aanwezige archeologische waarden geassocieerd met de top van het dekzand grotendeels werden opgenomen in de ploeglaag. Het gaat met andere woorden om oppervlaktevindplaatsen. De kans op het aantreffen van gave en goed geconserveerde vindplaatsen uit de prehistorie bovenin het bodemprofiel is omwille van die reden bijzonder klein. Dit geldt voor het ganse onderzoeksgebied, zoals tevens wordt aangetoond door de verspreiding van alle vondsten uit de verschillende oppervlaktekarteringen (*cf.* figuur 43).

#### *5.5.1.2. De afgedekte paleosequentie*

Het manuele en mechanische booronderzoek naar de afgedekte paleosequentie kon de verwachte aanwezigheid van afgedekte paleobodems en stabilisatiehorizonten bevestigen. Er werd bovendien aangetoond dat deze paleosols zich over de ganse onderzoekslocatie uitstrekken, en dat ze gekenmerkt worden door een grote variabiliteit en complexiteit in hun opbouw, opeenvolging en diepteligging. Voorts werd bevestigd dat deze stabilisatiehorizonten zich plaatselijk op slechts geringe diepte bevinden, en omwille van die reden potentieel verstoord dreigen te worden door de geplande werkzaamheden.

De waarderende palynologische scan op drie pollenmonsters heeft in de eerste plaats het potentieel voor een verdere gedetailleerde, kwantitatieve paleoecologische studie van de paleosols te Koewacht aangetoond. Voorts konden een aantal voorzichtige uitspraken worden gedaan omtrent de genese en de ouderdom van de onderzochte lagen. De (vermoedelijke) laatglaciale ouderdom van de paleosols werd bevestigd, maar tevens werd de vermeende Allerød-ouderdom van de paleobodem gedeeltelijk weerlegd: slechts twee van de drie monsters worden in de berkenfase van het Allerød-interstadiaal geplaatst; het derde monster daarentegen wordt in de Oude Dryas of Bølling-interstadiaal gesitueerd. Het palynologische onderzoek suggereerde tevens het natte karakter (ondiep zeggen/rietveenmoeras) voor de vorming van de lagen waaruit de monsters werden bestudeerd.

Al deze bevindingen vormen een belangrijke ondersteuning voor de tijdens het manuele booronderzoek geobserveerde complexiteit van de bodemsequentie. Deze eerste resultaten zijn in overeenstemming met de voorlopige resultaten van verschillende geoarcheologische onderzoeksprojecten in de ruimere omgeving van Koewacht-Emmabaan.

(1) Het paleoecologische onderzoek van een gelijkaardige afgedekte paleosequentie in het nabijgelegen Heikant, een onderzoek dat momenteel volop in uitvoering is, heeft een overdekte zeggeveenafzetting uit het Alleröd-interstadiaal opgeleverd, die mogelijk lateraal overgaat in een paleobodem die op de hogere delen gevormd is (mondelinge mededeling W. Hoek).

**Figuur 41** Vergelijking van de intactheid van de top van het bodemprfiel zoals waargenomen (en geïnterpoleerd) in 2009 (Archeomedia) en in 2011 (GATE). Er is nauwelijks overeenstemming tussen beide observaties.

(2) Ook net over de staatsgrens, in het noorden van Zandig Vlaanderen wordt momenteel gedetailleerd interdisciplinair onderzoek verricht naar de regionale landschapsontwikkeling en milieureconstructie tijdens het laatglaciaal en vroegholoceen. Dit is onder meer het geval in Rieme-Noord, gelegen op de noordhelling van een ca. 100 kilometer lange en één tot drie kilometer brede O-W georiënteerde dekzandrug uit het Pleniglaciaal. Op deze locatie werden recent over een gebied van ca. 60 ha verschillende sterk organische tot venige horizonten in kaart gebracht op een diepte variërend tussen anderhalve en meer dan drie meter (Bos & Verbruggen 2011). Drie van deze locaties werden bemonsterd en onderworpen aan een gedetailleerd, interdisciplinair paleoecologisch onderzoek bestaande uit pollen- en macrorestenanalyses in combinatie met onderzoek aan dansmuggen (*Chironomidae*), sedimentologische analyses (*i.e.* organisch gehalte en kalk) en $^{14}$C-dateringen. Dit resulteerde in een gedetailleerde reconstructie van het lokale paleomilieu ter hoogte van Rieme gedurende het laatglaciaal.

(3) Ook de Universiteit Gent voert momenteel in hetzelfde gebied een grootschalig interdisciplinair onderzoek uit, voornamelijk aan de voet van de zuidkant van dezelfde dekzandrug waar zich tijdens het laatglaciaal een groot meer bevond ter hoogte van de Moervaartdepressie (Bats *et al.* 2009, 2010, 2011)[17]. Op verschillende locaties (*i.e.* Moerbeke-Heidebos, Moerbeke-Driehoek) werden hierbij afgedekte bodemsequenties uitgebreid bemonsterd en bestudeerd.

Een dergelijk paleoecologisch onderzoek van de paleosequentie te Koewacht kan, samen met de resultaten van deze recente paleoecologische onderzoeken, een belangrijke bijdrage leveren aan onze kennis omtrent de complexe en dynamische laatglaciale en vroegholocene landschaps- en milieuontwikkeling op een regionale schaal. Het uitgevoerde booronderzoek, de bodemkundige observaties en de waarderende palynologische studie te Koewacht vormen een eerste stap in onze kennis hieromtrent. Eerder werd ook reeds meermaals gewezen op het grote archeologische en wetenschappelijke belang dat zowel in de *NOaA* als in de *POAZ 2009-2012* aan dergelijke contexten en eventueel ermee geassocieerde archeologische vindplaatsen wordt toegekend.

5.5.2. Nieuwe inzichten omtrent de lokale archeologie (*vraagstellingen 2 t.e.m. 8*)

*5.5.2.1. Archeologische vindplaatsen met bodemsporen uit historische perioden*

In lijn met het verwachtingskader is het aantal aangetroffen bodemsporen geassocieerd met archeologische vindplaatsen uit historische perioden in het onderzoeksgebied zeer beperkt gebleven. De gracht in het westelijke deel van het terrein kan omwille van haar ligging verwijzen naar de perceelsgrens/gracht die aangeduid staat op een minuutplan uit 1811; zowel de ligging als het vondstmateriaal uit de grachtvulling zijn hiermee in overeenstemming. Naast deze gracht, een potentieel vroegprehistorisch bodemspoor (*cf. infra*), enkele bodemsporen van recente ouderdom en een groot aantal natuurlijke bodemsporen werden verder geen archeologische bodemsporen aangetroffen in de proefsleuven.

*5.5.2.2. Niet-afgedekte prehistorische vindplaatsen*

Gezamenlijke studie van de volledige lithische collectie van Koewacht-Emmabaan
De verschillende onderzoeksprojecten tussen 2009 en 2011 hebben een vrij omvangrijke collectie lithische artefacten opgeleverd die onmiskenbaar de aanwezigheid ter plaatse van één of

meerdere vroegprehistorische vindplaats(en) bevestigen (tabel 10). Vermoedelijk kan ook bovenvermeld, potentieel prehistorisch bodemspoor hiermee geassocieerd worden.

| onderzoek | N vondsten |
|---|---|
| 2009 - oppervlaktekartering Archeomedia | 49 |
| 2009 - booronderzoek Archeomedia | 2 |
| 2010 - oppervlaktekartering SCEZ | 19 |
| 2011 - oppervlaktekartering SCEZ | 55 |
| 2011 - oppervlaktekartering GATE | 35 |
| 2011 - booronderzoek GATE | 21 |
| 2011 - proefsleuvenonderzoek GATE | 152 |
| **TOTAAL** | **333** |

**Tabel 10** Overzicht van het aantal lithische vondsten gerecupereerd tijdens de verschillende onderzoeksfases ter hoogte van het onderzoeksgebied

In overleg met de opdrachtgever werd tijdens de uitvoering van het IVO-O/P besloten om al het tot dusver verzamelde lithische materiaal uit het onderzoeksgebied samen te brengen en als één geheel te bestuderen. Een dergelijke gezamenlijke studie van de afzonderlijk verworven lithische collecties[18], die als uitgangspunt kan dienen voor eventueel aanvullende oppervlaktekarteringen, is noodzakelijk voor een correcte waardering van de vindplaats(en) en kan bijdragen tot een meer nauwkeurige datering van de vindplaats(en) op basis van typo- en/of technologische criteria.

In paragraaf 1.2.1 werd een overzicht geboden van de culturele toewijzingen van de lithische artefacten uit de voorgaande onderzoeken. Op basis van twee gidsfossielen (*i.e.* een Tjonger- of grote A-spits en een viervoudige steker) suggereerden Timmers & van Dasselaar een mogelijk laatpaleolithische of eerder een vroegmesolithische datering; ook de aanwezigheid van vuurstenen artefacten uit het neolithicum of de bronstijd werd niet uitgesloten. Het materiaal uit de oppervlaktekartering van 2010 kreeg van Jongepier een mesolithische ouderdom mee en onder het verzamelde materiaal uit de kartering van 2011 bevonden zich volgens dezelfde auteur vroegmesolithische, en mogelijk ook neolithische elementen. Ook het lithische materiaal uit onze oppervlaktekarteringen suggereert onmiskenbaar de aanwezigheid van een mesolithische component. De meest duidelijke vertegenwoordigers hiervan zijn een kerfrest die werd aangetroffen in proefsleuf 13 en de afslag in Wommersomkwartsiet uit de oppervlaktekartering.

Een morfotypologische determinatie van alle lithische artefacten, evenals een beperkte attributenanalyse gericht op fragmentatie en verbranding, is opgenomen in tabel 11. Een selectie van het lithische materiaal uit de oppervlaktekarteringen van ArcheoMedia is opgenomen in figuur 42. In overeenstemming met onze eerdere bevindingen zijn er, alles tezamen genomen, uitsluitend duidelijke indicaties voor de aanwezigheid van mesolithische vindplaats(en). Hoewel de aanwezigheid van paleo- en/of postmesolithisch materiaal niet kan worden uitgesloten, hebben we hiervoor geen overtuigende aanwijzingen kunnen vinden. De ruimtelijke verspreiding van de lithische vondsten uit zowel het booronderzoek als uit de verschillende oppervlaktekarteringen is opgenomen in figuur 43. Binnen deze verspreiding zijn geen duidelijke clusters aanwijsbaar. Hierdoor kan geen bevredigend antwoord worden geformuleerd op de vraag naar het aantal aanwezige vindplaatsen en de omvang ervan. Ook omtrent de bewoningsduur en -intensiteit (*vraagstelling 7*) kunnen geen concrete uitspraken worden gedaan.

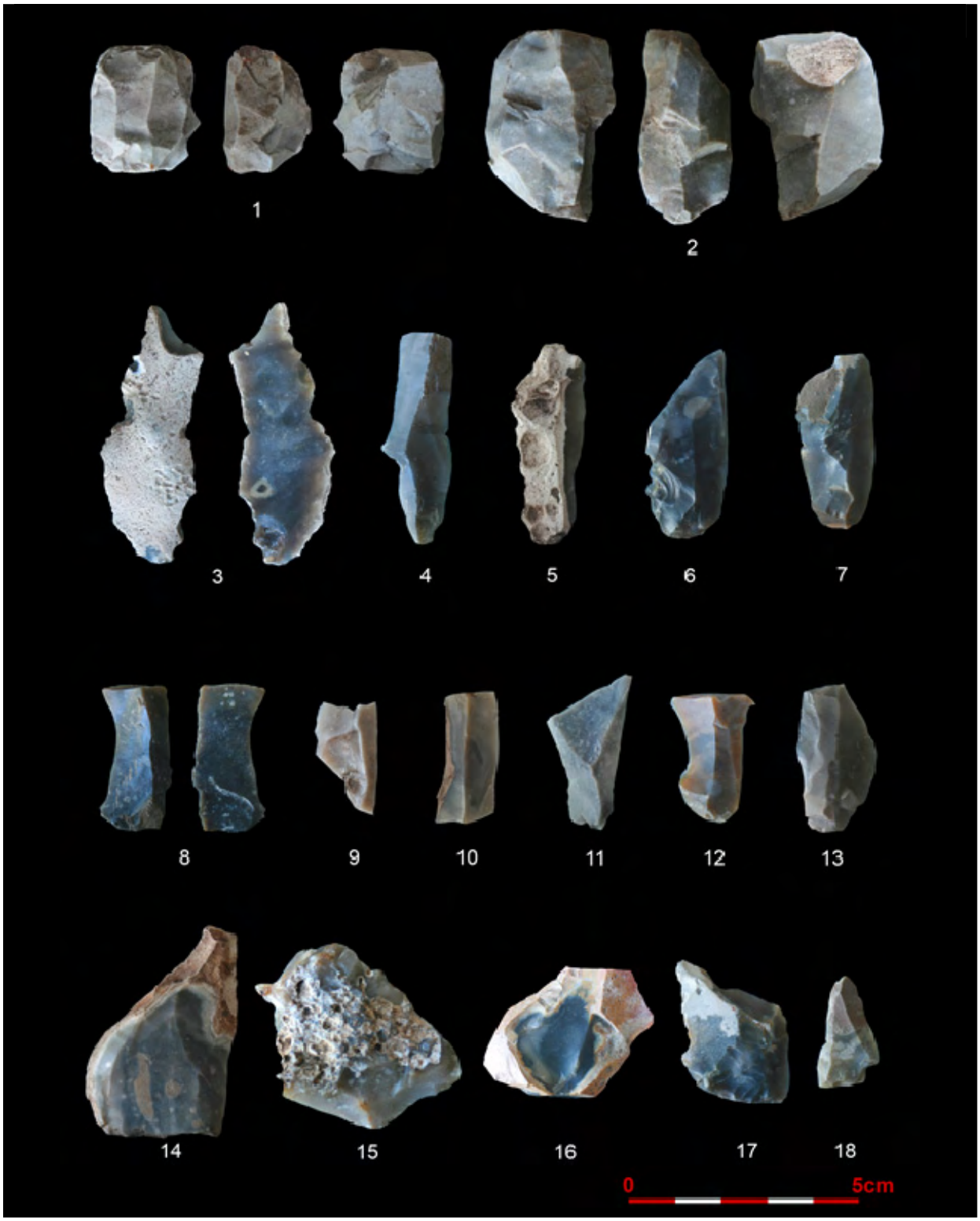


**Figuur 42** Opname van een selectie van de lithische artefacten uit het IVO-onderzoek uitgevoerd door ArcheoMedia in 2009, figuur in twee delen. Gedetailleerde determinaties van deze vondsten, inclusief verwijzingen naar deze figuur, zijn opgenomen in bijlage 7.

**Figuur 42** | Vervolg.

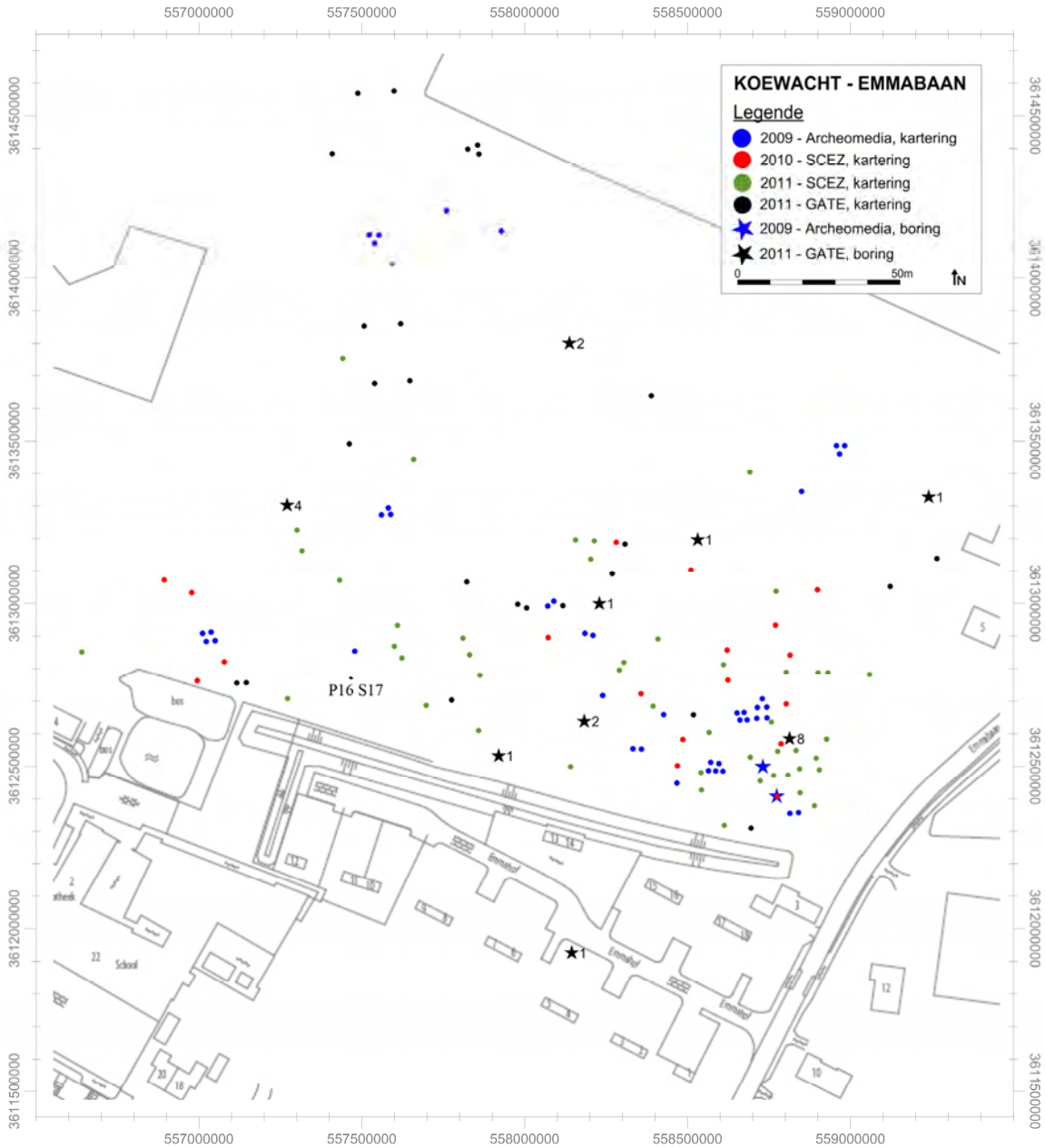


**Figuur 43** Samenvattend overzicht van de ruimtelijke verspreiding van alle gekarteerde lithische vondsten uit de verschillende onderzoeken. Tevens is het bodemspoor P16 S17 aangegeven, waarin lithisch en verkoold organisch materiaal werd aangetroffen.

Het archeologische bodemspoor met dateerbaar materiaal

Het archeologische bodemspoor waarmee ruimtelijk een groot aantal vuurstenen artefacten en verkoolde organische resten zijn geassocieerd, kan evenmin eenduidig worden geïnterpreteerd. De gezeefde vulling ervan heeft $^{14}$C-dateerbaar materiaal opgeleverd in de vorm van houtskool en verkoolde hazelnootfragmenten. Toch is deze aanwezigheid van verkoold organisch materiaal op zichzelf een onvoldoende argument om ook effectief over te gaan tot de uitvoering van een $^{14}$C-datering, aangezien er geen duidelijkheid bestaat omtrent de precieze aard van het bodemspoor, omtrent het te dateren fenomeen en er daarenboven niet noodzakelijk een eenduidige relatie hoeft te bestaat met de vuursteenvondsten die verspreid over het onderzoeksgebied werden aangetroffen.

| Antropogeen /natuurlijk | typologie (volgens ABR) | toelichting | grondstof (volgens ABR) | verbranding | | | | TOTAAL |
|---|---|---|---|---|---|---|---|---|
| | | | | niet | licht | matig | zwaar | |
| antropogeen | AFSLAG | < 1cm (chip) | SVU | 124 | | 22 | 5 | **151** |
| | | volledig | SVU | 26 + 1? | 4 | 2 | 1 | **34** |
| | | | SZA | 1 | | | | **1** |
| | | fragment - proximaal | SVU | 10 | 2 | | | **12** |
| | | fragment - mediaal | SVU | 1 | | 1 | | **2** |
| | | fragment - distaal | SVU | 7 + 1? | | | 1 | **8** |
| | KLING | volledig | SVU | 8 | 1 | | | **9** |
| | | fragment - proximaal | SVU | 9 + 1? | | | | **10** |
| | | fragment - mediaal | SVU | 3 | 2 | | | **5** |
| | | fragment - distaal | SVU | 8 | 4 | | 1 | **13** |
| | AFSLAG? | fragment - proximaal | SVU | 7 | | 1 | | **8** |
| | | fragment - mediaal | SVU | 1 | 1 | 1 | | **3** |
| | | fragment - distaal | SVU | 8 | 1 | 1 | 1 | **11** |
| | | fragment - meervoudig | SVU | 1 | | 2 | | **3** |
| | | fragment - onbepaald | SVU | | 1 | | | **1** |
| | AFSLAG (KERNVERN?) | fragment - distaal | SVU | 1 | | | | **1** |
| | AFSLAG (RETOUCHE) | volledig | SVU | 1 | | | | **1** |
| | | fragment - meervoudig? | SVU | 1 | | | | **1** |
| | KERNPRAF | volledig | SVU | 1 + 1? | | | | **2** |
| | KERN | volledig | SVU | 3 | | 1 | | **4** |
| | | fragment | SVU | 1 | | | | **1** |
| | MICROSTE | | SVU | 1 | | | | **1** |
| | | Krukowski | SVU | 1 | | | | **1** |
| | MICROSTE? | | SVU | 1 | | | | **1** |
| | POTLID | | SVU | | | 1 | | **1** |
| | STEKER | fragment - proximaal | SVU | 1 | | | | **1** |
| | | fragment - determinatie? | SVU | 1 | | | | **1** |
| | STEKER? | volledig | SVU | 2 | | | | **2** |
| | SPITS | fragment - mediaal | SVU | | | 1 | | **1** |
| | | fragment - onbepaald | SVU | 1 | | | | **1** |
| | BROK | | SVU | 2 | 1 | 3 | 3 | **9** |
| | | | **SUBTOTAAL** | **232 + 4?** | **17** | **36** | **12** | **301** |
| antropogeen? | AFSLAG? | < 1cm (chip) | SVU | 2 | | | | **2** |
| | SCHRABR? | volledig | SVU | 1 | | | | **1** |
| | BROK | | ? | 2 | | | | **2** |
| | | | SVU | 50 | | 3 | 1 | **54** |
| | BROK? | | SVU | 1 | | 1 | | **2** |
| | KIEZEL | | SVU | 1 | | | | **1** |
| natuurlijk | BROK | | SVU | 6 | | | | **6** |
| | | | **EINDTOTAAL** | **298** | **15** | **40** | **13** | **369** |

**Tabel 11** Overzicht van alle lithische vondsten (artefacten + natuurlijk) gerecupereerd ter hoogte van het onderzoeksgebied.

Uitgebreid radiometrisch onderzoek op verschillende mesolithische vindplaatsen in Vlaanderen en Nederland heeft duidelijk aangetoond dat op eenzelfde vindplaats en/of context vaak een discrepantie optreedt tussen dateringen uitgevoerd op hazelnootfragmenten en houtskool[19]. Het uitvoeren van $^{14}$C-dateringen en de uitbouw van een betrouwbaar absoluut dateringskader voor de vroege prehistorie vereisen in de eerste plaats een kritische ingesteldheid

en strategische keuzes en in dit verband is huidige dateringskader voor het Nederlandse mesolithicum in verscheidene opzichten problematisch te noemen. Crombé *et al.* (1999: 62) stellen dat individuele verkoolde hazelnootschelpen, bij voorkeur in associatie met (latente) oppervlaktehaarden (zie hieromtrent Sergant *et al.* 2011)[20], de beste garanties bieden voor de absolute datering van mesolithische openluchtvindplaatsen in sterk gebioturbeerde zandcontexten. Hazelnootdateringen geven de meest betrouwbare informatie met betrekking tot de datering van lithische concentraties en de ontwikkeling van typochronologische kaders; mesolithische openluchtvindplaatsen dateren aan de hand van houtskool afkomstig uit haardkuilen wordt afgeraden daar er geen verband hoeft te bestaan tussen de lithische concentraties enerzijds en de haardkuilen anderzijds (Crombé 2005: 297). Het gebruik van verspreid houtskool voor dateringsonderzoek wordt door hen eveneens afgeraden.

Onderzoek naar het paleo- en mesolithicum in de provincie Zeeland

De feitelijke kennis omtrent het laatpaleo- en mesolithicum in de provincie Zeeland is eerder beperkt (voor een overzicht zie o.a. Jongepier 1995; Kuipers & Swiers 2005)[21]. Te **Koewacht** en in de directe omgeving ervan zijn een aantal vroegprehistorische vondsten gekend.

(1) De artefacten aangetroffen ter hoogte van Nieuwe Molen (Hazenlarenstraat 70) dateren vermoedelijk uit het (vroeg-?)mesolithicum en werden in 1972 gevonden tijdens de aanleg van een zwembad op een plaats waar eveneens een aantal intacte podzolprofielen werden geregistreerd[22].
(2) Tijdens een proefsleuvenonderzoek door het PACZ[23] in 1999 iets verderop in de Hazelarenstraat werden een zeventiental lithische artefacten verzameld, zij het vermoedelijk van neolithische ouderdom; 13 ervan bevonden zich in de vulling van een kuil[24].
(3) Ook de waarneming ter hoogte van de Boerenkavelweg betreft een neolithische vondst (een vuurstenen bijl), vermoedelijk afkomstig uit aangevoerde grond[25].

Tevens willen we hier ook de aandacht vestigen op een tweetal vondstmeldingen net over de grens, op Belgische bodem, die we aantroffen in de Centrale Archeologische Inventaris (CAI), de Vlaamse tegenhanger van ARCHIS. Gezien de talrijke overeenkomsten in beide vondstmeldingen sluiten we niet uit dat het in beide gevallen om dezelfde vindplaats handelt.

(1) Een eerste melding heeft betrekking op een vindplaats in het nabijgelegen gehucht Koewacht, onderdeel van de gemeente Moerbeke-Waas. Het betreft een mesolithische of vroeg-neolithische (?) vindplaats met "*talrijke afslagen en microlieten*", aangetroffen onder een middeleeuwse laag op de binnenkoer van een niet nader gespecifieerde hoeve; de exacte vondstlocatie is niet gekend, maar wordt in de CAI aangegeven tot op 250 meter nauwkeurig[26].
(2) Naast deze vondstmelding, komt in de CAI nog een tweede, opvallend gelijkaardige melding voor[27]. Ook in dit geval handelt het om een vindplaats met mesolithische en/of vroegneolithische resten, eveneens ter hoogte van het toponiem Koewacht, maar ditmaal in de aangrenzende gemeente Stekene. Het zou eveneens gaan om een vondstenconcentratie met talrijke afslagen en microlieten, gevonden tijdens het graven van een vijver in de hovingen van de herberg 'de Bonte Koe'.

In een algemeen overzicht van de prehistorie in Zeeland, uitgegeven in 1995 (Jongepier 1995), was sprake van een twaalftal gekende paleo- en mesolithische vindplaatsen in de provincie Zeeland. In het zuidelijke -pleistocene- deel van de provincie, in de **directe omgeving** van ons onderzoeksgebied, gaat het om een drietal locaties. Naast bovenvermelde mesolithische vondsten te Koewacht-Nieuwe Molen worden ook laatpaleolithische en mesolithische vindplaatsen te Axel en Nieuw-Namen aangehaald.

(1) In 1965 werden in Axel opgravingen verricht naar aanleiding van de bouw van het bejaardencentrum 'De Vurssche' (Trimpe Burger 1967)[28]. Op verschillende stratigrafische niveaus werden vuurstenen artefacten aangetroffen die worden toegeschreven aan zowel het laatpaleolithicum als aan het vroegmesolithicum (Trimpe Burger 1967: 36-39; Jongepier 1995: 32, 37-39).

(2) Tevens zijn er in Nieuw-Namen een aantal vindplaatsen uit het laatpaleolithicum tot en met het laatneolithicum gekend[29]. Zo bijvoorbeeld werd reeds in 1910 op de Molenberg een gesteelde pijlpunt uit vuursteen aangetroffen (Tesch 1911; zie ook van Heeringen 1986: 72, 75). De vondst van een vuurstenen schrabber in 1985 ter hoogte van de Schelpstraat vormde de directe aanleiding voor een kleinschalig archeologisch proefonderzoek in het najaar van 1985, waarbij een profielput van 10 x 2 meter werd aangelegd (van Heeringen 1986)[30]. Net als tijdens eerdere prospecties op de akkers aan de noordzijde van de Kauter, uitgevoerd door leerlingen van de St. Jozefschool onder leiding van J. de Baar, en een latere inspectie van een slootprofiel langs de Bakkersdijk, uitgevoerd door R. Bleijenberg in 1986, werden tijdens dit proefonderzoek natuurlijke brokken uit vuursteen (ruim 2 kg) ingezameld, naast een beperkt aantal artefacten (van Heeringen 1986: 73, 75). Volgens de ARCHIS-waarneming 21158 zou het in totaal handelen om een 118-tal vondsten. Zowel de artefacten als de natuurlijke brokken zouden voornamelijk afkomstig zijn uit de top van een eolisch zandpakket van laatglaciale ouderdom dat werd afgedekt door een dun pakket veraard en verrommeld veen en door een kleipakket (van Heeringen 1986: 73 + fig. 2). In de Kauterstraat nr. 9 werden in het voor- en najaar van 1993 twee werkputten aangelegd ter aanvulling van een eerder archeologisch onderzoek uit 1990 in de Kauterstraat nr. 11 (van Heeringen 1994a; 1994b)[31]. In beide werkputten werden gezamenlijk 54 lithische artefacten aangetroffen, waaronder één in Wommersomkwartsiet. Tijdens een begeleiding in 1997 ten noorden van de meester Van der Heydengroeve werden ook vuurstenen artefacten en neolithische aardewerkfragmenten aangetroffen[32] en ook aan de Kauterheuvel kwamen lithische artefacten aan het licht[33]. In 2006 werden ter hoogte van de Kauterstraat een twaalftal vuurstenen artefacten teruggevonden tijdens een onderzoek uitgevoerd door RAAP[34]. Ook uit de zandwinningsgroeve zelf, die vanaf ca. 1920 werd gebruikt als vuilstort en in 2011 werd aangewezen als geologisch monument, zijn lithische vondsten gekend. Deze werden voornamelijk ontdekt tijdens het meermaals opschonen van de profielwanden. Het handelt onder meer om een afslag of schrabber uit vuursteen afkomstig uit een profiel dat in 2008 door J. Jongepier werd ingetekend[35]. Tijdens een recent aardwetenschappelijk onderzoek van enkele wandprofielen uit de groeve, aangevuld met een archeologische begeleiding, in het voorjaar van 2011 uitgevoerd door BAAC in samenwerking met GEO-LOGICAL en de Vrije Universiteit Amsterdam (VU), kwamen geen artefacten aan het licht (van de Glind *et al.* 2011).

Ook in de **ruimere regio** van de provincie Zeeland zijn verschillende vroegprehistorische vindplaatsen gekend.

(1) Enkel te Aardenburg is ook sprake van archeologische opgravingen, op een niet-afgedekte pleistocene zandrug[36]. Deze werden in de jaren '50 tot en met '70 uitgevoerd op verschillende locaties en leverden overwegend vroeg- en middenmesolithische artefactenconcentraties en/of bodemsporen op (Trimpe Burger 1958, 1960, 1961; Jongepier 1994; 1995: 34-37).

(2) Recent werden tijdens een archeologisch booronderzoek op het tunneltracé van de Kanaalkruising te Sluiskil lithische artefacten aangetroffen in vijf boringen (Bats *et al.* 2008). In totaal ging het om tien zeer kleine vuursteenfragmenten (*chips* en *microchips*) uit de top van het dekzand dat afgedekt was met een dik pakket veen en klei. Ook het micromorfologische onderzoek van monsters uit Begemann-boringen toonde de veelvuldige aanwe-

zigheid van kleine lithische artefacten aan (Fritzch *et al.* 2011).Verder archeologisch onderzoek op deze locatie leverde echter geen nieuwe vondsten op (mondelinge mededeling I. Devriendt).

(3) In het Verdronken Land van Saeftinghe, in het oostelijke deel van de Westerschelde, komt het anders met veen afgedekte pleistocene zand door erosie soms vrij te liggen. In 1995 troffen een aantal medewerkers van de stichting Het Zeeuwse Landschap ter hoogte van de Marlemontse Plaat enkele vuurstenen artefacten aan. Naar aanleiding van deze vondsten werden sedertdien verschillende prospecties uitgevoerd door medewerkers van de SCEZ in samenwerking met leden van de AWN, afdeling Zeeland. Na een zevental jaar van prospectie had deze vindplaats reeds meer dan 550 lithische artefacten uit vuursteen, kwartsiet van Tienen en Wommersomkwartsiet opgeleverd. Deze lithische vondsten worden toegewezen aan het vroegmesolithicum. Ook twee haardkuilen met grote fragmenten van voornamelijk dennenhout, aangetroffen in 2001, kunnen op basis van $^{14}$C-dateringen in het achtste millennium v. Chr. worden geplaatst. Naast deze vindplaats werden sinds de jaren ‘60 in het Land van Saeftinghe ook vuurstenen artefacten, een 25-tal aardewerkfragmenten en verschillende houtskoolbrokken uit het neolithicum aangetroffen (Jongepier 1998: 16-17; 2002: 154-158; van Dierendonck & Jongepier 2001: 6-9).

(4) Ook ter hoogte van het westelijke deel van de Westerschelde, met name op het strand te Cadzand, verzamelden amateurarcheologen veel vuurstenen artefacten uit het paleo- en/of mesolithicum, naast fossiele botten, haaientanden en aardewerk (Jongepier 2002: 149-150).

(5) Trimpe Burger (1961: 197) vermeldt twee artefacten uit het paleolithicum afkomstig uit de Westerschelde in de buurt van Ellewoutsdijk. Eén ervan is een zgn. Lyngbybijl uit rendiergewei (zie ook Elzinga 1960).

(6) Een recente vondst in de nieuwbouwwijk Othene in Terneuzen werd eveneens aan het mesolithicum toegewezen[37].

(7) Consultatie van ARCHIS levert voor de provincie Zeeland verder onder meer volgende locaties met lithische en/of organische artefacten die mogelijk aan het laatpaleo- en/of mesolithicum kunnen worden toegewezen: Terneuzen-Rooseveltlaan[38], Terneuzen-Philippine (Mosselhuis; er is ook sprake van één artefact in kwartsiet)[39], Sluis-Retranchement[40], Sluis-Sint-Kruis[41], Sluis-Het Zwin[42], Sluis-Cadzand[43], Goes-Joachimikade/Stadskantoor[44], Veere-Zoutelande[45], Veere-Domburg[46], Scherpenisse-Tholensche Gat[47] en Vlissingen-Borssele[48].

Onderzoek naar de vroege prehistorie in Zandig Vlaanderen (België)

In tegenstelling tot de hierboven geschetste en eerder beperkte kennis omtrent de vroege prehistorie in de provincie Zeeland zijn onze inzichten met betrekking tot het finaalpaleolithicum tot en met middenneolithicum in het aangrenzende Oost-Vlaanderen (België), en voornamelijk in het noordelijke deel ervan (Zandig Vlaanderen), sinds de eerste helft van de jaren ’90 exponentieel toegenomen. Niet alleen jarenlange systematische en gebiedsdekkende veldkarteringen en inventarisaties van oppervlaktecollecties (*i.e.* Van der Haegen *et al.* 1999; Van Vlaenderen *et al.* 2006), maar ook uitgebreide (nood)opgravingen in de Waasland Scheldepolders (*i.e.* Crombé 2005) en gedetailleerde en grootschalige geoarcheologische projecten (*i.e.* Bats *et al.* 2009, 2010, 2011) hebben onze kennis omtrent het laatglaciaal en het vroegholoceen in deze regio de voorbije decennia sterk verruimd.

Omtrent de archeologische (wetenschappelijke) waarde van vroegprehistorische vindplaatsen in de niet afgedekte delen van Zandig Vlaanderen, vergelijkbaar met de situatie te Koewacht-Emmabaan, kwam Crombé (1996: 499) in zijn promotieonderzoek tot volgende conclusie:

> "*De bodemaantasting in de niet-afgedekte delen van Zandig Vlaanderen, goed voor ruim 90% van het studiegebied, is reeds dermate gevorderd dat deze regio slechts weinig perspectieven te bieden heeft voor het toekomstig bodemonderzoek naar de steentijdbewoning. In het bijzonder voor wat het mesolithisch onderzoek betreft, zien we de toekomst zeer somber in. Door het ontbreken van grootschalige post-glaciale sedimentatie van natuurlijke (eolische of alluviale sedimenten, veengroei) of antropogene oorsprong (colluviatie, plaggenbodems) is de afknotting van de mesolithische vindplaatsen in deze regio zeer aanzienlijk. De dekzandruggen, waarop nagenoeg alle onderzochte vindplaatsen gelegen zijn, zijn vooral tengevolge van de intensieve landbouw doorgaans tot diep in de C-horizont afgeknot. Naar de omliggende depressies toe lijkt de conservering meestal iets gunstiger* […]. *De bruikbaarheid van dergelijke vindplaatsen bij de studie van de ruimtelijke patronen, in het bijzonder van intrasite gedragspatronen en nederzettingssystemen, is* […] *verwaarloosbaar klein. In het beste geval, bijv. bij conservatie van organisch residu, kunnen deze sites bijdragen tot een betere kennis van de typo-chronologie* […]. *Zelfs indien men er van uitgaat dat sommige nederzettingen zich eventueel verderzetten in de richting van aangrenzende depressies, wat nog dient bewezen te worden, zijn de vooruitzichten voor spatiale analyses niet erg optimistisch.*"

Op basis hiervan formuleerde hij enkele aanbevelingen voor toekomstige onderzoeksstrategieën, die tevens van directe relevantie zijn voor het onderzoek te Koewacht-Emmabaan (Crombé 1996: 499-500):

> "*We zijn van mening dat in een kosten-baten analyse het rendement niet in verhouding is tot de input. Opgravingen op de zwaar gehavende vindplaatsen levert doorgaans niet of nauwelijks meer informatie op dan het aan het oppervlak ingezameld vondstenmateriaal. Intensieve veldprospectie en nauwgezette registratie en inventarisatie van oppervlaktevindplaatsen lijken ons in deze delen van het onderzoeksgebied de beste en meest aangewezen onderzoeksmethode. Op deze manier kan in de niet-afgedekte gebieden nog zeer verdienstelijk werk op het terrein van de paleotopografische en paleoecologische inplanting en verspreiding van de epipaleolithische en mesolithische bewoning verricht worden.*"

*5.5.2.3. De potentiële aanwezigheid van prehistorische vindplaatsen in afgedekte context*

Het archeologische onderzoek naar de afgedekte lagen heeft geen prehistorische vindplaatsen opgeleverd die onderworpen kunnen worden aan een waardestelling. In navolging van het PvE (Crombé 2011: 6) en ondanks de afwezigheid van directe archeologische indicatoren in onze boringen besluiten we dat archeologische vindplaatsen uit het laat- en finaalpaleolithicum geassocieerd kunnen zijn met de afgedekte paleosequentie te Koewacht-Emmabaan, ondanks het vermoedelijk eerder natte milieu waarin deze lagen werden gevormd. Indien deze vindplaatsen toch aanwezig zouden zijn, gaat het om kleinere prehistorische vindplaatsen met een hoge fysieke en inhoudelijke kwaliteit (*i.e.* gaafheid, zeldzaamheid, informatiewaarde) die met booronderzoek moeilijk te detecteren zijn.

Vindplaatsen uit deze periode zijn in Zandig Vlaanderen gekend uit oppervlaktekarteringen, maar ook uit begraven contexten in de Waasland Scheldepolders, *i.e.* Verrebroek-Dok 2 en Doel-Deurganckdok sector B en sector C (Crombé *et al.* 1999a, 2000; Perdaen & Ryssaert 2002; Perdaen 2004; Perdaen *et al.* 2004; Crombé 2005).

# 6. WAARDESTELLING

## 6.1. Inleiding

De eerder gepresenteerde resultaten van het IVO-O/P en de confrontatie ervan met zowel de resultaten uit eerder onderzoek als met het archeologische verwachtingskader laten toe te komen tot een meer betrouwbare archeologische waardering van het onderzoeksgebied, uitgevoerd conform de KNA 3.2 (*cf.* vraagstellingen 7 en 9 uit het PvE).

Volgens de KNA 3.2. wordt bij dit waarderingsproces de behoudenswaardigheid van de aangetroffen vindplaats(en) bepaald. Hierbij dienen zowel de aanwezigheid als de kwaliteit van alle waardestellende elementen van archeologische vindplaatsen in beschouwing te worden genomen, in relatie tot vergelijkbare vindplaatsen in de regio en in de betreffende periode. Het waarderingsproces dient stapsgewijs te verlopen volgens het voorgestelde stroomdiagram (figuur 44), waarbij achtereenvolgens aandacht wordt besteed aan drie waarden, elk met hun eigen criteria en parameters, die een meetwaarde krijgen toebedeeld op basis van een intervalschaal (scores '1-laag', '2-midden' en '3-hoog')[49].

Te Koewacht-Emmabaan werden enkel archeologische waarden aangetroffen geassocieerd met de top van het bodemprofiel. De afgedekte paleobodem leverde geen vindplaatsen op die gewaardeerd kunnen worden.

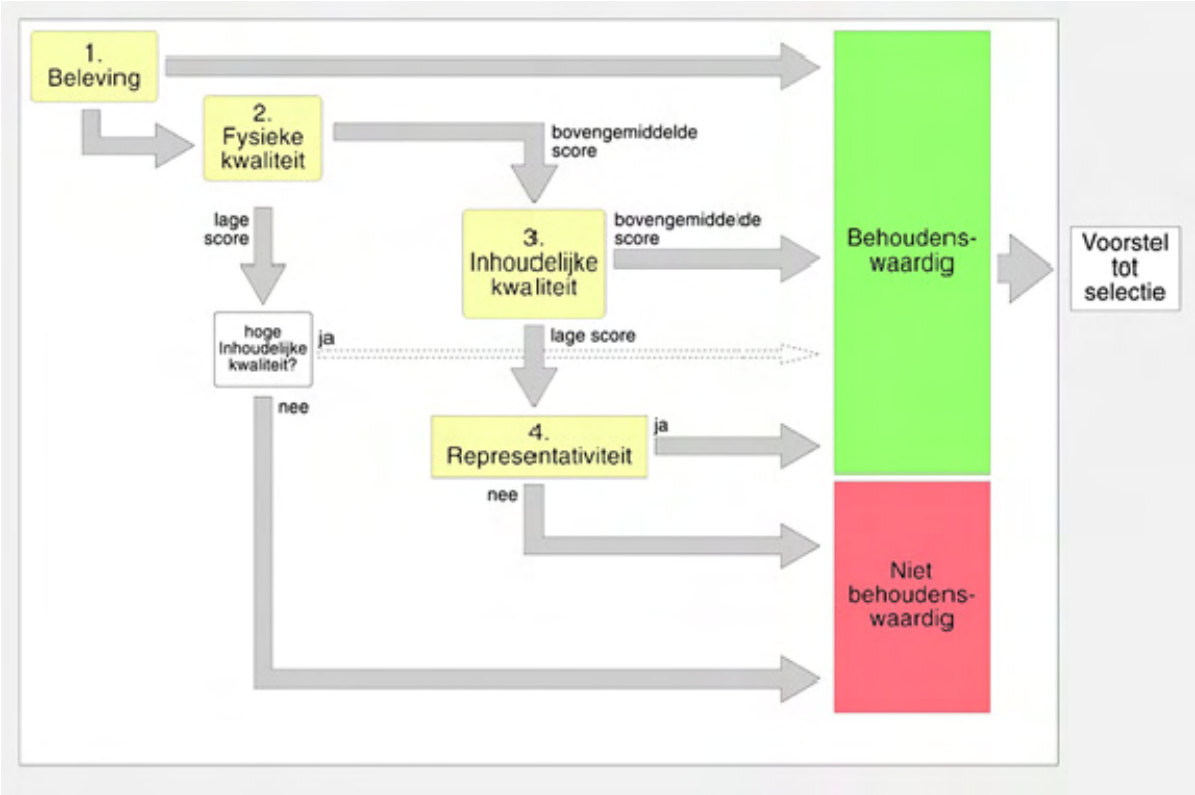


**Figuur 44** Het gevolgde stroomdiagram voor het waarderingsproces van de archeologische vindplaatsen aangetroffen te Koewacht-Emmabaan (aangepast naar KNA 3.2.).

## 6.2. Waardering van archeologische vindplaatsen geassocieerd met de top van de bodemopbouw

### 6.2.1. Archeologische vindplaatsen met bodemsporen uit historische perioden

Op basis van de fysieke kwaliteit kan het grachttracé als in principe behoudenswaardig worden aangemerkt (tabel 12, score 6). Ondanks deze goede bewaring is een verdere bewaring *in-* of *ex-situ* overbodig conform het gemeentelijke interim archeologiebeleid en in overeenstemming met de lage inhoudelijke kwaliteit (score 3)[50]. Het gaat om een vrij courant aangetroffen type bodemspoor in Zeeuws- en Oost-Vlaanderen. Bovendien blijkt deze gracht ook voor te komen op minuutplannen uit het begin van de 19e eeuw. Ze maakt deel uit van een ondertussen enigszins gewijzigd landschap. De informatie die ze kan verschaffen kan dus ook grotendeels worden gehaald uit cartografische bronnen en mogelijk deels ook uit landboeken en/of historische bronnen inzake landindeling. Gezien ook reeds vier coupes op deze gracht werden gezet, achten wij verder terreinonderzoek naar deze gracht niet noodzakelijk.

| | | Scores | | |
|---|---|---|---|---|
| **Waarden** | **Criteria** | ***Hoog*** | ***Midden*** | ***Laag*** |
| Beleving | Schoonheid | Wordt niet gescoord | | |
| | Herinneringswaarde | Wordt niet gescoord | | |
| Fysieke kwaliteit | Gaafheid | 3 | | |
| | Conservering | 3 | | |
| Inhoudelijke kwaliteit | Zeldzaamheid | | | 1 |
| | Informatiewaarde | | | 1 |
| | Ensemblewaarde | | | 1 |
| | Representativiteit | Niet van toepassing | | |

**Tabel 12** Resultaten van het waarderingsproces toegepast op de gracht.

### 6.2.2. Niet-afgedekte prehistorische vindplaatsen

In associatie met de top van het bodemprofiel werd(en) één of meerdere vroegprehistorische vindplaats(en) aangetroffen in de vorm van lithische artefacten (aan het oppervlak en in de boringen) en van een potentieel vroegprehistorisch bodemspoor met lithisch en verkoold, organisch materiaal. Noch de omvang, noch het aantal vindplaatsen ter plaatse kon eenduidig worden vastgesteld; hetzelfde geldt voor de bewoningsduur en -intensiteit. De resultaten van het waarderingsproces voor deze prehistorische resten zijn samengevat in tabel 13. De waarde 'beleving' is niet van toepassing aangezien het niet handelt om zichtbare vindplaatsen.

| | | Scores | | |
|---|---|---|---|---|
| **Waarden** | **Criteria** | ***Hoog*** | ***Midden*** | ***Laag*** |
| Beleving | Schoonheid | Wordt niet gescoord | | |
| | Herinneringswaarde | Wordt niet gescoord | | |
| Fysieke kwaliteit | Gaafheid | | | 1 |
| | Conservering | 3 | | |
| Inhoudelijke kwaliteit | Zeldzaamheid | | 2 | |
| | Informatiewaarde | | 2 | |
| | Ensemblewaarde | | | 1 |
| | Representativiteit | Niet van toepassing | | |

**Tabel 13** Resultaten van het waarderingsproces toegepast op vroegprehistorische vindplaats(en) aangetroffen in de top van het bodemprofiel.

**Fysieke kwaliteit.** De fysieke kwaliteit van deze vindplaats(en), en dan voornamelijk de gaafheid, is laag (totaalscore 4). Uit het onderzoek is duidelijk naar voren gekomen dat de archeologische resten voor een groot deel zijn opgenomen in de bouwvoor. Verwacht wordt dat de ruimtelijke integriteit van deze oppervlaktevindplaats(en) omwille van die reden beperkt is. Er kon bovendien geen eenduidige ruimtelijke en temporele relatie worden aangetoond tussen de vondsten onderling en tussen de vondsten en het bodemspoor. Het aantreffen van archeologische indicatoren in de boringen wijst er anderzijds op dat een (beperkt?) deel van de resten nog aanwezig is onder de bouwvoor. In dit geval kan het handelen om artefacten die door bioturbate processen een verticale migratie hebben ondergaan. Deze verticale verspreiding van artefacten, en daarmee de afwezigheid van een 'leefvloer', is een algemeen kenmerk van prehistorische vindplaatsen in zandcontexten. Voorts kan nog worden aangestipt dat het huidige gebruik van het terrein als akkerland een directe bedreiging vormt voor de stabiliteit van de natuurlijke omgeving en de archeologische waarden. Een ander kenmerk met betrekking tot de fysieke kwaliteit van prehistorische vindplaatsen in zandcontexten is de beperkte conservering van organisch materiaal, dat doorgaans enkel kan worden aangetroffen in verkoolde toestand: niet-verkoolde organische resten worden in dergelijke niet-afgedekte zandcontexten niet verwacht. In dit opzicht voldoet de vindplaats aan de verwachtingen omtrent de conservering van prehistorische resten in niet-afgedekte zandcontexten (score 3).

**Inhoudelijke kwaliteit.** Bij een lage of middelmatige score van de fysieke kwaliteit (4 punten of minder) is de inhoudelijke kwaliteit doorslaggevend. Aangezien in het geval van de prehistorische oppervlaktevindplaats te Koewacht-Emmabaan op geen enkele van de inhoudelijke criteria 'hoog' wordt gescoord, wordt de vindplaats niet als 'in principe behoudenswaardig' aangemerkt. Gelijkaardige oppervlaktevindplaatsen bestaande uit lithische resten en/of verkoolde organische resten zijn niet zeldzaam in de wijdere regio, ondanks het beperkte aantal recente en systematisch onderzoeken naar dergelijke vindplaatsen binnen de archeoregio. De onderzoekslocatie is gelegen in één van de weinige, niet-afgedekte pleistocene gebieden in de archeoregio Zeeuws kleigebied, die grotendeels bedekt wordt door recentere holocene sedimenten. Omwille van de aanwezigheid van deze, vaak metersdikke, holocene pakketten is het aantal gekende prehistorische vindplaatsen in deze archeoregio eerder beperkt (*i.e.* POAZ 2009; Zoetbrood *et al.* 2006: 62-63). In het aangrenzende en landschappelijk vergelijkbare Oost-Vlaanderen (België) zijn dergelijke vroegprehistorische oppervlaktevindplaatsen op niet-afgedekte pleistocene gronden echter *legio* door de jarenlange systematische veldprospecties die voornamelijk door amateurarcheologen werden en nog steeds worden uitgevoerd. Mogelijk komen in het pleistocene deel van de Zeeuwse archeoregio nog gelijkaardige vindplaatsen voor, zij het in meer intacte bodemprofielen dan het geval is te Koewacht-Emmabaan. De aanwezigheid van door holocene sedimenten afgedekte landschappen in het Zeeuws kleigebied, en in de aangrenzende gebieden in Vlaanderen, resulteert bovendien in een grotere verwachting omtrent de fysieke en de inhoudelijke kwaliteit van vroegprehistorische vindplaatsen. Dit kan onder meer overtuigend worden aangetoond door de uitgebreide geoarcheologische onderzoeken die in het noordelijke deel van Oost-Vlaanderen sinds de eerste helft van de jaren '90 worden uitgevoerd. De ensemblewaarde van de prehistorische vindplaats(en) is laag. Het aantal finaalpaleo-, meso- en neolithische vindplaatsen, en daarmee de syn- en diachrone archeologische context, is immers beperkt binnen de archeoregio. Bovendien is de fysisch-geografische gaafheid van het contemporaine landschap grotendeels aangetast door de landbouwactiviteiten; contemporaine organische sedimenten, uit het meso- en neolithicum, ontbreken in de directe omgeving.

**Conclusie.** Op basis van bovenstaande argumentatie besluiten we dat de vindplaats(en) geassocieerd met de top van het dekzand niet *in-situ* behoudenswaardig zijn, rekening houdend met onze huidige archeologische kennis op een ruimere regionale schaal (*i.e.* Zandig Vlaanderen). Omwille van de beperkte ruimtelijke integriteit van de vindplaats(en) wordt behoud *ex-situ* door middel van opgravingen evenmin aanbevolen. Onder meer in de POAZ 2009-2012 wordt aangegeven dat de feitelijke kennis van de vroege prehistorie in de provincie Zeeland uiterst beperkt is omwille van het lage aantal gekende vroegprehistorische vindplaatsen in deze regio. Deze vaststelling draagt bij aan het belang van de inhoudelijke kwaliteit van deze oppervlaktevindplaats(en). In dit verband kan de waarde van systematische oppervlaktekarteringen van zulke oppervlaktevindplaatsen aangestipt worden, in overeenstemming met de NOaA (Deeben 2006: 9, 13, 26, 28, 36-37) en met de bevindingen van Crombé in het aangrenzende Zandig Vlaanderen, die eerder werden aangehaald (zie paragraaf 5.5.2.2.).

# 7. SELECTIEADVIES

In overeenstemming met het waarderingsproces uit het voorgaande hoofdstuk, en conform het vastgestelde archeologische beleid van de bevoegde overheid, kunnen we aan de hand van inhoudelijk archeologische argumenten een selectieadvies opstellen omtrent de behoudenswaardigheid van de gewaardeerde vindplaats(en), in overeenstemming met vraagstellingen 9 t.e.m. 11 uit het PvE[51].

Met betrekking tot de archeologische vindplaatsen met bodemsporen uit historische perioden, waar nauwelijks directe aanwijzingen voor werden aangetroffen, wordt verder archeologisch onderzoek niet aanbevolen, conform het gemeentelijke interim archeologische beleid.

Omtrent de prehistorische vindplaats(en) geassocieerd met de top van het bodemprofiel, en waarin met zekerheid een mesolithische component is vertegenwoordigd, wordt verder archeologisch onderzoek evenmin aanbevolen. Hoewel we, rekening houdend met de eerder beperkte resolutie van het boorgrid, niet helemaal kunnen uitsluiten dat vindplaatsen werden gemist, hebben de talrijke observaties van de bodemopbouw tijdens het boor- en proefsleuvenonderzoek in tegenstelling tot het verwachtingskader duidelijk aangetoond dat gave vindplaatsen binnen het onderzoeksgebied niet meer verwacht kunnen worden. Zolang het terrein nog vrij ligt, zouden aanvullende, herhaalde en systematische oppervlaktekarteringen onder gunstige omstandigheden echter kunnen resulteren in een meer representatieve lithische collectie van deze oppervlaktevindplaats(en), en aldus bijdragen aan een meer nauwkeurige datering en waardering ervan. Gezien de aandacht die zowel de gemeente Terneuzen, de provincie Zeeland als de SCEZ besteden aan de inzet van lokale amateurarcheologen, zou dit onderzoek, voorafgaand aan de geplande bodemingrepen, door leden van de lokaal actieve archeologische verenigingen i.s.m. de SCEZ kunnen worden uitgevoerd, naar analogie met de eerdere oppervlaktekarteringen op deze akker.

In tegenstelling tot het oorspronkelijke verwachtingskader hebben de bodemkundige en waarderende paleoecologische onderzoeken het complexe en variabele karakter van de afgedekte paleosequentie aangetoond. Het gaat hier slechts om een eerste inzicht; één van de voornaamste resultaten van het waarderende paleoecologische onderzoek was de vaststelling van de aanwezigheid van goed bewaarde pollen. Dit benadrukt het belangrijke potentieel van deze locatie voor eventueel verder paleoecologisch onderzoek (minstens pollenanalyse en absolute dateringen d.m.v. $^{14}C$). Een dergelijk gedetailleerd paleoecologisch en radiometrisch onderzoek is noodzakelijk om meer betrouwbare inzichten te verwerven omtrent datering, variabiliteit en complexiteit van de lokale en regionale paleolandschappelijke ontwikkeling. Bovendien is deze kennis noodzakelijk en richtinggevend voor een waardering van eventueel aanwezige prehistorische vindplaatsen. De Begemann-kernen werden reeds uitvoerig bemonsterd door specialisten (dr. V. Gelorini en dr. H. Bos); deze monsters, evenals de bewaarde boorkernen, staan voor verdere analyse ter beschikking van de specialisten. De conservering en de concentratie van de pollen en sporen is in de drie gewaardeerde stalen goed; ze zijn dus alle drie geschikt voor kwantitatieve analyse. Bij een kwantitatieve analyse wordt het preparaat geteld en worden op basis van een pollensom (van ca. 300 pollen en sporen van bomen, struiken en droge kruiden) de onderlinge verhoudingen tussen de verschillende pollentypen berekend. Verder dienen monsters geselecteerd te worden voor $^{14}C$ datering (op basis van plantmacroresten). Dit moet uitgevoerd worden door specialisten. De Begemann-kernen bevinden zich bij GATE (Evergem, België); de monsters worden bewaard bij H. Bos in (ADC, Amersfoort). In het PvE werd ook bemonstering voor OSL voorgesteld. Dit werd echter tijdens het

onderzoek in overleg met het bevoegd gezag niet uitgevoerd gezien de problematiek rond deze methode. Verder OSL-onderzoek is dan ook niet wenselijk.

In associatie met de afgedekte paleosequentie werden vooralsnog geen behoudenswaardige archeologische waarden aangetroffen. Het valt echter nooit geheel uit te sluiten dat in de fase van de graaf- en inrichtingswerken toch archeologische sporen en/of vondsten aan het licht komen. Voor dergelijke vondsten bestaat een wettelijke meldingsplicht (art. 53 van de Wet op de Archeologische Monumentenzorg). Bij graafwerkzaamheden dient men hier dan ook attent op te zijn en de opdrachtgever verplicht de aannemers hiertoe. Archeologische vondsten die in deze context aan het licht komen dienen door de aannemer of de opdrachtgever onmiddellijk gemeld te worden aan de Stichting Cultureel Erfgoed Zeeland.

# LIJST VAN GEBRUIKTE TECHNISCHE TERMEN EN AFKORTINGEN

| AFKORTING | TERM | BEKNOPTE TOELICHTING |
|---|---|---|
| *ABR* | **A**rcheologisch **B**asis **R**egister | Het geheel van referentielijsten en afkortingen met betrekking tot de Nederlandse Archeologie. |
| *AMK* | **A**rcheologische **M**onumenten**K**aart | Een kaart waarop vastgestelde archeologische monumenten zijn vermeld. |
| *ARCHIS* | **ARCH**eologisch **I**nformatie**S**ysteem | Een archeologische databank van Rijksdienst voor Cultureel Erfgoed (RCE) waarin alle archeologische onderzoeks- en vondstmeldingen in Nederland geregistreerd staan. |
| *CAI* | **C**entraal **A**rcheologische **I**nventaris | Een archeologische databank waarin alle archeologische vindplaatsen van Vlaanderen geregistreerd (zouden moeten) staan. |
| *IKAW* | **I**ndicatieve **K**aart van **A**rcheologische **W**aarden | Een op geologische structuren gebaseerde kaart van archeologische waarden. |
| *IVO-O/P* | **I**nventariserend **V**eld**O**nderzoek-**O**verig<br>**I**nventariserend **V**eld**O**nderzoek-**P**roefsleuvenonderzoek | Eén van de hoofdprocessen binnen de Archeologische monumentenzorg (AMZ)-cyclus dat door veldwaarnemingen dient te komen tot een aanvulling en toetsing van de gespecificeerde archeologische verwachting geformuleerd in het bureauonderzoek. Het resultaat van een IVO is een rapport met een waardering en een inhoudelijk (selectie-)advies, aan de hand waarvan een beleidsbeslissing (meestal een selectiebesluit) genomen kan worden. |
| *KNA* | **K**waliteitsnorm **N**ederlandse **A**rcheologie<br>(huidige versie 3.2.) | Een norm om de basiskwaliteit van het archeologische onderzoek uitgevoerd op Nederlandse bodem te garanderen. De KNA bevat minimumeisen - onder het moto ‘meer mag dus altijd’ - waaraan het archeologische onderzoek, de actoren van dit onderzoek en het beheer van archeologisch vondst- en documentatiemateriaal minimaal moeten voldoen. |
| *NOaA* | **N**ationale **O**nderzoeks**a**genda **A**rcheologie | Eén van de beleidsondersteunende en sturende instrumenten voor het nationale erfgoedbeleid op Nederlands grondgebied. De door het gezamenlijke veld opgestelde NOaA presenteert bestaande kennis en tracht wetenschappelijke onderzoeksthema’s en het veldonderzoek samen te brengen; het wordt vooral gebruikt bij het opstellen van de programma’s van eisen voor archeologisch veldonderzoek. |
| *PADZ* | **P**rovinciaal **A**rcheologisch **D**epot **Z**eeland | |
| *PvE* | **P**rogramma **v**an **E**isen | Een Programma van Eisen is een inhoudelijk document waarin het doel, de vraagstelling en de uitvoeringswijze van een archeologisch veldonderzoek en specialistisch onderzoek verwoord staan, alsook de randvoorwaarden van dit onderzoek. Het speelt een belangrijke rol in het archeologische werkproces en de cyclus van de monumentenzorg om te komen tot hoogwaardige archeologische kennisvorming. |
| *SCEZ* | **S**tichting **C**ultureel **E**rfgoed **Z**eeland | |
| *ZAA* | **Z**eeuws **A**rcheologisch **A**rchief | |
| *ZAD* | **Z**eeuws **A**rcheologisch **D**epot | |

## GERAADPLEEGDE BRONNEN EN LITERATUUR

**Bats M., Deconynck J., De Smedt, P., Gheyle, W., Jacops, J., Noens, G., Sergant, J., Crombé, P. 2008.** *Kanaalkruising Sluiskil - karterend inventariserend veldonderzoek. Gemeente Terneuzen: Nieuw-Westenrijkpolder, Koegors- en Nieuwe Zevenaarpolder*. Gent (= Universiteit Archeologische Rapporten 15).

**Bats M., De Reu J., De Smedt P., Anthrop M., Bourgeois J., Court-Picon M., De Mayer P., Finke P., Van Meirvenne M., Verniers J., Werbrouck I., Zwertvaegher A. & Crombé P. 2009.** Geoarchaeological research of the large palaeolake of the Moervaart (municipalities of Wachtebeke and Moerbeke-Waas, East-Flanders, Belgium): from Late Glacial to Early Holocene. *Notae Praehistoricae* 29: 105-112.

**Bats M., De Smedt P., Werbrouck I., Zwertvaegher A., Court-Picon M., De Reu J., Serbruyns L., Demiddele H., Antrop M., Bourgeois J., De Maeyer P., Finke P., Van Meirvenne M., Verniers J. & Crombé P. 2010.** Continued geoarchaeological research at the Moervaart palaeolake area (East Flanders, Belgium): preliminary results. *Notae Praehistoricae* 30: 15-21.

**Bats M., De Smedt P., De Reu J., Gelorini V., Zwertvaegher A., Anthrop M., Bourgeois J., De Mayer P., Finke P., Van Meirvenne M., Verniers J. & Crombé P. 2011.** Continued geoarchaeological research at the Moervaart palaeolake area (East Flanders, B): field campaign 2011. *Notae Praehistoricae*, 31: 201-211.

**Beug H.J. 2004.** *Leitfaden der Pollenbestimmung für Mitteleuropa und angrenzende Gebiete*. München.

**Bos J.A.A. & Verbruggen F. 2011.** *Van jeneverbes naar berkenbos. Een laatglaciaal paleoecologisch onderzoek te Rieme-Noord, België*. Amersfoort (=ADC-rapport 2667).

**Bos J.A.A., van Geel B., Groenewoudt B.J. & Lauwerier R.C.G.M. 2005.** Early Holocene environmental change: the presence and disappearance of early Mesolithic habitation near Zutphen (The Netherlands). *Vegetation History and Archaeobotany* 15: 27-43.

**Carmiggelt A. & Schulten P.J.W.M. 2002.** Veldhandleiding archeologie. Zoetermeer (= Archeologie Leidraad 1).

**Crombé P. 1995/1996.** *Epipaleolithicum en vroeg- en midden-Mesolithcum in Zandig Vlaanderen. Bijdrage tot de studie van de typochronologie en nederzettingsstructuur*. Doctoraatsverhandeling, Gent

**Crombé P. 2005.** *The last hunter-gatherer-fishermen in sandy Flanders (NW Belgium). The Verrebroek and Doek Excavation Projects (Vol. 1)*. Gent (= Archaeological Reports Ghent University, ARGU 3).

**Crombé P. 2011.** *Programma van Eisen - Koewacht-Emmabaan, IVO-O/P*. Gent.

**Crombé P., Deforce K., Langohr R., Louwagie G., Perdaen Y., Sergant J. &Verbruggen C. 1999a.** A small Final-Palaeolithic knapping site at Verrebroek "Dok 2" (Flanders, Belgium). *Notae Praehistoricae* 19: 63-68.

**Crombé P., Groenendijk H. & Van Strydonck M. 1999b.** *Dating the Mesolithic of the Low Countries. Some practical considerations*. In Evin J., Oberlin C., Daugas J.-P. & Salles J.-F. (eds.). 14C et Archéologie. Actes du 3ème Congrès International, Lyon 6-10 avril 1998: 57-63.

**Crombé P., Van Roeyen J.-P., Sergant J., Perdaen Y., Cordemans K. & van Strydonck M. 2000.** Doel "Deurganckdok" (Flanders, Belgium): settlement traces from the Final Palaeolithic and the Early to Middle Neolithic. *Notae Praehistoricae* 20: 111-119.

**Crombé P., Perdaen Y. & Sergant J. 2005.** *Features. Archaeological description*. In Crombé P., (ed.), The last hunter-gatherer-fishermen in sandy Flanders (NW Belgium). The Verrebroek and Doel Excavation Projects (Vol. 1). Gent: 141-179.

**De Clercq W., Bats M., Laloo P., Sergant J. & Crombé P. 2011.** *Beware of the known. Methodological issues in the detection of low density rural occupation in large-surface archaeological landscape-assessment in Northern-Flanders (Belgium).* In Blancquaert G., Malrain F., Stäuble H. & Vanmoerkerke J. (eds.). Understanding the past: a matter of surface-area. Acts of the XIIIth Session of the EAA Congress, Zadar 2007. Oxford: 73-89.

**Deeben J., Peeters H., Raemaekers D., Rensink E. & Verhart L. 2006.** *De vroege prehistorie*. NOaA hoofdstuk 8 (versie 1.0), (www.noaa.nl): 1-48.

**de Koning M.W.A. & Jongepier J. 2011.** *Ongepubliceerde rapportage veldkartering*. Terneuzen.

**De Moor G. & Heyse I. 1990.** *Geomorfologische kaart van België, Kaartblad Lokeren, schaal 1:50000.*

**Elzinga G. 1960.** Een Lyngby-bijl uit Zeeland. *Westerheem* 9: 102-106.

**Fægri K., Kaland P.E. & Krzywinski K. (eds.) 1989.** *Textbook of Pollen Analysis. 4th ed*. Chichester.

**Gemeente Terneuzen 2011.** *De onderste steen boven? Interim-beleid archeologie gemeente Terneuzen*. Terneuzen

**Fritzsch D.** 2011. *Micromorphological results*. In Moor J. J. W., Weijdema F.P., van Zijverdenet W.K., Fritzsch D., Kirilova E., Troelstra S. & Wallinga, J. *Een interdisciplinair geo-archeologisch assessment van potentiële archeologische niveaus en begraven archeologische landschappen nabij Sluiskil, gemeente Terneuzen. Aanvullend mechanisch booronderzoek en specialistische analyses Kanaalkruising Sluiskil – Zone 3*. Amersfoort, (= EARTH Integrated Archaeology Rapporten 32).

**Hoek W.Z. 1997a.** *Atlas to palaeogeography of late glacial vegetations – maps of late glacial and Early Holocene landscape and vegetation in The Netherlands, with an extensive review of available palynological data*. Utrecht (= Netherlands Geographical Studies 231).

**Hoek, W.Z. 1997b.** *Paleogeography of lateglacial Vegetations: Aspects of Lateglacial and Early Holocene Vegetation, Abiotic Landscape and Climate in the Netherlands*. Utrecht.

**Holthausen O. & Bulten B. 2002.** *Verkennend archeologisch bodemonderzoek Oude Molen 19 te Koewacht (gemeente Axel)*. Nieuwerkerk aan den IJssel (= ArcheoMedia projectnummerA02-340-Z).

**Jongepier J. 1994.** Mesolithische vondsten te Aardenburg. *Westerheem*: 164-175.

**Jongepier J. 1995.** *Zeeland in de prehistorie*. Middelburg.

**Jongepier J. 1998.** Nieuwe archeologische vondsten in het Verdronken Land van Saeftinghe. *Zeeuws Landschap* 1: 16-17.

**Jongepier J. 2002.** *Verdronken nederzettingen in en langs de Westerschelde* In. A. M. J. de Kraker (ed.) *De Westerschelde, een water zonder weerga: ontstaansgeschiedenis en kaartbeeld, havens, handel en scheepvaart, verkeer, verdronken dorpen, oorlog en verdedigingswerken, natuur en milieu en andere aspecten van de Westerschelde*. Kloosterzande: 149-158.

**Jongepier J. 2010.** *Dagrapport*. Terneuzen.

**Kuipers J.J.B. & Swiers R.J. 2005.** *Het verhaal van Zeeland*. Hilversum.

**Lanting J.N. & van der Plicht J. 2000.** De $^{14}$C-chronologie van de Nederlandse pre- en protohistorie II: Mesolithicum, *Palaeohistoria* 39/40: 99-162.

**Lauwers, F. 1973.** Koewacht-Stekene: prehistorische vondsten. *Archeologie* 2: 62.

**Leesch D., Bullinger J., Cattin M.-I., Müller W. & Plumettaz N. 2010.** *Hearths and hearth-related activities in Magdalenian open-air sites: the case studies of Champréveyres and Monruz (Switzerland) and the relevance to an understanding of Upper Paleolithic site structure.* In Poltowicz-Bobak M. & Bobak D. (eds.). The Magdalenian in Central Eurpe. New finds and concepts. Rsezów: 53-69.

**Lowe J.J., Hoek W.Z. & INTIMATE Group 2001.** Inter-regional correlation of palaeoclimatic records for the Last Glacial-Interglacial transition: a protocol for improved precision recommended by the INTIMATE group. *Quaternary Science Reviews* 20: 1175-1187.

**Meylemans E., De Smedt P., Storme A., Bastiaens J., Deforce K., Desloover D. & Van Meirvenne M. 2011.** A multi-disciplinary palaeoenvironmental survey in the western Moervaart-depression (East-Flanders, B). *Notae Praehistoricae* 31: 191-200.

**Moore P.D., Webb J.A. & Collinson M.E. 1991.** *Pollen Analysis*. Oxford.

**Noens G. 2011.** *Een afgedekt mesolithisch nederzettingsterrein te Hempens/N31 (gemeente Leeuwarden, provincie Friesland, Nl.). Algemeen kader voor de studie van een lithische vindplaats*. Gent (= Archaeological Reports Ghent University, ARGU 7).

**Noens G. & Laloo P. 2011.** *Koewacht - Emmabaan (gemeente Terneuzen, provincie Zeeland). Tussentijds evaluatie- en selectierapport in het kader van een inventariserend veldonderzoek (IVO-O/P)*. Evergem.

**Timmers A. & van Dasselaar M. 2009.** *Archeologisch onderzoek aan de Emmabaan te Koewacht, gemeente Terneuzen. Bureauonderzoek en inventariserend veldonderzoek met boringen*. Nieuwerkerk aan den IJssel (= ArcheoMedia Rapport A09-020-I).

**Pals J.P., van Geel B. & Delfos A. 1980.** Paleoecological studies in the Klokkeweel bog near Hoogkarspel (prov. of Noord Holland). *Review of palaeobotany and palynology* 30: 371–418.

**Peeters J.H.M., Hanraets E., Hogestijn J.W.H. & Jansma E. 2001.** *Dateringen: 14C-analyse en dendrochronologie*. In Hogestijn J.W.H. & Peeters J.H.M. (eds.). De Mesolithische en Vroeg-Neolithische vindplaats Hoge Vaart-A27 (Flevoland). Amersfoort (= Rapportage Archeologische Monumentenzorg 79, deel 12).

**Perdaen Y. & Ryssaert C. 2002.** The Final Palaeolithic site of Verrebroek Dok 2: a confrontation between debitage-typology, attribute analysis and refitting. *Notae Praehistoricae* 22: 75-81.

**Perdaen Y. 2004.** *De lithische technologie in het Finaal-Paleolithicum en Vroeg-Mesolithicum. Een studie aan de hand van enkele recent opgegraven vindplaatsen in de Wase Scheldepolders*. Proefschrift ter verkrijging van de graad van Doctor in de Archeologie. Gent.

**Perdaen Y., Crombé P. & Sergant J. 2004.** Federmessergroepen in de Scheldepolders (Oost-Vlaanderen, België). *Notae Praehistoricae* 24: 81-88.

**Peters F.J.C. & Peeters J.H.M. 2001.** *De opgraving van de mesolithische en neolithische vindplaats Urk-E4 (Domineesweg, gemeente Urk)*. Amersfoort (= Rapportage Archeologische Monumentenzorg 93).

**Provincie Zeeland. 2009.** *De Provinciale Onderzoeksagenda Archeologie Zeeland 2009-2012*. Zierikzee.

**Punt W. 1976.** The Northwest European Pollen Flora I. Amsterdam.

**Punt W. & Clarke G.C.S. 1980.** *The Northwest European Pollen Flora II*. Amsterdam.

**Punt W. & Clarke G.C.S. 1981.** *The Northwest European Pollen Flora III*. Amsterdam.

**Punt W. & Clarke G.C.S. 1984.** *The Northwest European Pollen Flora IV*. Amsterdam.

**Punt W. & Blackmore S. 1991.** *The Northwest European Pollen Flora VI*. Amsterdam.

**Punt W., Blackmore S. & Clarke G.C.S. 1988.** *The Northwest European Pollen Flora V*. Amsterdam.

**Punt W., Blackmore S. & Hoen P.P. 1995.** *The Northwest European Pollen Flora VII*. Amsterdam.

**Sergant J., Devriendt I., Messiaen L., Deconynck J., Laloo P., Bats M., Van Strydonck M., Boudin M. & Crombé P. 2011.** Radiokoolstofdateringen van enkele vroeg-mesolithische concentraties te Evergem - De Nest (Oost-Vlaanderen, B). *Notae Praehistoricae* 31: 15-19.

**STIBOKA 1980.** *Bodemkaart van Nederland, schaal 1:50000. Toelichting bij de kaartbladen 54 Oost Terneuzen, 55 Hulst en het Zeeuws-Vlaamse deel van de kaartbladen 48 Oost Middelburg en 49 West Bergen op Zoom*. Wageningen.

**Tesch P. 1911.** Over een voorkomen van Midden/Pliocene lagen aan de oppervlakte in Zeeuwsch-Vlaanderen. *Tijdschrift voor het Koninklijk Nederlands Aardrijkskundig Genootschap* 28, 1: 95-99.

**Trimpe Burger J.A. 1958.** Het oudheidkundig bodemonderzoek in Zeeland. *Zeeuws Tijdschrift* 8: 68-78 en 117-128.

**Trimpe Burger J.A. 1960.** Geologie en archeologie in het Deltagebied. *Geologie En Mijnbouw* 39: 686-691.

**Trimpe Burger J.A. 1961.** Beknopt overzicht van het oudheidkundig bodemonderzoek in het Deltagebied. *Berichten Van De Rijksdienst Voor Het Oudheidkundig Bodemonderzoek* 10-11: 195-209.

**Trimpe Burger J.A. 1967.** Opgravingen in de oude stad van Axel (Steentijd, Romeinse Tijd, Middeleeuwen). *Berichten Van De Rijksdienst Voor Het Oudheidkundig Bodemonderzoek* 17: 35-52.

**van Dierendonck R.M. & Jongepier J. 2001.** Verdronken landschappen: cultuurhistorie in de Westerschelde. *Zeeuws Landschap* 3: 6-9.

**van de Glind M., Kalshoven M., Kluiving S., Kasse C., Lelivelt R.A., Troelstra S.R. & Tebben L.A. 2011.** *Nieuw-Namen. Meester van der Heijdengroeve, Hulsterloostraat. Archeologische begeleiding en geologische profielopnamen*. 's-Hertogenbosch (= BAAC rapport A-10.0427).

**Van Geel B. 1976.** Fossil spores of Zygnemataceae in ditches of a prehistoric settlement in Hoogkarspel (The Netherlands). *Review of palaeobotany and palynology* 22: 337-344.

**Van Geel B. 2001.** *Non-Pollen palynomorphs*. In J.P. Smol, H.J.B. Birks & W.M. Last (eds.). Tracking Environmental Change Using Lake Sediments. Volume 3: Terrestrial, Algal, and Siliceous Indicators. Dordrecht: 99-119.

**Van Geel B. & Aptroot A. 2006.** Fossil ascomycetes in Quaternary deposits. *Nova Hedwigia* 82: 313-329.

**Van Geel B., Buurman J., Brinkkemper O., Schelvis J., Aptroot A., van Reenen G.B.A. & Hakbijl T. 2003.** Environmental reconstruction of a Roman Period settlement site in Uitgeest (The Netherlands). *Journal of Archaeological Science* 30: 873-883.

**Van der Haegen G., Crombé P. & Semey J. 1992.** *Steentijdvondsten in het Meetjesland (Oost-Vlaanderen, België). Inventaris en geografische analyse*. Gent (= Archeologische Inventaris Vlaanderen. Buitengewone reeks 6).

**van Heeringen R.M. 1986.** Steentijdvondsten op de Kauter in Nieuw-Namen. *Grondboor en Hamer* 40, ¾: 72-75.

**van Heeringen R.M. 1994a.** Archeologische kroniek van Zeeland over 1993. Hulst - Nieuw Namen - Kauterstraat. *Mededelingen v/h Koninklijk Zeeuwsch Genootschap der Wetenschappen* 1994: 225-228.

**van Heeringen R.M. 1994b.** Hulst 2. *Jaarverslag van de Rijksdienst voor het Oudheidkundig Bodemonderzoek* 1993: 183-184.

**Van Rummelen F.F.F.E. 1977.** *Toelichtingen bij de Geologische kaart van Nederland 1:50.000. Bladen Zeeuwsch-Vlaanderen West en Oost. Tweede druk.* Haarlem.

**van Strydonck M. & Crombé P. 2005.** *Features. Radiocarbon* dating. In Crombé P. (ed.). The last hunter-gatherer-fishermen in sandy Flanders (NW Belgium). The Verrebroek and Doek Excavation Projects (Vol. 1). Gent: 180-212.

**Van Vlaenderen L., Sergant J., De Bock H. & De Meireleir M. 2006.** *Steentijdvondsten in de Moervaartdepressie (Oost-Vlaanderen, België). Inventaris en geografische analyse.* Gent (= Archeologische Inventaris Vlaanderen, Buitengewone Reeks 9).

**Verhagen J.W.H.P., Rensink E., Bats M. & Crombé P. 2011.** *Optimale strategieën voor het opsporen van Steentijdvindplaatsen met behulp van booronderzoek. Een statistisch perspectief.* Amersfoort. (= Rapportage Archeologische Monumentenzorg 197).

**Zoetbrood P.A.M., van Rooijen C.A.M., Lauwerier R.C.G.M., van Haaff G. & van AS E. 2006.** *Uit balans. Wordingsgeschiedenis en analyse van het bestand van wettelijk beschermde archeologische monumenten*. Amersfoort.

# EINDNOTEN

[1] ARCHIS-onderzoek: 3413. Zie bijlage 11 voor de uitgebreide (ARCHIS-)rapportage van de onderzoeksmelding gerelateerd met dit onderzoek.

[2] ARCHIS-waarneming: 414993; ARCHIS-vondst: 410695; ARCHIS-onderzoek: 34221; ARCHIS-onderzoeksnummer: 26748. Zie ook bijlage 11.

[3] Voor de oppervlaktekartering uit 2010: ARCHIS-waarneming: 421303; ARCHIS-vondst: 415406. Zie bijlage 11 voor de uitgebreide (ARCHIS-)rapportage van deze waarneming. Zie ook bijlage 11. Omtrent de kartering uit 2011 konden wij geen nadere informatie vinden op ARCHIS. Aanvullende informatie van beide oppervlaktekarteringen is tevens te vinden op http://www.koew8.nl/pagina41.html (geconsulteerd op 10 januari 2012).

[4] De gehanteerde methode van het inventariserende onderzoek ter hoogte van het Emmahof wordt door Holthausen & Bulten (2002: 11) als volgt beschreven: "*In overeenstemming met de gestelde eisen zijn 10 (ram)gutsboringen gezet om het paleomicroreliëf in kaart te brengen. Zodoende is informatie verkregen over de onderliggende bodemopbouw. Hierbij is met name gelet op de zogenaamde Allerød-laag en het laagje van Usselo.* […] *De overige 13 boringen zijn eveneens met de guts gezet. Daar waar de noodzaak van monstername bestond zijn de boringen vervolgens met een Edelmanboor met een diameter van 20 cm (megaboor) geplaatst, waar mogelijk tot ca. 2 m – mv, in de top van het pleistocene moedermateriaal en onder de Allerødlaag. De boringen zijn zintuiglijk beoordeeld en geclassificeerd en beschreven.* […] *De boorkernen uit intacte archeologische niveaus en pleistocene bodemprofielen zijn gezeefd (maaswijdte 1mm en 500 µm) ter opsporing van archeologische indicatoren en paleoecologisch resten. Tijdens het onderzoek zijn 19 monsters gezeefd*".

[5] De gehanteerde methode van het inventariserende veldonderzoek ter hoogte van de akker langsheen de Emmabaan wordt door Timmers & van Dasselaar (2009: 14-15) als volgt beschreven: "*Conform de KNA is gekozen voor een inventariserend veldonderzoek door middel van een oppervlaktekartering en een karterend booronderzoek. Ter plaatse zal gelet worden op mogelijk bewaard gebleven bodem- en bewoningslagen vanaf het Paleolithicum t/m de Nieuwe tijd en in welke conditie deze zich bevinden.* […] *Voorafgaand aan het uitvoeren van de boringen wordt een oppervlaktekartering uitgevoerd.* […] *Boringen worden uitgevoerd volgens een regelmatig verspringend patroon.* […] *Van de boringen zijn beschrijvingen gemaakt en de opgeboorde grond is geïnspecteerd op de aanwezigheid van archeologische indicatoren. Daarnaast is gelet op de aanwezigheid van fosfaten (uitgespoelde en neergeslagen organische resten) en cultuurlagen (donkergekleurde bodemlagen, die vaak archeologische indicatoren bevatten).* […] *In overleg met de bevoegde overheid is geboord in een grid van 20 boringen per ha., zoals aangegeven voor gebieden met dagzomend dekzand in de richtlijnen van de Provincie Zeeland. Voor het zetten van de boringen is gebruik gemaakt van een Edelmanboor met een diameter van 12 cm (2 boringen per boorpunt bij verzamelen van monsters). Daarnaast is bij veel van de boringen een zandguts gebruikt om de intactheid van het bodemprofiel nauwkeurig te bepalen. De minimale boordiepte bedroeg circa 1,0 m –mv. De maximale boordiepte bedroeg 2,0 m –mv. De boringen zijn uitgezet met een meetlint en vervolgens ingemeten met GPS (afwijkingsmarge maximaal ca. 0,5 m).* [De z-coördinaten zijn a]*fgeleid van het AHN (met een afwijking van 6-10 cm).* [De boorbeschrijving is c]*onform NEN 5104. Er zijn 34 monsters genomen van archeologisch interessante lagen. De monsters zijn nat gezeefd over een zeef met een maaswijdte van 2 mm ter opsporing van kleine archeologische indicatoren*".

[6] Voor de afzonderlijke boorfiches wordt verwezen naar de oorspronkelijke rapporten (Holthausen & Bulten 2002: bijlage 5 en Timmers & van Dasselaar 2009: bijlage 3).

[7] Omtrent de omschakeling van bos naar landbouwgrond van het onderzoeksperceel zijn Timmers en van Dasselaar niet helemaal duidelijk. Enerzijds vermelden ze op pagina 19 dat het terrein tot ca. 1900 in gebruik is als bosperceel, (*cf.* pagina 11 en de Topografisch Militaire kaarten uit de periode 1811-1856), terwijl op pagina 11 melding wordt gemaakt van Topografisch Militaire kaarten uit 1912 en 1926 waarop de onderzoekslocatie nog steeds met bos beplant is. Het is pas op de topografische kaarten uit de tweede helft van de 20e eeuw (sinds 1950) dat aangegeven wordt dat het perceel in gebruik is als landbouwgrond (bron: www.watwaswaar.nl).

[8] In het kader van ons onderzoek hebben we dit materiaal vervolgens zelf ook kunnen bestuderen; zie paragraaf 5.5.2.2. De hier weergegeven cijfers zijn gebaseerd op hun publicatie.

[9] De gehanteerde methode en beperkingen van de oppervlaktekartering worden door H. Jongepier (2010) als volgt beschreven: "*Voor het meetsysteem op 28 april 2010 is uitgegaan van de afrastering aan de zuidkant van de akker. Deze afrastering vormt de scheiding tussen de akker en een woonwagenkamp. Als 0-punt voor*

*het meetsysteem is het begin van de afrastering aan de zuidoostkant van de akker gekozen, tegen de Emmabaan aan. Van hieruit is het terrein van zuid naar noord in stroken afgelopen, waarbij een ieder ongeveer (maximaal) vijf meter breed voor zijn rekening nam. De vondsten zijn eerst met een prikker gemarkeerd, vervolgens met behulp van meetlinten ingemeten en tot slot apart in een zakje met vondstkaartje erbij gedeponeerd.* […] *Er dient hierbij wel aangetekend te worden dat het noordelijk deel van de akker niet systematisch is afgezocht omdat daar net mest was uitgereden en de grondstructuur niet ingeregend. Daardoor was daar niets te vinden of te zien.*"

[10] Over het aantal en de precieze locatie van deze bemonsteringsputten heerst er onduidelijkheid in het PvE. Enerzijds wordt gesteld dat "*twee tot drie locaties* [worden] *uitgezocht*" waar "*telkens (machinaal) een put* [wordt] *gegraven tot 2m diepte*" (Crombé 2011: 16); verderop in het PvE is er echter sprake van dat er "[p]*er proefsleuf* […], *indien de aanwezigheid van eventueel archeologische resten het toelaat, telkens twee profielputten* [worden] *gemaakt t.b.v. het onderzoek naar paleosols. Het precieze aantal putten wordt bepaald in overleg met de adviseur van het bevoegd gezag*" (Crombé 2011: 16).

[11] In een aantal gevallen was het door het grondwater niet mogelijk kwaliteitsvolle monsters te verzamelen.

[12] Determinatie Davy Herremans (Vakgroep Archeologie, UGent).

[13] Omwille van die reden werd in bijlage 4 afgezien van een verbinding tussen de observaties in de verschillende boorkoppen. Deze visie wordt eveneens ondersteund vanuit het bodemkundige onderzoek; zie paragraaf 5.4.2.4.

[14] Deze boornummers zijn willekeurige nummers die door de landmeter aan de boorpunten werden toegekend.

[15] Het verschil tussen een stabilisatiehorizont en een bodem ligt in de bodemevolutie. Indien de bodem niet verder ontwikkeld is dan een A-C horizontsequentie, is er sprake van een stabilisatiehorizont. Een stabilsatieperiode is dus een kortere periode waarin geen erosie of sedimentatie plaatsvinden waardoor bodemprocessen kunnen aanvatten (*i.e.* humusaccumulatie, ontkalking, structuurontwikkeling etc.). In geval van een bodem, is er praktisch geen erosie-sedimentatie gebeurd voor een lange periode. Hierdoor zijn de resultaten van bodemontwikkeling veel duidelijker geworden. Onder andere is er de formatie van een B-horizont.

[16] Onderzoek en rapportering J.A.A. Bos (ADC Archeoprojecten). Deze paragraaf is een beknopte weergave van het oorspronkelijke waarderingsrapport dat ons werd aangeleverd door J.A.A. Bos. Het oorspronkelijke rapport is opgenomen in bijlage 10.

[17] zie tevens http://www.prehistoriclandscapes.ugent.be.

[18] Het materiaal afkomstig van beide SCEZ-karteringen uit 2010 en 2011 werd eerder gedetermineerd door H. Jongepier; deze determinaties, die ons ter beschikking werden gesteld, zijn nog niet gepubliceerd. Het lithische materiaal werd door ons bestudeerd tijdens de uitvoering van het veldwerk. Het lithische materiaal verzameld tijdens de het IVO-onderzoek van ArcheoMedia in 2009 werd eerder gedetermineerd door E. Drenth; zijn bevindingen werden gepubliceerd in Timmers & van Dasselaar 2009: 16-17. Het lithische materiaal werd ons op 25 januari 2012 door ArcheoMedia in bruikleen overhandigd tijdens een samenkomst in Middelburg.

[19] Een dergelijke discrepantie werd geobserveerd op de vindplaatsen Verrebroek-Dok en Doel-Deurganckdok in de nabijgelegen Wase Scheldepolders (Crombé *et al.* 1999b; van Strydonck & Crombé 2005) en op de Nederlandse vindplaatsen Almere-Hoge Vaart/A57 (Peeters *et al.* 2001), Leek-Mensumaweg IV (Crombé *et al.* 1999b), De Leijen (Lanting & van der Plicht 2000: 138), Urk-E4 (Peters & Peeters 2001) en Leeuwarden-Hempens/N31 (Noens 2011: 243-258).

[20] Crombé *et al.* (2005: 152, zie ondermeer ook Sergant *et al.* 2006; Leesch *et al.*2010) gaan ervan uit dat het herkennen (d.w.z. de aflijning en/of reconstructie) van oppervlaktehaarden binnen arte- en/of ecofactenconcentraties, vooral door de vaak quasi afwezigheid van houtskool ten gevolge van eolische activiteit, verwering en/of pedogenetische processen, kan plaatsvinden door gedetailleerde ruimtelijke analyses van verbrande arte- en ecofacten (vb. hazelnootschelpen, verbrand bot, verbrand vuursteen, enz.). Naar aanleiding van het recente dateringsonderzoek op de vroegprehistorische vindplaats Evergem-Nest werd nogmaals gewezen op het belang van de associatie tussen gedateerde hazelnoten en gereconstrueerde (latente) haarden (Sergant *et al.* 2011). Voor een discussie omtrent de aanwezigheid en interpretatie van archeologische bodemsporen met houtskool op mesolithische vindplaatsen in de Lage Landen verwijzen we naar Noens 2011: 255-258.

[21] Naast enkele vindplaatsen uit het paleo- en mesolithicum zijn er in de directe en ruimere omgeving van Koewacht wel verschillende vindplaatsen uit het neolithicum gekend, evenals vondsten waarvoor geen eenduidige datering beschikbaar is.

[22] ARCHIS-waarneming 21148.

[23] = de voorloper van de SCEZ.

[24] ARCHIS-waarneming 408086; ARCHIS-vondst 403705.

[25] ARCHIS-waarneming 22071.

[26] CAI-Vlaanderen, locatie 33460 (http://cai.erfgoed.net/cai/locatie.php?l=33460&p=a, geconsulteerd op 24/03/2012; zie ook Lauwers 1973: 62).

[27] CAI-Vlaanderen, locatie 32680 (http://cai.erfgoed.net/cai/locatie.php?l=33460&p=a, geconsulteerd op 24/03/2012; zie oij Lauwers 1973: 62).

[28] ARCHIS-waarneming 21124.

[29] Voor een meer gedetailleerd overzicht van de geologische, geomorfologische, bodemkundige, archeologische en historische achtergrond van Nieuw-Namen, zie van de Glind *et al.* 2011.

[30] ARCHIS-waarneming 21158.

[31] ARCHIS-waarneming 32644.

[32] ARCHIS-waarnemingen 410 en 696.

[33] ARCHIS-waarneming 128014.

[34] Het gaat om de ARCHIS-waarnemingen 410329, 128005 t.e.m. 128016. Meer concreet is sprake van vuursteenvondsten bij volgende ARCHIS-waarnemingen: 128008 (twee artefacten), 128009 (twee artefacten w.o. een schrabber), 128011 (één artefact), 128014 (zes artefacten w.o. een schrabber) en 128015 (één artefact).

[35] o.a. ARCHIS-waarneming 408028.

[36] o.a. ARCHIS-waarnemingen 11338, 20842, 20844 en 20846.

[37] http://www.archeologieonline.nl/nieuws/archeologiestudent-vindt-prehistorische-bijl-in-terneuzen (geconsulteerd op 01 maart 2012)

[38] ARCHIS-waarneming 21138.

[39] ARCHIS-waarnemingen 44965 t.e.m. 44967.

[40] ARCHIS-waarneming 402216.

[41] ARCHIS-waarneming 20940.

[42] ARCHIS-waarnemingen 21011 en 21012.

[43] o.a. ARCHIS-waarnemingen 20532, 40878 en 236161.

[44] ARCHIS-waarneming 400091.

[45] ARCHIS-waarneming 411627.

[46] ARCHIS-waarneming 19977.

[47] ARCHIS-waarneming 20691.

[48] ARCHIS-waarneming 52272.

[49] De drie opeenvolgende waarden zijn: (1) beleving, met als criteria schoonheid en herinneringswaarde, (2) fysieke kwaliteit, met als criteria gaafheid en conservering en (3) inhoudelijke kwaliteit, met als criteria zeldzaamheid, informatiewaarde, context- of ensemblewaarde en representativiteit.

[50] Deze informatie omtrent het gemeentelijke beleid werd ons schriftelijk meegedeeld door het bevoegd gezag in een eerdere conceptversie van dit rapport.

[51] Op basis van dit advies neemt de bevoegde overheid een selectiebesluit en voert het concrete maatregelen uit, te weten opgraven, fysiek beschermen, archeologisch begeleiden of vrijgeven. Een advies tot behoud van een vindplaats dient vergezeld te worden van een redengevende omschrijving; bij een advies tot opgraven dient de probleem- en doelstelling van het geadviseerde onderzoek nader te worden toegelicht.

# KOEWACHT-EMMABAAN

**(GEMEENTE TERNEUZEN, PROVINCIE ZEELAND)**

## Standaardrapport van een inventariserend veldonderzoek (IVO-O/P)

*Gunther* NOENS
*Pieter* LALOO
*Jari H.* MIKKELSEN

met een bijdrage van J.A.A. BOS
(ADC Archeoprojecten)

# DEEL II: DIGITALE BIJLAGEN

**GATE** – rapport 33

Ghent Archaeological Team bvba
Eindeken 18
9940 Evergem

**Project:**
Koewacht-Emmabaan (gemeente Terneuzen, provincie Zeeland): Standaardrapport van een inventariserend veldonderzoek (IVO-O/P)

**Opdrachtgever:**
GEMEENTE TERNEUZEN
Postbus 35 - 4530 AA Terneuzen

**Uitvoerder:**
GHENT ARCHAOLOGICAL TEAM bvba (GATE)
o.l.v. Pieter Laloo (IVO-P) & Gunther Noens (IVO-O)

ISSN: 2033 8678
D/2012/33

© 2012 - GHENT ARCHAOLOGICAL TEAM bvba

Niets uit deze uitgave mag vermenigvuldigd of aangepast worden, opgeslagen in een geautomatiseerd gegevensbestand en/of openbaar gemaakt worden onder enige vorm of wijze ook, elektronisch, mechanisch, door fotokopie, zonder toestemming van Ghent Archaeological Team bvba.

# DIGITALE BIJLAGEN

**Bijlage 1** Manuele boringen: gedetailleerd overzicht van de lithologie.

**Bijlage 2** Manuele boringen: gedetailleerd overzicht van de archeologische monstername van de top van het bodemprofiel.

**Bijlage 3** Manuele boringen: gedetailleerd overzicht van de archeologische monstername van de afgedekte paleobodems.

**Bijlage 4** Manuele boringen: de individuele boorstaten.

**Bijlage 5** Manuele boringen: gedetailleerd overzicht van de intactheid van de podzolbodem.

**Bijlage 6** Manuele boringen: gedetailleerd overzicht van de opbouw van de paleobodems.

**Bijlage 7** Vondstenlijst.

**Bijlage 8** Fotolijst booronderzoek.

**Bijlage 9** Dagrapporten.

**Bijlage 10** Het oorspronkelijke palynologische waarderingsrapport van J.A.A. Bos.

**Bijlage 11** ARCHIS-waarnemingen en onderzoeksmeldingen ter hoogte van het onderzoeksgebied.

**Bijlage 12** Het Programma van Eisen voor het uitgevoerde onderzoek.

| Boornummer | X-coördinaat | Y-coördinaat | Maaiveldhoogte (cm NAP) | Einddiepte (cm NAP) | relatieve diepte boortraject (cm) | Organisatie beschrijver | Beschrijver lithologie | Bovendiepte laag (cm) | Onderdiepte laag (cm) | ondergrens laag (cm NAP) | dikte pakket (cm) | Grondsoort | Bijmengsel humus | Hoofdkleur | Tweede kleur | Intensiteit kleur | Laaggrens | GWS na einde boring (cm) | GWS (cm NAP) | Vlekken, kleuren en hoeveelheden | Plantenresten | opmerkingen laag | bodemhorizont | Fotonummer |
|---|---|---|---|---|---|---|---|---|---|---|---|---|---|---|---|---|---|---|---|---|---|---|---|---|
| 1-1 | 558.870.273 | 3.612.220.316 | 222 | 27 | 195 | GATE | GN / FW | 0 | 5 | 217 | 5 | Z | | GR | TOR | | BSE | 170 | 52 | | | | verstoord | |
| | 558.870.273 | 3.612.220.316 | 222 | 27 | 195 | GATE | GN / FW | 5 | 170 | 52 | 165 | Z | | GE | | LI | BSE | | | | | | C-horizont | |
| | 558.870.273 | 3.612.220.316 | 222 | 27 | 195 | GATE | GN / FW | 170 | 175 | 47 | 5 | Z | H | BR | | DO | BSE | | | | | gelaagd | Paleosol | |
| | 558.870.273 | 3.612.220.316 | 222 | 27 | 195 | GATE | GN / FW | 175 | 180 | 42 | 5 | **V** | | BR | | DO | BSE | | | | 3 | | Paleosol | |
| | 558.870.273 | 3.612.220.316 | 222 | 27 | 195 | GATE | GN / FW | 180 | 195 | - | 15 | Z | | GE | TBE | LI | - | | | | | | C-horizont | |
| 1-2 | 558.909.642 | 3.612.312.781 | 209 | 19 | 190 | GATE | GN / FW | 0 | 160 | 49 | 160 | Z | | GE | TBE | LI | BSE | 165 | 44 | | | | C-horizont | |
| | 558.909.642 | 3.612.312.781 | 209 | 19 | 190 | GATE | GN / FW | 160 | 175 | 34 | 15 | Z | H | BR | | DO | BSE | | | | | gelaagd | Paleosol | |
| | 558.909.642 | 3.612.312.781 | 209 | 19 | 190 | GATE | GN / FW | 175 | 185 | 24 | 10 | **V** | | BR | | DO | BSE | | | | 3 | | Paleosol | |
| | 558.909.642 | 3.612.312.781 | 209 | 19 | 190 | GATE | GN / FW | 185 | 190 | - | 5 | Z | | GE | TBE | LI | - | | | | | | C-horizont | |
| 1-3 | 558.948.348 | 3.612.404.769 | 230 | 40 | 190 | GATE | GN / FW | 0 | 5 | 225 | 5 | Z | | GR | TOR | | BSE | | | | | | verstoord | |
| | 558.948.348 | 3.612.404.769 | 230 | 40 | 190 | GATE | GN / FW | 5 | 40 | 190 | 35 | Z | | OR | TGE | LI | BGE | | | | | | B/C-horizont | |
| | 558.948.348 | 3.612.404.769 | 230 | 40 | 190 | GATE | GN / FW | 40 | 175 | 55 | 135 | Z | | GE | TBE | LI | BSE | | | | | | C-horizont | |
| | 558.948.348 | 3.612.404.769 | 230 | 40 | 190 | GATE | GN / FW | 175 | 180 | 50 | 5 | Z | H | BR | | DO | BSE | | | | | gelaagd | Paleosol | |
| | 558.948.348 | 3.612.404.769 | 230 | 40 | 190 | GATE | GN / FW | 180 | 190 | - | 10 | Z | | GR | TBE | LI | - | | | | | | C-horizont | |
| ~~1-4~~ | ~~558.985.883~~ | ~~3.612.495.485~~ | ~~257~~ | | | ~~GATE~~ | ~~GN / FW~~ | | | | | | | | | | | | | | | ~~boring niet uitgevoerd~~ | | |
| 1-5 | 559.025.557 | 3.612.587.548 | 259 | 29 | 230 | GATE | GN / FW | 0 | 25 | 234 | 25 | Z | | OR | TGE | LI | BGE | | | | | | B/C-horizont | |
| | 559.025.557 | 3.612.587.548 | 259 | 29 | 230 | GATE | GN / FW | 25 | 215 | 44 | 190 | Z | | GE | TBE | LI | BSE | | | | | | C-horizont | |
| | 559.025.557 | 3.612.587.548 | 259 | 29 | 230 | GATE | GN / FW | 215 | 217 | 42 | 2 | Z | H | BR | | DO | BSE | | | | | gelaagd | Paleosol | |
| | 559.025.557 | 3.612.587.548 | 259 | 29 | 230 | GATE | GN / FW | 217 | 230 | - | 13 | Z | | GR | TBE | LI | - | | | | | | C-horizont | |
| 1-6 | 559.065.477 | 3.612.680.205 | 279 | 54 | 225 | GATE | GN / FW | 0 | 15 | 264 | 15 | Z | | OR | TGE | LI | BGE | | | | | | B/C-horizont | |
| | 559.065.477 | 3.612.680.205 | 279 | 54 | 225 | GATE | GN / FW | 15 | 215 | 64 | 200 | Z | | GE | TBE | LI | BSE | | | | | | C-horizont | |
| | 559.065.477 | 3.612.680.205 | 279 | 54 | 225 | GATE | GN / FW | 215 | 217 | 62 | 2 | Z | H | BR | | DO | BSE | | | | | | Paleosol | |
| | 559.065.477 | 3.612.680.205 | 279 | 54 | 225 | GATE | GN / FW | 217 | 225 | - | 8 | Z | | GR | TBE | LI | - | | | | | | C-horizont | |
| 1-7 | 559.104.763 | 3.612.771.322 | 269 | 39 | 230 | GATE | GN / FW | 0 | 20 | 249 | 20 | Z | | OR | TGE | LI | BGE | | | | | | B/C-horizont | |
| | 559.104.763 | 3.612.771.322 | 269 | 39 | 230 | GATE | GN / FW | 20 | 230 | - | 210 | Z | | GR | TBE | LI | - | | | | | | C-horizont | |
| 1-8 | 559.145.339 | 3.612.863.697 | 274 | 54 | 220 | GATE | GN / FW | 0 | 15 | 259 | 15 | Z | | OR | TGE | LI | BGE | | | | | | B/C-horizont | |
| | 559.145.339 | 3.612.863.697 | 274 | 54 | 220 | GATE | GN / FW | 15 | 205 | 69 | 190 | Z | | GE | TBE | LI | BSE | | | | | | C-horizont | |
| | 559.145.339 | 3.612.863.697 | 274 | 54 | 220 | GATE | GN / FW | 205 | 209 | 65 | 4 | Z | H | BR | | DO | BSE | | | | | gelaagd | Paleosol | |
| | 559.145.339 | 3.612.863.697 | 274 | 54 | 220 | GATE | GN / FW | 209 | 211 | 63 | 2 | **V** | | BR | | DO | BSE | | | | 3 | | Paleosol | |
| | 559.145.339 | 3.612.863.697 | 274 | 54 | 220 | GATE | GN / FW | 211 | 213 | 61 | 2 | Z | | GR | TBE | LI | BSE | | | | | | C-horizont | |
| | 559.145.339 | 3.612.863.697 | 274 | 54 | 220 | GATE | GN / FW | 213 | 215 | 59 | 2 | Z | H | BR | | DO | BSE | | | | | | Paleosol | |
| | 559.145.339 | 3.612.863.697 | 274 | 54 | 220 | GATE | GN / FW | 215 | 220 | - | 5 | Z | | GR | TBE | LI | - | | | | | | C-horizont | |
| 1-9 | 559.186.813 | 3.612.954.637 | 264 | 39 | 225 | GATE | GN / FW | 0 | 15 | 249 | 15 | Z | | OR | TGE | LI | BGE | | | | | | B/C-horizont | |
| | 559.186.813 | 3.612.954.637 | 264 | 39 | 225 | GATE | GN / FW | 15 | 15 | 249 | 0 | Z | | GE | TBE | LI | BSE | | | | | | C-horizont | |
| | 559.186.813 | 3.612.954.637 | 264 | 39 | 225 | GATE | GN / FW | 220 | 225 | - | 5 | Z | H | BR | | DO | - | | | | | | Paleosol | |
| 1-10 | 559.226.078 | 3.613.046.460 | 255 | 40 | 215 | GATE | GN / FW | 0 | 200 | 55 | 200 | Z | | GE | TBE | LI | BSE | | | | | | C-horizont | |
| | 559.226.078 | 3.613.046.460 | 255 | 40 | 215 | GATE | GN / FW | 200 | 203 | 52 | 3 | Z | H | BR | | DO | BSE | | | | | gelaagd | Paleosol | |
| | 559.226.078 | 3.613.046.460 | 255 | 40 | 215 | GATE | GN / FW | 203 | 208 | 47 | 5 | Z | H | GR | | LI | BSE | | | | | | C-horizont | |
| | 559.226.078 | 3.613.046.460 | 255 | 40 | 215 | GATE | GN / FW | 208 | 210 | 45 | 2 | Z | H | BR | | DO | BSE | | | | | gelaagd | Paleosol | |
| | 559.226.078 | 3.613.046.460 | 255 | 40 | 215 | GATE | GN / FW | 210 | 215 | - | 5 | Z | | GR | TBE | LI | - | | | | | | C-horizont | |
| 1-11 | 559.265.538 | 3.613.138.457 | 272 | 47 | 225 | GATE | GN / FW | 0 | 5 | 267 | 5 | Z | | GR | TOR | | BSE | | | | | | verstoord | |
| | 559.265.538 | 3.613.138.457 | 272 | 47 | 225 | GATE | GN / FW | 5 | 30 | 242 | 25 | Z | | OR | TGE | LI | BGE | | | | | | B/C-horizont | |
| | 559.265.538 | 3.613.138.457 | 272 | 47 | 225 | GATE | GN / FW | 30 | 220 | 52 | 190 | Z | | GE | TBE | LI | BSE | | | | | | C-horizont | |
| | 559.265.538 | 3.613.138.457 | 272 | 47 | 225 | GATE | GN / FW | 220 | 225 | - | 5 | Z | H | BR | | DO | - | | | | | | Paleosol | |
| 1-12 | 559.305.119 | 3.613.230.099 | 264 | 44 | 220 | GATE | GN / FW | 0 | 15 | 249 | 15 | Z | | GE | TOR | LI | BGE | | | | | | B/C-horizont | |
| | 559.305.119 | 3.613.230.099 | 264 | 44 | 220 | GATE | GN / FW | 15 | 220 | - | 205 | Z | | GE | TBE | LI | - | | | | | | C-horizont | |
| 2-1 | 558.767.134 | 3.612.224.264 | 274 | 49 | 225 | GATE | GN | 0 | 20 | 254 | 20 | Z | | GR | | DO | BGE | | | | | boring vanaf maaiveld | Ploeglaag | KOEB T 02 01 0809 |
| | 558.767.134 | 3.612.224.264 | 274 | 49 | 225 | GATE | GN | 20 | 60 | 214 | 40 | Z | | GR | TBR | | BSE | | | | | | verstoord | |

| Boornummer | X-coördinaat | Y-coördinaat | Maaiveldhoogte (cm NAP) | Einddiepte (cm NAP) | relatieve diepte boortraject (cm) | Organisatie beschrijver | Beschrijver lithologie | Bovendiepte laag (cm) | Onderdiepte laag (cm) | ondergrens laag (cm NAP) | dikte pakket (cm) | Grondsoort | Bijmengsel humus | Hoofdkleur | Tweede kleur | Intensiteit kleur | Laaggrens | GWS na einde boring (cm) | GWS (cm NAP) | Vlekken, kleuren en hoeveelheden | Plantenresten | opmerkingen laag | bodemhorizont | Fotonummer |
|---|---|---|---|---|---|---|---|---|---|---|---|---|---|---|---|---|---|---|---|---|---|---|---|---|
| | 558.767.134 | 3.612.224.264 | 274 | 49 | 225 | GATE | GN | 60 | 75 | 199 | 15 | Z | | GE | TOR | LI | BGE | | | | | | B/C-horizont | |
| | 558.767.134 | 3.612.224.264 | 274 | 49 | 225 | GATE | GN | 75 | 212 | 62 | 137 | Z | | GE | TBE | LI | BSE | | | | | | C-horizont | |
| | 558.767.134 | 3.612.224.264 | 274 | 49 | 225 | GATE | GN | 212 | 218 | 56 | 6 | Z | H | BR | | DO | BSE | | | | | | Paleosol | |
| | 558.767.134 | 3.612.224.264 | 274 | 49 | 225 | GATE | GN | 218 | 221 | 53 | 3 | **V** | | BR | | DO | BSE | | | | 3 | | Paleosol | |
| | 558.767.134 | 3.612.224.264 | 274 | 49 | 225 | GATE | GN | 221 | 225 | - | 4 | Z | | GR | TBE | LI | - | | | | | | C-horizont | |
| 2-2 | 558.806.405 | 3.612.316.181 | 228 | 28 | 200 | GATE | GN | 0 | 25 | 203 | 25 | Z | | GE | TOR | LI | BGE | 170 | 58 | | | | B/C-horizont | |
| | 558.806.405 | 3.612.316.181 | 228 | 28 | 200 | GATE | GN | 25 | 170 | 58 | 145 | Z | | GE | | LI | BSE | | | | | | C-horizont | KOEB P 02 02 0811 |
| | 558.806.405 | 3.612.316.181 | 228 | 28 | 200 | GATE | GN | 170 | 172 | 56 | 2 | Z | H | BR | | DO | BSE | | | | | | Paleosol | KOEB P 02 02 0811 |
| | 558.806.405 | 3.612.316.181 | 228 | 28 | 200 | GATE | GN | 172 | 174 | 54 | 2 | **V** | | BR | | DO | BSE | | | | 3 | | Paleosol | KOEB P 02 02 0811 |
| | 558.806.405 | 3.612.316.181 | 228 | 28 | 200 | GATE | GN | 174 | 176 | 51,95 | 2 | Z | H | GR | | LI | BSE | | | | | | Paleosol | KOEB P 02 02 0811 |
| | 558.806.405 | 3.612.316.181 | 228 | 28 | 200 | GATE | GN | 176 | 182 | 46 | 6 | Z | H | BR | | DO | BSE | | | | | gelaagd | Paleosol | KOEB P 02 02 0811 |
| | 558.806.405 | 3.612.316.181 | 228 | 28 | 200 | GATE | GN | 182 | 200 | - | 18 | Z | | GR | TBE | LI | - | | | | | | C-horizont | KOEB P 02 02 0811 |
| 2-3 | 558.846.082 | 3.612.408.125 | 245 | 30 | 215 | GATE | GN | 0 | 30 | 215 | 30 | Z | | OR | | | BGE | | | | | | B-horizont | |
| | 558.846.082 | 3.612.408.125 | 245 | 30 | 215 | GATE | GN | 30 | 50 | 195 | 20 | Z | | OR | TGE | LI | BGE | | | | | | B/C-horizont | |
| | 558.846.082 | 3.612.408.125 | 245 | 30 | 215 | GATE | GN | 50 | 196 | 49 | 146 | Z | | GE | | | BSE | | | | | | C-horizont | |
| | 558.846.082 | 3.612.408.125 | 245 | 30 | 215 | GATE | GN | 196 | 202 | 43 | 6 | Z | H | BR | | DO | BSE | | | | | | Paleosol | |
| | 558.846.082 | 3.612.408.125 | 245 | 30 | 215 | GATE | GN | 202 | 215 | - | 13 | Z | (H) | GR | | LI | - | | | | | | C-horizont | |
| 2-4 | 558.885.432 | 3.612.499.965 | 260 | 45 | 215 | GATE | GN | 0 | 15 | 245 | 15 | Z | | OR | | | BGE | | | | | | B-horizont | |
| | 558.885.432 | 3.612.499.965 | 260 | 45 | 215 | GATE | GN | 15 | 35 | 225 | 20 | Z | | OR | TGE | LI | BGE | | | | | | B/C-horizont | |
| | 558.885.432 | 3.612.499.965 | 260 | 45 | 215 | GATE | GN | 35 | 205 | 55 | 170 | Z | | GE | TBE | LI | BSE | | | | | | C-horizont | |
| | 558.885.432 | 3.612.499.965 | 260 | 45 | 215 | GATE | GN | 205 | 208 | 52 | 3 | Z | H | BR | | DO | BSE | | | | | gelaagd | Paleosol | |
| | 558.885.432 | 3.612.499.965 | 260 | 45 | 215 | GATE | GN | 208 | 215 | - | 7 | Z | | GR | TBE | LI | - | | | | | op ca. 2100 een tweede organisch laagje? | C-horizont | |
| ~~2-5~~ | ~~558.924.715~~ | ~~3.612.592.093~~ | ~~272~~ | | | ~~GATE~~ | ~~GN~~ | | | | | | | | | | | | | | | ~~boring niet uitgevoerd~~ | | |
| 2-6 | 558.964.148 | 3.612.683.979 | 258 | 33 | 225 | GATE | GN | 0 | 205 | 53 | 205 | Z | | GE | TBE | LI | BSE | 215 | 43 | | | | C-horizont | KOEB P 02 06 0820 en 0821 |
| | 558.964.148 | 3.612.683.979 | 258 | 33 | 225 | GATE | GN | 205 | 208 | 50 | 3 | Z | H | BR | | DO | BSE | | | | | gelaagd | Paleosol | KOEB P 02 06 0820 en 0821 |
| | 558.964.148 | 3.612.683.979 | 258 | 33 | 225 | GATE | GN | 208 | 225 | - | 17 | Z | | GR | TBE | LI | - | | | | | op ca. 2090 een tweede organisch laagje? | C-horizont | KOEB P 02 06 0820 en 0821 |
| 2-7 | 559.003.569 | 3.612.775.596 | 264 | 34 | 230 | GATE | GN | 0 | 200 | 64 | 200 | Z | | GE | TBE | LI | BSE | - | | | | | C-horizont | |
| | 559.003.569 | 3.612.775.596 | 264 | 34 | 230 | GATE | GN | 200 | 203 | 61 | 3 | Z | H | BR | | DO | BSE | | | | | | Paleosol | |
| | 559.003.569 | 3.612.775.596 | 264 | 34 | 230 | GATE | GN | 203 | 230 | - | 27 | Z | | GR | | LI | - | | | | | op ca. 2040 een tweede organisch laagje? | C-horizont | |
| 2-8 | 559.043.156 | 3.612.867.548 | 256 | 46 | 210 | GATE | GN / FW | 0 | 200 | 56 | 200 | Z | | GE | TBE | LI | BSE | - | | | | | C-horizont | KOEB P 02 08 0827 en 0828 |
| | 559.043.156 | 3.612.867.548 | 256 | 46 | 210 | GATE | GN / FW | 200 | 203 | 53 | 3 | Z | H | BR | | DO | BSE | | | | | gelaagd | Paleosol | KOEB P 02 08 0827 en 0828 |
| | 559.043.156 | 3.612.867.548 | 256 | 46 | 210 | GATE | GN / FW | 203 | 210 | - | 7 | Z | | GR | TBE | LI | - | | | | | | C-horizont | KOEB P 02 08 0827 en 0828 |
| 2-9 | 559.082.330 | 3.612.959.511 | 268 | 38 | 230 | GATE | GN / FW | 0 | 15 | 253 | 15 | Z | | GE | TOR | LI | BGE | - | | | | | B/C-horizont | |
| | 559.082.330 | 3.612.959.511 | 268 | 38 | 230 | GATE | GN / FW | 15 | 200 | 68 | 185 | Z | | GE | | LI | BSE | | | | | | C-horizont | |
| | 559.082.330 | 3.612.959.511 | 268 | 38 | 230 | GATE | GN / FW | 200 | 203 | 65 | 3 | Z | H | BR | | DO | BSE | | | | | | Paleosol | |
| | 559.082.330 | 3.612.959.511 | 268 | 38 | 230 | GATE | GN / FW | 203 | 230 | - | 27 | Z | | GR | | LI | - | | | | | op ca. 2040 een tweede organisch laagje? | C-horizont | |
| 2-10 | 559.121.755 | 3.613.051.624 | 263 | 43 | 220 | GATE | GN | 0 | 15 | 248 | 15 | Z | | GE | TOR | LI | BGE | - | | | | | B/C-horizont | |
| | 559.121.755 | 3.613.051.624 | 263 | 43 | 220 | GATE | GN | 15 | 205 | 58 | 190 | Z | | GE | | LI | BSE | | | | | | C-horizont | |
| | 559.121.755 | 3.613.051.624 | 263 | 43 | 220 | GATE | GN | 205 | 208 | 55 | 3 | Z | H | BR | | DO | BSE | | | | | gelaagd | Paleosol | |
| | 559.121.755 | 3.613.051.624 | 263 | 43 | 220 | GATE | GN | 208 | 214 | 49 | 6 | Z | | GR | TBE | LI | BSE | | | | | | C-horizont | |
| | 559.121.755 | 3.613.051.624 | 263 | 43 | 220 | GATE | GN | 214 | 216 | 47 | 2 | Z | H | BR | | DO | BSE | | | | | gelaagd | Paleosol | |
| | 559.121.755 | 3.613.051.624 | 263 | 43 | 220 | GATE | GN | 216 | 220 | - | 4 | Z | | GR | TBE | LI | - | | | | | | C-horizont | |
| 2-11 | 559.161.342 | 3.613.143.495 | 258 | 28 | 230 | GATE | GN | 0 | 15 | 243 | 15 | Z | | GE | TOR | LI | BGE | - | | | | | B/C-horizont | |
| | 559.161.342 | 3.613.143.495 | 258 | 28 | 230 | GATE | GN | 15 | 205 | 53 | 190 | Z | | GE | | LI | BSE | | | | | | C-horizont | |
| | 559.161.342 | 3.613.143.495 | 258 | 28 | 230 | GATE | GN | 205 | 207 | 51 | 2 | Z | H | BR | | DO | BSE | | | | | gelaagd | Paleosol | |
| | 559.161.342 | 3.613.143.495 | 258 | 28 | 230 | GATE | GN | 207 | 213 | 45 | 6 | Z | | GR | TBE | LI | BSE | | | | | | C-horizont | |
| | 559.161.342 | 3.613.143.495 | 258 | 28 | 230 | GATE | GN | 213 | 216 | 42 | 3 | Z | H | BR | | DO | BSE | | | | | | Paleosol | |
| | 559.161.342 | 3.613.143.495 | 258 | 28 | 230 | GATE | GN | 216 | 230 | - | 14 | Z | | GR | TBE | LI | - | | | | | | C-horizont | |

| Boornummer | X-coördinaat | Y-coördinaat | Maaiveldhoogte (cm NAP) | Einddiepte (cm NAP) | relatieve diepte boortraject (cm) | Organisatie beschrijver | Beschrijver lithologie | Bovendiepte laag (cm) | Onderdiepte laag (cm) | ondergrens laag (cm NAP) | dikte pakket (cm) | Grondsoort | Bijmengsel humus | Hoofdkleur | Tweede kleur | Intensiteit kleur | Laaggrens | GWS na einde boring (cm) | GWS (cm NAP) | Vlekken, kleuren en hoeveelheden | Plantenresten | opmerkingen laag | bodemhorizont | Fotonummer |
|---|---|---|---|---|---|---|---|---|---|---|---|---|---|---|---|---|---|---|---|---|---|---|---|---|
| 2-12 | 559.200.591 | 3.613.235.159 | 262 | 32 | 230 | GATE | GN | 0 | 15 | 247 | 15 | Z | | GE | TOR | LI | BGE | - | | | | | B/C-horizont | |
| | 559.200.591 | 3.613.235.159 | 262 | 32 | 230 | GATE | GN | 15 | 228 | 34 | 213 | Z | | GE | TBE | LI | BSE | | | | | | C-horizont | |
| | 559.200.591 | 3.613.235.159 | 262 | 32 | 230 | GATE | GN | 228 | 230 | - | 2 | Z | H | BR | | DO | - | | | | | | Paleosol | |
| 2-13 | 559.240.144 | 3.613.327.051 | 304 | 74 | 230 | GATE | GN | 0 | 25 | 279 | 25 | Z | H | BR | TGR | DO | BSE | - | | | | boring vanaf maaiveld | Ploeglaag | |
| | 559.240.144 | 3.613.327.051 | 304 | 74 | 230 | GATE | GN | 25 | 30 | 274 | 5 | Z | H | GR | | DO | BSE | | | | | gevlekt | verstoord | |
| | 559.240.144 | 3.613.327.051 | 304 | 74 | 230 | GATE | GN | 30 | 230 | - | 200 | Z | | GE | TBE | LI | - | | | | | | C-horizont | |
| 3-1 | 558.655.532 | 3.612.217.851 | 276 | 246 | 30 | GATE | GN | 0 | 25 | 251 | 25 | Z | H | BR | TGR | DO | BSE | - | | | | boring vanaf maaiveld | Ploeglaag | |
| | 558.655.532 | 3.612.217.851 | 276 | 246 | 30 | GATE | GN | 25 | 30 | - | 5 | | | | | | | | | | | boring gestaakt - puin | verstoord | |
| 3-2 | 558.694.960 | 3.612.309.599 | 227 | 27 | 200 | GATE | GN | 0 | 5 | 222 | 5 | Z | H | BR | TGR | DO | BSE | 160 | 67 | | | | bodemspoor | KOEB T 03 02 0842 en 0843 |
| | 558.694.960 | 3.612.309.599 | 227 | 27 | 200 | GATE | GN | 5 | 25 | | 20 | Z | | GE | TOR | LI | BGE | | | | | | B/C-horizont | |
| | 558.694.960 | 3.612.309.599 | 227 | 27 | 200 | GATE | GN | 25 | 200 | | 175 | Z | | GE | TBE | LI | - | | | | | moeilijke observatie;<br>op ca. 1800 een organisch laagje? | C-horizont | |
| 3-3 | 558.734.424 | 3.612.401.645 | 240 | 15 | 225 | GATE | GN | 0 | 15 | 225 | 15 | Z | | OR | TGE | LI | BGE | | | | | | B-horizont | |
| | 558.734.424 | 3.612.401.645 | 240 | 15 | 225 | GATE | GN | 15 | 40 | 200 | 25 | Z | | GE | TOR | LI | BGE | | | | | | B/C-horizont | |
| | 558.734.424 | 3.612.401.645 | 240 | 15 | 225 | GATE | GN | 40 | 170 | 70 | 130 | Z | | GE | TBE | LI | BSE | | | | | | C-horizont | KOEB P 03 03 0845 t.e.m. 0847 |
| | 558.734.424 | 3.612.401.645 | 240 | 15 | 225 | GATE | GN | 170 | 172 | 68 | 2 | Z | H | BR | | DO | BSE | | | | | gelaagd | Paleosol | KOEB P 03 03 0845 t.e.m. 0847 |
| 3-3 | 558.734.424 | 3.612.401.645 | 240 | 15 | 225 | GATE | GN | 172 | 177 | 63 | 5 | **V** | | BR | | DO | BSE | | | | 3 | | Paleosol | KOEB P 03 03 0845 t.e.m. 0847 |
| | 558.734.424 | 3.612.401.645 | 240 | 15 | 225 | GATE | GN | 177 | 180 | 60 | 3 | Z | H | BR | | DO | BSE | | | | | | Paleosol | KOEB P 03 03 0845 t.e.m. 0847 |
| | 558.734.424 | 3.612.401.645 | 240 | 15 | 225 | GATE | GN | 180 | 225 | - | 45 | Z | | GR | TBE | LI | - | | | | | | C-horizont | KOEB P 03 03 0845 t.e.m. 0847 |
| 3-4 | 558.773.769 | 3.612.493.428 | 257 | 32 | 225 | GATE | GN / FW | 0 | 20 | 237 | 20 | Z | | GE | TOR | LI | BGE | | | | | | B/C-horizont | |
| | 558.773.769 | 3.612.493.428 | 257 | 32 | 225 | GATE | GN / FW | 20 | 198 | 59 | 178 | Z | | GE | | LI | BSE | | | | | | C-horizont | |
| | 558.773.769 | 3.612.493.428 | 257 | 32 | 225 | GATE | GN / FW | 198 | 201 | 56 | 3 | Z | H | BR | | DO | BSE | | | | | gelaagd | Paleosol | |
| | 558.773.769 | 3.612.493.428 | 257 | 32 | 225 | GATE | GN / FW | 201 | 204 | 53 | 3 | **V** | | BR | | DO | BSE | | | | 3 | | Paleosol | |
| | 558.773.769 | 3.612.493.428 | 257 | 32 | 225 | GATE | GN / FW | 204 | 208 | 49 | 4 | Z | H | BR | | DO | BSE | | | | | | Paleosol | |
| | 558.773.769 | 3.612.493.428 | 257 | 32 | 225 | GATE | GN / FW | 208 | 225 | - | 17 | Z | | GR | TBE | LI | - | | | | | | C-horizont | |
| 3-5 | 558.813.205 | 3.612.585.508 | 270 | 40 | 230 | GATE | GN / FW | 0 | 210 | 60 | 210 | Z | | GE | | LI | BSE | | | | | | C-horizont | |
| | 558.813.205 | 3.612.585.508 | 270 | 40 | 230 | GATE | GN / FW | 210 | 212 | 58 | 2 | Z | H | BR | | DO | BSE | | | | | | Paleosol | |
| | 558.813.205 | 3.612.585.508 | 270 | 40 | 230 | GATE | GN / FW | 212 | 218 | 52 | 6 | Z | | GR | TBE | LI | BSE | | | | | | C-horizont | |
| | 558.813.205 | 3.612.585.508 | 270 | 40 | 230 | GATE | GN / FW | 218 | 220 | 50 | 2 | Z | H | BR | | DO | BSE | | | | | | Paleosol | |
| | 558.813.205 | 3.612.585.508 | 270 | 40 | 230 | GATE | GN / FW | 220 | 230 | - | 10 | Z | | GR | TBE | LI | - | | | | | | C-horizont | |
| 3-6 | 558.852.730 | 3.612.677.288 | 267 | 37 | 230 | GATE | GN / FW | 0 | 15 | 252 | 15 | Z | | GE | TOR | LI | BGE | | | | | | B/C-horizont | |
| | 558.852.730 | 3.612.677.288 | 267 | 37 | 230 | GATE | GN / FW | 15 | 202 | 65 | 187 | Z | | GE | TBE | LI | BSE | | | | | | C-horizont | KOEB P 03 06 0852 |
| | 558.852.730 | 3.612.677.288 | 267 | 37 | 230 | GATE | GN / FW | 202 | 208 | 59 | 6 | Z | H | BR | | DO | BSE | | | | | gelaagd | Paleosol | KOEB P 03 06 0852 |
| | 558.852.730 | 3.612.677.288 | 267 | 37 | 230 | GATE | GN / FW | 208 | 230 | - | 22 | Z | | GR | TBE | LI | - | | | | | | C-horizont | KOEB P 03 06 0852 |
| 3-7 | 558.891.923 | 3.612.769.146 | 253 | 28 | 225 | GATE | GN / FW | 0 | 180 | 73 | 180 | Z | | GE | TBE | LI | BSE | 215 | 38 | | | | C-horizont | KOEB P 03 07 0855 |
| | 558.891.923 | 3.612.769.146 | 253 | 28 | 225 | GATE | GN / FW | 180 | 183 | 70 | 3 | Z | H | BR | | DO | BSE | | | | | gelaagd | Paleosol | KOEB P 03 07 0855 |
| | 558.891.923 | 3.612.769.146 | 253 | 28 | 225 | GATE | GN / FW | 183 | 225 | - | 42 | Z | | GR | TBE | LI | - | | | | | | C-horizont | KOEB P 03 07 0855 |
| 3-8 | 558.931.471 | 3.612.861.159 | 258 | 33 | 225 | GATE | GN / FW | 0 | 15 | 243 | 15 | Z | | GE | TOR | LI | BGE | | | | | | B/C-horizont | |
| | 558.931.471 | 3.612.861.159 | 258 | 33 | 225 | GATE | GN / FW | 15 | 188 | 70 | 173 | Z | | GE | TBE | LI | BSE | | | | | | C-horizont | |
| | 558.931.471 | 3.612.861.159 | 258 | 33 | 225 | GATE | GN / FW | 188 | 190 | 68 | 2 | Z | H | BR | | DO | BSE | | | | | gelaagd | Paleosol | |
| | 558.931.471 | 3.612.861.159 | 258 | 33 | 225 | GATE | GN / FW | 190 | 200 | 58 | 10 | Z | | GR | TBE | LI | BSE | | | | | | C-horizont | |
| | 558.931.471 | 3.612.861.159 | 258 | 33 | 225 | GATE | GN / FW | 200 | 203 | 55 | 3 | Z | H | BR | | DO | BSE | | | | | gelaagd | Paleosol | |
| | 558.931.471 | 3.612.861.159 | 258 | 33 | 225 | GATE | GN / FW | 203 | 225 | - | 22 | Z | | GR | TBE | LI | - | | | | | | C-horizont | |
| 3-9 | 558.970.900 | 3.612.952.999 | 257 | 32 | 225 | GATE | GN / FW | 0 | 15 | 242 | 15 | Z | | GE | TOR | LI | BGE | 220 | 37 | | | | B/C-horizont | |
| | 558.970.900 | 3.612.952.999 | 257 | 32 | 225 | GATE | GN / FW | 15 | 190 | 67 | 175 | Z | | GE | TBE | LI | BSE | | | | | | C-horizont | KOEB P 03 09 0858 |
| | 558.970.900 | 3.612.952.999 | 257 | 32 | 225 | GATE | GN / FW | 190 | 194 | 63 | 4 | Z | H | BR | | DO | BSE | | | | | gelaagd | Paleosol | KOEB P 03 09 0858 |
| | 558.970.900 | 3.612.952.999 | 257 | 32 | 225 | GATE | GN / FW | 194 | 225 | - | 31 | Z | | GR | TBE | LI | - | | | | | | C-horizont | KOEB P 03 09 0858 |
| 3-10 | 559.010.198 | 3.613.045.004 | 254 | 29 | 225 | GATE | GN / FW | 0 | 190 | 64 | 190 | Z | | GE | TBE | LI | BSE | 215 | 39 | | | | C-horizont | |

| Boornummer | X-coördinaat | Y-coördinaat | Maaiveldhoogte (cm NAP) | Einddiepte (cm NAP) | relatieve diepte boortraject (cm) | Organisatie beschrijver | Beschrijver lithologie | Bovendiepte laag (cm) | Onderdiepte laag (cm) | ondergrens laag (cm NAP) | dikte pakket (cm) | Grondsoort | Bijmengsel humus | Hoofdkleur | Tweede kleur | Intensiteit kleur | Laaggrens | GWS na einde boring (cm) | GWS (cm NAP) | Vlekken, kleuren en hoeveelheden | Plantenresten | opmerkingen laag | bodemhorizont | Fotonummer |
|---|---|---|---|---|---|---|---|---|---|---|---|---|---|---|---|---|---|---|---|---|---|---|---|---|
| | 559.010.198 | 3.613.045.004 | 254 | 29 | 225 | GATE | GN / FW | 190 | 194 | 60 | 4 | Z | H | BR | | DO | BSE | | | | | gelaagd | Paleosol | |
| | 559.010.198 | 3.613.045.004 | 254 | 29 | 225 | GATE | GN / FW | 194 | 200 | 54 | 6 | Z | | GR | TBE | LI | BSE | | | | | | C-horizont | |
| | 559.010.198 | 3.613.045.004 | 254 | 29 | 225 | GATE | GN / FW | 200 | 203 | 51 | 3 | Z | H | BR | | DO | BSE | | | | | gelaagd | Paleosol | |
| | 559.010.198 | 3.613.045.004 | 254 | 29 | 225 | GATE | GN / FW | 203 | 225 | - | 22 | Z | | GR | TBE | LI | - | | | | | | C-horizont | |
| 3-11 | 559.044.966 | 3.613.138.865 | 257 | 37 | 220 | GATE | GN / FW | 0 | 185 | 72 | 185 | Z | | GE | TBE | LI | BSE | 210 | 47 | | | | C-horizont | KOEB P 03 11 0864 en 0865 |
| | 559.044.966 | 3.613.138.865 | 257 | 37 | 220 | GATE | GN / FW | 185 | 187 | 70 | 2 | Z | H | BR | | DO | BSE | | | | | gelaagd | Paleosol | KOEB P 03 11 0864 en 0865 |
| | 559.044.966 | 3.613.138.865 | 257 | 37 | 220 | GATE | GN / FW | 187 | 197 | 60 | 10 | Z | | GR | TBE | LI | BSE | | | | | | C-horizont | KOEB P 03 11 0864 en 0865 |
| | 559.044.966 | 3.613.138.865 | 257 | 37 | 220 | GATE | GN / FW | 197 | 200 | 57 | 3 | Z | H | BR | | DO | BSE | | | | | gelaagd | Paleosol | |
| | 559.044.966 | 3.613.138.865 | 257 | 37 | 220 | GATE | GN / FW | 200 | 220 | - | 20 | Z | | GR | TBE | LI | - | | | | | | C-horizont | |
| 3-12 | 559.084.332 | 3.613.230.785 | 249 | 24 | 225 | GATE | GN / FW | 0 | 15 | 234 | 15 | Z | | GE | TOR | LI | BGE | 210 | 39 | | | | B/C-horizont | |
| | 559.084.332 | 3.613.230.785 | 249 | 24 | 225 | GATE | GN / FW | 15 | 200 | 49 | 185 | Z | | GE | TBE | LI | BSE | | | | | | C-horizont | |
| | 559.084.332 | 3.613.230.785 | 249 | 24 | 225 | GATE | GN / FW | 200 | 202 | 47 | 2 | Z | H | BR | | DO | BSE | | | | | | Paleosol | |
| | 559.084.332 | 3.613.230.785 | 249 | 24 | 225 | GATE | GN / FW | 202 | 210 | 39 | 8 | Z | | GR | TBE | LI | BSE | | | | | | C-horizont | |
| | 559.084.332 | 3.613.230.785 | 249 | 24 | 225 | GATE | GN / FW | 210 | 212 | 37 | 2 | Z | H | BR | | DO | BSE | | | | | | Paleosol | |
| | 559.084.332 | 3.613.230.785 | 249 | 24 | 225 | GATE | GN / FW | 212 | 225 | - | 13 | Z | | GR | TBE | LI | - | | | | | | C-horizont | |
| 3-13 | 559.128.577 | 3.613.320.670 | 253 | 23 | 230 | GATE | GN / FW | 0 | 15 | 238 | 15 | Z | | GE | TOR | LI | BGE | 215 | 38 | | | | B/C-horizont | |
| | 559.128.577 | 3.613.320.670 | 253 | 23 | 230 | GATE | GN / FW | 15 | 220 | 33 | 205 | Z | | GE | TBE | LI | BSE | | | | | | C-horizont | |
| | 559.128.577 | 3.613.320.670 | 253 | 23 | 230 | GATE | GN / FW | 220 | 222 | 31 | 2 | Z | H | BR | | DO | BSE | | | | | | Paleosol | |
| | 559.128.577 | 3.613.320.670 | 253 | 23 | 230 | GATE | GN / FW | 222 | 227 | 26 | 5 | Z | | GR | TBE | LI | BSE | | | | | | C-horizont | |
| | 559.128.577 | 3.613.320.670 | 253 | 23 | 230 | GATE | GN / FW | 227 | 229 | 24 | 2 | Z | H | BR | | DO | BSE | | | | | | Paleosol | |
| | 559.128.577 | 3.613.320.670 | 253 | 23 | 230 | GATE | GN / FW | 229 | 230 | - | 1 | Z | | GR | TBE | LI | - | | | | | | C-horizont | |
| 4-1 | 558.543.806 | 3.612.211.261 | 286 | 56 | 230 | GATE | GN / FW | 0 | 20 | 266 | 20 | Z | | BR | TGR | DO | BSE | 225 | 61 | | | boring vanaf maaiveld | Ploeglaag | |
| | 558.543.806 | 3.612.211.261 | 286 | 56 | 230 | GATE | GN / FW | 20 | 60 | 226 | 40 | Z | | GR | TGE | | BGE | | | VBR2 | | zeer los zand, eronder gevlekt | ? | |
| | 558.543.806 | 3.612.211.261 | 286 | 56 | 230 | GATE | GN / FW | 60 | 65 | 221 | 5 | Z | | OR | | | BGE | | | | | | B-horizont | |
| | 558.543.806 | 3.612.211.261 | 286 | 56 | 230 | GATE | GN / FW | 65 | 75 | 211 | 10 | Z | | GE | TOR | LI | BGE | | | | | | B/C-horizont | |
| | 558.543.806 | 3.612.211.261 | 286 | 56 | 230 | GATE | GN / FW | 75 | 230 | - | 155 | Z | | GE | TBE | LI | BSE | | | | | | C-horizont | |
| 4-2 | 558.583.192 | 3.612.303.057 | 219 | 19 | 200 | GATE | GN / FW | 0 | 10 | 209 | 10 | Z | | GE | TOR | LI | BGE | 160 | 59 | | | | B/C-horizont | |
| | 558.583.192 | 3.612.303.057 | 219 | 19 | 200 | GATE | GN / FW | 10 | 155 | 64 | 145 | Z | | GE | TBE | LI | BSE | | | | | | C-horizont | |
| | 558.583.192 | 3.612.303.057 | 219 | 19 | 200 | GATE | GN / FW | 155 | 160 | 59 | 5 | Z | H | BR | | DO | BSE | | | | | gelaagd | Paleosol | KOEB P 04 02 0879 en 0880 |
| | 558.583.192 | 3.612.303.057 | 219 | 19 | 200 | GATE | GN / FW | 160 | 200 | - | 40 | Z | | GR | TBE | LI | - | | | | | | C-horizont | |
| 4-3 | 558.622.839 | 3.612.394.972 | 236 | 36 | 200 | GATE | GN / FW | 0 | 10 | 226 | 10 | Z | | GE | TOR | LI | BGE | | | | | | B/C-horizont | |
| | 558.622.839 | 3.612.394.972 | 236 | 36 | 200 | GATE | GN / FW | 10 | 185 | 51 | 175 | Z | | GE | TBE | LI | BSE | | | | | | C-horizont | |
| | 558.622.839 | 3.612.394.972 | 236 | 36 | 200 | GATE | GN / FW | 185 | 187 | 49 | 2 | Z | H | BR | | DO | BSE | | | | | gelaagd | Paleosol | KOEB P 04 03 0881 en 0884 |
| | 558.622.839 | 3.612.394.972 | 236 | 36 | 200 | GATE | GN / FW | 187 | 190 | 46 | 3 | **V** | | BR | | DO | BSE | | | | 3 | | Paleosol | KOEB P 04 03 0881 en 0884 |
| | 558.622.839 | 3.612.394.972 | 236 | 36 | 200 | GATE | GN / FW | 190 | 195 | 41 | 5 | Z | H | BR | | | BSE | | | | 2 | gelaagd | Paleosol | KOEB P 04 03 0881 en 0884 |
| | 558.622.839 | 3.612.394.972 | 236 | 36 | 200 | GATE | GN / FW | 195 | 200 | - | 5 | Z | | GR | TBE | LI | - | | | | 1 | moeilijke observatie | C-horizont | |
| 4-4 | 558.662.215 | 3.612.487.037 | 258 | 28 | 230 | GATE | GN | 0 | 10 | 248 | 10 | Z | | GE | TOR | LI | BGE | 217 | 41 | | | | B/C-horizont | |
| | 558.662.215 | 3.612.487.037 | 258 | 28 | 230 | GATE | GN | 10 | 210 | 48 | 200 | Z | | GE | TBE | LI | BSE | | | | | | C-horizont | |
| | 558.662.215 | 3.612.487.037 | 258 | 28 | 230 | GATE | GN | 210 | 212 | 46 | 2 | Z | H | BR | | DO | BSE | | | | | | Paleosol | KOEB P 04 04 0886 |
| | 558.662.215 | 3.612.487.037 | 258 | 28 | 230 | GATE | GN | 212 | 213 | 45 | 1 | **V** | | BR | | DO | BSE | | | | 3 | | Paleosol | KOEB P 04 04 0886 |
| | 558.662.215 | 3.612.487.037 | 258 | 28 | 230 | GATE | GN | 213 | 215 | 43 | 2 | Z | H | BR | | DO | BSE | | | | | | Paleosol | KOEB P 04 04 0886 |
| | 558.662.215 | 3.612.487.037 | 258 | 28 | 230 | GATE | GN | 215 | 230 | - | 15 | Z | | GR | TBE | LI | - | | | | | | C-horizont | |
| 4-5 | 558.701.586 | 3.612.578.951 | 259 | 34 | 225 | GATE | GN / FW | 0 | 198 | 61 | 198 | Z | | GE | TBE | LI | BSE | 215 | 44 | | | | C-horizont | |
| | 558.701.586 | 3.612.578.951 | 259 | 34 | 225 | GATE | GN / FW | 198 | 201 | 58 | 3 | Z | H | BR | | DO | BSE | | | | | gelaagd | Paleosol | KOEB P 04 05 0889 en 0890 |
| | 558.701.586 | 3.612.578.951 | 259 | 34 | 225 | GATE | GN / FW | 201 | 225 | - | 24 | Z | | GR | TBEI | LI | - | | | | | | C-horizont | |
| 4-6 | 558.740.939 | 3.612.670.863 | 259 | 29 | 230 | GATE | GN / FW | 0 | 10 | 249 | 10 | Z | | GE | TOR | LI | BGE | 220 | 39 | | | | B/C-horizont | |
| | 558.740.939 | 3.612.670.863 | 259 | 29 | 230 | GATE | GN / FW | 10 | 200 | 59 | 190 | Z | | GE | TBE | LI | BSE | | | | | | C-horizont | |
| | 558.740.939 | 3.612.670.863 | 259 | 29 | 230 | GATE | GN / FW | 200 | 203 | 56 | 3 | Z | H | BR | | DO | BSE | | | | | | Paleosol | |

| Boornummer | X-coördinaat | Y-coördinaat | Maaiveldhoogte (cm NAP) | Einddiepte (cm NAP) | relatieve diepte boortraject (cm) | Organisatie beschrijver | Beschrijver lithologie | Bovendiepte laag (cm) | Onderdiepte laag (cm) | ondergrens laag (cm NAP) | dikte pakket (cm) | Grondsoort | Bijmengsel humus | Hoofdkleur | Tweede kleur | Intensiteit kleur | Laaggrens | GWS na einde boring (cm) | GWS (cm NAP) | Vlekken, kleuren en hoeveelheden | Plantenresten | opmerkingen laag | bodemhorizont | Fotonummer |
|---|---|---|---|---|---|---|---|---|---|---|---|---|---|---|---|---|---|---|---|---|---|---|---|---|
| | 558.740.939 | 3.612.670.863 | 259 | 29 | 230 | GATE | GN / FW | 203 | 213 | 46 | 10 | **V** | | BR | | DO | BSE | | | | | | Paleosol | |
| | 558.740.939 | 3.612.670.863 | 259 | 29 | 230 | GATE | GN / FW | 213 | 215 | 44 | 2 | Z | H | BR | | DO | BSE | | | | | | Paleosol | |
| | 558.740.939 | 3.612.670.863 | 259 | 29 | 230 | GATE | GN / FW | 215 | 230 | - | 15 | Z | | GR | TBE | LI | - | | | | | | C-horizont | |
| 4-7 | 558.780.267 | 3.612.762.639 | 260 | 30 | 230 | GATE | GN / FW | 0 | 10 | 250 | 10 | Z | | GE | TOR | LI | BGE | 215 | 45 | | | | B/C-horizont | |
| | 558.780.267 | 3.612.762.639 | 260 | 30 | 230 | GATE | GN / FW | 10 | 220 | 40 | 210 | Z | | GE | TBE | LI | BSE | | | | | | C-horizont | |
| | 558.780.267 | 3.612.762.639 | 260 | 30 | 230 | GATE | GN / FW | 220 | 223 | 37 | 3 | Z | H | BR | | DO | BSE | | | | | gelaagd | Paleosol | |
| | 558.780.267 | 3.612.762.639 | 260 | 30 | 230 | GATE | GN / FW | 223 | 230 | - | 7 | Z | | GR | TBE | LI | - | | | | | | C-horizont | |
| 4-8 | 558.819.753 | 3.612.854.650 | 257 | 27 | 230 | GATE | GN / FW | 0 | 10 | 247 | 10 | Z | | GE | TOR | LI | BGE | 220 | 37 | | | | B/C-horizont | |
| | 558.819.753 | 3.612.854.650 | 257 | 27 | 230 | GATE | GN / FW | 10 | 200 | 57 | 190 | Z | | GE | TBE | LI | BSE | | | | | | C-horizont | |
| | 558.819.753 | 3.612.854.650 | 257 | 27 | 230 | GATE | GN / FW | 200 | 210 | 47 | 10 | Z | H | BR | TGR | DO | BSE | | | | | gelaagd | Paleosol | KOEB P 04 08 0893 |
| | 558.819.753 | 3.612.854.650 | 257 | 27 | 230 | GATE | GN / FW | 210 | 230 | - | 20 | Z | | GR | TBE | LI | - | | | | | | C-horizont | |
| 4-9 | 558.859.284 | 3.612.946.472 | 256 | 26 | 230 | GATE | FW | 0 | 40 | 216 | 40 | Z | | GE | TOR | LI | BGE | 218 | 38 | | | | B/C-horizont | |
| | 558.859.284 | 3.612.946.472 | 256 | 26 | 230 | GATE | FW | 40 | 196 | 60 | 156 | Z | | GE | TBE | LI | BSE | | | | | | C-horizont | |
| | 558.859.284 | 3.612.946.472 | 256 | 26 | 230 | GATE | FW | 196 | 198 | 58 | 2 | Z | H | BR | | DO | BSE | | | | | | Paleosol | |
| | 558.859.284 | 3.612.946.472 | 256 | 26 | 230 | GATE | FW | 198 | 208 | 48 | 10 | Z | | GR | TBE | LI | BSE | | | | | | C-horizont | |
| | 558.859.284 | 3.612.946.472 | 256 | 26 | 230 | GATE | FW | 208 | 230 | - | 22 | Z | H | BR | | DO | - | | | | | | Paleosol | |
| 4-10 | 558.898.680 | 3.613.038.213 | 254 | 34 | 220 | GATE | FW | 0 | 30 | 224 | 30 | Z | | GE | TOR | LI | BGE | 210 | 44 | | | | B/C-horizont | |
| | 558.898.680 | 3.613.038.213 | 254 | 34 | 220 | GATE | FW | 30 | 188 | 66 | 158 | Z | | GE | TBE | LI | BSE | | | | | | C-horizont | |
| | 558.898.680 | 3.613.038.213 | 254 | 34 | 220 | GATE | FW | 188 | 193 | 61 | 5 | Z | H | BR | TGR | DO | BSE | | | | | gelaagd | Paleosol | KOEB P 04 10 0896 |
| | 558.898.680 | 3.613.038.213 | 254 | 34 | 220 | GATE | FW | 193 | 220 | - | 27 | Z | | GR | TBE | LI | - | | | | | | C-horizont | |
| 4-11 | 558.933.431 | 3.613.132.284 | 251 | 21 | 230 | GATE | GN / AS | 0 | 20 | 231 | 20 | Z | | GE | TOR | LI | BGE | 215 | 36 | | | | B/C-horizont | |
| | 558.933.431 | 3.613.132.284 | 251 | 21 | 230 | GATE | GN / AS | 20 | 230 | | 210 | Z | | GE | TBE | LI | - | | | | | | C-horizont | |
| 4-12 | 558.972.749 | 3.613.224.117 | 238 | 8 | 230 | GATE | GN / AS | 0 | 20 | 218 | 20 | Z | | GE | TOR | LI | BGE | 200 | 38 | | | | B/C-horizont | |
| | 558.972.749 | 3.613.224.117 | 238 | 8 | 230 | GATE | GN / AS | 20 | 187 | 51 | 167 | Z | | GE | TBE | LI | BSE | | | | | | C-horizont | |
| | 558.972.749 | 3.613.224.117 | 238 | 8 | 230 | GATE | GN / AS | 187 | 197 | 41 | 10 | Z | H | BR | TGR | DO | BSE | | | | 1 | gelaagd | Paleosol | KOEB P 04 12 0900 |
| | 558.972.749 | 3.613.224.117 | 238 | 8 | 230 | GATE | GN / AS | 197 | 230 | - | 33 | Z | | GR | TBE | | - | | | | 1 | | C-horizont | |
| 4-13 | 559.012.379 | 3.613.316.308 | 241 | 21 | 220 | GATE | GN / AS | 0 | 20 | 221 | 20 | Z | | GE | TOR | LI | BGE | 200 | 41 | | | | B/C-horizont | |
| | 559.012.379 | 3.613.316.308 | 241 | 21 | 220 | GATE | GN / AS | 20 | 205 | 36 | 185 | Z | | GE | TBE | LI | BSE | | | | | | C-horizont | |
| | 559.012.379 | 3.613.316.308 | 241 | 21 | 220 | GATE | GN / AS | 205 | 207 | 34 | 2 | Z | H | BR | | DO | BSE | | | | | gelaagd | Paleosol | |
| | 559.012.379 | 3.613.316.308 | 241 | 21 | 220 | GATE | GN / AS | 207 | 220 | - | 13 | Z | | GR | TBE | LI | - | | | | | | C-horizont | |
| 4-14 | 559.056.423 | 3.613.406.017 | 288 | 58 | 230 | GATE | GN / AS | 0 | 30 | 258 | 30 | Z | | BR | TGR | | BSE | | | | | boring vanaf maaiveld | Ploeglaag | |
| | 559.056.423 | 3.613.406.017 | 288 | 58 | 230 | GATE | GN / AS | 30 | 40 | 248 | 10 | Z | | GR | TBR | | BSE | | | | | | verstoord | |
| | 559.056.423 | 3.613.406.017 | 288 | 58 | 230 | GATE | GN / AS | 40 | 60 | 228 | 20 | Z | | GE | TOR | LI | BGE | | | | | | B/C-horizont | |
| | 559.056.423 | 3.613.406.017 | 288 | 58 | 230 | GATE | GN / AS | 60 | 230 | - | 170 | Z | | GE | TBE | LI | BSE | | | | | | C-horizont | |
| 5-1 | 558.471.724 | 3.612.296.796 | 215 | 20 | 195 | GATE | GN / AS | 0 | 20 | 195 | 20 | Z | | GE | TOR | LI | BGE | 170 | 45 | | | | B/C-horizont | |
| | 558.471.724 | 3.612.296.796 | 215 | 20 | 195 | GATE | GN / AS | 20 | 155 | 60 | 135 | Z | | GE | TBE | LI | BSE | | | | | | C-horizont | |
| | 558.471.724 | 3.612.296.796 | 215 | 20 | 195 | GATE | GN / AS | 155 | 170 | 45 | 15 | Z | H | BR | | DO | BSE | | | | 2 | moeilijke observatie | Paleosol | |
| | 558.471.724 | 3.612.296.796 | 215 | 20 | 195 | GATE | GN / AS | 170 | 180 | 35 | 10 | **V** | | BR | | DO | BSE | | | | 3 | moeilijke observatie | Paleosol | |
| | 558.471.724 | 3.612.296.796 | 215 | 20 | 195 | GATE | GN / AS | 180 | 195 | 20 | 15 | Z | H | GR | | DO | - | | | | 2 | moeilijke observatie | Paleosol | |
| 5-2 | 558.511.128 | 3.612.388.534 | 230 | 30 | 200 | GATE | GN / AS | 0 | 20 | 210 | 20 | Z | | GE | TOR | LI | BGE | 170 | 60 | | | | B/C-horizont | |
| | 558.511.128 | 3.612.388.534 | 230 | 30 | 200 | GATE | GN / AS | 20 | 185 | 45 | 165 | Z | | GE | TBE | LI | BSE | | | | | op ca. 80-90: organische bijmenging | C-horizont | |
| | 558.511.128 | 3.612.388.534 | 230 | 30 | 200 | GATE | GN / AS | 185 | 189 | 41 | 4 | Z | H | BR | | DO | BSE | | | | | gelaagd | Paleosol | KOEB P 05 02 0916 |
| | 558.511.128 | 3.612.388.534 | 230 | 30 | 200 | GATE | GN / AS | 189 | 194 | 36 | 5 | **V** | | BR | | DO | BSE | | | | 3 | | Paleosol | KOEB P 05 02 0916 |
| | 558.511.128 | 3.612.388.534 | 230 | 30 | 200 | GATE | GN / AS | 194 | 200 | - | 6 | Z | H | GR | TBR | DO | - | | | | 2 | gelaagd | Paleosol | KOEB P 05 02 0916 |
| 5-3 | 558.550.563 | 3.612.480.482 | 252 | 22 | 230 | GATE | GN / AS | 0 | 193 | 59 | 193 | Z | | GE | | LI | BSE | 210 | 42 | | | | C-horizont | |
| | 558.550.563 | 3.612.480.482 | 252 | 22 | 230 | GATE | GN / AS | 193 | 200 | 52 | 7 | Z | H | BR | TGR | DO | BSE | | | | | gelaagd | Paleosol | KOEB P 05 03 0918 |
| | 558.550.563 | 3.612.480.482 | 252 | 22 | 230 | GATE | GN / AS | 200 | 205 | 47 | 5 | Z | | GR | | LI | BSE | | | | | | C-horizont | |
| | 558.550.563 | 3.612.480.482 | 252 | 22 | 230 | GATE | GN / AS | 205 | 208 | 44 | 3 | Z | H | BR | | DO | BSE | | | | | | Paleosol | |

| Boornummer | X-coördinaat | Y-coördinaat | Maaiveldhoogte (cm NAP) | Einddiepte (cm NAP) | relatieve diepte boortraject (cm) | Organisatie beschrijver | Beschrijver lithologie | Bovendiepte laag (cm) | Onderdiepte laag (cm) | ondergrens laag (cm NAP) | dikte pakket (cm) | Grondsoort | Bijmengsel humus | Hoofdkleur | Tweede kleur | Intensiteit kleur | Laaggrens | GWS na einde boring (cm) | GWS (cm NAP) | Vlekken, kleuren en hoeveelheden | Plantenresten | opmerkingen laag | bodemhorizont | Fotonummer |
|---|---|---|---|---|---|---|---|---|---|---|---|---|---|---|---|---|---|---|---|---|---|---|---|---|
| | 558.550.563 | 3.612.480.482 | 252 | 22 | 230 | GATE | GN / AS | 208 | 230 | - | 22 | Z | | GR | | LI | - | | | | | | C-horizont | |
| 5-4 | 558.589.952 | 3.612.572.433 | 262 | 32 | 230 | GATE | GN / AS | 0 | 20 | 242 | 20 | Z | | GE | TOR | LI | BGE | 220 | 42 | | | | B/C-horizont | |
| | 558.589.952 | 3.612.572.433 | 262 | 32 | 230 | GATE | GN / AS | 20 | 198 | 64 | 178 | Z | | GE | TBE | LI | BSE | | | | | | C-horizont | |
| | 558.589.952 | 3.612.572.433 | 262 | 32 | 230 | GATE | GN / AS | 198 | 201 | 61 | 3 | Z | H | BR | | DO | BSE | | | | | gelaagd | Paleosol | |
| | 558.589.952 | 3.612.572.433 | 262 | 32 | 230 | GATE | GN / AS | 201 | 230 | - | 29 | Z | | GR | TBE | LI | - | | | | | | C-horizont | |
| 5-5 | 558.629.454 | 3.612.664.374 | 255 | 25 | 230 | GATE | GN / AS | 0 | 198 | 57 | 198 | Z | | GE | TBE | LI | BSE | 218 | 37 | | | | C-horizont | |
| | 558.629.454 | 3.612.664.374 | 255 | 25 | 230 | GATE | GN / AS | 198 | 201 | 54 | 3 | Z | H | BR | | DO | BSE | | | | | gelaagd | Paleosol | |
| | 558.629.454 | 3.612.664.374 | 255 | 25 | 230 | GATE | GN / AS | 201 | 210 | 45 | 9 | Z | | GR | | LI | BSE | | | | | | C-horizont | |
| | 558.629.454 | 3.612.664.374 | 255 | 25 | 230 | GATE | GN / AS | 210 | 213 | 42 | 3 | Z | H | BR | | DO | BSE | | | | | gelaagd | Paleosol | |
| | 558.629.454 | 3.612.664.374 | 255 | 25 | 230 | GATE | GN / AS | 213 | 230 | - | 17 | Z | | GR | TBE | LI | - | | | | | | C-horizont | |
| ~~5-6~~ | ~~558.668.847~~ | ~~3.612.756.086~~ | ~~263~~ | | | ~~GATE~~ | ~~GN / AS~~ | | | | | | | | | | | | | | | ~~boring niet uitgevoerd~~ | | |
| 5-7 | 558.708.112 | 3.612.848.003 | 254 | 24 | 230 | GATE | GN / AS | 0 | 10 | 244 | 10 | Z | | GE | TOR | LI | BGE | 218 | 36 | | | | B/C-horizont | |
| | 558.708.112 | 3.612.848.003 | 254 | 24 | 230 | GATE | GN / AS | 10 | 189 | 65 | 179 | Z | | GE | TBE | LI | BSE | | | | | | C-horizont | |
| | 558.708.112 | 3.612.848.003 | 254 | 24 | 230 | GATE | GN / AS | 189 | 192 | 62 | 3 | Z | H | BR | | DO | BSE | | | | | gelaagd | Paleosol | |
| | 558.708.112 | 3.612.848.003 | 254 | 24 | 230 | GATE | GN / AS | 192 | 200 | 54 | 8 | Z | | GR | TBE | LI | BSE | | | | | | C-horizont | |
| | 558.708.112 | 3.612.848.003 | 254 | 24 | 230 | GATE | GN / AS | 200 | 204 | 50 | 4 | Z | H | BR | | DO | BSE | | | | | gelaagd | Paleosol | |
| | 558.708.112 | 3.612.848.003 | 254 | 24 | 230 | GATE | GN / AS | 204 | 230 | - | 26 | Z | | GR | TBE | LI | - | | | | | | C-horizont | |
| 5-8 | 558.747.611 | 3.612.939.854 | 262 | 32 | 230 | GATE | GN / AS | 0 | 10 | 252 | 10 | Z | | GE | TOR | LI | BGE | 225 | 37 | | | | B/C-horizont | |
| | 558.747.611 | 3.612.939.854 | 262 | 32 | 230 | GATE | GN / AS | 10 | 188 | 74 | 178 | Z | | GE | TBE | LI | BSE | | | | | | C-horizont | |
| | 558.747.611 | 3.612.939.854 | 262 | 32 | 230 | GATE | GN / AS | 188 | 195 | 67 | 7 | Z | H | BR | | DO | BSE | | | | | gelaagd | Paleosol | KOEB P 05 08 0923 |
| | 558.747.611 | 3.612.939.854 | 262 | 32 | 230 | GATE | GN / AS | 195 | 210 | 52 | 15 | Z | | GR | TBE | LI | BSE | | | | | | C-horizont | |
| | 558.747.611 | 3.612.939.854 | 262 | 32 | 230 | GATE | GN / AS | 210 | 213 | 49 | 3 | Z | H | BR | | DO | BSE | | | | | gelaagd | Paleosol | |
| | 558.747.611 | 3.612.939.854 | 262 | 32 | 230 | GATE | GN / AS | 213 | 230 | - | 17 | Z | | GR | TBE | LI | - | | | | | | C-horizont | |
| 5-9 | 558.786.943 | 3.613.031.801 | 253 | 23 | 230 | GATE | GN / AS | 0 | 10 | 243 | 10 | Z | | GE | TOR | LI | BGE | 218 | 35 | | | | B/C-horizont | |
| | 558.786.943 | 3.613.031.801 | 253 | 23 | 230 | GATE | GN / AS | 10 | 198 | 55 | 188 | Z | | GE | TBE | LI | BSE | | | | | | C-horizont | |
| | 558.786.943 | 3.613.031.801 | 253 | 23 | 230 | GATE | GN / AS | 198 | 203 | 50 | 5 | Z | H | BR | | DO | BSE | | | | | gelaagd | Paleosol | KOEB P 05 09 0926 |
| | 558.786.943 | 3.613.031.801 | 253 | 23 | 230 | GATE | GN / AS | 203 | 230 | - | 27 | Z | | GR | TBE | LI | BSE | | | | | | C-horizont | |
| 5-10 | 558.826.378 | 3.613.123.715 | 247 | 17 | 230 | GATE | GN / AS | 0 | 10 | 237 | 10 | Z | | GE | TOR | LI | BGE | 215 | 32 | | | | B/C-horizont | |
| | 558.826.378 | 3.613.123.715 | 247 | 17 | 230 | GATE | GN / AS | 10 | 171 | 76 | 161 | Z | | GE | TBE | LI | BSE | | | | | | C-horizont | |
| | 558.826.378 | 3.613.123.715 | 247 | 17 | 230 | GATE | GN / AS | 171 | 173 | 74 | 2 | Z | H | BR | | DO | BSE | | | | | gelaagd | Paleosol | KOEB P 05 10 0930 |
| | 558.826.378 | 3.613.123.715 | 247 | 17 | 230 | GATE | GN / AS | 173 | 181 | 66 | 8 | Z | | GR | TBE | LI | BSE | | | | | | C-horizont | |
| | 558.826.378 | 3.613.123.715 | 247 | 17 | 230 | GATE | GN / AS | 181 | 182 | 65 | 1 | Z | H | BR | | LI | BSE | | | | | < 1 cm - licht van kleur | Paleosol | |
| | 558.826.378 | 3.613.123.715 | 247 | 17 | 230 | GATE | GN / AS | 182 | 230 | - | 48 | Z | | GR | TBE | LI | - | | | | | | C-horizont | |
| 5-11 | 558.865.903 | 3.613.215.536 | 238 | 8 | 230 | GATE | GN / AS | 0 | 10 | 228 | 10 | Z | | GE | TOR | LI | BGE | 210 | 28 | | | | B/C-horizont | |
| | 558.865.903 | 3.613.215.536 | 238 | 8 | 230 | GATE | GN / AS | 10 | 185 | 53 | 175 | Z | | GE | TBE | LI | BSE | | | | | | C-horizont | |
| | 558.865.903 | 3.613.215.536 | 238 | 8 | 230 | GATE | GN / AS | 185 | 186 | 52 | 1 | Z | H | BR | | LI | BSE | | | | | < 1 cm - licht van kleur | Paleosol | |
| | 558.865.903 | 3.613.215.536 | 238 | 8 | 230 | GATE | GN / AS | 186 | 195 | 43 | 9 | Z | | GR | TBE | LI | BSE | | | | | | C-horizont | |
| | 558.865.903 | 3.613.215.536 | 238 | 8 | 230 | GATE | GN / AS | 195 | 196 | 42 | 1 | Z | H | BR | | LI | BSE | | | | | < 1 cm - licht van kleur | Paleosol | KOEB P 05 11 0937 |
| | 558.865.903 | 3.613.215.536 | 238 | 8 | 230 | GATE | GN / AS | 196 | 230 | - | 34 | Z | | GR | TBE | LI | - | | | | | | C-horizont | |
| 5-12 | 558.905.247 | 3.613.307.661 | 233 | 13 | 220 | GATE | GN / FW | 0 | 10 | 223 | 10 | Z | | GE | TOR | LI | BGE | 200 | 33 | | | | B/C-horizont | |
| | 558.905.247 | 3.613.307.661 | 233 | 13 | 220 | GATE | GN / FW | 10 | 185 | 48 | 175 | Z | | GE | TBE | LI | BSE | | | | | | C-horizont | |
| | 558.905.247 | 3.613.307.661 | 233 | 13 | 220 | GATE | GN / FW | 185 | 195 | 38 | 10 | Z | H | BR | TGR | DO | BSE | | | | 1 | gelaagd | Paleosol | KOEB P 05 12 0939 en 0940 |
| | 558.905.247 | 3.613.307.661 | 233 | 13 | 220 | GATE | GN / FW | 195 | 220 | - | 25 | Z | | GR | TBE | LI | - | | | | | | C-horizont | |
| 5-13 | 558.944.565 | 3.613.399.524 | 241 | 16 | 225 | GATE | GN / FW | 0 | 10 | 231 | 10 | Z | | GE | TOR | LI | BGE | | 241 | | | | B/C-horizont | |
| | 558.944.565 | 3.613.399.524 | 241 | 16 | 225 | GATE | GN / FW | 10 | 185 | 56 | 175 | Z | | GE | TBE | LI | BSE | | | | | | C-horizont | |
| | 558.944.565 | 3.613.399.524 | 241 | 16 | 225 | GATE | GN / FW | 185 | 187 | 54 | 2 | Z | H | BR | | LI | BSE | | | | | | Paleosol | KOEB P 05 13 0941 en 0942 |
| | 558.944.565 | 3.613.399.524 | 241 | 16 | 225 | GATE | GN / FW | 187 | 200 | 41 | 13 | Z | | GR | TBE | LI | BSE | | | | | | C-horizont | |
| | 558.944.565 | 3.613.399.524 | 241 | 16 | 225 | GATE | GN / FW | 200 | 205 | 36 | 5 | Z | H | BR | | DO | BSE | | | | | gelaagd | Paleosol | KOEB P 05 13 0943 |

| Boornummer | X-coördinaat | Y-coördinaat | Maaiveldhoogte (cm NAP) | Einddiepte (cm NAP) | relatieve diepte boortraject (cm) | Organisatie beschrijver | Beschrijver lithologie | Bovendiepte laag (cm) | Onderdiepte laag (cm) | ondergrens laag (cm NAP) | dikte pakket (cm) | Grondsoort | Bijmengsel humus | Hoofdkleur | Tweede kleur | Intensiteit kleur | Laaggrens | GWS na einde boring (cm) | GWS (cm NAP) | Vlekken, kleuren en hoeveelheden | Plantenresten | opmerkingen laag | bodemhorizont | Fotonummer |
|---|---|---|---|---|---|---|---|---|---|---|---|---|---|---|---|---|---|---|---|---|---|---|---|---|
| | 558.944.565 | 3.613.399.524 | 241 | 16 | 225 | GATE | GN / FW | 205 | 225 | - | 20 | Z | | GR | TBE | LI | - | | | | | | C-horizont | |
| 6-1 | 558.360.097 | 3.612.289.962 | 227 | 2 | 225 | GATE | GN / FW | 0 | 50 | 177 | 50 | Z | | GR | | | BSE | 170 | 57 | | | gevlekt | verstoord | |
| | 558.360.097 | 3.612.289.962 | 227 | 2 | 225 | GATE | GN / FW | 50 | 185 | 42 | 135 | Z | | GE | TBE | LI | BSE | | | | | | C-horizont | |
| | 558.360.097 | 3.612.289.962 | 227 | 2 | 225 | GATE | GN / FW | 185 | 190 | 37 | 5 | Z | H | BR | | DO | BSE | | | | | gelaagd | Paleosol | KOEB P 06 01 0946 en 0947 |
| | 558.360.097 | 3.612.289.962 | 227 | 2 | 225 | GATE | GN / FW | 190 | 225 | - | 35 | Z | | GR | TBE | LI | - | | | | | | C-horizont | |
| 6-2 | 558.399.555 | 3.612.382.002 | 225 | 25 | 200 | GATE | GN / FW | 0 | 10 | 215 | 10 | Z | | GE | TOR | LI | BGE | 175 | 50 | | | | B/C-horizont | |
| | 558.399.555 | 3.612.382.002 | 225 | 25 | 200 | GATE | GN / FW | 10 | 158 | 67 | 148 | Z | | GE | TBE | LI | BSE | | | | | | C-horizont | |
| | 558.399.555 | 3.612.382.002 | 225 | 25 | 200 | GATE | GN / FW | 158 | 159 | 66 | 1 | Z | H | BR | | DO | BSE | | | | | < 1cm | Paleosol | |
| | 558.399.555 | 3.612.382.002 | 225 | 25 | 200 | GATE | GN / FW | 159 | 185 | 40 | 26 | Z | | GR | TBE | LI | BSE | | | | | | C-horizont | |
| | 558.399.555 | 3.612.382.002 | 225 | 25 | 200 | GATE | GN / FW | 185 | 187 | 38 | 2 | Z | H | BR | | DO | BSE | | | | | gelaagd | Paleosol | KOEB P 06 02 0949 en 0950 |
| | 558.399.555 | 3.612.382.002 | 225 | 25 | 200 | GATE | GN / FW | 187 | 193 | 32 | 6 | **V** | | BR | | DO | BSE | | | | 3 | | Paleosol | KOEB P 06 02 0949 en 0950 |
| | 558.399.555 | 3.612.382.002 | 225 | 25 | 200 | GATE | GN / FW | 193 | 198 | 27 | 5 | Z | | BR | TGR | DO | BGE | | | | 2 | moeilijke observatie | Paleosol | KOEB P 06 02 0949 en 0950 |
| | 558.399.555 | 3.612.382.002 | 225 | 25 | 200 | GATE | GN / FW | 198 | 200 | - | 2 | Z | | GR | TBE | LI | - | | | | | moeilijke observatie | C-horizont | |
| 6-3 | 558.438.958 | 3.612.474.021 | 242 | 17 | 225 | GATE | GN / FW | 0 | 10 | 232 | 10 | Z | | GE | TOR | LI | BGE | 175 | 67 | | | | B/C-horizont | |
| | 558.438.958 | 3.612.474.021 | 242 | 17 | 225 | GATE | GN / FW | 10 | 185 | 57 | 175 | Z | | GE | TBE | LI | BSE | | | | | | C-horizont | |
| | 558.438.958 | 3.612.474.021 | 242 | 17 | 225 | GATE | GN / FW | 185 | 187 | 55 | 2 | Z | H | BR | | DO | BSE | | | | | gelaagd | Paleosol | |
| 6-3 | 558.438.958 | 3.612.474.021 | 242 | 17 | 225 | GATE | GN / FW | 187 | 193 | 49 | 6 | **V** | | BR | | DO | BSE | | | | 3 | | Paleosol | |
| | 558.438.958 | 3.612.474.021 | 242 | 17 | 225 | GATE | GN / FW | 193 | 195 | 47 | 2 | Z | H | BR | TGR | DO | BGE | | | | 2 | moeilijke observatie | Paleosol | |
| | 558.438.958 | 3.612.474.021 | 242 | 17 | 225 | GATE | GN / FW | 195 | 225 | - | 30 | Z | | GR | TBE | LI | - | | | | | moeilijke observatie | C-horizont | |
| 6-4 | 558.478.246 | 3.612.565.724 | 264 | 34 | 230 | GATE | GN / FW | 0 | 198 | 66 | 198 | Z | | GE | TBE | LI | BSE | 200 | 64 | | | | C-horizont | |
| | 558.478.246 | 3.612.565.724 | 264 | 34 | 230 | GATE | GN / FW | 197 | 201 | 63 | 4 | Z | H | BR | | DO | BSE | | | | | gelaagd | Paleosol | KOEB P 06 04 0982 |
| | 558.478.246 | 3.612.565.724 | 264 | 34 | 230 | GATE | GN / FW | 201 | 230 | - | 29 | Z | | GR | TBE | LI | - | | | | | | C-horizont | |
| 6-5 | 558.517.734 | 3.612.657.849 | 265 | 40 | 225 | GATE | GN / FW | 0 | 200 | 65 | 200 | Z | | GE | TBE | LI | BSE | 220 | 45 | | | | C-horizont | |
| | 558.517.734 | 3.612.657.849 | 265 | 40 | 225 | GATE | GN / FW | 200 | 203 | 62 | 3 | Z | H | BR | | DO | BSE | | | | | gelaagd | Paleosol | KOEB P 06 05 0984 |
| | 558.517.734 | 3.612.657.849 | 265 | 40 | 225 | GATE | GN / FW | 203 | 225 | - | 22 | Z | | GR | TBE | LI | - | | | | | | C-horizont | |
| 6-6 | 558.557.249 | 3.612.749.598 | 265 | 35 | 230 | GATE | GN / FW | 0 | 30 | 235 | 30 | Z | | GR | TBR | LI | BSE | 220 | 45 | | | | verstoord | |
| | 558.557.249 | 3.612.749.598 | 265 | 35 | 230 | GATE | GN / FW | 30 | 205 | 60 | 175 | Z | | GE | TBE | LI | BSE | | | | | | C-horizont | |
| | 558.557.249 | 3.612.749.598 | 265 | 35 | 230 | GATE | GN / FW | 205 | 208 | 57 | 3 | Z | H | BR | | DO | BSE | | | | | gelaagd | Paleosol | KOEB P 06 06 0986 |
| | 558.557.249 | 3.612.749.598 | 265 | 35 | 230 | GATE | GN / FW | 208 | 215 | 50 | 7 | Z | | GR | TBE | LI | BSE | | | | | | C-horizont | |
| | 558.557.249 | 3.612.749.598 | 265 | 35 | 230 | GATE | GN / FW | 215 | 218 | 47 | 3 | Z | H | BR | | DO | BSE | | | | | gelaagd | Paleosol | KOEB P 06 06 0987 |
| | 558.557.249 | 3.612.749.598 | 265 | 35 | 230 | GATE | GN / FW | 218 | 230 | - | 12 | Z | | GR | TBE | LI | - | | | | | | C-horizont | |
| 6-7 | 558.596.498 | 3.612.841.574 | 269 | 39 | 230 | GATE | GN / FW | 0 | 210 | 59 | 210 | Z | | GE | TBE | LI | BSE | 220 | 49 | | | | C-horizont | |
| | 558.596.498 | 3.612.841.574 | 269 | 39 | 230 | GATE | GN / FW | 210 | 214 | 55 | 4 | Z | H | BR | | DO | BSE | | | | | gelaagd | Paleosol | KOEB P 06 07 0989 |
| | 558.596.498 | 3.612.841.574 | 269 | 39 | 230 | GATE | GN / FW | 214 | 216 | 53 | 2 | **V** | | BR | | DO | BSE | | | | 3 | | Paleosol | KOEB P 06 07 0989 |
| | 558.596.498 | 3.612.841.574 | 269 | 39 | 230 | GATE | GN / FW | 216 | 218 | 51 | 2 | Z | H | BR | | DO | BGE | | | | 2 | gelaagd | Paleosol | KOEB P 06 07 0989 |
| | 558.596.498 | 3.612.841.574 | 269 | 39 | 230 | GATE | GN / FW | 218 | 230 | - | 12 | Z | | GR | TBE | LI | - | | | | | | C-horizont | |
| 6-8 | 558.636.016 | 3.612.933.447 | 258 | 28 | 230 | GATE | GN / FW | 0 | 209 | 49 | 209 | Z | | GE | TBE | LI | BSE | 220 | 38 | | | | C-horizont | |
| | 558.636.016 | 3.612.933.447 | 258 | 28 | 230 | GATE | GN / FW | 209 | 212 | 46 | 3 | Z | H | BR | | DO | BSE | | | | | gelaagd | Paleosol | KOEB P 06 08 0991 |
| | 558.636.016 | 3.612.933.447 | 258 | 28 | 230 | GATE | GN / FW | 212 | 220 | 38 | 8 | Z | | GR | TBE | LI | BSE | | | | | | C-horizont | |
| | 558.636.016 | 3.612.933.447 | 258 | 28 | 230 | GATE | GN / FW | 220 | 222 | 36 | 2 | Z | | BR | | DO | BSE | | | | | gelaagd | Paleosol | |
| | 558.636.016 | 3.612.933.447 | 258 | 28 | 230 | GATE | GN / FW | 222 | 230 | - | 8 | Z | | GR | TBE | LI | - | | | | | | C-horizont | |
| 6-9 | 558.675.369 | 3.613.025.426 | 247 | 17 | 230 | GATE | GN / FW | 0 | 20 | 227 | 20 | Z | | GR | TGE | LI | BSE | 215 | 32 | | | | verstoord | |
| | 558.675.369 | 3.613.025.426 | 247 | 17 | 230 | GATE | GN / FW | 20 | 175 | 72 | 155 | Z | | GE | TBE | LI | BSE | | | | | | C-horizont | |
| | 558.675.369 | 3.613.025.426 | 247 | 17 | 230 | GATE | GN / FW | 175 | 177 | 70 | 2 | Z | H | BR | | DO | BSE | | | | | gelaagd | Paleosol | KOEB P 06 09 0993 |
| | 558.675.369 | 3.613.025.426 | 247 | 17 | 230 | GATE | GN / FW | 177 | 230 | - | 53 | Z | | GR | TBE | LI | - | | | | | | C-horizont | |
| 6-10 | 558.714.967 | 3.613.117.082 | 230 | 0 | 230 | GATE | GN / FW | 0 | 155 | 75 | 155 | Z | | GE | TBE | LI | BSE | 210 | 20 | | | | C-horizont | |
| | 558.714.967 | 3.613.117.082 | 230 | 0 | 230 | GATE | GN / FW | 155 | 157 | 73 | 2 | Z | H | BR | | DO | BSE | | | | | gelaagd | Paleosol | KOEB P 06 10 0996 |
| | 558.714.967 | 3.613.117.082 | 230 | 0 | 230 | GATE | GN / FW | 157 | 230 | - | 73 | Z | | GR | TBE | LI | - | | | | | | C-horizont | |

| Boornummer | X-coördinaat | Y-coördinaat | Maaiveldhoogte (cm NAP) | Einddiepte (cm NAP) | relatieve diepte boortraject (cm) | Organisatie beschrijver | Beschrijver lithologie | Bovendiepte laag (cm) | Onderdiepte laag (cm) | ondergrens laag (cm NAP) | dikte pakket (cm) | Grondsoort | Bijmengsel humus | Hoofdkleur | Tweede kleur | Intensiteit kleur | Laaggrens | GWS na einde boring (cm) | GWS (cm NAP) | Vlekken, kleuren en hoeveelheden | Plantenresten | opmerkingen laag | bodemhorizont | Fotonummer |
|---|---|---|---|---|---|---|---|---|---|---|---|---|---|---|---|---|---|---|---|---|---|---|---|---|
| 6-11 | 558.754.310 | 3.613.208.965 | 232 | 2 | 230 | GATE | GN / FW | 0 | 170 | 62 | 170 | Z | | GE | TBE | LI | BSE | 210 | 22 | | | | C-horizont | |
| | 558.754.310 | 3.613.208.965 | 232 | 2 | 230 | GATE | GN / FW | 170 | 174 | 58 | 4 | Z | H | BR | | DO | BSE | | | | | | Paleosol | KOEB P 06 11 1003 |
| | 558.754.310 | 3.613.208.965 | 232 | 2 | 230 | GATE | GN / FW | 174 | 176 | 56 | 2 | **V** | | BR | | DO | BSE | | | | 3 | | Paleosol | KOEB P 06 11 1003 |
| | 558.754.310 | 3.613.208.965 | 232 | 2 | 230 | GATE | GN / FW | 176 | 180 | 52 | 4 | Z | H | BR | | DO | BGE | | | | 2 | | Paleosol | KOEB P 06 11 1003 |
| | 558.754.310 | 3.613.208.965 | 232 | 2 | 230 | GATE | GN / FW | 180 | 230 | - | 50 | Z | | GR | TBE | LI | - | | | | | | C-horizont | |
| 6-12 | 558.793.618 | 3.613.300.915 | 210 | -20 | 230 | GATE | GN / FW | 0 | 170 | 40 | 170 | Z | | GE | TBE | LI | BSE | 200 | 10 | | | | C-horizont | |
| | 558.793.618 | 3.613.300.915 | 210 | -20 | 230 | GATE | GN / FW | 170 | 172 | 38 | 2 | Z | H | BR | | DO | BSE | | | | | | Paleosol | KOEB P 06 12 1006 |
| | 558.793.618 | 3.613.300.915 | 210 | -20 | 230 | GATE | GN / FW | 172 | 174 | 36 | 2 | **V** | | BR | | DO | BSE | | | | | | Paleosol | KOEB P 06 12 1006 |
| | 558.793.618 | 3.613.300.915 | 210 | -20 | 230 | GATE | GN / FW | 174 | 179 | 31 | 5 | Z | H | BR | TGR | DO | BGE | | | | | gelaagd | Paleosol | KOEB P 06 12 1006 |
| | 558.793.618 | 3.613.300.915 | 210 | -20 | 230 | GATE | GN / FW | 179 | 230 | - | 51 | Z | | BR | TGR | LI | - | | | | | | C-horizont | |
| 6-13 | 558.833.096 | 3.613.392.815 | 228 | -2 | 230 | GATE | GN / FW | 0 | 170 | 58 | 170 | Z | | GE | TBE | LI | BSE | 210 | 18 | | | | C-horizont | |
| | 558.833.096 | 3.613.392.815 | 228 | -2 | 230 | GATE | GN / FW | 170 | 171 | 57 | 1 | Z | H | BR | | LI | BSE | | | | | < 1 cm | Paleosol | KOEB P 06 13 1007 |
| | 558.833.096 | 3.613.392.815 | 228 | -2 | 230 | GATE | GN / FW | 171 | 185 | 43 | 14 | Z | | GR | TBE | LI | BSE | | | | | | C-horizont | |
| | 558.833.096 | 3.613.392.815 | 228 | -2 | 230 | GATE | GN / FW | 185 | 193 | 35 | 8 | Z | H | BR | TGR | DO | BSE | | | | | gelaagd | Paleosol | KOEB P 06 13 1008 |
| | 558.833.096 | 3.613.392.815 | 228 | -2 | 230 | GATE | GN / FW | 193 | 230 | - | 37 | Z | | GR | TBE | LI | - | | | | | | C-horizont | |
| 6-14 | 558.872.343 | 3.613.484.814 | 271 | 41 | 230 | GATE | GN / FW | 0 | 30 | 241 | 30 | Z | | BR | TGR | DO | BSE | | | | | boring vanaf maaiveld | Ploeglaag | |
| | 558.872.343 | 3.613.484.814 | 271 | 41 | 230 | GATE | GN / FW | 30 | 50 | 221 | 20 | Z | | GR | TBR | LI | BSE | | | | | | verstoord | |
| | 558.872.343 | 3.613.484.814 | 271 | 41 | 230 | GATE | GN / FW | 50 | 230 | - | 180 | Z | | GE | TBE | LI | - | | | | | 170 - 180 : verticaal organisch materiaal | C-horizont | KOEB P 06 14 1009 |
| ~~7-1~~ | | | ~~0~~ | ~~0~~ | ~~0~~ | ~~GATE~~ | | | | | | | | | | | | | | | | ~~boring niet uitgevoerd~~ | | |
| 7-2 | 558.287.984 | 3.612.375.316 | 213 | 13 | 200 | GATE | GN | 0 | 160 | 53 | 160 | Z | | GE | TBE | LI | BSE | 150 | 63 | | | | C-horizont | |
| | 558.287.984 | 3.612.375.316 | 213 | 13 | 200 | GATE | GN | 160 | 170 | 43 | 10 | Z | H | BR | TGR | DO | BSE | | | | | | Paleosol | KOEB P 07 02 1017 |
| | 558.287.984 | 3.612.375.316 | 213 | 13 | 200 | GATE | GN | 170 | 200 | - | 30 | Z | | GR | TBR | LI | - | | | | 2 | moeilijke observatie | C-horizont | |
| 7-3 | 558.327.265 | 3.612.467.343 | 243 | 23 | 220 | GATE | GN | 0 | 5 | 238 | 5 | Z | | OR | | | BGE | 170 | 73 | | | | B-horizont | KOEB 07 03 |
| | 558.327.265 | 3.612.467.343 | 243 | 23 | 220 | GATE | GN | 5 | 15 | 228 | 10 | Z | | GE | TOR | LI | BGE | | | | | | B/C-horizont | |
| | 558.327.265 | 3.612.467.343 | 243 | 23 | 220 | GATE | GN | 15 | 185 | 58 | 170 | Z | | GE | TBE | LI | BSE | | | | | | C-horizont | |
| | 558.327.265 | 3.612.467.343 | 243 | 23 | 220 | GATE | GN | 185 | 190 | 53 | 5 | Z | H | BR | TGR | DO | BSE | | | | 1 | gelaagd | Paleosol | KOEB P 07 03 1019 |
| | 558.327.265 | 3.612.467.343 | 243 | 23 | 220 | GATE | GN | 190 | 192 | 51 | 2 | **V** | | BR | | DO | BSE | | | | 3 | | Paleosol | KOEB P 07 03 1019 |
| | 558.327.265 | 3.612.467.343 | 243 | 23 | 220 | GATE | GN | 192 | 220 | - | 28 | Z | | GR | TBE | LI | - | | | | | | C-horizont | |
| 7-4 | 558.366.725 | 3.612.559.294 | 257 | 27 | 230 | GATE | GN | 0 | 10 | 247 | 10 | Z | | GE | TOR | LI | BGE | 217 | 40 | | | | B/C-horizont | |
| | 558.366.725 | 3.612.559.294 | 257 | 27 | 230 | GATE | GN | 10 | 195 | 62 | 185 | Z | | GE | TBE | LI | BSE | | | | | | C-horizont | |
| | 558.366.725 | 3.612.559.294 | 257 | 27 | 230 | GATE | GN | 195 | 199 | 58 | 4 | Z | H | BR | | DO | BSE | | | | | gelaagd | Paleosol | |
| | 558.366.725 | 3.612.559.294 | 257 | 27 | 230 | GATE | GN | 199 | 230 | - | 31 | Z | | GR | TBE | LI | - | | | | | | C-horizont | |
| 7-5 | 558.406.084 | 3.612.651.036 | 261 | 31 | 230 | GATE | GN | 0 | 10 | 251 | 10 | Z | | GE | TOR | LI | BGE | 210 | 51 | | | | B/C-horizont | |
| | 558.406.084 | 3.612.651.036 | 261 | 31 | 230 | GATE | GN | 10 | 210 | 51 | 200 | Z | | GE | TBE | LI | BSE | | | | | | C-horizont | |
| | 558.406.084 | 3.612.651.036 | 261 | 31 | 230 | GATE | GN | 210 | 213 | 48 | 3 | Z | | BR | | DO | BSE | | | | | gelaagd | Paleosol | KOEB P 07 05 1022 |
| | 558.406.084 | 3.612.651.036 | 261 | 31 | 230 | GATE | GN | 213 | 230 | - | 17 | Z | | GR | TBE | LI | - | | | | | | C-horizont | |
| 7-6 | 558.445.684 | 3.612.743.067 | 260 | 30 | 230 | GATE | GN | 0 | 10 | 250 | 10 | Z | | GE | TOR | LI | BGE | 210 | 50 | | | | B/C-horizont | |
| | 558.445.684 | 3.612.743.067 | 260 | 30 | 230 | GATE | GN | 10 | 210 | 50 | 200 | Z | | GE | TBE | LI | BSE | | | | | | C-horizont | |
| | 558.445.684 | 3.612.743.067 | 260 | 30 | 230 | GATE | GN | 210 | 212 | 48 | 2 | Z | H | BR | | DO | BSE | | | | | gelaagd | Paleosol | KOEB P 07 06 1024 |
| | 558.445.684 | 3.612.743.067 | 260 | 30 | 230 | GATE | GN | 212 | 214 | 46 | 2 | **V** | | BR | | DO | BSE | | | | 3 | | Paleosol | KOEB P 07 06 1024 |
| | 558.445.684 | 3.612.743.067 | 260 | 30 | 230 | GATE | GN | 214 | 217 | 43 | 3 | Z | H | BR | | DO | BSE | | | | | gelaagd | Paleosol | KOEB P 07 06 1024 |
| | 558.445.684 | 3.612.743.067 | 260 | 30 | 230 | GATE | GN | 217 | 230 | - | 13 | Z | | GR | TBE | LI | - | | | | | | C-horizont | |
| 7-7 | 558.485.031 | 3.612.834.891 | 272 | 42 | 230 | GATE | GN | 0 | 10 | 262 | 10 | Z | | GE | TOR | LI | BGE | 225 | 47 | | | | B/C-horizont | |
| | 558.485.031 | 3.612.834.891 | 272 | 42 | 230 | GATE | GN | 10 | 218 | 54 | 208 | Z | | GE | TBE | LI | BSE | | | | | | C-horizont | |
| | 558.485.031 | 3.612.834.891 | 272 | 42 | 230 | GATE | GN | 218 | 223 | 49 | 5 | Z | H | BR | | DO | BSE | | | | | gelaagd | Paleosol | |
| | 558.485.031 | 3.612.834.891 | 272 | 42 | 230 | GATE | GN | 223 | 230 | - | 7 | Z | | GR | TBE | LI | - | | | | | | C-horizont | |
| 7-8 | 558.524.386 | 3.612.926.732 | 243 | 13 | 230 | GATE | GN | 0 | 185 | 58 | 185 | Z | | GE | TBE | LI | BSE | 210 | 33 | | | | C-horizont | |
| | 558.524.386 | 3.612.926.732 | 243 | 13 | 230 | GATE | GN | 185 | 186 | 57 | 1 | **V** | | BR | | DO | BSE | | | | 3 | moeilijke observatie | Paleosol | KOEB P 07 08 1027 |

| Boornummer | X-coördinaat | Y-coördinaat | Maaiveldhoogte (cm NAP) | Einddiepte (cm NAP) | relatieve diepte boortraject (cm) | Organisatie beschrijver | Beschrijver lithologie | Bovendiepte laag (cm) | Onderdiepte laag (cm) | ondergrens laag (cm NAP) | dikte pakket (cm) | Grondsoort | Bijmengsel humus | Hoofdkleur | Tweede kleur | Intensiteit kleur | Laaggrens | GWS na einde boring (cm) | GWS (cm NAP) | Vlekken, kleuren en hoeveelheden | Plantenresten | opmerkingen laag | bodemhorizont | Fotonummer |
|---|---|---|---|---|---|---|---|---|---|---|---|---|---|---|---|---|---|---|---|---|---|---|---|---|
| | 558.524.386 | 3.612.926.732 | 243 | 13 | 230 | GATE | GN | 186 | 200 | 43 | 14 | Z | H | BR | TGR | DO | BGE | | | | 1 | moeilijke observatie | Paleosol | KOEB P 07 08 1027 |
| | 558.524.386 | 3.612.926.732 | 243 | 13 | 230 | GATE | GN | 200 | 230 | - | 30 | Z | | GR | TBE | LI | - | | | | | moeilijke observatie | C-horizont | |
| 7-9 | 558.563.825 | 3.613.018.623 | 240 | 10 | 230 | GATE | GN | 0 | 185 | 55 | 185 | Z | | GE | TBE | LI | BSE | 210 | 30 | | | | C-horizont | |
| | 558.563.825 | 3.613.018.623 | 240 | 10 | 230 | GATE | GN | 185 | 188 | 52 | 3 | Z | H | BR | | DO | BSE | | | | | gelaagd | Paleosol | |
| | 558.563.825 | 3.613.018.623 | 240 | 10 | 230 | GATE | GN | 188 | 193 | 47 | 5 | Z | | GR | TBE | LI | BSE | | | | | | C-horizont | |
| | 558.563.825 | 3.613.018.623 | 240 | 10 | 230 | GATE | GN | 193 | 203 | 37 | 10 | Z | H | BR | | DO | BGE | | | | | gelaagd | Paleosol | |
| | 558.563.825 | 3.613.018.623 | 240 | 10 | 230 | GATE | GN | 203 | 230 | - | 27 | Z | | GR | TBE | LI | - | | | | | | C-horizont | |
| 7-10 | 558.603.117 | 3.613.110.653 | 225 | -5 | 230 | GATE | GN | 0 | 158 | 67 | 158 | Z | | GE | TBE | LI | BSE | 210 | 15 | | | | C-horizont | |
| | 558.603.117 | 3.613.110.653 | 225 | -5 | 230 | GATE | GN | 158 | 160 | 65 | 2 | Z | H | BR | | DO | BSE | | | | | gelaagd | Paleosol | KOEB P 07 10 1033 |
| | 558.603.117 | 3.613.110.653 | 225 | -5 | 230 | GATE | GN | 160 | 230 | - | 70 | Z | | GR | TBE | LI | - | | | | | | C-horizont | |
| 7-11 | 558.642.827 | 3.613.202.579 | 220 | -10 | 230 | GATE | GN | 0 | 175 | 45 | 175 | Z | | GE | TBE | LI | BSE | 200 | 20 | | | | C-horizont | |
| | 558.642.827 | 3.613.202.579 | 220 | -10 | 230 | GATE | GN | 175 | 177 | 43 | 2 | Z | H | BR | | DO | BSE | | | | | gelaagd | Paleosol | |
| | 558.642.827 | 3.613.202.579 | 220 | -10 | 230 | GATE | GN | 177 | 230 | - | 53 | Z | | GR | TBE | LI | - | | | | | | C-horizont | |
| 7-12 | 558.681.966 | 3.613.294.637 | 218 | -7 | 225 | GATE | GN | 0 | 145 | 73 | 145 | Z | | GE | TBE | LI | BSE | 195 | 23 | | | | C-horizont | |
| | 558.681.966 | 3.613.294.637 | 218 | -7 | 225 | GATE | GN | 145 | 146 | 72 | 1 | Z | H | BR | | LI | BSE | | | | | | Paleosol | |
| | 558.681.966 | 3.613.294.637 | 218 | -7 | 225 | GATE | GN | 146 | 175 | 43 | 29 | Z | | GR | TBE | LI | BSE | | | | | | C-horizont | |
| | 558.681.966 | 3.613.294.637 | 218 | -7 | 225 | GATE | GN | 175 | 185 | 33 | 10 | Z | H | BR | TGR | DO | BSE | | | | 2 | gelaagd | Paleosol | KOEB P 07 12 1037 |
| | 558.681.966 | 3.613.294.637 | 218 | -7 | 225 | GATE | GN | 185 | 225 | - | 40 | Z | | GR | TBE | LI | - | | | | | moeilijke observatie | C-horizont | |
| 7-13 | 558.721.385 | 3.613.386.281 | 220 | -10 | 230 | GATE | GN | 0 | 159 | 61 | 159 | Z | | GE | TBE | LI | BSE | 190 | 30 | | | | C-horizont | |
| | 558.721.385 | 3.613.386.281 | 220 | -10 | 230 | GATE | GN | 159 | 162 | 58 | 3 | Z | H | BR | | DO | BSE | | | | | gelaagd | Paleosol | KOEB P 07 13 1289 |
| | 558.721.385 | 3.613.386.281 | 220 | -10 | 230 | GATE | GN | 162 | 230 | - | 68 | Z | | GR | TBE | LI | - | | | | | | C-horizont | |
| 7-14 | 558.761.013 | 3.613.478.398 | 217 | -3 | 220 | GATE | GN | 0 | 20 | 197 | 20 | Z | | GE | TOR | LI | BGE | 185 | 32 | | | | B/C-horizont | |
| | 558.761.013 | 3.613.478.398 | 217 | -3 | 220 | GATE | GN | 20 | 155 | 62 | 135 | Z | | GE | TBE | LI | BSE | | | | | | C-horizont | |
| | 558.761.013 | 3.613.478.398 | 217 | -3 | 220 | GATE | GN | 155 | 156 | 61 | 1 | Z | H | BR | | LI | BSE | | | | | | Paleosol | |
| | 558.761.013 | 3.613.478.398 | 217 | -3 | 220 | GATE | GN | 156 | 175 | 42 | 19 | Z | | GR | TBE | LI | BSE | | | | | | C-horizont | |
| | 558.761.013 | 3.613.478.398 | 217 | -3 | 220 | GATE | GN | 175 | 177 | 40 | 2 | Z | H | BR | | DO | BSE | | | | | gelaagd | Paleosol | |
| | 558.761.013 | 3.613.478.398 | 217 | -3 | 220 | GATE | GN | 177 | 220 | - | 43 | Z | | GR | TBE | LI | - | | | | | moeilijke observatie | C-horizont | |
| 8-1 | 558.176.154 | 3.612.368.840 | 229 | 19 | 210 | GATE | PL / FW | 0 | 10 | 219 | 10 | Z | | GE | TOR | LI | BGE | 170 | 59 | | | | B/C-horizont | |
| | 558.176.154 | 3.612.368.840 | 229 | 19 | 210 | GATE | PL / FW | 10 | 170 | 59 | 160 | Z | | GE | TBE | LI | BSE | | | | | | C-horizont | |
| | 558.176.154 | 3.612.368.840 | 229 | 19 | 210 | GATE | PL / FW | 170 | 173 | 56 | 3 | Z | H | BR | | DO | BSE | | | | | | Paleosol | KOEB P 08 01 0223 |
| | 558.176.154 | 3.612.368.840 | 229 | 19 | 210 | GATE | PL / FW | 173 | 175 | 54 | 2 | **V** | | BR | | DO | BSE | | | | | | Paleosol | KOEB P 08 01 0223 |
| | 558.176.154 | 3.612.368.840 | 229 | 19 | 210 | GATE | PL / FW | 175 | 210 | - | 35 | Z | | GR | TBE | LI | - | | | | | | C-horizont | |
| 8-2 | 558.215.621 | 3.612.460.935 | 242 | 22 | 220 | GATE | PL / FW | 0 | 10 | 232 | 10 | Z | | GE | TOR | LI | BGE | 190 | 52 | | | | B/C-horizont | |
| | 558.215.621 | 3.612.460.935 | 242 | 22 | 220 | GATE | PL / FW | 10 | 190 | 52 | 180 | Z | | GE | TBE | LI | BSE | | | | | | C-horizont | |
| | 558.215.621 | 3.612.460.935 | 242 | 22 | 220 | GATE | PL / FW | 190 | 192 | 50 | 2 | Z | H | BR | | DO | BSE | | | | | | Paleosol | KOEB P 08 02 0225 |
| | 558.215.621 | 3.612.460.935 | 242 | 22 | 220 | GATE | PL / FW | 192 | 195 | 47 | 3 | **V** | | BR | | DO | BSE | | | | | | Paleosol | KOEB P 08 02 0225 |
| | 558.215.621 | 3.612.460.935 | 242 | 22 | 220 | GATE | PL / FW | 195 | 220 | - | 25 | Z | | GR | TBE | LI | - | | | | | | C-horizont | |
| 8-3 | 558.255.163 | 3.612.552.807 | 251 | 31 | 220 | GATE | PL / FW | 0 | 10 | 241 | 10 | Z | | GE | TOR | LI | BGE | 195 | 56 | | | | B/C-horizont | |
| | 558.255.163 | 3.612.552.807 | 251 | 31 | 220 | GATE | PL / FW | 10 | 195 | 56 | 185 | Z | | GE | TBE | LI | BSE | | | | | | C-horizont | |
| | 558.255.163 | 3.612.552.807 | 251 | 31 | 220 | GATE | PL / FW | 195 | 200 | 51 | 5 | Z | H | BR | | DO | BSE | | | | | | Paleosol | KOEB P 08 03 0227 |
| | 558.255.163 | 3.612.552.807 | 251 | 31 | 220 | GATE | PL / FW | 200 | 220 | - | 20 | Z | | GR | TBE | LI | - | | | | | | C-horizont | |
| 8-4 | 558.294.568 | 3.612.644.631 | 257 | 27 | 230 | GATE | PL / FW | 0 | 10 | 247 | 10 | Z | | GE | TOR | LI | BGE | 210 | 47 | | | | B/C-horizont | |
| | 558.294.568 | 3.612.644.631 | 257 | 27 | 230 | GATE | PL / FW | 10 | 200 | 57 | 190 | Z | | GE | TBE | LI | BSE | | | | | | C-horizont | |
| | 558.294.568 | 3.612.644.631 | 257 | 27 | 230 | GATE | PL / FW | 200 | 206 | 51 | 6 | **V** | | BR | | DO | BSE | | | | | | Paleosol | KOEB P 08 04 0229 en 0231 |
| | 558.294.568 | 3.612.644.631 | 257 | 27 | 230 | GATE | PL / FW | 206 | 230 | - | 24 | Z | | GR | TBE | LI | - | | | | | | C-horizont | |
| 8-5 | 558.334.104 | 3.612.736.560 | 258 | 28 | 230 | GATE | PL / FW | 0 | 10 | 248 | 10 | Z | | GE | TOR | LI | BGE | 220 | 38 | | | | B/C-horizont | |
| | 558.334.104 | 3.612.736.560 | 258 | 28 | 230 | GATE | PL / FW | 10 | 200 | 58 | 190 | Z | | GE | TBE | LI | BSE | | | | | | C-horizont | |
| | 558.334.104 | 3.612.736.560 | 258 | 28 | 230 | GATE | PL / FW | 200 | 204 | 54 | 4 | Z | H | BR | | DO | BSE | | | | | | Paleosol | KOEB P 08 05 0233 |

| Boornummer | X-coördinaat | Y-coördinaat | Maaiveldhoogte (cm NAP) | Einddiepte (cm NAP) | relatieve diepte boortraject (cm) | Organisatie beschrijver | Beschrijver lithologie | Bovendiepte laag (cm) | Onderdiepte laag (cm) | ondergrens laag (cm NAP) | dikte pakket (cm) | Grondsoort | Bijmengsel humus | Hoofdkleur | Tweede kleur | Intensiteit kleur | Laaggrens | GWS na einde boring (cm) | GWS (cm NAP) | Vlekken, kleuren en hoeveelheden | Plantenresten | opmerkingen laag | bodemhorizont | Fotonummer |
|---|---|---|---|---|---|---|---|---|---|---|---|---|---|---|---|---|---|---|---|---|---|---|---|---|
| | 558.334.104 | 3.612.736.560 | 258 | 28 | 230 | GATE | PL / FW | 204 | 230 | - | 26 | Z | | GR | TBE | LI | - | | | | | | C-horizont | |
| 8-6 | 558.373.361 | 3.612.828.397 | 255 | 25 | 230 | GATE | PL / FW | 0 | 10 | 245 | 10 | Z | | GE | TOR | LI | BGE | 210 | 45 | | | | B/C-horizont | |
| | 558.373.361 | 3.612.828.397 | 255 | 25 | 230 | GATE | PL / FW | 10 | 200 | 55 | 190 | Z | | GE | TBE | LI | BSE | | | | | | C-horizont | |
| | 558.373.361 | 3.612.828.397 | 255 | 25 | 230 | GATE | PL / FW | 200 | 202 | 53 | 2 | Z | H | BR | | DO | BSE | | | | | | Paleosol | KOEB P 08 06 0235 |
| | 558.373.361 | 3.612.828.397 | 255 | 25 | 230 | GATE | PL / FW | 202 | 230 | - | 28 | Z | | GR | TBE | LI | - | | | | | | C-horizont | |
| 8-7 | 558.412.827 | 3.612.920.240 | 252 | 22 | 230 | GATE | PL / FW | 0 | 10 | 242 | 10 | Z | | GE | TOR | LI | BGE | 200 | 52 | | | | B/C-horizont | |
| | 558.412.827 | 3.612.920.240 | 252 | 22 | 230 | GATE | PL / FW | 10 | 210 | 42 | 200 | Z | | GE | TBE | LI | BSE | | | | | | C-horizont | |
| | 558.412.827 | 3.612.920.240 | 252 | 22 | 230 | GATE | PL / FW | 210 | 212 | 40 | 2 | Z | H | BR | | DO | BSE | | | | | | Paleosol | KOEB P 08 07 0237 |
| | 558.412.827 | 3.612.920.240 | 252 | 22 | 230 | GATE | PL / FW | 212 | 230 | - | 18 | Z | | GR | TBE | LI | - | | | | | | C-horizont | |
| 8-8 | 558.452.069 | 3.613.012.259 | 225 | -5 | 230 | GATE | PL | 0 | 10 | 215 | 10 | Z | | GE | TOR | LI | BGE | | | | | | B/C-horizont | |
| | 558.452.069 | 3.613.012.259 | 225 | -5 | 230 | GATE | PL | 10 | 173 | 52 | 163 | Z | | GE | TBE | LI | BSE | | | | | | C-horizont | |
| | 558.452.069 | 3.613.012.259 | 225 | -5 | 230 | GATE | PL | 173 | 175 | 50 | 2 | Z | H | BR | | DO | BSE | | | | | | Paleosol | KOEB P 08 08 0239 en 0240 |
| | 558.452.069 | 3.613.012.259 | 225 | -5 | 230 | GATE | PL | 175 | 177 | 48 | 2 | Z | | GR | | LI | BSE | | | | | | C-horizont | KOEB P 08 08 0239 en 0240 |
| | 558.452.069 | 3.613.012.259 | 225 | -5 | 230 | GATE | PL | 177 | 182 | 43 | 5 | **V** | | BR | | DO | BSE | | | | | | Paleosol | KOEB P 08 08 0239 en 0240 |
| | 558.452.069 | 3.613.012.259 | 225 | -5 | 230 | GATE | PL | 182 | 230 | - | 48 | Z | | GR | TBE | LI | BSE | | | | | | C-horizont | |
| 8-9 | 558.491.717 | 3.613.104.039 | 232 | 2 | 230 | GATE | GN | 0 | 163 | 69 | 163 | Z | | GE | TBE | LI | BSE | 205 | 27 | | | | C-horizont | |
| | 558.491.717 | 3.613.104.039 | 232 | 2 | 230 | GATE | GN | 163 | 165 | 67 | 2 | Z | H | BR | | DO | BSE | | | | | | Paleosol | KOEB P 08 09 1044 |
| | 558.491.717 | 3.613.104.039 | 232 | 2 | 230 | GATE | GN | 165 | 166 | 66 | 1 | **V** | | BR | | DO | BSE | | | | | moeilijke observatie | Paleosol | KOEB P 08 09 1044 |
| | 558.491.717 | 3.613.104.039 | 232 | 2 | 230 | GATE | GN | 166 | 230 | - | 64 | Z | H | BR | TGR | DO | - | | | | | moeilijke observatie | Paleosol | KOEB P 08 09 1044 |
| 8-10 | 558.531.044 | 3.613.196.081 | 218 | -12 | 230 | GATE | GN | 0 | 10 | 208 | 10 | Z | | GE | TOR | LI | BGE | 205 | 13 | | | | B/C-horizont | |
| | 558.531.044 | 3.613.196.081 | 218 | -12 | 230 | GATE | GN | 10 | 230 | - | 220 | Z | | GE | TBE | LI | - | | | | | ca. 1,60: dun organisch laagje? | C-horizont | |
| 8-11 | 558.570.421 | 3.613.287.836 | 210 | -10 | 220 | GATE | GN | 0 | 143 | 67 | 143 | Z | | GE | TBE | LI | BSE | 195 | 15 | | | | C-horizont | |
| | 558.570.421 | 3.613.287.836 | 210 | -10 | 220 | GATE | GN | 143 | 144 | 66 | 1 | Z | H | BR | | LI | BSE | | | | | | Paleosol | |
| | 558.570.421 | 3.613.287.836 | 210 | -10 | 220 | GATE | GN | 144 | 160 | 50 | 16 | Z | | GR | TBE | LI | BSE | | | | | | C-horizont | |
| | 558.570.421 | 3.613.287.836 | 210 | -10 | 220 | GATE | GN | 160 | 162 | 48 | 2 | Z | H | BR | | DO | BSE | | | | | gelaagd | Paleosol | KOEB P 08 11 1299 |
| | 558.570.421 | 3.613.287.836 | 210 | -10 | 220 | GATE | GN | 162 | 165 | 45 | 3 | Z | | GR | TBE | LI | BSE | | | | | | C-horizont | |
| | 558.570.421 | 3.613.287.836 | 210 | -10 | 220 | GATE | GN | 165 | 173 | 37 | 8 | Z | H | BR | | DO | BSE | | | | 1 | | Paleosol | |
| | 558.570.421 | 3.613.287.836 | 210 | -10 | 220 | GATE | GN | 173 | 220 | - | 47 | Z | | GR | TBE | LI | - | | | | | | C-horizont | |
| 8-12 | 558.609.822 | 3.613.379.867 | 210 | -20 | 230 | GATE | GN | 0 | 148 | 62 | 148 | Z | | GE | TBE | LI | BSE | 170 | 40 | | | | C-horizont | |
| | 558.609.822 | 3.613.379.867 | 210 | -20 | 230 | GATE | GN | 148 | 149 | 61 | 1 | Z | H | BR | | LI | BSE | | | | | | Paleosol | |
| | 558.609.822 | 3.613.379.867 | 210 | -20 | 230 | GATE | GN | 149 | 157 | 53 | 8 | Z | | GR | TBE | LI | BSE | | | | | | C-horizont | |
| | 558.609.822 | 3.613.379.867 | 210 | -20 | 230 | GATE | GN | 157 | 160 | 50 | 3 | Z | H | BR | | DO | BSE | | | | | gelaagd | Paleosol | KOEB P 08 12 1296 en 1297 |
| | 558.609.822 | 3.613.379.867 | 210 | -20 | 230 | GATE | GN | 160 | 230 | - | 70 | Z | | GR | TBE | LI | - | | | | | | C-horizont | |
| 8-13 | 558.649.230 | 3.613.471.679 | 210 | -15 | 225 | GATE | GN | 0 | 162 | 48 | 162 | Z | | GE | TBE | LI | BSE | 190 | 20 | | | | C-horizont | |
| | 558.649.230 | 3.613.471.679 | 210 | -15 | 225 | GATE | GN | 162 | 168 | 42 | 6 | Z | H | BR | TGR | LI | BSE | | | | | gelaagd | Paleosol | |
| | 558.649.230 | 3.613.471.679 | 210 | -15 | 225 | GATE | GN | 168 | 225 | - | 57 | Z | | GR | TBE | LI | - | | | | | moeilijke observatie | C-horizont | |
| 8-14 | 558.688.720 | 3.613.563.521 | 258 | 28 | 230 | GATE | GN | 0 | 40 | 218 | 40 | Z | | BR | TGR | DO | BSE | | | | | boring vanaf maaiveld | Ploeglaag | |
| | 558.688.720 | 3.613.563.521 | 258 | 28 | 230 | GATE | GN | 40 | 50 | 208 | 10 | Z | | GE | TOR | LI | BGE | | | | | | B/C-horizont | |
| | 558.688.720 | 3.613.563.521 | 258 | 28 | 230 | GATE | GN | 50 | 200 | 58 | 150 | Z | | GE | TBE | LI | BSE | | | | | | C-horizont | |
| | 558.688.720 | 3.613.563.521 | 258 | 28 | 230 | GATE | GN | 200 | 203 | 55 | 3 | Z | H | BR | | DO | BSE | | | | | | Paleosol | KOEB P 08 14 1291 |
| | 558.688.720 | 3.613.563.521 | 258 | 28 | 230 | GATE | GN | 203 | 230 | 28 | 27 | Z | | GR | TBE | LI | - | | | | | | C-horizont | |
| 9-1 | 558.064.691 | 3.612.362.339 | 232 | 42 | 190 | GATE | GN | 0 | 40 | 192 | 40 | Z | | GR | | DO | BSE | 166 | 66 | | | | verstoord | |
| | 558.064.691 | 3.612.362.339 | 232 | 42 | 190 | GATE | GN | 4 | 173 | 59 | 169 | Z | | GE | TBE | LI | BSE | | | | | | C-horizont | |
| | 558.064.691 | 3.612.362.339 | 232 | 42 | 190 | GATE | GN | 173 | 174 | 58 | 1 | Z | H | BR | | DO | BSE | | | | | gelaagd | Paleosol | KOEB P 09 01 1046 |
| | 558.064.691 | 3.612.362.339 | 232 | 42 | 190 | GATE | GN | 174 | 176 | 56 | 2 | **V** | | BR | | DO | BSE | | | | 3 | | Paleosol | KOEB P 09 01 1046 |
| | 558.064.691 | 3.612.362.339 | 232 | 42 | 190 | GATE | GN | 176 | 190 | - | 14 | Z | H | BR | TGR | DO | - | | | | | moeilijke observatie | Paleosol | KOEB P 09 01 1046 |
| 9-2 | 558.104.107 | 3.612.454.354 | 245 | 20 | 225 | GATE | GN | 0 | 10 | 235 | 10 | Z | | GE | TOR | LI | BGE | 175 | 70 | | | | B/C-horizont | |
| | 558.104.107 | 3.612.454.354 | 245 | 20 | 225 | GATE | GN | 10 | 195 | 50 | 185 | Z | | GE | TBE | LI | BSE | | | | | | C-horizont | |

| Boornummer | X-coördinaat | Y-coördinaat | Maaiveldhoogte (cm NAP) | Einddiepte (cm NAP) | relatieve diepte boortraject (cm) | Organisatie beschrijver | Beschrijver lithologie | Bovendiepte laag (cm) | Onderdiepte laag (cm) | ondergrens laag (cm NAP) | dikte pakket (cm) | Grondsoort | Bijmengsel humus | Hoofdkleur | Tweede kleur | Intensiteit kleur | Laaggrens | GWS na einde boring (cm) | GWS (cm NAP) | Vlekken, kleuren en hoeveelheden | Plantenresten | opmerkingen laag | bodemhorizont | Fotonummer |
|---|---|---|---|---|---|---|---|---|---|---|---|---|---|---|---|---|---|---|---|---|---|---|---|---|
| | 558.104.107 | 3.612.454.354 | 245 | 20 | 225 | GATE | GN | 195 | 199 | 46 | 4 | Z | H | BR | | DO | BSE | | | | | gelaagd | Paleosol | KOEB P 09 02 1048 |
| | 558.104.107 | 3.612.454.354 | 245 | 20 | 225 | GATE | GN | 199 | 225 | - | 26 | Z | | GR | TBE | LI | - | | | | | | C-horizont | |
| 9-3 | 558.143.624 | 3.612.546.229 | 256 | 26 | 230 | GATE | GN | 0 | 192 | 64 | 192 | Z | | GE | TBE | LI | BSE | 200 | 56 | | | | C-horizont | |
| | 558.143.624 | 3.612.546.229 | 256 | 26 | 230 | GATE | GN | 192 | 196 | 60 | 4 | Z | H | BR | | DO | BSE | | | | | gelaagd | Paleosol | |
| | 558.143.624 | 3.612.546.229 | 256 | 26 | 230 | GATE | GN | 196 | 230 | - | 34 | Z | | GR | TBE | LI | - | | | | | | C-horizont | |
| 9-4 | 558.182.782 | 3.612.638.145 | 260 | 30 | 230 | GATE | GN | 0 | 198 | 62 | 198 | Z | | GE | TBE | LI | BSE | 220 | 40 | | | | C-horizont | |
| | 558.182.782 | 3.612.638.145 | 260 | 30 | 230 | GATE | GN | 198 | 201 | 59 | 3 | Z | H | BR | | DO | BSE | | | | | gelaagd | Paleosol | |
| | 558.182.782 | 3.612.638.145 | 260 | 30 | 230 | GATE | GN | 201 | 230 | - | 29 | Z | | GR | TBE | LI | - | | | | | | C-horizont | |
| 9-5 | 558.222.425 | 3.612.729.966 | 263 | 33 | 230 | GATE | GN | 0 | 210 | 53 | 210 | Z | | GE | TBE | LI | BSE | 215 | 48 | | | | C-horizont | |
| | 558.222.425 | 3.612.729.966 | 263 | 33 | 230 | GATE | GN | 210 | 212 | 51 | 2 | Z | H | BR | | DO | BSE | | | | | gelaagd | Paleosol | KOEB P 09 05 1052 |
| | 558.222.425 | 3.612.729.966 | 263 | 33 | 230 | GATE | GN | 212 | 230 | - | 18 | Z | | GR | TBE | LI | - | | | | | | C-horizont | |
| 9-6 | 558.261.758 | 3.612.821.893 | 254 | 24 | 230 | GATE | GN | 0 | 25 | 229 | 25 | Z | | GR | TBR | DO | BSE | 215 | 39 | | | | verstoord | |
| | 558.261.758 | 3.612.821.893 | 254 | 24 | 230 | GATE | GN | 25 | 200 | 54 | 175 | Z | | GE | TBE | LI | BSE | | | | | | C-horizont | |
| | 558.261.758 | 3.612.821.893 | 254 | 24 | 230 | GATE | GN | 200 | 203 | 51 | 3 | Z | H | BR | | DO | BSE | | | | | gelaagd | Paleosol | |
| | 558.261.758 | 3.612.821.893 | 254 | 24 | 230 | GATE | GN | 203 | 230 | - | 27 | Z | | GR | TBE | LI | - | | | | | | C-horizont | |
| 9-7 | 558.301.293 | 3.612.913.735 | 250 | 20 | 230 | GATE | GN | 0 | 182 | 68 | 182 | Z | | GE | TBE | LI | BSE | 218 | 32 | | | | C-horizont | |
| | 558.301.293 | 3.612.913.735 | 250 | 20 | 230 | GATE | GN | 182 | 185 | 65 | 3 | Z | H | BR | | DO | BSE | | | | | gelaagd | Paleosol | KOEB P 09 07 1061 |
| | 558.301.293 | 3.612.913.735 | 250 | 20 | 230 | GATE | GN | 185 | 230 | - | 45 | Z | | GR | TBE | LI | - | | | | | | C-horizont | |
| 9-8 | 558.340.527 | 3.613.005.594 | 248 | 18 | 230 | GATE | PL | 0 | 200 | 48 | 200 | Z | | GE | TBE | LI | BSE | 177 | 71 | | | | C-horizont | |
| | 558.340.527 | 3.613.005.594 | 248 | 18 | 230 | GATE | PL | 200 | 203 | 45 | 3 | Z | H | BR | | DO | BSE | | | | | gelaagd | Paleosol | KOEB P 09 08 0018 |
| | 558.340.527 | 3.613.005.594 | 248 | 18 | 230 | GATE | PL | 203 | 230 | - | 27 | Z | | GR | TBE | LI | - | | | | | | C-horizont | |
| 9-9 | 558.380.090 | 3.613.097.522 | 226 | 11 | 215 | GATE | PL | 0 | 170 | 56 | 170 | Z | | GE | TBE | LI | BSE | 180 | 46 | | | | C-horizont | |
| | 558.380.090 | 3.613.097.522 | 226 | 11 | 215 | GATE | PL | 170 | 174 | 52 | 4 | Z | H | BR | | DO | BSE | | | | | gelaagd | Paleosol | KOEB P 09 09 0015 en 0016 |
| | 558.380.090 | 3.613.097.522 | 226 | 11 | 215 | GATE | PL | 174 | 215 | - | 41 | Z | | GR | TBE | LI | - | | | | | | C-horizont | |
| 9-10 | 558.419.516 | 3.613.189.554 | 219 | 4 | 215 | GATE | PL | 0 | 170 | 49 | 170 | Z | | GE | TBE | LI | BSE | 180 | 39 | | | | C-horizont | |
| | 558.419.516 | 3.613.189.554 | 219 | 4 | 215 | GATE | PL | 170 | 175 | 44 | 5 | Z | H | BR | | DO | BSE | | | | | gelaagd | Paleosol | KOEB P 09 10 0012 en 0013 |
| | 558.419.516 | 3.613.189.554 | 219 | 4 | 215 | GATE | PL | 175 | 215 | - | 40 | Z | | GR | TBE | LI | - | | | | | | C-horizont | |
| 9-11 | 558.454.117 | 3.613.283.442 | 216 | -4 | 220 | GATE | PL | 0 | 174 | 42 | 174 | Z | | GE | TBE | LI | BSE | 185 | 31 | | | | C-horizont | |
| | 558.454.117 | 3.613.283.442 | 216 | -4 | 220 | GATE | PL | 174 | 179 | 37 | 5 | Z | H | BR | | DO | BSE | | | | | gelaagd | Paleosol | KOEB P 09 11 0010 |
| | 558.454.117 | 3.613.283.442 | 216 | -4 | 220 | GATE | PL | 179 | 220 | - | 41 | Z | | GR | TBE | LI | - | | | | | | C-horizont | |
| 9-12 | 558.493.568 | 3.613.375.327 | 208 | -17 | 225 | GATE | PL | 0 | 158 | 50 | 158 | Z | | GE | TBE | LI | BSE | 178 | 30 | | | | C-horizont | |
| | 558.493.568 | 3.613.375.327 | 208 | -17 | 225 | GATE | PL | 158 | 164 | 44 | 6 | Z | H | BR | TGR | DO | BSE | | | | | gelaagd | Paleosol | KOEB P 09 12 0007 en 0008 |
| | 558.493.568 | 3.613.375.327 | 208 | -17 | 225 | GATE | PL | 164 | 167 | 41 | 3 | **V** | | BR | | DO | BSE | | | | 3 | | Paleosol | KOEB P 09 12 0007 en 0008 |
| | 558.493.568 | 3.613.375.327 | 208 | -17 | 225 | GATE | PL | 167 | 174 | 34 | 7 | Z | | BR | TGR | DO | BGE | | | | 2 | | Paleosol | KOEB P 09 12 0007 en 0008 |
| | 558.493.568 | 3.613.375.327 | 208 | -17 | 225 | GATE | PL | 174 | 225 | - | 51 | Z | | GR | TBE | LI | - | | | | | | C-horizont | |
| 9-13 | 558.533.031 | 3.613.467.330 | 201 | -19 | 220 | GATE | PL | 0 | 140 | 61 | 140 | Z | | GE | TBE | LI | BSE | 185 | 16 | | | | C-horizont | |
| | 558.533.031 | 3.613.467.330 | 201 | -19 | 220 | GATE | PL | 140 | 141 | 60 | 1 | Z | H | BR | | DO | BSE | | | | | | Paleosol | KOEB P 09 13 0004 |
| | 558.533.031 | 3.613.467.330 | 201 | -19 | 220 | GATE | PL | 141 | 150 | 51 | 9 | Z | | GR | TBE | LI | BSE | | | | | | C-horizont | |
| | 558.533.031 | 3.613.467.330 | 201 | -19 | 220 | GATE | PL | 150 | 151 | 50 | 1 | Z | H | BR | | DO | BSE | | | | | gelaagd | Paleosol | KOEB P 09 13 0004 en 0005 |
| | 558.533.031 | 3.613.467.330 | 201 | -19 | 220 | GATE | PL | 151 | 157 | 44 | 6 | Z | | GR | TBE | LI | BSE | | | | | | C-horizont | |
| | 558.533.031 | 3.613.467.330 | 201 | -19 | 220 | GATE | PL | 157 | 160 | 41 | 3 | Z | H | BR | | DO | BSE | | | | | gelaagd | Paleosol | KOEB P 09 13 0005 |
| | 558.533.031 | 3.613.467.330 | 201 | -19 | 220 | GATE | PL | 160 | 220 | - | 60 | Z | | GR | TBE | LI | - | | | | | | C-horizont | |
| 9-14 | 558.572.477 | 3.613.559.076 | 203 | -17 | 220 | GATE | PL | 0 | 164 | 39 | 164 | Z | | GE | TBE | LI | BSE | 180 | 23 | | | | C-horizont | |
| | 558.572.477 | 3.613.559.076 | 203 | -17 | 220 | GATE | PL | 164 | 169 | 34 | 5 | Z | H | BR | TGR | DO | BSE | | | | | gelaagd | Paleosol | KOEB P 09 14 0002 |
| | 558.572.477 | 3.613.559.076 | 203 | -17 | 220 | GATE | PL | 169 | 220 | - | 51 | Z | | GR | TBE | LI | - | | | | | | C-horizont | |
| 10-1 | 557.953.036 | 3.612.355.982 | 263 | 33 | 230 | GATE | GN | 0 | 30 | 233 | 30 | Z | | BR | TGR | DO | BSE | 200 | 63 | | | boring vanaf maaiveld | Ploeglaag | |
| | 557.953.036 | 3.612.355.982 | 263 | 33 | 230 | GATE | GN | 30 | 230 | - | 200 | Z | | GE | | LI | - | | | | | | C-horizont | |
| 10-2 | 557.992.616 | 3.612.447.630 | 241 | 41 | 200 | GATE | GN | 0 | 10 | 231 | 10 | Z | | OR | TGE | | BGE | 175 | 66 | | | onderzijde B-horizont | B/C-horizont | |

| Boornummer | X-coördinaat | Y-coördinaat | Maaiveldhoogte (cm NAP) | Einddiepte (cm NAP) | relatieve diepte boortraject (cm) | Organisatie beschrijver | Beschrijver lithologie | Bovendiepte laag (cm) | Onderdiepte laag (cm) | ondergrens laag (cm NAP) | dikte pakket (cm) | Grondsoort | Bijmengsel humus | Hoofdkleur | Tweede kleur | Intensiteit kleur | Laaggrens | GWS na einde boring (cm) | GWS (cm NAP) | Vlekken, kleuren en hoeveelheden | Plantenresten | opmerkingen laag | bodemhorizont | Fotonummer |
|---|---|---|---|---|---|---|---|---|---|---|---|---|---|---|---|---|---|---|---|---|---|---|---|---|
| | 557.992.616 | 3.612.447.630 | 241 | 41 | 200 | GATE | GN | 10 | 190 | 51 | 180 | Z | | GE | TBE | LI | BSE | | | | | | C-horizont | |
| | 557.992.616 | 3.612.447.630 | 241 | 41 | 200 | GATE | GN | 190 | 196 | 45 | 6 | Z | H | BR | | DO | BSE | | | | | gelaagd | Paleosol | KOEB P 10 02 1063 |
| | 557.992.616 | 3.612.447.630 | 241 | 41 | 200 | GATE | GN | 196 | 200 | - | 4 | Z | | GR | TBE | LI | - | | | | | | C-horizont | |
| 10-3 | 558.032.030 | 3.612.539.621 | 253 | 23 | 230 | GATE | GN | 0 | 30 | 223 | 30 | Z | | GE | TOR | LI | BGE | 217 | 36 | | | | B/C-horizont | |
| | 558.032.030 | 3.612.539.621 | 253 | 23 | 230 | GATE | GN | 30 | 185 | 68 | 155 | Z | | GE | TBE | LI | BSE | | | | | | C-horizont | |
| | 558.032.030 | 3.612.539.621 | 253 | 23 | 230 | GATE | GN | 185 | 188 | 65 | 3 | Z | H | BR | | DO | BSE | | | | | gelaagd | Paleosol | KOEB P 10 03 1065 |
| | 558.032.030 | 3.612.539.621 | 253 | 23 | 230 | GATE | GN | 188 | 230 | - | 42 | Z | | GR | TBE | LI | - | | | | | ca. 1,98 een tweede ca. 5cm dikke organische laag? | C-horizont | |
| 10-4 | 558.071.434 | 3.612.631.524 | 250 | 20 | 230 | GATE | GN | 0 | 10 | 240 | 10 | Z | | GE | TOR | LI | BGE | 210 | 40 | | | | B/C-horizont | |
| | 558.071.434 | 3.612.631.524 | 250 | 20 | 230 | GATE | GN | 10 | 194 | 56 | 184 | Z | | GE | TBE | LI | BSE | | | | | | C-horizont | |
| | 558.071.434 | 3.612.631.524 | 250 | 20 | 230 | GATE | GN | 194 | 198 | 52 | 4 | Z | H | BR | | DO | BSE | | | | | gelaagd | Paleosol | KOEB P 10 04 1068 |
| | 558.071.434 | 3.612.631.524 | 250 | 20 | 230 | GATE | GN | 198 | 230 | - | 32 | Z | | GR | TBE | LI | - | | | | | | C-horizont | |
| 10-5 | 558.110.717 | 3.612.723.554 | 255 | 25 | 230 | GATE | GN | 0 | 10 | 245 | 10 | Z | | GE | TOR | LI | BGE | 215 | 40 | | | | B/C-horizont | |
| | 558.110.717 | 3.612.723.554 | 255 | 25 | 230 | GATE | GN | 10 | 180 | 75 | 170 | Z | | GE | TBE | LI | BSE | | | | | | C-horizont | |
| | 558.110.717 | 3.612.723.554 | 255 | 25 | 230 | GATE | GN | 180 | 181 | 74 | 1 | Z | H | BR | | LI | BSE | | | | | | Paleosol | KOEB P 10 05 1070 |
| | 558.110.717 | 3.612.723.554 | 255 | 25 | 230 | GATE | GN | 181 | 195 | 60 | 14 | Z | | GR | TBE | LI | - | | | | | | C-horizont | |
| | 558.110.717 | 3.612.723.554 | 255 | 25 | 230 | GATE | GN | 195 | 198 | 57 | 3 | Z | H | BR | | DO | BGE | | | | | gelaagd | Paleosol | KOEB P 10 05 1071 |
| | 558.110.717 | 3.612.723.554 | 255 | 25 | 230 | GATE | GN | 198 | 230 | - | 32 | Z | | GR | TBE | LI | - | | | | | | C-horizont | |
| 10-6 | 558.150.125 | 3.612.815.390 | 254 | 24 | 230 | GATE | GN | 0 | 10 | 244 | 10 | Z | | GE | TOR | LI | BGE | 220 | 34 | | | | B/C-horizont | |
| | 558.150.125 | 3.612.815.390 | 254 | 24 | 230 | GATE | GN | 10 | 190 | 64 | 180 | Z | | GE | TBE | LI | BSE | | | | | | C-horizont | |
| | 558.150.125 | 3.612.815.390 | 254 | 24 | 230 | GATE | GN | 190 | 193 | 61 | 3 | Z | H | BR | | DO | BSE | | | | | gelaagd | Paleosol | KOEB P 10 06 1075 |
| | 558.150.125 | 3.612.815.390 | 254 | 24 | 230 | GATE | GN | 193 | 230 | - | 37 | Z | | GR | TBE | LI | - | | | | | | C-horizont | |
| 10-7 | 558.189.636 | 3.612.907.157 | 252 | 22 | 230 | GATE | GN | 0 | 10 | 242 | 10 | Z | | GE | TOR | LI | BGE | 217 | 35 | | | | B/C-horizont | |
| | 558.189.636 | 3.612.907.157 | 252 | 22 | 230 | GATE | GN | 10 | 181 | 71 | 171 | Z | | GE | TBE | LI | BSE | | | | | | C-horizont | |
| | 558.189.636 | 3.612.907.157 | 252 | 22 | 230 | GATE | GN | 181 | 183 | 69 | 2 | Z | H | BR | | DO | BSE | | | | | gelaagd | Paleosol | KOEB P 10 07 1077 en 1078 |
| | 558.189.636 | 3.612.907.157 | 252 | 22 | 230 | GATE | GN | 183 | 230 | - | 47 | Z | | GR | TBE | LI | - | | | | | | C-horizont | |
| 10-8 | 558.228.888 | 3.612.999.035 | 260 | 30 | 230 | GATE | GN | 0 | 10 | 250 | 10 | Z | | GE | TOR | LI | BGE | 220 | 40 | | | | B/C-horizont | |
| | 558.228.888 | 3.612.999.035 | 260 | 30 | 230 | GATE | GN | 10 | 190 | 70 | 180 | Z | | GE | TBE | LI | BSE | | | | | | C-horizont | |
| | 558.228.888 | 3.612.999.035 | 260 | 30 | 230 | GATE | GN | 190 | 193 | 67 | 3 | Z | H | BR | | DO | BSE | | | | | gelaagd | Paleosol | KOEB P 10 08 1080 |
| | 558.228.888 | 3.612.999.035 | 260 | 30 | 230 | GATE | GN | 193 | 230 | - | 37 | Z | | GR | TBE | LI | - | | | | | | C-horizont | |
| 10-9 | 558.268.379 | 3.613.090.966 | 250 | 20 | 230 | GATE | PL | 0 | 10 | 240 | 10 | Z | | GE | TOR | LI | BGE | | | | | | B/C-horizont | |
| | 558.268.379 | 3.613.090.966 | 250 | 20 | 230 | GATE | PL | 10 | 208 | 42 | 198 | Z | | GE | TBE | LI | BSE | | | | | | C-horizont | |
| | 558.268.379 | 3.613.090.966 | 250 | 20 | 230 | GATE | PL | 208 | 215 | 35 | 7 | Z | H | BR | | DO | BSE | | | | | gelaagd | Paleosol | KOEB P 10 09 0034 |
| | 558.268.379 | 3.613.090.966 | 250 | 20 | 230 | GATE | PL | 215 | 230 | - | 15 | Z | | GR | TBE | LI | - | | | | | | C-horizont | |
| 10-10 | 558.307.866 | 3.613.182.979 | 235 | 20 | 215 | GATE | PL | 0 | 10 | 225 | 10 | Z | | GE | TOR | LI | BGE | | | | | | B/C-horizont | |
| | 558.307.866 | 3.613.182.979 | 235 | 20 | 215 | GATE | PL | 10 | 165 | 70 | 155 | Z | | GE | TBE | LI | BSE | | | | | | C-horizont | |
| | 558.307.866 | 3.613.182.979 | 235 | 20 | 215 | GATE | PL | 165 | 168 | 67 | 3 | Z | H | BR | | DO | BSE | | | | | gelaagd | Paleosol | KOEB P 10 10 0032 |
| | 558.307.866 | 3.613.182.979 | 235 | 20 | 215 | GATE | PL | 168 | 215 | - | 47 | Z | | GR | TBE | LI | - | | | | | | C-horizont | |
| 10-11 | 558.342.450 | 3.613.276.653 | 218 | 8 | 210 | GATE | PL | 0 | 30 | 188 | 30 | Z | | GE | TOR | LI | BGE | 180 | 38 | | | | B/C-horizont | |
| | 558.342.450 | 3.613.276.653 | 218 | 8 | 210 | GATE | PL | 30 | 185 | 33 | 155 | Z | | GE | TBE | LI | BSE | | | | | | C-horizont | |
| | 558.342.450 | 3.613.276.653 | 218 | 8 | 210 | GATE | PL | 185 | 189 | 29 | 4 | Z | H | BR | TGR | DO | BSE | | | | | gelaagd | Paleosol | KOEB P 10 11 0030 |
| | 558.342.450 | 3.613.276.653 | 218 | 8 | 210 | GATE | PL | 189 | 210 | - | 21 | Z | | GR | TBE | LI | - | | | | | | C-horizont | |
| 10-12 | 558.382.074 | 3.613.368.609 | 210 | -5 | 215 | GATE | PL | 0 | 5 | 205 | 5 | Z | | BR | TGR | | BSE | 175 | 35 | | | | verstoord | |
| | 558.382.074 | 3.613.368.609 | 210 | -5 | 215 | GATE | PL | 5 | 156 | 54 | 151 | Z | | GE | TBE | LI | BSE | | | | | | C-horizont | |
| | 558.382.074 | 3.613.368.609 | 210 | -5 | 215 | GATE | PL | 156 | 157 | 53 | 1 | Z | H | BR | | LI | BSE | | | | | | Paleosol | KOEB P 10 12 1026 en 1027 |
| | 558.382.074 | 3.613.368.609 | 210 | -5 | 215 | GATE | PL | 157 | 160 | 50 | 3 | Z | | GR | TBE | LI | BSE | | | | | | C-horizont | KOEB P 10 12 1026 en 1027 |
| | 558.382.074 | 3.613.368.609 | 210 | -5 | 215 | GATE | PL | 160 | 171 | 39 | 11 | Z | H | BR | TGR | DO | BSE | | | | | gelaagd | Paleosol | KOEB P 10 12 1026 en 1027 |
| | 558.382.074 | 3.613.368.609 | 210 | -5 | 215 | GATE | PL | 171 | 215 | - | 44 | Z | | GR | TBE | LI | - | | | | | | C-horizont | |

| Boornummer | X-coördinaat | Y-coördinaat | Maaiveldhoogte (cm NAP) | Einddiepte (cm NAP) | relatieve diepte boortraject (cm) | Organisatie beschrijver | Beschrijver lithologie | Bovendiepte laag (cm) | Onderdiepte laag (cm) | ondergrens laag (cm NAP) | dikte pakket (cm) | Grondsoort | Bijmengsel humus | Hoofdkleur | Tweede kleur | Intensiteit kleur | Laaggrens | GWS na einde boring (cm) | GWS (cm NAP) | Vlekken, kleuren en hoeveelheden | Plantenresten | opmerkingen laag | bodemhorizont | Fotonummer |
|---|---|---|---|---|---|---|---|---|---|---|---|---|---|---|---|---|---|---|---|---|---|---|---|---|
| 10-13 | 558.421.284 | 3.613.460.686 | 203 | -2 | 205 | GATE | PL | 0 | 150 | 53 | 150 | Z | | GE | TBE | LI | BSE | 170 | 33 | | | | C-horizont | |
| | 558.421.284 | 3.613.460.686 | 203 | -2 | 205 | GATE | PL | 150 | 152 | 51 | 2 | Z | H | BR | | DO | BSE | | | | | gelaagd | Paleosol | KOEB P 10 13 0023 |
| | 558.421.284 | 3.613.460.686 | 203 | -2 | 205 | GATE | PL | 152 | 160 | 43 | 8 | Z | | GR | TBE | LI | BSE | | | | | | C-horizont | |
| | 558.421.284 | 3.613.460.686 | 203 | -2 | 205 | GATE | PL | 160 | 170 | 33 | 10 | Z | H | BR | TGR | DO | BSE | | | | 1 | gelaagd | Paleosol | KOEB P 10 13 0024 |
| | 558.421.284 | 3.613.460.686 | 203 | -2 | 205 | GATE | PL | 170 | 205 | - | 35 | Z | | GR | TBE | LI | - | | | | | | C-horizont | |
| 10-14 | 558.460.777 | 3.613.552.428 | 200 | -25 | 225 | GATE | PL | 0 | 125 | 75 | 125 | Z | | GE | TBE | LI | BSE | 180 | 20 | | | | C-horizont | |
| | 558.460.777 | 3.613.552.428 | 200 | -25 | 225 | GATE | PL | 125 | 127 | 73 | 2 | Z | H | BR | | DO | BSE | | | | | gelaagd | Paleosol | KOEB P 10 14 0021 |
| | 558.460.777 | 3.613.552.428 | 200 | -25 | 225 | GATE | PL | 127 | 170 | 30 | 43 | Z | | GR | TBE | LI | BSE | | | | | | C-horizont | |
| | 558.460.777 | 3.613.552.428 | 200 | -25 | 225 | GATE | PL | 170 | 173 | 27 | 3 | Z | H | BR | TGR | DO | BSE | | | | | gelaagd | Paleosol | |
| | 558.460.777 | 3.613.552.428 | 200 | -25 | 225 | GATE | PL | 173 | 225 | - | 52 | Z | | GR | TBE | LI | - | | | | | | C-horizont | |
| 10-15 | 558.504.832 | 3.613.642.366 | 247 | 17 | 230 | GATE | PL | 0 | 40 | 207 | 40 | Z | | BR | TGR | DO | BSE | | | | | boring vanaf maaiveld | Ploeglaag | KOEB 10 15 |
| | 558.504.832 | 3.613.642.366 | 247 | 17 | 230 | GATE | PL | 40 | 52 | 195 | 12 | Z | | BR | TGR | | BSE | | | | | | verstoord | |
| | 558.504.832 | 3.613.642.366 | 247 | 17 | 230 | GATE | PL | 52 | 200 | 47 | 148 | Z | | GE | TBE | LI | BSE | | | | | | C-horizont | |
| | 558.504.832 | 3.613.642.366 | 247 | 17 | 230 | GATE | PL | 200 | 202 | 45 | 2 | Z | H | BR | | DO | BSE | | | | | | Paleosol | |
| | 558.504.832 | 3.613.642.366 | 247 | 17 | 230 | GATE | PL | 202 | 218 | 29 | 16 | Z | | GR | TBE | LI | BSE | | | | | | C-horizont | |
| | 558.504.832 | 3.613.642.366 | 247 | 17 | 230 | GATE | PL | 218 | 228 | 19 | 10 | Z | H | BR | TGR | DO | BSE | | | | | gelaagd:<br>op de foto is erboven een donkergrijs pakket zichtbaar, niet beschreven | Paleosol | KOEB P 10 15 0019 |
| | 558.504.832 | 3.613.642.366 | 247 | 17 | 230 | GATE | PL | 228 | 230 | - | 2 | Z | | GR | TBE | LI | - | | | | | | C-horizont | |
| 11-1 | 557.881.003 | 3.612.441.216 | 223 | 23 | 200 | GATE | PL | 0 | 171 | 52 | 171 | Z | | GE | TBE | LI | BSE | 170 | 53 | | | | C-horizont | |
| | 557.881.003 | 3.612.441.216 | 223 | 23 | 200 | GATE | PL | 171 | 174 | 49 | 3 | Z | H | BR | | DO | BSE | | | | | gelaagd | Paleosol | KOEB P 11 01 0036 |
| | 557.881.003 | 3.612.441.216 | 223 | 23 | 200 | GATE | PL | 174 | 176 | 47 | 2 | **V** | | BR | | DO | BSE | | | | 3 | | Paleosol | KOEB P 11 01 0036 |
| | 557.881.003 | 3.612.441.216 | 223 | 23 | 200 | GATE | PL | 176 | 178 | 45 | 2 | Z | H | BR | | DO | BSE | | | | | | Paleosol | KOEB P 11 01 0036 |
| | 557.881.003 | 3.612.441.216 | 223 | 23 | 200 | GATE | PL | 178 | 200 | - | 22 | Z | | GR | TBE | LI | - | | | | | bovenaan zit nog een organisch pakket waarvan de dikte niet werd geregistreerd | C-horizont | |
| 11-2 | 557.920.265 | 3.612.532.956 | 231 | 16 | 215 | GATE | PL | 0 | 180 | 51 | 180 | Z | | GE | TBE | LI | BSE | 175 | 56 | | | | C-horizont | |
| | 557.920.265 | 3.612.532.956 | 231 | 16 | 215 | GATE | PL | 180 | 183 | 48 | 3 | Z | H | BR | | DO | BSE | | | | | gelaagd | Paleosol | KOEB P 11 02 0038 |
| | 557.920.265 | 3.612.532.956 | 231 | 16 | 215 | GATE | PL | 183 | 215 | - | 32 | Z | | GR | TBE | LI | - | | | | | | C-horizont | |
| 11-3 | 557.959.627 | 3.612.625.060 | 243 | 23 | 220 | GATE | PL | 0 | 188 | 55 | 188 | Z | | GE | TBE | LI | BSE | | | | | | C-horizont | |
| | 557.959.627 | 3.612.625.060 | 243 | 23 | 220 | GATE | PL | 188 | 192 | 51 | 4 | Z | H | BR | | DO | BSE | | | | | gelaagd | Paleosol | |
| | 557.959.627 | 3.612.625.060 | 243 | 23 | 220 | GATE | PL | 192 | 220 | - | 28 | Z | | GR | TBE | LI | - | | | | | | C-horizont | |
| 11-4 | 557.999.118 | 3.612.717.051 | 241 | 21 | 220 | GATE | PL | 0 | 15 | 226 | 15 | Z | | GE | TOR | LI | BGE | | | | | | B/C-horizont | |
| | 557.999.118 | 3.612.717.051 | 241 | 21 | 220 | GATE | PL | 15 | 185 | 56 | 170 | Z | | GE | TBE | LI | BSE | | | | | | C-horizont | |
| | 557.999.118 | 3.612.717.051 | 241 | 21 | 220 | GATE | PL | 185 | 188 | 53 | 3 | Z | H | BR | | DO | BSE | | | | | gelaagd | Paleosol | KOEB P 11 04 0041 |
| | 557.999.118 | 3.612.717.051 | 241 | 21 | 220 | GATE | PL | 188 | 220 | - | 32 | Z | | GR | TBE | LI | - | | | | | | C-horizont | |
| 11-5 | 558.038.449 | 3.612.808.841 | 247 | 32 | 215 | GATE | PL | 0 | 178 | 69 | 178 | Z | | GE | TBE | LI | BSE | | | | | | C-horizont | |
| | 558.038.449 | 3.612.808.841 | 247 | 32 | 215 | GATE | PL | 178 | 181 | 66 | 3 | Z | H | BR | | DO | BSE | | | | | gelaagd | Paleosol | |
| | 558.038.449 | 3.612.808.841 | 247 | 32 | 215 | GATE | PL | 181 | 215 | - | 34 | Z | | GR | TBE | LI | - | | | | | | C-horizont | |
| 11-6 | 558.078.021 | 3.612.900.755 | 247 | 22 | 225 | GATE | PL | 0 | 10 | 237 | 10 | Z | | GE | TOR | LI | BGE | 200 | 47 | | | | B/C-horizont | |
| | 558.078.021 | 3.612.900.755 | 247 | 22 | 225 | GATE | PL | 10 | 188 | 59 | 178 | Z | | GE | TBE | LI | BSE | | | | | | C-horizont | |
| | 558.078.021 | 3.612.900.755 | 247 | 22 | 225 | GATE | PL | 188 | 190 | 57 | 2 | Z | H | BR | | DO | BSE | | | | | gelaagd | Paleosol | KOEB P 11 06 0003 |
| | 558.078.021 | 3.612.900.755 | 247 | 22 | 225 | GATE | PL | 190 | 225 | - | 35 | Z | | GR | TBE | LI | - | | | | | | C-horizont | |
| 11-7 | 558.117.379 | 3.612.992.735 | 255 | 25 | 230 | GATE | PL | 0 | 195 | 60 | 195 | Z | | GE | TBE | LI | BSE | 190 | 65 | | | | C-horizont | |
| | 558.117.379 | 3.612.992.735 | 255 | 25 | 230 | GATE | PL | 195 | 196 | 59 | 1 | Z | H | BR | TGR | DO | BSE | | | | | gelaagd | Paleosol | KOEB P 11 07 0007 |
| | 558.117.379 | 3.612.992.735 | 255 | 25 | 230 | GATE | PL | 196 | 230 | - | 34 | Z | | GR | TBE | LI | - | | | | | | C-horizont | |
| 11-8 | 558.156.727 | 3.613.084.637 | 257 | 27 | 230 | GATE | GN | 0 | 10 | 247 | 10 | Z | | GE | TOR | LI | BGE | 215 | 42 | | | | B/C-horizont | |
| | 558.156.727 | 3.613.084.637 | 257 | 27 | 230 | GATE | GN | 10 | 190 | 67 | 180 | Z | | GE | TBE | LI | BSE | | | | | | C-horizont | |
| | 558.156.727 | 3.613.084.637 | 257 | 27 | 230 | GATE | GN | 190 | 192 | 65 | 2 | Z | H | BR | TGR | DO | BSE | | | | | gelaagd | Paleosol | KOEB P 11 08 1109 |

| Boornummer | X-coördinaat | Y-coördinaat | Maaiveldhoogte (cm NAP) | Einddiepte (cm NAP) | relatieve diepte boortraject (cm) | Organisatie beschrijver | Beschrijver lithologie | Bovendiepte laag (cm) | Onderdiepte laag (cm) | ondergrens laag (cm NAP) | dikte pakket (cm) | Grondsoort | Bijmengsel humus | Hoofdkleur | Tweede kleur | Intensiteit kleur | Laaggrens | GWS na einde boring (cm) | GWS (cm NAP) | Vlekken, kleuren en hoeveelheden | Plantenresten | opmerkingen laag | bodemhorizont | Fotonummer |
|---|---|---|---|---|---|---|---|---|---|---|---|---|---|---|---|---|---|---|---|---|---|---|---|---|
| | 558.156.727 | 3.613.084.637 | 257 | 27 | 230 | GATE | GN | 192 | 230 | - | 38 | Z | | GR | TBE | LI | - | | | | | | C-horizont | |
| 11-9 | 558.196.376 | 3.613.176.454 | 241 | 11 | 230 | GATE | GN | 0 | 10 | 231 | 10 | Z | | GE | TOR | LI | BGE | 205 | 36 | | | | B/C-horizont | KOEB 11 09 |
| | 558.196.376 | 3.613.176.454 | 241 | 11 | 230 | GATE | GN | 10 | 182 | 59 | 172 | Z | | GE | TBE | LI | BSE | | | | | | C-horizont | |
| | 558.196.376 | 3.613.176.454 | 241 | 11 | 230 | GATE | GN | 182 | 185 | 56 | 3 | Z | H | BR | TGR | DO | BSE | | | | | gelaagd | Paleosol | |
| | 558.196.376 | 3.613.176.454 | 241 | 11 | 230 | GATE | GN | 185 | 230 | - | 45 | Z | | GR | TBE | LI | - | | | | | | C-horizont | |
| 11-10 | 558.235.460 | 3.613.268.245 | 233 | 3 | 230 | GATE | GN | 0 | 185 | 48 | 185 | Z | | GE | TBE | LI | BSE | 205 | 28 | | | | C-horizont | |
| | 558.235.460 | 3.613.268.245 | 233 | 3 | 230 | GATE | GN | 185 | 188 | 45 | 3 | Z | H | BR | TGR | DO | BSE | | | | | gelaagd | Paleosol | KOEB P 11 10 1096 en 1097 |
| | 558.235.460 | 3.613.268.245 | 233 | 3 | 230 | GATE | GN | 188 | 230 | - | 42 | Z | | GR | TBE | LI | - | | | | | | C-horizont | |
| 11-11 | 558.270.395 | 3.613.362.215 | 221 | -9 | 230 | GATE | GN | 0 | 10 | 211 | 10 | Z | | GE | TOR | LI | BGE | 180 | 41 | | | | B/C-horizont | |
| | 558.270.395 | 3.613.362.215 | 221 | -9 | 230 | GATE | GN | 10 | 160 | 61 | 150 | Z | | GE | TBE | LI | BSE | | | | | | C-horizont | |
| | 558.270.395 | 3.613.362.215 | 221 | -9 | 230 | GATE | GN | 160 | 163 | 58 | 3 | Z | H | BR | TGR | DO | BSE | | | | | gelaagd | Paleosol | KOEB P 11 11 1091 |
| | 558.270.395 | 3.613.362.215 | 221 | -9 | 230 | GATE | GN | 163 | 175 | 46 | 12 | Z | | GR | TBE | LI | BSE | | | | | | C-horizont | |
| | 558.270.395 | 3.613.362.215 | 221 | -9 | 230 | GATE | GN | 175 | 176 | 45 | 1 | Z | H | BR | | DO | BSE | | | | | | Paleosol | KOEB P 11 11 1092 |
| | 558.270.395 | 3.613.362.215 | 221 | -9 | 230 | GATE | GN | 176 | 230 | - | 54 | Z | | GR | TBE | LI | - | | | | | | C-horizont | |
| 11-12 | 558.309.817 | 3.613.454.146 | 205 | -25 | 230 | GATE | GN | 0 | 148 | 57 | 148 | Z | | GE | TBE | LI | BSE | 165 | 40 | | | | C-horizont | |
| | 558.309.817 | 3.613.454.146 | 205 | -25 | 230 | GATE | GN | 148 | 151 | 54 | 3 | Z | H | BR | | DO | BSE | | | | | gelaagd | Paleosol | KOEB P 11 12 1088 en 1089 |
| | 558.309.817 | 3.613.454.146 | 205 | -25 | 230 | GATE | GN | 151 | 156 | 49 | 5 | Z | | GR | TBE | LI | BSE | | | | | | C-horizont | KOEB P 11 12 1088 en 1089 |
| | 558.309.817 | 3.613.454.146 | 205 | -25 | 230 | GATE | GN | 156 | 161 | 44 | 5 | Z | H | BR | TGR | DO | BSE | | | | | gelaagd | Paleosol | KOEB P 11 12 1088 en 1089 |
| | 558.309.817 | 3.613.454.146 | 205 | -25 | 230 | GATE | GN | 161 | 165 | 40 | 4 | Z | | GR | TBE | LI | BSE | | | | | | C-horizont | KOEB P 11 12 1088 en 1089 |
| | 558.309.817 | 3.613.454.146 | 205 | -25 | 230 | GATE | GN | 165 | 166 | 39 | 1 | Z | H | BR | | DO | BSE | | | | | | Paleosol | KOEB P 11 12 1088 en 1089 |
| | 558.309.817 | 3.613.454.146 | 205 | -25 | 230 | GATE | GN | 166 | 230 | - | 64 | Z | | GR | TBE | LI | - | | | | | | C-horizont | |
| 11-13 | 558.349.296 | 3.613.545.980 | 198 | 8 | 190 | GATE | GN | 0 | 10 | 188 | 10 | Z | | GE | TOR | LI | BGE | 165 | 33 | | | | B/C-horizont | |
| | 558.349.296 | 3.613.545.980 | 198 | 8 | 190 | GATE | GN | 10 | 152 | | 142 | Z | | GE | TBE | LI | BSE | | | | | | C-horizont | |
| | 558.349.296 | 3.613.545.980 | 198 | 8 | 190 | GATE | GN | 152 | 159 | | 7 | Z | H | BR | TGR | DO | BSE | | | | | gelaagd | Paleosol | KOEB P 11 13 1086 |
| | 558.349.296 | 3.613.545.980 | 198 | 8 | 190 | GATE | GN | 159 | 198 | | 39 | Z | | GR | TBE | LI | - | | | | | | C-horizont | |
| 11-14 | 558.388.594 | 3.613.637.955 | 196 | -4 | 200 | GATE | GN | 0 | 10 | 186 | 10 | Z | | GE | TOR | LI | BGE | 165 | 31 | | | | B/C-horizont | |
| | 558.388.594 | 3.613.637.955 | 196 | -4 | 200 | GATE | GN | 10 | 165 | 31 | 155 | Z | | GE | TBE | LI | BSE | | | | | | C-horizont | |
| | 558.388.594 | 3.613.637.955 | 196 | -4 | 200 | GATE | GN | 165 | 167 | 29 | 2 | Z | H | BR | | DO | BSE | | | | | gelaagd | Paleosol | KOEB P 11 14 1083 en 1084 |
| | 558.388.594 | 3.613.637.955 | 196 | -4 | 200 | GATE | GN | 167 | 200 | - | 33 | Z | | GR | TBE | LI | - | | | | | moeilijke observatie | C-horizont | |
| 12-1 | 557.769.113 | 3.612.434.557 | 218 | 13 | 205 | GATE | PL | 0 | 147 | 71 | 147 | Z | | GE | TBE | LI | BSE | 185 | 33 | | | | C-horizont | |
| | 557.769.113 | 3.612.434.557 | 218 | 13 | 205 | GATE | PL | 147 | 150 | 68 | 3 | Z | H | BR | | DO | BSE | | | | | gelaagd | Paleosol | KOEB P 12 01 0011 |
| | 557.769.113 | 3.612.434.557 | 218 | 13 | 205 | GATE | PL | 150 | 205 | - | 55 | Z | | GR | TBE | LI | - | | | | | | C-horizont | |
| 12-2 | 557.808.660 | 3.612.526.393 | 237 | 17 | 220 | GATE | PL | 0 | 10 | 227 | 10 | Z | | GE | TOR | LI | BGE | | | | | | B/C-horizont | |
| | 557.808.660 | 3.612.526.393 | 237 | 17 | 220 | GATE | PL | 10 | 193 | 44 | 183 | Z | | GE | TBE | LI | BSE | | | | | | C-horizont | |
| | 557.808.660 | 3.612.526.393 | 237 | 17 | 220 | GATE | PL | 193 | 196 | 41 | 3 | Z | H | BR | | DO | BSE | | | | | gelaagd | Paleosol | KOEB P 12 02 0013 |
| | 557.808.660 | 3.612.526.393 | 237 | 17 | 220 | GATE | PL | 196 | 220 | - | 24 | Z | | GR | TBE | LI | - | | | | | | C-horizont | |
| 12-3 | 557.848.072 | 3.612.618.565 | 250 | 25 | 225 | GATE | PL | 0 | 200 | 50 | 200 | Z | | GE | TBE | LI | BSE | | | | | | C-horizont | |
| | 557.848.072 | 3.612.618.565 | 250 | 25 | 225 | GATE | PL | 200 | 202 | 48 | 2 | Z | H | BR | | DO | BSE | | | | | gelaagd | Paleosol | KOEB P 12 03 0015 |
| | 557.848.072 | 3.612.618.565 | 250 | 25 | 225 | GATE | PL | 202 | 225 | - | 23 | Z | | GR | TBE | LI | - | | | | | | C-horizont | |
| 12-4 | 557.887.462 | 3.612.710.283 | 254 | 24 | 230 | GATE | PL | 0 | 15 | 239 | 15 | Z | | GE | TOR | LI | BGE | | | | | | B/C-horizont | |
| | 557.887.462 | 3.612.710.283 | 254 | 24 | 230 | GATE | PL | 15 | 195 | 59 | 180 | Z | | GE | TBE | LI | BSE | | | | | | C-horizont | |
| | 557.887.462 | 3.612.710.283 | 254 | 24 | 230 | GATE | PL | 195 | 197 | 57 | 2 | Z | H | BR | | DO | BSE | | | | | gelaagd | Paleosol | KOEB P 12 04 0017 en 0018 |
| | 557.887.462 | 3.612.710.283 | 254 | 24 | 230 | GATE | PL | 197 | 202 | 52 | 5 | **V** | | BR | TGR | DO | BSE | | | | 3 | gelaagd, vermengd met zand | Paleosol | KOEB P 12 04 0017 en 0018 |
| | 557.887.462 | 3.612.710.283 | 254 | 24 | 230 | GATE | PL | 202 | 230 | - | 28 | Z | | GR | TBE | LI | - | | | | 1 | bovenaan organisch | C-horizont | |
| 12-5 | 557.926.824 | 3.612.802.262 | 252 | 22 | 230 | GATE | PL | 0 | 196 | 56 | 196 | Z | | GE | TBE | LI | BSE | 200 | 52 | | | | C-horizont | |
| | 557.926.824 | 3.612.802.262 | 252 | 22 | 230 | GATE | PL | 196 | 198 | 54 | 2 | Z | H | BR | | DO | BSE | | | | | gelaagd | Paleosol | KOEB P 12 05 0020 |
| | 557.926.824 | 3.612.802.262 | 252 | 22 | 230 | GATE | PL | 198 | 230 | - | 32 | Z | | GR | TBE | LI | - | | | | | | C-horizont | |
| 12-6 | 557.966.243 | 3.612.894.080 | 243 | 18 | 225 | GATE | PL | 0 | 15 | 228 | 15 | Z | | GE | TOR | LI | BGE | 200 | 43 | | | | B/C-horizont | |

| Boornummer | X-coördinaat | Y-coördinaat | Maaiveldhoogte (cm NAP) | Einddiepte (cm NAP) | relatieve diepte boortraject (cm) | Organisatie beschrijver | Beschrijver lithologie | Bovendiepte laag (cm) | Onderdiepte laag (cm) | ondergrens laag (cm NAP) | dikte pakket (cm) | Grondsoort | Bijmengsel humus | Hoofdkleur | Tweede kleur | Intensiteit kleur | Laaggrens | GWS na einde boring (cm) | GWS (cm NAP) | Vlekken, kleuren en hoeveelheden | Plantenresten | opmerkingen laag | bodemhorizont | Fotonummer |
|---|---|---|---|---|---|---|---|---|---|---|---|---|---|---|---|---|---|---|---|---|---|---|---|---|
| | 557.966.243 | 3.612.894.080 | 243 | 18 | 225 | GATE | PL | 15 | 185 | 58 | 170 | Z | | GE | TBE | LI | BSE | | | | | | C-horizont | |
| | 557.966.243 | 3.612.894.080 | 243 | 18 | 225 | GATE | PL | 185 | 187 | 56 | 2 | Z | H | BR | | DO | BSE | | | | | gelaagd | Paleosol | KOEB P 12 06 0022 en 0023 |
| | 557.966.243 | 3.612.894.080 | 243 | 18 | 225 | GATE | PL | 187 | 225 | - | 38 | Z | | GR | TBE | LI | - | | | | | | C-horizont | |
| 12-7 | 558.005.683 | 3.612.986.011 | 250 | 25 | 225 | GATE | PL | 0 | 15 | 235 | 15 | Z | | GE | TOR | LI | BGE | | | | | | B/C-horizont | |
| | 558.005.683 | 3.612.986.011 | 250 | 25 | 225 | GATE | PL | 15 | 186 | 64 | 171 | Z | | GE | TBE | LI | BSE | | | | | | C-horizont | |
| | 558.005.683 | 3.612.986.011 | 250 | 25 | 225 | GATE | PL | 186 | 188 | 62 | 2 | Z | H | BR | TGR | DO | BSE | | | | | gelaagd | Paleosol | KOEB P 12 07 0025 |
| | 558.005.683 | 3.612.986.011 | 250 | 25 | 225 | GATE | PL | 188 | 225 | - | 37 | Z | | GR | TBE | LI | - | | | | | | C-horizont | |
| 12-8 | 558.045.166 | 3.613.078.105 | 253 | 33 | 220 | GATE | PL | 0 | 25 | 228 | 25 | Z | | GE | TOR | LI | BGE | | | | | | B/C-horizont | |
| | 558.045.166 | 3.613.078.105 | 253 | 33 | 220 | GATE | PL | 25 | 190 | 63 | 165 | Z | | GE | TBE | LI | BSE | | | | | | C-horizont | |
| | 558.045.166 | 3.613.078.105 | 253 | 33 | 220 | GATE | PL | 190 | 192 | 61 | 2 | Z | H | BR | | DO | BSE | | | | | gelaagd | Paleosol | KOEB P 12 08 0027 |
| | 558.045.166 | 3.613.078.105 | 253 | 33 | 220 | GATE | PL | 192 | 220 | - | 28 | Z | | GR | TBE | LI | - | | | | | | C-horizont | |
| 12-9 | 558.084.675 | 3.613.169.874 | 242 | 12 | 230 | GATE | GN | 0 | 130 | 112 | 130 | Z | | BE | TGR | LI | BSE | 205 | 37 | | | rioleringssleuf | verstoord | |
| | 558.084.675 | 3.613.169.874 | 242 | 12 | 230 | GATE | GN | 130 | 134 | 108 | 4 | Z | H | BR | TOR | DO | BSE | | | | | gelaagd | Paleosol? | KOEB P 12 09 1126 |
| | 558.084.675 | 3.613.169.874 | 242 | 12 | 230 | GATE | GN | 134 | 138 | 104 | 4 | Z | | GR | TBE | LI | BSE | | | | | | C-horizont | KOEB P 12 09 1127 |
| | 558.084.675 | 3.613.169.874 | 242 | 12 | 230 | GATE | GN | 138 | 142 | 100 | 4 | Z | H | BR | TGR | DO | BSE | | | | | verrommeld | Paleosol? | KOEB P 12 09 1127 |
| | 558.084.675 | 3.613.169.874 | 242 | 12 | 230 | GATE | GN | 142 | 190 | 52 | 48 | Z | | GR | TBE | LI | BSE | | | | | | C-horizont | |
| | 558.084.675 | 3.613.169.874 | 242 | 12 | 230 | GATE | GN | 190 | 193 | 49 | 3 | Z | H | BR | TGR | DO | BSE | | | | | | Paleosol | KOEB P 12 09 1128 |
| | 558.084.675 | 3.613.169.874 | 242 | 12 | 230 | GATE | GN | 193 | 230 | - | 37 | Z | | GR | TBE | LI | - | | | | | | C-horizont | |
| 12-10 | 558.124.019 | 3.613.261.787 | 228 | -2 | 230 | GATE | GN | 0 | 10 | 218 | 10 | Z | | GE | TOR | LI | BGE | 195 | 33 | | | | B/C-horizont | |
| | 558.124.019 | 3.613.261.787 | 228 | -2 | 230 | GATE | GN | 10 | 175 | 53 | 165 | Z | | GE | TBE | LI | BSE | | | | | | C-horizont | |
| | 558.124.019 | 3.613.261.787 | 228 | -2 | 230 | GATE | GN | 175 | 176 | 52 | 1 | Z | H | BR | | DO | BSE | | | | | | Paleosol | KOEB P 12 10 1124 |
| | 558.124.019 | 3.613.261.787 | 228 | -2 | 230 | GATE | GN | 176 | 230 | - | 54 | Z | | GR | TBE | LI | - | | | | | | C-horizont | |
| 12-11 | 558.158.813 | 3.613.355.721 | 216 | -14 | 230 | GATE | GN | 0 | 150 | 66 | 150 | Z | | GE | TBE | LI | BSE | 175 | 41 | | | | C-horizont | |
| | 558.158.813 | 3.613.355.721 | 216 | -14 | 230 | GATE | GN | 150 | 151 | 65 | 1 | Z | H | BR | | DO | BSE | | | | | | Paleosol | KOEB P 12 11 1121 |
| | 558.158.813 | 3.613.355.721 | 216 | -14 | 230 | GATE | GN | 151 | 170 | 46 | 19 | Z | | GR | TBE | LI | BSE | | | | | | C-horizont | |
| | 558.158.813 | 3.613.355.721 | 216 | -14 | 230 | GATE | GN | 170 | 172 | 44 | 2 | Z | H | BR | | DO | BSE | | | | | gelaagd | Paleosol | KOEB P 12 11 1122 |
| | 558.158.813 | 3.613.355.721 | 216 | -14 | 230 | GATE | GN | 172 | 230 | - | 58 | Z | | GR | TBE | LI | - | | | | | | C-horizont | |
| 12-12 | 558.198.209 | 3.613.447.653 | 193 | -22 | 215 | GATE | GN | 0 | 144 | 49 | 144 | Z | | GE | TBE | LI | BSE | 150 | 43 | | | | C-horizont | |
| | 558.198.209 | 3.613.447.653 | 193 | -22 | 215 | GATE | GN | 144 | 146 | 47 | 2 | Z | H | BR | | DO | BSE | | | | | gelaagd | Paleosol | KOEB P 12 12 1119 |
| | 558.198.209 | 3.613.447.653 | 193 | -22 | 215 | GATE | GN | 146 | 215 | - | 69 | Z | | GR | TBE | LI | - | | | | | | C-horizont | |
| 12-13 | 558.237.542 | 3.613.539.483 | 194 | -21 | 215 | GATE | GN | 0 | 149 | 45 | 149 | Z | | GE | TBE | LI | BSE | 155 | 39 | | | | C-horizont | |
| | 558.237.542 | 3.613.539.483 | 194 | -21 | 215 | GATE | GN | 149 | 151 | 43 | 2 | Z | H | BR | | DO | BSE | | | | | gelaagd | Paleosol | KOEB P 12 13 1117 |
| | 558.237.542 | 3.613.539.483 | 194 | -21 | 215 | GATE | GN | 151 | 215 | - | 64 | Z | | GR | TBE | LI | - | | | | | | C-horizont | |
| 12-14 | 558.277.044 | 3.613.631.378 | 191 | -19 | 210 | GATE | GN | 0 | 15 | 176 | 15 | Z | | GE | TOR | LI | BGE | 160 | 31 | | | | B/C-horizont | |
| | 558.277.044 | 3.613.631.378 | 191 | -19 | 210 | GATE | GN | 15 | 145 | 46 | 130 | Z | | GE | TBE | LI | BSE | | | | | | C-horizont | |
| | 558.277.044 | 3.613.631.378 | 191 | -19 | 210 | GATE | GN | 145 | 152 | 39 | 7 | Z | H | BR | TGR | DO | BSE | | | | | gelaagd | Paleosol | KOEB P 12 14 1115 |
| | 558.277.044 | 3.613.631.378 | 191 | -19 | 210 | GATE | GN | 152 | 210 | - | 58 | | | GR | TBE | LI | - | | | | | | C-horizont | |
| 12-15 | 558.320.963 | 3.613.721.309 | 240 | 10 | 230 | GATE | GN | 0 | 35 | 205 | 35 | Z | | BR | TGR | DO | BSE | 205 | 35 | | | boring vanaf maaiveld | ploeglaag | |
| | 558.320.963 | 3.613.721.309 | 240 | 10 | 230 | GATE | GN | 35 | 50 | 190 | 15 | Z | | BR | TGR | | BSE | | | | | | verstoord | |
| | 558.320.963 | 3.613.721.309 | 240 | 10 | 230 | GATE | GN | 50 | 65 | 175 | 15 | Z | | GE | TOR | LI | BGE | | | | | | B/C-horizont | |
| | 558.320.963 | 3.613.721.309 | 240 | 10 | 230 | GATE | GN | 65 | 150 | 90 | 85 | Z | | GE | TBE | LI | BSE | | | | | | C-horizont | |
| | 558.320.963 | 3.613.721.309 | 240 | 10 | 230 | GATE | GN | 150 | 151 | 89 | 1 | Z | H | BR | | DO | BSE | | | | | twijfel over locatie | Paleosol | |
| | 558.320.963 | 3.613.721.309 | 240 | 10 | 230 | GATE | GN | 151 | 180 | 60 | 29 | Z | | GR | TBE | LI | BSE | | | | | | C-horizont | |
| | 558.320.963 | 3.613.721.309 | 240 | 10 | 230 | GATE | GN | 180 | 183 | 57 | 3 | Z | H | BR | | DO | BSE | | | | | gelaagd | Paleosol | KOEB P 12 15 1110 |
| | 558.320.963 | 3.613.721.309 | 240 | 10 | 230 | GATE | GN | 183 | 230 | - | 47 | Z | | GR | | LI | - | | | | | ca. 189: organisch bandje < 1cm ?? | C-horizont | |
| 13-1 | 557.657.800 | 3.612.428.013 | 248 | 18 | 230 | GATE | PL | 0 | 10 | 238 | 10 | Z | | GR | TBR | DO | BSE | 200 | 48 | | | boring vanaf maaiveld | ploeglaag | |
| | 557.657.800 | 3.612.428.013 | 248 | 18 | 230 | GATE | PL | 10 | 20 | 228 | 10 | Z | | OR | | LI | BGE | | | | | | B-horizont | |
| | 557.657.800 | 3.612.428.013 | 248 | 18 | 230 | GATE | PL | 20 | 30 | 218 | 10 | Z | | GE | TOR | LI | BGE | | | | | | B/C-horizont | |

| Boornummer | X-coördinaat | Y-coördinaat | Maaiveldhoogte (cm NAP) | Einddiepte (cm NAP) | relatieve diepte boortraject (cm) | Organisatie beschrijver | Beschrijver lithologie | Bovendiepte laag (cm) | Onderdiepte laag (cm) | ondergrens laag (cm NAP) | dikte pakket (cm) | Grondsoort | Bijmengsel humus | Hoofdkleur | Tweede kleur | Intensiteit kleur | Laaggrens | GWS na einde boring (cm) | GWS (cm NAP) | Vlekken, kleuren en hoeveelheden | Plantenresten | opmerkingen laag | bodemhorizont | Fotonummer |
|---|---|---|---|---|---|---|---|---|---|---|---|---|---|---|---|---|---|---|---|---|---|---|---|---|
| | 557.657.800 | 3.612.428.013 | 248 | 18 | 230 | GATE | PL | 30 | 190 | 58 | 160 | Z | | GE | TBE | LI | BSE | | | | | | C-horizont | |
| | 557.657.800 | 3.612.428.013 | 248 | 18 | 230 | GATE | PL | 190 | 194 | 54 | 4 | Z | H | BR | | DO | BSE | | | | | gelaagd | Paleosol | KOEB P 13 01 0028 |
| | 557.657.800 | 3.612.428.013 | 248 | 18 | 230 | GATE | PL | 194 | 198 | 50 | 4 | **V** | | BR | | DO | BSE | | | | 3 | | Paleosol | KOEB P 13 01 0028 |
| | 557.657.800 | 3.612.428.013 | 248 | 18 | 230 | GATE | PL | 198 | 230 | - | 32 | Z | | GR | TBE | LI | - | | | | | | C-horizont | |
| 13-2 | 557.697.057 | 3.612.520.230 | 217 | 2 | 215 | GATE | PL | 0 | 169 | 48 | 169 | Z | | GE | TBE | LI | BSE | 175 | 42 | | | | C-horizont | |
| | 557.697.057 | 3.612.520.230 | 217 | 2 | 215 | GATE | PL | 169 | 173 | 44 | 4 | Z | H | BR | | DO | BSE | | | | | gelaagd | Paleosol | KOEB P 13 02 0030 en 0031 |
| | 557.697.057 | 3.612.520.230 | 217 | 2 | 215 | GATE | PL | 173 | 177 | 40 | 4 | **V** | | BR | | DO | BSE | | | | 3 | | Paleosol | KOEB P 13 02 0030 en 0031 |
| | 557.697.057 | 3.612.520.230 | 217 | 2 | 215 | GATE | PL | 177 | 215 | - | 38 | Z | | GR | TBE | LI | - | | | | | bovenaan organisch | C-horizont | |
| 13-3 | 557.736.404 | 3.612.612.042 | 233 | 18 | 215 | GATE | PL | 0 | 180 | 53 | 180 | Z | | GE | TBE | LI | BSE | 190 | 43 | | | | C-horizont | |
| | 557.736.404 | 3.612.612.042 | 233 | 18 | 215 | GATE | PL | 180 | 182 | 51 | 2 | Z | H | BR | | DO | BSE | | | | | gelaagd | Paleosol | KOEB P 13 03 0033 |
| | 557.736.404 | 3.612.612.042 | 233 | 18 | 215 | GATE | PL | 182 | 215 | - | 33 | Z | | GR | TBE | LI | - | | | | | | C-horizont | |
| 13-4 | 557.775.791 | 3.612.703.771 | 247 | 22 | 225 | GATE | PL | 0 | 15 | 232 | 15 | Z | | GE | TOR | LI | BGE | | | | | | B/C-horizont | |
| | 557.775.791 | 3.612.703.771 | 247 | 22 | 225 | GATE | PL | 15 | 190 | 57 | 175 | Z | | GE | TBE | LI | BSE | | | | | | C-horizont | |
| | 557.775.791 | 3.612.703.771 | 247 | 22 | 225 | GATE | PL | 190 | 193 | 54 | 3 | Z | H | BR | | DO | BSE | | | | | gelaagd | Paleosol | KOEB P 13 04 0035 |
| | 557.775.791 | 3.612.703.771 | 247 | 22 | 225 | GATE | PL | 193 | 225 | - | 32 | Z | | GR | TBE | LI | - | | | | | | C-horizont | |
| 13-5 | 557.810.635 | 3.612.797.716 | 246 | 26 | 220 | GATE | PL | 0 | 15 | 231 | 15 | Z | | GE | TOR | LI | BGE | | | | | | B/C-horizont | |
| | 557.810.635 | 3.612.797.716 | 246 | 26 | 220 | GATE | PL | 15 | 182 | 64 | 167 | Z | | GE | TBE | LI | BSE | | | | | | C-horizont | |
| | 557.810.635 | 3.612.797.716 | 246 | 26 | 220 | GATE | PL | 182 | 184 | 62 | 2 | Z | H | BR | | DO | BSE | | | | | gelaagd | Paleosol | KOEB P 13 05 0037 |
| | 557.810.635 | 3.612.797.716 | 246 | 26 | 220 | GATE | PL | 184 | 220 | - | 36 | Z | | GR | TBE | LI | - | | | | | | C-horizont | |
| 13-6 | 557.850.068 | 3.612.889.546 | 247 | 22 | 225 | GATE | PL | 0 | 190 | 57 | 190 | Z | | GE | TBE | LI | BSE | | | | | | C-horizont | |
| | 557.850.068 | 3.612.889.546 | 247 | 22 | 225 | GATE | PL | 190 | 192 | 55 | 2 | Z | H | BR | | DO | BSE | | | | | gelaagd | Paleosol | KOEB P 13 06 0039 |
| | 557.850.068 | 3.612.889.546 | 247 | 22 | 225 | GATE | PL | 192 | 225 | - | 33 | Z | | GR | TBE | LI | - | | | | | | C-horizont | |
| 13-7 | 557.889.511 | 3.612.981.481 | 248 | 33 | 215 | GATE | PL | 0 | 185 | 63 | 185 | Z | | GE | TBE | LI | BSE | 190 | 58 | | | | C-horizont | |
| | 557.889.511 | 3.612.981.481 | 248 | 33 | 215 | GATE | PL | 185 | 187 | 61 | 2 | Z | H | BR | | DO | BSE | | | | | gelaagd | Paleosol | KOEB P 13 07 0041 |
| | 557.889.511 | 3.612.981.481 | 248 | 33 | 215 | GATE | PL | 187 | 215 | - | 28 | Z | | GR | TBE | LI | - | | | | | | C-horizont | |
| 13-8 | 557.924.312 | 3.613.075.410 | 246 | 16 | 230 | GATE | GN | 0 | 15 | 231 | 15 | Z | | GE | TOR | LI | BGE | 215 | 31 | | | | B/C-horizont | |
| | 557.924.312 | 3.613.075.410 | 246 | 16 | 230 | GATE | GN | 15 | 185 | 61 | 170 | Z | | GE | TBE | LI | BSE | | | | | | C-horizont | |
| | 557.924.312 | 3.613.075.410 | 246 | 16 | 230 | GATE | GN | 185 | 187 | 59 | 2 | Z | H | BR | | DO | BSE | | | | | gelaagd | Paleosol | KOEB P 13 08 1154 |
| | 557.924.312 | 3.613.075.410 | 246 | 16 | 230 | GATE | GN | 187 | 230 | - | 43 | Z | | GR | TBE | LI | - | | | | | | C-horizont | |
| 13-9 | 557.963.731 | 3.613.167.462 | 232 | 2 | 230 | GATE | GN | 0 | 15 | 217 | 15 | Z | | GE | TOR | LI | BGE | 200 | 32 | | | | B/C-horizont | |
| | 557.963.731 | 3.613.167.462 | 232 | 2 | 230 | GATE | GN | 15 | 171 | 61 | 156 | Z | | GE | TBE | LI | BSE | | | | | | C-horizont | |
| | 557.963.731 | 3.613.167.462 | 232 | 2 | 230 | GATE | GN | 171 | 172 | 60 | 1 | Z | H | BR | | DO | BSE | | | | | gelaagd | Paleosol | KOEB P 13 09 1152 |
| | 557.963.731 | 3.613.167.462 | 232 | 2 | 230 | GATE | GN | 172 | 181 | 51 | 9 | Z | | GE | TBE | LI | BSE | | | | | | C-horizont | KOEB P 13 09 1152 |
| | 557.963.731 | 3.613.167.462 | 232 | 2 | 230 | GATE | GN | 181 | 182 | 50 | 1 | Z | H | BR | | DO | BSE | | | | | gelaagd | Paleosol | KOEB P 13 09 1152 |
| | 557.963.731 | 3.613.167.462 | 232 | 2 | 230 | GATE | GN | 182 | 230 | - | 48 | Z | | GR | TBE | LI | - | | | | | | C-horizont | |
| 13-10 | 558.003.082 | 3.613.259.308 | 215 | -15 | 230 | GATE | GN | 0 | 140 | 75 | 140 | Z | | GE | TBE | LI | BSE | 170 | 45 | | | | C-horizont | |
| | 558.003.082 | 3.613.259.308 | 215 | -15 | 230 | GATE | GN | 140 | 142 | 73 | 2 | Z | H | BR | | DO | BSE | | | | | | Paleosol | KOEB P 13 10 1150 |
| | 558.003.082 | 3.613.259.308 | 215 | -15 | 230 | GATE | GN | 142 | 230 | - | 88 | Z | | GE | TBE | LI | - | | | | | | C-horizont | |
| 13-11 | 558.042.634 | 3.613.351.212 | 215 | -15 | 230 | GATE | GN / PL | 0 | 154 | 61 | 154 | Z | | GE | TBE | LI | BSE | 190 | 25 | | | | C-horizont | |
| | 558.042.634 | 3.613.351.212 | 215 | -15 | 230 | GATE | GN / PL | 154 | 159 | 56 | 5 | Z | H | GR | TBR | DO | BSE | | | | | gelaagd | Paleosol | KOEB P 13 11 1140 |
| | 558.042.634 | 3.613.351.212 | 215 | -15 | 230 | GATE | GN / PL | 159 | 230 | - | 71 | Z | | GE | TBE | LI | - | | | | | | C-horizont | |
| 13-12 | 558.082.055 | 3.613.442.960 | 205 | -20 | 225 | GATE | GN | 0 | 15 | 190 | 15 | Z | | GE | TOR | LI | BGE | 175 | 30 | | | | B/C-horizont | |
| | 558.082.055 | 3.613.442.960 | 205 | -20 | 225 | GATE | GN | 15 | 150 | 55 | 135 | Z | | GE | TBE | LI | BSE | | | | | | C-horizont | |
| | 558.082.055 | 3.613.442.960 | 205 | -20 | 225 | GATE | GN | 150 | 152 | 53 | 2 | Z | H | BR | | DO | BSE | | | | | gelaagd | Paleosol | KOEB P 13 12 1136 |
| | 558.082.055 | 3.613.442.960 | 205 | -20 | 225 | GATE | GN | 152 | 225 | - | 73 | Z | | GR | TBE | LI | - | | | | | | C-horizont | |
| 13-13 | 558.121.418 | 3.613.534.935 | 192 | -3 | 195 | GATE | GN | 0 | 145 | 47 | 145 | Z | | GE | TBE | LI | BSE | 160 | 32 | | | | C-horizont | |
| | 558.121.418 | 3.613.534.935 | 192 | -3 | 195 | GATE | GN | 145 | 150 | 42 | 5 | Z | H | BR | TGR | DO | BSE | | | | | gelaagd | Paleosol | KOEB P 13 13 1134 |
| | 558.121.418 | 3.613.534.935 | 192 | -3 | 195 | GATE | GN | 150 | 195 | - | 45 | Z | | GR | TBE | LI | - | | | | | | C-horizont | |

| Boornummer | X-coördinaat | Y-coördinaat | Maaiveldhoogte (cm NAP) | Einddiepte (cm NAP) | relatieve diepte boortraject (cm) | Organisatie beschrijver | Beschrijver lithologie | Bovendiepte laag (cm) | Onderdiepte laag (cm) | ondergrens laag (cm NAP) | dikte pakket (cm) | Grondsoort | Bijmengsel humus | Hoofdkleur | Tweede kleur | Intensiteit kleur | Laaggrens | GWS na einde boring (cm) | GWS (cm NAP) | Vlekken, kleuren en hoeveelheden | Plantenresten | opmerkingen laag | bodemhorizont | Fotonummer |
|---|---|---|---|---|---|---|---|---|---|---|---|---|---|---|---|---|---|---|---|---|---|---|---|---|
| 13-14 | 558.165.288 | 3.613.624.759 | 184 | -6 | 190 | GATE | GN | 0 | 15 | 169 | 15 | Z | | GE | TOR | LI | BGE | 145 | 39 | | | | B/C-horizont | |
| | 558.165.288 | 3.613.624.759 | 184 | -6 | 190 | GATE | GN | 15 | 190 | - | 175 | Z | | GE | TBE | LI | BSE | | | | | | C-horizont | |
| 13-15 | 558.209.506 | 3.613.714.796 | 189 | -11 | 200 | GATE | GN | 0 | 15 | 174 | 15 | Z | | GE | TOR | LI | BGE | 160 | 29 | | | | B/C-horizont | |
| | 558.209.506 | 3.613.714.796 | 189 | -11 | 200 | GATE | GN | 15 | 143 | 46 | 128 | Z | | GE | TBE | LI | BSE | | | | | | C-horizont | |
| | 558.209.506 | 3.613.714.796 | 189 | -11 | 200 | GATE | GN | 143 | 145 | 44 | 2 | Z | H | BR | | DO | BSE | | | | | | Paleosol | KOEB P 13 15 1130 |
| | 558.209.506 | 3.613.714.796 | 189 | -11 | 200 | GATE | GN | 145 | 150 | 39 | 5 | Z | | GR | TBE | LI | BSE | | | | | | C-horizont | |
| | 558.209.506 | 3.613.714.796 | 189 | -11 | 200 | GATE | GN | 150 | 152 | 37 | 2 | Z | H | BR | | DO | BSE | | | | | gelaagd; onregelmatig | Paleosol | KOEB P 13 15 1131 |
| | 558.209.506 | 3.613.714.796 | 189 | -11 | 200 | GATE | GN | 152 | 200 | - | 48 | Z | | GR | | LI | - | | | | | moeilijke observatie | C-horizont | |
| 14-1 | 557.585.278 | 3.612.513.364 | 228 | -2 | 230 | GATE | GN | 0 | 100 | 128 | 100 | Z | | GR | TBR | LI | BSE | 185 | 43 | | | bodemspoor | verstoord | |
| | 557.585.278 | 3.612.513.364 | 228 | -2 | 230 | GATE | GN | 100 | 180 | 48 | 80 | Z | | GE | TBE | LI | BSE | | | | | | C-horizont | |
| | 557.585.278 | 3.612.513.364 | 228 | -2 | 230 | GATE | GN | 180 | 183 | 45 | 3 | Z | H | BR | | DO | BSE | | | | | gelaagd | paleosol | KOEB P 14 01 1186 |
| | 557.585.278 | 3.612.513.364 | 228 | -2 | 230 | GATE | GN | 183 | 184 | 44 | 1 | **V** | | BR | | DO | BSE | | | | 3 | | Paleosol | KOEB P 14 01 1186 |
| | 557.585.278 | 3.612.513.364 | 228 | -2 | 230 | GATE | GN | 184 | 187 | 41 | 3 | Z | H | BR | TGR | DO | BSE | | | | | gelaagd | Paleosol | KOEB P 14 01 1186 |
| | 557.585.278 | 3.612.513.364 | 228 | -2 | 230 | GATE | GN | 187 | 230 | - | 43 | Z | | GR | TBE | LI | - | | | | | bovenaan organisch | C-horizont | KOEB P 14 01 1186 |
| 14-2 | 557.624.942 | 3.612.605.441 | 231 | 1 | 230 | GATE | GN | 0 | 15 | 216 | 15 | Z | | G | TOR | LI | BGE | 200 | 31 | | | | B/C-horizont | |
| | 557.624.942 | 3.612.605.441 | 231 | 1 | 230 | GATE | GN | 15 | 180 | 51 | 165 | Z | | GE | TBE | LI | BSE | | | | | | C-horizont | |
| | 557.624.942 | 3.612.605.441 | 231 | 1 | 230 | GATE | GN | 180 | 183 | 48 | 3 | Z | H | BR | | DO | BSE | | | | | gelaagd | paleosol | KOEB P 14 02 1188 t.e.m. 1189 |
| | 557.624.942 | 3.612.605.441 | 231 | 1 | 230 | GATE | GN | 183 | 184 | 47 | 1 | **V** | | BR | | DO | BSE | | | | 3 | | paleosol | KOEB P 14 02 1188 t.e.m. 1189 |
| | 557.624.942 | 3.612.605.441 | 231 | 1 | 230 | GATE | GN | 184 | 187 | 44 | 3 | Z | H | BR | TGR | DO | BSE | | | | | gelaagd | paleosol | KOEB P 14 02 1188 t.e.m. 1189 |
| | 557.624.942 | 3.612.605.441 | 231 | 1 | 230 | GATE | GN | 187 | 230 | - | 43 | Z | | GR | TBE | LI | - | | | | | | C-horizont | |
| 14-3 | 557.664.414 | 3.612.697.349 | 238 | 8 | 230 | GATE | GN | 0 | 187 | 51 | 187 | Z | | GE | TBE | LI | BSE | 210 | 28 | | | | C-horizont | |
| | 557.664.414 | 3.612.697.349 | 238 | 8 | 230 | GATE | GN | 187 | 189 | 49 | 2 | Z | H | BR | | DO | BSE | | | | | gelaagd | Paleosol | KOEB P 14 03 1192 en 1193 |
| | 557.664.414 | 3.612.697.349 | 238 | 8 | 230 | GATE | GN | 189 | 193 | 45 | 4 | Z | | GR | TBE | LI | BSE | | | | | | C-horizont | KOEB P 14 03 1192 en 1193 |
| | 557.664.414 | 3.612.697.349 | 238 | 8 | 230 | GATE | GN | 193 | 195 | 43 | 2 | Z | H | BR | TGR | DO | BSE | | | | | gelaagd | Paleosol | KOEB P 14 03 1192 en 1193 |
| | 557.664.414 | 3.612.697.349 | 238 | 8 | 230 | GATE | GN | 195 | 230 | - | 35 | Z | | GR | TBE | LI | - | | | | | | C-horizont | |
| 14-4 | 557.703.739 | 3.612.789.060 | 246 | 16 | 230 | GATE | GN | 0 | 15 | 231 | 15 | Z | | GE | TOR | LI | BGE | | | | | | B/C-horizont | |
| | 557.703.739 | 3.612.789.060 | 246 | 16 | 230 | GATE | GN | 15 | 185 | 61 | 170 | Z | | GE | TBE | LI | BSE | | | | | | C-horizont | |
| | 557.703.739 | 3.612.789.060 | 246 | 16 | 230 | GATE | GN | 185 | 187 | 59 | 2 | Z | H | BR | TGR | DO | BSE | | | | | gelaagd | paleosol | KOEB P 14 04 1195 en 1196 |
| | 557.703.739 | 3.612.789.060 | 246 | 16 | 230 | GATE | GN | 187 | 230 | - | 43 | Z | | GR | TBE | LI | - | | | | | | C-horizont | |
| 14-5 | 557.743.158 | 3.612.881.130 | 256 | 26 | 230 | GATE | GN | 0 | 15 | 241 | 15 | Z | | GE | TOR | LI | BGE | 220 | 36 | | | | B/C-horizont | |
| | 557.743.158 | 3.612.881.130 | 256 | 26 | 230 | GATE | GN | 15 | 190 | 66 | 175 | Z | | GE | TBE | LI | BSE | | | | | | C-horizont | |
| | 557.743.158 | 3.612.881.130 | 256 | 26 | 230 | GATE | GN | 190 | 192 | 64 | 2 | Z | H | BR | | DO | BSE | | | | | gelaagd | Paleosol | KOEB P 14 05 1198 t.e.m. 1200 |
| | 557.743.158 | 3.612.881.130 | 256 | 26 | 230 | GATE | GN | 192 | 198 | 58 | 6 | Z | | GR | TBE | LI | BSE | | | | | | C-horizont | |
| | 557.743.158 | 3.612.881.130 | 256 | 26 | 230 | GATE | GN | 198 | 199 | 57 | 1 | Z | H | BR | | DO | BSE | | | | | | Paleosol | KOEB P 14 05 1202 en 1203 |
| | 557.743.158 | 3.612.881.130 | 256 | 26 | 230 | GATE | GN | 199 | 230 | - | 31 | Z | | GR | TBE | LI | - | | | | | | C-horizont | |
| 14-6 | 557.782.534 | 3.612.973.071 | 245 | 15 | 230 | GATE | GN | 0 | 188 | 57 | 188 | Z | | GE | TBE | LI | BSE | 210 | 35 | | | | C-horizont | |
| | 557.782.534 | 3.612.973.071 | 245 | 15 | 230 | GATE | GN | 188 | 190 | 55 | 2 | Z | H | BR | | DO | BSE | | | | | gelaagd | Paleosol | KOEB P 14 06 1207 en 1208 |
| | 557.782.534 | 3.612.973.071 | 245 | 15 | 230 | GATE | GN | 190 | 230 | - | 40 | Z | | GR | TBE | LI | - | | | | | | C-horizont | |
| 14-7 | 557.821.958 | 3.613.064.889 | 239 | 9 | 230 | GATE | GN | 0 | 189 | 50 | 189 | Z | | GE | TBE | LI | BSE | 210 | 29 | | | | C-horizont | |
| | 557.821.958 | 3.613.064.889 | 239 | 9 | 230 | GATE | GN | 189 | 192 | 47 | 3 | Z | H | BR | TGR | DO | BSE | | | | | gelaagd | Paleosol | KOEB P 14 07 1212 |
| | 557.821.958 | 3.613.064.889 | 239 | 9 | 230 | GATE | GN | 192 | 230 | - | 38 | Z | | GR | TBE | LI | - | | | | | | C-horizont | |
| 14-8 | 557.861.302 | 3.613.156.877 | 224 | -6 | 230 | GATE | GN | 0 | 150 | 74 | 150 | Z | | GE | TBE | LI | BSE | 203 | 21 | | | | C-horizont | |
| | 557.861.302 | 3.613.156.877 | 224 | -6 | 230 | GATE | GN | 150 | 151 | 73 | 1 | Z | H | BR | | DO | BSE | | | | | < 1cm | Paleosol | |
| | 557.861.302 | 3.613.156.877 | 224 | -6 | 230 | GATE | GN | 151 | 163 | 61 | 12 | Z | | GR | TBE | LI | BSE | | | | | | C-horizont | |
| | 557.861.302 | 3.613.156.877 | 224 | -6 | 230 | GATE | GN | 163 | 165 | 59 | 2 | Z | H | BR | TGR | DO | BSE | | | | | gelaagd | Paleosol | KOEB P 14 08 1215 t.e.m. 1217 |
| | 557.861.302 | 3.613.156.877 | 224 | -6 | 230 | GATE | GN | 165 | 230 | - | 65 | Z | | GR | TBE | LI | - | | | | | | C-horizont | |
| 14-9 | 557.900.849 | 3.613.248.571 | 213 | -7 | 220 | GATE | PL | 0 | 175 | 38 | 175 | Z | | GE | TBE | LI | BSE | | | | | | C-horizont | |
| | 557.900.849 | 3.613.248.571 | 213 | -7 | 220 | GATE | PL | 175 | | 213 | ? | Z | H | BR | TGR | DO | BSE | | | | | dikte niet geregistreerd | Paleosol | |

| Boornummer | X-coördinaat | Y-coördinaat | Maaiveldhoogte (cm NAP) | Einddiepte (cm NAP) | relatieve diepte boortraject (cm) | Organisatie beschrijver | Beschrijver lithologie | Bovendiepte laag (cm) | Onderdiepte laag (cm) | ondergrens laag (cm NAP) | dikte pakket (cm) | Grondsoort | Bijmengsel humus | Hoofdkleur | Tweede kleur | Intensiteit kleur | Laaggrens | GWS na einde boring (cm) | GWS (cm NAP) | Vlekken, kleuren en hoeveelheden | Plantenresten | opmerkingen laag | bodemhorizont | Fotonummer |
|---|---|---|---|---|---|---|---|---|---|---|---|---|---|---|---|---|---|---|---|---|---|---|---|---|
| | 557.900.849 | 3.613.248.571 | 213 | -7 | 220 | GATE | PL | | 220 | - | ? | Z | | GR | TBE | LI | - | | | | | | C-horizont | |
| 14-10 | 557.935.577 | 3.613.342.667 | 205 | -15 | 220 | GATE | PL | 0 | 220 | -15 | 220 | Z | | GE | TBE | LI | - | 175 | 30 | | | vanaf 175 moeilijke observatie | C-horizont | |
| 14-11 | 557.975.043 | 3.613.434.483 | 204 | -6 | 210 | GATE | PL | 0 | 148 | 56 | 148 | Z | | GE | TBE | LI | BSE | 175 | 29 | | | | C-horizont | |
| | 557.975.043 | 3.613.434.483 | 204 | -6 | 210 | GATE | PL | 148 | 149 | 55 | 1 | Z | H | BR | | DO | BSE | | | | | gelaagd | Paleosol | KOEB P 14 11 0007 |
| | 557.975.043 | 3.613.434.483 | 204 | -6 | 210 | GATE | PL | 149 | 158 | 46 | 9 | Z | | GR | TBE | LI | BSE | | | | | | C-horizont | |
| | 557.975.043 | 3.613.434.483 | 204 | -6 | 210 | GATE | PL | 158 | 159 | 45 | 1 | Z | H | BR | | DO | BSE | | | | | gelaagd | Paleosol | KOEB P 14 11 0008 |
| | 557.975.043 | 3.613.434.483 | 204 | -6 | 210 | GATE | PL | 159 | 210 | - | 51 | Z | | GR | TBE | LI | - | | | | | | C-horizont | |
| 14-12 | 558.014.429 | 3.613.526.481 | 192 | -8 | 200 | GATE | PL | 0 | 15 | 177 | 15 | Z | | GE | TOR | LI | BGE | 180 | 12 | | | | B/C-horizont | |
| | 558.014.429 | 3.613.526.481 | 192 | -8 | 200 | GATE | PL | 15 | 185 | 7 | 170 | Z | | GE | TBE | LI | BSE | | | | | | C-horizont | |
| | 558.014.429 | 3.613.526.481 | 192 | -8 | 200 | GATE | PL | 185 | 186 | 6 | 1 | Z | H | BR | | DO | BSE | | | | | | paleosol | |
| | 558.014.429 | 3.613.526.481 | 192 | -8 | 200 | GATE | PL | 186 | 200 | - | 14 | Z | | GR | TBE | LI | - | | | | | moeilijke observatie | C-horizont | |
| 14-13 | 558.053.741 | 3.613.618.311 | 185 | -15 | 200 | GATE | PL | 0 | 155 | 30 | 155 | Z | | GE | TBE | LI | BSE | 165 | 20 | | | | C-horizont | |
| | 558.053.741 | 3.613.618.311 | 185 | -15 | 200 | GATE | PL | 155 | 156 | 29 | 1 | Z | H | BR | | DO | BSE | | | | | | paleosol | KOEB P 14 13 0004 |
| | 558.053.741 | 3.613.618.311 | 185 | -15 | 200 | GATE | PL | 156 | 161 | 24 | 5 | Z | | GR | TBE | LI | BSE | | | | | | C-horizont | |
| | 558.053.741 | 3.613.618.311 | 185 | -15 | 200 | GATE | PL | 161 | 162 | 23 | 1 | Z | H | BR | | DO | BSE | | | | | | paleosol | |
| | 558.053.741 | 3.613.618.311 | 185 | -15 | 200 | GATE | PL | 162 | 200 | - | 38 | Z | | GR | TBE | LI | - | | | | | moeilijke observatie | C-horizont | |
| 14-14 | 558.093.222 | 3.613.710.087 | 198 | -27 | 225 | GATE | PL | 0 | 15 | | 15 | Z | | GE | TOR | LI | BGE | 170 | 28 | | | | B/C-horizont | |
| | 558.093.222 | 3.613.710.087 | 198 | -27 | 225 | GATE | PL | 15 | 168 | 30 | 153 | Z | | GE | TBE | LI | BSE | | | | | | C-horizont | |
| | 558.093.222 | 3.613.710.087 | 198 | -27 | 225 | GATE | PL | 168 | 169 | 29 | 1 | Z | H | BR | | DO | BSE | | | | | gelaagd | paleosol | KOEB P 14 14 0002 |
| | 558.093.222 | 3.613.710.087 | 198 | -27 | 225 | GATE | PL | 169 | 200 | -2 | 31 | Z | | GR | TBE | LI | BSE | | | | | | C-horizont | |
| | 558.093.222 | 3.613.710.087 | 198 | -27 | 225 | GATE | PL | 200 | 201 | -3 | 1 | Z | H | BR | | DO | BSE | | | | | | paleosol | |
| | 558.093.222 | 3.613.710.087 | 198 | -27 | 225 | GATE | PL | 201 | 225 | - | 24 | Z | | GR | TBE | LI | - | | | | | moeilijke observatie | C-horizont | |
| 14-15 | 558.137.191 | 3.613.800.231 | 241 | 11 | 230 | GATE | PL | 0 | 30 | 211 | 30 | Z | | BR | TGR | DO | BSE | 185 | 56 | | | boring vanaf maaiveld | ploeglaag | |
| | 558.137.191 | 3.613.800.231 | 241 | 11 | 230 | GATE | PL | 30 | 45 | 196 | 15 | Z | | OR | TGE | LI | BGE | | | | | | B/C-horizont | |
| | 558.137.191 | 3.613.800.231 | 241 | 11 | 230 | GATE | PL | 45 | 225 | 16 | 180 | Z | | GE | TBE | LI | BSE | | | | | | C-horizont | |
| | 558.137.191 | 3.613.800.231 | 241 | 11 | 230 | GATE | PL | 225 | 227 | 14 | 2 | Z | H | BR | | DO | BSE | | | | | | paleosol | |
| | 558.137.191 | 3.613.800.231 | 241 | 11 | 230 | GATE | PL | 227 | 230 | - | 3 | Z | | GR | TBE | LI | - | | | | | | C-horizont | |
| 15-1 | 557.473.788 | 3.612.506.995 | 233 | 18 | 215 | GATE | PL | 0 | 88 | 145 | 88 | Z | | BR | TGR | LI | BSE | 190 | 43 | | | | verstoord | |
| | 557.473.788 | 3.612.506.995 | 233 | 18 | 215 | GATE | PL | 88 | 176 | 57 | 88 | Z | | GE | TBE | LI | BSE | | | | | | C-horizont | |
| | 557.473.788 | 3.612.506.995 | 233 | 18 | 215 | GATE | PL | 176 | 179 | 54 | 3 | Z | H | BR | | DO | BSE | | | | | gelaagd | paleosol | KOEB P 15 01 0012 |
| | 557.473.788 | 3.612.506.995 | 233 | 18 | 215 | GATE | PL | 179 | 215 | - | 36 | Z | | GR | TBE | LI | - | | | | | | C-horizont | |
| 15-2 | 557.513.285 | 3.612.598.710 | 228 | 13 | 215 | GATE | PL | 0 | 173 | 55 | 173 | Z | | GE | TBE | LI | BSE | 190 | 38 | | | | C-horizont | |
| | 557.513.285 | 3.612.598.710 | 228 | 13 | 215 | GATE | PL | 173 | 175 | 53 | 2 | Z | H | BR | | DO | BSE | | | | 1 | | Paleosol | KOEB P 15 02 0014 |
| | 557.513.285 | 3.612.598.710 | 228 | 13 | 215 | GATE | PL | 175 | 180 | 48 | 5 | **V** | | BR | | DO | BSE | | | | 3 | | Paleosol | KOEB P 15 02 0014 |
| | 557.513.285 | 3.612.598.710 | 228 | 13 | 215 | GATE | PL | 180 | 215 | - | 35 | Z | | GR | TBE | LI | - | | | | | | C-horizont | |
| 15-3 | 557.552.750 | 3.612.690.691 | 231 | 11 | 220 | GATE | PL | 0 | 185 | 46 | 185 | Z | | GE | TBE | LI | BSE | 190 | 41 | | | | C-horizont | |
| | 557.552.750 | 3.612.690.691 | 231 | 11 | 220 | GATE | PL | 185 | 187 | 44 | 2 | Z | H | BR | | DO | BSE | | | | | gelaagd | Paleosol | KOEB P 15 03 0016 |
| | 557.552.750 | 3.612.690.691 | 231 | 11 | 220 | GATE | PL | 187 | 190 | 41 | 3 | Z | | GR | TBE | LI | BSE | | | | | | C-horizont | KOEB P 15 03 0016 |
| | 557.552.750 | 3.612.690.691 | 231 | 11 | 220 | GATE | PL | 190 | 192 | 39 | 2 | Z | H | BR | | DO | BSE | | | | | gelaagd | paleosol | KOEB P 15 03 0016 |
| | 557.552.750 | 3.612.690.691 | 231 | 11 | 220 | GATE | PL | 192 | 220 | - | 28 | Z | | GR | TBE | LI | - | | | | | | C-horizont | |
| 15-4 | 557.592.001 | 3.612.782.672 | 242 | 17 | 225 | GATE | PL | 0 | 190 | 52 | 190 | Z | | GE | TBE | LI | BSE | 195 | 47 | | | | C-horizont | |
| | 557.592.001 | 3.612.782.672 | 242 | 17 | 225 | GATE | PL | 190 | 197 | 45 | 7 | Z | H | BR | | DO | BSE | | | | | gelaagd | Paleosol | KOEB P 15 04 0018 |
| | 557.592.001 | 3.612.782.672 | 242 | 17 | 225 | GATE | PL | 197 | 225 | - | 28 | Z | | GR | TBE | LI | - | | | | | | C-horizont | |
| 15-5 | 557.631.413 | 3.612.874.725 | 249 | 24 | 225 | GATE | PL | 0 | 193 | 56 | 193 | Z | | GE | TBE | LI | BSE | 194 | 55 | | | | C-horizont | |
| | 557.631.413 | 3.612.874.725 | 249 | 24 | 225 | GATE | PL | 193 | 194 | 55 | 1 | Z | H | BR | | DO | BSE | | | | | gelaagd | Paleosol | KOEB P 15 05 0020 |
| | 557.631.413 | 3.612.874.725 | 249 | 24 | 225 | GATE | PL | 194 | 225 | - | 31 | Z | | GR | TBE | LI | - | | | | | | C-horizont | |
| 15-6 | 557.670.983 | 3.612.966.403 | 235 | 5 | 230 | GATE | PL | 0 | 20 | 215 | 20 | Z | | OR | TGE | LI | BGE | | | | | | B/C-horizont | |
| | 557.670.983 | 3.612.966.403 | 235 | 5 | 230 | GATE | PL | 20 | 230 | - | 210 | Z | | GE | TBE | LI | - | | | | | | C-horizont | |

| Boornummer | X-coördinaat | Y-coördinaat | Maaiveldhoogte (cm NAP) | Einddiepte (cm NAP) | relatieve diepte boortraject (cm) | Organisatie beschrijver | Beschrijver lithologie | Bovendiepte laag (cm) | Onderdiepte laag (cm) | ondergrens laag (cm NAP) | dikte pakket (cm) | Grondsoort | Bijmengsel humus | Hoofdkleur | Tweede kleur | Intensiteit kleur | Laaggrens | GWS na einde boring (cm) | GWS (cm NAP) | Vlekken, kleuren en hoeveelheden | Plantenresten | opmerkingen laag | bodemhorizont | Fotonummer |
|---|---|---|---|---|---|---|---|---|---|---|---|---|---|---|---|---|---|---|---|---|---|---|---|---|
| 15-7 | 557.710.327 | 3.613.058.535 | 221 | -4 | 225 | GATE | PL | 0 | 178 | 43 | 178 | Z | | GE | TBE | LI | BSE | 190 | 31 | | | | C-horizont | |
| | 557.710.327 | 3.613.058.535 | 221 | -4 | 225 | GATE | PL | 178 | 179 | 42 | 1 | Z | H | BR | | DO | BSE | | | | | gelaagd | Paleosol | KOEB P 15 07 0023 en 0024 |
| | 557.710.327 | 3.613.058.535 | 221 | -4 | 225 | GATE | PL | 179 | 181 | 40 | 2 | Z | | GR | TBE | LI | BSE | | | | | | C-horizont | KOEB P 15 07 0023 en 0024 |
| | 557.710.327 | 3.613.058.535 | 221 | -4 | 225 | GATE | PL | 181 | 183 | 38 | 2 | Z | H | BR | | DO | BSE | | | | | gelaagd | Paleosol | KOEB P 15 07 0023 en 0024 |
| | 557.710.327 | 3.613.058.535 | 221 | -4 | 225 | GATE | PL | 183 | 225 | - | 42 | Z | | GR | TBE | LI | - | | | | | | C-horizont | |
| 15-8 | 557.749.581 | 3.613.150.311 | 215 | -15 | 230 | GATE | GN | 0 | 15 | 200 | 15 | Z | | GE | TOR | LI | BGE | 200 | 15 | | | | B/C-horizont | |
| | 557.749.581 | 3.613.150.311 | 215 | -15 | 230 | GATE | GN | 15 | 143 | 72 | 128 | Z | | GE | TBE | LI | BSE | | | | | | C-horizont | |
| | 557.749.581 | 3.613.150.311 | 215 | -15 | 230 | GATE | GN | 143 | 150 | 65 | 7 | Z | H | BR | TGR | DO | BSE | | | | 1 | gelaagd | paleosol | KOEB P 15 08 1235 en 1236 |
| | 557.749.581 | 3.613.150.311 | 215 | -15 | 230 | GATE | GN | 150 | 230 | - | 80 | Z | | GR | TBE | LI | - | | | | | | C-horizont | |
| 15-9 | 557.789.219 | 3.613.242.051 | 204 | -26 | 230 | GATE | GN | 0 | 10 | 194 | 10 | Z | | GE | TOR | LI | BGE | 160 | 44 | | | | B/C-horizont | |
| | 557.789.219 | 3.613.242.051 | 204 | -26 | 230 | GATE | GN | 10 | 136 | 68 | 126 | Z | | GE | TBE | LI | BSE | | | | | | C-horizont | |
| | 557.789.219 | 3.613.242.051 | 204 | -26 | 230 | GATE | GN | 136 | 137 | 67 | 1 | Z | H | BR | | DO | BSE | | | | | | paleosol | KOEB P 15 09 1232 |
| | 557.789.219 | 3.613.242.051 | 204 | -26 | 230 | GATE | GN | 137 | 185 | 19 | 48 | Z | | GR | TBE | LI | BSE | | | | | | C-horizont | |
| | 557.789.219 | 3.613.242.051 | 204 | -26 | 230 | GATE | GN | 185 | 188 | 16 | 3 | Z | H | BR | | DO | BSE | | | | | gelaagd | paleosol | KOEB P 15 09 1233 |
| | 557.789.219 | 3.613.242.051 | 204 | -26 | 230 | GATE | GN | 188 | 230 | - | 42 | Z | | GR | TBE | LI | - | | | | | | C-horizont | |
| ~~15-10~~ | ~~557.823.937~~ | ~~3.613.336.087~~ | ~~209~~ | | | ~~GATE~~ | | | | | | | | | | | | | | | | ~~boring niet uitgevoerd~~ | | |
| 15-11 | 557.858.834 | 3.613.430.034 | 201 | -14 | 215 | GATE | GN | 0 | 155 | 46 | 155 | Z | | GE | TBE | LI | BSE | 160 | 41 | | | | C-horizont | |
| | 557.858.834 | 3.613.430.034 | 201 | -14 | 215 | GATE | GN | 155 | 160 | 41 | 5 | Z | H | BR | TGR | DO | BSE | | | | | gelaagd; discontinu | paleosol | KOEB P 15 11 1229 |
| | 557.858.834 | 3.613.430.034 | 201 | -14 | 215 | GATE | GN | 160 | 195 | 6 | 35 | Z | | GR | TBE | LI | BSE | | | | | | C-horizont | |
| | 557.858.834 | 3.613.430.034 | 201 | -14 | 215 | GATE | GN | 195 | 197 | 4 | 2 | Z | H | BR | | DO | BSE | | | | | | paleosol | KOEB P 15 11 1230 |
| | 557.858.834 | 3.613.430.034 | 201 | -14 | 215 | GATE | GN | 197 | 215 | - | 18 | Z | | GR | TBE | LI | - | | | | | moeilijke observatie | C-horizont | |
| 15-12 | 557.898.062 | 3.613.521.761 | 200 | -15 | 215 | GATE | GN | 0 | 15 | 185 | 15 | Z | | GE | TOR | LI | BGE | 160 | 40 | | | | B/C-horizont | |
| | 557.898.062 | 3.613.521.761 | 200 | -15 | 215 | GATE | GN | 15 | 200 | 0 | 185 | Z | | GE | TBE | LI | BSE | | | | | | C-horizont | |
| | 557.898.062 | 3.613.521.761 | 200 | -15 | 215 | GATE | GN | 200 | 203 | -3 | 3 | Z | H | BR | | DO | BSE | | | | | moeilijke observatie | paleosol | |
| | 557.898.062 | 3.613.521.761 | 200 | -15 | 215 | GATE | GN | 203 | 215 | - | 12 | Z | | GR | TBE | LI | - | | | | | moeilijke observatie | C-horizont | |
| 15-13 | 557.937.553 | 3.613.613.696 | 199 | -2 | 200 | GATE | GN | 0 | 15 | 184 | 15 | Z | | GE | TOR | LI | BGE | 155 | 44 | | | | B/C-horizont | |
| | 557.937.553 | 3.613.613.696 | 199 | -2 | 200 | GATE | GN | 15 | 160 | 39 | 145 | Z | | GE | TBE | LI | BSE | | | | | | C-horizont | |
| | 557.937.553 | 3.613.613.696 | 199 | -2 | 200 | GATE | GN | 160 | 161 | 38 | 1 | Z | H | BR | | DO | BSE | | | | | discontinu, deels verticaal | paleosol | KOEB P 15 13 1224 |
| | 557.937.553 | 3.613.613.696 | 199 | -2 | 200 | GATE | GN | 161 | 190 | 9 | 29 | Z | | GR | TBE | LI | BSE | | | | | | C-horizont | |
| | 557.937.553 | 3.613.613.696 | 199 | -2 | 200 | GATE | GN | 190 | 200 | - | 10 | Z | H | BR | TGR | DO | - | | | | | moeilijke observatie | paleosol | KOEB P 15 13 1225 en 1226 |
| 15-14 | 557.976.972 | 3.613.705.683 | 191 | 6 | 185 | GATE | GN | 0 | 15 | 176 | 15 | Z | | GE | TOR | LI | BGE | 150 | 41 | | | | B/C-horizont | |
| | 557.976.972 | 3.613.705.683 | 191 | 6 | 185 | GATE | GN | 15 | 160 | 31 | 145 | Z | | GE | TBE | LI | BSE | | | | | | C-horizont | |
| | 557.976.972 | 3.613.705.683 | 191 | 6 | 185 | GATE | GN | 160 | 161 | 30 | 1 | Z | H | BR | | DO | BSE | | | | | | paleosol | |
| | 557.976.972 | 3.613.705.683 | 191 | 6 | 185 | GATE | GN | 161 | 175 | 16 | 14 | Z | | GR | TBE | LI | BSE | | | | | | C-horizont | |
| | 557.976.972 | 3.613.705.683 | 191 | 6 | 185 | GATE | GN | 175 | 176 | 15 | 1 | Z | H | BR | TGR | DO | BSE | | | | | gelaagd | paleosol | KOEB P 15 14 1222 |
| | 557.976.972 | 3.613.705.683 | 191 | 6 | 185 | GATE | GN | 176 | 185 | - | 9 | Z | | GR | TBE | LI | - | | | | | moeilijke observatie | C-horizont | |
| 15-15 | 558.016.365 | 3.613.797.616 | 189 | -1 | 190 | GATE | GN | 0 | 15 | 174 | 15 | Z | | GE | TOR | LI | BGE | 170 | 19 | | | | B/C-horizont | |
| | 558.016.365 | 3.613.797.616 | 189 | -1 | 190 | GATE | GN | 15 | 100 | 89 | 85 | Z | | GE | TBE | LI | BSE | | | | | | C-horizont | |
| | 558.016.365 | 3.613.797.616 | 189 | -1 | 190 | GATE | GN | 100 | 110 | 79 | 10 | Z | H | BR | TGE | DO | BSE | | | | | gelaagd | paleosol | KOEB P 15 15 1219 |
| | 558.016.365 | 3.613.797.616 | 189 | -1 | 190 | GATE | GN | 110 | 130 | 59 | 20 | Z | | GR | TBE | LI | BSE | | | | | | C-horizont | |
| | 558.016.365 | 3.613.797.616 | 189 | -1 | 190 | GATE | GN | 130 | 131 | 58 | 1 | Z | H | BR | | DO | BSE | | | | | | paleosol | KOEB P 15 15 1220 |
| | 558.016.365 | 3.613.797.616 | 189 | -1 | 190 | GATE | GN | 131 | 160 | 29 | 29 | Z | | GR | TBE | LI | - | | | | | moeilijke observatie | C-horizont | |
| 16-1 | 557.401.611 | 3.612.592.333 | 229 | 199 | 30 | GATE | PL | 0 | 30 | 199 | 30 | | | | | | | | | | | op 30 cm ondoordringbare verstoring | verstoord | |
| 16-2 | 557.441.131 | 3.612.683.987 | 242 | 12 | 230 | GATE | PL | 0 | 193 | 49 | 193 | Z | | GE | TBE | LI | BSE | | | | | | C-horizont | |
| | 557.441.131 | 3.612.683.987 | 242 | 12 | 230 | GATE | PL | 193 | 196 | 46 | 3 | Z | H | BR | | DO | BSE | | | | | gelaagd | paleosol | KOEB P 16 02 0027 en 0028 |
| | 557.441.131 | 3.612.683.987 | 242 | 12 | 230 | GATE | PL | 196 | 198 | 44 | 2 | **V** | | BR | | DO | BSE | | | | 3 | | paleosol | KOEB P 16 02 0027 en 0028 |
| | 557.441.131 | 3.612.683.987 | 242 | 12 | 230 | GATE | PL | 198 | 201 | 41 | 3 | Z | H | BR | TGR | DO | BSE | | | | 2 | gelaagd | Paleosol | KOEB P 16 02 0027 en 0028 |
| | 557.441.131 | 3.612.683.987 | 242 | 12 | 230 | GATE | PL | 201 | 230 | - | 29 | Z | | GR | | | - | | | | | bovenaan organisch | C-horizont | |

| Boornummer | X-coördinaat | Y-coördinaat | Maaiveldhoogte (cm NAP) | Einddiepte (cm NAP) | relatieve diepte boortraject (cm) | Organisatie beschrijver | Beschrijver lithologie | Bovendiepte laag (cm) | Onderdiepte laag (cm) | ondergrens laag (cm NAP) | dikte pakket (cm) | Grondsoort | Bijmengsel humus | Hoofdkleur | Tweede kleur | Intensiteit kleur | Laaggrens | GWS na einde boring (cm) | GWS (cm NAP) | Vlekken, kleuren en hoeveelheden | Plantenresten | opmerkingen laag | bodemhorizont | Fotonummer |
|---|---|---|---|---|---|---|---|---|---|---|---|---|---|---|---|---|---|---|---|---|---|---|---|---|
| 16-3 | 557.480.455 | 3.612.776.130 | 242 | 17 | 225 | GATE | PL | 0 | 15 | 227 | 15 | Z | | GE | TOR | LI | BGE | 190 | 52 | | | | B/C-horizont | |
| | 557.480.455 | 3.612.776.130 | 242 | 17 | 225 | GATE | PL | 15 | 190 | 52 | 175 | Z | | GE | TBE | LI | BSE | | | | | | C-horizont | |
| | 557.480.455 | 3.612.776.130 | 242 | 17 | 225 | GATE | PL | 190 | 192 | 50 | 2 | Z | H | BR | | DO | BSE | | | | | gelaagd | paleosol | KOEB P 16 03 0030 |
| | 557.480.455 | 3.612.776.130 | 242 | 17 | 225 | GATE | PL | 192 | 225 | - | 33 | Z | | GR | TBE | LI | BSE | | | | | | C-horizont | |
| 16-4 | 557.519.959 | 3.612.867.985 | 245 | 25 | 220 | GATE | PL | 0 | 15 | 230 | 15 | Z | | GE | TOR | LI | BGE | 190 | 55 | | | | B/C-horizont | |
| | 557.519.959 | 3.612.867.985 | 245 | 25 | 220 | GATE | PL | 15 | 188 | 57 | 173 | Z | | GE | TBE | LI | BSE | | | | | | C-horizont | |
| | 557.519.959 | 3.612.867.985 | 245 | 25 | 220 | GATE | PL | 188 | 191 | 54 | 3 | Z | H | BR | | DO | BSE | | | | | gelaagd | paleosol | KOEB P 16 04 0034 |
| | 557.519.959 | 3.612.867.985 | 245 | 25 | 220 | GATE | PL | 191 | 220 | - | 29 | Z | | GR | TBE | LI | BSE | | | | | | C-horizont | |
| 16-5 | 557.559.298 | 3.612.959.785 | 242 | 17 | 225 | GATE | PL | 0 | 15 | 227 | 15 | Z | | GE | TOR | LI | BGE | 210 | 32 | | | | B/C-horizont | |
| | 557.559.298 | 3.612.959.785 | 242 | 17 | 225 | GATE | PL | 15 | 192 | 50 | 177 | Z | | GE | TBE | LI | BSE | | | | | | C-horizont | |
| | 557.559.298 | 3.612.959.785 | 242 | 17 | 225 | GATE | PL | 192 | 193 | 49 | 1 | Z | H | BR | | DO | BSE | | | | | gelaagd | paleosol | KOEB P 16 05 0035 |
| | 557.559.298 | 3.612.959.785 | 242 | 17 | 225 | GATE | PL | 193 | 225 | - | 32 | Z | | GR | TBE | LI | BSE | | | | | | C-horizont | |
| 16-6 | 557.598.571 | 3.613.051.810 | 214 | -1 | 215 | GATE | PL | 0 | 160 | 54 | 160 | Z | | GE | TBE | LI | BSE | 190 | 24 | | | | C-horizont | |
| | 557.598.571 | 3.613.051.810 | 214 | -1 | 215 | GATE | PL | 160 | 163 | 51 | 3 | Z | H | BR | | DO | BSE | | | | | gelaagd | paleosol | KOEB P 16 06 0038 |
| | 557.598.571 | 3.613.051.810 | 214 | -1 | 215 | GATE | PL | 163 | 166 | 48 | 3 | Z | | GR | TBE | LI | BSE | | | | | | C-horizont | KOEB P 16 06 0038 |
| | 557.598.571 | 3.613.051.810 | 214 | -1 | 215 | GATE | PL | 166 | 167 | 47 | 1 | Z | H | BR | | DO | BSE | | | | | gelaagd | paleosol | KOEB P 16 06 0038 |
| | 557.598.571 | 3.613.051.810 | 214 | -1 | 215 | GATE | PL | 167 | 215 | - | 48 | Z | | GR | TBE | LI | - | | | | | | C-horizont | |
| 16-7 | 557.638.268 | 3.613.143.693 | 211 | -9 | 220 | GATE | PL | 0 | 167 | 44 | 167 | Z | | GE | TBE | LI | BSE | 195 | 16 | | | | C-horizont | |
| | 557.638.268 | 3.613.143.693 | 211 | -9 | 220 | GATE | PL | 167 | 171 | 40 | 4 | Z | H | BR | | DO | BSE | | | | | gelaagd | paleosol | KOEB P 16 07 0040 |
| | 557.638.268 | 3.613.143.693 | 211 | -9 | 220 | GATE | PL | 171 | 180 | 31 | 9 | Z | H | BR | TGR | DO | BSE | | | | 1 | gelaagd | paleosol | KOEB P 16 07 0040 |
| | 557.638.268 | 3.613.143.693 | 211 | -9 | 220 | GATE | PL | 180 | 220 | - | 40 | Z | | GR | TBE | LI | - | | | | | | C-horizont | |
| 16-8 | 557.677.450 | 3.613.235.614 | 198 | -7 | 205 | GATE | GN | 0 | 165 | 33 | 165 | Z | | GE | TBE | LI | BSE | | 198 | | | | C-horizont | |
| | 557.677.450 | 3.613.235.614 | 198 | -7 | 205 | GATE | GN | 165 | 166 | 32 | 1 | Z | H | BR | | DO | BSE | | | | | | paleosol | KOEB P 16 08 1259 |
| | 557.677.450 | 3.613.235.614 | 198 | -7 | 205 | GATE | GN | 166 | 205 | - | 39 | Z | | GR | TBE | LI | - | | | | | moeilijke observatie | C-horizont | |
| 16-9 | 557.717.005 | 3.613.327.611 | 197 | -13 | 210 | GATE | GN | 0 | 90 | 107 | 90 | Z | | GE | TBE | LI | BSE | 160 | 37 | | | | C-horizont | |
| | 557.717.005 | 3.613.327.611 | 197 | -13 | 210 | GATE | GN | 90 | 100 | 97 | 10 | Z | H | BR | TGR | DO | BSE | | | | | gelaagd | paleosol | KOEB P 16 09 1256 |
| | 557.717.005 | 3.613.327.611 | 197 | -13 | 210 | GATE | GN | 100 | 135 | 62 | 35 | Z | | GR | TBE | LI | BSE | | | | | | C-horizont | |
| | 557.717.005 | 3.613.327.611 | 197 | -13 | 210 | GATE | GN | 135 | 137 | 60 | 2 | Z | H | BR | | DO | BSE | | | | | gelaagd | paleosol | KOEB P 16 09 1257 |
| | 557.717.005 | 3.613.327.611 | 197 | -13 | 210 | GATE | GN | 137 | 210 | - | 73 | Z | | GR | TBE | LI | - | | | | | | C-horizont | |
| 16-10 | 557.756.559 | 3.613.419.394 | 210 | -20 | 230 | GATE | GN | 0 | 10 | 200 | 10 | Z | | GR | | | BSE | 170 | 40 | | | | verstoord | |
| | 557.756.559 | 3.613.419.394 | 210 | -20 | 230 | GATE | GN | 10 | 178 | 32 | 168 | Z | | GE | TBE | LI | BSE | | | | | | C-horizont | |
| | 557.756.559 | 3.613.419.394 | 210 | -20 | 230 | GATE | GN | 178 | 179 | 31 | 1 | Z | H | BR | | DO | BSE | | | | | gelaagd | paleosol | KOEB P 16 10 1254 |
| | 557.756.559 | 3.613.419.394 | 210 | -20 | 230 | GATE | GN | 179 | 190 | 20 | 11 | Z | | GR | TBE | LI | BSE | | | | | | C-horizont | |
| | 557.756.559 | 3.613.419.394 | 210 | -20 | 230 | GATE | GN | 190 | 192 | 18 | 2 | Z | H | BR | | DO | BSE | | | | | | paleosol | |
| | 557.756.559 | 3.613.419.394 | 210 | -20 | 230 | GATE | GN | 192 | 230 | - | 38 | Z | | GR | TBE | LI | - | | | | | | C-horizont | |
| 16-11 | 557.795.938 | 3.613.511.362 | 203 | -7 | 210 | GATE | GN | 0 | 15 | 188 | 15 | Z | | GE | TOR | LI | BGE | 160 | 43 | | | | B/C-horizont | |
| | 557.795.938 | 3.613.511.362 | 203 | -7 | 210 | GATE | GN | 15 | 190 | 13 | 175 | Z | | GE | TBE | LI | BSE | | | | | | C-horizont | |
| | 557.795.938 | 3.613.511.362 | 203 | -7 | 210 | GATE | GN | 190 | 192 | 11 | 2 | Z | H | BR | | DO | BSE | | | | | gelaagd | paleosol | KOEB P 16 11 1252 |
| | 557.795.938 | 3.613.511.362 | 203 | -7 | 210 | GATE | GN | 192 | 210 | - | 18 | Z | | GR | TBE | LI | - | | | | | moeilijke observatie | C-horizont | |
| 16-12 | 557.825.961 | 3.613.607.150 | 203 | -17 | 220 | GATE | GN | 0 | 15 | 188 | 15 | Z | | GE | TOR | LI | BGE | 165 | 38 | | | | B/C-horizont | |
| | 557.825.961 | 3.613.607.150 | 203 | -17 | 220 | GATE | GN | 15 | 188 | 15 | 173 | Z | | GE | TBE | LI | BSE | | | | | | C-horizont | |
| | 557.825.961 | 3.613.607.150 | 203 | -17 | 220 | GATE | GN | 188 | 190 | 13 | 2 | Z | H | BR | | DO | BSE | | | | | gelaagd | paleosol | KOEB P 16 12 1246 |
| | 557.825.961 | 3.613.607.150 | 203 | -17 | 220 | GATE | GN | 190 | 220 | - | 30 | Z | | GR | TBE | LI | - | | | | | moeilijke observatie | C-horizont | |
| 16-13 | 557.865.486 | 3.613.699.148 | 191 | -9 | 200 | GATE | GN | 0 | 15 | 176 | 15 | Z | | GE | TOR | LI | BGE | 150 | 41 | | | | B/C-horizont | |
| | 557.865.486 | 3.613.699.148 | 191 | -9 | 200 | GATE | GN | 15 | 188 | 3 | 173 | Z | | GE | TBE | LI | BSE | | | | | | C-horizont | |
| | 557.865.486 | 3.613.699.148 | 191 | -9 | 200 | GATE | GN | 188 | 190 | 1 | 2 | Z | H | BR | | DO | BSE | | | | | gelaagd | paleosol | KOEB P 16 13 1240 en 1241 |
| | 557.865.486 | 3.613.699.148 | 191 | -9 | 200 | GATE | GN | 190 | 200 | - | 10 | Z | | GR | TBE | LI | - | | | | | moeilijke observatie | C-horizont | |
| 16-14 | 557.904.910 | 3.613.790.912 | 191 | -9 | 200 | GATE | GN | 0 | 15 | 176 | 15 | Z | | GE | TOR | LI | BGE | 152 | 39 | | | | B/C-horizont | |

| Boornummer | X-coördinaat | Y-coördinaat | Maaiveldhoogte (cm NAP) | Einddiepte (cm NAP) | relatieve diepte boortraject (cm) | Organisatie beschrijver | Beschrijver lithologie | Bovendiepte laag (cm) | Onderdiepte laag (cm) | ondergrens laag (cm NAP) | dikte pakket (cm) | Grondsoort | Bijmengsel humus | Hoofdkleur | Tweede kleur | Intensiteit kleur | Laaggrens | GWS na einde boring (cm) | GWS (cm NAP) | Vlekken, kleuren en hoeveelheden | Plantenresten | opmerkingen laag | bodemhorizont | Fotonummer |
|---|---|---|---|---|---|---|---|---|---|---|---|---|---|---|---|---|---|---|---|---|---|---|---|---|
| | 557.904.910 | 3.613.790.912 | 191 | -9 | 200 | GATE | GN | 15 | 182 | 9 | 167 | Z | | GE | TBE | LI | BSE | | | | | | C-horizont | |
| | 557.904.910 | 3.613.790.912 | 191 | -9 | 200 | GATE | GN | 182 | 190 | 1 | 8 | Z | H | BR | TGR | DO | BSE | | | | | gelaagd | paleosol | KOEB P 16 14 1238 |
| | 557.904.910 | 3.613.790.912 | 191 | -9 | 200 | GATE | GN | 190 | 200 | - | 10 | Z | | GR | TBE | LI | - | | | | | moeilijke observatie | C-horizont | |
| 16-15 | 557.953.556 | 3.613.878.869 | 239 | 9 | 230 | GATE | GN | 0 | 25 | 214 | 25 | Z | | BR | TGR | DO | BSE | 215 | 24 | | | boring vanaf maaiveld | ploeglaag | |
| | 557.953.556 | 3.613.878.869 | 239 | 9 | 230 | GATE | GN | 25 | 40 | 199 | 15 | Z | | GE | TOR | LI | BGE | | | | | | B/C-horizont | |
| | 557.953.556 | 3.613.878.869 | 239 | 9 | 230 | GATE | GN | 40 | 230 | - | 190 | Z | | GE | TBE | LI | BSE | | | | | | C-horizont | |
| 17-1 | 557.329.459 | 3.612.677.768 | 245 | 25 | 220 | GATE | PL | 0 | 15 | 230 | 15 | Z | | GE | TOR | LI | BGE | | | | | | B/C-horizont | |
| | 557.329.459 | 3.612.677.768 | 245 | 25 | 220 | GATE | PL | 15 | 193 | 52 | 178 | Z | | GE | TBE | LI | BSE | | | | | | C-horizont | |
| | 557.329.459 | 3.612.677.768 | 245 | 25 | 220 | GATE | PL | 193 | 195 | 50 | 2 | Z | H | BR | | DO | BSE | | | | | gelaagd | paleosol | KOEB P 17 01 0042 |
| | 557.329.459 | 3.612.677.768 | 245 | 25 | 220 | GATE | PL | 195 | 220 | - | 25 | Z | | GR | TBE | LI | - | | | | | | C-horizont | |
| 17-2 | 557.368.819 | 3.612.769.712 | 244 | 29 | 215 | GATE | PL | 0 | 15 | 229 | 15 | Z | | GE | TOR | LI | BGE | | | | | | B/C-horizont | |
| | 557.368.819 | 3.612.769.712 | 244 | 29 | 215 | GATE | PL | 15 | 188 | 56 | 173 | Z | | GE | TBE | LI | BSE | | | | | | C-horizont | |
| | 557.368.819 | 3.612.769.712 | 244 | 29 | 215 | GATE | PL | 188 | 190 | 54 | 2 | Z | H | BR | | DO | BSE | | | | | gelaagd | paleosol | KOEB P 17 02 0044 |
| | 557.368.819 | 3.612.769.712 | 244 | 29 | 215 | GATE | PL | 190 | 215 | - | 25 | Z | | GR | TBE | LI | - | | | | | | C-horizont | |
| 17-3 | 557.408.365 | 3.612.861.537 | 249 | 34 | 215 | GATE | PL | 0 | 10 | 239 | 10 | Z | | GE | TOR | LI | BGE | 190 | 59 | | | | B/C-horizont | |
| | 557.408.365 | 3.612.861.537 | 249 | 34 | 215 | GATE | PL | 10 | 180 | 69 | 170 | Z | | GE | TBE | LI | BSE | | | | | | C-horizont | |
| | 557.408.365 | 3.612.861.537 | 249 | 34 | 215 | GATE | PL | 180 | 181 | 68 | 1 | Z | H | BR | | DO | BSE | | | | | gelaagd | paleosol | KOEB P 17 03 0046 |
| | 557.408.365 | 3.612.861.537 | 249 | 34 | 215 | GATE | PL | 181 | 215 | - | 34 | Z | | GR | TBE | LI | - | | | | | | C-horizont | |
| 17-4 | 557.447.735 | 3.612.953.378 | 250 | 20 | 230 | GATE | PL | 0 | 15 | 235 | 15 | Z | | GE | TOR | LI | BGE | 195 | 55 | | | | B/C-horizont | |
| | 557.447.735 | 3.612.953.378 | 250 | 20 | 230 | GATE | PL | 15 | 230 | - | 215 | Z | | GE | TBE | LI | BSE | | | | | | C-horizont | |
| 17-5 | 557.486.995 | 3.613.045.322 | 218 | 3 | 215 | GATE | PL | 0 | 15 | 203 | 15 | Z | | GE | TOR | LI | BGE | 195 | 23 | | | | B/C-horizont | |
| | 557.486.995 | 3.613.045.322 | 218 | 3 | 215 | GATE | PL | 15 | 158 | 60 | 143 | Z | | GE | TBE | LI | BSE | | | | | | C-horizont | |
| | 557.486.995 | 3.613.045.322 | 218 | 3 | 215 | GATE | PL | 158 | 160 | 58 | 2 | Z | H | BR | TGR | DO | BSE | | | | | gelaagd | paleosol | KOEB P 17 05 0049 en 0050 |
| | 557.486.995 | 3.613.045.322 | 218 | 3 | 215 | GATE | PL | 160 | 163 | 55 | 3 | Z | | GR | TBE | LI | BSE | | | | | | C-horizont | KOEB P 17 05 0049 en 0050 |
| | 557.486.995 | 3.613.045.322 | 218 | 3 | 215 | GATE | PL | 163 | 166 | 52 | 3 | Z | H | BR | TGR | DO | BSE | | | | | gelaagd | paleosol | KOEB P 17 05 0049 en 0050 |
| | 557.486.995 | 3.613.045.322 | 218 | 3 | 215 | GATE | PL | 166 | 215 | - | 49 | Z | | GR | TBE | LI | - | | | | | | C-horizont | |
| 17-6 | 557.526.366 | 3.613.137.272 | 209 | -6 | 215 | GATE | PL | 0 | 165 | 44 | 165 | Z | | GE | TBE | LI | BSE | 180 | 29 | | | | C-horizont | |
| | 557.526.366 | 3.613.137.272 | 209 | -6 | 215 | GATE | PL | 165 | 170 | 39 | 5 | Z | H | BR | TGR | DO | BSE | | | | | gelaagd | paleosol | KOEB P 17 06 0052 |
| | 557.526.366 | 3.613.137.272 | 209 | -6 | 215 | GATE | PL | 170 | 215 | - | 45 | Z | | GR | TBE | LI | - | | | | | | C-horizont | |
| 17-7 | 557.565.926 | 3.613.228.995 | 206 | -14 | 220 | GATE | PL | 0 | 203 | 3 | 203 | Z | | GE | TBE | LI | BSE | 180 | 26 | | | | C-horizont | |
| | 557.565.926 | 3.613.228.995 | 206 | -14 | 220 | GATE | PL | 203 | 204 | 2 | 1 | Z | H | BR | | DO | BSE | | | | | | paleosol | |
| | 557.565.926 | 3.613.228.995 | 206 | -14 | 220 | GATE | PL | 204 | 220 | - | 16 | Z | | GR | TBE | LI | - | | | | | | C-horizont | |
| 17-8 | 557.605.290 | 3.613.321.014 | 195 | 5 | 190 | GATE | PL | 0 | 190 | 5 | 190 | Z | | GE | TBE | LI | - | 180 | 15 | | | moeilijke observatie | C-horizont | KOEB 17 08 |
| 17-9 | 557.644.761 | 3.613.413.037 | 197 | -3 | 200 | GATE | PL | 0 | 25 | 172 | 25 | Z | | GE | TOR | LI | BGE | 180 | 17 | | | | B/C-horizont | KOEB 17 09 |
| | 557.644.761 | 3.613.413.037 | 197 | -3 | 200 | GATE | PL | 25 | 170 | 27 | 145 | Z | | GE | TBE | LI | BSE | | | | | | C-horizont | |
| | 557.644.761 | 3.613.413.037 | 197 | -3 | 200 | GATE | PL | 170 | 172 | 25 | 2 | Z | H | BR | | DO | BSE | | | | | gelaagd | paleosol | |
| | 557.644.761 | 3.613.413.037 | 197 | -3 | 200 | GATE | PL | 172 | 200 | - | 28 | Z | | GR | TBE | LI | BSE | | | | | | C-horizont | |
| 17-10 | 557.681.872 | 3.613.505.905 | 205 | -5 | 210 | GATE | PL | 0 | 145 | 60 | 145 | Z | | GE | TBE | LI | BSE | | | | | | C-horizont | |
| | 557.681.872 | 3.613.505.905 | 205 | -5 | 210 | GATE | PL | 145 | 146 | 59 | 1 | Z | H | BR | | DO | BSE | | | | | | paleosol | KOEB P 17 10 0058 |
| | 557.681.872 | 3.613.505.905 | 205 | -5 | 210 | GATE | PL | 146 | 168 | 37 | 22 | Z | | GR | TBE | LI | BSE | | | | | | C-horizont | |
| | 557.681.872 | 3.613.505.905 | 205 | -5 | 210 | GATE | PL | 168 | 173 | 32 | 5 | Z | H | BR | TGR | DO | BSE | | | | | gelaagd | paleosol | KOEB P 17 10 0059 |
| | 557.681.872 | 3.613.505.905 | 205 | -5 | 210 | GATE | PL | 173 | 210 | - | 37 | Z | | GR | TBE | LI | - | | | | | | C-horizont | |
| 17-11 | 557.718.984 | 3.613.598.772 | 201 | -9 | 210 | GATE | GN | 0 | 15 | 186 | 15 | Z | | GE | TOR | LI | BGE | | | | | | B/C-horizont | |
| | 557.718.984 | 3.613.598.772 | 201 | -9 | 210 | GATE | GN | 15 | 181 | 20 | 166 | Z | | GE | TBE | LI | BSE | | | | | | C-horizont | |
| | 557.718.984 | 3.613.598.772 | 201 | -9 | 210 | GATE | GN | 181 | 182 | 19 | 1 | Z | H | BR | | DO | BSE | | | | | gelaagd | paleosol | KOEB P 17 11 1301 |
| | 557.718.984 | 3.613.598.772 | 201 | -9 | 210 | GATE | GN | 182 | 190 | 11 | 8 | Z | | GR | TBR | | BSE | | | | | | C-horizont | KOEB P 17 11 1301 |
| | 557.718.984 | 3.613.598.772 | 201 | -9 | 210 | GATE | GN | 190 | 192 | 9 | 2 | Z | H | BR | | DO | BSE | | | | | gelaagd | paleosol | KOEB P 17 11 1301 |
| | 557.718.984 | 3.613.598.772 | 201 | -9 | 210 | GATE | GN | 192 | 210 | - | 18 | Z | | GR | TBR | | - | | | | | moeilijke observatie | C-horizont | |

| Boornummer | X-coördinaat | Y-coördinaat | Maaiveldhoogte (cm NAP) | Einddiepte (cm NAP) | relatieve diepte boortraject (cm) | Organisatie beschrijver | Beschrijver lithologie | Bovendiepte laag (cm) | Onderdiepte laag (cm) | ondergrens laag (cm NAP) | dikte pakket (cm) | Grondsoort | Bijmengsel humus | Hoofdkleur | Tweede kleur | Intensiteit kleur | Laaggrens | GWS na einde boring (cm) | GWS (cm NAP) | Vlekken, kleuren en hoeveelheden | Plantenresten | opmerkingen laag | bodemhorizont | Fotonummer |
|---|---|---|---|---|---|---|---|---|---|---|---|---|---|---|---|---|---|---|---|---|---|---|---|---|
| 17-12 | 557.758.299 | 3.613.690.669 | 187 | -13 | 200 | GATE | GN | 0 | 15 | 172 | 15 | Z | | GE | TOR | LI | BGE | 155 | 32 | | | | B/C-horizont | |
| | 557.758.299 | 3.613.690.669 | 187 | -13 | 200 | GATE | GN | 15 | 155 | 32 | 140 | Z | | GE | TBR | LI | BSE | | | | | | C-horizont | |
| | 557.758.299 | 3.613.690.669 | 187 | -13 | 200 | GATE | GN | 155 | 156 | 31 | 1 | Z | H | BR | | DO | BSE | | | | | gelaagd | paleosol | KOEB P 17 12 1298 en 1299 |
| | 557.758.299 | 3.613.690.669 | 187 | -13 | 200 | GATE | GN | 156 | 200 | - | 44 | Z | | GR | TBE | LI | - | | | | | ca. 166: tweede organisch laagje? | C-horizont | |
| 17-13 | 557.797.820 | 3.613.782.460 | 172 | -28 | 200 | GATE | GN | 0 | 153 | 19 | 153 | Z | | GE | TBE | LI | BSE | 140 | 32 | | | | C-horizont | |
| | 557.797.820 | 3.613.782.460 | 172 | -28 | 200 | GATE | GN | 153 | 155 | 17 | 2 | Z | H | BR | | DO | BSE | | | | | gelaagd | paleosol | KOEB P 17 13 1292 |
| | 557.797.820 | 3.613.782.460 | 172 | -28 | 200 | GATE | GN | 155 | 200 | - | 45 | Z | | GR | TBE | LI | - | | | | | moeilijke observatie | C-horizont | |
| 17-14 | 557.837.304 | 3.613.874.429 | 184 | -16 | 200 | GATE | GN | 0 | 15 | 169 | 15 | Z | | GE | TOR | LI | BGE | 145 | 39 | | | | B/C-horizont | |
| | 557.837.304 | 3.613.874.429 | 184 | -16 | 200 | GATE | GN | 15 | 175 | 9 | 160 | Z | | GE | TBR | LI | BSE | | | | | | C-horizont | |
| | 557.837.304 | 3.613.874.429 | 184 | -16 | 200 | GATE | GN | 175 | 185 | -1 | 10 | Z | H | BR | TGR | DO | BSE | | | | | gelaagd | paleosol | KOEB P 17 14 1289 |
| | 557.837.304 | 3.613.874.429 | 184 | -16 | 200 | GATE | GN | 185 | 200 | - | 15 | Z | | GR | TBE | LI | - | | | | | moeilijke observatie | C-horizont | |
| 17-15 | 557.876.528 | 3.613.966.076 | 181 | -19 | 200 | GATE | GN | 0 | 15 | 166 | 15 | Z | | GE | TOR | LI | BGE | 145 | 36 | | | | B/C-horizont | |
| | 557.876.528 | 3.613.966.076 | 181 | -19 | 200 | GATE | GN | 15 | 180 | 1 | 165 | Z | | GE | TBR | LI | BSE | | | | | | C-horizont | |
| | 557.876.528 | 3.613.966.076 | 181 | -19 | 200 | GATE | GN | 180 | 200 | - | 20 | Z | H | BR | TGR | DO | BSE | | | | | gelaagd;<br>moeilijke observatie | paleosol | KOEB P 17 15 1286 en 1287 |
| 17-16 | 557.916.054 | 3.614.058.069 | 188 | -12 | 200 | GATE | GN | 0 | 15 | 173 | 15 | Z | | GE | TOR | LI | BGE | 150 | 38 | | | | B/C-horizont | |
| | 557.916.054 | 3.614.058.069 | 188 | -12 | 200 | GATE | GN | 15 | 178 | 10 | 163 | Z | | GE | TBR | LI | BSE | | | | | | C-horizont | |
| | 557.916.054 | 3.614.058.069 | 188 | -12 | 200 | GATE | GN | 178 | 200 | - | 22 | Z | H | BR | TGR | DO | BSE | | | | | gelaagd;<br>moeilijke observatie | paleosol | KOEB P 17 16 1278 |
| 17-17 | 557.955.487 | 3.614.150.080 | 195 | -20 | 215 | GATE | GN | 0 | 15 | 180 | 15 | Z | | GE | TOR | LI | BGE | 167 | 28 | | | | B/C-horizont | |
| | 557.955.487 | 3.614.150.080 | 195 | -20 | 215 | GATE | GN | 15 | 178 | 17 | 163 | Z | | GE | TBR | LI | BSE | | | | | | C-horizont | |
| | 557.955.487 | 3.614.150.080 | 195 | -20 | 215 | GATE | GN | 178 | 180 | 15 | 2 | Z | H | BR | TGR | DO | BSE | | | | | gelaagd | paleosol | KOEB P 17 17 1275 |
| | 557.955.487 | 3.614.150.080 | 195 | -20 | 215 | GATE | GN | 180 | 215 | - | 35 | Z | | GR | TBE | LI | - | | | | | moeilijke observatie | C-horizont | |
| 17-18 | 557.994.811 | 3.614.242.046 | 191 | -24 | 215 | GATE | GN | 0 | 15 | 176 | 15 | Z | | GE | TOR | LI | BGE | 160 | 31 | | | | B/C-horizont | |
| | 557.994.811 | 3.614.242.046 | 191 | -24 | 215 | GATE | GN | 15 | 163 | 28 | 148 | Z | | GE | TBR | LI | BSE | | | | | onderaan brokjes organisch zand | C-horizont | |
| | 557.994.811 | 3.614.242.046 | 191 | -24 | 215 | GATE | GN | 163 | 166 | 25 | 3 | Z | H | BR | | DO | BSE | | | | | gelaagd | paleosol | KOEB P 17 18 1272 |
| | 557.994.811 | 3.614.242.046 | 191 | -24 | 215 | GATE | GN | 166 | 215 | - | 49 | Z | | GR | TBE | LI | - | | | | | moeilijke observatie | C-horizont | |
| 17-19 | 558.034.236 | 3.614.333.917 | 198 | -22 | 220 | GATE | GN | 0 | 10 | 188 | 10 | Z | | OR | | LI | BGE | 165 | 33 | | | | B-horizont | |
| | 558.034.236 | 3.614.333.917 | 198 | -22 | 220 | GATE | GN | 10 | 25 | 173 | 15 | Z | | GE | TOR | LI | BGE | | | | | | B/C-horizont | |
| | 558.034.236 | 3.614.333.917 | 198 | -22 | 220 | GATE | GN | 25 | 180 | 18 | 155 | Z | | GE | TBE | LI | BSE | | | | | | C-horizont | |
| | 558.034.236 | 3.614.333.917 | 198 | -22 | 220 | GATE | GN | 180 | 181 | 17 | 1 | Z | H | BR | | DO | BSE | | | | | | paleosol | KOEB P 17 19 1268 |
| | 558.034.236 | 3.614.333.917 | 198 | -22 | 220 | GATE | GN | 181 | 188 | 10 | 7 | Z | | GR | TBE | LI | BSE | | | | | | C-horizont | |
| | 558.034.236 | 3.614.333.917 | 198 | -22 | 220 | GATE | GN | 188 | 190 | 8 | 2 | Z | H | BR | | DO | BSE | | | | | gelaagd | paleosol | KOEB P 17 19 1269 |
| | 558.034.236 | 3.614.333.917 | 198 | -22 | 220 | GATE | GN | 190 | 220 | - | 30 | Z | | GR | TBE | LI | - | | | | | moeilijke observatie | C-horizont | |
| 18-1 | 557.257.325 | 3.612.763.048 | 247 | 27 | 220 | GATE | PL | 0 | 15 | 232 | 15 | Z | | GE | TOR | LI | BGE | 200 | 47 | | | | B/C-horizont | |
| | 557.257.325 | 3.612.763.048 | 247 | 27 | 220 | GATE | PL | 15 | 193 | 54 | 178 | Z | | GE | TBE | LI | BSE | | | | | | C-horizont | |
| | 557.257.325 | 3.612.763.048 | 247 | 27 | 220 | GATE | PL | 193 | 194 | 53 | 1 | Z | H | BR | | DO | BSE | | | | | gelaagd | paleosol | KOEB P 18 01 0061 |
| | 557.257.325 | 3.612.763.048 | 247 | 27 | 220 | GATE | PL | 194 | 220 | - | 26 | Z | | GR | TBE | LI | - | | | | | | C-horizont | |
| 18-2 | 557.296.696 | 3.612.854.940 | 259 | 44 | 215 | GATE | PL | 0 | 15 | 244 | 15 | Z | | GE | TOR | LI | BGE | 205 | 54 | | | | B/C-horizont | |
| | 557.296.696 | 3.612.854.940 | 259 | 44 | 215 | GATE | PL | 15 | 180 | 79 | 165 | Z | | GE | TBE | LI | BSE | | | | | | C-horizont | |
| | 557.296.696 | 3.612.854.940 | 259 | 44 | 215 | GATE | PL | 180 | 181 | 78 | 1 | Z | H | BR | | DO | BSE | | | | | | paleosol | KOEB P 18 02 0063 |
| | 557.296.696 | 3.612.854.940 | 259 | 44 | 215 | GATE | PL | 181 | 215 | - | 34 | Z | | GR | TBE | LI | - | | | | | | C-horizont | |
| 18-3 | 557.336.112 | 3.612.946.883 | 251 | 21 | 230 | GATE | PL | 0 | 15 | 236 | 15 | Z | | GE | TOR | LI | BGE | 205 | 46 | | | | B/C-horizont | |
| | 557.336.112 | 3.612.946.883 | 251 | 21 | 230 | GATE | PL | 15 | 168 | 83 | 153 | Z | | GE | TBE | LI | BSE | | | | | | C-horizont | |
| | 557.336.112 | 3.612.946.883 | 251 | 21 | 230 | GATE | PL | 168 | 169 | 82 | 1 | Z | H | BR | | DO | BSE | | | | | gelaagd | paleosol | KOEB P 18 03 0065 |
| | 557.336.112 | 3.612.946.883 | 251 | 21 | 230 | GATE | PL | 169 | 220 | - | 51 | Z | | GR | TBE | LI | - | | | | | | C-horizont | |
| 18-4 | 557.375.521 | 3.613.038.822 | 248 | 28 | 220 | GATE | PL | 0 | 15 | 233 | 15 | Z | | GE | TOR | LI | BGE | 200 | 48 | | | | B/C-horizont | |
| | 557.375.521 | 3.613.038.822 | 248 | 28 | 220 | GATE | PL | 15 | 220 | - | 205 | Z | | GE | TBE | LI | BSE | | | | | | C-horizont | |

| Boornummer | X-coördinaat | Y-coördinaat | Maaiveldhoogte (cm NAP) | Einddiepte (cm NAP) | relatieve diepte boortraject (cm) | Organisatie beschrijver | Beschrijver lithologie | Bovendiepte laag (cm) | Onderdiepte laag (cm) | ondergrens laag (cm NAP) | dikte pakket (cm) | Grondsoort | Bijmengsel humus | Hoofdkleur | Tweede kleur | Intensiteit kleur | Laaggrens | GWS na einde boring (cm) | GWS (cm NAP) | Vlekken, kleuren en hoeveelheden | Plantenresten | opmerkingen laag | bodemhorizont | Fotonummer |
|---|---|---|---|---|---|---|---|---|---|---|---|---|---|---|---|---|---|---|---|---|---|---|---|---|
| 18-5 | 557.414.936 | 3.613.130.613 | 207 | -3 | 210 | GATE | PL | 0 | 132 | 75 | 132 | Z | | GE | TBE | LI | BSE | 195 | 12 | | | | C-horizont | |
| | 557.414.936 | 3.613.130.613 | 207 | -3 | 210 | GATE | PL | 132 | 133 | 74 | 1 | Z | H | BR | | DO | BSE | | | | | | paleosol | KOEB P 18 05 0068 |
| | 557.414.936 | 3.613.130.613 | 207 | -3 | 210 | GATE | PL | 133 | 145 | 62 | 12 | Z | | GR | TBE | LI | BSE | | | | | | C-horizont | |
| | 557.414.936 | 3.613.130.613 | 207 | -3 | 210 | GATE | PL | 145 | 146 | 61 | 1 | Z | H | BR | | DO | BSE | | | | | | paleosol | |
| | 557.414.936 | 3.613.130.613 | 207 | -3 | 210 | GATE | PL | 146 | 210 | - | 64 | Z | | GR | TBE | LI | - | | | | | | C-horizont | |
| 18-6 | 557.454.330 | 3.613.222.624 | 201 | -19 | 220 | GATE | PL | 0 | 170 | 31 | 170 | Z | | GE | TBE | LI | BSE | 185 | 16 | | | | C-horizont | |
| | 557.454.330 | 3.613.222.624 | 201 | -19 | 220 | GATE | PL | 170 | 171 | 30 | 1 | Z | H | BR | | DO | BSE | | | | | | paleosol | KOEB P 18 06 0070 |
| | 557.454.330 | 3.613.222.624 | 201 | -19 | 220 | GATE | PL | 171 | 190 | 11 | 19 | Z | | GR | TBE | LI | BSE | | | | | | C-horizont | |
| | 557.454.330 | 3.613.222.624 | 201 | -19 | 220 | GATE | PL | 190 | 191 | 10 | 1 | Z | H | BR | | DO | BSE | | | | | | paleosol | |
| | 557.454.330 | 3.613.222.624 | 201 | -19 | 220 | GATE | PL | 191 | 220 | - | 29 | Z | | GR | TBE | LI | - | | | | | | C-horizont | |
| 18-7 | 557.493.750 | 3.613.314.572 | 194 | -16 | 210 | GATE | PL | 0 | 140 | 54 | 140 | Z | | GE | TBE | LI | BSE | | | | | | C-horizont | |
| | 557.493.750 | 3.613.314.572 | 194 | -16 | 210 | GATE | PL | 140 | 142 | 52 | 2 | Z | H | BR | | DO | BSE | | | | | gelaagd | paleosol | KOEB P 18 07 0072 |
| | 557.493.750 | 3.613.314.572 | 194 | -16 | 210 | GATE | PL | 142 | 210 | - | 68 | Z | | GR | TBE | LI | - | | | | | | C-horizont | |
| 18-8 | 557.533.109 | 3.613.406.457 | 181 | -24 | 205 | GATE | PL | 0 | 143 | 38 | 143 | Z | | GE | TBE | LI | BSE | 175 | 6 | | | | C-horizont | |
| | 557.533.109 | 3.613.406.457 | 181 | -24 | 205 | GATE | PL | 143 | 144 | 37 | 1 | Z | H | BR | | DO | BSE | | | | | | paleosol | |
| | 557.533.109 | 3.613.406.457 | 181 | -24 | 205 | GATE | PL | 144 | 205 | - | 61 | Z | | GR | TBE | LI | - | | | | | | C-horizont | |
| 18-9 | 557.572.527 | 3.613.498.124 | 195 | -20 | 215 | GATE | PL | 0 | 215 | - | 215 | Z | | GE | TBE | LI | - | 178 | 17 | | | | C-horizont | |
| 18-10 | 557.611.886 | 3.613.590.134 | 200 | 0 | 200 | GATE | GN | 0 | 15 | 185 | 15 | Z | | GE | TOR | LI | BGE | 163 | 37 | | | | B/C-horizont | |
| | 557.611.886 | 3.613.590.134 | 200 | 0 | 200 | GATE | GN | 15 | 185 | 15 | 170 | Z | | GE | TBE | LI | BSE | | | | | | C-horizont | |
| | 557.611.886 | 3.613.590.134 | 200 | 0 | 200 | GATE | GN | 185 | 186 | 14 | 1 | Z | H | BR | | DO | BSE | | | | | | paleosol | |
| | 557.611.886 | 3.613.590.134 | 200 | 0 | 200 | GATE | GN | 186 | 200 | - | 14 | Z | | GR | TBE | LI | - | | | | | moeilijke observatie | C-horizont | |
| 18-11 | 557.646.830 | 3.613.684.226 | 185 | -25 | 210 | GATE | GN | 0 | 15 | 170 | 15 | Z | | GE | TOR | LI | BGE | 150 | 35 | | | | B/C-horizont | |
| | 557.646.830 | 3.613.684.226 | 185 | -25 | 210 | GATE | GN | 15 | 210 | - | 195 | Z | | GE | TBE | LI | - | | | | | moeilijke observatie | C-horizont | |
| 18-12 | 557.686.118 | 3.613.775.981 | 169 | -31 | 200 | GATE | GN | 0 | 15 | 154 | 15 | Z | | GE | TOR | LI | BGE | 135 | 34 | | | | B/C-horizont | |
| | 557.686.118 | 3.613.775.981 | 169 | -31 | 200 | GATE | GN | 15 | 200 | - | 185 | Z | | GE | TBE | LI | - | | | | | moeilijke observatie | C-horizont | |
| 18-13 | 557.725.577 | 3.613.867.896 | 172 | -38 | 210 | GATE | GN | 0 | 15 | 157 | 15 | Z | | GE | TOR | LI | BGE | 140 | 32 | | | | B/C-horizont | |
| | 557.725.577 | 3.613.867.896 | 172 | -38 | 210 | GATE | GN | 15 | 210 | - | 195 | Z | | GE | TBE | LI | - | | | | | moeilijke observatie | C-horizont | |
| 18-14 | 557.765.074 | 3.613.959.883 | 183 | -32 | 215 | GATE | GN | 0 | 15 | 168 | 15 | Z | | GE | TOR | LI | BGE | 148 | 35 | | | | B/C-horizont | |
| | 557.765.074 | 3.613.959.883 | 183 | -32 | 215 | GATE | GN | 15 | 215 | - | 200 | Z | | GE | TBE | LI | BSE | | | | | | C-horizont | |
| 18-15 | 557.804.350 | 3.614.051.666 | 179 | -36 | 215 | GATE | GN | 0 | 15 | 164 | 15 | Z | | GE | TOR | LI | BGE | 155 | 24 | | | | B/C-horizont | |
| | 557.804.350 | 3.614.051.666 | 179 | -36 | 215 | GATE | GN | 15 | 215 | - | 200 | Z | | GE | TBE | LI | BSE | | | | | | C-horizont | |
| 18-16 | 557.843.916 | 3.614.143.650 | 187 | -13 | 200 | GATE | GN | 0 | 15 | 172 | 15 | Z | | GE | TOR | LI | BGE | 155 | 32 | | | | B/C-horizont | |
| | 557.843.916 | 3.614.143.650 | 187 | -13 | 200 | GATE | GN | 15 | 110 | 77 | 95 | Z | | GE | TBE | LI | BSE | | | | | | C-horizont | |
| | 557.843.916 | 3.614.143.650 | 187 | -13 | 200 | GATE | GN | 110 | 112 | 75 | 2 | Z | H | BR | | DO | BSE | | | | | | paleosol | KOEB P 18 16 1315 |
| | 557.843.916 | 3.614.143.650 | 187 | -13 | 200 | GATE | GN | 112 | 155 | 32 | 43 | Z | | GR | TBR | LI | BSE | | | | | | C-horizont | |
| | 557.843.916 | 3.614.143.650 | 187 | -13 | 200 | GATE | GN | 155 | 156 | 31 | 1 | Z | H | BR | | DO | BSE | | | | | gelaagd | paleosol | KOEB P 18 16 1316 |
| | 557.843.916 | 3.614.143.650 | 187 | -13 | 200 | GATE | GN | 156 | 200 | - | 44 | Z | | GR | TBR | LI | - | | | | | moeilijke observatie | C-horizont | |
| 18-17 | 557.883.302 | 3.614.235.530 | 182 | -18 | 200 | GATE | GN | 0 | 105 | 77 | 105 | Z | | GE | TBE | LI | BSE | 140 | 42 | | | | C-horizont | |
| | 557.883.302 | 3.614.235.530 | 182 | -18 | 200 | GATE | GN | 105 | 106 | 76 | 1 | Z | H | BR | | DO | BSE | | | | | | paleosol | KOEB P 18 17 1309 |
| | 557.883.302 | 3.614.235.530 | 182 | -18 | 200 | GATE | GN | 106 | 120 | 62 | 14 | Z | | GR | TBE | LI | BSE | | | | | | C-horizont | |
| | 557.883.302 | 3.614.235.530 | 182 | -18 | 200 | GATE | GN | 120 | 121 | 61 | 1 | Z | H | BR | | DO | BSE | | | | | | paleosol | KOEB P 18 17 1310 |
| | 557.883.302 | 3.614.235.530 | 182 | -18 | 200 | GATE | GN | 121 | 150 | 32 | 29 | Z | | GR | TBE | LI | BSE | | | | | | C-horizont | |
| | 557.883.302 | 3.614.235.530 | 182 | -18 | 200 | GATE | GN | 150 | 155 | 27 | 5 | Z | H | BR | | DO | BSE | | | | | gelaagd | paleosol | KOEB P 18 17 1311 en 1312 |
| | 557.883.302 | 3.614.235.530 | 182 | -18 | 200 | GATE | GN | 155 | 200 | - | 45 | Z | | GR | TBE | LI | - | | | | | moeilijke observatie | C-horizont | |
| 18-18 | 557.922.676 | 3.614.327.523 | 184 | -6 | 190 | GATE | GN | 0 | 15 | 169 | 15 | Z | | GE | TOR | LI | BGE | 150 | 34 | | | | B/C-horizont | |
| | 557.922.676 | 3.614.327.523 | 184 | -6 | 190 | GATE | GN | 15 | 130 | 54 | 115 | Z | | GE | TBE | LI | BSE | | | | | | C-horizont | |
| | 557.922.676 | 3.614.327.523 | 184 | -6 | 190 | GATE | GN | 130 | 131 | 53 | 1 | Z | H | BR | | DO | BSE | | | | | | paleosol | KOEB P 18 18 1306 |
| | 557.922.676 | 3.614.327.523 | 184 | -6 | 190 | GATE | GN | 131 | 180 | 4 | 49 | Z | | GR | TBE | LI | BSE | | | | | | C-horizont | |

| Boornummer | X-coördinaat | Y-coördinaat | Maaiveldhoogte (cm NAP) | Einddiepte (cm NAP) | relatieve diepte boortraject (cm) | Organisatie beschrijver | Beschrijver lithologie | Bovendiepte laag (cm) | Onderdiepte laag (cm) | ondergrens laag (cm NAP) | dikte pakket (cm) | Grondsoort | Bijmengsel humus | Hoofdkleur | Tweede kleur | Intensiteit kleur | Laaggrens | GWS na einde boring (cm) | GWS (cm NAP) | Vlekken, kleuren en hoeveelheden | Plantenresten | opmerkingen laag | bodemhorizont | Fotonummer |
|---|---|---|---|---|---|---|---|---|---|---|---|---|---|---|---|---|---|---|---|---|---|---|---|---|
| | 557.922.676 | 3.614.327.523 | 184 | -6 | 190 | GATE | GN | 180 | 184 | 0 | 4 | Z | H | BR | | DO | BSE | | | | | gelaagd | paleosol | KOEB P 18 18 1307 |
| | 557.922.676 | 3.614.327.523 | 184 | -6 | 190 | GATE | GN | 184 | 220 | - | 36 | Z | | GR | TBE | LI | - | | | | | moeilijke observatie | C-horizont | |
| 18-19 | 557.966.730 | 3.614.417.293 | 245 | 15 | 230 | GATE | GN | 0 | 35 | 210 | 35 | Z | | BR | TGR | DO | BSE | 215 | 30 | | | boring vanaf maaiveld | ploeglaag | |
| | 557.966.730 | 3.614.417.293 | 245 | 15 | 230 | GATE | GN | 35 | 190 | 55 | 155 | Z | | GE | TBE | LI | BSE | | | | | | C-horizont | |
| | 557.966.730 | 3.614.417.293 | 245 | 15 | 230 | GATE | GN | 190 | 191 | 54 | 1 | Z | H | BR | | DO | BSE | | | | | onregelmatig - laagje? | paleosol | KOEB P 18 19 1304 |
| | 557.966.730 | 3.614.417.293 | 245 | 15 | 230 | GATE | GN | 191 | 230 | - | 39 | Z | | GR | TBE | LI | - | | | | | | C-horizont | |
| 19-1 | 557.145.466 | 3.612.756.546 | 236 | 21 | 215 | GATE | PL | 0 | 15 | 221 | 15 | Z | | GE | TOR | LI | BGE | 180 | 56 | | | | B/C-horizont | |
| | 557.145.466 | 3.612.756.546 | 236 | 21 | 215 | GATE | PL | 15 | 215 | - | 200 | Z | | GE | TBE | LI | - | | | | | | C-horizont | |
| 19-2 | 557.185.154 | 3.612.848.455 | 250 | 25 | 225 | GATE | PL | 0 | 15 | 235 | 15 | Z | | GE | TOR | LI | BGE | | | | | | B/C-horizont | |
| | 557.185.154 | 3.612.848.455 | 250 | 25 | 225 | GATE | PL | 15 | 199 | 51 | 184 | Z | | GE | TBE | LI | BSE | | | | | | C-horizont | |
| | 557.185.154 | 3.612.848.455 | 250 | 25 | 225 | GATE | PL | 199 | 201 | 49 | 2 | Z | H | BR | | DO | BSE | | | | | gelaagd | paleosol | KOEB P 19 02 0077 |
| | 557.185.154 | 3.612.848.455 | 250 | 25 | 225 | GATE | PL | 201 | 225 | - | 24 | Z | | GR | TBE | LI | - | | | | | | C-horizont | |
| 19-3 | 557.224.572 | 3.612.940.219 | 251 | 21 | 230 | GATE | PL | 0 | 15 | 236 | 15 | Z | | GE | TOR | LI | BGE | 195 | 56 | | | | B/C-horizont | |
| | 557.224.572 | 3.612.940.219 | 251 | 21 | 230 | GATE | PL | 15 | 230 | - | 215 | Z | | GE | TBE | LI | - | | | | | | C-horizont | |
| 19-4 | 557.263.810 | 3.613.032.116 | 253 | 28 | 225 | GATE | PL | 0 | 15 | 238 | 15 | Z | | OR | | LI | BGE | 195 | 58 | | | | B-horizont | |
| | 557.263.810 | 3.613.032.116 | 253 | 28 | 225 | GATE | PL | 15 | 30 | 223 | 15 | Z | | GE | TOR | LI | BGE | | | | | | B/C-horizont | |
| | 557.263.810 | 3.613.032.116 | 253 | 28 | 225 | GATE | PL | 30 | 185 | 68 | 155 | Z | | GE | TBE | LI | BSE | | | | | | C-horizont | |
| | 557.263.810 | 3.613.032.116 | 253 | 28 | 225 | GATE | PL | 185 | 187 | 66 | 2 | Z | H | BR | | DO | BSE | | | | | gelaagd | paleosol | KOEB P 19 04 0080 |
| | 557.263.810 | 3.613.032.116 | 253 | 28 | 225 | GATE | PL | 187 | 225 | - | 38 | Z | | GE | TBE | LI | - | | | | | | C-horizont | |
| 19-5 | 557.303.340 | 3.613.124.299 | 230 | 5 | 225 | GATE | PL | 0 | 15 | 215 | 15 | Z | | GE | TOR | LI | BGE | 190 | 40 | | | | B/C-horizont | |
| | 557.303.340 | 3.613.124.299 | 230 | 5 | 225 | GATE | PL | 15 | 140 | 90 | 125 | Z | | BR | TGE | LI | BSE | | | | | | C-horizont | |
| | 557.303.340 | 3.613.124.299 | 230 | 5 | 225 | GATE | PL | 140 | 141 | 89 | 1 | Z | H | BR | | DO | BSE | | | | | gelaagd | paleosol | KOEB P 19 05 0082 |
| | 557.303.340 | 3.613.124.299 | 230 | 5 | 225 | GATE | PL | 141 | 145 | 85 | 4 | Z | | GE | TBE | LI | BSE | | | | | | C-horizont | |
| | 557.303.340 | 3.613.124.299 | 230 | 5 | 225 | GATE | PL | 145 | 146 | 84 | 1 | Z | H | BR | | DO | BSE | | | | | | paleosol | KOEB P 19 05 0082 |
| | 557.303.340 | 3.613.124.299 | 230 | 5 | 225 | GATE | PL | 146 | 225 | - | 79 | Z | | GE | TBE | LI | - | | | | | | C-horizont | |
| 19-6 | 557.342.808 | 3.613.216.166 | 212 | -8 | 220 | GATE | PL | 0 | 15 | 197 | 15 | Z | | GE | TOR | LI | BGE | 195 | 17 | | | | B/C-horizont | |
| | 557.342.808 | 3.613.216.166 | 212 | -8 | 220 | GATE | PL | 15 | 154 | 58 | 139 | Z | | GE | TBE | LI | BSE | | | | | | C-horizont | |
| | 557.342.808 | 3.613.216.166 | 212 | -8 | 220 | GATE | PL | 154 | 156 | 56 | 2 | Z | H | BR | | DO | BSE | | | | | gelaagd | paleosol | KOEB P 19 06 0084 |
| | 557.342.808 | 3.613.216.166 | 212 | -8 | 220 | GATE | PL | 156 | 220 | - | 64 | Z | | GE | TBE | LI | - | | | | | | C-horizont | |
| 19-7 | 557.382.003 | 3.613.307.907 | 205 | -15 | 220 | GATE | PL | 0 | 144 | 61 | 144 | Z | | GE | TBE | LI | BSE | 190 | 15 | | | | C-horizont | |
| | 557.382.003 | 3.613.307.907 | 205 | -15 | 220 | GATE | PL | 144 | 145 | 60 | 1 | Z | H | BR | | DO | BSE | | | | | gelaagd | paleosol | KOEB P 19 07 0086 |
| | 557.382.003 | 3.613.307.907 | 205 | -15 | 220 | GATE | PL | 145 | 220 | - | 75 | Z | | GR | TBE | LI | - | | | | | | C-horizont | |
| 19-8 | 557.421.466 | 3.613.399.892 | 187 | -33 | 220 | GATE | PL | 0 | 220 | - | 220 | Z | | GE | TBE | LI | - | 185 | 2 | | | onderaan moeilijke observatie | C-horizont | |
| 19-9 | 557.460.959 | 3.613.491.914 | 192 | -23 | 215 | GATE | PL | 0 | 215 | - | 215 | Z | | GE | TBE | LI | - | 170 | 22 | | | onderaan moeilijke observatie | C-horizont | |
| 19-10 | 557.500.191 | 3.613.583.603 | 192 | -13 | 205 | GATE | PL | 0 | 15 | 177 | 15 | Z | | GE | TOR | LI | BGE | | 192 | | | | B/C-horizont | |
| | 557.500.191 | 3.613.583.603 | 192 | -13 | 205 | GATE | PL | 15 | 166 | 26 | 151 | Z | | GE | TBE | LI | BSE | | | | | | C-horizont | |
| | 557.500.191 | 3.613.583.603 | 192 | -13 | 205 | GATE | PL | 166 | 167 | 25 | 1 | Z | H | BR | | DO | BSE | | | | | | paleosol | |
| | 557.500.191 | 3.613.583.603 | 192 | -13 | 205 | GATE | PL | 167 | 194 | -2 | 27 | Z | | GE | TBE | LI | BSE | | | | | | C-horizont | |
| | 557.500.191 | 3.613.583.603 | 192 | -13 | 205 | GATE | PL | 194 | 195 | -3 | 1 | Z | H | BR | | DO | BSE | | | | | | paleosol | |
| | 557.500.191 | 3.613.583.603 | 192 | -13 | 205 | GATE | PL | 195 | 205 | - | 10 | Z | | GE | TBE | LI | - | | | | | moeilijke observatie | C-horizont | |
| 19-11 | 557.539.701 | 3.613.675.597 | 193 | -32 | 225 | GATE | GN | 0 | 125 | 68 | 125 | Z | | GE | TBE | LI | BSE | 162 | 31 | | | | C-horizont | |
| | 557.539.701 | 3.613.675.597 | 193 | -32 | 225 | GATE | GN | 125 | 126 | 67 | 1 | Z | H | BR | | DO | BSE | | | | | gelaagd | paleosol | KOEB P 19 11 1361 |
| | 557.539.701 | 3.613.675.597 | 193 | -32 | 225 | GATE | GN | 126 | 136 | 57 | 10 | Z | | GR | TBR | LI | BSE | | | | | | C-horizont | |
| | 557.539.701 | 3.613.675.597 | 193 | -32 | 225 | GATE | GN | 136 | 137 | 56 | 1 | Z | H | BR | | DO | BSE | | | | | gelaagd | paleosol | KOEB P 19 11 1366 en 1367 |
| | 557.539.701 | 3.613.675.597 | 193 | -32 | 225 | GATE | GN | 137 | 143 | 50 | 6 | Z | | GR | TBR | LI | BSE | | | | | | C-horizont | |
| | 557.539.701 | 3.613.675.597 | 193 | -32 | 225 | GATE | GN | 143 | 148 | 45 | 5 | Z | H | BR | TGR | DO | BSE | | | | | | paleosol | KOEB P 19 11 1366 en 1367 |
| | 557.539.701 | 3.613.675.597 | 193 | -32 | 225 | GATE | GN | 148 | 190 | 3 | 42 | Z | | GR | TBR | LI | BSE | | | | | | C-horizont | |
| | 557.539.701 | 3.613.675.597 | 193 | -32 | 225 | GATE | GN | 190 | 198 | -5 | 8 | Z | H | BR | TGR | DO | BSE | | | | | gelaagd | paleosol | KOEB P 19 11 1368 en 1369 |

| Boornummer | X-coördinaat | Y-coördinaat | Maaiveldhoogte (cm NAP) | Einddiepte (cm NAP) | relatieve diepte boortraject (cm) | Organisatie beschrijver | Beschrijver lithologie | Bovendiepte laag (cm) | Onderdiepte laag (cm) | ondergrens laag (cm NAP) | dikte pakket (cm) | Grondsoort | Bijmengsel humus | Hoofdkleur | Tweede kleur | Intensiteit kleur | Laaggrens | GWS na einde boring (cm) | GWS (cm NAP) | Vlekken, kleuren en hoeveelheden | Plantenresten | opmerkingen laag | bodemhorizont | Fotonummer |
|---|---|---|---|---|---|---|---|---|---|---|---|---|---|---|---|---|---|---|---|---|---|---|---|---|
| | 557.539.701 | 3.613.675.597 | 193 | -32 | 225 | GATE | GN | 198 | 225 | - | 27 | Z | | GR | TBR | LI | - | | | | | moeilijke observatie | C-horizont | |
| 19-12 | 557.579.078 | 3.613.767.506 | 180 | -20 | 200 | GATE | GN | 0 | 136 | 44 | 136 | Z | | GE | TBE | LI | BSE | 160 | 20 | | | | C-horizont | |
| | 557.579.078 | 3.613.767.506 | 180 | -20 | 200 | GATE | GN | 136 | 138 | 42 | 2 | Z | H | BR | | DO | BSE | | | | | | paleosol | KOEB P 19 12 1354 en 1355 |
| | 557.579.078 | 3.613.767.506 | 180 | -20 | 200 | GATE | GN | 138 | 160 | 20 | 22 | Z | | GR | TBR | LI | BSE | | | | | | C-horizont | |
| | 557.579.078 | 3.613.767.506 | 180 | -20 | 200 | GATE | GN | 160 | 162 | 18 | 2 | Z | H | BR | | DO | BSE | | | | | | paleosol | KOEB P 19 12 1356 |
| | 557.579.078 | 3.613.767.506 | 180 | -20 | 200 | GATE | GN | 162 | 200 | - | 38 | Z | | GR | TBR | LI | - | | | | | moeilijke observatie | C-horizont | |
| 19-13 | 557.618.700 | 3.613.859.339 | 172 | -8 | 180 | GATE | GN | 0 | 150 | 22 | 150 | Z | | GE | TBE | LI | BSE | 138 | 34 | | | | C-horizont | |
| | 557.618.700 | 3.613.859.339 | 172 | -8 | 180 | GATE | GN | 150 | 151 | 21 | 1 | Z | H | BR | | DO | BSE | | | | | | paleosol | |
| | 557.618.700 | 3.613.859.339 | 172 | -8 | 180 | GATE | GN | 151 | 180 | - | 29 | Z | | GR | TBR | LI | - | | | | | moeilijke observatie | C-horizont | |
| 19-14 | 557.657.927 | 3.613.951.422 | 172 | -13 | 185 | GATE | GN | 0 | 160 | 12 | 160 | Z | | GE | TBE | LI | BSE | 135 | 37 | | | | C-horizont | |
| | 557.657.927 | 3.613.951.422 | 172 | -13 | 185 | GATE | GN | 160 | 164 | 8 | 4 | Z | H | BR | | DO | BSE | | | | | gelaagd | paleosol | KOEB P 19 14 1347 |
| | 557.657.927 | 3.613.951.422 | 172 | -13 | 185 | GATE | GN | 164 | 185 | - | 21 | Z | | GR | TBR | LI | - | | | | | moeilijke observatie | C-horizont | |
| 19-15 | 557.697.381 | 3.614.043.260 | 174 | -16 | 190 | GATE | GN | 0 | 175 | -1 | 175 | Z | | GE | TBE | LI | BSE | 135 | 39 | | | | C-horizont | |
| | 557.697.381 | 3.614.043.260 | 174 | -16 | 190 | GATE | GN | 175 | 176 | -2 | 1 | Z | H | BR | | DO | BSE | | | | | moeilijke observatie | paleosol | |
| | 557.697.381 | 3.614.043.260 | 174 | -16 | 190 | GATE | GN | 176 | 190 | - | 14 | Z | | GR | TBR | LI | - | | | | | moeilijke observatie | C-horizont | |
| 19-16 | 557.736.723 | 3.614.134.961 | 176 | -14 | 190 | GATE | GN | 0 | 153 | 23 | 153 | Z | | GE | TBE | LI | BSE | 145 | 31 | | | | C-horizont | |
| | 557.736.723 | 3.614.134.961 | 176 | -14 | 190 | GATE | GN | 153 | 155 | 21 | 2 | Z | H | BR | TGR | DO | BSE | | | | | gelaagd | paleosol | KOEB P 19 16 1342 en 1343 |
| | 557.736.723 | 3.614.134.961 | 176 | -14 | 190 | GATE | GN | 155 | 199 | - | 44 | Z | | GR | TBR | LI | - | | | | | moeilijke observatie | C-horizont | |
| 19-17 | 557.776.252 | 3.614.226.945 | 176 | -19 | 195 | GATE | GN | 0 | 10 | 166 | 10 | Z | | OR | | LI | BGE | 150 | 26 | | | harde B ! | B-horizont | |
| | 557.776.252 | 3.614.226.945 | 176 | -19 | 195 | GATE | GN | 10 | 25 | 151 | 15 | Z | | GE | TOR | LI | BGE | | | | | | B/C-horizont | |
| | 557.776.252 | 3.614.226.945 | 176 | -19 | 195 | GATE | GN | 25 | 125 | 51 | 100 | Z | | BR | TGE | LI | BSE | | | | | | C-horizont | |
| | 557.776.252 | 3.614.226.945 | 176 | -19 | 195 | GATE | GN | 125 | 128 | 48 | 3 | Z | H | BR | | DO | BSE | | | | | gelaagd | paleosol | KOEB P 19 17 1337 |
| | 557.776.252 | 3.614.226.945 | 176 | -19 | 195 | GATE | GN | 128 | 153 | 23 | 25 | Z | | GE | TBE | LI | BSE | | | | | | C-horizont | |
| | 557.776.252 | 3.614.226.945 | 176 | -19 | 195 | GATE | GN | 153 | 155 | 21 | 2 | Z | H | BR | | DO | BSE | | | | | gelaagd | paleosol | KOEB P 19 17 1338 |
| | 557.776.252 | 3.614.226.945 | 176 | -19 | 195 | GATE | GN | 155 | 195 | - | 40 | Z | | GR | TBR | LI | - | | | | | moeilijke observatie | C-horizont | |
| 19-18 | 557.815.701 | 3.614.318.886 | 183 | -18 | 200 | GATE | GN | 0 | 10 | 173 | 10 | Z | | OR | | LI | BGE | 150 | 33 | | | | B-horizont | |
| | 557.815.701 | 3.614.318.886 | 183 | -18 | 200 | GATE | GN | 10 | 25 | 158 | 15 | Z | | GE | TOR | LI | BGE | | | | | | B/C-horizont | |
| | 557.815.701 | 3.614.318.886 | 183 | -18 | 200 | GATE | GN | 25 | 153 | 30 | 128 | Z | | GE | TBE | LI | BSE | | | | | | C-horizont | |
| | 557.815.701 | 3.614.318.886 | 183 | -18 | 200 | GATE | GN | 153 | 162 | 21 | 9 | Z | H | BR | | DO | BSE | | | | | | paleosol | KOEB P 19 18 1335 |
| | 557.815.701 | 3.614.318.886 | 183 | -18 | 200 | GATE | GN | 162 | 200 | - | 38 | Z | | GR | TBR | LI | - | | | | | moeilijke observatie | C-horizont | |
| 19-19 | 557.855.068 | 3.614.410.729 | 194 | -36 | 230 | GATE | GN | 0 | 10 | 184 | 10 | Z | | OR | | LI | BGE | 197 | -3 | | | | B-horizont | |
| | 557.855.068 | 3.614.410.729 | 194 | -36 | 230 | GATE | GN | 10 | 25 | 169 | 15 | Z | | GE | TOR | LI | BGE | | | | | | B/C-horizont | |
| | 557.855.068 | 3.614.410.729 | 194 | -36 | 230 | GATE | GN | 25 | 128 | 66 | 103 | Z | | GE | TBE | LI | BSE | | | | | | C-horizont | |
| | 557.855.068 | 3.614.410.729 | 194 | -36 | 230 | GATE | GN | 128 | 130 | 64 | 2 | Z | H | BR | | DO | BSE | | | | | gelaagd | paleosol | KOEB P 19 19 1327 t.e.m. 1329 |
| | 557.855.068 | 3.614.410.729 | 194 | -36 | 230 | GATE | GN | 130 | 165 | 29 | 35 | Z | | GR | TBR | LI | BSE | | | | | | C-horizont | |
| | 557.855.068 | 3.614.410.729 | 194 | -36 | 230 | GATE | GN | 165 | 169 | 25 | 4 | Z | H | BR | TGR | DO | BSE | | | | | gelaagd | paleosol | KOEB P 19 19 1330 en 1331 |
| | 557.855.068 | 3.614.410.729 | 194 | -36 | 230 | GATE | GN | 169 | 185 | 9 | 16 | Z | | GR | TBR | LI | BSE | | | | | | C-horizont | |
| | 557.855.068 | 3.614.410.729 | 194 | -36 | 230 | GATE | GN | 185 | 187 | 7 | 2 | Z | H | BR | | DO | BSE | | | | | gelaagd | paleosol | KOEB P 19 19 1332 en 1333 |
| | 557.855.068 | 3.614.410.729 | 194 | -36 | 230 | GATE | GN | 187 | 230 | - | 43 | Z | | GR | TBR | LI | - | | | | | | C-horizont | |
| 20-1 | 557.033.923 | 3.612.750.021 | 229 | 9 | 220 | GATE | PL | 0 | 15 | 214 | 15 | Z | | GE | TOR | LI | BGE | 200 | 29 | | | | B/C-horizont | |
| | 557.033.923 | 3.612.750.021 | 229 | 9 | 220 | GATE | PL | 15 | 183 | 46 | 168 | Z | | GE | TBE | LI | BSE | | | | | | C-horizont | |
| | 557.033.923 | 3.612.750.021 | 229 | 9 | 220 | GATE | PL | 183 | 185 | 44 | 2 | Z | H | BR | | DO | BSE | | | | | gelaagd | paleosol | KOEB P 20 01 0092 |
| | 557.033.923 | 3.612.750.021 | 229 | 9 | 220 | GATE | PL | 185 | 220 | - | 35 | Z | | GR | TBR | LI | - | | | | | | C-horizont | |
| 20-2 | 557.073.415 | 3.612.841.770 | 239 | 9 | 230 | GATE | GN | 0 | 10 | 229 | 10 | Z | | OR | | LI | BGE | 205 | 34 | | | | B-horizont | |
| | 557.073.415 | 3.612.841.770 | 239 | 9 | 230 | GATE | GN | 10 | 25 | 214 | 15 | Z | | GE | TOR | LI | BGE | | | | | | B/C-horizont | |
| | 557.073.415 | 3.612.841.770 | 239 | 9 | 230 | GATE | GN | 25 | 175 | 64 | 150 | Z | | GE | TBE | LI | BSE | | | | | gelaagd | C-horizont | |
| | 557.073.415 | 3.612.841.770 | 239 | 9 | 230 | GATE | GN | 175 | 181 | 58 | 6 | Z | H | BR | TGR | DO | BSE | | | | | | paleosol | KOEB P 20 02 1371 |
| | 557.073.415 | 3.612.841.770 | 239 | 9 | 230 | GATE | GN | 181 | 230 | - | 49 | Z | | GR | TBR | LI | - | | | | | | C-horizont | |

| Boornummer | X-coördinaat | Y-coördinaat | Maaiveldhoogte (cm NAP) | Einddiepte (cm NAP) | relatieve diepte boortraject (cm) | Organisatie beschrijver | Beschrijver lithologie | Bovendiepte laag (cm) | Onderdiepte laag (cm) | ondergrens laag (cm NAP) | dikte pakket (cm) | Grondsoort | Bijmengsel humus | Hoofdkleur | Tweede kleur | Intensiteit kleur | Laaggrens | GWS na einde boring (cm) | GWS (cm NAP) | Vlekken, kleuren en hoeveelheden | Plantenresten | opmerkingen laag | bodemhorizont | Fotonummer |
|---|---|---|---|---|---|---|---|---|---|---|---|---|---|---|---|---|---|---|---|---|---|---|---|---|
| 20-3 | 557.112.905 | 3.612.933.679 | 253 | 23 | 230 | GATE | PL | 0 | 10 | 243 | 10 | Z | | OR | | LI | BGE | 205 | 48 | | | | B-horizont | |
| | 557.112.905 | 3.612.933.679 | 253 | 23 | 230 | GATE | PL | 10 | 25 | 228 | 15 | Z | | GE | TOR | LI | BGE | | | | | | B/C-horizont | |
| | 557.112.905 | 3.612.933.679 | 253 | 23 | 230 | GATE | PL | 25 | 195 | 58 | 170 | Z | | GE | TBE | LI | BSE | | | | | | C-horizont | |
| | 557.112.905 | 3.612.933.679 | 253 | 23 | 230 | GATE | PL | 195 | 199 | 54 | 4 | Z | H | BR | TGR | DO | BSE | | | | | gelaagd | paleosol | KOEB P 20 03 0094 |
| | 557.112.905 | 3.612.933.679 | 253 | 23 | 230 | GATE | PL | 199 | 230 | - | 31 | Z | | GR | TBR | LI | - | | | | | | C-horizont | |
| 20-4 | 557.152.169 | 3.613.025.590 | 246 | 16 | 230 | GATE | GN | 0 | 15 | 231 | 15 | Z | | GE | TOR | LI | BGE | 210 | 36 | | | | B/C-horizont | |
| | 557.152.169 | 3.613.025.590 | 246 | 16 | 230 | GATE | GN | 15 | 148 | 98 | 133 | Z | | GE | TBE | LI | BSE | | | | | | C-horizont | |
| | 557.152.169 | 3.613.025.590 | 246 | 16 | 230 | GATE | GN | 148 | 150 | 96 | 2 | Z | H | BR | | DO | BSE | | | | | gelaagd | paleosol | KOEB P 20 04 1374 |
| | 557.152.169 | 3.613.025.590 | 246 | 16 | 230 | GATE | GN | 150 | 180 | 66 | 30 | Z | | GR | TBR | LI | BSE | | | | | | C-horizont | |
| | 557.152.169 | 3.613.025.590 | 246 | 16 | 230 | GATE | GN | 180 | 181 | 65 | 1 | Z | H | BR | | DO | BSE | | | | | | paleosol | |
| | 557.152.169 | 3.613.025.590 | 246 | 16 | 230 | GATE | GN | 181 | 230 | - | 49 | Z | | GR | TBR | LI | - | | | | | | C-horizont | |
| 20-5 | 557.191.609 | 3.613.117.731 | 245 | 25 | 220 | GATE | PL | 0 | 10 | 235 | 10 | Z | | OR | | LI | BGE | | | | | | B-horizont | |
| | 557.191.609 | 3.613.117.731 | 245 | 25 | 220 | GATE | PL | 10 | 25 | 220 | 15 | Z | | GE | TOR | LI | BGE | | | | | | B/C-horizont | |
| | 557.191.609 | 3.613.117.731 | 245 | 25 | 220 | GATE | PL | 25 | 193 | 52 | 168 | Z | | GE | TBE | LI | BSE | | | | | | C-horizont | |
| | 557.191.609 | 3.613.117.731 | 245 | 25 | 220 | GATE | PL | 193 | 196 | 49 | 3 | Z | H | BR | TGR | DO | BSE | | | | | gelaagd | paleosol | KOEB P 20 05 0096 |
| | 557.191.609 | 3.613.117.731 | 245 | 25 | 220 | GATE | PL | 196 | 220 | - | 24 | Z | | GR | TBR | LI | - | | | | | | C-horizont | |
| 20-6 | 557.231.124 | 3.613.209.382 | 220 | -10 | 230 | GATE | GN | 0 | 15 | 205 | 15 | Z | | GE | TOR | LI | BGE | 197 | 23 | | | | B/C-horizont | |
| | 557.231.124 | 3.613.209.382 | 220 | -10 | 230 | GATE | GN | 15 | 174 | 46 | 159 | Z | | GE | TBE | LI | BSE | | | | | | C-horizont | |
| | 557.231.124 | 3.613.209.382 | 220 | -10 | 230 | GATE | GN | 174 | 176 | 44 | 2 | Z | H | BR | | DO | BSE | | | | | gelaagd | paleosol | KOEB P 20 06 1378 |
| | 557.231.124 | 3.613.209.382 | 220 | -10 | 230 | GATE | GN | 176 | 230 | - | 54 | Z | | GR | TBR | LI | - | | | | | | C-horizont | |
| 20-7 | 557.270.483 | 3.613.301.358 | 208 | -7 | 215 | GATE | PL | 0 | 15 | 193 | 15 | Z | | GE | TOR | LI | BGE | 195 | 13 | | | | B/C-horizont | |
| | 557.270.483 | 3.613.301.358 | 208 | -7 | 215 | GATE | PL | 15 | 135 | 73 | 120 | Z | | GE | TBE | LI | BSE | | | | | | C-horizont | |
| | 557.270.483 | 3.613.301.358 | 208 | -7 | 215 | GATE | PL | 135 | 137 | 71 | 2 | Z | H | BR | TGR | DO | BSE | | | | | gelaagd | paleosol | KOEB P 20 07 0098 |
| | 557.270.483 | 3.613.301.358 | 208 | -7 | 215 | GATE | PL | 137 | 150 | 58 | 13 | Z | | GR | TBR | LI | BSE | | | | | | C-horizont | |
| | 557.270.483 | 3.613.301.358 | 208 | -7 | 215 | GATE | PL | 150 | 151 | 57 | 1 | Z | H | BR | TGR | DO | BSE | | | | | gelaagd | paleosol | KOEB P 20 07 0099 |
| | 557.270.483 | 3.613.301.358 | 208 | -7 | 215 | GATE | PL | 151 | 215 | - | 64 | Z | | GR | TBR | LI | - | | | | | | C-horizont | |
| 20-8 | 557.309.843 | 3.613.393.197 | 192 | -8 | 200 | GATE | GN | 0 | 154 | 38 | 154 | Z | | GE | TBE | LI | BSE | 165 | 27 | | | | C-horizont | |
| | 557.309.843 | 3.613.393.197 | 192 | -8 | 200 | GATE | GN | 154 | 156 | 36 | 2 | Z | H | BR | | DO | BSE | | | | | gelaagd | paleosol | KOEB P 20 08 1380 |
| | 557.309.843 | 3.613.393.197 | 192 | -8 | 200 | GATE | GN | 156 | 200 | - | 44 | Z | | GR | TBR | LI | - | | | | | | C-horizont | |
| 20-9 | 557.349.302 | 3.613.485.035 | 188 | -12 | 200 | GATE | GN | 0 | 140 | 48 | 140 | Z | | GE | TBE | LI | BSE | 160 | 28 | | | | C-horizont | |
| | 557.349.302 | 3.613.485.035 | 188 | -12 | 200 | GATE | GN | 140 | 141 | 47 | 1 | Z | H | BR | | DO | BSE | | | | | < 1cm | paleosol | KOEB P 20 09 1382 |
| | 557.349.302 | 3.613.485.035 | 188 | -12 | 200 | GATE | GN | 141 | 200 | - | 59 | Z | | GR | TBR | LI | - | | | | | | C-horizont | |
| 20-10 | 557.388.866 | 3.613.577.184 | 187 | -23 | 210 | GATE | GN | 0 | 150 | 37 | 150 | Z | | GE | TBE | LI | BSE | 150 | 37 | | | | C-horizont | |
| | 557.388.866 | 3.613.577.184 | 187 | -23 | 210 | GATE | GN | 150 | 151 | 36 | 1 | Z | H | BR | | DO | BSE | | | | | | paleosol | KOEB P 20 10 1386 |
| | 557.388.866 | 3.613.577.184 | 187 | -23 | 210 | GATE | GN | 151 | 200 | -13 | 49 | Z | | GR | TBR | LI | BSE | | | | | | C-horizont | |
| | 557.388.866 | 3.613.577.184 | 187 | -23 | 210 | GATE | GN | 200 | 204 | -17 | 4 | Z | H | BR | | DO | BSE | | | | | gelaagd | paleosol | KOEB P 20 10 1387 |
| | 557.388.866 | 3.613.577.184 | 187 | -23 | 210 | GATE | GN | 204 | 210 | - | 6 | Z | | GR | TBR | LI | - | | | | | moeilijke observatie | C-horizont | |
| 20-11 | 557.428.203 | 3.613.669.094 | 194 | -11 | 205 | GATE | PL / RDB | 0 | 15 | 179 | 15 | Z | | GE | TOR | LI | BGE | 180 | 14 | | | | B/C-horizont | |
| | 557.428.203 | 3.613.669.094 | 194 | -11 | 205 | GATE | PL / RDB | 15 | 174 | 20 | 159 | Z | | GE | TBE | LI | BSE | | | | | | C-horizont | |
| | 557.428.203 | 3.613.669.094 | 194 | -11 | 205 | GATE | PL / RDB | 174 | 175 | 19 | 1 | Z | H | BR | | DO | BSE | | | | | gelaagd | paleosol | KOEB P 20 11 0114 |
| | 557.428.203 | 3.613.669.094 | 194 | -11 | 205 | GATE | PL / RDB | 175 | 185 | 9 | 10 | Z | | GR | TBR | LI | BSE | | | | | | C-horizont | |
| | 557.428.203 | 3.613.669.094 | 194 | -11 | 205 | GATE | PL / RDB | 185 | 186 | 8 | 1 | Z | H | BR | | DO | BSE | | | | | gelaagd | paleosol | KOEB P 20 11 0114 |
| | 557.428.203 | 3.613.669.094 | 194 | -11 | 205 | GATE | PL / RDB | 186 | 205 | - | 19 | Z | | GR | TBR | LI | - | | | | | | C-horizont | |
| 20-12 | 557.467.656 | 3.613.760.863 | 186 | -4 | 190 | GATE | GN | 0 | 155 | 31 | 155 | Z | | GE | TBE | LI | BSE | 150 | 36 | | | | C-horizont | |
| | 557.467.656 | 3.613.760.863 | 186 | -4 | 190 | GATE | GN | 155 | 156 | 30 | 1 | Z | H | BR | | DO | BSE | | | | | | paleosol | KOEB P 20 12 1390 |
| | 557.467.656 | 3.613.760.863 | 186 | -4 | 190 | GATE | GN | 156 | 180 | 6 | 24 | Z | | GR | TBR | LI | BSE | | | | | | C-horizont | |
| | 557.467.656 | 3.613.760.863 | 186 | -4 | 190 | GATE | GN | 180 | 182 | 4 | 2 | Z | H | BR | | DO | BSE | | | | | gelaagd | paleosol | |
| | 557.467.656 | 3.613.760.863 | 186 | -4 | 190 | GATE | GN | 182 | 190 | - | 8 | Z | | GR | TBR | LI | - | | | | | moeilijke observatie | C-horizont | |

| Boornummer | X-coördinaat | Y-coördinaat | Maaiveldhoogte (cm NAP) | Einddiepte (cm NAP) | relatieve diepte boortraject (cm) | Organisatie beschrijver | Beschrijver lithologie | Bovendiepte laag (cm) | Onderdiepte laag (cm) | ondergrens laag (cm NAP) | dikte pakket (cm) | Grondsoort | Bijmengsel humus | Hoofdkleur | Tweede kleur | Intensiteit kleur | Laaggrens | GWS na einde boring (cm) | GWS (cm NAP) | Vlekken, kleuren en hoeveelheden | Plantenresten | opmerkingen laag | bodemhorizont | Fotonummer |
|---|---|---|---|---|---|---|---|---|---|---|---|---|---|---|---|---|---|---|---|---|---|---|---|---|
| 20-13 | 557.506.993 | 3.613.852.693 | 167 | -18 | 185 | GATE | PL / RDB | 0 | 15 | 152 | 15 | Z | | GE | TOR | LI | BGE | 165 | 2 | | | | B/C-horizont | |
| | 557.506.993 | 3.613.852.693 | 167 | -18 | 185 | GATE | PL / RDB | 15 | 160 | 7 | 145 | Z | | GE | TBE | LI | BSE | | | | | | C-horizont | |
| | 557.506.993 | 3.613.852.693 | 167 | -18 | 185 | GATE | PL / RDB | 160 | 164 | 3 | 4 | Z | H | BR | | DO | BSE | | | | | gelaagd | paleosol | KOEB P 20 13 0116 |
| | 557.506.993 | 3.613.852.693 | 167 | -18 | 185 | GATE | PL / RDB | 164 | 185 | - | 21 | Z | | GR | TBR | LI | - | | | | | | C-horizont | |
| 20-14 | 557.546.303 | 3.613.944.733 | 170 | -11 | 180 | GATE | GN | 0 | 164 | 6 | 164 | Z | | GE | TBE | LI | BSE | 140 | 30 | | | | C-horizont | |
| | 557.546.303 | 3.613.944.733 | 170 | -11 | 180 | GATE | GN | 164 | 165 | 5 | 1 | Z | H | BR | | DO | BSE | | | | | gelaagd | paleosol | KOEB P 20 14 1394 |
| | 557.546.303 | 3.613.944.733 | 170 | -11 | 180 | GATE | GN | 165 | 178 | - | 13 | Z | | GR | TBR | LI | - | | | | | moeilijke observatie | C-horizont | |
| 20-15 | 557.585.854 | 3.614.036.518 | 175 | -15 | 190 | GATE | PL / RDB | 0 | 40 | 135 | 40 | Z | | OR | | LI | BGE | 165 | 10 | | | | B-horizont | |
| | 557.585.854 | 3.614.036.518 | 175 | -15 | 190 | GATE | PL / RDB | 40 | 81 | 94 | 41 | Z | | GE | TOR | LI | BSE | | | | | | B/C-horizont | |
| | 557.585.854 | 3.614.036.518 | 175 | -15 | 190 | GATE | PL / RDB | 84 | 134 | 41 | 50 | Z | | GE | TBE | LI | | | | | | | C-horizont | |
| | 557.585.854 | 3.614.036.518 | 175 | -15 | 190 | GATE | PL / RDB | 134 | 135 | 40 | 1 | Z | H | BR | | DO | BSE | | | | | gelaagd | paleosol | KOEB P 20 15 0118 |
| | 557.585.854 | 3.614.036.518 | 175 | -15 | 190 | GATE | PL / RDB | 135 | 170 | 5 | 35 | Z | | GR | TBR | LI | - | | | | | | C-horizont | |
| | 557.585.854 | 3.614.036.518 | 175 | -15 | 190 | GATE | PL / RDB | 170 | 175 | 0 | 5 | Z | H | BR | | DO | BSE | | | | | gelaagd | paleosol | KOEB P 20 15 0119 |
| | 557.585.854 | 3.614.036.518 | 175 | -15 | 190 | GATE | PL / RDB | 175 | 190 | - | 15 | Z | | GR | TBR | LI | - | | | | | moeilijke observatie | C-horizont | |
| 20-16 | 557.625.369 | 3.614.128.651 | 172 | -13 | 185 | GATE | GN | 0 | 155 | 17 | 155 | Z | | GE | TBE | LI | BSE | 140 | 32 | | | | C-horizont | |
| | 557.625.369 | 3.614.128.651 | 172 | -13 | 185 | GATE | GN | 155 | 161 | 11 | 6 | Z | H | BR | | DO | BSE | | | | | gelaagd | paleosol | KOEB P 20 16 1399 |
| | 557.625.369 | 3.614.128.651 | 172 | -13 | 185 | GATE | GN | 161 | 185 | - | 24 | Z | | GR | TBR | LI | - | | | | | moeilijke observatie | C-horizont | |
| 20-17 | 557.660.112 | 3.614.222.473 | 176 | -24 | 200 | GATE | PL / RDB | 0 | 180 | -4 | 180 | Z | | GE | TBE | | BSE | 165 | 11 | | | | C-horizont | |
| | 557.660.112 | 3.614.222.473 | 176 | -24 | 200 | GATE | PL / RDB | 180 | 181 | -5 | 1 | Z | H | BR | | DO | BSE | | | | | | paleosol | |
| | 557.660.112 | 3.614.222.473 | 176 | -24 | 200 | GATE | PL / RDB | 181 | 190 | -14 | 9 | Z | | GR | TBE | | BSE | | | | | | C-horizont | |
| | 557.660.112 | 3.614.222.473 | 176 | -24 | 200 | GATE | PL / RDB | 190 | 193 | -17 | 3 | Z | H | BR | | DO | BSE | | | | | | paleosol | |
| | 557.660.112 | 3.614.222.473 | 176 | -24 | 200 | GATE | PL / RDB | 193 | 200 | - | 7 | Z | | GR | TBE | | BSE | | | | | moeilijke observatie | C-horizont | |
| 20-18 | 557.699.433 | 3.614.314.482 | 182 | -28 | 210 | GATE | GN | 0 | 15 | 167 | 15 | Z | | GE | TOR | LI | BGE | 175 | 7 | | | | B/C-horizont | |
| | 557.699.433 | 3.614.314.482 | 182 | -28 | 210 | GATE | GN | 15 | 115 | 67 | 100 | Z | | BR | TGE | | BSE | | | | | | C-horizont | |
| | 557.699.433 | 3.614.314.482 | 182 | -28 | 210 | GATE | GN | 115 | 117 | 65 | 2 | Z | H | BR | | DO | BSE | | | | | | paleosol | KOEB P 20 18 1401 |
| | 557.699.433 | 3.614.314.482 | 182 | -28 | 210 | GATE | GN | 117 | 130 | 52 | 13 | Z | | BR | TBE | | BSE | | | | | bruin gevlekt | C-horizont | KOEB P 20 18 1402 |
| | 557.699.433 | 3.614.314.482 | 182 | -28 | 210 | GATE | GN | 130 | 132 | 50 | 2 | Z | H | BR | | DO | BSE | | | | | gelaagd | paleosol | KOEB P 20 18 1402 |
| | 557.699.433 | 3.614.314.482 | 182 | -28 | 210 | GATE | GN | 132 | 135 | 47 | 3 | Z | | BR | TBE | | BSE | | | | | | C-horizont | KOEB P 20 18 1403 |
| | 557.699.433 | 3.614.314.482 | 182 | -28 | 210 | GATE | GN | 135 | 136 | 46 | 1 | Z | | BR | | DO | BSE | | | | | gelaagd | paleosol | KOEB P 20 18 1403 |
| | 557.699.433 | 3.614.314.482 | 182 | -28 | 210 | GATE | GN | 136 | 150 | 32 | 14 | Z | | BR | TBE | | BSE | | | | | | C-horizont | |
| | 557.699.433 | 3.614.314.482 | 182 | -28 | 210 | GATE | GN | 150 | 151 | 31 | 1 | Z | H | BR | | DO | BSE | | | | | gelaagd | paleosol | KOEB P 20 18 1404 |
| | 557.699.433 | 3.614.314.482 | 182 | -28 | 210 | GATE | GN | 151 | 210 | - | 59 | Z | | BR | TBE | | - | | | | | moeilijke observatie | C-horizont | |
| 20-19 | 557.743.394 | 3.614.404.368 | 186 | -29 | 215 | GATE | PL / RDB | 0 | 30 | 156 | 30 | Z | | OR | | LI | BGE | 180 | 6 | | | | B-horizont | KOEB 20 19 |
| | 557.743.394 | 3.614.404.368 | 186 | -29 | 215 | GATE | PL / RDB | 30 | 45 | 141 | 15 | Z | | GE | TOR | LI | BGE | | | | | | B/C-horizont | |
| | 557.743.394 | 3.614.404.368 | 186 | -29 | 215 | GATE | PL / RDB | 45 | 110 | 76 | 65 | Z | | BR | TGE | LI | BSE | | | | | | C-horizont | |
| | 557.743.394 | 3.614.404.368 | 186 | -29 | 215 | GATE | PL / RDB | 110 | 111 | 75 | 1 | Z | H | BR | | DO | BSE | | | | | gelaagd | paleosol | KOEB P 20 19 0122 |
| | 557.743.394 | 3.614.404.368 | 186 | -29 | 215 | GATE | PL / RDB | 111 | 127 | 59 | 16 | Z | | BR | TBE | LI | BSE | | | | | | C-horizont | |
| | 557.743.394 | 3.614.404.368 | 186 | -29 | 215 | GATE | PL / RDB | 127 | 131 | 55 | 4 | Z | H | BR | TGR | DO | BSE | | | | | gelaagd | paleosol | KOEB P 20 19 0123 |
| | 557.743.394 | 3.614.404.368 | 186 | -29 | 215 | GATE | PL / RDB | 131 | 135 | 51 | 4 | Z | | BR | TBE | LI | BSE | | | | | bruin gevlekt | C-horizont | |
| | 557.743.394 | 3.614.404.368 | 186 | -29 | 215 | GATE | PL / RDB | 135 | 139 | 47 | 4 | Z | H | BR | TGR | DO | BSE | | | | | gelaagd | paleosol | KOEB P 20 19 0124 |
| | 557.743.394 | 3.614.404.368 | 186 | -29 | 215 | GATE | PL / RDB | 139 | 170 | 16 | 31 | Z | | BR | TGR | LI | BSE | | | | | bruin gevlekt | C-horizont | |
| | 557.743.394 | 3.614.404.368 | 186 | -29 | 215 | GATE | PL / RDB | 170 | 176 | 10 | 6 | Z | H | BR | TGR | DO | BSE | | | | | gelaagd | paleosol | KOEB P 20 19 0125 |
| | 557.743.394 | 3.614.404.368 | 186 | -29 | 215 | GATE | PL / RDB | 176 | 190 | -4 | 14 | Z | | BR | TBE | LI | BSE | | | | | | C-horizont | |
| | 557.743.394 | 3.614.404.368 | 186 | -29 | 215 | GATE | PL / RDB | 190 | 191 | -5 | 1 | Z | H | BR | TGR | DO | BSE | | | | | gelaagd | paleosol | KOEB P 20 19 0126 |
| | 557.743.394 | 3.614.404.368 | 186 | -29 | 215 | GATE | PL / RDB | 191 | 215 | - | 24 | Z | | GR | TBE | LI | - | | | | | moeilijke observatie | C-horizont | |
| 20-20 | 557.782.886 | 3.614.496.287 | 230 | 0 | 230 | GATE | GN | 0 | 35 | 195 | 35 | Z | | BR | TGR | DO | BSE | 215 | 15 | | | boring vanaf maaiveld | ploeglaag | |
| | 557.782.886 | 3.614.496.287 | 230 | 0 | 230 | GATE | GN | 35 | 40 | 190 | 5 | Z | | GR | TBR | | BSE | | | | | | verstoord | |
| | 557.782.886 | 3.614.496.287 | 230 | 0 | 230 | GATE | GN | 40 | 55 | 175 | 15 | Z | | GE | TOR | LI | BGE | | | | | | B/C-horizont | |

| Boornummer | X-coördinaat | Y-coördinaat | Maaiveldhoogte (cm NAP) | Einddiepte (cm NAP) | relatieve diepte boortraject (cm) | Organisatie beschrijver | Beschrijver lithologie | Bovendiepte laag (cm) | Onderdiepte laag (cm) | ondergrens laag (cm NAP) | dikte pakket (cm) | Grondsoort | Bijmengsel humus | Hoofdkleur | Tweede kleur | Intensiteit kleur | Laaggrens | GWS na einde boring (cm) | GWS (cm NAP) | Vlekken, kleuren en hoeveelheden | Plantenresten | opmerkingen laag | bodemhorizont | Fotonummer |
|---|---|---|---|---|---|---|---|---|---|---|---|---|---|---|---|---|---|---|---|---|---|---|---|---|
| | 557.782.886 | 3.614.496.287 | 230 | 0 | 230 | GATE | GN | 55 | 145 | 85 | 90 | Z | | GE | TBE | LI | BSE | | | | | | C-horizont | |
| | 557.782.886 | 3.614.496.287 | 230 | 0 | 230 | GATE | GN | 145 | 146 | 84 | 1 | Z | H | BR | | DO | BSE | | | | | | paleosol | KOEB P 20 20 1406 en 1407 |
| | 557.782.886 | 3.614.496.287 | 230 | 0 | 230 | GATE | GN | 146 | 160 | 70 | 14 | Z | | GE | TBE | LI | BSE | | | | | | C-horizont | |
| | 557.782.886 | 3.614.496.287 | 230 | 0 | 230 | GATE | GN | 160 | 161 | 69 | 1 | Z | H | BR | | DO | BSE | | | | | gelaagd | paleosol | KOEB P 20 20 1408 |
| | 557.782.886 | 3.614.496.287 | 230 | 0 | 230 | GATE | GN | 161 | 175 | 55 | 14 | Z | | GE | TBR | LI | BSE | | | | | bruin gevlekt | C-horizont | |
| | 557.782.886 | 3.614.496.287 | 230 | 0 | 230 | GATE | GN | 175 | 176 | 54 | 1 | Z | H | BR | | DO | BSE | | | | | | paleosol | KOEB P 20 20 1409 |
| | 557.782.886 | 3.614.496.287 | 230 | 0 | 230 | GATE | GN | 176 | 230 | - | 54 | Z | | GE | TBE | LI | - | | | | | bruin gevlekt | C-horizont | KOEB P 20 20 1410 |
| 21-1 | 556.961.837 | 3.612.835.227 | 258 | 38 | 220 | GATE | PL / RDB | 0 | 25 | 233 | 25 | Z | | OR | | LI | BGE | 190 | 68 | | | | B-horizont | |
| | 556.961.837 | 3.612.835.227 | 258 | 38 | 220 | GATE | PL / RDB | 25 | 40 | 218 | 15 | Z | | GE | TOR | LI | BGE | | | | | | B/C-horizont | |
| | 556.961.837 | 3.612.835.227 | 258 | 38 | 220 | GATE | PL / RDB | 40 | 179 | 79 | 139 | Z | | GE | TBE | LI | BSE | | | | | | C-horizont | |
| | 556.961.837 | 3.612.835.227 | 258 | 38 | 220 | GATE | PL / RDB | 179 | 180 | 78 | 1 | Z | H | BR | | DO | BSE | | | | | | paleosol | |
| | 556.961.837 | 3.612.835.227 | 258 | 38 | 220 | GATE | PL / RDB | 180 | 220 | - | 40 | Z | | GR | TBE | LI | - | | | | | | C-horizont | |
| 21-2 | 557.001.325 | 3.612.927.282 | 249 | 19 | 230 | GATE | GN | 0 | 15 | 234 | 15 | Z | | GE | TOR | LI | BGE | 217 | 32 | | | | B/C-horizont | |
| | 557.001.325 | 3.612.927.282 | 249 | 19 | 230 | GATE | GN | 15 | 183 | 66 | 168 | Z | | GE | TBE | LI | BSE | | | | | | C-horizont | |
| | 557.001.325 | 3.612.927.282 | 249 | 19 | 230 | GATE | GN | 183 | 184 | 65 | 1 | Z | H | BR | | DO | BSE | | | | | gelaagd | paleosol | KOEB P 21 02 1412 |
| | 557.001.325 | 3.612.927.282 | 249 | 19 | 230 | GATE | GN | 184 | 198 | 51 | 14 | Z | | GR | TBE | LI | BSE | | | | | | C-horizont | |
| | 557.001.325 | 3.612.927.282 | 249 | 19 | 230 | GATE | GN | 198 | 200 | 49 | 2 | Z | H | BR | | DO | BSE | | | | | gelaagd | paleosol | KOEB P 21 02 1413 |
| | 557.001.325 | 3.612.927.282 | 249 | 19 | 230 | GATE | GN | 200 | 230 | - | 30 | Z | | GR | TBE | LI | - | | | | | | C-horizont | |
| 21-3 | 557.040.653 | 3.613.019.208 | 248 | 18 | 230 | GATE | PL / RDB | 0 | 15 | 233 | 15 | Z | | GE | TOR | LI | BGE | 200 | 48 | | | | B/C-horizont | |
| | 557.040.653 | 3.613.019.208 | 248 | 18 | 230 | GATE | PL / RDB | 15 | 168 | 80 | 153 | Z | | GE | TBE | LI | BSE | | | | | | C-horizont | |
| | 557.040.653 | 3.613.019.208 | 248 | 18 | 230 | GATE | PL / RDB | 168 | 169 | 79 | 1 | Z | H | BR | | DO | BSE | | | | | gelaagd | paleosol | KOEB P 21 03 0129 |
| | 557.040.653 | 3.613.019.208 | 248 | 18 | 230 | GATE | PL / RDB | 169 | 195 | 53 | 26 | Z | | GR | TBE | LI | BSE | | | | | | C-horizont | |
| | 557.040.653 | 3.613.019.208 | 248 | 18 | 230 | GATE | PL / RDB | 195 | 197 | 51 | 2 | Z | H | BR | TGR | DO | BSE | | | | | gelaagd | paleosol | KOEB P 21 03 0130 |
| | 557.040.653 | 3.613.019.208 | 248 | 18 | 230 | GATE | PL / RDB | 197 | 230 | - | 33 | Z | | GR | TBE | LI | - | | | | | | C-horizont | |
| 21-4 | 557.079.951 | 3.613.110.962 | 248 | 18 | 230 | GATE | GN | 0 | 15 | 233 | 15 | Z | | GE | TOR | LI | BGE | 215 | 33 | | | | B/C-horizont | |
| | 557.079.951 | 3.613.110.962 | 248 | 18 | 230 | GATE | GN | 15 | 140 | 108 | 125 | Z | | GE | TBE | LI | BSE | | | | | | C-horizont | |
| | 557.079.951 | 3.613.110.962 | 248 | 18 | 230 | GATE | GN | 140 | 142 | 106 | 2 | Z | H | BR | | DO | BSE | | | | | gelaagd | paleosol | KOEB P 21 04 1417 |
| | 557.079.951 | 3.613.110.962 | 248 | 18 | 230 | GATE | GN | 142 | 205 | 43 | 63 | Z | | GR | TBE | LI | BSE | | | | | | C-horizont | |
| | 557.079.951 | 3.613.110.962 | 248 | 18 | 230 | GATE | GN | 205 | 206 | 42 | 1 | Z | H | BR | | DO | BSE | | | | | gelaagd | paleosol | KOEB P 21 04 1418 |
| | 557.079.951 | 3.613.110.962 | 248 | 18 | 230 | GATE | GN | 206 | 230 | - | 24 | Z | | GR | TBE | LI | - | | | | | | C-horizont | |
| 21-5 | 557.119.460 | 3.613.203.066 | 241 | 11 | 230 | GATE | PL / RDB | 0 | 15 | 226 | 15 | Z | | GE | TOR | LI | BGE | 200 | 41 | | | | B/C-horizont | |
| | 557.119.460 | 3.613.203.066 | 241 | 11 | 230 | GATE | PL / RDB | 15 | 215 | 26 | 200 | Z | | GE | TBE | LI | BSE | | | | | | C-horizont | |
| | 557.119.460 | 3.613.203.066 | 241 | 11 | 230 | GATE | PL / RDB | 215 | 216 | 25 | 1 | Z | H | BR | | DO | BSE | | | | | | paleosol | KOEB P 21 05 0132 |
| | 557.119.460 | 3.613.203.066 | 241 | 11 | 230 | GATE | PL / RDB | 216 | 220 | - | 4 | Z | | GR | TBE | LI | BSE | | | | | | C-horizont | |
| 21-6 | 557.158.853 | 3.613.294.974 | 225 | -5 | 230 | GATE | GN | 0 | 10 | 215 | 10 | Z | | GE | TOR | LI | BGE | 190 | 35 | | | | B/C-horizont | |
| | 557.158.853 | 3.613.294.974 | 225 | -5 | 230 | GATE | GN | 10 | 183 | 42 | 173 | Z | | GE | TBE | LI | BSE | | | | | gelaagd | C-horizont | |
| | 557.158.853 | 3.613.294.974 | 225 | -5 | 230 | GATE | GN | 183 | 190 | 35 | 7 | Z | H | BR | | DO | BSE | | | | | | paleosol | KOEB P 21 06 1421 |
| | 557.158.853 | 3.613.294.974 | 225 | -5 | 230 | GATE | GN | 190 | 230 | - | 40 | Z | | GR | TBE | LI | - | | | | | | C-horizont | |
| 21-7 | 557.198.332 | 3.613.386.921 | 214 | -1 | 215 | GATE | PL / RDB | 0 | 185 | 29 | 185 | Z | | GE | TBE | LI | BSE | 185 | 29 | | | | C-horizont | |
| | 557.198.332 | 3.613.386.921 | 214 | -1 | 215 | GATE | PL / RDB | 185 | 186 | 28 | 1 | Z | H | BR | | DO | BSE | | | | | gelaagd | paleosol | KOEB P 21 07 0134 |
| | 557.198.332 | 3.613.386.921 | 214 | -1 | 215 | GATE | PL / RDB | 186 | 215 | - | 29 | Z | | GR | TBE | LI | - | | | | | | C-horizont | |
| 21-8 | 557.237.859 | 3.613.478.582 | 206 | -4 | 210 | GATE | GN | 0 | 170 | 36 | 170 | Z | | GE | TBE | LI | BSE | | | | | gelaagd | C-horizont | |
| | 557.237.859 | 3.613.478.582 | 206 | -4 | 210 | GATE | GN | 170 | 172 | 34 | 2 | Z | H | BR | | DO | BSE | | | | | moeilijke observatie | paleosol | KOEB P 21 08 1423 |
| | 557.237.859 | 3.613.478.582 | 206 | -4 | 210 | GATE | GN | 172 | 210 | - | 38 | Z | | GR | TBE | LI | - | | | | | | C-horizont | |
| 21-9 | 557.277.211 | 3.613.570.575 | 200 | -15 | 215 | GATE | PL / RDB | 0 | 140 | 60 | 140 | Z | | GE | TBE | LI | BSE | 180 | 20 | | | | C-horizont | |
| | 557.277.211 | 3.613.570.575 | 200 | -15 | 215 | GATE | PL / RDB | 140 | 141 | 59 | 1 | Z | H | BR | | DO | BSE | | | | | gelaagd | paleosol | KOEB P 21 09 0136 |
| | 557.277.211 | 3.613.570.575 | 200 | -15 | 215 | GATE | PL / RDB | 141 | 172 | 28 | 31 | Z | | GR | TBE | LI | BSE | | | | | | C-horizont | |
| | 557.277.211 | 3.613.570.575 | 200 | -15 | 215 | GATE | PL / RDB | 172 | 174 | 26 | 2 | Z | H | BR | | DO | BSE | | | | | gelaagd | paleosol | KOEB P 21 09 0137 |

| Boornummer | X-coördinaat | Y-coördinaat | Maaiveldhoogte (cm NAP) | Einddiepte (cm NAP) | relatieve diepte boortraject (cm) | Organisatie beschrijver | Beschrijver lithologie | Bovendiepte laag (cm) | Onderdiepte laag (cm) | ondergrens laag (cm NAP) | dikte pakket (cm) | Grondsoort | Bijmengsel humus | Hoofdkleur | Tweede kleur | Intensiteit kleur | Laaggrens | GWS na einde boring (cm) | GWS (cm NAP) | Vlekken, kleuren en hoeveelheden | Plantenresten | opmerkingen laag | bodemhorizont | Fotonummer |
|---|---|---|---|---|---|---|---|---|---|---|---|---|---|---|---|---|---|---|---|---|---|---|---|---|
| | 557.277.211 | 3.613.570.575 | 200 | -15 | 215 | GATE | PL / RDB | 174 | 215 | - | 41 | Z | | GR | TBE | LI | - | | | | | | C-horizont | |
| 21-10 | 557.316.635 | 3.613.662.561 | 198 | -12 | 210 | GATE | GN | 0 | 170 | 28 | 170 | Z | | GE | TBE | LI | BSE | 167 | 31 | | | | C-horizont | |
| | 557.316.635 | 3.613.662.561 | 198 | -12 | 210 | GATE | GN | 170 | 172 | 26 | 2 | Z | H | BR | | DO | BSE | | | | | gelaagd | paleosol | |
| | 557.316.635 | 3.613.662.561 | 198 | -12 | 210 | GATE | GN | 172 | 210 | - | 38 | Z | | GR | TBE | LI | - | | | | | moeilijke observatie | C-horizont | |
| 21-11 | 557.351.371 | 3.613.756.323 | 190 | -40 | 230 | GATE | PL / RDB | 0 | 132 | 58 | 132 | Z | | GE | TBE | LI | BSE | 165 | 25 | | | | C-horizont | |
| | 557.351.371 | 3.613.756.323 | 190 | -40 | 230 | GATE | PL / RDB | 132 | 133 | 57 | 1 | Z | H | BR | | DO | BSE | | | | | gelaagd | paleosol | KOEB P 21 11 0139 |
| | 557.351.371 | 3.613.756.323 | 190 | -40 | 230 | GATE | PL / RDB | 133 | 185 | 5 | 52 | Z | | GR | TBE | LI | BSE | | | | | | C-horizont | |
| | 557.351.371 | 3.613.756.323 | 190 | -40 | 230 | GATE | PL / RDB | 185 | 195 | -5 | 10 | Z | H | BR | TGR | DO | BSE | | | | | gelaagd | paleosol | KOEB P 21 11 0140 |
| | 557.351.371 | 3.613.756.323 | 190 | -40 | 230 | GATE | PL / RDB | 195 | 210 | -20 | 15 | Z | | GR | TBE | LI | BSE | | | | | | C-horizont | |
| | 557.351.371 | 3.613.756.323 | 190 | -40 | 230 | GATE | PL / RDB | 210 | 230 | - | 20 | Z | H | BR | | DO | - | | | | | gelaagd | paleosol | KOEB P 21 11 0141 |
| 21-12 | 557.390.771 | 3.613.848.124 | 183 | -22 | 205 | GATE | GN | 0 | 135 | 48 | 135 | Z | | GE | TBE | LI | BSE | 160 | 23 | | | | C-horizont | |
| | 557.390.771 | 3.613.848.124 | 183 | -22 | 205 | GATE | GN | 135 | 136 | 47 | 1 | Z | H | BR | | DO | BSE | | | | | | paleosol | KOEB P 21 12 1427 |
| | 557.390.771 | 3.613.848.124 | 183 | -22 | 205 | GATE | GN | 136 | 158 | 25 | 22 | Z | | GR | TBE | LI | BSE | | | | | bruin gevlekt | C-horizont | |
| | 557.390.771 | 3.613.848.124 | 183 | -22 | 205 | GATE | GN | 158 | 159 | 24 | 1 | Z | H | BR | | DO | BSE | | | | | gelaagd | paleosol | KOEB P 21 12 1428 |
| | 557.390.771 | 3.613.848.124 | 183 | -22 | 205 | GATE | GN | 159 | 205 | - | 46 | Z | | GR | TBE | LI | - | | | | | moeilijke observatie | C-horizont | |
| 21-13 | 557.430.188 | 3.613.940.138 | 172 | -28 | 200 | GATE | PL / RDB | 0 | 60 | 112 | 60 | Z | | GE | TOR | LI | BGE | 180 | -8 | | | | B/C-horizont | |
| | 557.430.188 | 3.613.940.138 | 172 | -28 | 200 | GATE | PL / RDB | 60 | 167 | 5 | 107 | Z | | GE | TBE | LI | BSE | | | | | | C-horizont | |
| | 557.430.188 | 3.613.940.138 | 172 | -28 | 200 | GATE | PL / RDB | 167 | 171 | 1 | 4 | Z | H | BR | | DO | BSE | | | | | gelaagd | paleosol | KOEB P 21 13 0143 |
| | 557.430.188 | 3.613.940.138 | 172 | -28 | 200 | GATE | PL / RDB | 171 | 200 | - | 29 | Z | | GR | TBE | LI | - | | | | | moeilijke observatie | C-horizont | |
| 21-14 | 557.469.657 | 3.614.032.166 | 166 | -14 | 180 | GATE | GN | 0 | 133 | 33 | 133 | Z | | GE | TBE | LI | BSE | 130 | 36 | | | | C-horizont | |
| | 557.469.657 | 3.614.032.166 | 166 | -14 | 180 | GATE | GN | 133 | 135 | 31 | 2 | Z | H | BR | | DO | BSE | | | | | gelaagd | paleosol | KOEB P 21 14 1431 en 1432 |
| | 557.469.657 | 3.614.032.166 | 166 | -14 | 180 | GATE | GN | 135 | 180 | - | 45 | Z | | GR | TBE | LI | - | | | | | moeilijke observatie | C-horizont | |
| 21-15 | 557.508.974 | 3.614.123.895 | 167 | -33 | 200 | GATE | PL / RDB | 0 | 135 | 32 | 135 | Z | | GE | TBE | LI | BSE | 160 | 7 | | | | C-horizont | |
| | 557.508.974 | 3.614.123.895 | 167 | -33 | 200 | GATE | PL / RDB | 135 | 140 | 27 | 5 | Z | H | BR | | DO | BSE | | | | | gelaagd | paleosol | KOEB P 21 15 0145 |
| | 557.508.974 | 3.614.123.895 | 167 | -33 | 200 | GATE | PL / RDB | 140 | 195 | -28 | 55 | Z | | GR | TBE | LI | BSE | | | | | | C-horizont | |
| | 557.508.974 | 3.614.123.895 | 167 | -33 | 200 | GATE | PL / RDB | 195 | 200 | - | 5 | Z | H | BR | | DO | - | | | | | moeilijke observatie | paleosol | |
| 21-16 | 557.548.465 | 3.614.215.789 | 170 | -20 | 190 | GATE | GN | 0 | 139 | 31 | 139 | Z | | GE | TBR | LI | BSE | 138 | 32 | | | | C-horizont | |
| | 557.548.465 | 3.614.215.789 | 170 | -20 | 190 | GATE | GN | 139 | 143 | 27 | 4 | Z | H | BR | | DO | BSE | | | | | gelaagd | paleosol | KOEB P 21 16 1437 en 1438 |
| | 557.548.465 | 3.614.215.789 | 170 | -20 | 190 | GATE | GN | 143 | 190 | - | 47 | Z | | GR | TBR | LI | - | | | | | moeilijke observatie | C-horizont | |
| 21-17 | 557.587.800 | 3.614.307.844 | 181 | -39 | 220 | GATE | PL / RDB | 0 | 100 | 81 | 100 | Z | | GE | TBE | LI | BSE | 185 | -4 | | | | C-horizont | |
| | 557.587.800 | 3.614.307.844 | 181 | -39 | 220 | GATE | PL / RDB | 100 | 105 | 76 | 5 | Z | H | BR | | DO | BSE | | | | | gelaagd | paleosol | KOEB P 21 17 0147 |
| | 557.587.800 | 3.614.307.844 | 181 | -39 | 220 | GATE | PL / RDB | 105 | 132 | 49 | 27 | Z | | GR | TBR | LI | BSE | | | | | | C-horizont | |
| | 557.587.800 | 3.614.307.844 | 181 | -39 | 220 | GATE | PL / RDB | 132 | 133 | 48 | 1 | Z | H | BR | | DO | BSE | | | | | gelaagd | paleosol | KOEB P 21 17 0148 |
| | 557.587.800 | 3.614.307.844 | 181 | -39 | 220 | GATE | PL / RDB | 133 | 200 | -19 | 67 | Z | | GR | TBR | LI | BSE | | | | | | C-horizont | |
| | 557.587.800 | 3.614.307.844 | 181 | -39 | 220 | GATE | PL / RDB | 200 | 203 | -22 | 3 | Z | H | BR | | DO | BSE | | | | | gelaagd | paleosol | KOEB P 21 17 0149 |
| | 557.587.800 | 3.614.307.844 | 181 | -39 | 220 | GATE | PL / RDB | 203 | 210 | -29 | 7 | Z | | GR | TBE | LI | BSE | | | | | | C-horizont | |
| | 557.587.800 | 3.614.307.844 | 181 | -39 | 220 | GATE | PL / RDB | 210 | 220 | - | 10 | Z | H | BR | TGR | DO | BSE | | | | | gelaagd + houtskool | paleosol | KOEB P 21 17 0150 |
| 21-18 | 557.627.250 | 3.614.399.665 | 181 | -29 | 210 | GATE | GN | 0 | 80 | 101 | 80 | Z | | GR | TBE | LI | - | 175 | 6 | | | | C-horizont | |
| | 557.627.250 | 3.614.399.665 | 181 | -29 | 210 | GATE | GN | 80 | 88 | 93 | 8 | Z | H | BR | | DO | BSE | | | | | gelaagd | paleosol | KOEB P 21 18 1441 |
| | 557.627.250 | 3.614.399.665 | 181 | -29 | 210 | GATE | GN | 88 | 108 | 73 | 20 | Z | | GR | TBR | LI | BSE | | | | | | C-horizont | |
| | 557.627.250 | 3.614.399.665 | 181 | -29 | 210 | GATE | GN | 108 | 113 | 68 | 5 | Z | H | BR | | DO | BSE | | | | | gelaagd | paleosol | KOEB P 21 18 1442 |
| | 557.627.250 | 3.614.399.665 | 181 | -29 | 210 | GATE | GN | 113 | 128 | 53 | 15 | Z | | GR | TBE | LI | BSE | | | | | | C-horizont | |
| | 557.627.250 | 3.614.399.665 | 181 | -29 | 210 | GATE | GN | 128 | 130 | 51 | 2 | Z | H | BR | | DO | BSE | | | | | gelaagd | paleosol | KOEB P 21 18 1443 |
| | 557.627.250 | 3.614.399.665 | 181 | -29 | 210 | GATE | GN | 130 | 155 | 26 | 25 | Z | | GR | TBE | LI | BSE | | | | | | C-horizont | |
| | 557.627.250 | 3.614.399.665 | 181 | -29 | 210 | GATE | GN | 155 | 157 | 24 | 2 | Z | H | BR | | DO | BSE | | | | | gelaagd | paleosol | KOEB P 21 18 1444 |
| | 557.627.250 | 3.614.399.665 | 181 | -29 | 210 | GATE | GN | 157 | 170 | 11 | 13 | Z | | GR | TBE | LI | BSE | | | | | | C-horizont | |
| | 557.627.250 | 3.614.399.665 | 181 | -29 | 210 | GATE | GN | 170 | 178 | 3 | 8 | Z | H | BR | | DO | BSE | | | | | gelaagd | paleosol | KOEB P 21 18 1445 |
| | 557.627.250 | 3.614.399.665 | 181 | -29 | 210 | GATE | GN | 178 | 210 | - | 32 | Z | | GR | TBE | LI | - | | | | | moeilijke observatie | C-horizont | |

| Boornummer | X-coördinaat | Y-coördinaat | Maaiveldhoogte (cm NAP) | Einddiepte (cm NAP) | relatieve diepte boortraject (cm) | Organisatie beschrijver | Beschrijver lithologie | Bovendiepte laag (cm) | Onderdiepte laag (cm) | ondergrens laag (cm NAP) | dikte pakket (cm) | Grondsoort | Bijmengsel humus | Hoofdkleur | Tweede kleur | Intensiteit kleur | Laaggrens | GWS na einde boring (cm) | GWS (cm NAP) | Vlekken, kleuren en hoeveelheden | Plantenresten | opmerkingen laag | bodemhorizont | Fotonummer |
|---|---|---|---|---|---|---|---|---|---|---|---|---|---|---|---|---|---|---|---|---|---|---|---|---|
| 21-19 | 557.666.578 | 3.614.491.758 | 182 | -28 | 210 | GATE | PL / RDB | 0 | 44 | 138 | 44 | Z | | GR | | DO | BSE | 180 | 2 | | | | bodemspoor | |
| | 557.666.578 | 3.614.491.758 | 182 | -28 | 210 | GATE | PL / RDB | 44 | 54 | 128 | 10 | Z | | GE | TOR | LI | BGE | | | | | | B/C-horizont | |
| | 557.666.578 | 3.614.491.758 | 182 | -28 | 210 | GATE | PL / RDB | 54 | 110 | 72 | 56 | Z | | GE | TBE | LI | BSE | | | | | | C-horizont | |
| | 557.666.578 | 3.614.491.758 | 182 | -28 | 210 | GATE | PL / RDB | 110 | 111 | 71 | 1 | Z | H | BR | | DO | BSE | | | | | gelaagd | paleosol | KOEB P 21 19 0152 |
| | 557.666.578 | 3.614.491.758 | 182 | -28 | 210 | GATE | PL / RDB | 111 | 121 | 61 | 10 | Z | | GR | TBR | LI | BSE | | | | | | C-horizont | |
| | 557.666.578 | 3.614.491.758 | 182 | -28 | 210 | GATE | PL / RDB | 121 | 133 | 49 | 12 | Z | H | BR | TGR | DO | BSE | | | | | gelaagd | paleosol | KOEB P 21 19 0153 en 0154 |
| | 557.666.578 | 3.614.491.758 | 182 | -28 | 210 | GATE | PL / RDB | 133 | 215 | - | 82 | Z | | GR | TBR | LI | - | | | | | moeilijke observatie | C-horizont | |
| 22-1 | 556.929.103 | 3.613.012.592 | 241 | 16 | 225 | GATE | PL / RDB | 0 | 49 | 192 | 49 | Z | | GE | TOR | LI | BGE | 190 | 51 | | | | B/C-horizont | |
| | 556.929.103 | 3.613.012.592 | 241 | 16 | 225 | GATE | PL / RDB | 49 | 179 | 62 | 130 | Z | | GE | TBE | LI | BSE | | | | | | C-horizont | |
| | 556.929.103 | 3.613.012.592 | 241 | 16 | 225 | GATE | PL / RDB | 179 | 184 | 57 | 5 | Z | H | BR | | DO | BSE | | | | | gelaagd | paleosol | KOEB P 22 01 0156 |
| | 556.929.103 | 3.613.012.592 | 241 | 16 | 225 | GATE | PL / RDB | 184 | 225 | - | 41 | Z | | GR | TBE | LI | - | | | | | | C-horizont | |
| 22-2 | 556.968.587 | 3.613.104.606 | 233 | 3 | 230 | GATE | GN | 0 | 15 | 218 | 15 | Z | | GE | TOR | LI | BGE | 215 | 18 | | | | B/C-horizont | |
| | 556.968.587 | 3.613.104.606 | 233 | 3 | 230 | GATE | GN | 15 | 150 | 83 | 135 | Z | | GE | TBE | LI | BSE | | | | | | C-horizont | |
| | 556.968.587 | 3.613.104.606 | 233 | 3 | 230 | GATE | GN | 150 | 151 | 82 | 1 | Z | H | BR | | DO | BSE | | | | | gelaagd | paleosol | KOEB P 22 02 1447 |
| | 556.968.587 | 3.613.104.606 | 233 | 3 | 230 | GATE | GN | 151 | 190 | 43 | 39 | Z | | GR | TBE | LI | BSE | | | | | | C-horizont | |
| | 556.968.587 | 3.613.104.606 | 233 | 3 | 230 | GATE | GN | 190 | 193 | 40 | 3 | Z | H | BR | TGR | DO | BSE | | | | | gelaagd | paleosol | KOEB P 22 02 1448 |
| | 556.968.587 | 3.613.104.606 | 233 | 3 | 230 | GATE | GN | 193 | 230 | - | 37 | Z | | GR | TBE | LI | - | | | | | | C-horizont | |
| 22-3 | 557.007.853 | 3.613.196.556 | 222 | 2 | 220 | GATE | PL / RDB | 0 | 20 | 202 | 20 | Z | | GE | TOR | LI | BGE | 200 | 22 | | | | B/C-horizont | |
| | 557.007.853 | 3.613.196.556 | 222 | 2 | 220 | GATE | PL / RDB | 20 | 163 | 59 | 143 | Z | | GE | TBE | LI | BSE | | | | | | C-horizont | |
| | 557.007.853 | 3.613.196.556 | 222 | 2 | 220 | GATE | PL / RDB | 163 | 167 | 55 | 4 | Z | H | BR | TGR | DO | BSE | | | | | gelaagd | paleosol | KOEB P 22 03 0158 |
| | 557.007.853 | 3.613.196.556 | 222 | 2 | 220 | GATE | PL / RDB | 167 | 220 | - | 53 | Z | | GR | TBE | LI | - | | | | | | C-horizont | |
| 22-4 | 557.047.309 | 3.613.288.228 | 203 | -27 | 230 | GATE | GN | 0 | 230 | -27 | 230 | Z | | GE | TBE | LI | - | 170 | 33 | | | vanaf ca. 170: moeilijke observatie | C-horizont | |
| 22-5 | 557.086.689 | 3.613.380.092 | 189 | -11 | 200 | GATE | PL / RDB | 0 | 20 | 169 | 20 | Z | | GR | | DO | BSE | | | | | | bodemspoor | |
| | 557.086.689 | 3.613.380.092 | 189 | -11 | 200 | GATE | PL / RDB | 20 | 35 | 154 | 15 | Z | | GE | TOR | LI | BGE | | | | | | B/C-horizont | |
| | 557.086.689 | 3.613.380.092 | 189 | -11 | 200 | GATE | PL / RDB | 35 | 158 | 31 | 123 | Z | | GE | TBE | LI | BSE | | | | | | C-horizont | |
| | 557.086.689 | 3.613.380.092 | 189 | -11 | 200 | GATE | PL / RDB | 158 | 161 | 28 | 3 | Z | H | BR | TGR | DO | BSE | | | | | gelaagd | paleosol | KOEB P 22 05 0160 |
| | 557.086.689 | 3.613.380.092 | 189 | -11 | 200 | GATE | PL / RDB | 161 | 165 | 24 | 4 | Z | | GR | TBE | LI | BSE | | | | | | C-horizont | |
| | 557.086.689 | 3.613.380.092 | 189 | -11 | 200 | GATE | PL / RDB | 165 | 172 | 17 | 7 | Z | H | BR | TGR | DO | BSE | | | | | gelaagd | paleosol | KOEB P 22 05 0161 |
| | 557.086.689 | 3.613.380.092 | 189 | -11 | 200 | GATE | PL / RDB | 172 | 200 | - | 28 | Z | | GR | TBE | LI | - | | | | | moeilijke observatie | C-horizont | |
| 22-6 | 557.126.075 | 3.613.471.985 | 174 | -6 | 180 | GATE | GN | 0 | 20 | 154 | 20 | Z | | GR | | DO | BSE | 155 | 19 | | | | verstoord | |
| | 557.126.075 | 3.613.471.985 | 174 | -6 | 180 | GATE | GN | 20 | 35 | 139 | 15 | Z | | GE | TOR | LI | BGE | | | | | | B/C-horizont | |
| | 557.126.075 | 3.613.471.985 | 174 | -6 | 180 | GATE | GN | 35 | 145 | 29 | 110 | Z | | GE | TBE | LI | BSE | | | | | | C-horizont | |
| | 557.126.075 | 3.613.471.985 | 174 | -6 | 180 | GATE | GN | 145 | 147 | 27 | 2 | Z | H | BR | | DO | BSE | | | | | gelaagd | paleosol | KOEB P 22 06 1452 |
| | 557.126.075 | 3.613.471.985 | 174 | -6 | 180 | GATE | GN | 147 | 180 | - | 33 | Z | | GR | TBE | LI | - | | | | | moeilijke observatie | C-horizont | |
| 22-7 | 557.165.647 | 3.613.564.020 | 150 | -20 | 170 | GATE | PL | 0 | 30 | 120 | 30 | Z | | GR | | DO | BSE | 155 | -5 | | | | bodemspoor | |
| | 557.165.647 | 3.613.564.020 | 150 | -20 | 170 | GATE | PL | 30 | 170 | - | 140 | Z | | GE | TBE | LI | - | | | | | moeilijke observatie | C-horizont | |
| 22-8 | 557.204.958 | 3.613.655.875 | 149 | -26 | 175 | GATE | GN | 0 | 65 | 84 | 65 | Z | | GR | | DO | BSE | 110 | 39 | | | onderaan kleiig | bodemspoor | |
| | 557.204.958 | 3.613.655.875 | 149 | -26 | 175 | GATE | GN | 65 | 150 | -1 | 85 | Z | | GE | TGR | LI | BSE | | | | | | C-horizont | |
| | 557.204.958 | 3.613.655.875 | 149 | -26 | 175 | GATE | GN | 150 | 152 | -3 | 2 | Z | H | BR | | DO | BSE | | | | | gelaagd | paleosol | KOEB P 22 08 1454 |
| | 557.204.958 | 3.613.655.875 | 149 | -26 | 175 | GATE | GN | 152 | 175 | - | 23 | Z | | GR | TBE | LI | - | | | | | moeilijke observatie | C-horizont | |
| ~~22-9~~ | ~~557.244.224~~ | ~~3.613.747.885~~ | ~~186~~ | | | ~~GATE~~ | ~~PL~~ | | | | | | | | | | | | | | | ~~boring niet uitgevoerd~~ | | |
| 22-10 | 557.279.194 | 3.613.841.751 | 169 | -31 | 200 | GATE | GN | 0 | 118 | 51 | 118 | Z | | GE | TBE | LI | BSE | 135 | 34 | | | | C-horizont | |
| | 557.279.194 | 3.613.841.751 | 169 | -31 | 200 | GATE | GN | 118 | 119 | 50 | 1 | Z | H | BR | | DO | BSE | | | | | | paleosol | KOEB P 22 10 1456 |
| | 557.279.194 | 3.613.841.751 | 169 | -31 | 200 | GATE | GN | 119 | 160 | 9 | 41 | Z | | GR | TBE | LI | BSE | | | | | | C-horizont | |
| | 557.279.194 | 3.613.841.751 | 169 | -31 | 200 | GATE | GN | 160 | 163 | 6 | 3 | Z | H | BR | | DO | BSE | | | | | gelaagd | paleosol | KOEB P 22 10 1457 |
| | 557.279.194 | 3.613.841.751 | 169 | -31 | 200 | GATE | GN | 163 | 200 | - | 37 | Z | | GR | TBE | LI | - | | | | | moeilijke observatie | C-horizont | |
| 22-11 | 557.318.592 | 3.613.933.633 | 169 | -26 | 195 | GATE | PL | 0 | 15 | 154 | 15 | Z | | GR | | DO | BSE | 175 | -6 | | | | bodemspoor | |
| | 557.318.592 | 3.613.933.633 | 169 | -26 | 195 | GATE | PL | 15 | 195 | - | 180 | Z | | GE | TBE | LI | - | | | | | moeilijke observatie | C-horizont | |

| Boornummer | X-coördinaat | Y-coördinaat | Maaiveldhoogte (cm NAP) | Einddiepte (cm NAP) | relatieve diepte boortraject (cm) | Organisatie beschrijver | Beschrijver lithologie | Bovendiepte laag (cm) | Onderdiepte laag (cm) | ondergrens laag (cm NAP) | dikte pakket (cm) | Grondsoort | Bijmengsel humus | Hoofdkleur | Tweede kleur | Intensiteit kleur | Laaggrens | GWS na einde boring (cm) | GWS (cm NAP) | Vlekken, kleuren en hoeveelheden | Plantenresten | opmerkingen laag | bodemhorizont | Fotonummer |
|---|---|---|---|---|---|---|---|---|---|---|---|---|---|---|---|---|---|---|---|---|---|---|---|---|
| 22-12 | 557.358.039 | 3.614.025.553 | 166 | -44 | 210 | GATE | GN | 0 | 5 | 161 | 5 | Z | | GR | | DO | BSE | 165 | 1 | | | | verstoord | |
| | 557.358.039 | 3.614.025.553 | 166 | -44 | 210 | GATE | GN | 5 | 81 | 85 | 76 | Z | | GE | TBR | LI | BSE | | | | | | C-horizont | |
| | 557.358.039 | 3.614.025.553 | 166 | -44 | 210 | GATE | GN | 81 | 86 | 80 | 5 | Z | H | BR | | DO | BSE | | | | | gelaagd | paleosol | KOEB P 22 12 1462 |
| | 557.358.039 | 3.614.025.553 | 166 | -44 | 210 | GATE | GN | 86 | 110 | 56 | 24 | Z | | GR | TBR | LI | BSE | | | | | | C-horizont | |
| | 557.358.039 | 3.614.025.553 | 166 | -44 | 210 | GATE | GN | 110 | 112 | 54 | 2 | Z | H | BR | | DO | BSE | | | | | gelaagd | paleosol | KOEB P 22 12 1463 |
| | 557.358.039 | 3.614.025.553 | 166 | -44 | 210 | GATE | GN | 112 | 130 | 36 | 18 | Z | | GR | TBR | LI | BSE | | | | | | C-horizont | |
| | 557.358.039 | 3.614.025.553 | 166 | -44 | 210 | GATE | GN | 130 | 140 | 26 | 10 | Z | H | BR | TGR | DO | BSE | | | | | gelaagd | paleosol | KOEB P 22 12 1464 |
| | 557.358.039 | 3.614.025.553 | 166 | -44 | 210 | GATE | GN | 140 | 210 | - | 70 | Z | | GR | TBR | LI | - | | | | | moeilijke observatie | C-horizont | |
| 22-13 | 557.397.468 | 3.614.117.430 | 166 | -34 | 200 | GATE | PL | 0 | 15 | 151 | 15 | Z | | GR | | DO | BSE | | | | | | bodemspoor | |
| | 557.397.468 | 3.614.117.430 | 166 | -34 | 200 | GATE | PL | 15 | 80 | 86 | 65 | Z | | GE | TBR | LI | BSE | | | | | | C-horizont | |
| | 557.397.468 | 3.614.117.430 | 166 | -34 | 200 | GATE | PL | 80 | 82 | 84 | 2 | Z | H | BR | | DO | BSE | | | | | gelaagd | paleosol | KOEB P 22 13 0165 |
| | 557.397.468 | 3.614.117.430 | 166 | -34 | 200 | GATE | PL | 82 | 130 | 36 | 48 | Z | | GR | TBR | LI | BSE | | | | | | C-horizont | |
| | 557.397.468 | 3.614.117.430 | 166 | -34 | 200 | GATE | PL | 130 | 133 | 33 | 3 | Z | H | BR | TGR | DO | BSE | | | | | gelaagd | paleosol | KOEB P 22 13 0166 |
| | 557.397.468 | 3.614.117.430 | 166 | -34 | 200 | GATE | PL | 133 | 170 | -4 | 37 | Z | | GR | TBR | LI | BSE | | | | | | C-horizont | |
| | 557.397.468 | 3.614.117.430 | 166 | -34 | 200 | GATE | PL | 170 | 176 | -10 | 6 | Z | H | BR | | DO | BSE | | | | | gelaagd | paleosol | KOEB P 22 13 0167 |
| | 557.397.468 | 3.614.117.430 | 166 | -34 | 200 | GATE | PL | 176 | 200 | - | 24 | Z | | GR | TBR | LI | - | | | | | moeilijke observatie | C-horizont | |
| 22-14 | 557.436.860 | 3.614.209.332 | 162 | -28 | 190 | GATE | GN | 0 | 95 | 67 | 95 | Z | | GE | TBE | LI | BSE | 140 | 22 | | | | C-horizont | |
| | 557.436.860 | 3.614.209.332 | 162 | -28 | 190 | GATE | GN | 95 | 96 | 66 | 1 | Z | H | BR | | DO | BSE | | | | | gelaagd | paleosol | KOEB P 22 14 1466 en 1467 |
| | 557.436.860 | 3.614.209.332 | 162 | -28 | 190 | GATE | GN | 96 | 106 | 56 | 10 | Z | | GR | TBR | LI | BSE | | | | | | C-horizont | |
| | 557.436.860 | 3.614.209.332 | 162 | -28 | 190 | GATE | GN | 106 | 107 | 55 | 1 | Z | H | BR | | DO | BSE | | | | | | paleosol | KOEB P 22 14 1468 |
| | 557.436.860 | 3.614.209.332 | 162 | -28 | 190 | GATE | GN | 107 | 123 | 39 | 16 | Z | | GR | TBE | LI | BSE | | | | | | C-horizont | |
| | 557.436.860 | 3.614.209.332 | 162 | -28 | 190 | GATE | GN | 123 | 124 | 38 | 1 | Z | H | BR | | DO | BSE | | | | | | paleosol | KOEB P 22 14 1468 |
| | 557.436.860 | 3.614.209.332 | 162 | -28 | 190 | GATE | GN | 124 | 145 | 17 | 21 | Z | | GR | TGE | LI | BSE | | | | | | C-horizont | |
| | 557.436.860 | 3.614.209.332 | 162 | -28 | 190 | GATE | GN | 145 | 146 | 16 | 1 | Z | H | BR | | DO | BSE | | | | | gelaagd | paleosol | KOEB P 22 14 1469 |
| | 557.436.860 | 3.614.209.332 | 162 | -28 | 190 | GATE | GN | 146 | 190 | - | 44 | Z | | GR | TBE | LI | - | | | | | moeilijke observatie | C-horizont | |
| 22-15 | 557.476.174 | 3.614.301.198 | 167 | -53 | 220 | GATE | PL | 0 | 70 | 97 | 70 | Z | | GE | TBE | LI | BSE | 180 | -13 | | | | C-horizont | |
| | 557.476.174 | 3.614.301.198 | 167 | -53 | 220 | GATE | PL | 70 | 73 | 94 | 3 | Z | H | BR | | DO | BSE | | | | | gelaagd | paleosol | KOEB P 22 15 0169 |
| | 557.476.174 | 3.614.301.198 | 167 | -53 | 220 | GATE | PL | 73 | 110 | 57 | 37 | Z | | GR | TBR | LI | BSE | | | | | | C-horizont | |
| | 557.476.174 | 3.614.301.198 | 167 | -53 | 220 | GATE | PL | 110 | 113 | 54 | 3 | Z | H | BR | | DO | BSE | | | | | gelaagd | paleosol | KOEB P 22 15 0170 |
| | 557.476.174 | 3.614.301.198 | 167 | -53 | 220 | GATE | PL | 113 | 190 | -23 | 77 | Z | | GR | TBR | LI | BSE | | | | | | C-horizont | |
| | 557.476.174 | 3.614.301.198 | 167 | -53 | 220 | GATE | PL | 190 | 199 | -32 | 9 | Z | H | BR | | DO | BSE | | | | 2 | gelaagd | paleosol | KOEB P 22 15 0171 |
| | 557.476.174 | 3.614.301.198 | 167 | -53 | 220 | GATE | PL | 199 | 220 | - | 21 | Z | | GR | TBR | LI | - | | | | | | C-horizont | |
| 22-16 | 557.515.740 | 3.614.393.107 | 173 | -37 | 210 | GATE | GN | 0 | 15 | 158 | 15 | Z | | GE | TOR | LI | BGE | 170 | 3 | | | | B/C-horizont | |
| | 557.515.740 | 3.614.393.107 | 173 | -37 | 210 | GATE | GN | 15 | 90 | 83 | 75 | Z | | GE | TBE | LI | BSE | | | | | | C-horizont | |
| | 557.515.740 | 3.614.393.107 | 173 | -37 | 210 | GATE | GN | 90 | 93 | 80 | 3 | Z | H | BR | | DO | BSE | | | | | gelaagd | paleosol | KOEB P 22 16 1471 |
| | 557.515.740 | 3.614.393.107 | 173 | -37 | 210 | GATE | GN | 93 | 100 | 73 | 7 | Z | | GR | TBR | LI | BSE | | | | | | C-horizont | |
| | 557.515.740 | 3.614.393.107 | 173 | -37 | 210 | GATE | GN | 100 | 102 | 71 | 2 | Z | H | BR | | DO | BSE | | | | | gelaagd | paleosol | KOEB P 22 16 1472 |
| | 557.515.740 | 3.614.393.107 | 173 | -37 | 210 | GATE | GN | 102 | 110 | 63 | 8 | Z | | GR | TBR | LI | BSE | | | | | | C-horizont | |
| | 557.515.740 | 3.614.393.107 | 173 | -37 | 210 | GATE | GN | 110 | 115 | 58 | 5 | Z | H | BR | | DO | BSE | | | | | gelaagd | paleosol | KOEB P 22 16 1473 en 1474 |
| | 557.515.740 | 3.614.393.107 | 173 | -37 | 210 | GATE | GN | 115 | 125 | 48 | 10 | Z | | GR | TBR | LI | BSE | | | | | | C-horizont | |
| | 557.515.740 | 3.614.393.107 | 173 | -37 | 210 | GATE | GN | 125 | 127 | 46 | 2 | Z | H | BR | | DO | BSE | | | | | gelaagd | paleosol | KOEB P 22 16 1473 en 1474 |
| | 557.515.740 | 3.614.393.107 | 173 | -37 | 210 | GATE | GN | 127 | 140 | 33 | 13 | Z | | GR | TBE | LI | BSE | | | | | | C-horizont | |
| | 557.515.740 | 3.614.393.107 | 173 | -37 | 210 | GATE | GN | 140 | 142 | 31 | 2 | Z | H | BR | | DO | BSE | | | | | gelaagd | paleosol | KOEB P 22 16 1475 |
| | 557.515.740 | 3.614.393.107 | 173 | -37 | 210 | GATE | GN | 142 | 175 | -2 | 33 | Z | | GR | TGE | LI | BSE | | | | | | C-horizont | |
| | 557.515.740 | 3.614.393.107 | 173 | -37 | 210 | GATE | GN | 175 | 185 | -12 | 10 | Z | H | BR | | DO | BSE | | | | | gelaagd | paleosol | KOEB P 22 16 1476 |
| | 557.515.740 | 3.614.393.107 | 173 | -37 | 210 | GATE | GN | 185 | 210 | - | 25 | Z | | GR | TBE | LI | - | | | | | moeilijke observatie | C-horizont | |
| 22-17 | 557.559.703 | 3.614.483.187 | 180 | -40 | 220 | GATE | PL / RDB | 0 | 105 | 75 | 105 | Z | | GE | TBE | LI | BSE | | | | | | C-horizont | |
| | 557.559.703 | 3.614.483.187 | 180 | -40 | 220 | GATE | PL / RDB | 105 | 108 | 72 | 3 | Z | H | BR | | DO | BSE | | | | | gelaagd | paleosol | KOEB P 22 17 0173 |

| Boornummer | X-coördinaat | Y-coördinaat | Maaiveldhoogte (cm NAP) | Einddiepte (cm NAP) | relatieve diepte boortraject (cm) | Organisatie beschrijver | Beschrijver lithologie | Bovendiepte laag (cm) | Onderdiepte laag (cm) | ondergrens laag (cm NAP) | dikte pakket (cm) | Grondsoort | Bijmengsel humus | Hoofdkleur | Tweede kleur | Intensiteit kleur | Laaggrens | GWS na einde boring (cm) | GWS (cm NAP) | Vlekken, kleuren en hoeveelheden | Plantenresten | opmerkingen laag | bodemhorizont | Fotonummer |
|---|---|---|---|---|---|---|---|---|---|---|---|---|---|---|---|---|---|---|---|---|---|---|---|---|
| | 557.559.703 | 3.614.483.187 | 180 | -40 | 220 | GATE | PL / RDB | 108 | 193 | -13 | 85 | Z | | GR | TBR | LI | BSE | | | | | | C-horizont | |
| | 557.559.703 | 3.614.483.187 | 180 | -40 | 220 | GATE | PL / RDB | 193 | 194 | -14 | 1 | Z | H | BR | | DO | BSE | | | | | gelaagd | paleosol | |
| | 557.559.703 | 3.614.483.187 | 180 | -40 | 220 | GATE | PL / RDB | 194 | 220 | - | 26 | Z | | GR | | LI | - | | | | | | C-horizont | |
| 22-18 | 557.599.134 | 3.614.575.125 | 245 | 25 | 220 | GATE | PL / RDB | 0 | 50 | 195 | 50 | Z | | BR | TGR | DO | BSE | | | | | boring vanaf maaiveld | ploeglaag | |
| | 557.599.134 | 3.614.575.125 | 245 | 25 | 220 | GATE | PL / RDB | 50 | 65 | 180 | 15 | Z | | GR | TBR | DO | BSE | | | | | | verstoord | |
| | 557.599.134 | 3.614.575.125 | 245 | 25 | 220 | GATE | PL / RDB | 65 | 100 | 145 | 35 | Z | | GE | TOR | LI | BGE | | | | | | B/C-horizont | |
| | 557.599.134 | 3.614.575.125 | 245 | 25 | 220 | GATE | PL / RDB | 100 | 168 | 77 | 68 | Z | | GE | TBE | LI | BSE | | | | | | C-horizont | |
| | 557.599.134 | 3.614.575.125 | 245 | 25 | 220 | GATE | PL / RDB | 168 | 169 | 76 | 1 | Z | H | BR | | DO | BSE | | | | | gelaagd | paleosol | KOEB P 22 18 0174 |
| | 557.599.134 | 3.614.575.125 | 245 | 25 | 220 | GATE | PL / RDB | 169 | 220 | - | 51 | Z | | GR | TBE | LI | - | | | | | | C-horizont | |
| 23-1 | 556.856.966 | 3.613.097.954 | 231 | 1 | 230 | GATE | GN | 0 | 15 | 216 | 15 | Z | | GE | TOR | LI | BGE | 205 | 26 | | | | B/C-horizont | |
| | 556.856.966 | 3.613.097.954 | 231 | 1 | 230 | GATE | GN | 15 | 183 | 48 | 168 | Z | | GE | TBE | LI | BSE | | | | | | C-horizont | |
| | 556.856.966 | 3.613.097.954 | 231 | 1 | 230 | GATE | GN | 183 | 187 | 44 | 4 | Z | H | BR | | DO | BSE | | | | | gelaagd | paleosol | KOEB P 23 01 1478 en 1479 |
| | 556.856.966 | 3.613.097.954 | 231 | 1 | 230 | GATE | GN | 187 | 198 | 33 | 11 | Z | | GR | TBE | LI | BSE | | | | | | C-horizont | |
| | 556.856.966 | 3.613.097.954 | 231 | 1 | 230 | GATE | GN | 198 | 199 | 32 | 1 | Z | H | BR | | DO | BSE | | | | | | paleosol | KOEB P 23 01 1480 |
| | 556.856.966 | 3.613.097.954 | 231 | 1 | 230 | GATE | GN | 199 | 230 | - | 31 | Z | | GR | TBE | LI | - | | | | | | C-horizont | |
| 23-2 | 556.896.179 | 3.613.189.899 | 240 | 10 | 230 | GATE | GN | 0 | 15 | 225 | 15 | Z | | OR | | LI | BGE | 210 | 30 | | | | B-horizont | |
| | 556.896.179 | 3.613.189.899 | 240 | 10 | 230 | GATE | GN | 15 | 35 | 205 | 20 | Z | | GE | TOR | LI | BGE | | | | | | B/C-horizont | |
| | 556.896.179 | 3.613.189.899 | 240 | 10 | 230 | GATE | GN | 35 | 170 | 70 | 135 | Z | | GE | TBE | LI | BSE | | | | | | C-horizont | |
| | 556.896.179 | 3.613.189.899 | 240 | 10 | 230 | GATE | GN | 170 | 172 | 68 | 2 | Z | H | BR | | DO | BSE | | | | | gelaagd | paleosol | KOEB P 23 02 1482 |
| | 556.896.179 | 3.613.189.899 | 240 | 10 | 230 | GATE | GN | 172 | 230 | - | 58 | Z | | GR | TBE | LI | - | | | | | | C-horizont | |
| 23-3 | 556.935.599 | 3.613.281.748 | 235 | 5 | 230 | GATE | RDB | 0 | 230 | 5 | 230 | Z | | GE | TBE | LI | - | 230 | 5 | | | | C-horizont | |
| 23-4 | 556.974.961 | 3.613.373.702 | 227 | -3 | 230 | GATE | GN | 0 | 20 | 207 | 20 | Z | | GE | TOR | LI | BGE | 200 | 27 | | | | B/C-horizont | |
| | 556.974.961 | 3.613.373.702 | 227 | -3 | 230 | GATE | GN | 20 | 230 | - | 210 | Z | | GE | TBE | LI | - | | | | | | C-horizont | |
| 23-5 | 557.014.518 | 3.613.465.617 | 223 | 23 | 200 | GATE | RDB | 0 | 15 | 208 | 15 | Z | | OR | | LI | BGE | 195 | 28 | | | | B-horizont | |
| | 557.014.518 | 3.613.465.617 | 223 | 23 | 200 | GATE | RDB | 15 | 30 | 193 | 15 | Z | | GE | TOR | LI | BGE | | | | | | B/C-horizont | |
| | 557.014.518 | 3.613.465.617 | 223 | 23 | 200 | GATE | RDB | 30 | 150 | 73 | 120 | Z | | GE | TBE | LI | BSE | | | | | | C-horizont | |
| | 557.014.518 | 3.613.465.617 | 223 | 23 | 200 | GATE | RDB | 150 | 151 | 72 | 1 | Z | H | BR | | DO | BSE | | | | | gelaagd | paleosol | KOEB P 23 05 0177 |
| | 557.014.518 | 3.613.465.617 | 223 | 23 | 200 | GATE | RDB | 151 | 190 | 33 | 39 | Z | | GR | TBE | LI | BSE | | | | | | C-horizont | |
| | 557.014.518 | 3.613.465.617 | 223 | 23 | 200 | GATE | RDB | 190 | 193 | 30 | 3 | Z | H | BR | | DO | BSE | | | | | gelaagd | paleosol | KOEB P 23 05 0178 en 0179 |
| | 557.014.518 | 3.613.465.617 | 223 | 23 | 200 | GATE | RDB | 193 | 200 | - | 7 | Z | | GR | TBE | LI | - | | | | | | C-horizont | |
| 23-6 | 557.053.813 | 3.613.557.615 | 220 | -10 | 230 | GATE | GN | 0 | 20 | 200 | 20 | Z | | GE | TOR | LI | BGE | 188 | 32 | | | | B/C-horizont | |
| | 557.053.813 | 3.613.557.615 | 220 | -10 | 230 | GATE | GN | 20 | 230 | - | 210 | Z | | GE | TBE | LI | - | | | | | | C-horizont | |
| 23-7 | 557.093.401 | 3.613.649.588 | 203 | 3 | 200 | GATE | RDB | 0 | 200 | 3 | 200 | Z | | GE | TBE | LI | - | 190 | 13 | | | onderaan moeilijke observatie | C-horizont | |
| 23-8 | 557.132.829 | 3.613.741.260 | 202 | -18 | 220 | GATE | GN | 0 | 20 | 182 | 20 | Z | | GE | TOR | LI | BGE | 180 | 22 | | | | B/C-horizont | |
| | 557.132.829 | 3.613.741.260 | 202 | -18 | 220 | GATE | GN | 20 | 127 | 75 | 107 | Z | | GE | TBE | LI | BSE | | | | | | C-horizont | |
| | 557.132.829 | 3.613.741.260 | 202 | -18 | 220 | GATE | GN | 127 | 128 | 74 | 1 | Z | H | BR | | DO | BSE | | | | | | paleosol | KOEB P 23 08 1486 |
| | 557.132.829 | 3.613.741.260 | 202 | -18 | 220 | GATE | GN | 128 | 202 | 0 | 74 | Z | | GR | TBE | LI | BSE | | | | | | C-horizont | |
| | 557.132.829 | 3.613.741.260 | 202 | -18 | 220 | GATE | GN | 202 | 205 | -3 | 3 | Z | H | BR | | DO | BSE | | | | | gelaagd; moeilijke observatie | paleosol | KOEB P 23 08 1487 |
| | 557.132.829 | 3.613.741.260 | 202 | -18 | 220 | GATE | GN | 205 | 220 | - | 15 | Z | | GR | TBE | LI | - | | | | | moeilijke observatie | C-horizont | |
| 23-9 | 557.172.183 | 3.613.833.197 | 191 | -19 | 210 | GATE | RDB | 0 | 135 | 56 | 135 | Z | | GE | TBE | LI | BSE | 180 | 11 | | | | C-horizont | |
| | 557.172.183 | 3.613.833.197 | 191 | -19 | 210 | GATE | RDB | 135 | 143 | 48 | 8 | Z | H | BR | | DO | BSE | | | | | | paleosol | KOEB P 23 09 0182 |
| | 557.172.183 | 3.613.833.197 | 191 | -19 | 210 | GATE | RDB | 143 | 197 | -6 | 54 | Z | | GR | TBE | LI | BSE | | | | | | C-horizont | |
| | 557.172.183 | 3.613.833.197 | 191 | -19 | 210 | GATE | RDB | 197 | 200 | -9 | 3 | Z | H | BR | | DO | BSE | | | | | | paleosol | KOEB P 23 09 0183 |
| | 557.172.183 | 3.613.833.197 | 191 | -19 | 210 | GATE | RDB | 200 | 210 | - | 10 | Z | | GR | TBE | LI | - | | | | | moeilijke observatie | C-horizont | |
| 23-10 | 557.211.430 | 3.613.925.007 | 196 | -19 | 215 | GATE | GN | 0 | 5 | 191 | 5 | Z | | GR | | | BSE | 172 | 24 | | | | verstoord | |
| | 557.211.430 | 3.613.925.007 | 196 | -19 | 215 | GATE | GN | 5 | 115 | 81 | 110 | Z | | GE | TBE | LI | BSE | | | | | | C-horizont | |
| | 557.211.430 | 3.613.925.007 | 196 | -19 | 215 | GATE | GN | 115 | 116 | 80 | 1 | Z | H | BR | | DO | BSE | | | | | | paleosol | KOEB P 23 10 1490 |

| Boornummer | X-coördinaat | Y-coördinaat | Maaiveldhoogte (cm NAP) | Einddiepte (cm NAP) | relatieve diepte boortraject (cm) | Organisatie beschrijver | Beschrijver lithologie | Bovendiepte laag (cm) | Onderdiepte laag (cm) | ondergrens laag (cm NAP) | dikte pakket (cm) | Grondsoort | Bijmengsel humus | Hoofdkleur | Tweede kleur | Intensiteit kleur | Laaggrens | GWS na einde boring (cm) | GWS (cm NAP) | Vlekken, kleuren en hoeveelheden | Plantenresten | opmerkingen laag | bodemhorizont | Fotonummer |
|---|---|---|---|---|---|---|---|---|---|---|---|---|---|---|---|---|---|---|---|---|---|---|---|---|
| | 557.211.430 | 3.613.925.007 | 196 | -19 | 215 | GATE | GN | 116 | 123 | 73 | 7 | Z | | GR | TBE | LI | BSE | | | | | | C-horizont | |
| | 557.211.430 | 3.613.925.007 | 196 | -19 | 215 | GATE | GN | 123 | 124 | 72 | 1 | Z | H | BR | | DO | BSE | | | | | gelaagd | paleosol | KOEB P 23 10 1490 |
| | 557.211.430 | 3.613.925.007 | 196 | -19 | 215 | GATE | GN | 124 | 148 | 48 | 24 | Z | | GR | TBE | LI | BSE | | | | | | C-horizont | |
| | 557.211.430 | 3.613.925.007 | 196 | -19 | 215 | GATE | GN | 148 | 149 | 47 | 1 | Z | H | BR | | DO | BSE | | | | | gelaagd | paleosol | KOEB P 23 10 1494 |
| | 557.211.430 | 3.613.925.007 | 196 | -19 | 215 | GATE | GN | 149 | 155 | 41 | 6 | Z | | GR | TBE | LI | BSE | | | | | | C-horizont | |
| | 557.211.430 | 3.613.925.007 | 196 | -19 | 215 | GATE | GN | 155 | 156 | 40 | 1 | Z | H | BR | | DO | BSE | | | | | gelaagd | paleosol | KOEB P 23 10 1494 |
| | 557.211.430 | 3.613.925.007 | 196 | -19 | 215 | GATE | GN | 156 | 163 | 33 | 7 | Z | | GR | TBE | LI | BSE | | | | | | C-horizont | |
| | 557.211.430 | 3.613.925.007 | 196 | -19 | 215 | GATE | GN | 163 | 165 | 31 | 2 | Z | H | BR | | DO | BSE | | | | | gelaagd | paleosol | KOEB P 23 10 1495 |
| | 557.211.430 | 3.613.925.007 | 196 | -19 | 215 | GATE | GN | 165 | 215 | - | 50 | Z | | GR | TBE | LI | - | | | | | ca. 200: organisch laagje? Moeilijke observatie | C-horizont | |
| 23-11 | 557.250.938 | 3.614.017.163 | 176 | -14 | 190 | GATE | RDB | 0 | 130 | 46 | 130 | Z | | GE | TBE | LI | BSE | 150 | 26 | | | | C-horizont | |
| | 557.250.938 | 3.614.017.163 | 176 | -14 | 190 | GATE | RDB | 130 | 133 | 43 | 3 | Z | H | BR | TGR | DO | BSE | | | | | gelaagd | paleosol | KOEB P 23 11 0185 |
| | 557.250.938 | 3.614.017.163 | 176 | -14 | 190 | GATE | RDB | 133 | 138 | 38 | 5 | Z | | GR | TBE | LI | BSE | | | | | | C-horizont | |
| | 557.250.938 | 3.614.017.163 | 176 | -14 | 190 | GATE | RDB | 138 | 141 | 35 | 3 | Z | H | BR | | DO | BSE | | | | | gelaagd | paleosol | KOEB P 23 11 0185 |
| | 557.250.938 | 3.614.017.163 | 176 | -14 | 190 | GATE | RDB | 141 | 145 | 31 | 4 | Z | | GR | TBE | LI | BSE | | | | | | C-horizont | |
| | 557.250.938 | 3.614.017.163 | 176 | -14 | 190 | GATE | RDB | 145 | 147 | 29 | 2 | Z | H | BR | | DO | BSE | | | | | | paleosol | KOEB P 23 11 0186 |
| | 557.250.938 | 3.614.017.163 | 176 | -14 | 190 | GATE | RDB | 147 | 190 | - | 43 | Z | | GR | TBE | LI | - | | | | | moeilijke observatie | C-horizont | |
| 23-12 | 557.290.407 | 3.614.109.109 | 167 | -33 | 200 | GATE | GN | 0 | 15 | 152 | 15 | Z | | GE | TOR | LI | BGE | 155 | 12 | | | | B/C-horizont | |
| | 557.290.407 | 3.614.109.109 | 167 | -33 | 200 | GATE | GN | 15 | 87 | 80 | 72 | Z | | GE | TBE | LI | BSE | | | | | | C-horizont | |
| | 557.290.407 | 3.614.109.109 | 167 | -33 | 200 | GATE | GN | 87 | 88 | 79 | 1 | Z | H | BR | | DO | BSE | | | | | gelaagd | paleosol | KOEB P 23 12 1497 en 1498 |
| | 557.290.407 | 3.614.109.109 | 167 | -33 | 200 | GATE | GN | 88 | 94 | 73 | 6 | Z | | GR | TBE | LI | BSE | | | | | | C-horizont | |
| | 557.290.407 | 3.614.109.109 | 167 | -33 | 200 | GATE | GN | 94 | 95 | 72 | 1 | Z | H | BR | | DO | BSE | | | | | onregelmatig | paleosol | KOEB P 23 12 1499 |
| | 557.290.407 | 3.614.109.109 | 167 | -33 | 200 | GATE | GN | 95 | 112 | 55 | 17 | Z | | GR | TBE | LI | BSE | | | | | | C-horizont | |
| | 557.290.407 | 3.614.109.109 | 167 | -33 | 200 | GATE | GN | 112 | 119 | 48 | 7 | Z | H | BR | | DO | BSE | | | | | gelaagd | paleosol | KOEB P 23 12 1500 t.e.m. 1502 |
| | 557.290.407 | 3.614.109.109 | 167 | -33 | 200 | GATE | GN | 119 | 150 | 17 | 31 | Z | | GR | TBE | LI | BSE | | | | | | C-horizont | |
| | 557.290.407 | 3.614.109.109 | 167 | -33 | 200 | GATE | GN | 150 | 152 | 15 | 2 | Z | H | BR | | DO | BSE | | | | | | paleosol | KOEB P 23 12 1503 |
| | 557.290.407 | 3.614.109.109 | 167 | -33 | 200 | GATE | GN | 152 | 200 | - | 48 | Z | | GR | TBE | LI | - | | | | | moeilijke observatie | C-horizont | |
| 23-13 | 557.329.835 | 3.614.200.935 | 166 | -9 | 175 | GATE | RDB | 0 | 3 | 163 | 3 | Z | | GR | | | BSE | 150 | 16 | | | | bodemspoor | |
| | 557.329.835 | 3.614.200.935 | 166 | -9 | 175 | GATE | RDB | 3 | 116 | 50 | 113 | Z | | GE | TBE | LI | BSE | | | | | | C-horizont | |
| | 557.329.835 | 3.614.200.935 | 166 | -9 | 175 | GATE | RDB | 116 | 118 | 48 | 2 | Z | H | BR | TGR | DO | BSE | | | | | gelaagd | paleosol | KOEB P 23 13 0188 |
| | 557.329.835 | 3.614.200.935 | 166 | -9 | 175 | GATE | RDB | 118 | 140 | 26 | 22 | Z | | GR | TBE | LI | BSE | | | | | | C-horizont | |
| | 557.329.835 | 3.614.200.935 | 166 | -9 | 175 | GATE | RDB | 140 | 148 | 18 | 8 | Z | H | BR | TGR | DO | BSE | | | | | gelaagd | paleosol | KOEB P 23 13 0189 |
| | 557.329.835 | 3.614.200.935 | 166 | -9 | 175 | GATE | RDB | 148 | 157 | 9 | 9 | Z | | GR | TBE | LI | BSE | | | | | | C-horizont | |
| | 557.329.835 | 3.614.200.935 | 166 | -9 | 175 | GATE | RDB | 157 | 158 | 8 | 1 | Z | H | BR | | DO | BSE | | | | | gelaagd | paleosol | KOEB P 23 13 0190 |
| | 557.329.835 | 3.614.200.935 | 166 | -9 | 175 | GATE | RDB | 158 | 175 | - | 17 | Z | | GR | TBE | LI | - | | | | | moeilijke observatie | C-horizont | |
| 23-14 | 557.369.056 | 3.614.292.840 | 157 | -13 | 170 | GATE | GN | 0 | 5 | 152 | 5 | Z | | GR | | | BSE | 136 | 21 | | | | verstoord | |
| | 557.369.056 | 3.614.292.840 | 157 | -13 | 170 | GATE | GN | 5 | 25 | 132 | 20 | Z | | GE | TOR | LI | BGE | | | | | | B/C-horizont | |
| | 557.369.056 | 3.614.292.840 | 157 | -13 | 170 | GATE | GN | 25 | 84 | 73 | 59 | Z | | GE | TBE | LI | BSE | | | | | | C-horizont | |
| | 557.369.056 | 3.614.292.840 | 157 | -13 | 170 | GATE | GN | 84 | 88 | 69 | 4 | Z | H | BR | TGE | DO | BSE | | | | | gelaagd | paleosol | KOEB P 23 14 1506 |
| | 557.369.056 | 3.614.292.840 | 157 | -13 | 170 | GATE | GN | 88 | 125 | 32 | 37 | Z | | GR | TBE | LI | BSE | | | | | | C-horizont | |
| | 557.369.056 | 3.614.292.840 | 157 | -13 | 170 | GATE | GN | 125 | 128 | 29 | 3 | Z | H | BR | | DO | BSE | | | | | | paleosol | KOEB P 23 14 1507 |
| | 557.369.056 | 3.614.292.840 | 157 | -13 | 170 | GATE | GN | 128 | 170 | - | 42 | Z | | GR | TBE | LI | - | | | | | moeilijke observatie | C-horizont | |
| 23-15 | 557.408.592 | 3.614.384.602 | 156 | -14 | 170 | GATE | RDB | 0 | 80 | 76 | 80 | Z | | GE | TBE | LI | BSE | 150 | 6 | | | | C-horizont | |
| | 557.408.592 | 3.614.384.602 | 156 | -14 | 170 | GATE | RDB | 80 | 81 | 75 | 1 | Z | H | BR | | DO | BSE | | | | | gelaagd | paleosol | KOEB P 23 15 0192 |
| | 557.408.592 | 3.614.384.602 | 156 | -14 | 170 | GATE | RDB | 81 | 115 | 41 | 34 | Z | | GR | TBE | LI | BSE | | | | | | C-horizont | |
| | 557.408.592 | 3.614.384.602 | 156 | -14 | 170 | GATE | RDB | 115 | 117 | 39 | 2 | Z | H | BR | | DO | BSE | | | | | gelaagd | paleosol | KOEB P 23 15 0193 |
| | 557.408.592 | 3.614.384.602 | 156 | -14 | 170 | GATE | RDB | 117 | 139 | 17 | 22 | Z | | GR | TBE | LI | BSE | | | | | | C-horizont | |
| | 557.408.592 | 3.614.384.602 | 156 | -14 | 170 | GATE | RDB | 139 | 141 | 15 | 2 | Z | H | BR | | DO | BSE | | | | | gelaagd | paleosol | KOEB P 23 15 0194 |

| Boornummer | X-coördinaat | Y-coördinaat | Maaiveldhoogte (cm NAP) | Einddiepte (cm NAP) | relatieve diepte boortraject (cm) | Organisatie beschrijver | Beschrijver lithologie | Bovendiepte laag (cm) | Onderdiepte laag (cm) | ondergrens laag (cm NAP) | dikte pakket (cm) | Grondsoort | Bijmengsel humus | Hoofdkleur | Tweede kleur | Intensiteit kleur | Laaggrens | GWS na einde boring (cm) | GWS (cm NAP) | Vlekken, kleuren en hoeveelheden | Plantenresten | opmerkingen laag | bodemhorizont | Fotonummer |
|---|---|---|---|---|---|---|---|---|---|---|---|---|---|---|---|---|---|---|---|---|---|---|---|---|
| | 557.408.592 | 3.614.384.602 | 156 | -14 | 170 | GATE | RDB | 141 | 170 | - | 29 | Z | | GR | TBE | LI | - | | | | | moeilijke observatie | C-horizont | |
| 23-16 | 557.447.868 | 3.614.476.560 | 171 | -29 | 200 | GATE | GN | 0 | 20 | 151 | 20 | Z | | GE | TOR | LI | BGE | 163 | 8 | | | | B/C-horizont | |
| | 557.447.868 | 3.614.476.560 | 171 | -29 | 200 | GATE | GN | 20 | 85 | 86 | 65 | Z | | GE | TBE | LI | BSE | | | | | | C-horizont | |
| | 557.447.868 | 3.614.476.560 | 171 | -29 | 200 | GATE | GN | 85 | 88 | 83 | 3 | Z | H | BR | | DO | BSE | | | | | gelaagd | paleosol | KOEB P 23 16 1509 |
| | 557.447.868 | 3.614.476.560 | 171 | -29 | 200 | GATE | GN | 88 | 98 | 73 | 10 | Z | | GR | TBE | LI | BSE | | | | | bruin gevlekt | C-horizont | KOEB P 23 16 1510 |
| | 557.447.868 | 3.614.476.560 | 171 | -29 | 200 | GATE | GN | 98 | 100 | 71 | 2 | Z | H | BR | | DO | BSE | | | | | gelaagd | paleosol | KOEB P 23 16 1511 en 1512 |
| | 557.447.868 | 3.614.476.560 | 171 | -29 | 200 | GATE | GN | 100 | 107 | 64 | 7 | Z | | GR | TBE | LI | BSE | | | | | | C-horizont | KOEB P 23 16 1511 en 1512 |
| | 557.447.868 | 3.614.476.560 | 171 | -29 | 200 | GATE | GN | 107 | 114 | 57 | 7 | Z | H | BR | | DO | BSE | | | | | gelaagd | paleosol | KOEB P 23 16 1513 |
| | 557.447.868 | 3.614.476.560 | 171 | -29 | 200 | GATE | GN | 114 | 136 | 35 | 22 | Z | | GR | TBE | LI | BSE | | | | | | C-horizont | |
| | 557.447.868 | 3.614.476.560 | 171 | -29 | 200 | GATE | GN | 136 | 138 | 33 | 2 | Z | H | BR | | DO | BSE | | | | | gelaagd | paleosol | KOEB P 23 16 1514 |
| | 557.447.868 | 3.614.476.560 | 171 | -29 | 200 | GATE | GN | 138 | 200 | - | 62 | Z | | GR | TBE | LI | - | | | | | moeilijke observatie | C-horizont | |
| 23-17 | 557.487.551 | 3.614.568.471 | 175 | -10 | 185 | GATE | RDB | 0 | 104 | 71 | 104 | Z | | GE | TBE | LI | BSE | 175 | 0 | | | | C-horizont | |
| | 557.487.551 | 3.614.568.471 | 175 | -10 | 185 | GATE | RDB | 104 | 109 | 66 | 5 | Z | H | BR | | DO | BSE | | | | | gelaagd | paleosol | KOEB P 23 17 0196 |
| | 557.487.551 | 3.614.568.471 | 175 | -10 | 185 | GATE | RDB | 109 | 183 | -8 | 74 | Z | | GR | TBE | LI | BSE | | | | | | C-horizont | |
| | 557.487.551 | 3.614.568.471 | 175 | -10 | 185 | GATE | RDB | 183 | 185 | - | 2 | Z | H | BR | | DO | - | | | | | gelaagd<br>moeilijke observatie | paleosol | KOEB P 23 17 0197 |
| 24-1 | 556.784.790 | 3.613.183.334 | 244 | 14 | 230 | GATE | GN | 0 | 15 | 229 | 15 | Z | | OR | | LI | BGE | 213 | 31 | | | | B-horizont | |
| | 556.784.790 | 3.613.183.334 | 244 | 14 | 230 | GATE | GN | 15 | 30 | 214 | 15 | Z | | GE | TOR | LI | BGE | | | | | | B/C-horizont | |
| | 556.784.790 | 3.613.183.334 | 244 | 14 | 230 | GATE | GN | 30 | 175 | 69 | 145 | Z | | GE | TBE | LI | BSE | | | | | | C-horizont | |
| | 556.784.790 | 3.613.183.334 | 244 | 14 | 230 | GATE | GN | 175 | 177 | 67 | 2 | Z | H | BR | | DO | BSE | | | | | gelaagd | paleosol | KOEB P 24 01 1516 |
| | 556.784.790 | 3.613.183.334 | 244 | 14 | 230 | GATE | GN | 177 | 183 | 61 | 6 | Z | | GE | TBE | LI | BSE | | | | | | C-horizont | |
| | 556.784.790 | 3.613.183.334 | 244 | 14 | 230 | GATE | GN | 183 | 188 | 56 | 5 | Z | H | BR | | DO | BSE | | | | | | paleosol | |
| | 556.784.790 | 3.613.183.334 | 244 | 14 | 230 | GATE | GN | 188 | 230 | - | 42 | Z | | GR | TBE | LI | - | | | | | | C-horizont | |
| 24-2 | 556.824.062 | 3.613.275.207 | 234 | 4 | 230 | GATE | RDB | 0 | 206 | 28 | 206 | Z | | GE | TBE | LI | BSE | 230 | 4 | | | | C-horizont | |
| | 556.824.062 | 3.613.275.207 | 234 | 4 | 230 | GATE | RDB | 206 | 208 | 26 | 2 | Z | H | BR | TGR | DO | BSE | | | | | gelaagd | paleosol | KOEB P 24 02 0199 |
| | 556.824.062 | 3.613.275.207 | 234 | 4 | 230 | GATE | RDB | 208 | 230 | - | 22 | Z | | GR | TBE | LI | - | | | | | | C-horizont | |
| 24-3 | 556.863.546 | 3.613.367.168 | 232 | 2 | 230 | GATE | GN | 0 | 20 | 212 | 20 | Z | | GE | TOR | LI | BGE | 200 | 32 | | | | B/C-horizont | |
| | 556.863.546 | 3.613.367.168 | 232 | 2 | 230 | GATE | GN | 20 | 205 | 27 | 185 | Z | | GE | TBE | LI | BSE | | | | | | C-horizont | |
| | 556.863.546 | 3.613.367.168 | 232 | 2 | 230 | GATE | GN | 205 | 206 | 26 | 1 | Z | H | BR | | DO | BSE | | | | | | paleosol | KOEB P 24 03 1519 en 1520 |
| | 556.863.546 | 3.613.367.168 | 232 | 2 | 230 | GATE | GN | 206 | 230 | - | 24 | Z | | GR | TBE | LI | - | | | | | | C-horizont | |
| 24-4 | 556.902.932 | 3.613.459.003 | 218 | -12 | 230 | GATE | RDB | 0 | 230 | - | 230 | Z | | GE | TBE | LI | - | 230 | -12 | | | | C-horizont | |
| 24-5 | 556.942.309 | 3.613.551.040 | 217 | -13 | 230 | GATE | GN | 0 | 20 | 197 | 20 | Z | | GE | TOR | LI | BGE | 195 | 22 | | | | B/C-horizont | |
| | 556.942.309 | 3.613.551.040 | 217 | -13 | 230 | GATE | GN | 20 | 210 | 7 | 190 | Z | | GE | TBE | LI | BSE | | | | | | C-horizont | |
| | 556.942.309 | 3.613.551.040 | 217 | -13 | 230 | GATE | GN | 210 | 216 | 1 | 6 | Z | H | BR | TGR | DO | BSE | | | | | gelaagd | paleosol | KOEB P 24 05 1523 en 1524 |
| | 556.942.309 | 3.613.551.040 | 217 | -13 | 230 | GATE | GN | 216 | 230 | - | 14 | Z | | GR | TBE | LI | - | | | | | | C-horizont | |
| 24-6 | 556.981.863 | 3.613.642.859 | 202 | 2 | 200 | GATE | RDB | 0 | 190 | 12 | 190 | Z | | GE | TBE | LI | BSE | 190 | 12 | | | | C-horizont | |
| | 556.981.863 | 3.613.642.859 | 202 | 2 | 200 | GATE | RDB | 190 | 191 | 11 | 1 | Z | H | BR | | DO | BSE | | | | | gelaagd | paleosol | KOEB P 24 06 0202 |
| | 556.981.863 | 3.613.642.859 | 202 | 2 | 200 | GATE | RDB | 191 | 200 | - | 9 | Z | | GR | TBE | LI | - | | | | | | C-horizont | |
| 24-7 | 557.021.262 | 3.613.734.794 | 190 | -25 | 215 | GATE | GN | 0 | 152 | 38 | 152 | Z | | GE | TBE | LI | BSE | 180 | 10 | | | | C-horizont | |
| | 557.021.262 | 3.613.734.794 | 190 | -25 | 215 | GATE | GN | 152 | 155 | 35 | 3 | Z | H | BR | | DO | BSE | | | | | gelaagd | paleosol | KOEB P 24 07 1526 |
| | 557.021.262 | 3.613.734.794 | 190 | -25 | 215 | GATE | GN | 155 | 215 | - | 60 | Z | | GR | TBE | LI | - | | | | | moeilijke observatie | C-horizont | |
| 24-8 | 557.060.708 | 3.613.826.754 | 187 | -23 | 210 | GATE | RDB | 0 | 155 | 32 | 155 | Z | | GE | TBE | LI | BSE | 180 | 7 | | | | C-horizont | |
| | 557.060.708 | 3.613.826.754 | 187 | -23 | 210 | GATE | RDB | 155 | 156 | 31 | 1 | Z | H | BR | | DO | BSE | | | | | | paleosol | |
| | 557.060.708 | 3.613.826.754 | 187 | -23 | 210 | GATE | RDB | 156 | 165 | 22 | 9 | Z | | GE | TBE | LI | BSE | | | | | | C-horizont | |
| | 557.060.708 | 3.613.826.754 | 187 | -23 | 210 | GATE | RDB | 165 | 166 | 21 | 1 | Z | H | BR | | DO | BSE | | | | | gelaagd | paleosol | KOEB P 24 08 0204 |
| | 557.060.708 | 3.613.826.754 | 187 | -23 | 210 | GATE | RDB | 166 | 193 | -6 | 27 | Z | | GR | TBE | LI | BSE | | | | | | C-horizont | |
| | 557.060.708 | 3.613.826.754 | 187 | -23 | 210 | GATE | RDB | 193 | 194 | -7 | 1 | Z | H | BR | | DO | BSE | | | | | | paleosol | |
| | 557.060.708 | 3.613.826.754 | 187 | -23 | 210 | GATE | RDB | 194 | 210 | - | 16 | Z | | GR | TBE | LI | - | | | | | | C-horizont | |

| Boornummer | X-coördinaat | Y-coördinaat | Maaiveldhoogte (cm NAP) | Einddiepte (cm NAP) | relatieve diepte boortraject (cm) | Organisatie beschrijver | Beschrijver lithologie | Bovendiepte laag (cm) | Onderdiepte laag (cm) | ondergrens laag (cm NAP) | dikte pakket (cm) | Grondsoort | Bijmengsel humus | Hoofdkleur | Tweede kleur | Intensiteit kleur | Laaggrens | GWS na einde boring (cm) | GWS (cm NAP) | Vlekken, kleuren en hoeveelheden | Plantenresten | opmerkingen laag | bodemhorizont | Fotonummer |
|---|---|---|---|---|---|---|---|---|---|---|---|---|---|---|---|---|---|---|---|---|---|---|---|---|
| 24-9 | 557.100.055 | 3.613.918.625 | 183 | -17 | 200 | GATE | GN | 0 | 120 | 63 | 120 | Z | | GE | TBE | LI | BSE | 172 | 11 | | | | C-horizont | |
| | 557.100.055 | 3.613.918.625 | 183 | -17 | 200 | GATE | GN | 120 | 121 | 62 | 1 | Z | H | BR | | DO | BSE | | | | | gelaagd | paleosol | KOEB P 24 09 1528 |
| | 557.100.055 | 3.613.918.625 | 183 | -17 | 200 | GATE | GN | 121 | 143 | 40 | 22 | Z | | GE | TBE | LI | BSE | | | | | | C-horizont | |
| | 557.100.055 | 3.613.918.625 | 183 | -17 | 200 | GATE | GN | 143 | 145 | 38 | 2 | Z | H | BR | | DO | BSE | | | | | gelaagd | paleosol | KOEB P 24 09 1529 |
| | 557.100.055 | 3.613.918.625 | 183 | -17 | 200 | GATE | GN | 145 | 158 | 25 | 13 | Z | | GR | TBE | LI | BSE | | | | | | C-horizont | |
| | 557.100.055 | 3.613.918.625 | 183 | -17 | 200 | GATE | GN | 158 | 160 | 23 | 2 | Z | H | BR | | DO | BSE | | | | | | paleosol | |
| | 557.100.055 | 3.613.918.625 | 183 | -17 | 200 | GATE | GN | 160 | 200 | - | 40 | Z | | GR | TBE | LI | - | | | | | moeilijke observatie | C-horizont | |
| 24-10 | 557.139.426 | 3.614.010.383 | 181 | -19 | 200 | GATE | PL / RDB | 0 | 95 | 86 | 95 | Z | | GE | TBE | LI | BSE | 180 | 1 | | | | C-horizont | |
| | 557.139.426 | 3.614.010.383 | 181 | -19 | 200 | GATE | PL / RDB | 95 | 99 | 82 | 4 | Z | H | BR | | DO | BSE | | | | | gelaagd | paleosol | KOEB P 24 10 0206 |
| | 557.139.426 | 3.614.010.383 | 181 | -19 | 200 | GATE | PL / RDB | 99 | 200 | - | 101 | Z | | GE | TBE | LI | - | | | | | | C-horizont | |
| 24-11 | 557.178.848 | 3.614.102.244 | 168 | -32 | 200 | GATE | GN | 0 | 113 | 55 | 113 | Z | | GE | TBE | LI | BSE | 145 | 23 | | | | C-horizont | |
| | 557.178.848 | 3.614.102.244 | 168 | -32 | 200 | GATE | GN | 113 | 114 | 54 | 1 | Z | H | BR | | DO | BSE | | | | | gelaagd | paleosol | KOEB P 24 11 1533 en 1534 |
| | 557.178.848 | 3.614.102.244 | 168 | -32 | 200 | GATE | GN | 114 | 129 | 39 | 15 | Z | | GE | TBE | LI | BSE | | | | | | C-horizont | |
| | 557.178.848 | 3.614.102.244 | 168 | -32 | 200 | GATE | GN | 129 | 130 | 38 | 1 | Z | H | BR | | DO | BSE | | | | | | paleosol | KOEB P 24 11 1534 |
| | 557.178.848 | 3.614.102.244 | 168 | -32 | 200 | GATE | GN | 130 | 200 | - | 70 | Z | | GR | TBE | LI | - | | | | | moeilijke observatie | C-horizont | |
| 24-12 | 557.218.060 | 3.614.194.285 | 166 | -24 | 190 | GATE | PL / RDB | 0 | 95 | 71 | 95 | Z | | GE | TBE | LI | BSE | 160 | 6 | | | | C-horizont | |
| | 557.218.060 | 3.614.194.285 | 166 | -24 | 190 | GATE | PL / RDB | 95 | 96 | 70 | 1 | Z | H | BR | | DO | BSE | | | | | gelaagd | paleosol | KOEB P 24 12 0206 |
| | 557.218.060 | 3.614.194.285 | 166 | -24 | 190 | GATE | PL / RDB | 96 | 116 | 50 | 20 | Z | | GE | TBE | LI | BSE | | | | | | C-horizont | |
| | 557.218.060 | 3.614.194.285 | 166 | -24 | 190 | GATE | PL / RDB | 116 | 120 | 46 | 4 | Z | H | BR | TGR | DO | BSE | | | | | gelaagd | paleosol | KOEB P 24 12 0209 |
| | 557.218.060 | 3.614.194.285 | 166 | -24 | 190 | GATE | PL / RDB | 120 | 142 | 24 | 22 | Z | | GR | TBE | LI | BSE | | | | | | C-horizont | |
| | 557.218.060 | 3.614.194.285 | 166 | -24 | 190 | GATE | PL / RDB | 142 | 144 | 22 | 2 | Z | H | BR | TGR | DO | BSE | | | | | gelaagd | paleosol | KOEB P 24 12 0210 |
| | 557.218.060 | 3.614.194.285 | 166 | -24 | 190 | GATE | PL / RDB | 144 | 190 | - | 46 | Z | | GR | TBE | LI | - | | | | | | C-horizont | |
| 24-13 | 557.252.978 | 3.614.288.291 | 157 | -23 | 180 | GATE | GN | 0 | 10 | 147 | 10 | Z | | GR | | | BSE | 145 | 12 | | | | verstoord | |
| | 557.252.978 | 3.614.288.291 | 157 | -23 | 180 | GATE | GN | 10 | 70 | 87 | 60 | Z | | GE | TBE | LI | BSE | | | | | | C-horizont | |
| | 557.252.978 | 3.614.288.291 | 157 | -23 | 180 | GATE | GN | 70 | 75 | 82 | 5 | Z | H | BR | | DO | BSE | | | | | gelaagd | paleosol | KOEB P 24 13 1536 en 1537 |
| | 557.252.978 | 3.614.288.291 | 157 | -23 | 180 | GATE | GN | 75 | 88 | 69 | 13 | Z | | GE | TBE | LI | BSE | | | | | | C-horizont | |
| | 557.252.978 | 3.614.288.291 | 157 | -23 | 180 | GATE | GN | 88 | 90 | 67 | 2 | Z | H | BR | | DO | BSE | | | | | | paleosol | KOEB P 24 13 1538 en 1539 |
| | 557.252.978 | 3.614.288.291 | 157 | -23 | 180 | GATE | GN | 90 | 108 | 49 | 18 | Z | | GR | TBE | LI | BSE | | | | | | C-horizont | |
| | 557.252.978 | 3.614.288.291 | 157 | -23 | 180 | GATE | GN | 108 | 109 | 48 | 1 | Z | H | BR | | DO | BSE | | | | | gelaagd | paleosol | KOEB P 24 13 1540 |
| | 557.252.978 | 3.614.288.291 | 157 | -23 | 180 | GATE | GN | 109 | 124 | 33 | 15 | Z | | GR | TBE | LI | BSE | | | | | | C-horizont | |
| | 557.252.978 | 3.614.288.291 | 157 | -23 | 180 | GATE | GN | 124 | 125 | 32 | 1 | Z | H | BR | | DO | BSE | | | | | moeilijke observatie | paleosol | |
| | 557.252.978 | 3.614.288.291 | 157 | -23 | 180 | GATE | GN | 125 | 180 | - | 55 | Z | | GR | TBE | LI | - | | | | | moeilijke observatie | C-horizont | |
| 24-14 | 557.292.380 | 3.614.380.176 | 152 | -43 | 195 | GATE | PL / RDB | 0 | 70 | 82 | 70 | Z | | GE | TBE | LI | BSE | 150 | 2 | | | | C-horizont | |
| | 557.292.380 | 3.614.380.176 | 152 | -43 | 195 | GATE | PL / RDB | 70 | 73 | 79 | 3 | Z | H | BR | | DO | BSE | | | | | gelaagd | paleosol | KOEB P 24 14 0212 |
| | 557.292.380 | 3.614.380.176 | 152 | -43 | 195 | GATE | PL / RDB | 73 | 125 | 27 | 52 | Z | | GE | TBE | LI | BSE | | | | | | C-horizont | |
| | 557.292.380 | 3.614.380.176 | 152 | -43 | 195 | GATE | PL / RDB | 125 | 126 | 26 | 1 | Z | H | BR | | DO | BSE | | | | | | paleosol | |
| | 557.292.380 | 3.614.380.176 | 152 | -43 | 195 | GATE | PL / RDB | 126 | 175 | -23 | 49 | Z | | GR | TBE | LI | BSE | | | | | | C-horizont | |
| | 557.292.380 | 3.614.380.176 | 152 | -43 | 195 | GATE | PL / RDB | 175 | 195 | - | 20 | Z | H | BR | | DO | - | | | | | | paleosol | |
| 24-15 | 557.331.836 | 3.614.472.079 | 156 | -44 | 200 | GATE | GN | 0 | 20 | 136 | 20 | Z | | GR | | | BSE | 140 | 16 | | | | verstoord | |
| | 557.331.836 | 3.614.472.079 | 156 | -44 | 200 | GATE | GN | 20 | 35 | 121 | 15 | Z | | GE | TBE | LI | BSE | | | | | | C-horizont | |
| | 557.331.836 | 3.614.472.079 | 156 | -44 | 200 | GATE | GN | 35 | 38 | 118 | 3 | K | H | GR | | LI | BSE | | | | | | ? | |
| | 557.331.836 | 3.614.472.079 | 156 | -44 | 200 | GATE | GN | 38 | 78 | 78 | 40 | Z | | GE | TBE | LI | BSE | | | | | | C-horizont | |
| | 557.331.836 | 3.614.472.079 | 156 | -44 | 200 | GATE | GN | 78 | 86 | 70 | 8 | Z | H | BR | TGR | DO | BSE | | | | | gelaagd | paleosol | KOEB P 24 15 1542 en 1543 |
| | 557.331.836 | 3.614.472.079 | 156 | -44 | 200 | GATE | GN | 86 | 195 | -39 | 109 | Z | | GR | TBE | LI | BSE | | | | | moeilijke observatie | C-horizont | |
| | 557.331.836 | 3.614.472.079 | 156 | -44 | 200 | GATE | GN | 195 | 200 | - | 5 | Z | H | BR | | DO | - | | | | | moeilijke observatie | paleosol | KOEB P 24 15 1544 |
| 24-16 | 557.375.724 | 3.614.561.843 | 160 | -60 | 220 | GATE | PL / RDB | 0 | 25 | 135 | 25 | Z | | OR | | LI | BGE | 165 | -5 | | | | B-horizont | |
| | 557.375.724 | 3.614.561.843 | 160 | -60 | 220 | GATE | PL / RDB | 25 | 40 | 120 | 15 | Z | | GE | TOR | LI | BGE | | | | | | B/C-horizont | |
| | 557.375.724 | 3.614.561.843 | 160 | -60 | 220 | GATE | PL / RDB | 40 | 88 | 72 | 48 | Z | | GE | TBE | LI | BSE | | | | | | C-horizont | |

| Boornummer | X-coördinaat | Y-coördinaat | Maaiveldhoogte (cm NAP) | Einddiepte (cm NAP) | relatieve diepte boortraject (cm) | Organisatie beschrijver | Beschrijver lithologie | Bovendiepte laag (cm) | Onderdiepte laag (cm) | ondergrens laag (cm NAP) | dikte pakket (cm) | Grondsoort | Bijmengsel humus | Hoofdkleur | Tweede kleur | Intensiteit kleur | Laaggrens | GWS na einde boring (cm) | GWS (cm NAP) | Vlekken, kleuren en hoeveelheden | Plantenresten | opmerkingen laag | bodemhorizont | Fotonummer |
|---|---|---|---|---|---|---|---|---|---|---|---|---|---|---|---|---|---|---|---|---|---|---|---|---|
| | 557.375.724 | 3.614.561.843 | 160 | -60 | 220 | GATE | PL / RDB | 88 | 93 | 67 | 5 | Z | H | BR | TGR | DO | BSE | | | | | gelaagd | paleosol | KOEB P 24 16 0215 |
| | 557.375.724 | 3.614.561.843 | 160 | -60 | 220 | GATE | PL / RDB | 93 | 113 | 47 | 20 | Z | | GR | TBE | LI | BSE | | | | | | C-horizont | |
| | 557.375.724 | 3.614.561.843 | 160 | -60 | 220 | GATE | PL / RDB | 113 | 123 | 37 | 10 | Z | H | BR | TGR | DO | BSE | | | | | gelaagd | paleosol | KOEB P 24 16 0216 |
| | 557.375.724 | 3.614.561.843 | 160 | -60 | 220 | GATE | PL / RDB | 123 | 195 | -35 | 72 | Z | | GR | TBE | LI | BSE | | | | | | C-horizont | |
| | 557.375.724 | 3.614.561.843 | 160 | -60 | 220 | GATE | PL / RDB | 195 | 202 | -42 | 7 | Z | H | BR | TZW | DO | BSE | | | | 2 | gelaagd | paleosol | KOEB P 24 16 0217 |
| | 557.375.724 | 3.614.561.843 | 160 | -60 | 220 | GATE | PL / RDB | 202 | 220 | - | 18 | Z | | GR | TBE | LI | - | | | | | | C-horizont | |
| 24-17 | 557.415.178 | 3.614.653.705 | 235 | 25 | 210 | GATE | PL / RDB | 0 | 40 | 195 | 40 | Z | | GR | TBR | DO | BSE | | | | | | ploeglaag | |
| | 557.415.178 | 3.614.653.705 | 235 | 25 | 210 | GATE | PL / RDB | 40 | 145 | 90 | 105 | Z | | GE | TBE | LI | BSE | | | | | | C-horizont | |
| | 557.415.178 | 3.614.653.705 | 235 | 25 | 210 | GATE | PL / RDB | 145 | 153 | 82 | 8 | Z | H | BR | TZW | DO | BSE | | | | 2 | gelaagd | paleosol | KOEB P 24 17 0218 |
| | 557.415.178 | 3.614.653.705 | 235 | 25 | 210 | GATE | PL / RDB | 153 | 210 | 25 | 57 | Z | | GR | TBE | LI | - | | | | | | C-horizont | |
| 1 | 558.717.787 | 3.611.818.531 | 258 | 258 | 0 | GATE | GN / PL | 0 | 25 | 233 | 25 | Z | | GR | TBR | DO | BSE | | | | | | ploeglaag | |
| | 558.717.787 | 3.611.818.531 | 258 | 258 | 0 | GATE | GN / PL | 25 | 50 | 208 | 25 | Z | | GR | | | BSE | | | | | | verstoord | |
| | 558.717.787 | 3.611.818.531 | 258 | 258 | 0 | GATE | GN / PL | 50 | 172 | 86 | 122 | Z | | GE | TBE | LI | BSE | | | | | | C-horizont | |
| | 558.717.787 | 3.611.818.531 | 258 | 258 | 0 | GATE | GN / PL | 172 | 182 | 76 | 10 | Z | H | BR | | DO | BSE | | | | | gelaagd | paleosol | KOEH P 01 0647 |
| | 558.717.787 | 3.611.818.531 | 258 | 258 | 0 | GATE | GN / PL | 182 | 185 | - | 3 | Z | | GR | TBE | LI | - | | | | | | C-horizont | |
| 2 | 558.765.605 | 3.611.906.570 | 274 | 274 | 0 | GATE | GN / PL | 0 | 40 | 234 | 40 | Z | | GR | TBR | DO | BSE | | | | | | ploeglaag | |
| | 558.765.605 | 3.611.906.570 | 274 | 274 | 0 | GATE | GN / PL | 40 | 50 | 224 | 10 | Z | | GR | | | BSE | | | | | | verstoord | |
| | 558.765.605 | 3.611.906.570 | 274 | 274 | 0 | GATE | GN / PL | 50 | 65 | 209 | 15 | Z | | GE | TOR | LI | BGE | | | | | | B/C-horizont | |
| | 558.765.605 | 3.611.906.570 | 274 | 274 | 0 | GATE | GN / PL | 65 | 130 | 144 | 65 | Z | | GE | TBE | LI | BSE | | | | | | C-horizont | |
| | 558.765.605 | 3.611.906.570 | 274 | 274 | 0 | GATE | GN / PL | 130 | ? | ? | ? | Z | H | BR | | DO | BSE | | | | | dikte niet genoteerd | paleosol | |
| | 558.765.605 | 3.611.906.570 | 274 | 274 | 0 | GATE | GN / PL | ? | 165 | - | ? | Z | | GR | TBE | LI | - | | | | | | C-horizont | |
| 3 | 558.809.543 | 3.611.990.807 | 284 | 54 | 230 | GATE | GN / PL | 0 | 80 | 204 | 80 | Z | | BR | TGR | DO | BSE | | | | | baksteengruis | verstoord | |
| | 558.809.543 | 3.611.990.807 | 284 | 54 | 230 | GATE | GN / PL | 80 | 90 | 194 | 10 | Z | | GR | TBR | DO | BSE | | | | | | verstoord | |
| | 558.809.543 | 3.611.990.807 | 284 | 54 | 230 | GATE | GN / PL | 90 | 220 | 64 | 130 | Z | | GE | TBE | LI | BSE | | | | | | C-horizont | |
| | 558.809.543 | 3.611.990.807 | 284 | 54 | 230 | GATE | GN / PL | 220 | ? | ? | ? | Z | H | BR | | DO | BSE | | | | | dikte niet genoteerd | paleosol | |
| | 558.809.543 | 3.611.990.807 | 284 | 54 | 230 | GATE | GN / PL | ? | 230 | - | ? | Z | | GR | TBE | LI | - | | | | | | C-horizont | |
| 4 | 558.701.210 | 3.612.038.864 | 282 | 62 | 220 | GATE | GN / PL | 0 | 60 | 222 | 60 | Z | | BR | TGR | DO | BSE | | | | | | ploeglaag | |
| | 558.701.210 | 3.612.038.864 | 282 | 62 | 220 | GATE | GN / PL | 60 | 100 | 182 | 40 | Z | | GR | TBR | DO | BSE | | | | | | verstoord | |
| | 558.701.210 | 3.612.038.864 | 282 | 62 | 220 | GATE | GN / PL | 100 | 115 | 167 | 15 | Z | | GE | TOR | LI | BGE | | | | | | B/C-horizont | |
| | 558.701.210 | 3.612.038.864 | 282 | 62 | 220 | GATE | GN / PL | 115 | 220 | - | 105 | Z | | GE | TBE | LI | - | | | | | | C-horizont | |
| 5 | - | - | - | - | 230 | GATE | GN / PL | 0 | 120 | - | 120 | Z | | BR | TGR | DO | BSE | | | | | | verstoord | |
| | - | - | - | - | 230 | GATE | GN / PL | 120 | 220 | - | 100 | Z | | GE | TBE | LI | BSE | | | | | | C-horizont | |
| | - | - | - | - | 230 | GATE | GN / PL | 220 | 225 | - | 5 | Z | H | BR | | DO | BSE | | | | | | paleosol | |
| | - | - | - | - | 230 | GATE | GN / PL | 225 | 230 | - | 5 | | | GR | TBE | LI | - | | | | | | C-horizont | |
| 6 | 558.287.686 | 3.611.827.975 | 243 | 48 | 195 | GATE | GN / PL | 0 | 30 | 213 | 30 | Z | | BR | TGR | DO | BSE | | | | | | verstoord | KOEH 06 |
| | 558.287.686 | 3.611.827.975 | 243 | 48 | 195 | GATE | GN / PL | 30 | 60 | 183 | 30 | Z | | GE | TOR | LI | BGE | | | | | | B/C-horizont | |
| | 558.287.686 | 3.611.827.975 | 243 | 48 | 195 | GATE | GN / PL | 60 | 100 | 143 | 40 | Z | | GE | TBE | LI | BSE | | | | | | C-horizont | |
| | 558.287.686 | 3.611.827.975 | 243 | 48 | 195 | GATE | GN / PL | 100 | 110 | 133 | 10 | Z | H | BR | TGR | DO | BSE | | | | | gelaagd | paleosol | KOEH P 06 0668 t.e.m. 0670 |
| | 558.287.686 | 3.611.827.975 | 243 | 48 | 195 | GATE | GN / PL | 110 | 155 | 88 | 45 | Z | | GR | TBE | LI | BSE | | | | | | C-horizont | |
| | 558.287.686 | 3.611.827.975 | 243 | 48 | 195 | GATE | GN / PL | 155 | 180 | 63 | 25 | Z | H | BR | TGR | DO | BSE | | | | | gelaagd | paleosol | KOEH P 06 0671 |
| | 558.287.686 | 3.611.827.975 | 243 | 48 | 195 | GATE | GN / PL | 180 | 195 | - | 15 | Z | | GR | TBE | LI | - | | | | | | C-horizont | |
| 7 | 558.206.360 | 3.611.870.465 | 248 | 53 | 195 | GATE | GN / PL | 0 | 40 | 208 | 40 | Z | | OR | | LI | BGE | | | | | | B-horizont | KOEH T 07 0673 t.e.m. 676 |
| | 558.206.360 | 3.611.870.465 | 248 | 53 | 195 | GATE | GN / PL | 40 | 60 | 188 | 20 | Z | | GE | TOR | LI | BGE | | | | | | B/C-horizont | KOEH T 07 0673 t.e.m. 676 |
| | 558.206.360 | 3.611.870.465 | 248 | 53 | 195 | GATE | GN / PL | 60 | 165 | 83 | 105 | Z | | GE | TBE | | BSE | | | | | | C-horizont | KOEH T 07 0673 t.e.m. 676 |
| | 558.206.360 | 3.611.870.465 | 248 | 53 | 195 | GATE | GN / PL | 165 | 175 | 73 | 10 | Z | H | BR | | DO | BSE | | | | | gelaagd | paleosol | KOEH P 07 0679 |
| | 558.206.360 | 3.611.870.465 | 248 | 53 | 195 | GATE | GN / PL | 175 | 185 | 63 | ? | **V** | | BR | | DO | BSE | | | | 3 | | paleosol | KOEH P 07 0679 |
| | 558.206.360 | 3.611.870.465 | 248 | 53 | 195 | GATE | GN / PL | 185 | 195 | - | 10 | Z | | GR | TBE | LI | - | | | | | | C-horizont | |
| 8 | 558.340.742 | 3.611.802.300 | 244 | 44 | 200 | GATE | GN / PL | 0 | 35 | 209 | 35 | Z | | GR | TBR | DO | BSE | | | | | | verstoord | |

| Boornummer | X-coördinaat | Y-coördinaat | Maaiveldhoogte (cm NAP) | Einddiepte (cm NAP) | relatieve diepte boortraject (cm) | Organisatie beschrijver | Beschrijver lithologie | Bovendiepte laag (cm) | Onderdiepte laag (cm) | ondergrens laag (cm NAP) | dikte pakket (cm) | Grondsoort | Bijmengsel humus | Hoofdkleur | Tweede kleur | Intensiteit kleur | Laaggrens | GWS na einde boring (cm) | GWS (cm NAP) | Vlekken, kleuren en hoeveelheden | Plantenresten | opmerkingen laag | bodemhorizont | Fotonummer |
|---|---|---|---|---|---|---|---|---|---|---|---|---|---|---|---|---|---|---|---|---|---|---|---|---|
| | 558.340.742 | 3.611.802.300 | 244 | 44 | 200 | GATE | GN / PL | 35 | 105 | 139 | 70 | Z | | GE | TBE | LI | BSE | | | | | | C-horizont | |
| | 558.340.742 | 3.611.802.300 | 244 | 44 | 200 | GATE | GN / PL | 105 | 115 | 129 | 10 | Z | H | BR | | DO | BSE | | | | | gelaagd | paleosol | |
| | 558.340.742 | 3.611.802.300 | 244 | 44 | 200 | GATE | GN / PL | 115 | 160 | 84 | 45 | Z | | GR | TBE | LI | BSE | | | | | | C-horizont | |
| | 558.340.742 | 3.611.802.300 | 244 | 44 | 200 | GATE | GN / PL | 160 | ? | ? | ? | Z | H | BR | | DO | BSE | | | | | gelaagd<br>dikte niet genoteerd | paleosol | |
| | 558.340.742 | 3.611.802.300 | 244 | 44 | 200 | GATE | GN / PL | ? | 190 | - | ? | **V** | | BR | | DO | BSE | | | | 3 | | paleosol | |
| | 558.340.742 | 3.611.802.300 | 244 | 44 | 200 | GATE | GN / PL | 190 | 200 | - | 10 | Z | | GR | TBE | LI | - | | | | | | C-horizont | |
| 9 | 558.452.005 | 3.611.933.863 | 243 | 43 | 200 | GATE | GN / PL | 0 | 12 | 231 | 12 | Z | | GR | | LI | BSE | | | | | | ophoging | |
| | 558.452.005 | 3.611.933.863 | 243 | 43 | 200 | GATE | GN / PL | 12 | 25 | 218 | 13 | Z | | BR | | DO | BSE | | | | | | verstoord | |
| | 558.452.005 | 3.611.933.863 | 243 | 43 | 200 | GATE | GN / PL | 25 | 153 | 90 | 128 | Z | | GE | TBE | LI | BSE | | | | | | C-horizont | |
| | 558.452.005 | 3.611.933.863 | 243 | 43 | 200 | GATE | GN / PL | 153 | 155 | 88 | 2 | Z | H | BR | | DO | BSE | | | | | gelaagd | paleosol | |
| | 558.452.005 | 3.611.933.863 | 243 | 43 | 200 | GATE | GN / PL | 155 | 182 | 61 | 27 | Z | | GR | TBE | LI | BSE | | | | | | C-horizont | |
| | 558.452.005 | 3.611.933.863 | 243 | 43 | 200 | GATE | GN / PL | 182 | 188 | 55 | 6 | Z | H | BR | | DO | BSE | | | | | gelaagd | paleosol | |
| | 558.452.005 | 3.611.933.863 | 243 | 43 | 200 | GATE | GN / PL | 188 | 192 | 51 | 4 | **V** | | BR | | DO | BSE | | | | 3 | | paleosol | |
| | 558.452.005 | 3.611.933.863 | 243 | 43 | 200 | GATE | GN / PL | 192 | 200 | - | 8 | Z | | GR | TBE | LI | - | | | | | | C-horizont | |
| 10 | 558.252.447 | 3.612.008.403 | 242 | 42 | 200 | GATE | GN / PL | 0 | 15 | 227 | 15 | Z | | GE | TOR | LI | BGE | | | | | | B/C-horizont | |
| | 558.252.447 | 3.612.008.403 | 242 | 42 | 200 | GATE | GN / PL | 15 | 168 | 74 | 153 | Z | | GE | TBE | LI | BSE | | | | | | C-horizont | |
| | 558.252.447 | 3.612.008.403 | 242 | 42 | 200 | GATE | GN / PL | 168 | ? | ? | ? | Z | H | BR | | DO | BSE | | | | | gelaagd | paleosol | |
| | 558.252.447 | 3.612.008.403 | 242 | 42 | 200 | GATE | GN / PL | ? | 185 | 57 | ? | **V** | | BR | | DO | BSE | | | | 3 | | paleosol | |
| | 558.252.447 | 3.612.008.403 | 242 | 42 | 200 | GATE | GN / PL | 185 | 200 | - | 15 | Z | | GR | TBE | LI | - | | | | | | C-horizont | |
| 11 | 558.297.406 | 3.612.100.051 | 261 | 31 | 230 | GATE | GN / PL | 0 | 60 | 201 | 60 | Z | | GR | TBR | DO | BSE | | | | | | verstoord | |
| | 558.297.406 | 3.612.100.051 | 261 | 31 | 230 | GATE | GN / PL | 60 | 200 | 61 | 140 | Z | | GE | TBE | LI | BSE | | | | | | C-horizont | |
| | 558.297.406 | 3.612.100.051 | 261 | 31 | 230 | GATE | GN / PL | 200 | ? | ? | ? | Z | H | BR | | DO | BSE | | | | | gelaagd | paleosol | |
| | 558.297.406 | 3.612.100.051 | 261 | 31 | 230 | GATE | GN / PL | ? | 220 | 41 | ? | **V** | | BR | | DO | BSE | | | | 3 | | paleosol | |
| | 558.297.406 | 3.612.100.051 | 261 | 31 | 230 | GATE | GN / PL | 220 | 230 | - | 10 | Z | | GR | TBE | | - | | | | | | C-horizont | |
| 12 | 558.405.882 | 3.612.186.262 | 280 | 50 | 230 | GATE | GN / PL | 0 | 40 | 240 | 40 | Z | | BR | TGR | DO | BSE | | | | | | ploeglaag | |
| | 558.405.882 | 3.612.186.262 | 280 | 50 | 230 | GATE | GN / PL | 40 | 60 | 220 | 20 | Z | | GR | TBR | DO | BSE | | | | | | verstoord | |
| | 558.405.882 | 3.612.186.262 | 280 | 50 | 230 | GATE | GN / PL | 60 | 230 | - | 170 | Z | | GE | TBE | LI | - | | | | | | C-horizont | |
| 13 | 558.109.158 | 3.612.160.308 | 254 | 44 | 210 | GATE | GN / PL | 0 | 30 | 224 | 30 | Z | | GR | | LI | BSE | | | | | | ophoging | |
| | 558.109.158 | 3.612.160.308 | 254 | 44 | 210 | GATE | GN / PL | 30 | 50 | 204 | 20 | Z | | GE | TOR | LI | BGE | | | | | | B/C-horizont | |
| | 558.109.158 | 3.612.160.308 | 254 | 44 | 210 | GATE | GN / PL | 50 | 185 | 69 | 135 | Z | | GE | TBE | LI | BSE | | | | | | C-horizont | |
| | 558.109.158 | 3.612.160.308 | 254 | 44 | 210 | GATE | GN / PL | 185 | ? | ? | ? | Z | H | BR | | DO | BSE | | | | | gelaagd<br>dikte niet genoteerd | paleosol | |
| | 558.109.158 | 3.612.160.308 | 254 | 44 | 210 | GATE | GN / PL | ? | 200 | 54 | ? | **V** | | BR | | DO | BSE | | | | 3 | | paleosol | |
| | 558.109.158 | 3.612.160.308 | 254 | 44 | 210 | GATE | GN / PL | 200 | 210 | - | 10 | Z | | GR | TBE | LI | - | | | | | | C-horizont | |
| 15 | 557.858.326 | 3.612.321.700 | 263 | 33 | 230 | GATE | GN / PL | 0 | 50 | 213 | 50 | Z | | GR | TBR | DO | BSE | | | | | | verstoord | |
| | 557.858.326 | 3.612.321.700 | 263 | 33 | 230 | GATE | GN / PL | 50 | 220 | 43 | 170 | Z | | GE | TBE | LI | BSE | | | | | | C-horizont | |
| | 557.858.326 | 3.612.321.700 | 263 | 33 | 230 | GATE | GN / PL | 220 | ? | ? | ? | Z | H | BR | | DO | BSE | | | | | dikte niet genoteerd | paleosol | |
| | 557.858.326 | 3.612.321.700 | 263 | 33 | 230 | GATE | GN / PL | ? | 230 | - | ? | **V** | | BR | | DO | - | | | | 3 | | paleosol | |
| 16 | 557.968.387 | 3.612.282.783 | 261 | 41 | 220 | GATE | GN / PL | 0 | 45 | 216 | 45 | Z | | GR | | LI | BSE | | | | | | ophoging | |
| | 557.968.387 | 3.612.282.783 | 261 | 41 | 220 | GATE | GN / PL | 45 | 120 | 141 | 75 | Z | | GR | TBR | DO | BSE | | | | | | verstoord | |
| | 557.968.387 | 3.612.282.783 | 261 | 41 | 220 | GATE | GN / PL | 120 | 205 | 56 | 85 | Z | | GE | TBE | LI | BSE | | | | | | C-horizont | |
| | 557.968.387 | 3.612.282.783 | 261 | 41 | 220 | GATE | GN / PL | 205 | ? | ?. | ? | Z | H | BR | | DO | BSE | | | | | dikte niet genoteerd | paleosol | |
| | 557.968.387 | 3.612.282.783 | 261 | 41 | 220 | GATE | GN / PL | ? | ? | ? | ? | **V** | | BR | | DO | BSE | | | | 3 | dikte niet genoteerd | paleosol | |
| | 557.968.387 | 3.612.282.783 | 261 | 41 | 220 | GATE | GN / PL | ? | 220 | 41 | ? | Z | | GR | TBE | LI | - | | | | | | C-horizont | |
| 17 | 558.041.967 | 3.612.220.731 | 257 | 42 | 215 | GATE | GN / PL | 0 | 35 | 222 | 35 | Z | | GR | | LI | BSE | | | | | | ophoging | |
| | 558.041.967 | 3.612.220.731 | 257 | 42 | 215 | GATE | GN / PL | 35 | 45 | 212 | 10 | Z | | GR | TBR | DO | BSE | | | | | | verstoord | |
| | 558.041.967 | 3.612.220.731 | 257 | 42 | 215 | GATE | GN / PL | 45 | 55 | 202 | 10 | Z | | GE | TOR | LI | BGE | | | | | | B/C-horizont | |

| Boornummer | X-coördinaat | Y-coördinaat | Maaiveldhoogte (cm NAP) | Einddiepte (cm NAP) | relatieve diepte boortraject (cm) | Organisatie beschrijver | Beschrijver lithologie | Bovendiepte laag (cm) | Onderdiepte laag (cm) | ondergrens laag (cm NAP) | dikte pakket (cm) | Grondsoort | Bijmengsel humus | Hoofdkleur | Tweede kleur | Intensiteit kleur | Laaggrens | GWS na einde boring (cm) | GWS (cm NAP) | Vlekken, kleuren en hoeveelheden | Plantenresten | opmerkingen laag | bodemhorizont | Fotonummer |
|---|---|---|---|---|---|---|---|---|---|---|---|---|---|---|---|---|---|---|---|---|---|---|---|---|
| | 558.041.967 | 3.612.220.731 | 257 | 42 | 215 | GATE | GN / PL | 55 | 195 | 62 | 140 | Z | | GE | TBE | LI | BSE | | | | | | C-horizont | |
| | 558.041.967 | 3.612.220.731 | 257 | 42 | 215 | GATE | GN / PL | 195 | ? | ? | ? | Z | H | BR | | DO | BSE | | | | | gelaagd<br>dikte niet genoteerd | paleosol | |
| | 558.041.967 | 3.612.220.731 | 257 | 42 | 215 | GATE | GN / PL | ? | 205 | - | ? | Z | | GR | TBE | LI | - | | | | | | C-horizont | |
| 18 | 557.877.327 | 3.612.185.563 | 255 | 45 | 210 | GATE | GN / PL | 0 | 15 | 240 | 15 | Z | | BR | TGR | DO | BSE | | | | | | verstoord | |
| | 557.877.327 | 3.612.185.563 | 255 | 45 | 210 | GATE | GN / PL | 15 | 30 | 225 | 15 | Z | | GE | TOR | LI | BGE | | | | | | B/C-horizont | |
| | 557.877.327 | 3.612.185.563 | 255 | 45 | 210 | GATE | GN / PL | 30 | 190 | 65 | 160 | Z | | GE | TBE | LI | BSE | | | | | | C-horizont | |
| | 557.877.327 | 3.612.185.563 | 255 | 45 | 210 | GATE | GN / PL | 190 | 200 | 55 | 10 | Z | H | BR | TZW | DO | BSE | | | | | | paleosol | |
| | 557.877.327 | 3.612.185.563 | 255 | 45 | 210 | GATE | GN / PL | 200 | 210 | - | 10 | Z | | GR | TBE | LI | - | | | | | | C-horizont | |
| 19 | 557.851.581 | 3.612.067.710 | 270 | 40 | 230 | GATE | GN / PL | 0 | 10 | 260 | 10 | Z | | GR | | LI | BSE | | | | | | ophoging | |
| | 557.851.581 | 3.612.067.710 | 270 | 40 | 230 | GATE | GN / PL | 10 | 40 | 230 | 30 | Z | | GR | TBR | DO | BSE | | | | | | verstoord | |
| | 557.851.581 | 3.612.067.710 | 270 | 40 | 230 | GATE | GN / PL | 40 | 55 | 215 | 15 | Z | | GE | TOR | LI | BGE | | | | | | B/C-horizont | |
| | 557.851.581 | 3.612.067.710 | 270 | 40 | 230 | GATE | GN / PL | 55 | 190 | 80 | 135 | Z | | GE | TBE | LI | BSE | | | | | | C-horizont | |
| | 557.851.581 | 3.612.067.710 | 270 | 40 | 230 | GATE | GN / PL | 190 | ? | ? | ? | Z | H | BR | | DO | BSE | | | | | dikte niet genoteerd | paleosol | |
| | 557.851.581 | 3.612.067.710 | 270 | 40 | 230 | GATE | GN / PL | ? | 210 | 60 | ? | **V** | | BR | | DO | BSE | | | | 3 | | paleosol | |
| | 557.851.581 | 3.612.067.710 | 270 | 40 | 230 | GATE | GN / PL | 210 | 230 | - | 20 | Z | | GR | TBE | LI | - | | | | | | C-horizont | |
| 20 | 557.951.638 | 3.612.120.466 | 248 | 18 | 230 | GATE | GN / PL | 0 | 25 | 223 | 25 | Z | | GR | | LI | BSE | | | | | | ophoging | |
| | 557.951.638 | 3.612.120.466 | 248 | 18 | 230 | GATE | GN / PL | 25 | 35 | 213 | 10 | Z | | GR | TBR | DO | BSE | | | | | | verstoord | |
| | 557.951.638 | 3.612.120.466 | 248 | 18 | 230 | GATE | GN / PL | 35 | 50 | 198 | 15 | Z | | GE | TOR | LI | BGE | | | | | | B/C-horizont | |
| | 557.951.638 | 3.612.120.466 | 248 | 18 | 230 | GATE | GN / PL | 50 | 185 | 63 | 135 | Z | | GE | TBE | LI | BSE | | | | | | C-horizont | |
| | 557.951.638 | 3.612.120.466 | 248 | 18 | 230 | GATE | GN / PL | 185 | ? | ? | ? | **V** | | BR | | DO | BSE | | | | 3 | dikte niet genoteerd | paleosol | |
| | 557.951.638 | 3.612.120.466 | 248 | 18 | 230 | GATE | GN / PL | ? | 230 | - | ? | Z | | GR | TBE | LI | - | | | | | | C-horizont | |
| 21 | 557.702.773 | 3.612.232.660 | 257 | 37 | 220 | GATE | GN / PL | 0 | 25 | 232 | 25 | Z | | GR | | LI | BSE | | | | | | ophoging | |
| | 557.702.773 | 3.612.232.660 | 257 | 37 | 220 | GATE | GN / PL | 25 | 40 | 217 | 15 | Z | | GE | TOR | LI | BGE | | | | | | B/C-horizont | |
| | 557.702.773 | 3.612.232.660 | 257 | 37 | 220 | GATE | GN / PL | 40 | 200 | 57 | 160 | Z | | GE | TBE | LI | BSE | | | | | | C-horizont | |
| | 557.702.773 | 3.612.232.660 | 257 | 37 | 220 | GATE | GN / PL | 200 | 215 | 42 | 15 | Z | | BR | TZW | DO | BSE | | | | 2 | gelaagd | paleosol | |
| | 557.702.773 | 3.612.232.660 | 257 | 37 | 220 | GATE | GN / PL | 215 | 220 | - | 5 | Z | | GR | TBE | LI | - | | | | | | C-horizont | |
| 22 | 557.659.246 | 3.612.145.589 | 271 | 51 | 220 | GATE | GN / PL | 0 | 10 | 261 | 10 | Z | | GR | | LI | BSE | | | | | | ophoging | |
| | 557.659.246 | 3.612.145.589 | 271 | 51 | 220 | GATE | GN / PL | 10 | 55 | 216 | 45 | Z | | GR | TBR | DO | BSE | | | | | | verstoord | |
| | 557.659.246 | 3.612.145.589 | 271 | 51 | 220 | GATE | GN / PL | 55 | 205 | 66 | 150 | Z | | GE | TBE | LI | BSE | | | | | tussen ca. 80 en 170: bruine vlekken | C-horizont | |
| | 557.659.246 | 3.612.145.589 | 271 | 51 | 220 | GATE | GN / PL | 205 | ? | ? | ? | Z | H | BR | | DO | BSE | | | | | gelaagd<br>dikte niet genoteerd | paleosol | |
| | 557.659.246 | 3.612.145.589 | 271 | 51 | 220 | GATE | GN / PL | ? | 210 | 61 | ? | **V** | | BR | | DO | BSE | | | | 3 | | paleosol | |
| | 557.659.246 | 3.612.145.589 | 271 | 51 | 220 | GATE | GN / PL | 210 | 220 | - | 10 | Z | | GR | TBE | LI | - | | | | | | C-horizont | |
| 23 | 557.634.493 | 3.612.305.811 | 261 | 36 | 225 | GATE | GN / PL | 0 | 50 | 211 | 50 | Z | | BR | TGR | DO | BSE | | | | | | verstoord | |
| | 557.634.493 | 3.612.305.811 | 261 | 36 | 225 | GATE | GN / PL | 50 | 65 | 196 | 15 | Z | | GE | TOR | LI | BGE | | | | | | B/C-horizont | |
| | 557.634.493 | 3.612.305.811 | 261 | 36 | 225 | GATE | GN / PL | 65 | 210 | 51 | 145 | Z | | GE | TBE | LI | BSE | | | | | | C-horizont | |
| | 557.634.493 | 3.612.305.811 | 261 | 36 | 225 | GATE | GN / PL | 210 | ? | ? | ? | Z | H | BR | | DO | BSE | | | | | gelaagd<br>dikte niet genoteerd | paleosol | |
| | 557.634.493 | 3.612.305.811 | 261 | 36 | 225 | GATE | GN / PL | ? | 225 | - | ? | Z | | GR | TBE | LI | - | | | | | | C-horizont | |
| 24 | 557.524.664 | 3.612.330.770 | 253 | 28 | 225 | GATE | GN / PL | 0 | 24 | 229 | 24 | Z | | BR | TGR | DO | BSE | | | | | | ploeglaag | |
| | 557.524.664 | 3.612.330.770 | 253 | 28 | 225 | GATE | GN / PL | 24 | 49 | 204 | 25 | Z | | GR | TBR | DO | BSE | | | | | | verstoord | |
| | 557.524.664 | 3.612.330.770 | 253 | 28 | 225 | GATE | GN / PL | 49 | 65 | 188 | 16 | Z | | GE | TOR | LI | BGE | | | | | | B/C-horizont | |
| | 557.524.664 | 3.612.330.770 | 253 | 28 | 225 | GATE | GN / PL | 65 | 205 | 48 | 140 | Z | | GE | TBE | LI | BSE | | | | | | C-horizont | |
| | 557.524.664 | 3.612.330.770 | 253 | 28 | 225 | GATE | GN / PL | 205 | 209 | 44 | 4 | Z | H | BR | | DO | BSE | | | | | | paleosol | |
| | 557.524.664 | 3.612.330.770 | 253 | 28 | 225 | GATE | GN / PL | 209 | 225 | - | 16 | Z | | GR | TBE | LI | - | | | | | | C-horizont | |
| 25 | 557.505.257 | 3.612.207.548 | 268 | 38 | 230 | GATE | GN / PL | 0 | 24 | 244 | 24 | Z | | BR | TGR | DO | BSE | | | | | | ploeglaag | |
| | 557.505.257 | 3.612.207.548 | 268 | 38 | 230 | GATE | GN / PL | 24 | 40 | 228 | 16 | Z | | GR | TBR | DO | BSE | | | | | | verstoord | |

| Boornummer | X-coördinaat | Y-coördinaat | Maaiveldhoogte (cm NAP) | Einddiepte (cm NAP) | relatieve diepte boortraject (cm) | Organisatie beschrijver | Beschrijver lithologie | Bovendiepte laag (cm) | Onderdiepte laag (cm) | ondergrens laag (cm NAP) | dikte pakket (cm) | Grondsoort | Bijmengsel humus | Hoofdkleur | Tweede kleur | Intensiteit kleur | Laaggrens | GWS na einde boring (cm) | GWS (cm NAP) | Vlekken, kleuren en hoeveelheden | Plantenresten | opmerkingen laag | bodemhorizont | Fotonummer |
|---|---|---|---|---|---|---|---|---|---|---|---|---|---|---|---|---|---|---|---|---|---|---|---|---|
| | 557.505.257 | 3.612.207.548 | 268 | 38 | 230 | GATE | GN / PL | 40 | 55 | 213 | 15 | Z | | GE | TOR | LI | BGE | | | | | | B/C-horizont | |
| | 557.505.257 | 3.612.207.548 | 268 | 38 | 230 | GATE | GN / PL | 55 | 220 | 48 | 165 | Z | | GE | TBE | LI | BSE | | | | | | C-horizont | |
| | 557.505.257 | 3.612.207.548 | 268 | 38 | 230 | GATE | GN / PL | 220 | 223 | 45 | 3 | Z | H | BR | | DO | BSE | | | | | gelaagd | paleosol | |
| | 557.505.257 | 3.612.207.548 | 268 | 38 | 230 | GATE | GN / PL | 223 | 230 | - | 7 | Z | | GR | TBE | LI | - | | | | | | C-horizont | |
| 26 | 557.406.699 | 3.612.300.374 | 276 | 51 | 225 | GATE | GN / PL | 0 | 30 | 246 | 30 | Z | | GR | | LI | BSE | | | | | | ophoging | |
| | 557.406.699 | 3.612.300.374 | 276 | 51 | 225 | GATE | GN / PL | 30 | 45 | 231 | 15 | Z | | GE | TOR | LI | BGE | | | | | | B/C-horizont | |
| | 557.406.699 | 3.612.300.374 | 276 | 51 | 225 | GATE | GN / PL | 45 | 210 | 66 | 165 | Z | | GE | TBE | LI | BSE | | | | | | C-horizont | |
| | 557.406.699 | 3.612.300.374 | 276 | 51 | 225 | GATE | GN / PL | 210 | ? | ? | ? | Z | H | BR | | DO | BSE | | | | | gelaagd | paleosol | |
| | 557.406.699 | 3.612.300.374 | 276 | 51 | 225 | GATE | GN / PL | ? | 215 | 61 | ? | **V** | | BR | | DO | BSE | | | | 3 | | paleosol | |
| | 557.406.699 | 3.612.300.374 | 276 | 51 | 225 | GATE | GN / PL | 215 | 225 | - | 10 | Z | | GR | TBE | LI | - | | | | | | C-horizont | |
| 27 | 557.323.493 | 3.612.389.597 | 274 | 44 | 230 | GATE | GN / PL | 0 | 10 | 264 | 10 | Z | | BR | TGR | DO | BSE | | | | | | ploeglaag | |
| | 557.323.493 | 3.612.389.597 | 274 | 44 | 230 | GATE | GN / PL | 10 | 40 | 234 | 30 | Z | | GR | TBR | DO | BSE | | | | | | verstoord | |
| | 557.323.493 | 3.612.389.597 | 274 | 44 | 230 | GATE | GN / PL | 40 | 55 | 219 | 15 | Z | | GE | TOR | LI | BGE | | | | | | B/C-horizont | |
| | 557.323.493 | 3.612.389.597 | 274 | 44 | 230 | GATE | GN / PL | 55 | 220 | 54 | 165 | Z | | GE | TBE | LI | BSE | | | | | | C-horizont | |
| | 557.323.493 | 3.612.389.597 | 274 | 44 | 230 | GATE | GN / PL | 220 | 224 | 50 | 4 | Z | H | BR | | DO | BSE | | | | | gelaagd | paleosol | |
| | 557.323.493 | 3.612.389.597 | 274 | 44 | 230 | GATE | GN / PL | 224 | 230 | - | 6 | Z | | GR | TBE | LI | - | | | | | | C-horizont | |
| 28 | 557.276.355 | 3.612.258.447 | 289 | 209 | 80 | GATE | GN / PL | 0 | 80 | - | 80 | Z | | BR | GR | DO | - | | | | | op 80 cm ondoordringbare verstoring | verstoord | |
| 29 | 557.230.689 | 3.612.351.740 | 289 | 59 | 230 | GATE | GN / PL | 0 | 30 | 259 | 30 | Z | | BR | TGR | DO | BSE | | | | | | ploeglaag | |
| | 557.230.689 | 3.612.351.740 | 289 | 59 | 230 | GATE | GN / PL | 30 | 40 | 249 | 10 | Z | | GR | TBR | DO | BSE | | | | | | verstoord | |
| | 557.230.689 | 3.612.351.740 | 289 | 59 | 230 | GATE | GN / PL | 40 | 50 | 239 | 10 | Z | | GE | TOR | LI | BGE | | | | | | B/C-horizont | |
| | 557.230.689 | 3.612.351.740 | 289 | 59 | 230 | GATE | GN / PL | 50 | 230 | - | 180 | Z | | GE | TBE | LI | - | | | | | | C-horizont | |
| 30 | 557.271.730 | 3.612.457.922 | 291 | 61 | 230 | GATE | GN / PL | 0 | 90 | 201 | 90 | Z | | BR | TGR | DO | BSE | | | | | | verstoord | |
| | 557.271.730 | 3.612.457.922 | 291 | 61 | 230 | GATE | GN / PL | 90 | 230 | - | 140 | Z | | GE | TBE | LI | - | | | | | | C-horizont | |
| 31 | 558.062.887 | 3.611.955.820 | 259 | 29 | 230 | GATE | GN / PL | 0 | 18 | 241 | 18 | Z | | GR | | LI | BSE | | | | | | ophoging | |
| | 558.062.887 | 3.611.955.820 | 259 | 29 | 230 | GATE | GN / PL | 18 | 30 | 229 | 12 | Z | | GE | TOR | LI | BGE | | | | | | B/C-horizont | |
| | 558.062.887 | 3.611.955.820 | 259 | 29 | 230 | GATE | GN / PL | 30 | 190 | 69 | 160 | Z | | GE | TBE | LI | BSE | | | | | | C-horizont | |
| | 558.062.887 | 3.611.955.820 | 259 | 29 | 230 | GATE | GN / PL | 190 | ? | ? | ? | Z | H | BR | | DO | BSE | | | | | gelaagd<br>dikte niet genoteerd | paleosol | |
| | 558.062.887 | 3.611.955.820 | 259 | 29 | 230 | GATE | GN / PL | ? | 200 | 59 | ? | **V** | | BR | | DO | BSE | | | | | | paleosol | |
| | 558.062.887 | 3.611.955.820 | 259 | 29 | 230 | GATE | GN / PL | 200 | 230 | - | 30 | Z | | GR | TBE | LI | - | | | | | | C-horizont | |
| 32 | 558.007.489 | 3.611.846.175 | 283 | 53 | 230 | GATE | GN / PL | 0 | 80 | 203 | 80 | Z | | BR | TGR | DO | BSE | | | | | | verstoord | |
| | 558.007.489 | 3.611.846.175 | 283 | 53 | 230 | GATE | GN / PL | 80 | 220 | 63 | 140 | Z | | GE | TBE | LI | BSE | | | | | | C-horizont | |
| | 558.007.489 | 3.611.846.175 | 283 | 53 | 230 | GATE | GN / PL | 220 | ? | ? | ? | Z | H | BR | | DO | BSE | | | | | | paleosol | |
| | 558.007.489 | 3.611.846.175 | 283 | 53 | 230 | GATE | GN / PL | ? | 230 | - | ? | Z | | GR | TBE | LI | - | | | | | | C-horizont | |
| 33 | 558.143.801 | 3.611.925.899 | 242 | 47 | 195 | GATE | GN / PL | 0 | 160 | 82 | 160 | Z | | GE | TBE | LI | BSE | | | | | | C-horizont | |
| | 558.143.801 | 3.611.925.899 | 242 | 47 | 195 | GATE | GN / PL | 160 | ? | ? | ? | Z | H | BR | | DO | BSE | | | | | dikte niet genoteerd | paleosol | |
| | 558.143.801 | 3.611.925.899 | 242 | 47 | 195 | GATE | GN / PL | ? | ? | ? | ? | **V** | | BR | | DO | BSE | | | | 3 | dikte niet genoteerd | paleosol | |
| | 558.143.801 | 3.611.925.899 | 242 | 47 | 195 | GATE | GN / PL | ? | ? | ? | ? | Z | | ? | | ? | BSE | | | | | dikte niet genoteerd | ? | |
| | 558.143.801 | 3.611.925.899 | 242 | 47 | 195 | GATE | GN / PL | ? | 180 | 62 | ? | **V** | | BR | | DO | BSE | | | | 3 | dikte niet genoteerd | paleosol | |
| | 558.143.801 | 3.611.925.899 | 242 | 47 | 195 | GATE | GN / PL | 180 | 195 | - | 15 | Z | | GR | TBE | LI | - | | | | | | C-horizont | |
| 34 | 558.489.065 | 3.611.734.869 | 241 | 241 | | GATE | GN / PL | 0 | 65 | 176 | 65 | Z | | BR | GR | DO | BSE | | | | | | verstoord | |
| | 558.489.065 | 3.611.734.869 | 241 | 241 | | GATE | GN / PL | 65 | 130 | 111 | 65 | Z | | GE | TBE | LI | BSE | | | | | | C-horizont | |
| | 558.489.065 | 3.611.734.869 | 241 | 241 | | GATE | GN / PL | 130 | 180 | 61 | 50 | **Z/V** | | BR | | DO | BSE | | | | 3 | details niet genoteerd - vermoedelijk opeenvolging van lagen | paleosol | |
| | 558.489.065 | 3.611.734.869 | 241 | 241 | | GATE | GN / PL | 180 | ? | - | ? | Z | | GR | TBE | LI | - | | | | | dikte niet genoteerd | C-horizont | |
| 35 | 558.596.647 | 3.611.681.293 | 256 | 211 | 45 | GATE | GN / PL | 0 | 10 | 246 | 10 | Z | | BR | TGR | DO | BSE | | | | | | ploeglaag | |
| | 558.596.647 | 3.611.681.293 | 256 | 211 | 45 | GATE | GN / PL | 10 | 45 | - | 35 | Z | | GR | TBR | DO | - | | | | | op 40 cm ondoordringbare verstoring | verstoord | |
| 36 | 558.607.568 | 3.611.660.421 | 252 | 107 | 145 | GATE | GN / PL | 0 | 10 | 242 | 10 | Z | | BR | TGR | DO | BSE | | | | | | ploeglaag | |

| Boornummer | X-coördinaat | Y-coördinaat | Maaiveldhoogte (cm NAP) | Einddiepte (cm NAP) | relatieve diepte boortraject (cm) | Organisatie beschrijver | Beschrijver lithologie | Bovendiepte laag (cm) | Onderdiepte laag (cm) | ondergrens laag (cm NAP) | dikte pakket (cm) | Grondsoort | Bijmengsel humus | Hoofdkleur | Tweede kleur | Intensiteit kleur | Laaggrens | GWS na einde boring (cm) | GWS (cm NAP) | Vlekken, kleuren en hoeveelheden | Plantenresten | opmerkingen laag | bodemhorizont | Fotonummer |
|---|---|---|---|---|---|---|---|---|---|---|---|---|---|---|---|---|---|---|---|---|---|---|---|---|
| | 558.607.568 | 3.611.660.421 | 252 | 107 | 145 | GATE | GN / PL | 10 | 145 | - | 135 | Z | | GR | TBR | DO | - | | | | | op 145 cm ondoordringbare verstoring | verstoord | |
| 37 | 558.546.496 | 3.611.575.426 | 260 | 30 | 230 | GATE | GN / PL | 0 | 10 | 250 | 10 | Z | | BR | TGR | DO | BSE | | | | | | ploeglaag | |
| | 558.546.496 | 3.611.575.426 | 260 | 30 | 230 | GATE | GN / PL | 10 | 100 | 160 | 90 | Z | | GR | TBR | DO | BSE | | | | | | verstoord | |
| | 558.546.496 | 3.611.575.426 | 260 | 30 | 230 | GATE | GN / PL | 100 | 140 | 120 | 40 | Z | | GE | TBE | LI | BSE | | | | | | C-horizont | |
| | 558.546.496 | 3.611.575.426 | 260 | 30 | 230 | GATE | GN / PL | 140 | 210 | 50 | 70 | **Z/V** | | BR | | DO | BSE | | | | 3 | details niet genoteerd - vermoedelijk opeenvolging van lagen | paleosol | |
| | 558.546.496 | 3.611.575.426 | 260 | 30 | 230 | GATE | GN / PL | 210 | 230 | - | 20 | Z | | GR | TBE | LI | - | | | | | | C-horizont | |
| 38 | 558.482.897 | 3.611.666.697 | 249 | 49 | 200 | GATE | GN / PL | 0 | 10 | 239 | 10 | Z | | GR | | LI | BSE | | | | | | ophoging | |
| | 558.482.897 | 3.611.666.697 | 249 | 49 | 200 | GATE | GN / PL | 10 | 60 | 189 | 50 | Z | | GR | TBR | DO | BSE | | | | | | verstoord | |
| | 558.482.897 | 3.611.666.697 | 249 | 49 | 200 | GATE | GN / PL | 60 | 70 | 179 | 10 | Z | | OR | | LI | BGE | | | | | | B-horizont | |
| | 558.482.897 | 3.611.666.697 | 249 | 49 | 200 | GATE | GN / PL | 70 | 80 | 169 | 10 | Z | | GE | TOR | LI | BGE | | | | | | B/C-horizont | |
| | 558.482.897 | 3.611.666.697 | 249 | 49 | 200 | GATE | GN / PL | 80 | 150 | 99 | 70 | Z | | GE | TBE | LI | BSE | | | | | | C-horizont | |
| | 558.482.897 | 3.611.666.697 | 249 | 49 | 200 | GATE | GN / PL | 150 | 155 | 94 | 5 | Z | H | BR | TZW | DO | BSE | | | | | compact | paleosol | |
| | 558.482.897 | 3.611.666.697 | 249 | 49 | 200 | GATE | GN / PL | 155 | 175 | 74 | 20 | Z | | GR | TBE | LI | BSE | | | | | | C-horizont | |
| | 558.482.897 | 3.611.666.697 | 249 | 49 | 200 | GATE | GN / PL | 175 | 180 | 69 | 5 | Z | H | BR | | DO | BSE | | | | | | paleosol | |
| | 558.482.897 | 3.611.666.697 | 249 | 49 | 200 | GATE | GN / PL | 180 | 200 | - | 20 | Z | | GR | TBE | LI | - | | | | | | C-horizont | |

| Boornummer | X-coördinaat | Y-coördinaat | Monstercode | diameter boor | Doel monster | Monsterbewerking | Maaswijdte zeef | opmerkingen | aantal monsters podzol | Archeologische indicatoren |
|---|---|---|---|---|---|---|---|---|---|---|
| 1-1 | 558.870.273 | 3.612.220.316 | 1-1 | 12 | MA | MNA | 1 mm | | 1 | |
| 1-2 | 558.909.642 | 3.612.312.781 | 1-2 | 12 | MA | MNA | 1 mm | | 1 | |
| 1-3 | 558.948.348 | 3.612.404.769 | 1-3 | 12 | MA | MNA | 1 mm | | 2 | |
| ~~1-4~~ | ~~558.985.883~~ | ~~3.612.495.485~~ | | | | | | ~~niet geboord~~ | 0 | |
| 1-5 | 559.025.557 | 3.612.587.548 | 1-5 | 12 | MA | MNA | 1 mm | | 1 | |
| 1-6 | 559.065.477 | 3.612.680.205 | 1-6 | 12 | MA | MNA | 1 mm | | 1 | |
| 1-7 | 559.104.763 | 3.612.771.322 | 1-7 | 12 | MA | MNA | 1 mm | | 1 | |
| 1-8 | 559.145.339 | 3.612.863.697 | 1-8 | 12 | MA | MNA | 1 mm | | 1 | |
| 1-9 | 559.186.813 | 3.612.954.637 | 1-9 | 12 | MA | MNA | 1 mm | | 1 | |
| 1-10 | 559.226.078 | 3.613.046.460 | 1-10 | 12 | MA | MNA | 1 mm | | 1 | |
| 1-11 | 559.265.538 | 3.613.138.457 | 1-11 | 12 | MA | MNA | 1 mm | | 1 | |
| 1-12 | 559.305.119 | 3.613.230.099 | 1-12 | 12 | | | 1 mm | | | |
| 2-1 | 558.767.134 | 3.612.224.264 | 2-1 | 12 | MA | MNA | 1 mm | | 1 | |
| 2-2 | 558.806.405 | 3.612.316.181 | 2-2 | 12 | MA | MNA | 1 mm | | 1 | |
| 2-3 | 558.846.082 | 3.612.408.125 | 2-3 | 12 | MA | MNA | 1 mm | | 2 | |
| 2-4 | 558.885.432 | 3.612.499.965 | 2-4 | 12 | MA | MNA | 1 mm | | 2 | |
| ~~2-5~~ | ~~558.924.715~~ | ~~3.612.592.093~~ | | | | | | ~~niet geboord~~ | 0 | |
| 2-6 | 558.964.148 | 3.612.683.979 | 2-6 | 12 | MA | MNA | 1 mm | | 1 | |
| 2-7 | 559.003.569 | 3.612.775.596 | 2-7 | 12 | MA | MNA | 1 mm | | 1 | |
| 2-8 | 559.043.156 | 3.612.867.548 | 2-8 | 12 | MA | MNA | 1 mm | | 1 | |
| 2-9 | 559.082.330 | 3.612.959.511 | 2-9 | 12 | MA | MNA | 1 mm | | 1 | |
| 2-10 | 559.121.755 | 3.613.051.624 | 2-10 | 12 | MA | MNA | 1 mm | | 1 | |
| 2-11 | 559.161.342 | 3.613.143.495 | 2-11 | 12 | MA | MNA | 1 mm | | 1 | |
| 2-12 | 559.200.591 | 3.613.235.159 | 2-12 | 12 | | | 1 mm | | | |
| 2-13 | 559.240.144 | 3.613.327.051 | 2-13 | 12 | MA | MNA | 1 mm | | 1 | 1 VST |
| ~~3-1~~ | ~~558.655.532~~ | ~~3.612.217.851~~ | | | | | | ~~niet geboord~~ | 0 | |
| 3-2 | 558.694.960 | 3.612.309.599 | 3-2 | 12 | MA | MNA | 1 mm | | 1 | |
| 3-3 | 558.734.424 | 3.612.401.645 | 3-3 | 12 | MA | MNA | 1 mm | | 2 | |
| 3-4 | 558.773.769 | 3.612.493.428 | 3-4 | 12 | MA | MNA | 1 mm | | 1 | |
| 3-5 | 558.813.205 | 3.612.585.508 | 3-5 | 12 | MA | MNA | 1 mm | | 1 | 8 VST |
| 3-6 | 558.852.730 | 3.612.677.288 | 3-6 | 12 | MA | MNA | 1 mm | | 1 | |
| 3-7 | 558.891.923 | 3.612.769.146 | 3-7 | 12 | MA | MNA | 1 mm | | 1 | |
| 3-8 | 558.931.471 | 3.612.861.159 | 3-8 | 12 | MA | MNA | 1 mm | | 1 | |
| 3-9 | 558.970.900 | 3.612.952.999 | 3-9 | 12 | MA | MNA | 1 mm | | 1 | |
| 3-10 | 559.010.198 | 3.613.045.004 | 3-10 | 12 | MA | MNA | 1 mm | | 1 | |
| 3-11 | 559.044.966 | 3.613.138.865 | 3-11 | 12 | MA | MNA | 1 mm | | 1 | |
| 3-12 | 559.084.332 | 3.613.230.785 | 3-12 | 12 | MA | MNA | 1 mm | | 1 | |
| 3-13 | 559.128.577 | 3.613.320.670 | 3-13 | 12 | MA | MNA | 1 mm | | 1 | |
| 4-1 | 558.543.806 | 3.612.211.261 | 4-1 | 12 | MA | MNA | 1 mm | | 2 | |
| 4-2 | 558.583.192 | 3.612.303.057 | 4-2 | 12 | MA | MNA | 1 mm | | 2 | |
| 4-3 | 558.622.839 | 3.612.394.972 | 4-3 | 12 | MA | MNA | 1 mm | | 2 | |
| 4-4 | 558.662.215 | 3.612.487.037 | 4-4 | 12 | MA | MNA | 1 mm | | 1 | |
| 4-5 | 558.701.586 | 3.612.578.951 | 4-5 | 12 | MA | MNA | 1 mm | | 1 | |
| 4-6 | 558.740.939 | 3.612.670.863 | 4-6 | 12 | MA | MNA | 1 mm | | 1 | |
| 4-7 | 558.780.267 | 3.612.762.639 | 4-7 | 12 | MA | MNA | 1 mm | | 1 | |
| 4-8 | 558.819.753 | 3.612.854.650 | 4-8 | 12 | MA | MNA | 1 mm | | 1 | |
| 4-9 | 558.859.284 | 3.612.946.472 | 4-9 | 12 | MA | MNA | 1 mm | | 1 | |
| 4-10 | 558.898.680 | 3.613.038.213 | 4-10 | 12 | MA | MNA | 1 mm | | 1 | |
| 4-11 | 558.933.431 | 3.613.132.284 | 4-11 | 12 | MA | MNA | 1 mm | | 1 | |
| 4-12 | 558.972.749 | 3.613.224.117 | 4-12 | 12 | MA | MNA | 1 mm | | 2 | |
| 4-13 | 559.012.379 | 3.613.316.308 | 4-13 | 12 | MA | MNA | 1 mm | | 1 | |
| 4-14 | 559.056.423 | 3.613.406.017 | 4-14 | 12 | MA | MNA | 1 mm | | 2 | |
| 5-1 | 558.471.724 | 3.612.296.796 | 5-1 | 12 | MA | MNA | 1 mm | | 1 | |
| 5-2 | 558.511.128 | 3.612.388.534 | 5-2 | 12 | MA | MNA | 1 mm | | 1 | |
| 5-3 | 558.550.563 | 3.612.480.482 | 5-3 | 12 | MA | MNA | 1 mm | | 1 | |
| 5-4 | 558.589.952 | 3.612.572.433 | 5-4 | 12 | MA | MNA | 1 mm | | 1 | |

| Boornummer | X-coördinaat | Y-coördinaat | Monstercode | diameter boor | Doel monster | Monsterbewerking | Maaswijdte zeef | opmerkingen | aantal monsters podzol | Archeologische indicatoren |
|---|---|---|---|---|---|---|---|---|---|---|
| 5-5 | 558.629.454 | 3.612.664.374 | 5-5 | 12 | MA | MNA | 1 mm | | 1 | |
| ~~5-6~~ | ~~558.668.847~~ | ~~3.612.756.086~~ | | | | | | ~~niet geboord~~ | 0 | |
| 5-7 | 558.708.112 | 3.612.848.003 | 5-7 | 12 | MA | MNA | 1 mm | | 1 | |
| 5-8 | 558.747.611 | 3.612.939.854 | 5-8 | 12 | MA | MNA | 1 mm | | 1 | |
| 5-9 | 558.786.943 | 3.613.031.801 | 5-9 | 12 | MA | MNA | 1 mm | | 1 | |
| 5-10 | 558.826.378 | 3.613.123.715 | 5-10 | 12 | MA | MNA | 1 mm | | 1 | |
| 5-11 | 558.865.903 | 3.613.215.536 | 5-11 | 12 | MA | MNA | 1 mm | | 1 | |
| 5-12 | 558.905.247 | 3.613.307.661 | 5-12 | 12 | MA | MNA | 1 mm | | 1 | |
| 5-13 | 558.944.565 | 3.613.399.524 | 5-13 | 12 | MA | MNA | 1 mm | | 1 | |
| 6-1 | 558.360.097 | 3.612.289.962 | 6-1 | 12 | MA | MNA | 1 mm | | 1 | |
| 6-2 | 558.399.555 | 3.612.382.002 | 6-2 | 12 | MA | MNA | 1 mm | | 1 | |
| 6-3 | 558.438.958 | 3.612.474.021 | 6-3 | 12 | MA | MNA | 1 mm | | 1 | |
| 6-4 | 558.478.246 | 3.612.565.724 | 6-4 | 12 | MA | MNA | 1 mm | | 1 | |
| 6-5 | 558.517.734 | 3.612.657.849 | 6-5 | 12 | MA | MNA | 1 mm | | 1 | |
| 6-6 | 558.557.249 | 3.612.749.598 | 6-6 | 12 | MA | MNA | 1 mm | | 2 | |
| 6-7 | 558.596.498 | 3.612.841.574 | 6-7 | 12 | MA | MNA | 1 mm | | 1 | |
| 6-8 | 558.636.016 | 3.612.933.447 | 6-8 | 12 | MA | MNA | 1 mm | | 1 | |
| 6-9 | 558.675.369 | 3.613.025.426 | 6-9 | 12 | MA | MNA | 1 mm | | 1 | |
| 6-10 | 558.714.967 | 3.613.117.082 | 6-10 | 12 | MA | MNA | 1 mm | | 1 | |
| 6-11 | 558.754.310 | 3.613.208.965 | 6-11 | 12 | MA | MNA | 1 mm | | 1 | |
| 6-12 | 558.793.618 | 3.613.300.915 | 6-12 | 12 | MA | MNA | 1 mm | | 1 | |
| 6-13 | 558.833.096 | 3.613.392.815 | 6-13 | 12 | MA | MNA | 1 mm | | 1 | |
| 6-14 | 558.872.343 | 3.613.484.814 | 6-14 | 12 | MA | MNA | 1 mm | | 1 | |
| ~~7-1~~ | | | | | | | | ~~niet geboord~~ | 0 | |
| 7-2 | 558.287.984 | 3.612.375.316 | 7-2 | 12 | MA | MNA | 1 mm | | 1 | |
| 7-3 | 558.327.265 | 3.612.467.343 | 7-3 | 12 | MA | MNA | 1 mm | | 1 | |
| 7-4 | 558.366.725 | 3.612.559.294 | 7-4 | 12 | MA | MNA | 1 mm | | 1 | |
| 7-5 | 558.406.084 | 3.612.651.036 | 7-5 | 12 | MA | MNA | 1 mm | | 1 | |
| 7-6 | 558.445.684 | 3.612.743.067 | 7-6 | 12 | MA | MNA | 1 mm | | 1 | |
| 7-7 | 558.485.031 | 3.612.834.891 | 7-7 | 12 | MA | MNA | 1 mm | | 1 | |
| 7-8 | 558.524.386 | 3.612.926.732 | 7-8 | 12 | MA | MNA | 1 mm | | 1 | |
| 7-9 | 558.563.825 | 3.613.018.623 | 7-9 | 12 | MA | MNA | 1 mm | | 1 | |
| 7-10 | 558.603.117 | 3.613.110.653 | 7-10 | 12 | MA | MNA | 1 mm | | 1 | |
| 7-11 | 558.642.827 | 3.613.202.579 | 7-11 | 12 | MA | MNA | 1 mm | | 1 | |
| 7-12 | 558.681.966 | 3.613.294.637 | 7-12 | 12 | MA | MNA | 1 mm | | 1 | |
| 7-13 | 558.721.385 | 3.613.386.281 | 7-13 | 12 | MA | MNA | 1 mm | | 1 | |
| 7-14 | 558.761.013 | 3.613.478.398 | 7-14 | 12 | MA | MNA | 1 mm | | 1 | |
| 8-1 | 558.176.154 | 3.612.368.840 | 8-1 | 12 | MA | MNA | 1 mm | | 1 | |
| 8-2 | 558.215.621 | 3.612.460.935 | 8-2 | 12 | MA | MNA | 1 mm | | 1 | |
| 8-3 | 558.255.163 | 3.612.552.807 | 8-3 | 12 | MA | MNA | 1 mm | | 1 | |
| 8-4 | 558.294.568 | 3.612.644.631 | 8-4 | 12 | MA | MNA | 1 mm | | 1 | |
| 8-5 | 558.334.104 | 3.612.736.560 | 8-5 | 12 | MA | MNA | 1 mm | | 1 | |
| 8-6 | 558.373.361 | 3.612.828.397 | 8-6 | 12 | MA | MNA | 1 mm | | 1 | |
| 8-7 | 558.412.827 | 3.612.920.240 | 8-7 | 12 | MA | MNA | 1 mm | | 1 | |
| 8-8 | 558.452.069 | 3.613.012.259 | 8-8 | 12 | MA | MNA | 1 mm | | | |
| 8-9 | 558.491.717 | 3.613.104.039 | 8-9 | 12 | MA | MNA | 1 mm | | 1 | |
| 8-10 | 558.531.044 | 3.613.196.081 | 8-10 | 12 | MA | MNA | 1 mm | | 1 | 1 VST |
| 8-11 | 558.570.421 | 3.613.287.836 | 8-11 | 12 | MA | MNA | 1 mm | | 1 | |
| 8-12 | 558.609.822 | 3.613.379.867 | 8-12 | 12 | MA | MNA | 1 mm | | 1 | |
| 8-13 | 558.649.230 | 3.613.471.679 | 8-13 | 12 | MA | MNA | 1 mm | | 1 | |
| 8-14 | 558.688.720 | 3.613.563.521 | 8-14 | 12 | MA | MNA | 1 mm | | 1 | |
| 9-1 | 558.064.691 | 3.612.362.339 | 9-1 | 12 | MA | MNA | 1 mm | | 1 | |
| 9-2 | 558.104.107 | 3.612.454.354 | 9-2 | 12 | MA | MNA | 1 mm | | 2 | |
| 9-3 | 558.143.624 | 3.612.546.229 | 9-3 | 12 | MA | MNA | 1 mm | | 1 | |
| 9-4 | 558.182.782 | 3.612.638.145 | 9-4 | 12 | MA | MNA | 1 mm | | 1 | 2 VST |
| 9-5 | 558.222.425 | 3.612.729.966 | 9-5 | 12 | MA | MNA | 1 mm | | 1 | |

| Boornummer | X-coördinaat | Y-coördinaat | Monstercode | diameter boor | Doel monster | Monsterbewerking | Maaswijdte zeef | opmerkingen | aantal monsters podzol | Archeologische indicatoren |
|---|---|---|---|---|---|---|---|---|---|---|
| 9-6 | 558.261.758 | 3.612.821.893 | 9-6 | 12 | MA | MNA | 1 mm | | 1 | |
| 9-7 | 558.301.293 | 3.612.913.735 | 9-7 | 12 | MA | MNA | 1 mm | | 1 | |
| 9-8 | 558.340.527 | 3.613.005.594 | 9-8 | 12 | MA | MNA | 1 mm | | 1 | |
| 9-9 | 558.380.090 | 3.613.097.522 | 9-9 | 12 | MA | MNA | 1 mm | | 1 | |
| 9-10 | 558.419.516 | 3.613.189.554 | 9-10 | 12 | MA | MNA | 1 mm | | 1 | |
| 9-11 | 558.454.117 | 3.613.283.442 | 9-11 | 12 | MA | MNA | 1 mm | | 1 | |
| 9-12 | 558.493.568 | 3.613.375.327 | 9-12 | 12 | MA | MNA | 1 mm | | 1 | |
| 9-13 | 558.533.031 | 3.613.467.330 | 9-13 | 12 | MA | MNA | 1 mm | | 1 | |
| 9-14 | 558.572.477 | 3.613.559.076 | 9-14 | 12 | MA | MNA | 1 mm | | 1 | |
| 10-1 | 557.953.036 | 3.612.355.982 | 10-1 | 12 | MA | MNA | 1 mm | | 1 | |
| 10-2 | 557.992.616 | 3.612.447.630 | 10-2 | 12 | MA | MNA | 1 mm | | 1 | |
| 10-3 | 558.032.030 | 3.612.539.621 | 10-3 | 12 | MA | MNA | 1 mm | | 2 | |
| 10-4 | 558.071.434 | 3.612.631.524 | 10-4 | 12 | MA | MNA | 1 mm | | 1 | |
| 10-5 | 558.110.717 | 3.612.723.554 | 10-5 | 12 | MA | MNA | 1 mm | | 1 | |
| 10-6 | 558.150.125 | 3.612.815.390 | 10-6 | 12 | MA | MNA | 1 mm | | 1 | |
| 10-7 | 558.189.636 | 3.612.907.157 | 10-7 | 12 | MA | MNA | 1 mm | | 1 | |
| 10-8 | 558.228.888 | 3.612.999.035 | 10-8 | 12 | MA | MNA | 1 mm | | 1 | 1 VST? |
| 10-9 | 558.268.379 | 3.613.090.966 | 10-9 | 12 | MA | MNA | 1 mm | | | |
| 10-10 | 558.307.866 | 3.613.182.979 | 10-10 | 12 | MA | MNA | 1 mm | | 1 | |
| 10-11 | 558.342.450 | 3.613.276.653 | 10-11 | 12 | MA | MNA | 1 mm | | 2 | |
| 10-12 | 558.382.074 | 3.613.368.609 | 10-12 | 12 | MA | MNA | 1 mm | | 1 | |
| 10-13 | 558.421.284 | 3.613.460.686 | 10-13 | 12 | MA | MNA | 1 mm | | 1 | |
| 10-14 | 558.460.777 | 3.613.552.428 | 10-14 | 12 | MA | MNA | 1 mm | | 1 | |
| 10-15 | 558.504.832 | 3.613.642.366 | 10-15 | 12 | MA | MNA | 1 mm | | 1 | |
| 11-1 | 557.881.003 | 3.612.441.216 | 11-1 | 12 | MA | MNA | 1 mm | | 1 | |
| 11-2 | 557.920.265 | 3.612.532.956 | 11-2 | 12 | MA | MNA | 1 mm | | 1 | 1 VST |
| 11-3 | 557.959.627 | 3.612.625.060 | 11-3 | 12 | MA | MNA | 1 mm | | | |
| 11-4 | 557.999.118 | 3.612.717.051 | 11-4 | 12 | MA | MNA | 1 mm | | 1 | |
| 11-5 | 558.038.449 | 3.612.808.841 | 11-5 | 12 | MA | MNA | 1 mm | | 1 | |
| 11-6 | 558.078.021 | 3.612.900.755 | 11-6 | 12 | MA | MNA | 1 mm | | 1 | |
| 11-7 | 558.117.379 | 3.612.992.735 | 11-7 | 12 | MA | MNA | 1 mm | | 1 | |
| 11-8 | 558.156.727 | 3.613.084.637 | 11-8 | 12 | MA | MNA | 1 mm | | | |
| 11-9 | 558.196.376 | 3.613.176.454 | 11-9 | 12 | MA | MNA | 1 mm | | | |
| 11-10 | 558.235.460 | 3.613.268.245 | 11-10 | 12 | MA | MNA | 1 mm | | 1 | |
| 11-11 | 558.270.395 | 3.613.362.215 | 11-11 | 12 | MA | MNA | 1 mm | | 1 | |
| 11-12 | 558.309.817 | 3.613.454.146 | 11-12 | 12 | MA | MNA | 1 mm | | 1 | |
| 11-13 | 558.349.296 | 3.613.545.980 | 11-13 | 12 | MA | MNA | 1 mm | | 1 | |
| 11-14 | 558.388.594 | 3.613.637.955 | 11-14 | 12 | MA | MNA | 1 mm | | 1 | |
| 12-1 | 557.769.113 | 3.612.434.557 | 12-1 | 12 | MA | MNA | 1 mm | | 1 | |
| 12-2 | 557.808.660 | 3.612.526.393 | 12-2 | 12 | MA | MNA | 1 mm | | 1 | |
| 12-3 | 557.848.072 | 3.612.618.565 | 12-3 | 12 | MA | MNA | 1 mm | | | |
| 12-4 | 557.887.462 | 3.612.710.283 | 12-4 | 12 | MA | MNA | 1 mm | | | |
| 12-5 | 557.926.824 | 3.612.802.262 | 12-5 | 12 | MA | MNA | 1 mm | | 1 | |
| 12-6 | 557.966.243 | 3.612.894.080 | 12-6 | 12 | MA | MNA | 1 mm | | 1 | |
| 12-7 | 558.005.683 | 3.612.986.011 | 12-7 | 12 | MA | MNA | 1 mm | | 1 | |
| 12-8 | 558.045.166 | 3.613.078.105 | 12-8 | 12 | MA | MNA | 1 mm | | 1 | |
| 12-9 | 558.084.675 | 3.613.169.874 | | 12 | MA | MNA | 1 mm | | 0 | |
| 12-10 | 558.124.019 | 3.613.261.787 | 12-10 | 12 | MA | MNA | 1 mm | | | |
| 12-11 | 558.158.813 | 3.613.355.721 | 12-11 | 12 | MA | MNA | 1 mm | | 1 | |
| 12-12 | 558.198.209 | 3.613.447.653 | 12-12 | 12 | MA | MNA | 1 mm | | 1 | |
| 12-13 | 558.237.542 | 3.613.539.483 | 12-13 | 12 | MA | MNA | 1 mm | | 1 | |
| 12-14 | 558.277.044 | 3.613.631.378 | 12-14 | 12 | MA | MNA | 1 mm | | 1 | |
| 12-15 | 558.320.963 | 3.613.721.309 | 12-15 | 12 | MA | MNA | 1 mm | | 1 | |
| 13-1 | 557.657.800 | 3.612.428.013 | 13-1 | 12 | MA | MNA | 1 mm | | 2 | |
| 13-2 | 557.697.057 | 3.612.520.230 | 13-2 | 12 | MA | MNA | 1 mm | | 1 | |
| 13-3 | 557.736.404 | 3.612.612.042 | 13-3 | 12 | MA | MNA | 1 mm | | 1 | |

| Boornummer | X-coördinaat | Y-coördinaat | Monstercode | diameter boor | Doel monster | Monsterbewerking | Maaswijdte zeef | opmerkingen | aantal monsters podzol | Archeologische indicatoren |
|---|---|---|---|---|---|---|---|---|---|---|
| 13-4 | 557.775.791 | 3.612.703.771 | 13-4 | 12 | MA | MNA | 1 mm | | 1 | |
| 13-5 | 557.810.635 | 3.612.797.716 | 13-5 | 12 | MA | MNA | 1 mm | | 1 | |
| 13-6 | 557.850.068 | 3.612.889.546 | 13-6 | 12 | MA | MNA | 1 mm | | 1 | |
| 13-7 | 557.889.511 | 3.612.981.481 | 13-7 | 12 | MA | MNA | 1 mm | | 1 | |
| 13-8 | 557.924.312 | 3.613.075.410 | 13-8 | 12 | MA | MNA | 1 mm | | 1 | |
| 13-9 | 557.963.731 | 3.613.167.462 | 13-9 | 12 | MA | MNA | 1 mm | | 1 | |
| 13-10 | 558.003.082 | 3.613.259.308 | 13-10 | 12 | MA | MNA | 1 mm | | 1 | |
| 13-11 | 558.042.634 | 3.613.351.212 | 13-11 | 12 | MA | MNA | 1 mm | | 1 | |
| 13-12 | 558.082.055 | 3.613.442.960 | 13-12 | 12 | MA | MNA | 1 mm | | 1 | |
| 13-13 | 558.121.418 | 3.613.534.935 | 13-13 | 12 | MA | MNA | 1 mm | | 1 | |
| 13-14 | 558.165.288 | 3.613.624.759 | 13-14 | 12 | MA | MNA | 1 mm | | 1 | |
| 13-15 | 558.209.506 | 3.613.714.796 | 13-15 | 12 | MA | MNA | 1 mm | | 1 | |
| 14-1 | 557.585.278 | 3.612.513.364 | 14-1 | 12 | MA | MNA | 1 mm | | | |
| 14-2 | 557.624.942 | 3.612.605.441 | 14-2 | 12 | MA | MNA | 1 mm | | 1 | |
| 14-3 | 557.664.414 | 3.612.697.349 | 14-3 | 12 | MA | MNA | 1 mm | | 1 | |
| 14-4 | 557.703.739 | 3.612.789.060 | 14-4 | 12 | MA | MNA | 1 mm | | 1 | |
| 14-5 | 557.743.158 | 3.612.881.130 | 14-5 | 12 | MA | MNA | 1 mm | | 2 | |
| 14-6 | 557.782.534 | 3.612.973.071 | 14-6 | 12 | MA | MNA | 1 mm | | 1 | |
| 14-7 | 557.821.958 | 3.613.064.889 | 14-7 | 12 | MA | MNA | 1 mm | | 1 | |
| 14-8 | 557.861.302 | 3.613.156.877 | 14-8 | 12 | MA | MNA | 1 mm | | 1 | |
| 14-10 | 557.935.577 | 3.613.342.667 | 14-10 | 12 | MA | MNA | 1 mm | | 1 | |
| 14-9 | 557.900.849 | 3.613.248.571 | 14-9 | 12 | MA | MNA | 1 mm | | 1 | |
| 14-11 | 557.975.043 | 3.613.434.483 | 14-11 | 12 | MA | MNA | 1 mm | | 1 | |
| 14-12 | 558.014.429 | 3.613.526.481 | 14-12 | 12 | MA | MNA | 1 mm | | 1 | |
| 14-13 | 558.053.741 | 3.613.618.311 | 14-13 | 12 | MA | MNA | 1 mm | | 1 | |
| 14-14 | 558.093.222 | 3.613.710.087 | 14-14 | 12 | MA | MNA | 1 mm | | 1 | |
| 14-15 | 558.137.191 | 3.613.800.231 | 14-15 | 12 | MA | MNA | 1 mm | | 1 | 1 VST |
| 15-1 | 557.473.788 | 3.612.506.995 | 15-1 | 12 | MA | MNA | 1 mm | | 1 | |
| 15-2 | 557.513.285 | 3.612.598.710 | 15-2 | 12 | MA | MNA | 1 mm | | 1 | |
| 15-3 | 557.552.750 | 3.612.690.691 | 15-3 | 12 | MA | MNA | 1 mm | | 1 | |
| 15-4 | 557.592.001 | 3.612.782.672 | 15-4 | 12 | MA | MNA | 1 mm | | 1 | |
| 15-5 | 557.631.413 | 3.612.874.725 | 15-5 | 12 | MA | MNA | 1 mm | | 1 | |
| 15-6 | 557.670.983 | 3.612.966.403 | 15-6 | 12 | MA | MNA | 1 mm | | 1 | |
| 15-7 | 557.710.327 | 3.613.058.535 | 15-7 | 12 | MA | MNA | 1 mm | | 1 | |
| 15-8 | 557.749.581 | 3.613.150.311 | 15-8 | 12 | MA | MNA | 1 mm | | 1 | |
| 15-9 | 557.789.219 | 3.613.242.051 | 15-9 | 12 | MA | MNA | 1 mm | | 1 | |
| ~~15-10~~ | ~~557.823.937~~ | ~~3.613.336.087~~ | | | | | | ~~niet geboord~~ | 0 | |
| 15-11 | 557.858.834 | 3.613.430.034 | 15-11 | 12 | MA | MNA | 1 mm | | 1 | |
| 15-12 | 557.898.062 | 3.613.521.761 | 15-12 | 12 | MA | MNA | 1 mm | | 1 | |
| 15-13 | 557.937.553 | 3.613.613.696 | 15-13 | 12 | MA | MNA | 1 mm | | 1 | |
| 15-14 | 557.976.972 | 3.613.705.683 | 15-14 | 12 | MA | MNA | 1 mm | | 1 | |
| 15-15 | 558.016.365 | 3.613.797.616 | 15-15 | 12 | MA | MNA | 1 mm | | 1 | |
| ~~16-1~~ | ~~557.401.611~~ | ~~3.612.592.333~~ | | | | | | ~~niet geboord~~ | 0 | |
| 16-2 | 557.441.131 | 3.612.683.987 | 16-2 | 12 | MA | MNA | 1 mm | | 1 | |
| 16-3 | 557.480.455 | 3.612.776.130 | 16-3 | 12 | MA | MNA | 1 mm | | 1 | |
| 16-4 | 557.519.959 | 3.612.867.985 | 16-4 | 12 | MA | MNA | 1 mm | | 1 | |
| 16-5 | 557.559.298 | 3.612.959.785 | 16-5 | 12 | MA | MNA | 1 mm | | 1 | |
| 16-6 | 557.598.571 | 3.613.051.810 | 16-6 | 12 | MA | MNA | 1 mm | | 1 | |
| 16-7 | 557.638.268 | 3.613.143.693 | 16-7 | 12 | MA | MNA | 1 mm | | 1 | |
| 16-8 | 557.677.450 | 3.613.235.614 | 16-8 | 12 | MA | MNA | 1 mm | | 1 | |
| 16-9 | 557.717.005 | 3.613.327.611 | 16-9 | 12 | MA | MNA | 1 mm | | 1 | |
| 16-10 | 557.756.559 | 3.613.419.394 | 16-10 | 12 | MA | MNA | 1 mm | | 1 | |
| 16-11 | 557.795.938 | 3.613.511.362 | 16-11 | 12 | MA | MNA | 1 mm | | 1 | |
| 16-12 | 557.825.961 | 3.613.607.150 | 16-12 | 12 | MA | MNA | 1 mm | | 1 | |
| 16-13 | 557.865.486 | 3.613.699.148 | 16-13 | 12 | MA | MNA | 1 mm | | 1 | |
| 16-14 | 557.904.910 | 3.613.790.912 | 16-14 | 12 | MA | MNA | 1 mm | | 1 | |

| Boornummer | X-coördinaat | Y-coördinaat | Monstercode | diameter boor | Doel monster | Monsterbewerking | Maaswijdte zeef | opmerkingen | aantal monsters podzol | Archeologische indicatoren |
|---|---|---|---|---|---|---|---|---|---|---|
| 16-15 | 557.953.556 | 3.613.878.869 | 16-15 | 12 | MA | MNA | 1 mm | | 1 | |
| 17-1 | 557.329.459 | 3.612.677.768 | 17-1 | 12 | MA | MNA | 1 mm | | 1 | |
| 17-2 | 557.368.819 | 3.612.769.712 | 17-2 | 12 | MA | MNA | 1 mm | | 1 | |
| 17-3 | 557.408.365 | 3.612.861.537 | 17-3 | 12 | MA | MNA | 1 mm | | 1 | |
| 17-4 | 557.447.735 | 3.612.953.378 | 17-4 | 12 | MA | MNA | 1 mm | | 1 | |
| 17-5 | 557.486.995 | 3.613.045.322 | 17-5 | 12 | MA | MNA | 1 mm | | 1 | |
| 17-6 | 557.526.366 | 3.613.137.272 | 17-6 | 12 | MA | MNA | 1 mm | | 1 | |
| 17-7 | 557.565.926 | 3.613.228.995 | 17-7 | 12 | MA | MNA | 1 mm | | 1 | |
| 17-8 | 557.605.290 | 3.613.321.014 | 17-8 | 12 | MA | MNA | 1 mm | | 1 | |
| 17-9 | 557.644.761 | 3.613.413.037 | 17-9 | 12 | MA | MNA | 1 mm | | 1 | |
| 17-10 | 557.681.872 | 3.613.505.905 | 17-10 | 12 | MA | MNA | 1 mm | | 1 | |
| 17-11 | 557.718.984 | 3.613.598.772 | 17-11 | 12 | MA | MNA | 1 mm | | 1 | |
| 17-12 | 557.758.299 | 3.613.690.669 | 17-12 | 12 | MA | MNA | 1 mm | | 1 | |
| 17-13 | 557.797.820 | 3.613.782.460 | 17-13 | 12 | MA | MNA | 1 mm | | 1 | |
| 17-14 | 557.837.304 | 3.613.874.429 | 17-14 | 12 | MA | MNA | 1 mm | | 1 | |
| 17-15 | 557.876.528 | 3.613.966.076 | 17-15 | 12 | MA | MNA | 1 mm | | 1 | |
| 17-16 | 557.916.054 | 3.614.058.069 | 17-16 | 12 | MA | MNA | 1 mm | | 1 | |
| 17-17 | 557.955.487 | 3.614.150.080 | 17-17 | 12 | MA | MNA | 1 mm | | 1 | |
| 17-18 | 557.994.811 | 3.614.242.046 | 17-18 | 12 | MA | MNA | 1 mm | | 2 | |
| 17-19 | 558.034.236 | 3.614.333.917 | 17-19 | 12 | MA | MNA | 1 mm | | 2 | |
| 18-1 | 557.257.325 | 3.612.763.048 | 18-1 | 12 | MA | MNA | 1 mm | | 1 | |
| 18-2 | 557.296.696 | 3.612.854.940 | 18-2 | 12 | MA | MNA | 1 mm | | 1 | |
| 18-3 | 557.336.112 | 3.612.946.883 | 18-3 | 12 | MA | MNA | 1 mm | | 1 | |
| 18-4 | 557.375.521 | 3.613.038.822 | 18-4 | 12 | MA | MNA | 1 mm | | 1 | |
| 18-5 | 557.414.936 | 3.613.130.613 | 18-5 | 12 | MA | MNA | 1 mm | | 1 | |
| 18-6 | 557.454.330 | 3.613.222.624 | 18-6 | 12 | MA | MNA | 1 mm | | 1 | |
| 18-7 | 557.493.750 | 3.613.314.572 | 18-7 | 12 | MA | MNA | 1 mm | | 1 | |
| 18-8 | 557.533.109 | 3.613.406.457 | 18-8 | 12 | MA | MNA | 1 mm | | 1 | |
| 18-9 | 557.572.527 | 3.613.498.124 | 18-9 | 12 | MA | MNA | 1 mm | | 1 | |
| 18-10 | 557.611.886 | 3.613.590.134 | 18-10 | 12 | MA | MNA | 1 mm | | 1 | |
| 18-11 | 557.646.830 | 3.613.684.226 | 18-11 | 12 | MA | MNA | 1 mm | | 1 | |
| 18-12 | 557.686.118 | 3.613.775.981 | 18-12 | 12 | MA | MNA | 1 mm | | 1 | |
| 18-13 | 557.725.577 | 3.613.867.896 | 18-13 | 12 | MA | MNA | 1 mm | | 1 | |
| 18-14 | 557.765.074 | 3.613.959.883 | 18-14 | 12 | MA | MNA | 1 mm | | 1 | |
| 18-15 | 557.804.350 | 3.614.051.666 | 18-15 | 12 | MA | MNA | 1 mm | | 1 | |
| 18-16 | 557.843.916 | 3.614.143.650 | 18-16 | 12 | MA | MNA | 1 mm | | 1 | |
| 18-17 | 557.883.302 | 3.614.235.530 | 18-17 | 12 | MA | MNA | 1 mm | | 1 | |
| 18-18 | 557.922.676 | 3.614.327.523 | 18-18 | 12 | MA | MNA | 1 mm | | 1 | |
| 18-19 | 557.966.730 | 3.614.417.293 | 18-19 | 12 | MA | MNA | 1 mm | | 2 | |
| 19-1 | 557.145.466 | 3.612.756.546 | 19-1 | 12 | MA | MNA | 1 mm | | 1 | |
| 19-2 | 557.185.154 | 3.612.848.455 | 19-2 | 12 | MA | MNA | 1 mm | | 1 | |
| 19-3 | 557.224.572 | 3.612.940.219 | 19-3 | 12 | MA | MNA | 1 mm | | 1 | |
| 19-4 | 557.263.810 | 3.613.032.116 | 19-4 | 12 | MA | MNA | 1 mm | | 1 | |
| 19-5 | 557.303.340 | 3.613.124.299 | 19-5 | 12 | MA | MNA | 1 mm | | 1 | |
| 19-6 | 557.342.808 | 3.613.216.166 | 19-6 | 12 | MA | MNA | 1 mm | | 1 | |
| 19-7 | 557.382.003 | 3.613.307.907 | 19-7 | 12 | MA | MNA | 1 mm | | 1 | |
| 19-8 | 557.421.466 | 3.613.399.892 | 19-8 | 12 | MA | MNA | 1 mm | | 1 | |
| 19-9 | 557.460.959 | 3.613.491.914 | 19-9 | 12 | MA | MNA | 1 mm | | 1 | |
| 19-10 | 557.500.191 | 3.613.583.603 | 19-10 | 12 | MA | MNA | 1 mm | | 1 | |
| 19-11 | 557.539.701 | 3.613.675.597 | 19-11 | 12 | MA | MNA | 1 mm | | 1 | |
| 19-12 | 557.579.078 | 3.613.767.506 | 19-12 | 12 | MA | MNA | 1 mm | | 1 | |
| 19-13 | 557.618.700 | 3.613.859.339 | 19-13 | 12 | MA | MNA | 1 mm | | 1 | |
| 19-14 | 557.657.927 | 3.613.951.422 | 19-14 | 12 | MA | MNA | 1 mm | | 1 | |
| 19-15 | 557.697.381 | 3.614.043.260 | 19-15 | 12 | MA | MNA | 1 mm | | 1 | |
| 19-16 | 557.736.723 | 3.614.134.961 | 19-16 | 12 | MA | MNA | 1 mm | | 1 | |
| 19-17 | 557.776.252 | 3.614.226.945 | 19-17 | 12 | MA | MNA | 1 mm | | 2 | |

| Boornummer | X-coördinaat | Y-coördinaat | Monstercode | diameter boor | Doel monster | Monsterbewerking | Maaswijdte zeef | opmerkingen | aantal monsters podzol | Archeologische indicatoren |
|---|---|---|---|---|---|---|---|---|---|---|
| 19-18 | 557.815.701 | 3.614.318.886 | 19-18 | 12 | MA | MNA | 1 mm | | 2 | |
| 19-19 | 557.855.068 | 3.614.410.729 | 19-19 | 12 | MA | MNA | 1 mm | | 2 | |
| 20-1 | 557.033.923 | 3.612.750.021 | 20-1 | 12 | MA | MNA | 1 mm | | 1 | |
| 20-2 | 557.073.415 | 3.612.841.770 | 20-2 | 12 | MA | MNA | 1 mm | | 1 | |
| 20-3 | 557.112.905 | 3.612.933.679 | 20-3 | 12 | MA | MNA | 1 mm | | 1 | |
| 20-4 | 557.152.169 | 3.613.025.590 | 20-4 | 12 | MA | MNA | 1 mm | | 1 | |
| 20-5 | 557.191.609 | 3.613.117.731 | 20-5 | 12 | MA | MNA | 1 mm | | 1 | |
| 20-6 | 557.231.124 | 3.613.209.382 | 20-6 | 12 | MA | MNA | 1 mm | | 1 | |
| 20-7 | 557.270.483 | 3.613.301.358 | 20-7 | 12 | MA | MNA | 1 mm | | 1 | 4 VST |
| 20-8 | 557.309.843 | 3.613.393.197 | 20-8 | 12 | MA | MNA | 1 mm | | 1 | |
| 20-9 | 557.349.302 | 3.613.485.035 | 20-9 | 12 | MA | MNA | 1 mm | | 1 | |
| 20-10 | 557.388.866 | 3.613.577.184 | 20-10 | 12 | MA | MNA | 1 mm | | 1 | |
| 20-11 | 557.428.203 | 3.613.669.094 | 20-11 | 12 | MA | MNA | 1 mm | | 1 | |
| 20-12 | 557.467.656 | 3.613.760.863 | 20-12 | 12 | MA | MNA | 1 mm | | 1 | |
| 20-13 | 557.506.993 | 3.613.852.693 | 20-13 | 12 | MA | MNA | 1 mm | | 1 | |
| 20-14 | 557.546.303 | 3.613.944.733 | 20-14 | 12 | MA | MNA | 1 mm | | 1 | |
| 20-15 | 557.585.854 | 3.614.036.518 | 20-15 | 12 | MA | MNA | 1 mm | | 2 | |
| 20-16 | 557.625.369 | 3.614.128.651 | 20-16 | 12 | MA | MNA | 1 mm | | 1 | |
| 20-17 | 557.660.112 | 3.614.222.473 | 20-17 | 12 | MA | MNA | 1 mm | | 1 | |
| 20-18 | 557.699.433 | 3.614.314.482 | 20-18 | 12 | MA | MNA | 1 mm | | 1 | |
| 20-19 | 557.743.394 | 3.614.404.368 | 20-19 | 12 | MA | MNA | 1 mm | | 2 | |
| 20-20 | 557.782.886 | 3.614.496.287 | 20-20 | 12 | MA | MNA | 1 mm | | 1 | |
| 21-1 | 556.961.837 | 3.612.835.227 | 21-1 | 12 | MA | MNA | 1 mm | | 1 | |
| 21-2 | 557.001.325 | 3.612.927.282 | 21-2 | 12 | MA | MNA | 1 mm | | 1 | |
| 21-3 | 557.040.653 | 3.613.019.208 | 21-3 | 12 | MA | MNA | 1 mm | | 1 | |
| 21-4 | 557.079.951 | 3.613.110.962 | 21-4 | 12 | MA | MNA | 1 mm | | 1 | |
| 21-5 | 557.119.460 | 3.613.203.066 | 21-5 | 12 | MA | MNA | 1 mm | | 1 | |
| 21-6 | 557.158.853 | 3.613.294.974 | 21-6 | 12 | MA | MNA | 1 mm | | 1 | |
| 21-7 | 557.198.332 | 3.613.386.921 | 21-7 | 12 | MA | MNA | 1 mm | | 1 | |
| 21-8 | 557.237.859 | 3.613.478.582 | 21-8 | 12 | MA | MNA | 1 mm | | 1 | |
| 21-9 | 557.277.211 | 3.613.570.575 | 21-9 | 12 | MA | MNA | 1 mm | | 1 | |
| 21-10 | 557.316.635 | 3.613.662.561 | 21-10 | 12 | MA | MNA | 1 mm | | 1 | |
| 21-11 | 557.351.371 | 3.613.756.323 | 21-11 | 12 | MA | MNA | 1 mm | | 1 | |
| 21-12 | 557.390.771 | 3.613.848.124 | 21-12 | 12 | MA | MNA | 1 mm | | 1 | |
| 21-13 | 557.430.188 | 3.613.940.138 | 21-13 | 12 | MA | MNA | 1 mm | | 1 | |
| 21-14 | 557.469.657 | 3.614.032.166 | 21-14 | 12 | MA | MNA | 1 mm | | 1 | |
| 21-15 | 557.508.974 | 3.614.123.895 | 21-15 | 12 | MA | MNA | 1 mm | | 1 | |
| 21-16 | 557.548.465 | 3.614.215.789 | 21-16 | 12 | MA | MNA | 1 mm | | 1 | |
| 21-17 | 557.587.800 | 3.614.307.844 | 21-17 | 12 | MA | MNA | 1 mm | | 1 | |
| 21-18 | 557.627.250 | 3.614.399.665 | 21-18 | 12 | MA | MNA | 1 mm | | 1 | |
| 21-19 | 557.666.578 | 3.614.491.758 | 21-19 | 12 | MA | MNA | 1 mm | | 1 | |
| 22-1 | 556.929.103 | 3.613.012.592 | 22-1 | 12 | MA | MNA | 1 mm | | 1 | |
| 22-2 | 556.968.587 | 3.613.104.606 | 22-2 | 12 | MA | MNA | 1 mm | | 1 | |
| 22-3 | 557.007.853 | 3.613.196.556 | 22-3 | 12 | MA | MNA | 1 mm | | 1 | |
| 22-4 | 557.047.309 | 3.613.288.228 | 22-4 | 12 | MA | MNA | 1 mm | | 1 | |
| 22-5 | 557.086.689 | 3.613.380.092 | 22-5 | 12 | MA | MNA | 1 mm | | 1 | |
| 22-6 | 557.126.075 | 3.613.471.985 | 22-6 | 12 | MA | MNA | 1 mm | | 1 | |
| 22-7 | 557.165.647 | 3.613.564.020 | 22-7 | 12 | MA | MNA | 1 mm | | 1 | |
| 22-8 | 557.204.958 | 3.613.655.875 | 22-8 | 12 | MA | MNA | 1 mm | | 1 | |
| ~~22-9~~ | ~~557.244.224~~ | ~~3.613.747.885~~ | | | | | | ~~niet geboord~~ | 0 | |
| 22-10 | 557.279.194 | 3.613.841.751 | 22-10 | 12 | MA | MNA | 1 mm | | 1 | |
| 22-11 | 557.318.592 | 3.613.933.633 | 22-11 | 12 | MA | MNA | 1 mm | | 1 | |
| 22-12 | 557.358.039 | 3.614.025.553 | 22-12 | 12 | MA | MNA | 1 mm | | 1 | |
| 22-13 | 557.397.468 | 3.614.117.430 | 22-13 | 12 | MA | MNA | 1 mm | | 1 | |
| 22-14 | 557.436.860 | 3.614.209.332 | 22-14 | 12 | MA | MNA | 1 mm | | 1 | |
| 22-15 | 557.476.174 | 3.614.301.198 | 22-15 | 12 | MA | MNA | 1 mm | | 1 | |

| Boornummer | X-coördinaat | Y-coördinaat | Monstercode | diameter boor | Doel monster | Monsterbewerking | Maaswijdte zeef | opmerkingen | aantal monsters podzol | Archeologische indicatoren |
|---|---|---|---|---|---|---|---|---|---|---|
| 22-16 | 557.515.740 | 3.614.393.107 | 22-16 | 12 | MA | MNA | 1 mm | | 1 | |
| 22-17 | 557.559.703 | 3.614.483.187 | 22-17 | 12 | MA | MNA | 1 mm | | 1 | |
| 22-18 | 557.599.134 | 3.614.575.125 | 22-18 | 12 | MA | MNA | 1 mm | | 2 | |
| 23-1 | 556.856.966 | 3.613.097.954 | 23-1 | 12 | MA | MNA | 1 mm | | 1 | |
| 23-2 | 556.896.179 | 3.613.189.899 | 23-2 | 12 | MA | MNA | 1 mm | | 2 | |
| 23-3 | 556.935.599 | 3.613.281.748 | 23-3 | 12 | MA | MNA | 1 mm | | 1 | |
| 23-4 | 556.974.961 | 3.613.373.702 | 23-4 | 12 | MA | MNA | 1 mm | | 1 | |
| 23-5 | 557.014.518 | 3.613.465.617 | 23-5 | 12 | MA | MNA | 1 mm | | 1 | |
| 23-6 | 557.053.813 | 3.613.557.615 | 23-6 | 12 | MA | MNA | 1 mm | | 1 | |
| 23-7 | 557.093.401 | 3.613.649.588 | 23-7 | 12 | MA | MNA | 1 mm | | 1 | |
| 23-8 | 557.132.829 | 3.613.741.260 | 23-8 | 12 | MA | MNA | 1 mm | | 1 | |
| 23-9 | 557.172.183 | 3.613.833.197 | 23-9 | 12 | MA | MNA | 1 mm | | 1 | |
| 23-10 | 557.211.430 | 3.613.925.007 | 23-10 | 12 | MA | MNA | 1 mm | | 1 | |
| 23-11 | 557.250.938 | 3.614.017.163 | 23-11 | 12 | MA | MNA | 1 mm | | 1 | |
| 23-12 | 557.290.407 | 3.614.109.109 | 23-12 | 12 | MA | MNA | 1 mm | | 1 | |
| 23-13 | 557.329.835 | 3.614.200.935 | 23-13 | 12 | MA | MNA | 1 mm | | 1 | |
| 23-14 | 557.369.056 | 3.614.292.840 | 23-14 | 12 | MA | MNA | 1 mm | | 1 | |
| 23-15 | 557.408.592 | 3.614.384.602 | 23-15 | 12 | MA | MNA | 1 mm | | 1 | |
| 23-16 | 557.447.868 | 3.614.476.560 | 23-16 | 12 | MA | MNA | 1 mm | | 1 | |
| 23-17 | 557.487.551 | 3.614.568.471 | 23-17 | 12 | MA | MNA | 1 mm | | 1 | |
| 24-1 | 556.784.790 | 3.613.183.334 | 24-1 | 12 | MA | MNA | 1 mm | | 2 | |
| 24-2 | 556.824.062 | 3.613.275.207 | 24-2 | 12 | MA | MNA | 1 mm | | 1 | |
| 24-3 | 556.863.546 | 3.613.367.168 | 24-3 | 12 | MA | MNA | 1 mm | | 1 | |
| 24-4 | 556.902.932 | 3.613.459.003 | 24-4 | 12 | MA | MNA | 1 mm | | 1 | |
| 24-5 | 556.942.309 | 3.613.551.040 | 24-5 | 12 | MA | MNA | 1 mm | | 1 | |
| 24-6 | 556.981.863 | 3.613.642.859 | 24-6 | 12 | MA | MNA | 1 mm | | 1 | |
| 24-7 | 557.021.262 | 3.613.734.794 | 24-7 | 12 | MA | MNA | 1 mm | | 1 | |
| 24-8 | 557.060.708 | 3.613.826.754 | 24-8 | 12 | MA | MNA | 1 mm | | 1 | |
| 24-9 | 557.100.055 | 3.613.918.625 | 24-9 | 12 | MA | MNA | 1 mm | | 1 | |
| 24-10 | 557.139.426 | 3.614.010.383 | 24-10 | 12 | MA | MNA | 1 mm | | 1 | |
| 24-11 | 557.178.848 | 3.614.102.244 | 24-11 | 12 | MA | MNA | 1 mm | | 1 | |
| 24-12 | 557.218.060 | 3.614.194.285 | 24-12 | 12 | MA | MNA | 1 mm | | 1 | |
| 24-13 | 557.252.978 | 3.614.288.291 | 24-13 | 12 | MA | MNA | 1 mm | | 1 | |
| 24-14 | 557.292.380 | 3.614.380.176 | 24-14 | 12 | MA | MNA | 1 mm | | 1 | |
| 24-15 | 557.331.836 | 3.614.472.079 | 24-15 | 12 | MA | MNA | 1 mm | | 1 | |
| 24-16 | 557.375.724 | 3.614.561.843 | 24-16 | 12 | MA | MNA | 1 mm | | 1 | |
| 24-17 | 557.415.178 | 3.614.653.705 | 24-17 | 12 | MA | MNA | 1 mm | | 1 | |
| 1 | 558.717.787 | 3.611.818.531 | 1 | 10 | MA | MNA | 1 mm | | 1 | |
| 2 | 558.765.605 | 3.611.906.570 | 2 | 10 | MA | MNA | 1 mm | | 1 | |
| 3 | 558.809.543 | 3.611.990.807 | 3 | 10 | MA | MNA | 1 mm | | 1 | |
| 4 | 558.701.210 | 3.612.038.864 | 4 | 10 | MA | MNA | 1 mm | | 1 | |
| 5 | - | - | 5 | 10 | MA | MNA | 1 mm | | 1 | |
| 6 | 558.287.686 | 3.611.827.975 | 6 | 10 | MA | MNA | 1 mm | | 1 | |
| 7 | 558.206.360 | 3.611.870.465 | 7 | 10 | MA | MNA | 1 mm | | 1 | |
| 8 | 558.340.742 | 3.611.802.300 | 8 | 10 | MA | MNA | 1 mm | | 1 | |
| 9 | 558.452.005 | 3.611.933.863 | 9 | 10 | MA | MNA | 1 mm | | 1 | |
| 10 | 558.252.447 | 3.612.008.403 | 10 | 10 | MA | MNA | 1 mm | | 1 | |
| 11 | 558.297.406 | 3.612.100.051 | 11 | 10 | MA | MNA | 1 mm | | 1 | |
| 12 | 558.405.882 | 3.612.186.262 | 12 | 10 | MA | MNA | 1 mm | | 1 | |
| 13 | 558.109.158 | 3.612.160.308 | 13 | 10 | MA | MNA | 1 mm | | 1 | |
| 15 | 557.858.326 | 3.612.321.700 | 15 | 10 | MA | MNA | 1 mm | | 1 | |
| 16 | 557.968.387 | 3.612.282.783 | 16 | 10 | MA | MNA | 1 mm | | 1 | |
| 17 | 558.041.967 | 3.612.220.731 | 17 | 10 | MA | MNA | 1 mm | | 1 | |
| 18 | 557.877.327 | 3.612.185.563 | 18 | 10 | MA | MNA | 1 mm | | 1 | |
| 19 | 557.851.581 | 3.612.067.710 | 19 | 10 | MA | MNA | 1 mm | | 1 | |
| 20 | 557.951.638 | 3.612.120.466 | 20 | 10 | MA | MNA | 1 mm | | 1 | |

| Boornummer | X-coördinaat | Y-coördinaat | Monstercode | diameter boor | Doel monster | Monsterbewerking | Maaswijdte zeef | opmerkingen | aantal monsters podzol | Archeologische indicatoren |
|---|---|---|---|---|---|---|---|---|---|---|
| 21 | 557.702.773 | 3.612.232.660 | 21 | 10 | MA | MNA | 1 mm | | 1 | |
| 22 | 557.659.246 | 3.612.145.589 | 22 | 10 | MA | MNA | 1 mm | | 1 | |
| 23 | 557.634.493 | 3.612.305.811 | 23 | 10 | MA | MNA | 1 mm | | 1 | |
| 24 | 557.524.664 | 3.612.330.770 | 24 | 10 | MA | MNA | 1 mm | | 1 | |
| 25 | 557.505.257 | 3.612.207.548 | 25 | 10 | MA | MNA | 1 mm | | 1 | |
| 26 | 557.406.699 | 3.612.300.374 | 26 | 10 | MA | MNA | 1 mm | | 1 | |
| 27 | 557.323.493 | 3.612.389.597 | 27 | 10 | MA | MNA | 1 mm | | 1 | |
| 28 | 557.276.355 | 3.612.258.447 | | 10 | MA | MNA | 1 mm | | 0 | |
| 29 | 557.230.689 | 3.612.351.740 | 29 | 10 | MA | MNA | 1 mm | | 1 | |
| 30 | 557.271.730 | 3.612.457.922 | 30 | 10 | MA | MNA | 1 mm | | 1 | |
| 31 | 558.062.887 | 3.611.955.820 | 31 | 10 | MA | MNA | 1 mm | | 1 | |
| 32 | 558.007.489 | 3.611.846.175 | 32 | 10 | MA | MNA | 1 mm | | 1 | |
| 33 | 558.143.801 | 3.611.925.899 | 33 | 10 | MA | MNA | 1 mm | | 1 | 1 VST? |
| 34 | 558.489.065 | 3.611.734.869 | 34 | 10 | MA | MNA | 1 mm | | 1 | |
| 35 | 558.596.647 | 3.611.681.293 | | 10 | MA | MNA | 1 mm | | 0 | |
| 36 | 558.607.568 | 3.611.660.421 | | 10 | MA | MNA | 1 mm | | 0 | |
| 37 | 558.546.496 | 3.611.575.426 | 37 | 10 | MA | MNA | 1 mm | | 1 | |
| 38 | 558.482.897 | 3.611.666.697 | 38 | 10 | MA | MNA | 1 mm | | 1 | |

| Boornummer | X-coördinaat | Y-coördinaat | monster | Monstercode | relatieve diepte bovenkant monster (cm) | realtieve diepte (onderkant) monster (cm) | diameter boor | Doel monster | Monsterbewerking | Maaswijdte zeef | opmerkingen | archeologische indicator |
|---|---|---|---|---|---|---|---|---|---|---|---|---|
| 1-1 | 558.870.273 | 3.612.220.316 | 1 | 1-1 / P | 160 | 185 | 12 | MA | MNA | 1 mm | wel paleosol, wel restresidu | - |
| 1-2 | 558.909.642 | 3.612.312.781 | 1 | 1-2 / P | 150 | 190 | 12 | MA | MNA | 1 mm | wel paleosol, wel restresidu | - |
| 1-3 | 558.948.348 | 3.612.404.769 | 1 | 1-3 / P | 165 | 185 | 12 | MA | MNA | 1 mm | wel paleosol, geen restresidu | niet van toepassing |
| 1-4 | 558.985.883 | 3.612.495.485 | 0 | - | - | - | - | - | - | - | niet geboord | niet van toepassing |
| 1-5 | 559.025.557 | 3.612.587.548 | 1 | 1-5 / P | 205 | 222 | 12 | MA | MNA | 1 mm | wel paleosol, geen restresidu | niet van toepassing |
| 1-6 | 559.065.477 | 3.612.680.205 | 1 | 1-6 / P | 205 | 222 | 12 | MA | MNA | 1 mm | wel paleosol, geen restresidu | niet van toepassing |
| 1-7 | 559.104.763 | 3.612.771.322 | 0 | - | - | - | 12 | - | - | 1 mm | geen paleosol, geen monster | niet van toepassing |
| 1-8 | 559.145.339 | 3.612.863.697 | 1 | 1-8 / P | 195 | 220 | 12 | MA | MNA | 1 mm | wel paleosol, wel restresidu | - |
| 1-9 | 559.186.813 | 3.612.954.637 | 1 | 1-9 / P | 210 | 230 | 12 | MA | MNA | 1 mm | wel paleosol, geen restresidu | niet van toepassing |
| 1-10 | 559.226.078 | 3.613.046.460 | 1 | 1-10 / P | 190 | 215 | 12 | MA | MNA | 1 mm | wel paleosol, geen restresidu | niet van toepassing |
| 1-11 | 559.265.538 | 3.613.138.457 | 1 | 1-11 / P | 210 | 230 | 12 | MA | MNA | 1 mm | wel paleosol, geen restresidu | niet van toepassing |
| 1-12 | 559.305.119 | 3.613.230.099 | 0 | - | - | - | 12 | - | - | 1 mm | geen paleosol, geen monster | niet van toepassing |
| 2-1 | 558.767.134 | 3.612.224.264 | 1 | 2-1 / P | 202 | 226 | 12 | MA | MNA | 1 mm | wel paleosol, wel restresidu | - |
| 2-2 | 558.806.405 | 3.612.316.181 | 1 | 2-2 / P | 160 | 187 | 12 | MA | MNA | 1 mm | wel paleosol, wel restresidu | - |
| 2-3 | 558.846.082 | 3.612.408.125 | 1 | 2-3 / P | 186 | 207 | 12 | MA | MNA | 1 mm | wel paleosol, geen restresidu | niet van toepassing |
| 2-4 | 558.885.432 | 3.612.499.965 | 1 | 2-4 / P | 198 | 213 | 12 | MA | MNA | 1 mm | wel paleosol, geen restresidu | niet van toepassing |
| 2-5 | 558.924.715 | 3.612.592.093 | 0 | - | - | - | - | - | - | - | niet geboord | niet van toepassing |
| 2-6 | 558.964.148 | 3.612.683.979 | 1 | 2-6 / P | 195 | 213 | 12 | MA | MNA | 1 mm | wel paleosol, geen restresidu | niet van toepassing |
| 2-7 | 559.003.569 | 3.612.775.596 | 1 | 2-7 / P | 190 | 208 | 12 | MA | MNA | 1 mm | wel paleosol, wel restresidu | - |
| 2-8 | 559.043.156 | 3.612.867.548 | 1 | 2-8 / P | 190 | 208 | 12 | MA | MNA | 1 mm | wel paleosol, geen restresidu | niet van toepassing |
| 2-9 | 559.082.330 | 3.612.959.511 | 1 | 2-9 / P | 190 | 208 | 12 | MA | MNA | 1 mm | wel paleosol, wel restresidu | - |
| 2-10 | 559.121.755 | 3.613.051.624 | 1 | 2-10 / P | 195 | 221 | 12 | MA | MNA | 1 mm | wel paleosol, geen restresidu | niet van toepassing |
| 2-11 | 559.161.342 | 3.613.143.495 | 1 | 2-11 / P | 195 | 221 | 12 | MA | MNA | 1 mm | wel paleosol, geen restresidu | niet van toepassing |
| 2-12 | 559.200.591 | 3.613.235.159 | 1 | 2-12 / P | 218 | 235 | 12 | MA | MNA | 1 mm | wel paleosol, geen restresidu | niet van toepassing |
| 2-13 | 559.240.144 | 3.613.327.051 | 0 | - | - | - | 12 | - | - | 1 mm | geen paleosol, geen monster | niet van toepassing |
| 3-1 | 558.655.532 | 3.612.217.851 | 0 | - | - | - | - | - | - | - | niet geboord | niet van toepassing |
| 3-2 | 558.694.960 | 3.612.309.599 | 0 | - | - | - | 12 | - | - | 1 mm | geen paleosol, geen monster | niet van toepassing |
| 3-3 | 558.734.424 | 3.612.401.645 | 1 | 3-3 / P | 160 | 185 | 12 | MA | MNA | 1 mm | wel paleosol, wel restresidu | - |
| 3-4 | 558.773.769 | 3.612.493.428 | 1 | 3-4 / P | 188 | 213 | 12 | MA | MNA | 1 mm | wel paleosol, wel restresidu | - |
| 3-5 | 558.813.205 | 3.612.585.508 | 1 | 3-5 / P | 200 | 225 | 12 | MA | MNA | 1 mm | wel paleosol, geen restresidu | niet van toepassing |
| 3-6 | 558.852.730 | 3.612.677.288 | 1 | 3-6 / P | 192 | 213 | 12 | MA | MNA | 1 mm | wel paleosol, geen restresidu | niet van toepassing |
| 3-7 | 558.891.923 | 3.612.769.146 | 1 | 3-7 / P | 170 | 188 | 12 | MA | MNA | 1 mm | wel paleosol, geen restresidu | niet van toepassing |
| 3-8 | 558.931.471 | 3.612.861.159 | 1 | 3-8 / P | 178 | 208 | 12 | MA | MNA | 1 mm | wel paleosol, geen restresidu | niet van toepassing |
| 3-9 | 558.970.900 | 3.612.952.999 | 1 | 3-9 / P | 180 | 199 | 12 | MA | MNA | 1 mm | wel paleosol, geen restresidu | niet van toepassing |
| 3-10 | 559.010.198 | 3.613.045.004 | 1 | 3-10 / P | 180 | 208 | 12 | MA | MNA | 1 mm | wel paleosol, geen restresidu | niet van toepassing |
| 3-11 | 559.044.966 | 3.613.138.865 | 1 | 3-11 / P | 175 | 205 | 12 | MA | MNA | 1 mm | wel paleosol, geen restresidu | niet van toepassing |
| 3-12 | 559.084.332 | 3.613.230.785 | 1 | 3-12 / P | 200 | 217 | 12 | MA | MNA | 1 mm | wel paleosol, geen restresidu<br>paleosol tussen 200-202 niet bemonsterd | niet van toepassing |
| 3-13 | 559.128.577 | 3.613.320.670 | 1 | 3-13 / P | 217 | 234 | 12 | MA | MNA | 1 mm | wel paleosol, geen restresidu<br>paleosol tussen 220-222 niet bemonsterd | niet van toepassing |
| 4-1 | 558.543.806 | 3.612.211.261 | 0 | - | - | - | 12 | - | - | 1 mm | geen paleosol, geen monster | niet van toepassing |
| 4-2 | 558.583.192 | 3.612.303.057 | 1 | 4-2 / P | 145 | 165 | 12 | MA | MNA | 1 mm | wel paleosol, geen restresidu | niet van toepassing |
| 4-3 | 558.622.839 | 3.612.394.972 | 1 | 4-3 / P | 175 | 200 | 12 | MA | MNA | 1 mm | wel paleosol, wel restresidu | - |
| 4-4 | 558.662.215 | 3.612.487.037 | 1 | 4-4 / P | 200 | 220 | 12 | MA | MNA | 1 mm | wel paleosol, wel restresidu | - |
| 4-5 | 558.701.586 | 3.612.578.951 | 1 | 4-5 / P | 188 | 206 | 12 | MA | MNA | 1 mm | wel paleosol, geen restresidu | niet van toepassing |
| 4-6 | 558.740.939 | 3.612.670.863 | 1 | 4-6 / P | 190 | 220 | 12 | MA | MNA | 1 mm | wel paleosol, wel restresidu | - |
| 4-7 | 558.780.267 | 3.612.762.639 | 1 | 4-7 / P | 210 | 228 | 12 | MA | MNA | 1 mm | wel paleosol, geen restresidu | niet van toepassing |
| 4-8 | 558.819.753 | 3.612.854.650 | 1 | 4-8 / P | 190 | 215 | 12 | MA | MNA | 1 mm | wel paleosol, geen restresidu | niet van toepassing |
| 4-9 | 558.859.284 | 3.612.946.472 | 1 | 4-9 / P | 186 | 235 | 12 | MA | MNA | 1 mm | wel paleosol, wel restresidu | - |
| 4-10 | 558.898.680 | 3.613.038.213 | 1 | 4-10 / P | 178 | 198 | 12 | MA | MNA | 1 mm | wel paleosol, geen restresidu | niet van toepassing |
| 4-11 | 558.933.431 | 3.613.132.284 | 0 | - | - | - | 12 | - | - | 1 mm | geen paleosol, geen monster | niet van toepassing |
| 4-12 | 558.972.749 | 3.613.224.117 | 1 | 4-12 / P | 177 | 202 | 12 | MA | MNA | 1 mm | wel paleosol, wel restresidu | - |
| 4-13 | 559.012.379 | 3.613.316.308 | 1 | 4-13 / P | 195 | 212 | 12 | MA | MNA | 1 mm | wel paleosol, geen restresidu | niet van toepassing |
| 4-14 | 559.056.423 | 3.613.406.017 | 0 | - | - | - | 12 | - | - | 1 mm | geen paleosol, geen monster | niet van toepassing |
| 5-1 | 558.471.724 | 3.612.296.796 | 1 | 5-1 / P | 145 | 200 | 12 | MA | MNA | 1 mm | wel paleosol, wel restresidu | - |
| 5-2 | 558.511.128 | 3.612.388.534 | 1 | 5-2 / P | 175 | 205 | 12 | MA | MNA | 1 mm | wel paleosol, wel restresidu | - |
| 5-3 | 558.550.563 | 3.612.480.482 | 1 | 5-3 / P | 183 | 213 | 12 | MA | MNA | 1 mm | wel paleosol, wel restresidu | - |
| 5-4 | 558.589.952 | 3.612.572.433 | 1 | 5-4 / P | 188 | 206 | 12 | MA | MNA | 1 mm | wel paleosol, geen restresidu | niet van toepassing |
| 5-5 | 558.629.454 | 3.612.664.374 | 1 | 5-5 / P | 188 | 218 | 12 | MA | MNA | 1 mm | wel paleosol, wel restresidu | - |
| 5-6 | 558.668.847 | 3.612.756.086 | 0 | - | - | - | - | - | - | - | niet geboord | niet van toepassing |
| 5-7 | 558.708.112 | 3.612.848.003 | 1 | 5-7 / P | 179 | 209 | 12 | MA | MNA | 1 mm | wel paleosol, geen restresidu | niet van toepassing |
| 5-8 | 558.747.611 | 3.612.939.854 | 1 | 5-8 / P | 178 | 218 | 12 | MA | MNA | 1 mm | wel paleosol, geen restresidu | niet van toepassing |
| 5-9 | 558.786.943 | 3.613.031.801 | 1 | 5-9 / P | 188 | 208 | 12 | MA | MNA | 1 mm | wel paleosol, geen restresidu | niet van toepassing |
| 5-10 | 558.826.378 | 3.613.123.715 | 1 | 5-10 / P | 161 | 187 | 12 | MA | MNA | 1 mm | wel paleosol, geen restresidu | niet van toepassing |

| Boornummer | X-coördinaat | Y-coördinaat | monster | Monstercode | relatieve diepte bovenkant monster (cm) | realtieve diepte (onderkant) monster (cm) | diameter boor | Doel monster | Monsterbewerking | Maaswijdte zeef | opmerkingen | archeologische indicator |
|---|---|---|---|---|---|---|---|---|---|---|---|---|
| 5-11 | 558.865.903 | 3.613.215.536 | 1 | 5-11 / P | 175 | 201 | 12 | MA | MNA | 1 mm | wel paleosol, geen restresidu | niet van toepassing |
| 5-12 | 558.905.247 | 3.613.307.661 | 1 | 5-12 / P | 175 | 200 | 12 | MA | MNA | 1 mm | wel paleosol, wel restresidu | - |
| 5-13 | 558.944.565 | 3.613.399.524 | 1 | 5-13 / P | 175 | 210 | 12 | MA | MNA | 1 mm | wel paleosol, wel restresidu | - |
| 6-1 | 558.360.097 | 3.612.289.962 | 1 | 6-1 / P | 175 | 195 | 12 | MA | MNA | 1 mm | wel paleosol, wel restresidu | - |
| 6-2 | 558.399.555 | 3.612.382.002 | 1 | 6-2 / P | 148 | 203 | 12 | MA | MNA | 1 mm | wel paleosol, wel restresidu | - |
| 6-3 | 558.438.958 | 3.612.474.021 | 1 | 6-3 / P | 175 | 200 | 12 | MA | MNA | 1 mm | wel paleosol, wel restresidu | - |
| 6-4 | 558.478.246 | 3.612.565.724 | 1 | 6-4 / P | 187 | 206 | 12 | MA | MNA | 1 mm | wel paleosol, geen restresidu | niet van toepassing |
| 6-5 | 558.517.734 | 3.612.657.849 | 1 | 6-5 / P | 190 | 208 | 12 | MA | MNA | 1 mm | wel paleosol, geen restresidu | niet van toepassing |
| 6-6 | 558.557.249 | 3.612.749.598 | 1 | 6-6 / P | 195 | 223 | 12 | MA | MNA | 1 mm | wel paleosol, geen restresidu | niet van toepassing |
| 6-7 | 558.596.498 | 3.612.841.574 | 1 | 6-7 / P | 200 | 223 | 12 | MA | MNA | 1 mm | wel paleosol, wel restresidu | - |
| 6-8 | 558.636.016 | 3.612.933.447 | 1 | 6-8 / P | 199 | 227 | 12 | MA | MNA | 1 mm | wel paleosol, geen restresidu | niet van toepassing |
| 6-9 | 558.675.369 | 3.613.025.426 | 1 | 6-9 / P | 165 | 182 | 12 | MA | MNA | 1 mm | wel paleosol, geen restresidu | niet van toepassing |
| 6-10 | 558.714.967 | 3.613.117.082 | 1 | 6-10 / P | 145 | 162 | 12 | MA | MNA | 1 mm | wel paleosol, geen restresidu | niet van toepassing |
| 6-11 | 558.754.310 | 3.613.208.965 | 1 | 6-11 / P | 160 | 185 | 12 | MA | MNA | 1 mm | wel paleosol, wel restresidu | - |
| 6-12 | 558.793.618 | 3.613.300.915 | 1 | 6-12 / P | 160 | 184 | 12 | MA | MNA | 1 mm | wel paleosol, wel restresidu | - |
| 6-13 | 558.833.096 | 3.613.392.815 | 1 | 6-13 / P | 160 | 198 | 12 | MA | MNA | 1 mm | wel paleosol, wel restresidu | - |
| 6-14 | 558.872.343 | 3.613.484.814 | 0 | - | - | - | 12 | - | - | 1 mm | geen paleosol, geen monster | niet van toepassing |
| 7-1 | | | 0 | - | - | - | - | - | - | - | niet geboord | niet van toepassing |
| 7-2 | 558.287.984 | 3.612.375.316 | 1 | 7-2 / P | 150 | 175 | 12 | MA | MNA | 1 mm | wel paleosol, wel restresidu | - |
| 7-3 | 558.327.265 | 3.612.467.343 | 1 | 7-3 / P | 175 | 197 | 12 | MA | MNA | 1 mm | wel paleosol, wel restresidu | - |
| 7-4 | 558.366.725 | 3.612.559.294 | 1 | 7-4 / P | 185 | 204 | 12 | MA | MNA | 1 mm | wel paleosol, geen restresidu | niet van toepassing |
| 7-5 | 558.406.084 | 3.612.651.036 | 1 | 7-5 / P | 200 | 218 | 12 | MA | MNA | 1 mm | wel paleosol, geen restresidu | niet van toepassing |
| 7-6 | 558.445.684 | 3.612.743.067 | 1 | 7-6 / P | 200 | 222 | 12 | MA | MNA | 1 mm | wel paleosol, wel restresidu | - |
| 7-7 | 558.485.031 | 3.612.834.891 | 1 | 7-7 / P | 208 | 228 | 12 | MA | MNA | 1 mm | wel paleosol, geen restresidu | niet van toepassing |
| 7-8 | 558.524.386 | 3.612.926.732 | 1 | 7-8 / P | 175 | 205 | 12 | MA | MNA | 1 mm | wel paleosol, wel restresidu | - |
| 7-9 | 558.563.825 | 3.613.018.623 | 1 | 7-9 / P | 175 | 208 | 12 | MA | MNA | 1 mm | wel paleosol, wel restresidu | - |
| 7-10 | 558.603.117 | 3.613.110.653 | 1 | 7-10 / P | 148 | 165 | 12 | MA | MNA | 1 mm | wel paleosol, geen restresidu | niet van toepassing |
| 7-11 | 558.642.827 | 3.613.202.579 | 1 | 7-11 / P | 165 | 182 | 12 | MA | MNA | 1 mm | wel paleosol, geen restresidu | niet van toepassing |
| 7-12 | 558.681.966 | 3.613.294.637 | 1 | 7-12 / P | 135 | 190 | 12 | MA | MNA | 1 mm | wel paleosol, geen restresidu | niet van toepassing |
| 7-13 | 558.721.385 | 3.613.386.281 | 1 | 7-13 / P | 149 | 167 | 12 | MA | MNA | 1 mm | wel paleosol, wel restresidu | - |
| 7-14 | 558.761.013 | 3.613.478.398 | 1 | 7-14 / P | 145 | 182 | 12 | MA | MNA | 1 mm | wel paleosol, geen restresidu | niet van toepassing |
| 8-1 | 558.176.154 | 3.612.368.840 | 1 | 8-1 / P | 160 | 180 | 12 | MA | MNA | 1 mm | wel paleosol, wel restresidu | - |
| 8-2 | 558.215.621 | 3.612.460.935 | 1 | 8-2 / P | 180 | 200 | 12 | MA | MNA | 1 mm | wel paleosol, wel restresidu | - |
| 8-3 | 558.255.163 | 3.612.552.807 | 1 | 8-3 / P | 185 | 205 | 12 | MA | MNA | 1 mm | wel paleosol, geen restresidu | niet van toepassing |
| 8-4 | 558.294.568 | 3.612.644.631 | 1 | 8-4 / P | 190 | 211 | 12 | MA | MNA | 1 mm | wel paleosol, wel restresidu | - |
| 8-5 | 558.334.104 | 3.612.736.560 | 1 | 8-5 / P | 190 | 209 | 12 | MA | MNA | 1 mm | wel paleosol, geen restresidu | niet van toepassing |
| 8-6 | 558.373.361 | 3.612.828.397 | 1 | 8-6 / P | 190 | 207 | 12 | MA | MNA | 1 mm | wel paleosol, geen restresidu | niet van toepassing |
| 8-7 | 558.412.827 | 3.612.920.240 | 1 | 8-7 / P | 200 | 217 | 12 | MA | MNA | 1 mm | wel paleosol, geen restresidu | niet van toepassing |
| 8-8 | 558.452.069 | 3.613.012.259 | 1 | 8-8 / P | 163 | 187 | 12 | MA | MNA | 1 mm | wel paleosol, wel restresidu | - |
| 8-9 | 558.491.717 | 3.613.104.039 | 1 | 8-9 / P | 153 | 235 | 12 | MA | MNA | 1 mm | wel paleosol, wel restresidu | - |
| 8-10 | 558.531.044 | 3.613.196.081 | 0 | - | - | - | 12 | - | - | 1 mm | geen paleosol, geen monster | niet van toepassing |
| 8-11 | 558.570.421 | 3.613.287.836 | 1 | 8-11 / P | 150 | 178 | 12 | MA | MNA | 1 mm | wel paleosol, wel restresidu<br>paleosol tussen 143-144 niet bemonsterd | - |
| 8-12 | 558.609.822 | 3.613.379.867 | 1 | 8-12 / P | 147 | 165 | 12 | MA | MNA | 1 mm | wel paleosol, geen restresidu<br>paleosol tussen 148-149 niet bemonsterd | niet van toepassing |
| 8-13 | 558.649.230 | 3.613.471.679 | 1 | 8-13 / P | 152 | 173 | 12 | MA | MNA | 1 mm | wel paleosol, wel restresidu | - |
| 8-14 | 558.688.720 | 3.613.563.521 | 1 | 8-14 / P | 190 | 208 | 12 | MA | MNA | 1 mm | wel paleosol, wel restresidu | - |
| 9-1 | 558.064.691 | 3.612.362.339 | 1 | 9-1 / P | 163 | 195 | 12 | MA | MNA | 1 mm | wel paleosol, wel restresidu | - |
| 9-2 | 558.104.107 | 3.612.454.354 | 1 | 9-2 / P | 185 | 204 | 12 | MA | MNA | 1 mm | wel paleosol, geen restresidu | niet van toepassing |
| 9-3 | 558.143.624 | 3.612.546.229 | 1 | 9-3 / P | 182 | 201 | 12 | MA | MNA | 1 mm | wel paleosol, wel restresidu | - |
| 9-4 | 558.182.782 | 3.612.638.145 | 1 | 9-4 / P | 188 | 206 | 12 | MA | MNA | 1 mm | wel paleosol, geen restresidu | niet van toepassing |
| 9-5 | 558.222.425 | 3.612.729.966 | 1 | 9-5 / P | 200 | 217 | 12 | MA | MNA | 1 mm | wel paleosol, geen restresidu | niet van toepassing |
| 9-6 | 558.261.758 | 3.612.821.893 | 1 | 9-6 / P | 190 | 208 | 12 | MA | MNA | 1 mm | wel paleosol, geen restresidu | niet van toepassing |
| 9-7 | 558.301.293 | 3.612.913.735 | 1 | 9-7 / P | 172 | 190 | 12 | MA | MNA | 1 mm | wel paleosol, geen restresidu | niet van toepassing |
| 9-8 | 558.340.527 | 3.613.005.594 | 1 | 9-8 / P | 190 | 208 | 12 | MA | MNA | 1 mm | wel paleosol, wel restresidu | - |
| 9-9 | 558.380.090 | 3.613.097.522 | 1 | 9-9 / P | 160 | 179 | 12 | MA | MNA | 1 mm | wel paleosol, geen restresidu | niet van toepassing |
| 9-10 | 558.419.516 | 3.613.189.554 | 1 | 9-10 / P | 160 | 180 | 12 | MA | MNA | 1 mm | wel paleosol, geen restresidu | niet van toepassing |
| 9-11 | 558.454.117 | 3.613.283.442 | 1 | 9-11 / P | 164 | 184 | 12 | MA | MNA | 1 mm | wel paleosol, geen restresidu | niet van toepassing |
| 9-12 | 558.493.568 | 3.613.375.327 | 1 | 9-12 / P | 148 | 179 | 12 | MA | MNA | 1 mm | wel paleosol, wel restresidu | - |
| 9-13 | 558.533.031 | 3.613.467.330 | 1 | 9-13 / P | 130 | 165 | 12 | MA | MNA | 1 mm | wel paleosol, geen restresidu | niet van toepassing |
| 9-14 | 558.572.477 | 3.613.559.076 | 1 | 9-14 / P | 154 | 174 | 12 | MA | MNA | 1 mm | wel paleosol, wel restresidu | - |
| 10-1 | 557.953.036 | 3.612.355.982 | 0 | - | - | - | 12 | - | - | 1 mm | geen paleosol, geen monster | niet van toepassing |
| 10-2 | 557.992.616 | 3.612.447.630 | 1 | 10-2 / P | 180 | 201 | 12 | MA | MNA | 1 mm | wel paleosol, wel restresidu | - |
| 10-3 | 558.032.030 | 3.612.539.621 | 1 | 10-3 / P | 175 | 193 | 12 | MA | MNA | 1 mm | wel paleosol, geen restresidu | niet van toepassing |

| Boornummer | X-coördinaat | Y-coördinaat | monster | Monstercode | relatieve diepte bovenkant monster (cm) | realtieve diepte (onderkant) monster (cm) | diameter boor | Doel monster | Monsterbewerking | Maaswijdte zeef | opmerkingen | archeologische indicator |
|---|---|---|---|---|---|---|---|---|---|---|---|---|
| 10-4 | 558.071.434 | 3.612.631.524 | 1 | 10-4 / P | 184 | 203 | 12 | MA | MNA | 1 mm | wel paleosol, geen restresidu | niet van toepassing |
| 10-5 | 558.110.717 | 3.612.723.554 | 1 | 10-5 / P | 170 | 203 | 12 | MA | MNA | 1 mm | wel paleosol, geen restresidu | niet van toepassing |
| 10-6 | 558.150.125 | 3.612.815.390 | 1 | 10-6 / P | 180 | 198 | 12 | MA | MNA | 1 mm | wel paleosol, geen restresidu | niet van toepassing |
| 10-7 | 558.189.636 | 3.612.907.157 | 1 | 10-7 / P | 171 | 188 | 12 | MA | MNA | 1 mm | wel paleosol, geen restresidu | niet van toepassing |
| 10-8 | 558.228.888 | 3.612.999.035 | 1 | 10-8 / P | 180 | 198 | 12 | MA | MNA | 1 mm | wel paleosol, geen restresidu | niet van toepassing |
| 10-9 | 558.268.379 | 3.613.090.966 | 1 | 10-9 / P | 198 | 220 | 12 | MA | MNA | 1 mm | wel paleosol, wel restresidu | - |
| 10-10 | 558.307.866 | 3.613.182.979 | 1 | 10-10 / P | 155 | 173 | 12 | MA | MNA | 1 mm | wel paleosol, geen restresidu | niet van toepassing |
| 10-11 | 558.342.450 | 3.613.276.653 | 1 | 10-11 / P | 175 | 194 | 12 | MA | MNA | 1 mm | wel paleosol, wel restresidu | - |
| 10-12 | 558.382.074 | 3.613.368.609 | 1 | 10-12 / P | 146 | 176 | 12 | MA | MNA | 1 mm | wel paleosol, wel restresidu | - |
| 10-13 | 558.421.284 | 3.613.460.686 | 1 | 10-13 / P | 140 | 175 | 12 | MA | MNA | 1 mm | wel paleosol, wel restresidu | - |
| 10-14 | 558.460.777 | 3.613.552.428 | 1 | 10-14 / P | 115 | 178 | 12 | MA | MNA | 1 mm | wel paleosol, wel restresidu | - |
| 10-15 | 558.504.832 | 3.613.642.366 | 1 | 10-15 / P | 190 | 233 | 12 | MA | MNA | 1 mm | wel paleosol, wel restresidu | - |
| 11-1 | 557.881.003 | 3.612.441.216 | 1 | 11-1 / P | 161 | 183 | 12 | MA | MNA | 1 mm | wel paleosol, wel restresidu | - |
| 11-2 | 557.920.265 | 3.612.532.956 | 1 | 11-2 / P | 170 | 188 | 12 | MA | MNA | 1 mm | wel paleosol, geen restresidu | niet van toepassing |
| 11-3 | 557.959.627 | 3.612.625.060 | 1 | 11-3 / P | 178 | 197 | 12 | MA | MNA | 1 mm | wel paleosol, geen restresidu | niet van toepassing |
| 11-4 | 557.999.118 | 3.612.717.051 | 1 | 11-4 / P | 175 | 193 | 12 | MA | MNA | 1 mm | wel paleosol, geen restresidu | niet van toepassing |
| 11-5 | 558.038.449 | 3.612.808.841 | 1 | 11-5 / P | 168 | 186 | 12 | MA | MNA | 1 mm | wel paleosol, geen restresidu | niet van toepassing |
| 11-6 | 558.078.021 | 3.612.900.755 | 1 | 11-6 / P | 178 | 195 | 12 | MA | MNA | 1 mm | wel paleosol, wel restresidu | - |
| 11-7 | 558.117.379 | 3.612.992.735 | 1 | 11-7 / P | 185 | 201 | 12 | MA | MNA | 1 mm | wel paleosol, wel restresidu | - |
| 11-8 | 558.156.727 | 3.613.084.637 | 1 | 11-8 / P | 180 | 197 | 12 | MA | MNA | 1 mm | wel paleosol, wel restresidu | - |
| 11-9 | 558.196.376 | 3.613.176.454 | 1 | 11-9 / P | 172 | 190 | 12 | MA | MNA | 1 mm | wel paleosol, geen restresidu | niet van toepassing |
| 11-10 | 558.235.460 | 3.613.268.245 | 1 | 11-10 / P | 175 | 193 | 12 | MA | MNA | 1 mm | wel paleosol, geen restresidu | niet van toepassing |
| 11-11 | 558.270.395 | 3.613.362.215 | 1 | 11-11 / P | 150 | 181 | 12 | MA | MNA | 1 mm | wel paleosol, geen restresidu | niet van toepassing |
| 11-12 | 558.309.817 | 3.613.454.146 | 1 | 11-12 / P | 138 | 171 | 12 | MA | MNA | 1 mm | wel paleosol, geen restresidu | niet van toepassing |
| 11-13 | 558.349.296 | 3.613.545.980 | 1 | 11-13 / P | 142 | 164 | 12 | MA | MNA | 1 mm | wel paleosol, wel restresidu | - |
| 11-14 | 558.388.594 | 3.613.637.955 | 1 | 11-14 / P | 155 | 172 | 12 | MA | MNA | 1 mm | wel paleosol, wel restresidu | - |
| 12-1 | 557.769.113 | 3.612.434.557 | 1 | 12-1 / P | 137 | 155 | 12 | MA | MNA | 1 mm | wel paleosol, wel restresidu | - |
| 12-2 | 557.808.660 | 3.612.526.393 | 1 | 12-2 / P | 183 | 201 | 12 | MA | MNA | 1 mm | wel paleosol, geen restresidu | niet van toepassing |
| 12-3 | 557.848.072 | 3.612.618.565 | 1 | 12-3 / P | 190 | 207 | 12 | MA | MNA | 1 mm | wel paleosol, geen restresidu | niet van toepassing |
| 12-4 | 557.887.462 | 3.612.710.283 | 1 | 12-4 / P | 185 | 207 | 12 | MA | MNA | 1 mm | wel paleosol, wel restresidu | - |
| 12-5 | 557.926.824 | 3.612.802.262 | 1 | 12-5 / P | 186 | 203 | 12 | MA | MNA | 1 mm | wel paleosol, geen restresidu | niet van toepassing |
| 12-6 | 557.966.243 | 3.612.894.080 | 1 | 12-6 / P | 175 | 192 | 12 | MA | MNA | 1 mm | wel paleosol, geen restresidu | niet van toepassing |
| 12-7 | 558.005.683 | 3.612.986.011 | 1 | 12-7 / P | 176 | 193 | 12 | MA | MNA | 1 mm | wel paleosol, geen restresidu | niet van toepassing |
| 12-8 | 558.045.166 | 3.613.078.105 | 1 | 12-8 / P | 180 | 197 | 12 | MA | MNA | 1 mm | wel paleosol, geen restresidu | niet van toepassing |
| 12-9 | 558.084.675 | 3.613.169.874 | 1 | 12-9 / P-1 | 120 | 147 | 12 | MA | MNA | 1 mm | wel paleosol, wel restresidu | - |
| 12-9 | 558.084.675 | 3.613.169.874 | 1 | 12-9 / P-2 | 180 | 198 | 12 | MA | MNA | 1 mm | wel paleosol, wel restresidu | - |
| 12-10 | 558.124.019 | 3.613.261.787 | 1 | 12-10 / P | 165 | 181 | 12 | MA | MNA | 1 mm | wel paleosol, geen restresidu | niet van toepassing |
| 12-11 | 558.158.813 | 3.613.355.721 | 1 | 12-11 / P | 140 | 177 | 12 | MA | MNA | 1 mm | wel paleosol, wel restresidu | - |
| 12-12 | 558.198.209 | 3.613.447.653 | 1 | 12-12 / P | 134 | 151 | 12 | MA | MNA | 1 mm | wel paleosol, geen restresidu | niet van toepassing |
| 12-13 | 558.237.542 | 3.613.539.483 | 1 | 12-13 / P | 139 | 156 | 12 | MA | MNA | 1 mm | wel paleosol, geen restresidu | niet van toepassing |
| 12-14 | 558.277.044 | 3.613.631.378 | 1 | 12-14 / P | 135 | 157 | 12 | MA | MNA | 1 mm | wel paleosol, wel restresidu | - |
| 12-15 | 558.320.963 | 3.613.721.309 | 1 | 12-15 / P | 170 | 188 | 12 | MA | MNA | 1 mm | wel paleosol, wel restresidu<br>paleosol tussen 150-151 niet bemonsterd | - |
| 13-1 | 557.657.800 | 3.612.428.013 | 1 | 13-1 / P | 180 | 203 | 12 | MA | MNA | 1 mm | wel paleosol, wel restresidu | - |
| 13-2 | 557.697.057 | 3.612.520.230 | 1 | 13-2 / P | 159 | 182 | 12 | MA | MNA | 1 mm | wel paleosol, wel restresidu | - |
| 13-3 | 557.736.404 | 3.612.612.042 | 1 | 13-3 / P | 170 | 187 | 12 | MA | MNA | 1 mm | wel paleosol, geen restresidu | niet van toepassing |
| 13-4 | 557.775.791 | 3.612.703.771 | 1 | 13-4 / P | 180 | 198 | 12 | MA | MNA | 1 mm | wel paleosol, geen restresidu | niet van toepassing |
| 13-5 | 557.810.635 | 3.612.797.716 | 1 | 13-5 / P | 172 | 189 | 12 | MA | MNA | 1 mm | wel paleosol, geen restresidu | niet van toepassing |
| 13-6 | 557.850.068 | 3.612.889.546 | 1 | 13-6 / P | 180 | 197 | 12 | MA | MNA | 1 mm | wel paleosol, geen restresidu | niet van toepassing |
| 13-7 | 557.889.511 | 3.612.981.481 | 1 | 13-7 / P | 175 | 192 | 12 | MA | MNA | 1 mm | wel paleosol, wel restresidu | - |
| 13-8 | 557.924.312 | 3.613.075.410 | 1 | 13-8 / P | 175 | 192 | 12 | MA | MNA | 1 mm | wel paleosol, geen restresidu | niet van toepassing |
| 13-9 | 557.963.731 | 3.613.167.462 | 1 | 13-9 / P | 161 | 187 | 12 | MA | MNA | 1 mm | wel paleosol, geen restresidu | niet van toepassing |
| 13-10 | 558.003.082 | 3.613.259.308 | 1 | 13-10 / P | 130 | 147 | 12 | MA | MNA | 1 mm | wel paleosol, geen restresidu | niet van toepassing |
| 13-11 | 558.042.634 | 3.613.351.212 | 1 | 13-11 / P | 144 | 164 | 12 | MA | MNA | 1 mm | wel paleosol, wel restresidu | - |
| 13-12 | 558.082.055 | 3.613.442.960 | 1 | 13-12 / P | 140 | 157 | 12 | MA | MNA | 1 mm | wel paleosol, geen restresidu | niet van toepassing |
| 13-13 | 558.121.418 | 3.613.534.935 | 1 | 13-13 / P | 135 | 155 | 12 | MA | MNA | 1 mm | wel paleosol, geen restresidu | niet van toepassing |
| 13-14 | 558.165.288 | 3.613.624.759 | 0 | - | - | - | 12 | - | - | 1 mm | geen paleosol, geen monster | niet van toepassing |
| 13-15 | 558.209.506 | 3.613.714.796 | 1 | 13-15 / P | 133 | 157 | 12 | MA | MNA | 1 mm | wel paleosol, geen restresidu | niet van toepassing |
| 14-1 | 557.585.278 | 3.612.513.364 | 1 | 14-1 / P | 170 | 192 | 12 | MA | MNA | 1 mm | wel paleosol, wel restresidu | - |
| 14-2 | 557.624.942 | 3.612.605.441 | 1 | 14-2 / P | 170 | 192 | 12 | MA | MNA | 1 mm | wel paleosol, wel restresidu | - |
| 14-3 | 557.664.414 | 3.612.697.349 | 1 | 14-3 / P | 177 | 200 | 12 | MA | MNA | 1 mm | wel paleosol, geen restresidu | niet van toepassing |
| 14-4 | 557.703.739 | 3.612.789.060 | 1 | 14-4 / P | 175 | 192 | 12 | MA | MNA | 1 mm | wel paleosol, geen restresidu | niet van toepassing |
| 14-5 | 557.743.158 | 3.612.881.130 | 1 | 14-5 / P | 180 | 204 | 12 | MA | MNA | 1 mm | wel paleosol, geen restresidu | niet van toepassing |
| 14-6 | 557.782.534 | 3.612.973.071 | 1 | 14-6 / P | 178 | 195 | 12 | MA | MNA | 1 mm | wel paleosol, geen restresidu | niet van toepassing |

| Boornummer | X-coördinaat | Y-coördinaat | monster | Monstercode | relatieve diepte bovenkant monster (cm) | realtieve diepte (onderkant) monster (cm) | diameter boor | Doel monster | Monsterbewerking | Maaswijdte zeef | opmerkingen | archeologische indicator |
|---|---|---|---|---|---|---|---|---|---|---|---|---|
| 14-7 | 557.821.958 | 3.613.064.889 | 1 | 14-7 / P | 179 | 197 | 12 | MA | MNA | 1 mm | wel paleosol, geen restresidu | niet van toepassing |
| 14-8 | 557.861.302 | 3.613.156.877 | 1 | 14-8 / P | 153 | 170 | 12 | MA | MNA | 1 mm | wel paleosol, geen restresidu<br>paleosol tussen 150-151 niet bemonsterd | niet van toepassing |
| 14-10 | 557.935.577 | 3.613.342.667 | 0 | - | - | - | 12 | - | - | 1 mm | geen paleosol, geen monster | niet van toepassing |
| 14-9 | 557.900.849 | 3.613.248.571 | 1 | 14-9 / P | 165 | ? | 12 | MA | MNA | 1 mm | wel paleosol, geen restresidu | niet van toepassing |
| 14-11 | 557.975.043 | 3.613.434.483 | 1 | 14-11 / P | 138 | 164 | 12 | MA | MNA | 1 mm | wel paleosol, geen restresidu | niet van toepassing |
| 14-12 | 558.014.429 | 3.613.526.481 | 1 | 14-12 / P | 175 | 191 | 12 | MA | MNA | 1 mm | wel paleosol, wel restresidu | - |
| 14-13 | 558.053.741 | 3.613.618.311 | 1 | 14-13 / P | 145 | 161 | 12 | MA | MNA | 1 mm | wel paleosol, geen restresidu<br>paleosol tussen 161-162 niet bemonsterd | niet van toepassing |
| 14-14 | 558.093.222 | 3.613.710.087 | 1 | 14-14 / P | 158 | 174 | 12 | MA | MNA | 1 mm | wel paleosol, geen restresidu<br>paleosol tussen 200-201 niet bemonsterd | niet van toepassing |
| 14-15 | 558.137.191 | 3.613.800.231 | 1 | 14-15 / P | 215 | 232 | 12 | MA | MNA | 1 mm | wel paleosol, wel restresidu | - |
| 15-1 | 557.473.788 | 3.612.506.995 | 1 | 15-1 / P | 166 | 24 | 12 | MA | MNA | 1 mm | wel paleosol, geen restresidu | niet van toepassing |
| 15-2 | 557.513.285 | 3.612.598.710 | 1 | 15-2 / P | 163 | 185 | 12 | MA | MNA | 1 mm | wel paleosol, wel restresidu | - |
| 15-3 | 557.552.750 | 3.612.690.691 | 1 | 15-3 / P | 175 | 197 | 12 | MA | MNA | 1 mm | wel paleosol, wel restresidu | - |
| 15-4 | 557.592.001 | 3.612.782.672 | 1 | 15-4 / P | 180 | 202 | 12 | MA | MNA | 1 mm | wel paleosol, wel restresidu | - |
| 15-5 | 557.631.413 | 3.612.874.725 | 1 | 15-5 / P | 183 | 199 | 12 | MA | MNA | 1 mm | wel paleosol, geen restresidu | niet van toepassing |
| 15-6 | 557.670.983 | 3.612.966.403 | 0 | - | - | - | 12 | - | - | 1 mm | geen paleosol, geen monster | niet van toepassing |
| 15-7 | 557.710.327 | 3.613.058.535 | 1 | 15-7 / P | 168 | 188 | 12 | MA | MNA | 1 mm | wel paleosol, geen restresidu | niet van toepassing |
| 15-8 | 557.749.581 | 3.613.150.311 | 1 | 15-8 / P | 133 | 155 | 12 | MA | MNA | 1 mm | wel paleosol, wel restresidu | - |
| 15-9 | 557.789.219 | 3.613.242.051 | 1 | 15-9 / P | 126 | 193 | 12 | MA | MNA | 1 mm | wel paleosol, geen restresidu | niet van toepassing |
| 15-10 | 557.823.937 | 3.613.336.087 | 0 | - | - | - | - | - | - | - | niet geboord | niet van toepassing |
| 15-11 | 557.858.834 | 3.613.430.034 | 1 | 15-11 / P | 145 | 202 | 12 | MA | MNA | 1 mm | wel paleosol, geen restresidu | niet van toepassing |
| 15-12 | 557.898.062 | 3.613.521.761 | 1 | 15-12 / P | 190 | 208 | 12 | MA | MNA | 1 mm | wel paleosol, wel restresidu | - |
| 15-13 | 557.937.553 | 3.613.613.696 | 1 | 15-13 / P-1 | 150 | 166 | 12 | MA | MNA | 1 mm | wel paleosol, wel restresidu | - |
| 15-13 | 557.937.553 | 3.613.613.696 | 1 | 15-13 / P-2 | 180 | 205 | 12 | MA | MNA | 1 mm | wel paleosol, geen restresidu | niet van toepassing |
| 15-14 | 557.976.972 | 3.613.705.683 | 1 | 15-14 / P | 150 | 181 | 12 | MA | MNA | 1 mm | wel paleosol, geen restresidu | niet van toepassing |
| 15-15 | 558.016.365 | 3.613.797.616 | 1 | 15-15 / P | 120 | 136 | 12 | MA | MNA | 1 mm | wel paleosol, geen restresidu<br>paleosol tussen 100-110 niet bemonsterd | niet van toepassing |
| 16-1 | 557.401.611 | 3.612.592.333 | 0 | - | - | - | - | - | - | - | niet geboord | niet van toepassing |
| 16-2 | 557.441.131 | 3.612.683.987 | 1 | 16-2 / P | 183 | 206 | 12 | MA | MNA | 1 mm | wel paleosol, wel restresidu | - |
| 16-3 | 557.480.455 | 3.612.776.130 | 1 | 16-3 / P | 180 | 197 | 12 | MA | MNA | 1 mm | wel paleosol, geen restresidu | niet van toepassing |
| 16-4 | 557.519.959 | 3.612.867.985 | 1 | 16-4 / P | 178 | 196 | 12 | MA | MNA | 1 mm | wel paleosol, geen restresidu | niet van toepassing |
| 16-5 | 557.559.298 | 3.612.959.785 | 1 | 16-5 / P | 182 | 198 | 12 | MA | MNA | 1 mm | wel paleosol, geen restresidu | niet van toepassing |
| 16-6 | 557.598.571 | 3.613.051.810 | 1 | 16-6 / P | 150 | 172 | 12 | MA | MNA | 1 mm | wel paleosol, geen restresidu | niet van toepassing |
| 16-7 | 557.638.268 | 3.613.143.693 | 1 | 16-7 / P | 157 | 185 | 12 | MA | MNA | 1 mm | wel paleosol, wel restresidu | - |
| 16-8 | 557.677.450 | 3.613.235.614 | 1 | 16-8 / P | 155 | 171 | 12 | MA | MNA | 1 mm | wel paleosol, geen restresidu | niet van toepassing |
| 16-9 | 557.717.005 | 3.613.327.611 | 1 | 16-9 / P-1 | 80 | 105 | 12 | MA | MNA | 1 mm | wel paleosol, geen restresidu | niet van toepassing |
| 16-9 | 557.717.005 | 3.613.327.611 | 1 | 16-9 / P-2 | 125 | 142 | 12 | MA | MNA | 1 mm | wel paleosol, geen restresidu | niet van toepassing |
| 16-10 | 557.756.559 | 3.613.419.394 | 1 | 16-10 / P | 168 | 197 | 12 | MA | MNA | 1 mm | wel paleosol, geen restresidu | niet van toepassing |
| 16-11 | 557.795.938 | 3.613.511.362 | 1 | 16-11 / P | 180 | 197 | 12 | MA | MNA | 1 mm | wel paleosol, wel restresidu | - |
| 16-12 | 557.825.961 | 3.613.607.150 | 1 | 16-12 / P | 178 | 195 | 12 | MA | MNA | 1 mm | wel paleosol, geen restresidu | niet van toepassing |
| 16-13 | 557.865.486 | 3.613.699.148 | 1 | 16-13 / P | 178 | 195 | 12 | MA | MNA | 1 mm | wel paleosol, geen restresidu | niet van toepassing |
| 16-14 | 557.904.910 | 3.613.790.912 | 1 | 16-14 / P | 172 | 195 | 12 | MA | MNA | 1 mm | wel paleosol, wel restresidu | - |
| 16-15 | 557.953.556 | 3.613.878.869 | 0 | - | - | - | 12 | - | - | 1 mm | geen paleosol, geen monster | niet van toepassing |
| 17-1 | 557.329.459 | 3.612.677.768 | 1 | 17-1 / P | 183 | 200 | 12 | MA | MNA | 1 mm | wel paleosol, geen restresidu | niet van toepassing |
| 17-2 | 557.368.819 | 3.612.769.712 | 1 | 17-2 / P | 178 | 195 | 12 | MA | MNA | 1 mm | wel paleosol, geen restresidu | niet van toepassing |
| 17-3 | 557.408.365 | 3.612.861.537 | 1 | 17-3 / P | 170 | 186 | 12 | MA | MNA | 1 mm | wel paleosol, geen restresidu | niet van toepassing |
| 17-4 | 557.447.735 | 3.612.953.378 | 0 | - | - | - | 12 | - | - | 1 mm | geen paleosol, geen monster | niet van toepassing |
| 17-5 | 557.486.995 | 3.613.045.322 | 1 | 17-5 / P | 148 | 171 | 12 | MA | MNA | 1 mm | wel paleosol, wel restresidu | - |
| 17-6 | 557.526.366 | 3.613.137.272 | 1 | 17-6 / P | 155 | 175 | 12 | MA | MNA | 1 mm | wel paleosol, geen restresidu | niet van toepassing |
| 17-7 | 557.565.926 | 3.613.228.995 | 1 | 17-7 / P | 193 | 209 | 12 | MA | MNA | 1 mm | wel paleosol, geen restresidu | niet van toepassing |
| 17-8 | 557.605.290 | 3.613.321.014 | 0 | - | - | - | 12 | - | - | 1 mm | geen paleosol, geen monster | niet van toepassing |
| 17-9 | 557.644.761 | 3.613.413.037 | 1 | 17-9 / P | 160 | 177 | 12 | MA | MNA | 1 mm | wel paleosol, geen restresidu | niet van toepassing |
| 17-10 | 557.681.872 | 3.613.505.905 | 1 | 17-10 / P | 135 | 178 | 12 | MA | MNA | 1 mm | wel paleosol, geen restresidu | niet van toepassing |
| 17-11 | 557.718.984 | 3.613.598.772 | 1 | 17-11 / P | 171 | 197 | 12 | MA | MNA | 1 mm | wel paleosol, geen restresidu | niet van toepassing |
| 17-12 | 557.758.299 | 3.613.690.669 | 1 | 17-12 / P | 145 | 161 | 12 | MA | MNA | 1 mm | wel paleosol, geen restresidu | niet van toepassing |
| 17-13 | 557.797.820 | 3.613.782.460 | 1 | 17-13 / P | 143 | 160 | 12 | MA | MNA | 1 mm | wel paleosol, geen restresidu | niet van toepassing |
| 17-14 | 557.837.304 | 3.613.874.429 | 1 | 17-14 / P | 165 | 190 | 12 | MA | MNA | 1 mm | wel paleosol, wel restresidu | - |
| 17-15 | 557.876.528 | 3.613.966.076 | 1 | 17-15 / P | 170 | 205 | 12 | MA | MNA | 1 mm | wel paleosol, wel restresidu | - |
| 17-16 | 557.916.054 | 3.614.058.069 | 1 | 17-16 / P | 168 | 205 | 12 | MA | MNA | 1 mm | wel paleosol, geen restresidu | niet van toepassing |
| 17-17 | 557.955.487 | 3.614.150.080 | 1 | 17-17 / P | 168 | 185 | 12 | MA | MNA | 1 mm | wel paleosol, geen restresidu | niet van toepassing |
| 17-18 | 557.994.811 | 3.614.242.046 | 1 | 17-18 / P | 153 | 171 | 12 | MA | MNA | 1 mm | wel paleosol, geen restresidu | niet van toepassing |
| 17-19 | 558.034.236 | 3.614.333.917 | 1 | 17-19 / P-1 | 170 | 196 | 12 | MA | MNA | 1 mm | wel paleosol, geen restresidu | niet van toepassing |

| Boornummer | X-coördinaat | Y-coördinaat | monster | Monstercode | relatieve diepte bovenkant monster (cm) | realtieve diepte (onderkant) monster (cm) | diameter boor | Doel monster | Monsterbewerking | Maaswijdte zeef | opmerkingen | archeologische indicator |
|---|---|---|---|---|---|---|---|---|---|---|---|---|
| 17-19 | 558.034.236 | 3.614.333.917 | 1 | 17-19 / P-2 | 178 | 195 | 12 | MA | MNA | 1 mm | wel paleosol, geen restresidu | niet van toepassing |
| 18-1 | 557.257.325 | 3.612.763.048 | 1 | 18-1 / P | 183 | 199 | 12 | MA | MNA | 1 mm | wel paleosol, geen restresidu | niet van toepassing |
| 18-2 | 557.296.696 | 3.612.854.940 | 1 | 18-2 / P | 170 | 186 | 12 | MA | MNA | 1 mm | wel paleosol, wel restresidu | - |
| 18-3 | 557.336.112 | 3.612.946.883 | 1 | 18-3 / P | 158 | 174 | 12 | MA | MNA | 1 mm | wel paleosol, geen restresidu | niet van toepassing |
| 18-4 | 557.375.521 | 3.613.038.822 | 0 | - | - | - | 12 | - | - | 1 mm | geen paleosol, geen monster | niet van toepassing |
| 18-5 | 557.414.936 | 3.613.130.613 | 1 | 18-5 / P | 122 | 151 | 12 | MA | MNA | 1 mm | wel paleosol, geen restresidu | niet van toepassing |
| 18-6 | 557.454.330 | 3.613.222.624 | 1 | 18-6 / P | 160 | 196 | 12 | MA | MNA | 1 mm | wel paleosol, geen restresidu | niet van toepassing |
| 18-7 | 557.493.750 | 3.613.314.572 | 1 | 18-7 / P | 130 | 147 | 12 | MA | MNA | 1 mm | wel paleosol, geen restresidu | niet van toepassing |
| 18-8 | 557.533.109 | 3.613.406.457 | 1 | 18-8 / P | 133 | 149 | 12 | MA | MNA | 1 mm | wel paleosol, geen restresidu | niet van toepassing |
| 18-9 | 557.572.527 | 3.613.498.124 | 0 | - | - | - | 12 | - | - | 1 mm | geen paleosol, geen monster | niet van toepassing |
| 18-10 | 557.611.886 | 3.613.590.134 | 0 | - | - | - | 12 | - | - | 1 mm | wel paleosol, niet bemonsterd | niet van toepassing |
| 18-11 | 557.646.830 | 3.613.684.226 | 0 | - | - | - | 12 | - | - | 1 mm | geen paleosol, geen monster | niet van toepassing |
| 18-12 | 557.686.118 | 3.613.775.981 | 0 | - | - | - | 12 | - | - | 1 mm | geen paleosol, geen monster | niet van toepassing |
| 18-13 | 557.725.577 | 3.613.867.896 | 0 | - | - | - | 12 | - | - | 1 mm | geen paleosol, geen monster | niet van toepassing |
| 18-14 | 557.765.074 | 3.613.959.883 | 0 | - | - | - | 12 | - | - | 1 mm | geen paleosol, geen monster | niet van toepassing |
| 18-15 | 557.804.350 | 3.614.051.666 | 0 | - | - | - | 12 | - | - | 1 mm | geen paleosol, geen monster | niet van toepassing |
| 18-16 | 557.843.916 | 3.614.143.650 | 1 | 18-16 / P-1 | 100 | 117 | 12 | MA | MNA | 1 mm | wel paleosol, wel restresidu | - |
| 18-16 | 557.843.916 | 3.614.143.650 | 1 | 18-16 / P-2 | 145 | 161 | 12 | MA | MNA | 1 mm | wel paleosol, wel restresidu | - |
| 18-17 | 557.883.302 | 3.614.235.530 | 1 | 18-17 / P-1 | 95 | 126 | 12 | MA | MNA | 1 mm | wel paleosol, geen restresidu | niet van toepassing |
| 18-17 | 557.883.302 | 3.614.235.530 | 1 | 18-17 / P-2 | 140 | 160 | 12 | MA | MNA | 1 mm | wel paleosol, geen restresidu | niet van toepassing |
| 18-18 | 557.922.676 | 3.614.327.523 | 1 | 18-18 / P | 120 | 136 | 12 | MA | MNA | 1 mm | wel paleosol, geen restresidu | niet van toepassing |
| 18-18 | 557.922.676 | 3.614.327.523 | 1 | 18-18 / P | 170 | 189 | 12 | MA | MNA | 1 mm | wel paleosol, geen restresidu | niet van toepassing |
| 18-19 | 557.966.730 | 3.614.417.293 | 1 | 18-19 / P | 180 | 196 | 12 | MA | MNA | 1 mm | wel paleosol, geen restresidu | niet van toepassing |
| 19-1 | 557.145.466 | 3.612.756.546 | 0 | - | - | - | 12 | - | - | 1 mm | geen paleosol, geen monster | niet van toepassing |
| 19-2 | 557.185.154 | 3.612.848.455 | 1 | 19-2 / P | 189 | 206 | 12 | MA | MNA | 1 mm | wel paleosol, geen restresidu | niet van toepassing |
| 19-3 | 557.224.572 | 3.612.940.219 | 0 | - | - | - | 12 | - | - | 1 mm | geen paleosol, geen monster | niet van toepassing |
| 19-4 | 557.263.810 | 3.613.032.116 | 1 | 19-4 / P | 175 | 192 | 12 | MA | MNA | 1 mm | wel paleosol, geen restresidu | niet van toepassing |
| 19-5 | 557.303.340 | 3.613.124.299 | 1 | 19-5 / P | 130 | 151 | 12 | MA | MNA | 1 mm | wel paleosol, geen restresidu | niet van toepassing |
| 19-6 | 557.342.808 | 3.613.216.166 | 1 | 19-6 / P | 144 | 161 | 12 | MA | MNA | 1 mm | wel paleosol, geen restresidu | niet van toepassing |
| 19-7 | 557.382.003 | 3.613.307.907 | 1 | 19-7 / P | 134 | 150 | 12 | MA | MNA | 1 mm | wel paleosol, geen restresidu | niet van toepassing |
| 19-8 | 557.421.466 | 3.613.399.892 | 0 | - | - | - | 12 | - | - | 1 mm | geen paleosol, geen monster | niet van toepassing |
| 19-9 | 557.460.959 | 3.613.491.914 | 0 | - | - | - | 12 | - | - | 1 mm | geen paleosol, geen monster | niet van toepassing |
| 19-10 | 557.500.191 | 3.613.583.603 | 1 | 19-10 / P | 156 | 200 | 12 | MA | MNA | 1 mm | wel paleosol, wel restresidu | - |
| 19-11 | 557.539.701 | 3.613.675.597 | 1 | 19-11 / P-1 | 115 | 153 | 12 | MA | MNA | 1 mm | wel paleosol, geen restresidu | niet van toepassing |
| 19-11 | 557.539.701 | 3.613.675.597 | 1 | 19-11 / P-2 | 180 | 203 | 12 | MA | MNA | 1 mm | wel paleosol, wel restresidu | - |
| 19-12 | 557.579.078 | 3.613.767.506 | 1 | 19-12 / P | 126 | 167 | 12 | MA | MNA | 1 mm | wel paleosol, geen restresidu | niet van toepassing |
| 19-13 | 557.618.700 | 3.613.859.339 | 1 | 19-13 / P | 140 | 156 | 12 | MA | MNA | 1 mm | wel paleosol, geen restresidu | niet van toepassing |
| 19-14 | 557.657.927 | 3.613.951.422 | 1 | 19-14 / P | 150 | 169 | 12 | MA | MNA | 1 mm | wel paleosol, geen restresidu | niet van toepassing |
| 19-15 | 557.697.381 | 3.614.043.260 | 1 | 19-15 / P | 165 | 181 | 12 | MA | MNA | 1 mm | wel paleosol, geen restresidu | niet van toepassing |
| 19-16 | 557.736.723 | 3.614.134.961 | 1 | 19-16 / P | 143 | 160 | 12 | MA | MNA | 1 mm | wel paleosol, geen restresidu | niet van toepassing |
| 19-17 | 557.776.252 | 3.614.226.945 | 1 | 19-17 / P | 115 | 160 | 12 | MA | MNA | 1 mm | wel paleosol, geen restresidu | niet van toepassing |
| 19-18 | 557.815.701 | 3.614.318.886 | 1 | 19-18 / P | 143 | 167 | 12 | MA | MNA | 1 mm | wel paleosol, geen restresidu | niet van toepassing |
| 19-19 | 557.855.068 | 3.614.410.729 | 1 | 19-19 / P-1 | 118 | 135 | 12 | MA | MNA | 1 mm | wel paleosol, geen restresidu | niet van toepassing |
| 19-19 | 557.855.068 | 3.614.410.729 | 1 | 19-19 / P-2 | 155 | 174 | 12 | MA | MNA | 1 mm | wel paleosol, geen restresidu | niet van toepassing |
| 19-19 | 557.855.068 | 3.614.410.729 | 1 | 19-19 / P-3 | 175 | 192 | 12 | MA | MNA | 1 mm | wel paleosol, geen restresidu | niet van toepassing |
| 20-1 | 557.033.923 | 3.612.750.021 | 1 | 20-1 / P | 173 | 190 | 12 | MA | MNA | 1 mm | wel paleosol, geen restresidu | niet van toepassing |
| 20-2 | 557.073.415 | 3.612.841.770 | 1 | 20-2 / P | 165 | 186 | 12 | MA | MNA | 1 mm | wel paleosol, geen restresidu | niet van toepassing |
| 20-3 | 557.112.905 | 3.612.933.679 | 1 | 20-3 / P | 185 | 204 | 12 | MA | MNA | 1 mm | wel paleosol, geen restresidu | niet van toepassing |
| 20-4 | 557.152.169 | 3.613.025.590 | 1 | 20-4 / P | 138 | 186 | 12 | MA | MNA | 1 mm | wel paleosol, geen restresidu | niet van toepassing |
| 20-5 | 557.191.609 | 3.613.117.731 | 1 | 20-5 / P | 183 | 201 | 12 | MA | MNA | 1 mm | wel paleosol, geen restresidu | niet van toepassing |
| 20-6 | 557.231.124 | 3.613.209.382 | 1 | 20-6 / P | 164 | 181 | 12 | MA | MNA | 1 mm | wel paleosol, geen restresidu | niet van toepassing |
| 20-7 | 557.270.483 | 3.613.301.358 | 1 | 20-7 / P | 125 | 156 | 12 | MA | MNA | 1 mm | wel paleosol, geen restresidu | niet van toepassing |
| 20-8 | 557.309.843 | 3.613.393.197 | 1 | 20-8 / P | 144 | 161 | 12 | MA | MNA | 1 mm | wel paleosol, geen restresidu | niet van toepassing |
| 20-9 | 557.349.302 | 3.613.485.035 | 1 | 20-9 / P | 130 | 146 | 12 | MA | MNA | 1 mm | wel paleosol, geen restresidu | niet van toepassing |
| 20-10 | 557.388.866 | 3.613.577.184 | 1 | 20-10 / P | 140 | 209 | 12 | MA | MNA | 1 mm | wel paleosol, geen restresidu | niet van toepassing |
| 20-11 | 557.428.203 | 3.613.669.094 | 1 | 20-11 / P | 164 | 191 | 12 | MA | MNA | 1 mm | wel paleosol, geen restresidu | niet van toepassing |
| 20-12 | 557.467.656 | 3.613.760.863 | 1 | 20-12 / P | 145 | 187 | 12 | MA | MNA | 1 mm | wel paleosol, geen restresidu | niet van toepassing |
| 20-13 | 557.506.993 | 3.613.852.693 | 1 | 20-13 / P | 150 | 169 | 12 | MA | MNA | 1 mm | wel paleosol, geen restresidu | niet van toepassing |
| 20-14 | 557.546.303 | 3.613.944.733 | 1 | 20-14 / P | 154 | 170 | 12 | MA | MNA | 1 mm | wel paleosol, wel restresidu | - |
| 20-15 | 557.585.854 | 3.614.036.518 | 1 | 20-15 / P | 124 | 180 | 12 | MA | MNA | 1 mm | wel paleosol, geen restresidu | niet van toepassing |
| 20-16 | 557.625.369 | 3.614.128.651 | 1 | 20-16 / P | 145 | 166 | 12 | MA | MNA | 1 mm | wel paleosol, geen restresidu | niet van toepassing |
| 20-17 | 557.660.112 | 3.614.222.473 | 1 | 20-17 / P | 170 | 198 | 12 | MA | MNA | 1 mm | wel paleosol, wel restresidu | - |
| 20-18 | 557.699.433 | 3.614.314.482 | 1 | 20-18 / P-1 | 105 | 141 | 12 | MA | MNA | 1 mm | wel paleosol, wel restresidu | - |
| 20-18 | 557.699.433 | 3.614.314.482 | 1 | 20-18 / P-2 | 140 | 156 | 12 | MA | MNA | 1 mm | wel paleosol, geen restresidu | niet van toepassing |

| Boornummer | X-coördinaat | Y-coördinaat | monster | Monstercode | relatieve diepte bovenkant monster (cm) | realtieve diepte (onderkant) monster (cm) | diameter boor | Doel monster | Monsterbewerking | Maaswijdte zeef | opmerkingen | archeologische indicator |
|---|---|---|---|---|---|---|---|---|---|---|---|---|
| 20-19 | 557.743.394 | 3.614.404.368 | 1 | 20-19 / P-1 | 100 | 181 | 12 | MA | MNA | 1 mm | wel paleosol, wel restresidu | - |
| 20-19 | 557.743.394 | 3.614.404.368 | 1 | 20-19 / P-2 | 180 | 196 | 12 | MA | MNA | 1 mm | wel paleosol, wel restresidu | - |
| 20-20 | 557.782.886 | 3.614.496.287 | 1 | 20-20 / P | 135 | 181 | 12 | MA | MNA | 1 mm | wel paleosol, wel restresidu | - |
| 21-1 | 556.961.837 | 3.612.835.227 | 1 | 21-1 / P | 169 | 185 | 12 | MA | MNA | 1 mm | wel paleosol, wel restresidu | - |
| 21-2 | 557.001.325 | 3.612.927.282 | 1 | 21-2 / P | 173 | 205 | 12 | MA | MNA | 1 mm | wel paleosol, wel restresidu | - |
| 21-3 | 557.040.653 | 3.613.019.208 | 1 | 21-3 / P | 158 | 202 | 12 | MA | MNA | 1 mm | wel paleosol, wel restresidu | - |
| 21-4 | 557.079.951 | 3.613.110.962 | 1 | 21-4 / P-1 | 130 | 147 | 12 | MA | MNA | 1 mm | wel paleosol, wel restresidu | - |
| 21-4 | 557.079.951 | 3.613.110.962 | 1 | 21-4 / P-2 | 195 | 211 | 12 | MA | MNA | 1 mm | wel paleosol, geen restresidu | niet van toepassing |
| 21-5 | 557.119.460 | 3.613.203.066 | 1 | 21-5 / P | 205 | 221 | 12 | MA | MNA | 1 mm | wel paleosol, wel restresidu | - |
| 21-6 | 557.158.853 | 3.613.294.974 | 1 | 21-6 / P | 173 | 195 | 12 | MA | MNA | 1 mm | wel paleosol, geen restresidu | niet van toepassing |
| 21-7 | 557.198.332 | 3.613.386.921 | 1 | 21-7 / P | 175 | 191 | 12 | MA | MNA | 1 mm | wel paleosol, geen restresidu | niet van toepassing |
| 21-8 | 557.237.859 | 3.613.478.582 | 1 | 21-8 / P | 160 | 177 | 12 | MA | MNA | 1 mm | wel paleosol, geen restresidu | niet van toepassing |
| 21-9 | 557.277.211 | 3.613.570.575 | 1 | 21-9 / P | 130 | 179 | 12 | MA | MNA | 1 mm | wel paleosol, wel restresidu | - |
| 21-10 | 557.316.635 | 3.613.662.561 | 1 | 21-10 / P | 160 | 177 | 12 | MA | MNA | 1 mm | wel paleosol, geen restresidu | niet van toepassing |
| 21-11 | 557.351.371 | 3.613.756.323 | 1 | 21-11 / P | 122 | 235 | 12 | MA | MNA | 1 mm | wel paleosol, geen restresidu | niet van toepassing |
| 21-12 | 557.390.771 | 3.613.848.124 | 1 | 21-12 / P-1 | 125 | 141 | 12 | MA | MNA | 1 mm | wel paleosol, geen restresidu | niet van toepassing |
| 21-12 | 557.390.771 | 3.613.848.124 | 1 | 21-12 / P-2 | 148 | 164 | 12 | MA | MNA | 1 mm | wel paleosol, geen restresidu | niet van toepassing |
| 21-13 | 557.430.188 | 3.613.940.138 | 1 | 21-13 / P | 157 | 176 | 12 | MA | MNA | 1 mm | wel paleosol, geen restresidu | niet van toepassing |
| 21-14 | 557.469.657 | 3.614.032.166 | 1 | 21-14 / P | 123 | 140 | 12 | MA | MNA | 1 mm | wel paleosol, geen restresidu | niet van toepassing |
| 21-15 | 557.508.974 | 3.614.123.895 | 1 | 21-15 / P | 125 | 205 | 12 | MA | MNA | 1 mm | wel paleosol, wel restresidu | - |
| 21-16 | 557.548.465 | 3.614.215.789 | 1 | 21-16 / P | 129 | 148 | 12 | MA | MNA | 1 mm | wel paleosol, geen restresidu | niet van toepassing |
| 21-17 | 557.587.800 | 3.614.307.844 | 1 | 21-17 / P-1 | 90 | 138 | 12 | MA | MNA | 1 mm | wel paleosol, wel restresidu | - |
| 21-17 | 557.587.800 | 3.614.307.844 | 1 | 21-17 / P-2 | 190 | 225 | 12 | MA | MNA | 1 mm | wel paleosol, wel restresidu | - |
| 21-18 | 557.627.250 | 3.614.399.665 | 1 | 21-18 / P-1 | 70 | 93 | 12 | MA | MNA | 1 mm | wel paleosol, geen restresidu | niet van toepassing |
| 21-18 | 557.627.250 | 3.614.399.665 | 1 | 21-18 / P-2 | 98 | 135 | 12 | MA | MNA | 1 mm | wel paleosol, geen restresidu | niet van toepassing |
| 21-18 | 557.627.250 | 3.614.399.665 | 1 | 21-18 / P-3 | 120 | 183 | 12 | MA | MNA | 1 mm | wel paleosol, wel restresidu | - |
| 21-19 | 557.666.578 | 3.614.491.758 | 1 | 21-19 / P | 100 | 138 | 12 | MA | MNA | 1 mm | wel paleosol, wel restresidu | - |
| 22-1 | 556.929.103 | 3.613.012.592 | 1 | 22-1 / P | 169 | 189 | 12 | MA | MNA | 1 mm | wel paleosol, wel restresidu | - |
| 22-2 | 556.968.587 | 3.613.104.606 | 1 | 22-2 / P | 140 | 198 | 12 | MA | MNA | 1 mm | wel paleosol, geen restresidu | niet van toepassing |
| 22-3 | 557.007.853 | 3.613.196.556 | 1 | 22-3 / P | 153 | 172 | 12 | MA | MNA | 1 mm | wel paleosol, wel restresidu | - |
| 22-4 | 557.047.309 | 3.613.288.228 | 0 | - | - | - | 12 | - | - | 1 mm | geen paleosol, geen monster | niet van toepassing |
| 22-5 | 557.086.689 | 3.613.380.092 | 1 | 22-5 / P | 148 | 177 | 12 | MA | MNA | 1 mm | wel paleosol, wel restresidu | - |
| 22-6 | 557.126.075 | 3.613.471.985 | 1 | 22-6 / P | 135 | 152 | 12 | MA | MNA | 1 mm | wel paleosol, geen restresidu | niet van toepassing |
| 22-7 | 557.165.647 | 3.613.564.020 | 0 | - | - | - | 12 | - | - | 1 mm | geen paleosol, geen monster | niet van toepassing |
| 22-8 | 557.204.958 | 3.613.655.875 | 1 | 22-8 / P | 140 | 157 | 12 | MA | MNA | 1 mm | wel paleosol, geen restresidu | niet van toepassing |
| 22-9 | 557.244.224 | 3.613.747.885 | 0 | - | - | - | - | - | - | - | niet geboord | niet van toepassing |
| 22-10 | 557.279.194 | 3.613.841.751 | 1 | 22-10 / P-1 | 108 | 124 | 12 | MA | MNA | 1 mm | wel paleosol, geen restresidu | niet van toepassing |
| 22-10 | 557.279.194 | 3.613.841.751 | 1 | 22-10 / P-2 | 150 | 168 | 12 | MA | MNA | 1 mm | wel paleosol, geen restresidu | niet van toepassing |
| 22-11 | 557.318.592 | 3.613.933.633 | 0 | - | - | - | 12 | - | - | 1 mm | geen paleosol, geen monster | niet van toepassing |
| 22-12 | 557.358.039 | 3.614.025.553 | 1 | 22-12 / P-1 | 71 | 91 | 12 | MA | MNA | 1 mm | wel paleosol, geen restresidu | niet van toepassing |
| 22-12 | 557.358.039 | 3.614.025.553 | 1 | 22-12 / P-2 | 100 | 145 | 12 | MA | MNA | 1 mm | wel paleosol, geen restresidu | niet van toepassing |
| 22-13 | 557.397.468 | 3.614.117.430 | 1 | 22-13 / P-1 | 70 | 138 | 12 | MA | MNA | 1 mm | wel paleosol, geen restresidu | niet van toepassing |
| 22-13 | 557.397.468 | 3.614.117.430 | 1 | 22-13 / P-2 | 160 | 181 | 12 | MA | MNA | 1 mm | wel paleosol, wel restresidu | - |
| 22-14 | 557.436.860 | 3.614.209.332 | 1 | 22-14 / P-1 | 85 | 112 | 12 | MA | MNA | 1 mm | wel paleosol, geen restresidu | niet van toepassing |
| 22-14 | 557.436.860 | 3.614.209.332 | 1 | 22-14 / P-2 | 113 | 151 | 12 | MA | MNA | 1 mm | wel paleosol, geen restresidu | niet van toepassing |
| 22-15 | 557.476.174 | 3.614.301.198 | 1 | 22-15 / P-1 | 60 | 78 | 12 | MA | MNA | 1 mm | wel paleosol, geen restresidu | niet van toepassing |
| 22-15 | 557.476.174 | 3.614.301.198 | 1 | 22-15 / P-2 | 100 | 118 | 12 | MA | MNA | 1 mm | wel paleosol, wel restresidu | - |
| 22-15 | 557.476.174 | 3.614.301.198 | 1 | 22-15 / P-3 | 180 | 204 | 12 | MA | MNA | 1 mm | wel paleosol, wel restresidu | - |
| 22-16 | 557.515.740 | 3.614.393.107 | 1 | 22-16 / P-1 | 80 | 107 | 12 | MA | MNA | 1 mm | wel paleosol, wel restresidu | - |
| 22-16 | 557.515.740 | 3.614.393.107 | 1 | 22-16 / P-2 | 100 | 147 | 12 | MA | MNA | 1 mm | wel paleosol, geen restresidu | niet van toepassing |
| 22-16 | 557.515.740 | 3.614.393.107 | 1 | 22-16 / P-3 | 165 | 190 | 12 | MA | MNA | 1 mm | wel paleosol, geen restresidu | niet van toepassing |
| 22-17 | 557.559.703 | 3.614.483.187 | 1 | 22-17 / P | 95 | 199 | 12 | MA | MNA | 1 mm | wel paleosol, wel restresidu | - |
| 22-18 | 557.599.134 | 3.614.575.125 | 1 | 22-18 / P-1 | 90 | 173 | 12 | MA | MNA | 1 mm | wel paleosol, wel restresidu<br>C-horizont bemonsterd | - |
| 22-18 | 557.599.134 | 3.614.575.125 | 1 | 22-18 / P-2 | 158 | 174 | 12 | MA | MNA | 1 mm | wel paleosol, geen restresidu | niet van toepassing |
| 23-1 | 556.856.966 | 3.613.097.954 | 1 | 23-1 / P | 173 | 204 | 12 | MA | MNA | 1 mm | wel paleosol, wel restresidu | - |
| 23-2 | 556.896.179 | 3.613.189.899 | 1 | 23-2 / P | 160 | 177 | 12 | MA | MNA | 1 mm | wel paleosol, geen restresidu | niet van toepassing |
| 23-3 | 556.935.599 | 3.613.281.748 | 0 | - | - | - | 12 | - | - | 1 mm | geen paleosol, geen monster | niet van toepassing |
| 23-4 | 556.974.961 | 3.613.373.702 | 0 | - | - | - | 12 | - | - | 1 mm | geen paleosol, geen monster | niet van toepassing |
| 23-5 | 557.014.518 | 3.613.465.617 | 1 | 23-5 / P | 140 | 198 | 12 | MA | MNA | 1 mm | wel paleosol, wel restresidu | - |
| 23-6 | 557.053.813 | 3.613.557.615 | 0 | - | - | - | 12 | - | - | 1 mm | geen paleosol, geen monster | niet van toepassing |
| 23-7 | 557.093.401 | 3.613.649.588 | 0 | - | - | - | 12 | - | - | 1 mm | geen paleosol, geen monster | niet van toepassing |
| 23-8 | 557.132.829 | 3.613.741.260 | 1 | 23-8 / P-1 | 117 | 133 | 12 | MA | MNA | 1 mm | wel paleosol, geen restresidu | niet van toepassing |
| 23-8 | 557.132.829 | 3.613.741.260 | 1 | 23-8 / P-2 | 192 | 210 | 12 | MA | MNA | 1 mm | wel paleosol, geen restresidu | niet van toepassing |

| Boornummer | X-coördinaat | Y-coördinaat | monster | Monstercode | relatieve diepte bovenkant monster (cm) | realtieve diepte (onderkant) monster (cm) | diameter boor | Doel monster | Monsterbewerking | Maaswijdte zeef | opmerkingen | archeologische indicator |
|---|---|---|---|---|---|---|---|---|---|---|---|---|
| 23-9 | 557.172.183 | 3.613.833.197 | 1 | 23-9 / P-1 | 125 | 148 | 12 | MA | MNA | 1 mm | wel paleosol, geen restresidu | niet van toepassing |
| 23-9 | 557.172.183 | 3.613.833.197 | 1 | 23-9 / P-2 | 187 | 205 | 12 | MA | MNA | 1 mm | wel paleosol, wel restresidu | - |
| 23-10 | 557.211.430 | 3.613.925.007 | 1 | 23-10 / P-1 | 105 | 154 | 12 | MA | MNA | 1 mm | wel paleosol, geen restresidu | niet van toepassing |
| 23-10 | 557.211.430 | 3.613.925.007 | 1 | 23-10 / P-2 | 145 | 170 | 12 | MA | MNA | 1 mm | wel paleosol, geen restresidu | niet van toepassing |
| 23-11 | 557.250.938 | 3.614.017.163 | 1 | 23-11 / P-1 | 3 | 146 | 12 | MA | MNA | 1 mm | wel paleosol, wel restresidu | - |
| 23-11 | 557.250.938 | 3.614.017.163 | 1 | 23-11 / P-2 | 135 | 152 | 12 | MA | MNA | 1 mm | wel paleosol, geen restresidu | niet van toepassing |
| 23-12 | 557.290.407 | 3.614.109.109 | 1 | 23-12 / P-1 | 77 | 124 | 12 | MA | MNA | 1 mm | wel paleosol, geen restresidu | niet van toepassing |
| 23-12 | 557.290.407 | 3.614.109.109 | 1 | 23-12 / P-2 | 140 | 157 | 12 | MA | MNA | 1 mm | wel paleosol, geen restresidu | niet van toepassing |
| 23-13 | 557.329.835 | 3.614.200.935 | 1 | 23-13 / P | 106 | 163 | 12 | MA | MNA | 1 mm | wel paleosol, wel restresidu | - |
| 23-14 | 557.369.056 | 3.614.292.840 | 1 | 23-14 / P-1 | 74 | 93 | 12 | MA | MNA | 1 mm | wel paleosol, wel restresidu | - |
| 23-14 | 557.369.056 | 3.614.292.840 | 1 | 23-14 / P-2 | 115 | 133 | 12 | MA | MNA | 1 mm | wel paleosol, geen restresidu | niet van toepassing |
| 23-15 | 557.408.592 | 3.614.384.602 | 1 | 23-15 / P-1 | 70 | 86 | 12 | MA | MNA | 1 mm | wel paleosol, wel restresidu | - |
| 23-15 | 557.408.592 | 3.614.384.602 | 1 | 23-15 / P-2 | 105 | 122 | 12 | MA | MNA | 1 mm | wel paleosol, wel restresidu | - |
| 23-15 | 557.408.592 | 3.614.384.602 | 1 | 23-15 / P-3 | 129 | 146 | 12 | MA | MNA | 1 mm | wel paleosol, wel restresidu | - |
| 23-16 | 557.447.868 | 3.614.476.560 | 1 | 23-16 / P-1 | 75 | 119 | 12 | MA | MNA | 1 mm | wel paleosol, wel restresidu | - |
| 23-16 | 557.447.868 | 3.614.476.560 | 1 | 23-16 / P-2 | 126 | 143 | 12 | MA | MNA | 1 mm | wel paleosol, geen restresidu | niet van toepassing |
| 23-17 | 557.487.551 | 3.614.568.471 | 1 | 23-17 / P-1 | 94 | 114 | 12 | MA | MNA | 1 mm | wel paleosol, wel restresidu | - |
| 23-17 | 557.487.551 | 3.614.568.471 | 1 | 23-17 / P-2 | 173 | 190 | 12 | MA | MNA | 1 mm | wel paleosol, wel restresidu | - |
| 24-1 | 556.784.790 | 3.613.183.334 | 1 | 24-1 / P | 165 | 193 | 12 | MA | MNA | 1 mm | wel paleosol, geen restresidu | niet van toepassing |
| 24-2 | 556.824.062 | 3.613.275.207 | 1 | 24-2 / P | 196 | 213 | 12 | MA | MNA | 1 mm | wel paleosol, wel restresidu | - |
| 24-3 | 556.863.546 | 3.613.367.168 | 1 | 24-3 / P | 195 | 211 | 12 | MA | MNA | 1 mm | wel paleosol, geen restresidu | niet van toepassing |
| 24-4 | 556.902.932 | 3.613.459.003 | 0 | - | - | - | 12 | - | - | 1 mm | geen paleosol, geen monster | niet van toepassing |
| 24-5 | 556.942.309 | 3.613.551.040 | 1 | 24-5 / P | 200 | 221 | 12 | MA | MNA | 1 mm | wel paleosol, geen restresidu | niet van toepassing |
| 24-6 | 556.981.863 | 3.613.642.859 | 1 | 24-6 / P | 180 | 196 | 12 | MA | MNA | 1 mm | wel paleosol, wel restresidu | - |
| 24-7 | 557.021.262 | 3.613.734.794 | 1 | 24-7 / P | 142 | 160 | 12 | MA | MNA | 1 mm | wel paleosol, geen restresidu | niet van toepassing |
| 24-8 | 557.060.708 | 3.613.826.754 | 1 | 24-8 / P | 145 | 199 | 12 | MA | MNA | 1 mm | wel paleosol, geen restresidu | niet van toepassing |
| 24-9 | 557.100.055 | 3.613.918.625 | 1 | 24-9 / P-1 | 110 | 126 | 12 | MA | MNA | 1 mm | wel paleosol, geen restresidu | niet van toepassing |
| 24-9 | 557.100.055 | 3.613.918.625 | 1 | 24-9 / P-2 | 133 | 165 | 12 | MA | MNA | 1 mm | wel paleosol, geen restresidu | niet van toepassing |
| 24-10 | 557.139.426 | 3.614.010.383 | 1 | 24-10 / P | 85 | 104 | 12 | MA | MNA | 1 mm | wel paleosol, geen restresidu | niet van toepassing |
| 24-11 | 557.178.848 | 3.614.102.244 | 1 | 24-11 / P | 103 | 135 | 12 | MA | MNA | 1 mm | wel paleosol, geen restresidu | niet van toepassing |
| 24-12 | 557.218.060 | 3.614.194.285 | 1 | 24-12 / P | 85 | 149 | 12 | MA | MNA | 1 mm | wel paleosol, geen restresidu | niet van toepassing |
| 24-13 | 557.252.978 | 3.614.288.291 | 1 | 24-13 / P-1 | 60 | 95 | 12 | MA | MNA | 1 mm | wel paleosol, geen restresidu | niet van toepassing |
| 24-13 | 557.252.978 | 3.614.288.291 | 1 | 24-13 / P-2 | 98 | 130 | 12 | MA | MNA | 1 mm | wel paleosol, geen restresidu | niet van toepassing |
| 24-14 | 557.292.380 | 3.614.380.176 | 1 | 24-14 / P-1 | 60 | 131 | 12 | MA | MNA | 1 mm | wel paleosol, wel restresidu | - |
| 24-14 | 557.292.380 | 3.614.380.176 | 1 | 24-14 / P-2 | 165 | 200 | 12 | MA | MNA | 1 mm | wel paleosol, wel restresidu | - |
| 24-15 | 557.331.836 | 3.614.472.079 | 1 | 24-15 / P-1 | 68 | 91 | 12 | MA | MNA | 1 mm | wel paleosol, wel restresidu | - |
| 24-15 | 557.331.836 | 3.614.472.079 | 1 | 24-15 / P-2 | 185 | 205 | 12 | MA | MNA | 1 mm | wel paleosol, wel restresidu | - |
| 24-16 | 557.375.724 | 3.614.561.843 | 1 | 24-16 / P-1 | 78 | 128 | 12 | MA | MNA | 1 mm | wel paleosol, geen restresidu | niet van toepassing |
| 24-16 | 557.375.724 | 3.614.561.843 | 1 | 24-16 / P-2 | 185 | 207 | 12 | MA | MNA | 1 mm | wel paleosol, wel restresidu | - |
| 24-17 | 557.415.178 | 3.614.653.705 | 1 | 24-17 / P | 135 | 158 | 12 | MA | MNA | 1 mm | wel paleosol, wel restresidu | - |
| 1 | 558.717.787 | 3.611.818.531 | 0 | - | - | - | 10 | - | - | 1 mm | wel paleosol, niet bemonsterd | niet van toepassing |
| 2 | 558.765.605 | 3.611.906.570 | 0 | - | - | - | 10 | - | - | 1 mm | wel paleosol, niet bemonsterd | niet van toepassing |
| 3 | 558.809.543 | 3.611.990.807 | 0 | - | - | - | 10 | - | - | 1 mm | wel paleosol, niet bemonsterd | niet van toepassing |
| 4 | 558.701.210 | 3.612.038.864 | 0 | - | - | - | 10 | - | - | 1 mm | geen paleosol, geen monster | niet van toepassing |
| 5 | - | - | 0 | - | - | - | 10 | - | - | 1 mm | wel paleosol, niet bemonsterd | niet van toepassing |
| 6 | 558.287.686 | 3.611.827.975 | 0 | - | - | - | 10 | - | - | 1 mm | wel paleosol, niet bemonsterd | niet van toepassing |
| 7 | 558.206.360 | 3.611.870.465 | 0 | - | - | - | 10 | - | - | 1 mm | wel paleosol, niet bemonsterd | niet van toepassing |
| 8 | 558.340.742 | 3.611.802.300 | 0 | - | - | - | 10 | - | - | 1 mm | wel paleosol, niet bemonsterd | niet van toepassing |
| 9 | 558.452.005 | 3.611.933.863 | 0 | - | - | - | 10 | - | - | 1 mm | wel paleosol, niet bemonsterd | niet van toepassing |
| 10 | 558.252.447 | 3.612.008.403 | 0 | - | - | - | 10 | - | - | 1 mm | wel paleosol, niet bemonsterd | niet van toepassing |
| 11 | 558.297.406 | 3.612.100.051 | 0 | - | - | - | 10 | - | - | 1 mm | wel paleosol, niet bemonsterd | niet van toepassing |
| 12 | 558.405.882 | 3.612.186.262 | 0 | - | - | - | 10 | - | - | 1 mm | geen paleosol, geen monster | niet van toepassing |
| 13 | 558.109.158 | 3.612.160.308 | 0 | - | - | - | 10 | - | - | 1 mm | wel paleosol, niet bemonsterd | niet van toepassing |
| 15 | 557.858.326 | 3.612.321.700 | 0 | - | - | - | 10 | - | - | 1 mm | wel paleosol, niet bemonsterd | niet van toepassing |
| 16 | 557.968.387 | 3.612.282.783 | 0 | - | - | - | 10 | - | - | 1 mm | wel paleosol, niet bemonsterd | niet van toepassing |
| 17 | 558.041.967 | 3.612.220.731 | 0 | - | - | - | 10 | - | - | 1 mm | wel paleosol, niet bemonsterd | niet van toepassing |
| 18 | 557.877.327 | 3.612.185.563 | 0 | - | - | - | 10 | - | - | 1 mm | wel paleosol, niet bemonsterd | niet van toepassing |
| 19 | 557.851.581 | 3.612.067.710 | 0 | - | - | - | 10 | - | - | 1 mm | wel paleosol, niet bemonsterd | niet van toepassing |
| 20 | 557.951.638 | 3.612.120.466 | 0 | - | - | - | 10 | - | - | 1 mm | wel paleosol, niet bemonsterd | niet van toepassing |
| 21 | 557.702.773 | 3.612.232.660 | 0 | - | - | - | 10 | - | - | 1 mm | wel paleosol, niet bemonsterd | niet van toepassing |
| 22 | 557.659.246 | 3.612.145.589 | 0 | - | - | - | 10 | - | - | 1 mm | wel paleosol, niet bemonsterd | niet van toepassing |
| 23 | 557.634.493 | 3.612.305.811 | 0 | - | - | - | 10 | - | - | 1 mm | wel paleosol, niet bemonsterd | niet van toepassing |
| 24 | 557.524.664 | 3.612.330.770 | 0 | - | - | - | 10 | - | - | 1 mm | wel paleosol, niet bemonsterd | niet van toepassing |
| 25 | 557.505.257 | 3.612.207.548 | 0 | - | - | - | 10 | - | - | 1 mm | wel paleosol, niet bemonsterd | niet van toepassing |

| Boornummer | X-coördinaat | Y-coördinaat | monster | Monstercode | relatieve diepte bovenkant monster (cm) | realtieve diepte (onderkant) monster (cm) | diameter boor | Doel monster | Monsterbewerking | Maaswijdte zeef | opmerkingen | archeologische indicator |
|---|---|---|---|---|---|---|---|---|---|---|---|---|
| 26 | 557.406.699 | 3.612.300.374 | 0 | - | - | - | 10 | - | - | 1 mm | wel paleosol, niet bemonsterd | niet van toepassing |
| 27 | 557.323.493 | 3.612.389.597 | 0 | - | - | - | 10 | - | - | 1 mm | wel paleosol, niet bemonsterd | niet van toepassing |
| 28 | 557.276.355 | 3.612.258.447 | 0 | - | - | - | 10 | - | - | 1 mm | geen paleosol, geen monster | niet van toepassing |
| 29 | 557.230.689 | 3.612.351.740 | 0 | - | - | - | 10 | - | - | 1 mm | geen paleosol, geen monster | niet van toepassing |
| 30 | 557.271.730 | 3.612.457.922 | 0 | - | - | - | 10 | - | - | 1 mm | geen paleosol, geen monster | niet van toepassing |
| 31 | 558.062.887 | 3.611.955.820 | 0 | - | - | - | 10 | - | - | 1 mm | wel paleosol, niet bemonsterd | niet van toepassing |
| 32 | 558.007.489 | 3.611.846.175 | 0 | - | - | - | 10 | - | - | 1 mm | wel paleosol, niet bemonsterd | niet van toepassing |
| 33 | 558.143.801 | 3.611.925.899 | 0 | - | - | - | 10 | - | - | 1 mm | wel paleosol, niet bemonsterd | niet van toepassing |
| 34 | 558.489.065 | 3.611.734.869 | 0 | - | - | - | 10 | - | - | 1 mm | wel paleosol, niet bemonsterd | niet van toepassing |
| 35 | 558.596.647 | 3.611.681.293 | 0 | - | - | - | 10 | - | - | 1 mm | geen paleosol, geen monster | niet van toepassing |
| 36 | 558.607.568 | 3.611.660.421 | 0 | - | - | - | 10 | - | - | 1 mm | geen paleosol, geen monster | niet van toepassing |
| 37 | 558.546.496 | 3.611.575.426 | 0 | - | - | - | 10 | - | - | 1 mm | wel paleosol, niet bemonsterd | niet van toepassing |
| 38 | 558.482.897 | 3.611.666.697 | 0 | - | - | - | 10 | - | - | 1 mm | wel paleosol, niet bemonsterd | niet van toepassing |

# LEGENDE

- ploeglaag
- C-horizont
- B/C-horizont
- B-horizont
- ‘paleosol’
- verstoring
- bodemspoor
- kleiig sediment (linkerkolom)
- venig sediment (linkerkolom)

verticale schaal = cm t.o.v. NAP

verticale overdrijving x20

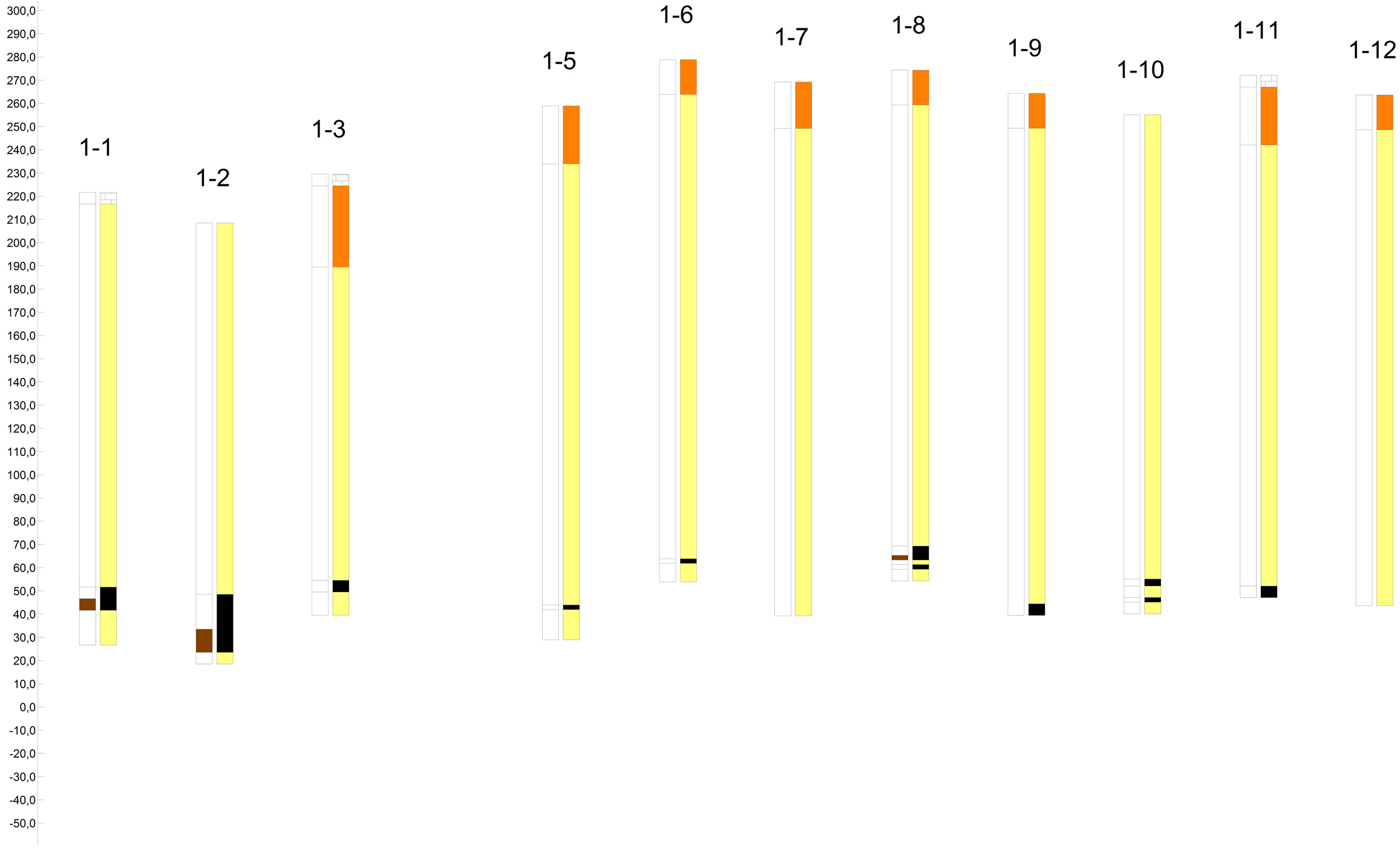
300,0
290,0
280,0
270,0
260,0
250,0
240,0
230,0
220,0
210,0
200,0
190,0
180,0
170,0
160,0
150,0
140,0
130,0
120,0
110,0
100,0
90,0
80,0
70,0
60,0
50,0
40,0
30,0
20,0
10,0
0,0
-10,0
-20,0
-30,0
-40,0
-50,0
1-1
1-2
1-3
1-5
1-6
1-7
1-8
1-9
1-10
1-11
1-12

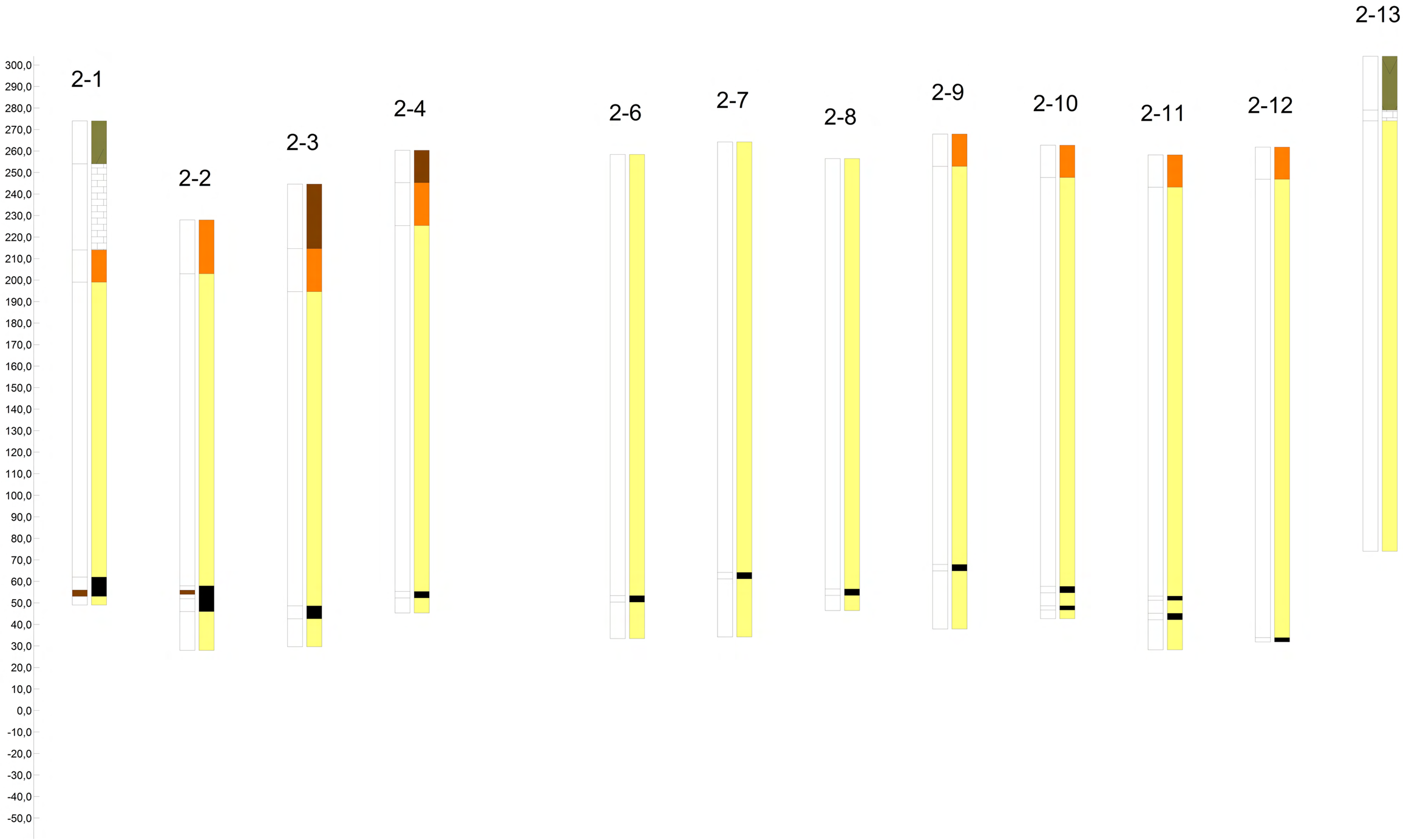
2-1
2-2
2-3
2-4
2-6
2-7
2-8
2-9
2-10
2-11
2-12
2-13
300,0
290,0
280,0
270,0
260,0
250,0
240,0
230,0
220,0
210,0
200,0
190,0
180,0
170,0
160,0
150,0
140,0
130,0
120,0
110,0
100,0
90,0
80,0
70,0
60,0
50,0
40,0
30,0
20,0
10,0
0,0
-10,0
-20,0
-30,0
-40,0
-50,0

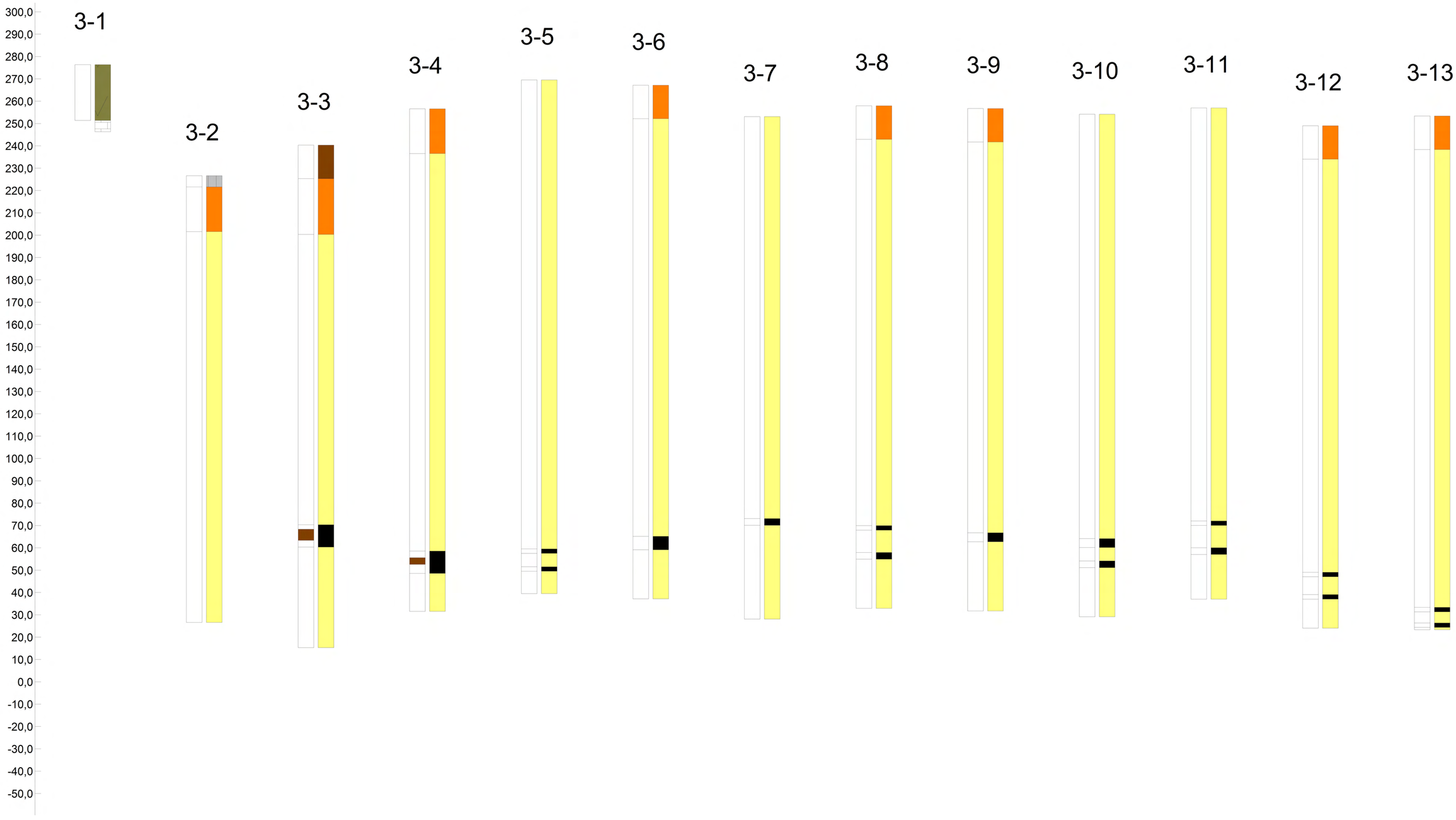
300,0
290,0
280,0
270,0
260,0
250,0
240,0
230,0
220,0
210,0
200,0
190,0
180,0
170,0
160,0
150,0
140,0
130,0
120,0
110,0
100,0
90,0
80,0
70,0
60,0
50,0
40,0
30,0
20,0
10,0
0,0
-10,0
-20,0
-30,0
-40,0
-50,0
3-1
3-2
3-3
3-4
3-5
3-6
3-7
3-8
3-9
3-10
3-11
3-12
3-13

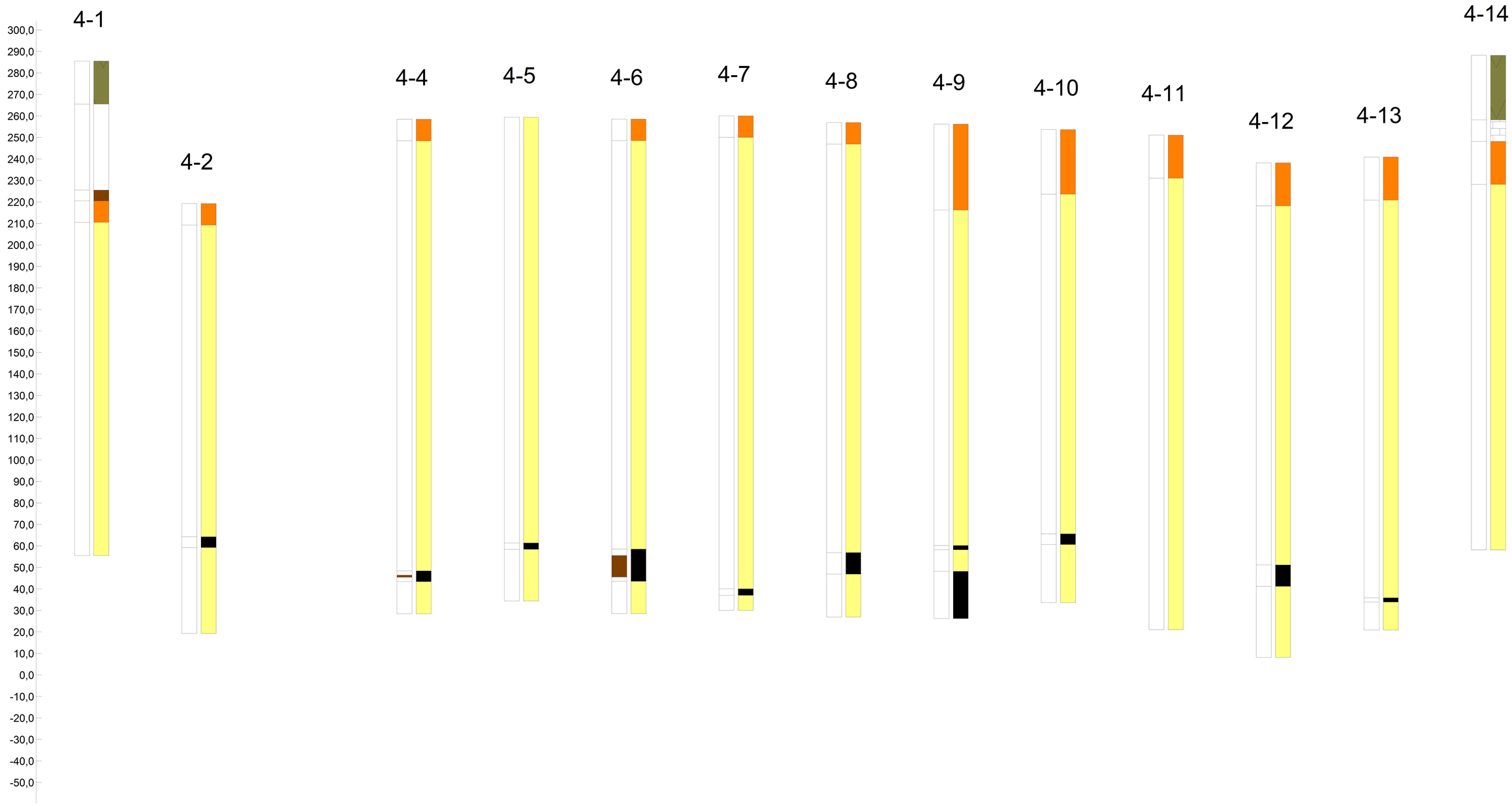
4-1
4-2
4-4
4-5
4-6
4-7
4-8
4-9
4-10
4-11
4-12
4-13
4-14
300,0
290,0
280,0
270,0
260,0
250,0
240,0
230,0
220,0
210,0
200,0
190,0
180,0
170,0
160,0
150,0
140,0
130,0
120,0
110,0
100,0
90,0
80,0
70,0
60,0
50,0
40,0
30,0
20,0
10,0
0,0
-10,0
-20,0
-30,0
-40,0
-50,0

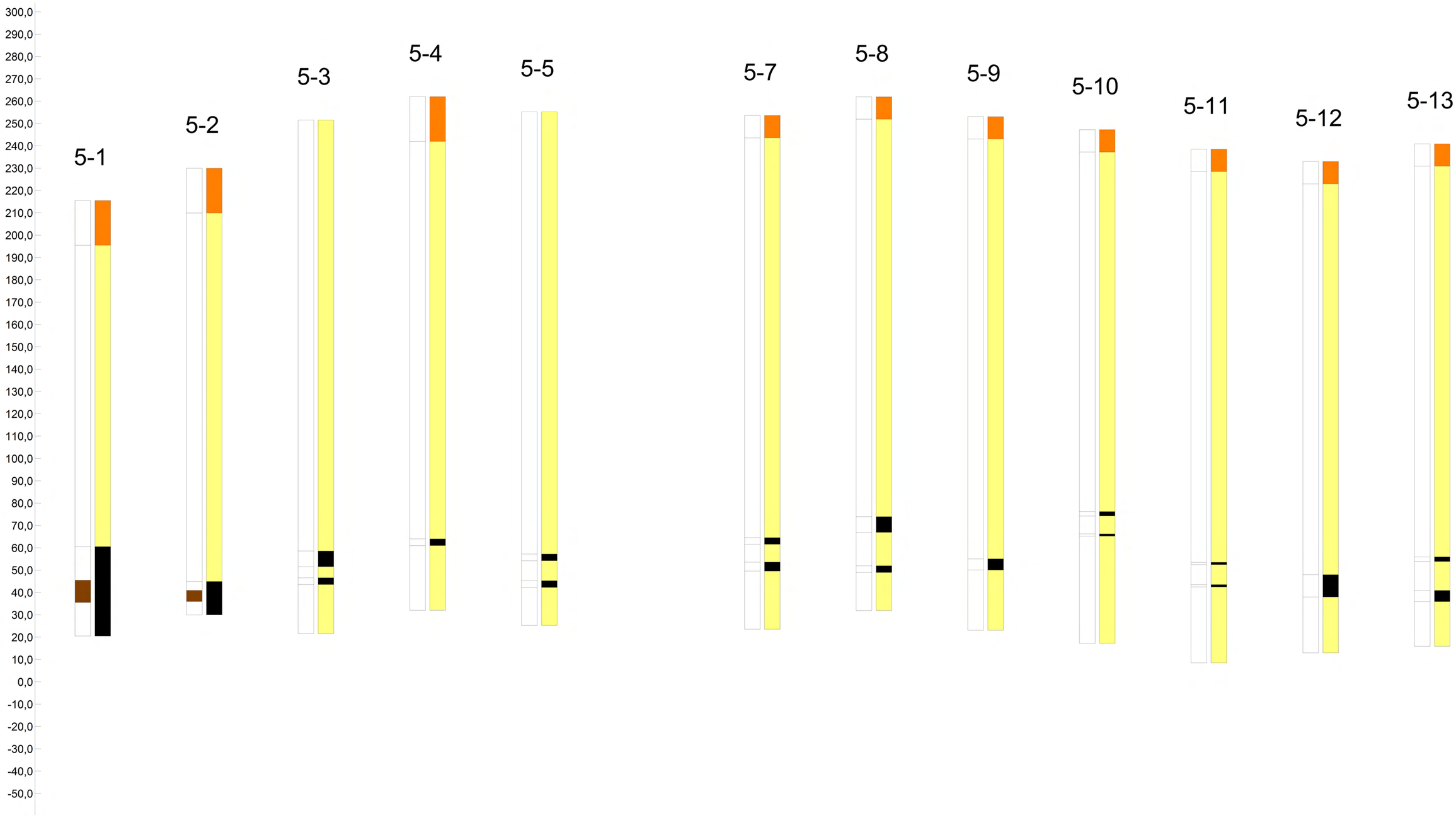
300,0
290,0
280,0
270,0
260,0
250,0
240,0
230,0
220,0
210,0
200,0
190,0
180,0
170,0
160,0
150,0
140,0
130,0
120,0
110,0
100,0
90,0
80,0
70,0
60,0
50,0
40,0
30,0
20,0
10,0
0,0
-10,0
-20,0
-30,0
-40,0
-50,0
5-1
5-2
5-3
5-4
5-5
5-7
5-8
5-9
5-10
5-11
5-12
5-13

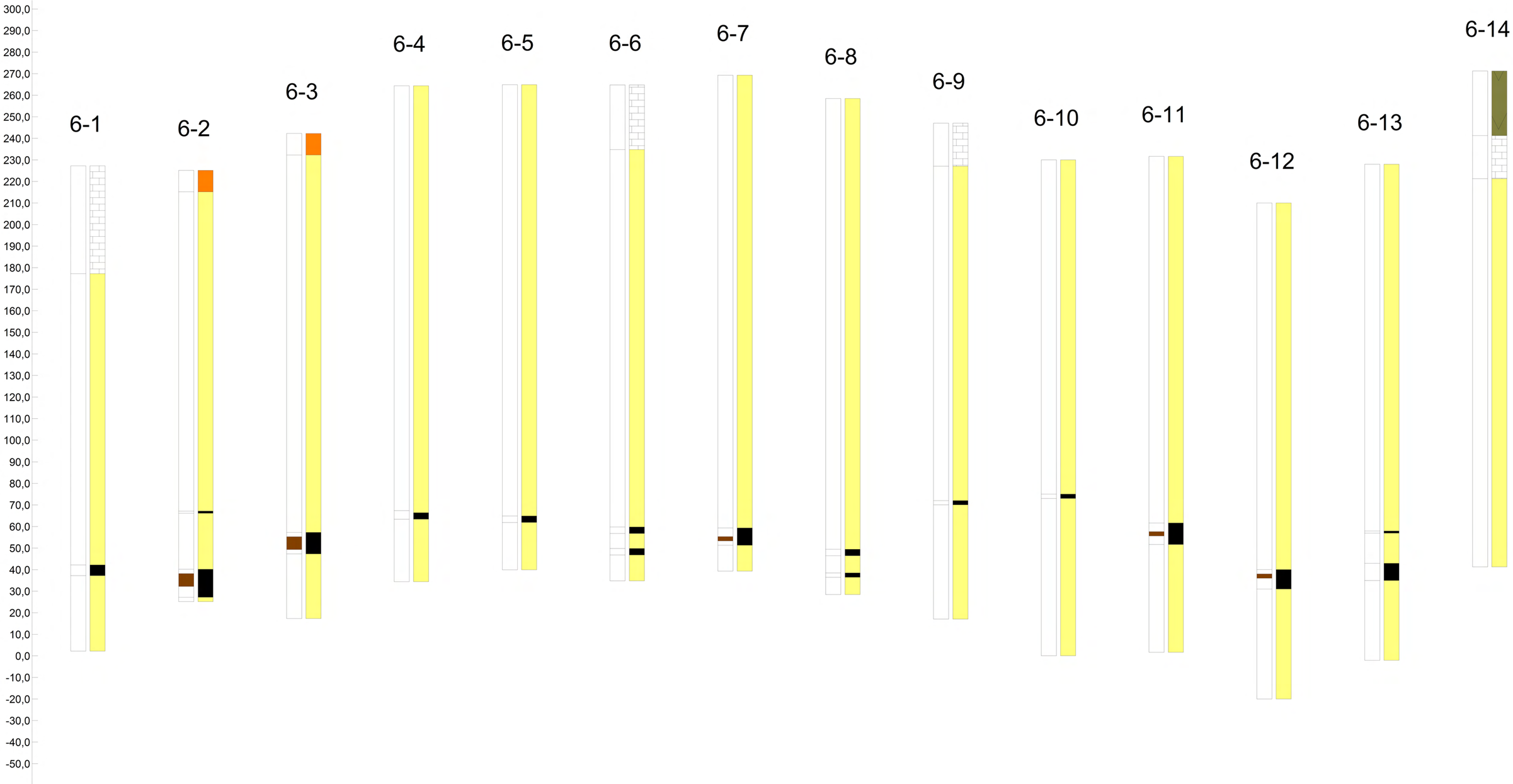
300,0
290,0
280,0
270,0
260,0
250,0
240,0
230,0
220,0
210,0
200,0
190,0
180,0
170,0
160,0
150,0
140,0
130,0
120,0
110,0
100,0
90,0
80,0
70,0
60,0
50,0
40,0
30,0
20,0
10,0
0,0
-10,0
-20,0
-30,0
-40,0
-50,0
6-1
6-2
6-3
6-4
6-5
6-6
6-7
6-8
6-9
6-10
6-11
6-12
6-13
6-14

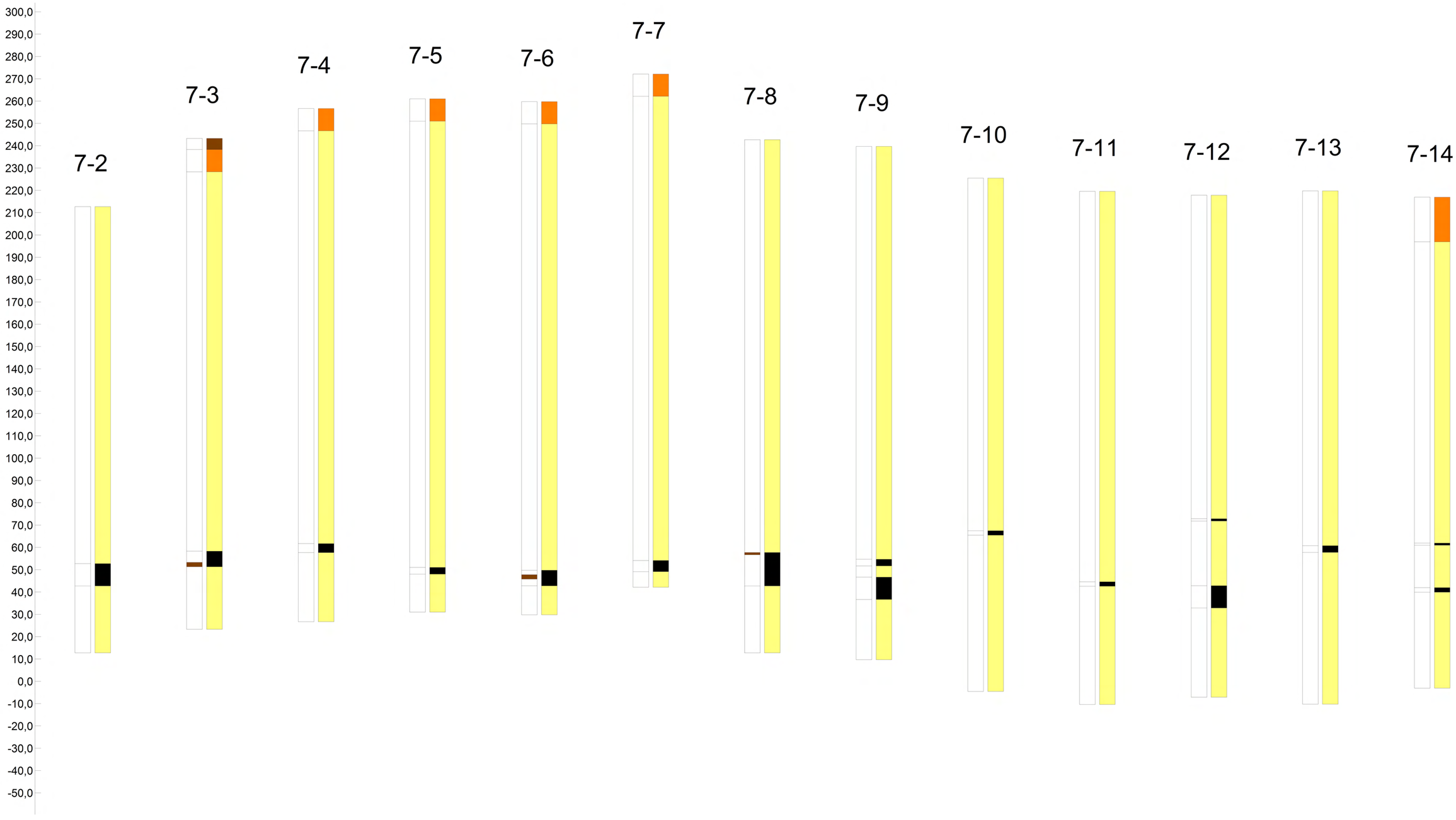
300,0
290,0
280,0
270,0
260,0
250,0
240,0
230,0
220,0
210,0
200,0
190,0
180,0
170,0
160,0
150,0
140,0
130,0
120,0
110,0
100,0
90,0
80,0
70,0
60,0
50,0
40,0
30,0
20,0
10,0
0,0
-10,0
-20,0
-30,0
-40,0
-50,0
7-2
7-3
7-4
7-5
7-6
7-7
7-8
7-9
7-10
7-11
7-12
7-13
7-14

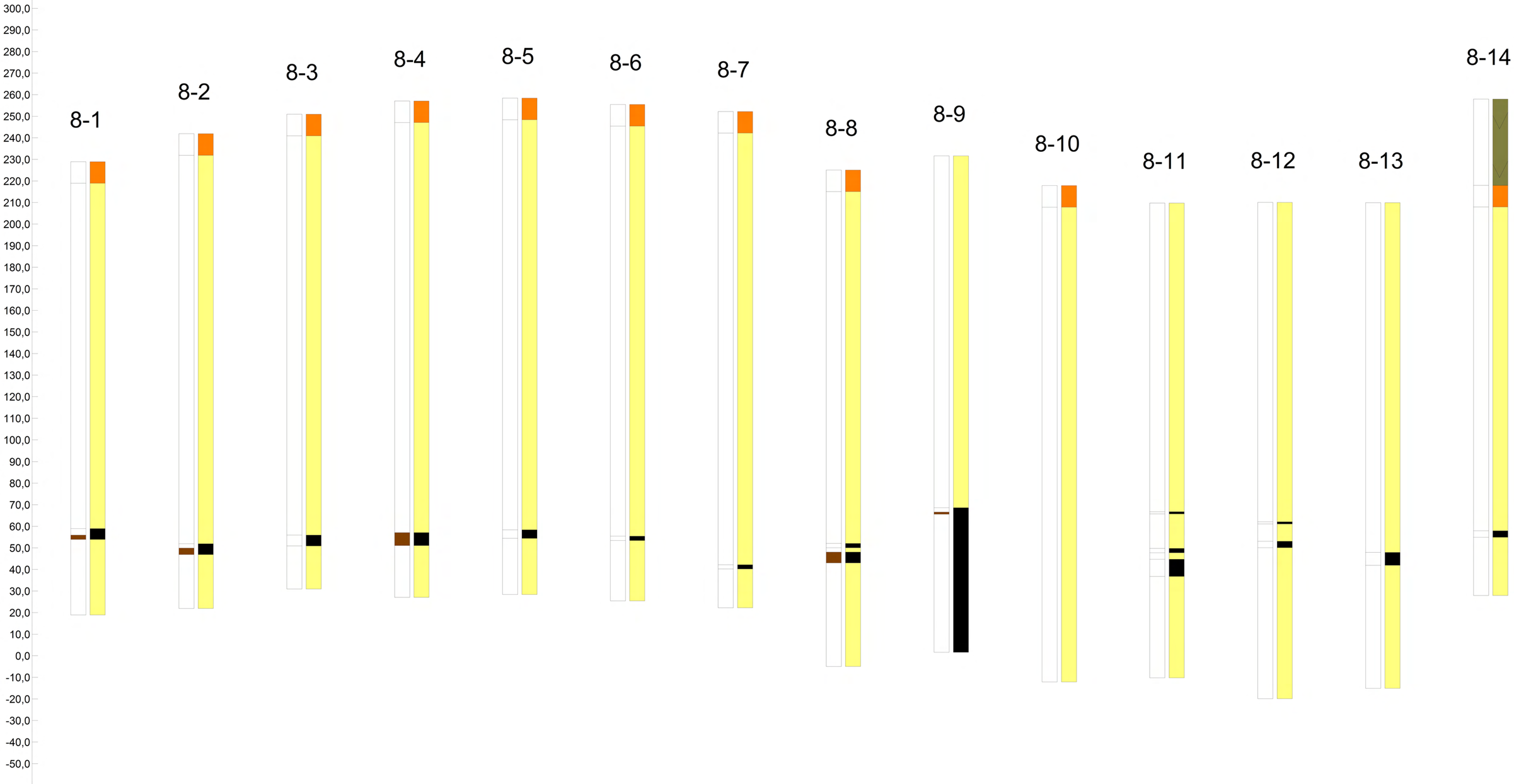
300,0
290,0
280,0
270,0
260,0
250,0
240,0
230,0
220,0
210,0
200,0
190,0
180,0
170,0
160,0
150,0
140,0
130,0
120,0
110,0
100,0
90,0
80,0
70,0
60,0
50,0
40,0
30,0
20,0
10,0
0,0
-10,0
-20,0
-30,0
-40,0
-50,0
8-1
8-2
8-3
8-4
8-5
8-6
8-7
8-8
8-9
8-10
8-11
8-12
8-13
8-14

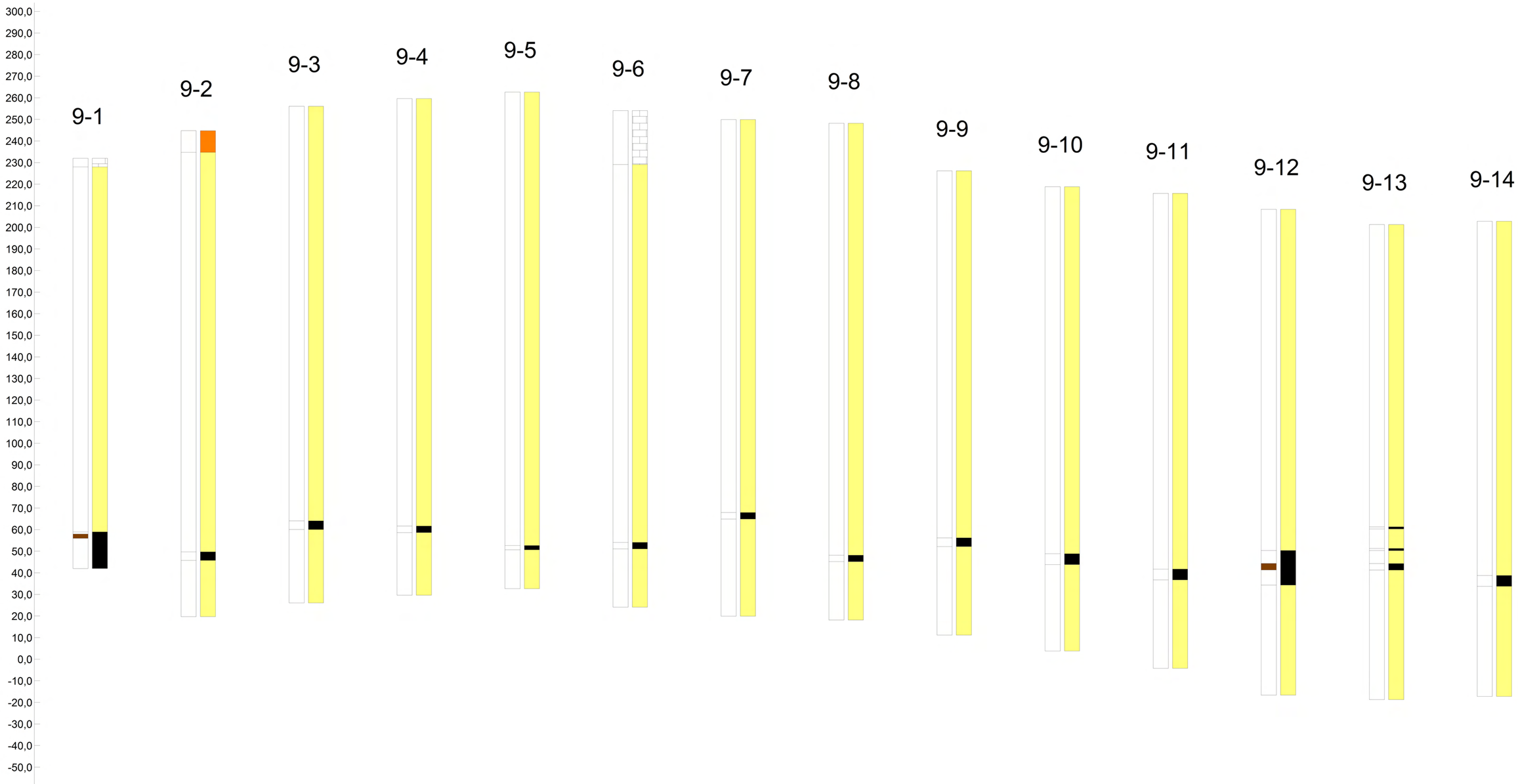
300,0
290,0
280,0
270,0
260,0
250,0
240,0
230,0
220,0
210,0
200,0
190,0
180,0
170,0
160,0
150,0
140,0
130,0
120,0
110,0
100,0
90,0
80,0
70,0
60,0
50,0
40,0
30,0
20,0
10,0
0,0
-10,0
-20,0
-30,0
-40,0
-50,0
9-1
9-2
9-3
9-4
9-5
9-6
9-7
9-8
9-9
9-10
9-11
9-12
9-13
9-14

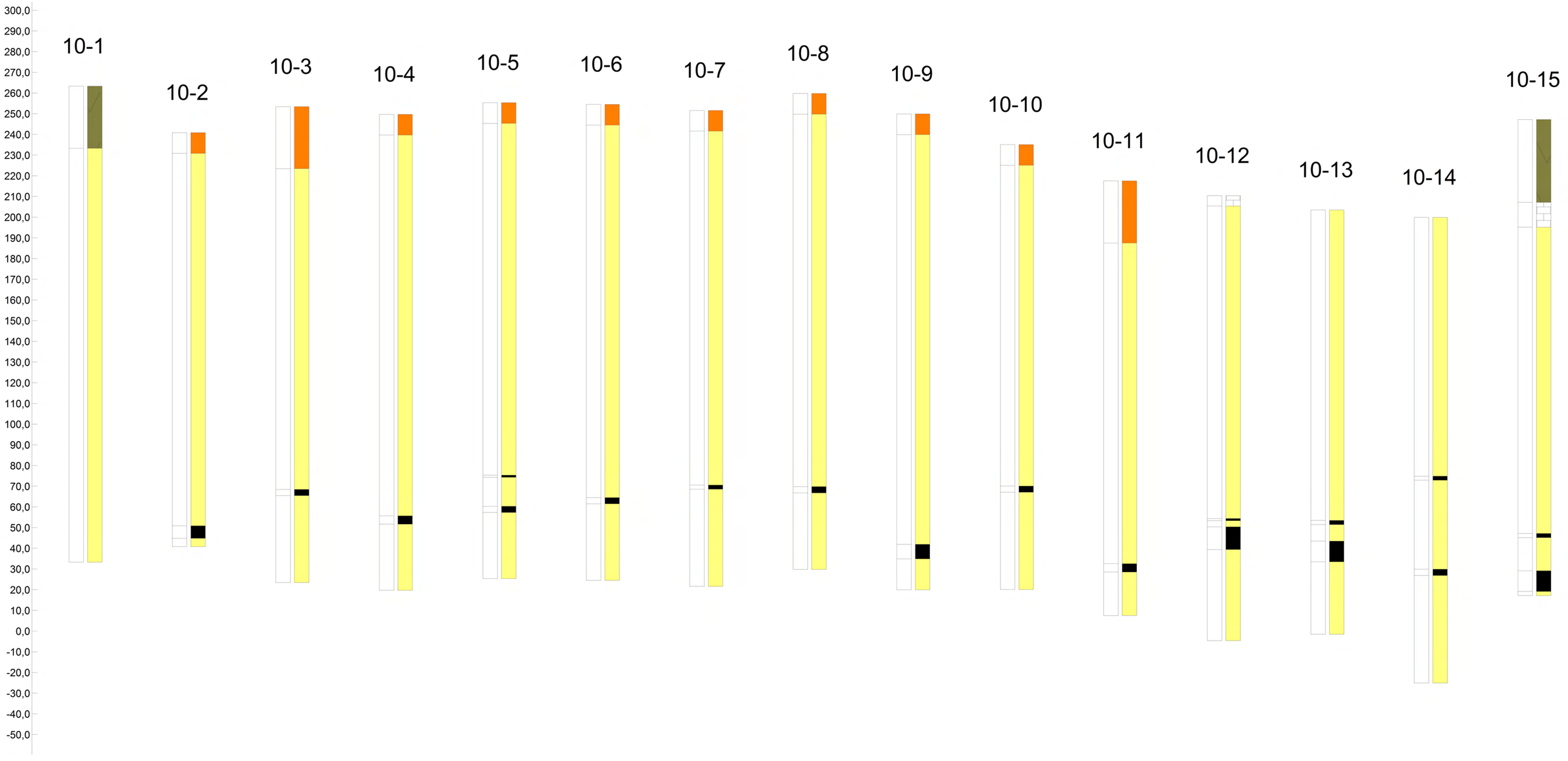
300,0
290,0
280,0
270,0
260,0
250,0
240,0
230,0
220,0
210,0
200,0
190,0
180,0
170,0
160,0
150,0
140,0
130,0
120,0
110,0
100,0
90,0
80,0
70,0
60,0
50,0
40,0
30,0
20,0
10,0
0,0
-10,0
-20,0
-30,0
-40,0
-50,0
10-1
10-2
10-3
10-4
10-5
10-6
10-7
10-8
10-9
10-10
10-11
10-12
10-13
10-14
10-15

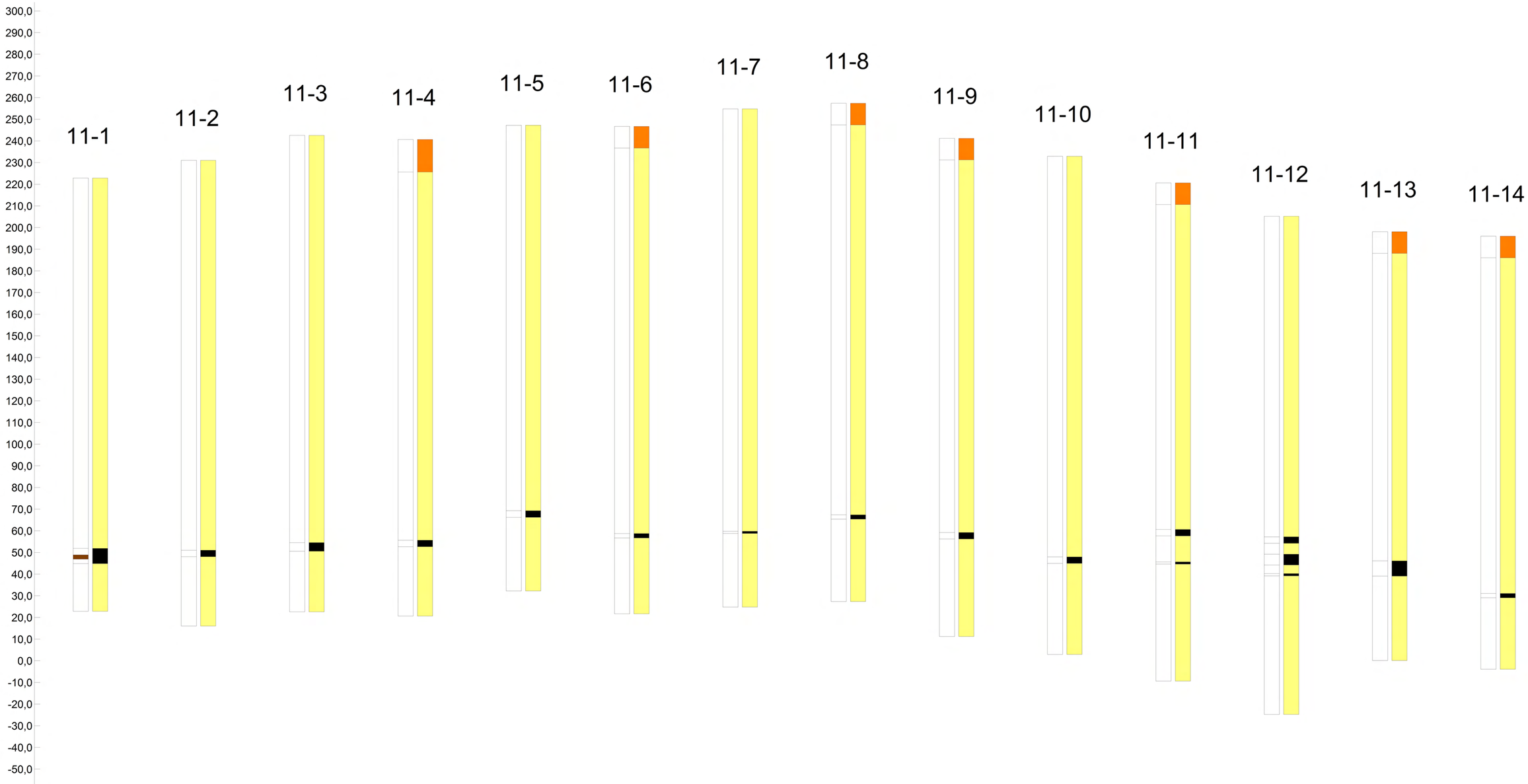
300,0
290,0
280,0
270,0
260,0
250,0
240,0
230,0
220,0
210,0
200,0
190,0
180,0
170,0
160,0
150,0
140,0
130,0
120,0
110,0
100,0
90,0
80,0
70,0
60,0
50,0
40,0
30,0
20,0
10,0
0,0
-10,0
-20,0
-30,0
-40,0
-50,0
11-1
11-2
11-3
11-4
11-5
11-6
11-7
11-8
11-9
11-10
11-11
11-12
11-13
11-14

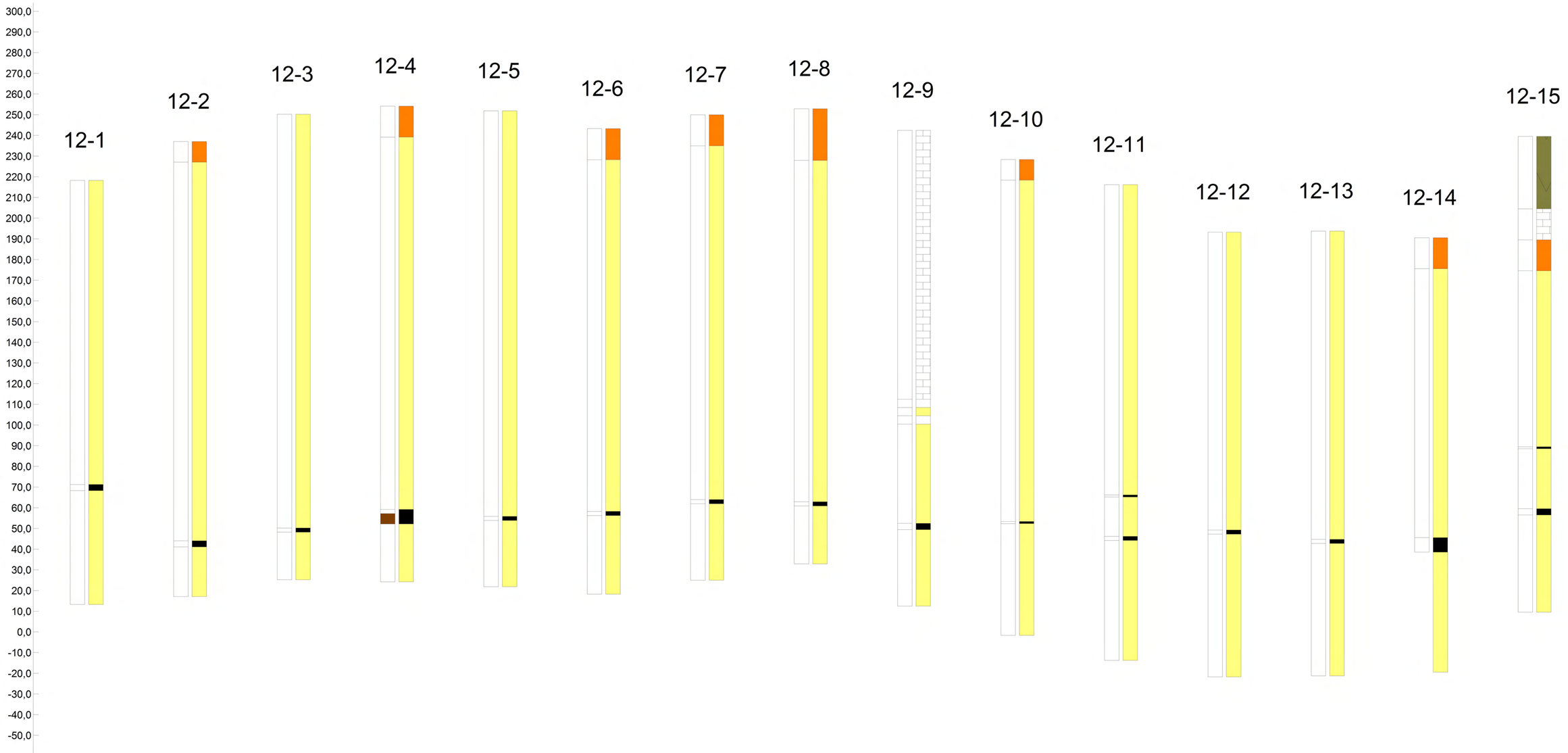
300,0
290,0
280,0
270,0
260,0
250,0
240,0
230,0
220,0
210,0
200,0
190,0
180,0
170,0
160,0
150,0
140,0
130,0
120,0
110,0
100,0
90,0
80,0
70,0
60,0
50,0
40,0
30,0
20,0
10,0
0,0
-10,0
-20,0
-30,0
-40,0
-50,0
12-1
12-2
12-3
12-4
12-5
12-6
12-7
12-8
12-9
12-10
12-11
12-12
12-13
12-14
12-15

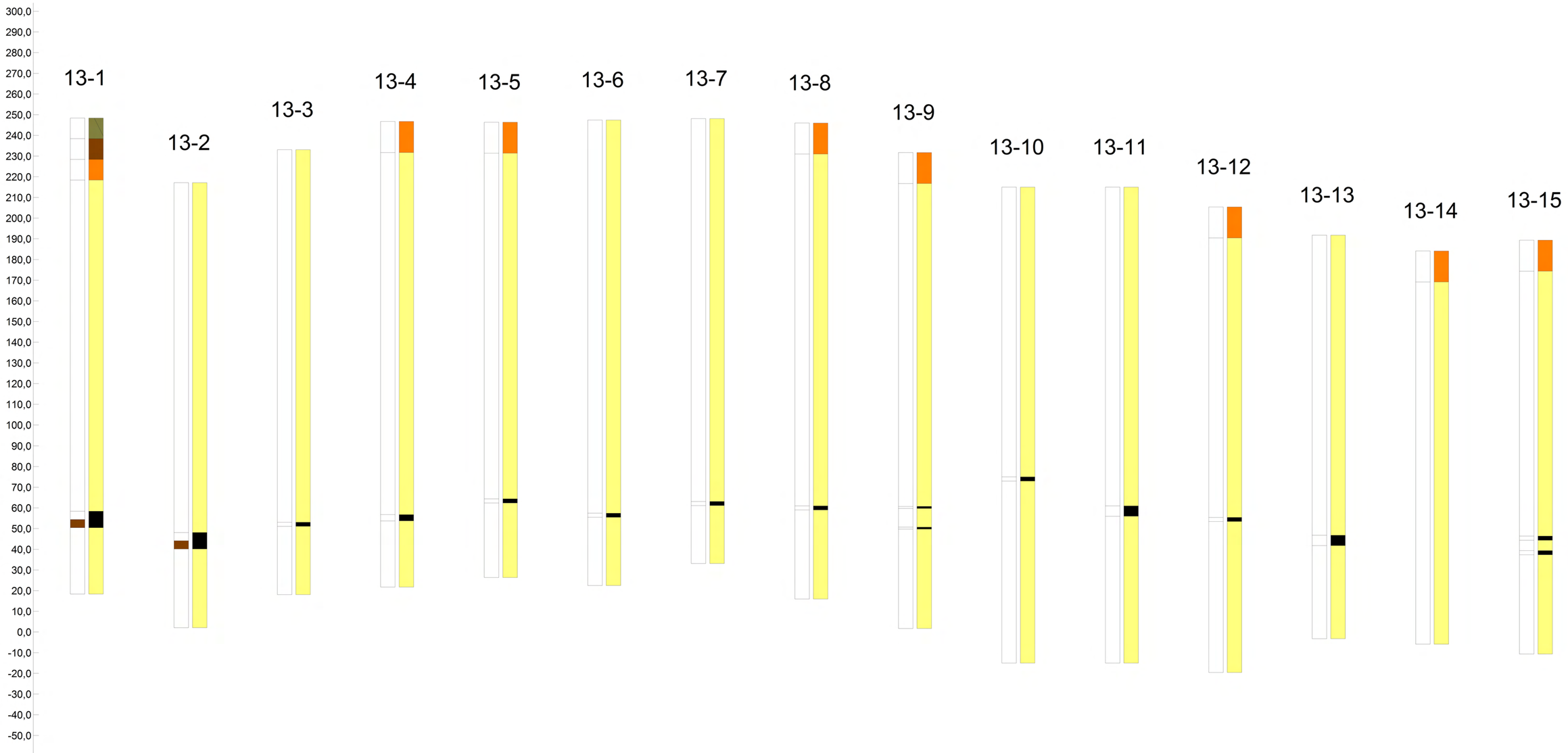
300,0
290,0
280,0
270,0
260,0
250,0
240,0
230,0
220,0
210,0
200,0
190,0
180,0
170,0
160,0
150,0
140,0
130,0
120,0
110,0
100,0
90,0
80,0
70,0
60,0
50,0
40,0
30,0
20,0
10,0
0,0
-10,0
-20,0
-30,0
-40,0
-50,0
13-1
13-2
13-3
13-4
13-5
13-6
13-7
13-8
13-9
13-10
13-11
13-12
13-13
13-14
13-15

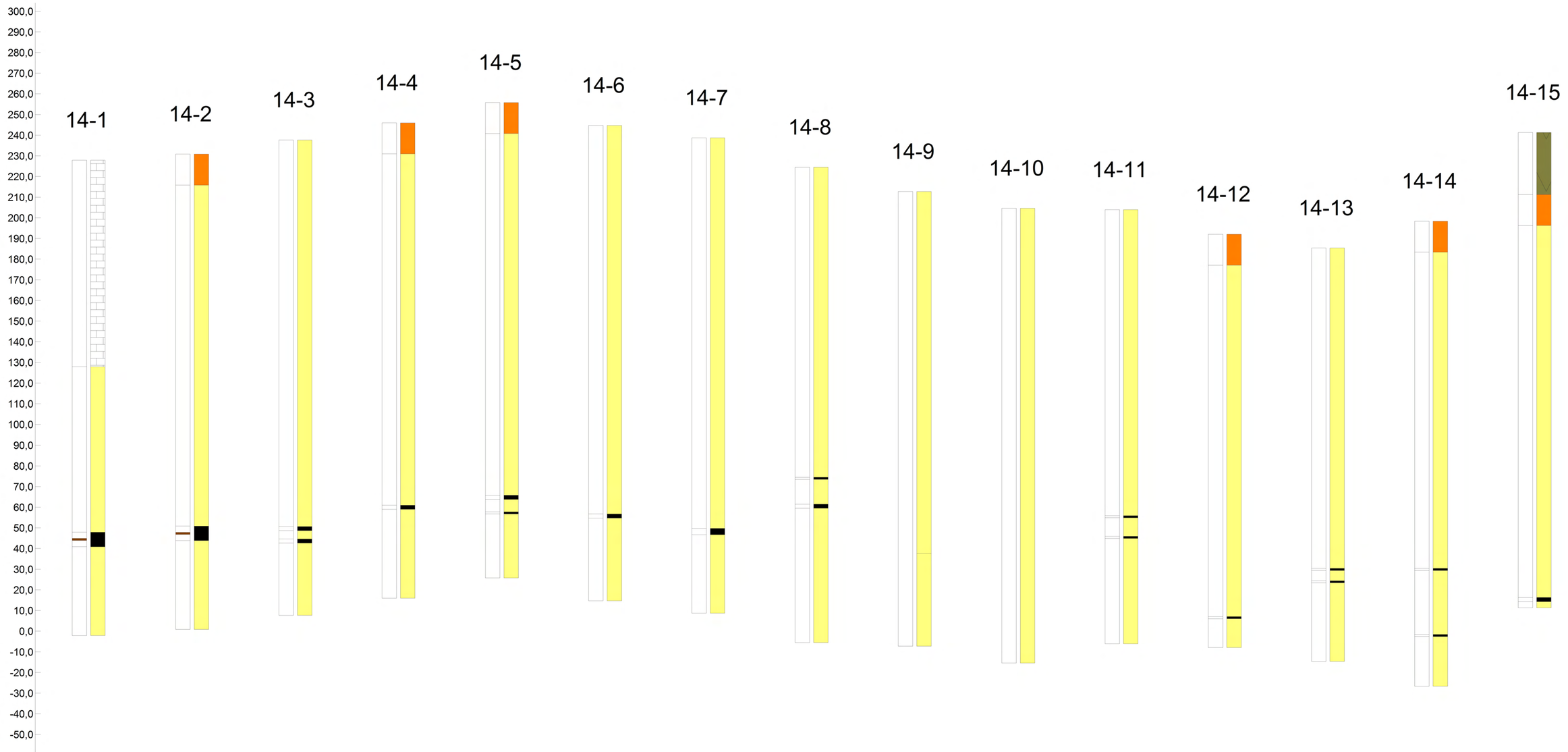
300,0
290,0
280,0
270,0
260,0
250,0
240,0
230,0
220,0
210,0
200,0
190,0
180,0
170,0
160,0
150,0
140,0
130,0
120,0
110,0
100,0
90,0
80,0
70,0
60,0
50,0
40,0
30,0
20,0
10,0
0,0
-10,0
-20,0
-30,0
-40,0
-50,0
14-1
14-2
14-3
14-4
14-5
14-6
14-7
14-8
14-9
14-10
14-11
14-12
14-13
14-14
14-15

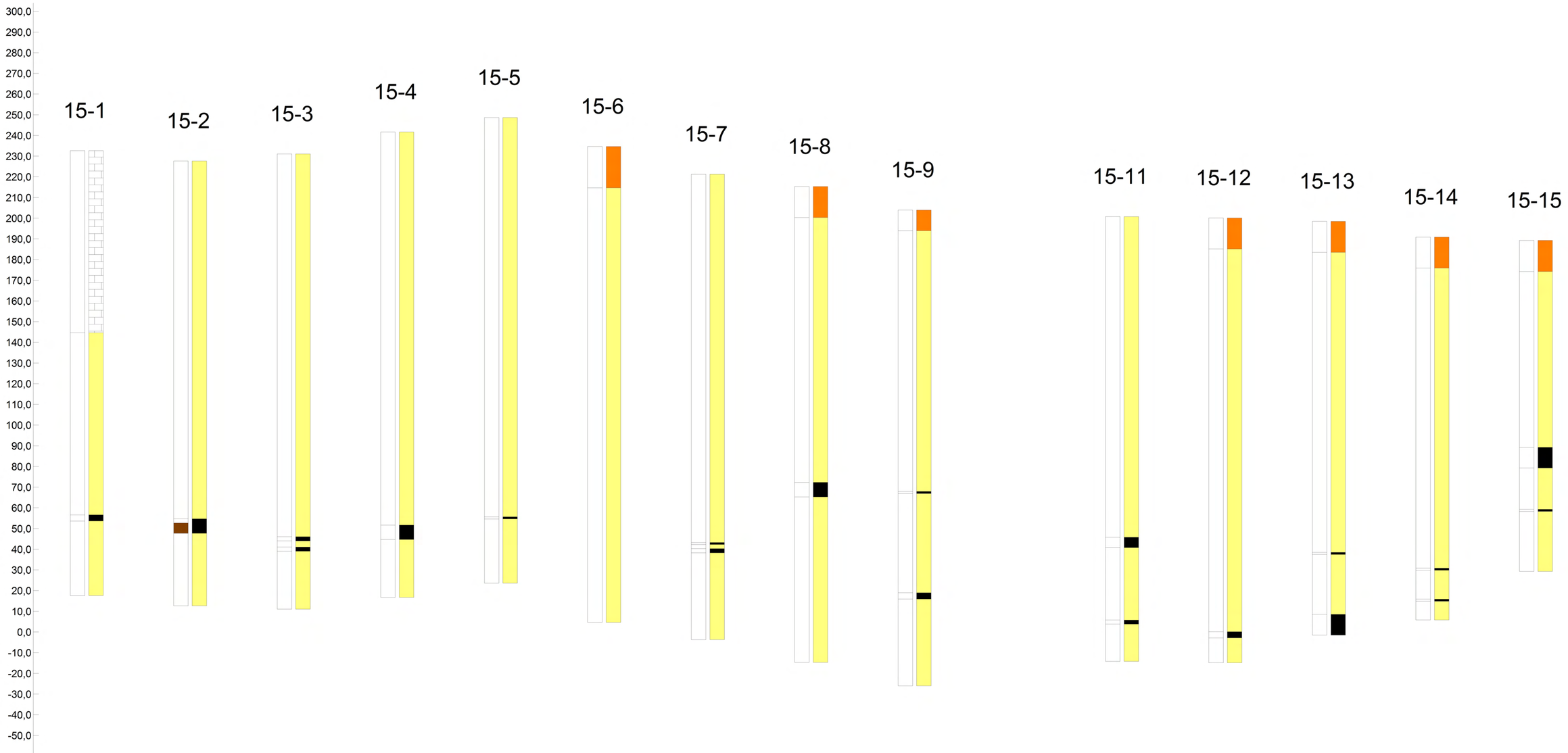
300,0
290,0
280,0
270,0
260,0
250,0
240,0
230,0
220,0
210,0
200,0
190,0
180,0
170,0
160,0
150,0
140,0
130,0
120,0
110,0
100,0
90,0
80,0
70,0
60,0
50,0
40,0
30,0
20,0
10,0
0,0
-10,0
-20,0
-30,0
-40,0
-50,0
15-1
15-2
15-3
15-4
15-5
15-6
15-7
15-8
15-9
15-11
15-12
15-13
15-14
15-15

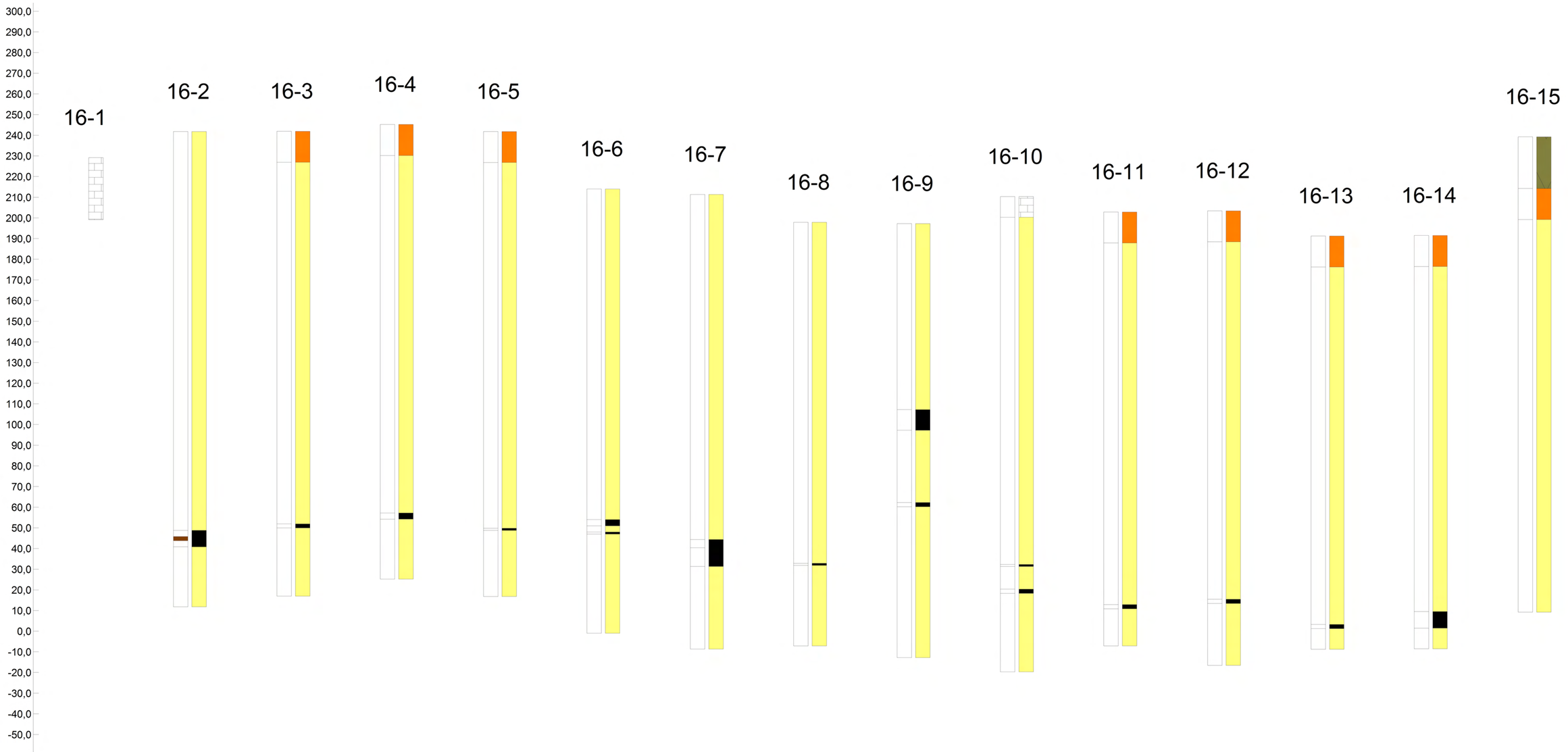
300,0
290,0
280,0
270,0
260,0
250,0
240,0
230,0
220,0
210,0
200,0
190,0
180,0
170,0
160,0
150,0
140,0
130,0
120,0
110,0
100,0
90,0
80,0
70,0
60,0
50,0
40,0
30,0
20,0
10,0
0,0
-10,0
-20,0
-30,0
-40,0
-50,0
16-1
16-2
16-3
16-4
16-5
16-6
16-7
16-8
16-9
16-10
16-11
16-12
16-13
16-14
16-15

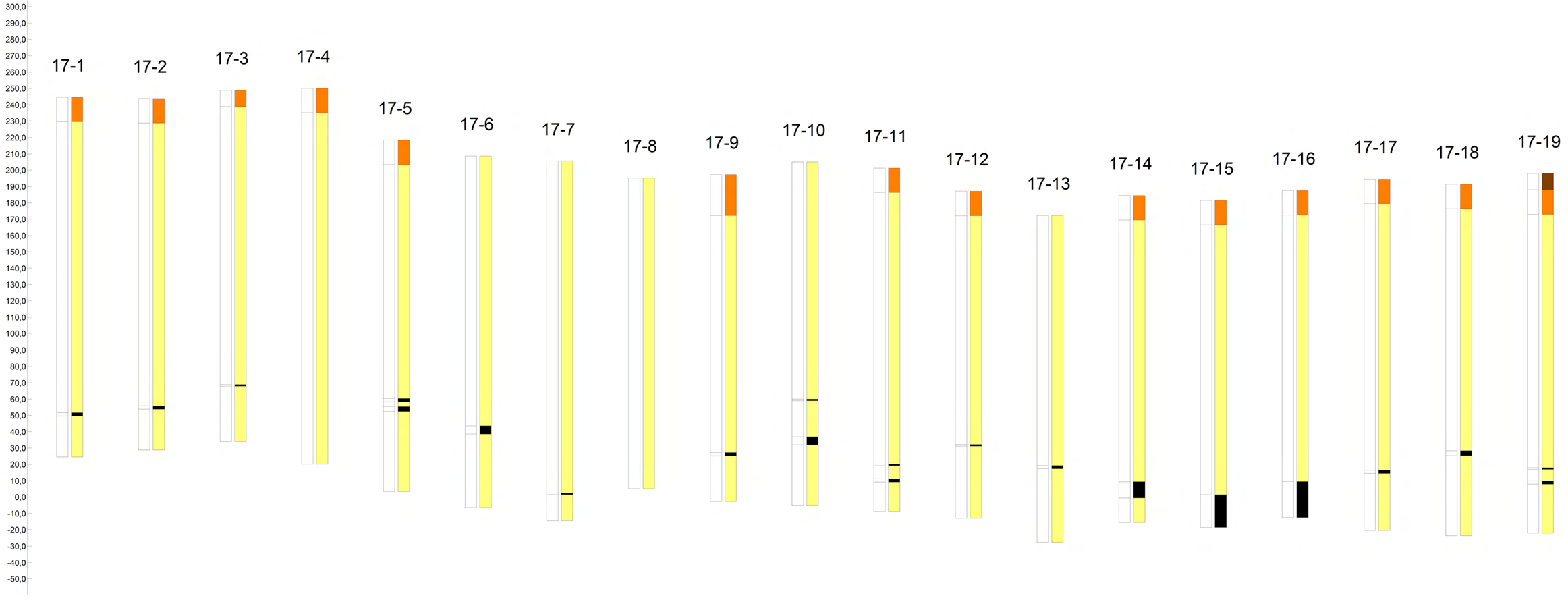
300,0
290,0
280,0
270,0
260,0
250,0
240,0
230,0
220,0
210,0
200,0
190,0
180,0
170,0
160,0
150,0
140,0
130,0
120,0
110,0
100,0
90,0
80,0
70,0
60,0
50,0
40,0
30,0
20,0
10,0
0,0
-10,0
-20,0
-30,0
-40,0
-50,0
17-1
17-2
17-3
17-4
17-5
17-6
17-7
17-8
17-9
17-10
17-11
17-12
17-13
17-14
17-15
17-16
17-17
17-18
17-19

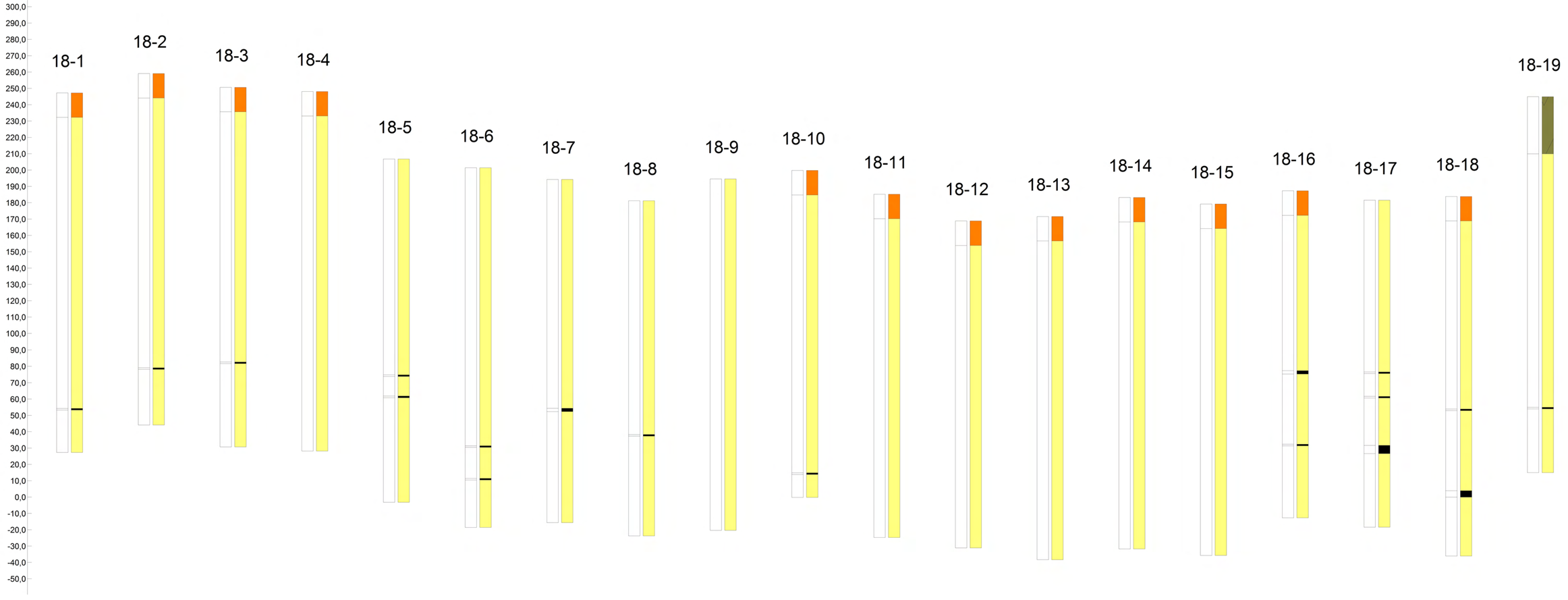
300,0
290,0
280,0
270,0
260,0
250,0
240,0
230,0
220,0
210,0
200,0
190,0
180,0
170,0
160,0
150,0
140,0
130,0
120,0
110,0
100,0
90,0
80,0
70,0
60,0
50,0
40,0
30,0
20,0
10,0
0,0
-10,0
-20,0
-30,0
-40,0
-50,0
18-1
18-2
18-3
18-4
18-5
18-6
18-7
18-8
18-9
18-10
18-11
18-12
18-13
18-14
18-15
18-16
18-17
18-18
18-19

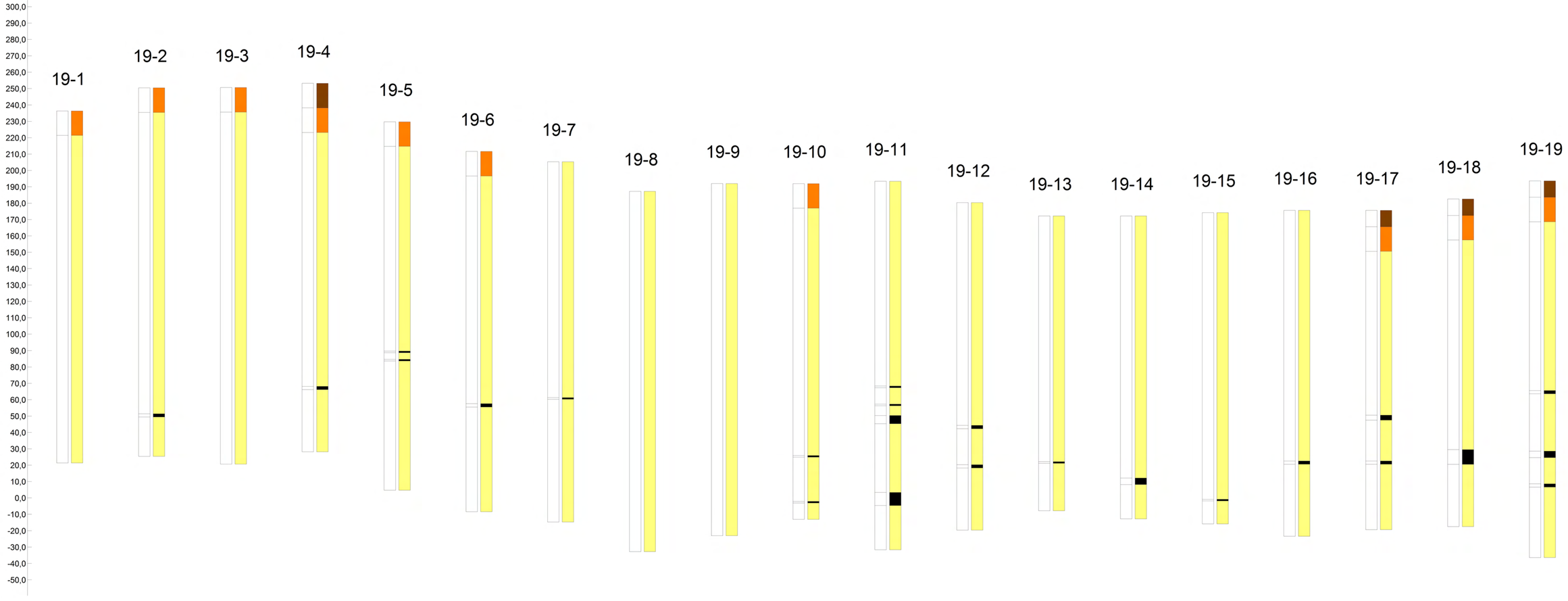
300,0
290,0
280,0
270,0
260,0
250,0
240,0
230,0
220,0
210,0
200,0
190,0
180,0
170,0
160,0
150,0
140,0
130,0
120,0
110,0
100,0
90,0
80,0
70,0
60,0
50,0
40,0
30,0
20,0
10,0
0,0
-10,0
-20,0
-30,0
-40,0
-50,0
19-1
19-2
19-3
19-4
19-5
19-6
19-7
19-8
19-9
19-10
19-11
19-12
19-13
19-14
19-15
19-16
19-17
19-18
19-19

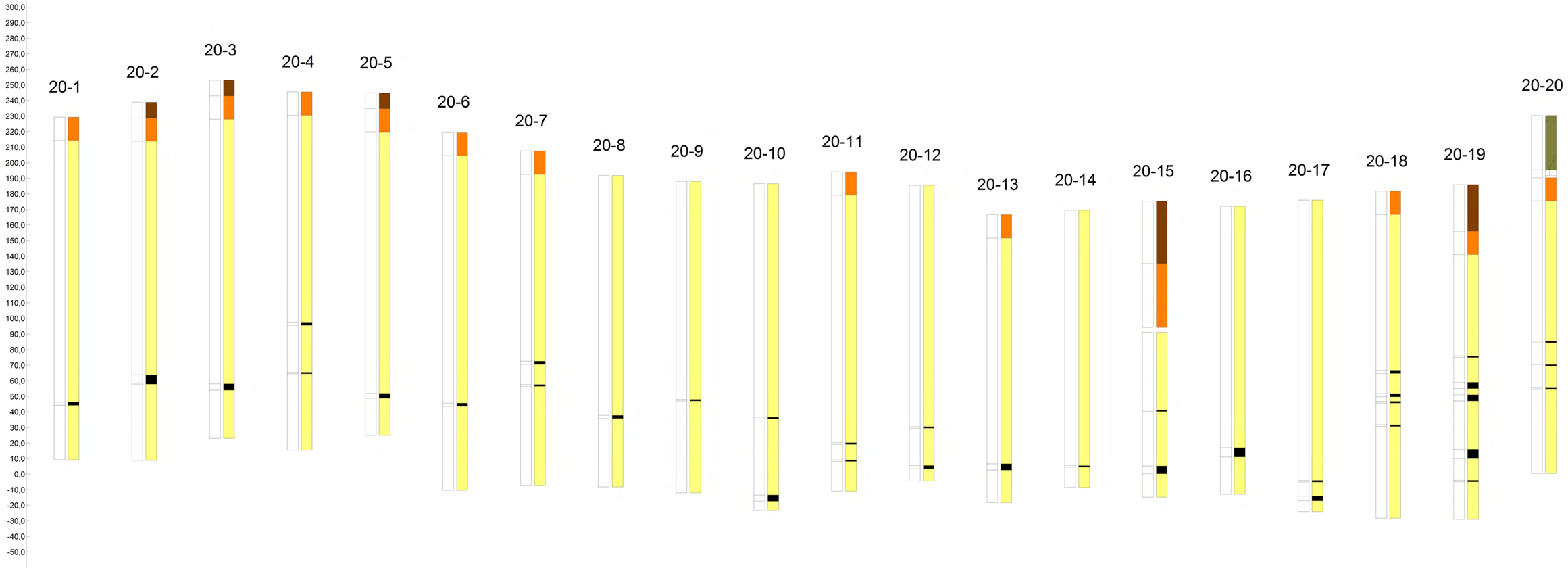
300,0
290,0
280,0
270,0
260,0
250,0
240,0
230,0
220,0
210,0
200,0
190,0
180,0
170,0
160,0
150,0
140,0
130,0
120,0
110,0
100,0
90,0
80,0
70,0
60,0
50,0
40,0
30,0
20,0
10,0
0,0
-10,0
-20,0
-30,0
-40,0
-50,0
20-1
20-2
20-3
20-4
20-5
20-6
20-7
20-8
20-9
20-10
20-11
20-12
20-13
20-14
20-15
20-16
20-17
20-18
20-19
20-20

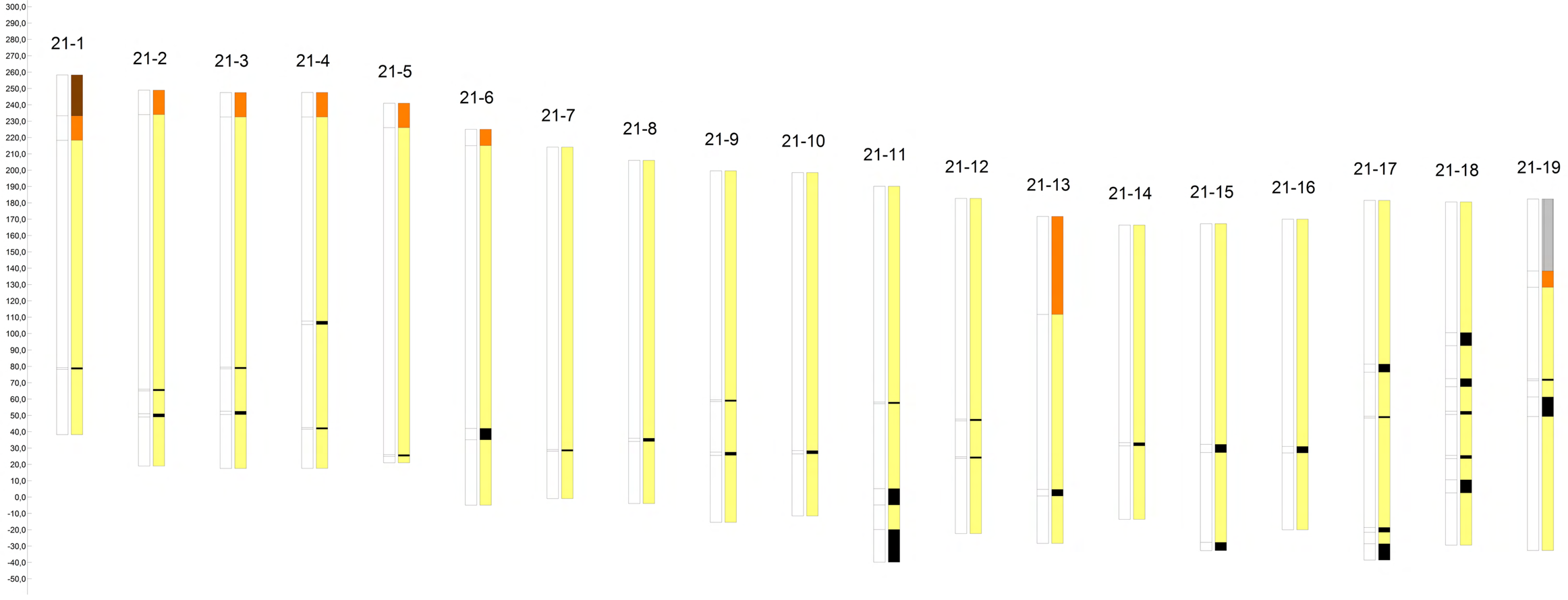
300,0
290,0
280,0
270,0
260,0
250,0
240,0
230,0
220,0
210,0
200,0
190,0
180,0
170,0
160,0
150,0
140,0
130,0
120,0
110,0
100,0
90,0
80,0
70,0
60,0
50,0
40,0
30,0
20,0
10,0
0,0
-10,0
-20,0
-30,0
-40,0
-50,0
21-1
21-2
21-3
21-4
21-5
21-6
21-7
21-8
21-9
21-10
21-11
21-12
21-13
21-14
21-15
21-16
21-17
21-18
21-19

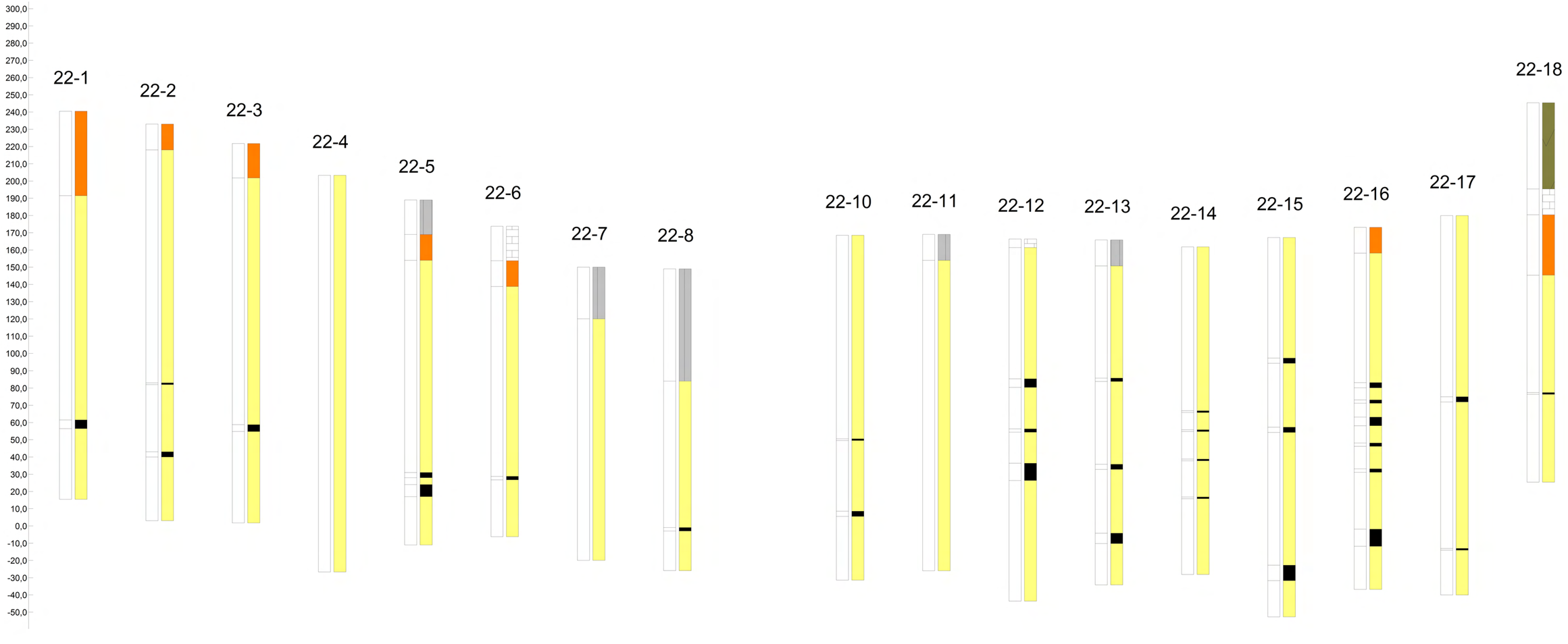
300,0
290,0
280,0
270,0
260,0
250,0
240,0
230,0
220,0
210,0
200,0
190,0
180,0
170,0
160,0
150,0
140,0
130,0
120,0
110,0
100,0
90,0
80,0
70,0
60,0
50,0
40,0
30,0
20,0
10,0
0,0
-10,0
-20,0
-30,0
-40,0
-50,0
22-1
22-2
22-3
22-4
22-5
22-6
22-7
22-8
22-10
22-11
22-12
22-13
22-14
22-15
22-16
22-17
22-18

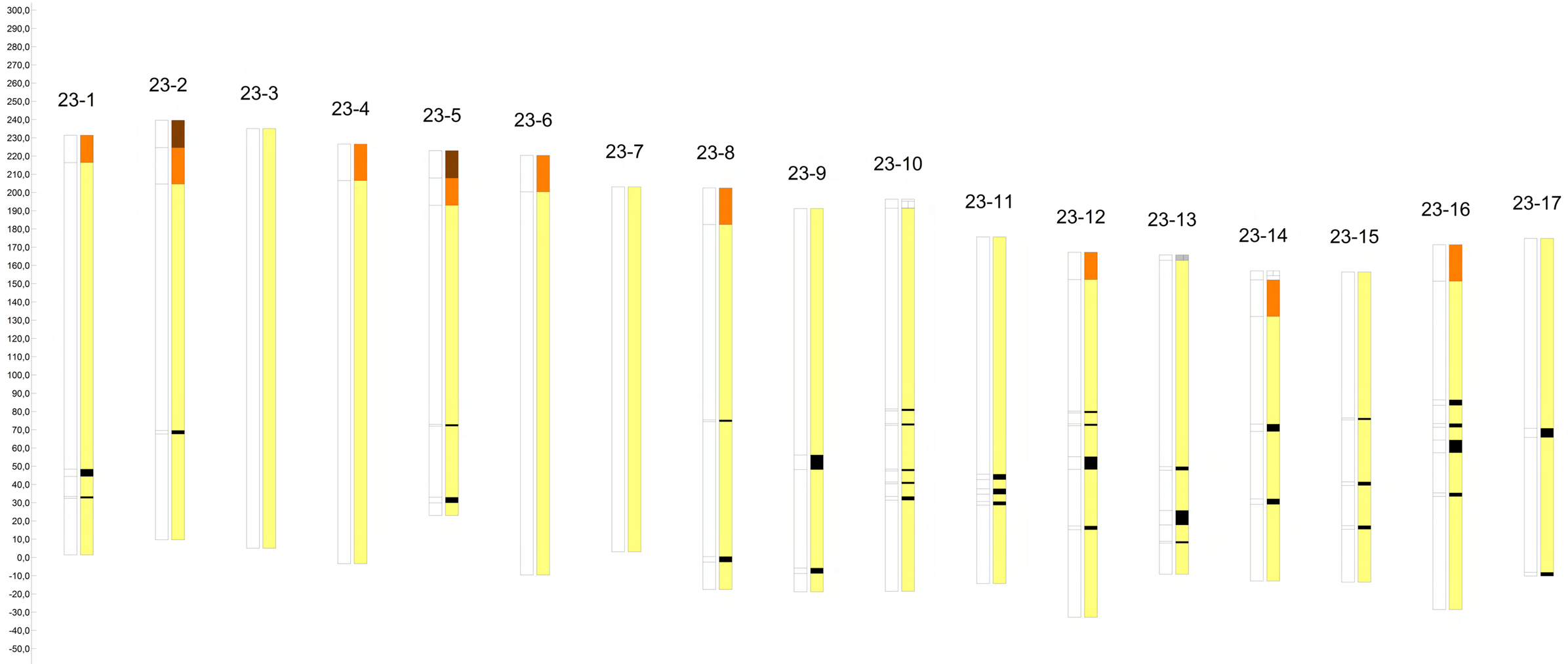
300,0
290,0
280,0
270,0
260,0
250,0
240,0
230,0
220,0
210,0
200,0
190,0
180,0
170,0
160,0
150,0
140,0
130,0
120,0
110,0
100,0
90,0
80,0
70,0
60,0
50,0
40,0
30,0
20,0
10,0
0,0
-10,0
-20,0
-30,0
-40,0
-50,0
23-1
23-2
23-3
23-4
23-5
23-6
23-7
23-8
23-9
23-10
23-11
23-12
23-13
23-14
23-15
23-16
23-17

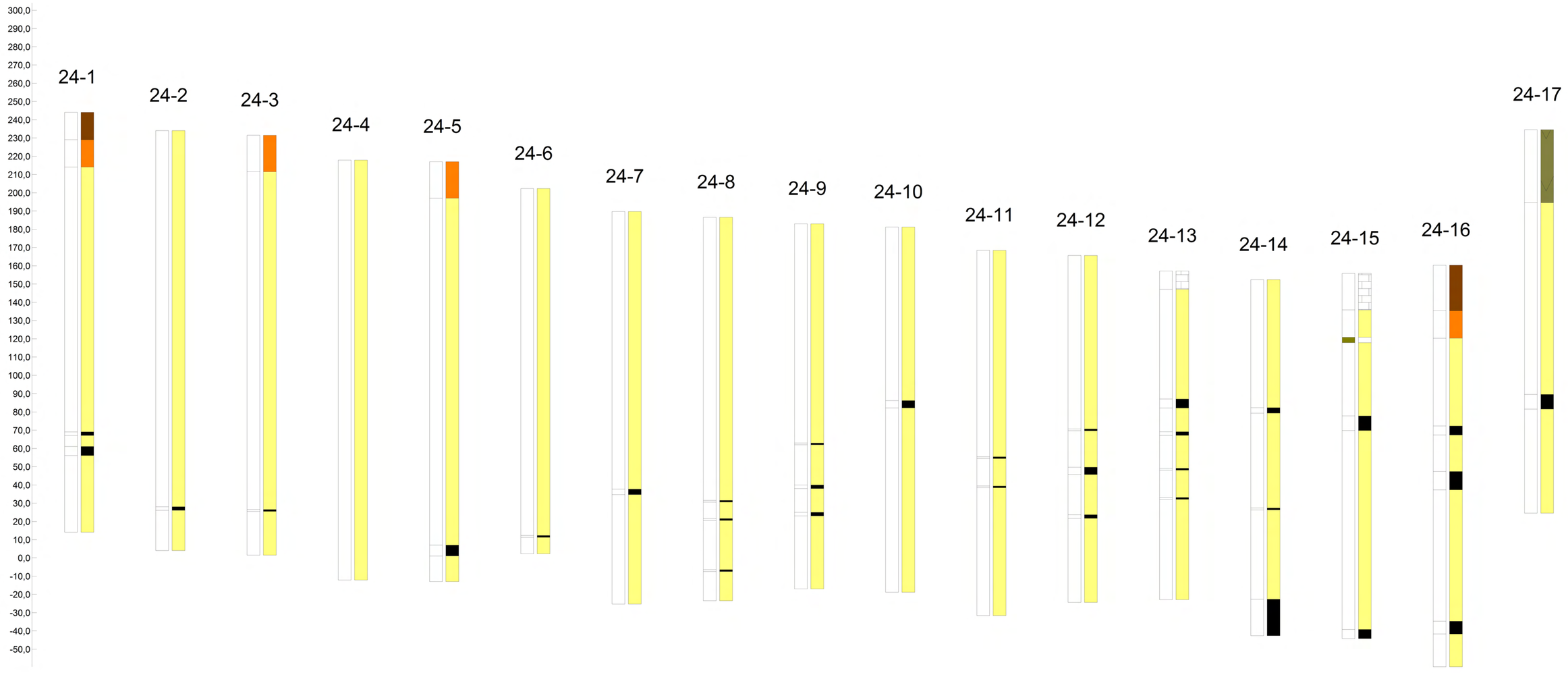
300,0
290,0
280,0
270,0
260,0
250,0
240,0
230,0
220,0
210,0
200,0
190,0
180,0
170,0
160,0
150,0
140,0
130,0
120,0
110,0
100,0
90,0
80,0
70,0
60,0
50,0
40,0
30,0
20,0
10,0
0,0
-10,0
-20,0
-30,0
-40,0
-50,0
24-1
24-2
24-3
24-4
24-5
24-6
24-7
24-8
24-9
24-10
24-11
24-12
24-13
24-14
24-15
24-16
24-17

# KOEWACHT - Emmabaan (2011)

**Inventariserend veldonderzoek (IVO-O/P)**

**Manuele (Edelmann, 12cm) boringen: bodemprofiel op maaiveldniveau - Raai 1**

B10

B12

# KOEWACHT - Emmabaan (2011)

**Inventariserend veldonderzoek (IVO-O/P)**

**Manuele (Edelmann, 12cm) boringen: bodemprofiel op maaiveldniveau - Raai 2**

B2

B3

B4

B6

B7

B8

B9

B10

B11

B12

# KOEWACHT - Emmabaan (2011)

**Inventariserend veldonderzoek (IVO-O/P)**

**Manuele (Edelmann, 12cm) boringen: bodemprofiel op maaiveldniveau - Raai 3**

B2

B3

B4

B5

B6

B7

B8

B9

B10

B11

B12

B13

# KOEWACHT - Emmabaan (2011)

**Inventariserend veldonderzoek (IVO-O/P)**

**Manuele (Edelmann, 12cm) boringen: bodemprofiel op maaiveldniveau - Raai 4**

B2

B3

B4

B5

B6

B7

B8

B9

B10

B11

B12

B13

# KOEWACHT - Emmabaan (2011)

**Inventariserend veldonderzoek (IVO-O/P)**

**Manuele (Edelmann, 12cm) boringen: bodemprofiel op maaiveldniveau - Raai 5**

B1

B2

B3

B4

B5

B7

B8

B9

B10

B11

B12

B13

# KOEWACHT - Emmabaan (2011)

**Inventariserend veldonderzoek (IVO-O/P)**

**Manuele (Edelmann, 12cm) boringen: bodemprofiel op maaiveldniveau - Raai 6**

B1

B2

B3

B4

B5

B6

B7

B8

B9

B10

B11

B12

B13

# KOEWACHT - Emmabaan (2011)

**Inventariserend veldonderzoek (IVO-O/P)**

**Manuele (Edelmann, 12cm) boringen: bodemprofiel op maaiveldniveau - Raai 7**

B2

B3

B4

B5

B6

B7

B8

B9

B10

B11

B12

B13

# KOEWACHT - Emmabaan (2011)

**Inventariserend veldonderzoek (IVO-O/P)**

**Manuele (Edelmann, 12cm) boringen: bodemprofiel op maaiveldniveau - Raai 8**

B9

B10

B11

B12

B13

# KOEWACHT - Emmabaan (2011)

**Inventariserend veldonderzoek (IVO-O/P)**

**Manuele (Edelmann, 12cm) boringen: bodemprofiel op maaiveldniveau - Raai 9**

B1

B2

B3

B4

B5

B6

B7

B8

B9

B10

B11

B12

B13

B14

# KOEWACHT - Emmabaan (2011)

**Inventariserend veldonderzoek (IVO-O/P)**

**Manuele (Edelmann, 12cm) boringen: bodemprofiel op maaiveldniveau - Raai 10**

B2

B3

B4

B5

B6

B7

B8

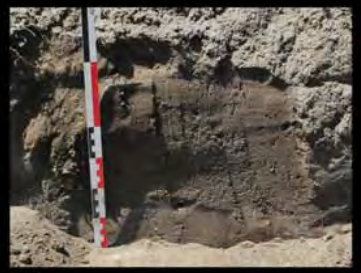
B9

B10

B11

B12

B13

B14

# KOEWACHT - Emmabaan (2011)

**Inventariserend veldonderzoek (IVO-O/P)**

**Manuele (Edelmann, 12cm) boringen: bodemprofiel op maaiveldniveau - Raai 11**

B1

B2

B3

B4

B5

B6

B7

B8

B9

B10

B11

B12

B13

B14

# KOEWACHT - Emmabaan (2011)

**Inventariserend veldonderzoek (IVO-O/P)**

**Manuele (Edelmann, 12cm) boringen: bodemprofiel op maaiveldniveau - Raai 12**

B1

B2

B3

B4

B5

B6

B7

B8

B9

B10

B11

B12

B13

B14

# KOEWACHT - Emmabaan (2011)

**Inventariserend veldonderzoek (IVO-O/P)**

**Manuele (Edelmann, 12cm) boringen: bodemprofiel op maaiveldniveau - Raai 13**

B2

B3

B4

B5

B6

B7

B8

B9

B10

B11

B12

B13

B14

B15

# KOEWACHT - Emmabaan (2011)

**Inventariserend veldonderzoek (IVO-O/P)**

**Manuele (Edelmann, 12cm) boringen: bodemprofiel op maaiveldniveau - Raai 14**

B1

B2

B3

B4

B5

B6

B7

B8

B9

B10

B11

B12

B13

B14

# KOEWACHT - Emmabaan (2011)

**Inventariserend veldonderzoek (IVO-O/P)**

**Manuele (Edelmann, 12cm) boringen: bodemprofiel op maaiveldniveau - Raai 15**

B1

B2

B3

B4

B5

B6

B7

B8

B9

B11

B12

B13

B14

B15

# KOEWACHT - Emmabaan (2011)

**Inventariserend veldonderzoek (IVO-O/P)**

**Manuele (Edelmann, 12cm) boringen: bodemprofiel op maaiveldniveau - Raai 16**

B2

B3

B4

B5

B6

B7

B8

B9

B10

B11

B12

B13

B14

# KOEWACHT - Emmabaan (2011)

**Inventariserend veldonderzoek (IVO-O/P)**

**Manuele (Edelmann, 12cm) boringen: bodemprofiel op maaiveldniveau - Raai 17**

B1

B2

B3

B4

B5

B7

B8

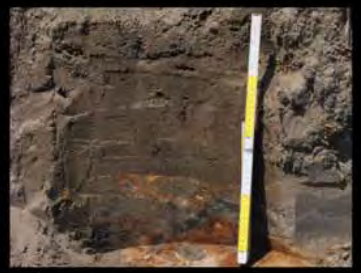
B9

B10

B11

B12

B13

B14

B15

B16

B17

B18

B19

# KOEWACHT - Emmabaan (2011)

**Inventariserend veldonderzoek (IVO-O/P)**

**Manuele (Edelmann, 12cm) boringen: bodemprofiel op maaiveldniveau - Raai 18**

B1

B2

B3

B4

B5

B6

B7

B8

B9

B10

B11

B12

B13

B14

B15

B16

B17

B18

# KOEWACHT - Emmabaan (2011)

**Inventariserend veldonderzoek (IVO-O/P)**

**Manuele (Edelmann, 12cm) boringen: bodemprofiel op maaiveldniveau - Raai 19**

B1

B2

B3

B4

B5

B6

B7

B8

B9

B10

B11

B12

B13

B14

B15

B16

B17

B18

B19

# KOEWACHT - Emmabaan (2011)

**Inventariserend veldonderzoek (IVO-O/P)**

**Manuele (Edelmann, 12cm) boringen: bodemprofiel op maaiveldniveau - Raai 20**

B1

B2

B3

B4

B5

B6

B7

B8

B9

B10

B11

B12

B13

B14

B15

B16

B17

B18

B19

# KOEWACHT - Emmabaan (2011)

**Inventariserend veldonderzoek (IVO-O/P)**

**Manuele (Edelmann, 12cm) boringen: bodemprofiel op maaiveldniveau - Raai 21**

B1

B2

B3

B4

B5

B6

B7

B8

B9

B10

B11

B12

B13

B14

B15

B16

B17

B18

B19

# KOEWACHT - Emmabaan (2011)

**Inventariserend veldonderzoek (IVO-O/P)**

**Manuele (Edelmann, 12cm) boringen: bodemprofiel op maaiveldniveau - Raai 22**

B1

B2

B3

B4

B5

B6

B7

B8

B10

B11

B12

B13

B14

B15

B16

B17

# KOEWACHT - Emmabaan (2011)

**Inventariserend veldonderzoek (IVO-O/P)**

**Manuele (Edelmann, 12cm) boringen: bodemprofiel op maaiveldniveau - Raai 23**

B1

B2

B3

B4

B5

B6

B7

B8

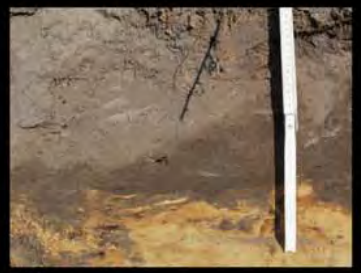
B9

B10

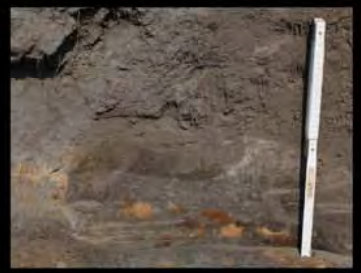
B11

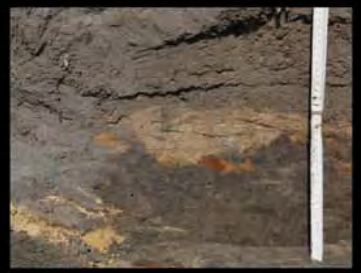
B13

B14

B15

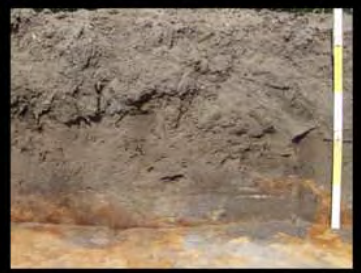
B16

B17

# KOEWACHT - Emmabaan (2011)

**Inventariserend veldonderzoek (IVO-O/P)**

**Manuele (Edelmann, 12cm) boringen: bodemprofiel op maaiveldniveau - Raai 24**

B1

B2

B3

B4

B5

B6

B7

B8

B9

B10

B11

B12

B13

B14

B15

B16

# KOEWACHT - Emmabaan (2011)

**Inventariserend veldonderzoek (IVO-O/P)**

**Manuele (Edelmann, 12cm) boringen: dieper niveau - Raaien 2 t.e.m. 4**

R2 - B2

R2 - B6

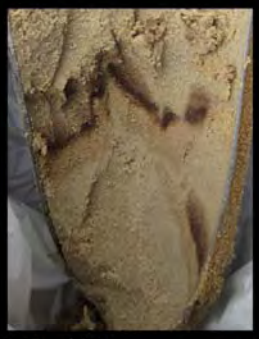
R2 - B8

R3 - B3

R3 - B6

R3 - B7

R3 - B9

R3 - B11

R4 - B2

R4 - B3-1

R4 - B3-2

R4 - B4

R4 - B5

R4 - B8

R4 - B10

R4 - B12

# KOEWACHT - Emmabaan (2011)

**Inventariserend veldonderzoek (IVO-O/P)**

**Manuele (Edelmann, 12cm) boringen: dieper niveau - Raai 5**

B2-1

B2-2

B3

B8

B9

B10

B11

B12

B13-1

B13-2

# KOEWACHT - Emmabaan (2011)

**Inventariserend veldonderzoek (IVO-O/P)**

**Manuele (Edelmann, 12cm) boringen: dieper niveau - Raai 6**

B1

B2-1

B2-2

B4

B5

B6-1

B6-2

B7

B8

B9

B10

B11

B12

B13

# KOEWACHT - Emmabaan (2011)

**Inventariserend veldonderzoek (IVO-O/P)**

**Manuele (Edelmann, 12cm) boringen: dieper niveau - Raai 7**

B2

B3

B5

B6

B8

B10

B12

B13

# KOEWACHT - Emmabaan (2011)

**Inventariserend veldonderzoek (IVO-O/P)**

**Manuele (Edelmann, 12cm) boringen: dieper niveau - Raai 8**

B1

B2

B3

B4-1

B4-2

B5

B6

B7

B8

B9

B11

B12

B14

# KOEWACHT - Emmabaan (2011)

**Inventariserend veldonderzoek (IVO-O/P)**

**Manuele (Edelmann, 12cm) boringen: dieper niveau - Raai 9**

B1

B2

B5

B7

B8

B9

B10

B11

B12

B13-1

B13-2

B14

# KOEWACHT - Emmabaan (2011)

**Inventariserend veldonderzoek (IVO-O/P)**

**Manuele (Edelmann, 12cm) boringen: dieper niveau - Raai 10**

B2

B3

B4

B5-1

B5-2

B6

B7

B8

B9

B10

B11

B12

B13-1

B13-2

B14

B15

# KOEWACHT - Emmabaan (2011)

**Inventariserend veldonderzoek (IVO-O/P)**

**Manuele (Edelmann, 12cm) boringen: dieper niveau - Raai 11**

B1

B2

B4

B6

B7

B8

B9

B10-1

B10-2

B11-1

B11-2

B12

B13

B14

# KOEWACHT - Emmabaan (2011)

**Inventariserend veldonderzoek (IVO-O/P)**

**Manuele (Edelmann, 12cm) boringen: dieper niveau - Raai 12**

B1

B2

B3

B4

B5

B6

B7

B8

B9-1

B9-2

B9-3

B10

B11-1

B11-2

B12

B13

B14

B15

# KOEWACHT - Emmabaan (2011)

**Inventariserend veldonderzoek (IVO-O/P)**

**Manuele (Edelmann, 12cm) boringen: dieper niveau - Raai 13**

B1

B2

B3

B4

B5

B6

B7

B8

B9

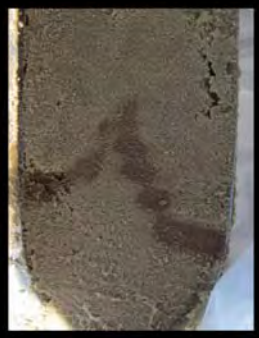
B10

B11

B12

B13

B15-1

B15-2

# KOEWACHT - Emmabaan (2011)

**Inventariserend veldonderzoek (IVO-O/P)**

**Manuele (Edelmann, 12cm) boringen: dieper niveau - Raai 14**

B1

B2

B3

B4

B5-1

B5-2

B6

B7

B8

B11-1

B11-2

B13

B14

# KOEWACHT - Emmabaan (2011)

**Inventariserend veldonderzoek (IVO-O/P)**

**Manuele (Edelmann, 12cm) boringen: dieper niveau - Raai 15**

B1

B2

B3

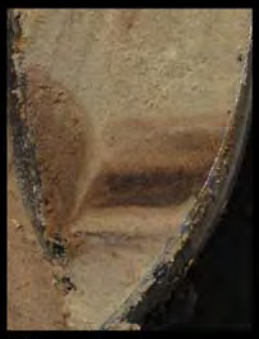
B4

B5

B7

B8

B9-1

B9-2

B11-1

B11-2

B13-1

B13-2

B14

B15-1

B15-2

# KOEWACHT - Emmabaan (2011)

**Inventariserend veldonderzoek (IVO-O/P)**

**Manuele (Edelmann, 12cm) boringen: dieper niveau - Raai 16**

B2

B3

B4

B5

B6

B7

B8

B9-1

B9-2

B10

B11

B12

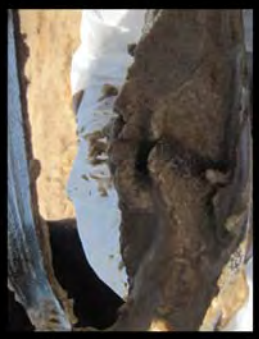
B13

B14

# KOEWACHT - Emmabaan (2011)

**Inventariserend veldonderzoek (IVO-O/P)**

**Manuele (Edelmann, 12cm) boringen: dieper niveau - Raai 17**

B1

B2

B3

B5

B6

B9

B10-1

B10-2

B11

B12

B13

B14

B15

B16

B17

B18

B19-1

B19-2

# KOEWACHT - Emmabaan (2011)

**Inventariserend veldonderzoek (IVO-O/P)**

**Manuele (Edelmann, 12cm) boringen: dieper niveau - Raai 18**

B1

B2

B3

B5

B6

B7

B16-1

B16-2

B17-1

B17-2

B17-3

B18-1

B18-2

B19

# KOEWACHT - Emmabaan (2011)

**Inventariserend veldonderzoek (IVO-O/P)**

**Manuele (Edelmann, 12cm) boringen: dieper niveau - Raai 19**

B2

B4

B5

B6

B7

B11-1

B11-2

B11-3

B12-1

B12-2

B12-3

B14

B16

B17-1

B17-2

B18

B19-1

B19-2

B19-3

B19-4

# KOEWACHT - Emmabaan (2011)

**Inventariserend veldonderzoek (IVO-O/P)**

**Manuele (Edelmann, 12cm) boringen: dieper niveau - Raai 20 (deel 1/2)**

B1

B2

B3

B4

B5

B6

B7-1

B7-2

B8

B9

B10-1

B10-2

B11

B12

B13

B14

B15-1

B15-2

B16

B18-1

B18-2

B18-3

B18-4

B19-1

B19-2

# KOEWACHT - Emmabaan (2011)

**Inventariserend veldonderzoek (IVO-O/P)**

**Manuele (Edelmann, 12cm) boringen: dieper niveau - Raai 20 (deel 2/2)**

B19-3

B19-4

B19-5

B20-1

B20-2

B20-3

B20-4

# KOEWACHT - Emmabaan (2011)

**Inventariserend veldonderzoek (IVO-O/P)**

**Manuele (Edelmann, 12cm) boringen: dieper niveau - Raai 21 (deel 1/2)**

B2-1

B2-2

B3-1

B3-2

B4-1

B4-2

B5

B6

B7

B9-1

B9-2

B11-1

B11-2

B11-2

B12-1

B12-2

B13-1

B14-1

B15

B16

B17-1

B17-2

B17-3

B17-4

B18-1

# KOEWACHT - Emmabaan (2011)

**Inventariserend veldonderzoek (IVO-O/P)**

**Manuele (Edelmann, 12cm) boringen: dieper niveau - Raai 21 (deel 2/2)**

B18-2

B18-3

B18-4

B18-5

B19-1

B19-2

B19-3

# KOEWACHT - Emmabaan (2011)

**Inventariserend veldonderzoek (IVO-O/P)**

**Manuele (Edelmann, 12cm) boringen: dieper niveau - Raai 22 (deel 1/2)**

B1

B2-1

B2-2

B3

B5-1

B5-2

B6

B8

B10-1

B10-2

B12-1

B12-2

B12-3

B13-1

B13-2

B13-3

B14-1

B14-2

B14-3

B15-1

B15-2

B16-1

B16-2

B16-3

B16-4

# KOEWACHT - Emmabaan (2011)

**Inventariserend veldonderzoek (IVO-O/P)**

**Manuele (Edelmann, 12cm) boringen: dieper niveau - Raai 22 (deel 2/2)**

**B16-5**

**B17**

**B18**

# KOEWACHT - Emmabaan (2011)

**Inventariserend veldonderzoek (IVO-O/P)**

**Manuele (Edelmann, 12cm) boringen: dieper niveau - Raai 23 (deel 1/2)**

B1-1

B1-2

B2

B5-1

B5-2

B8

B9

B10-1

B10-2

B11-1

B11-2

B12-1

B12-2

B12-3

B13-1

B13-2

B13-3

B14

B15-1

B15-2

B15-3

B16-1

B16-2

B16-3

B16-4

# KOEWACHT - Emmabaan (2011)

**Inventariserend veldonderzoek (IVO-O/P)**

**Manuele (Edelmann, 12cm) boringen: dieper niveau - Raai 23 (deel 2/2)**

B17-1

B17-2

# KOEWACHT - Emmabaan (2011)

**Inventariserend veldonderzoek (IVO-O/P)**

**Manuele (Edelmann, 12cm) boringen: dieper niveau - Raai 24**

B1

B2

B5

B6

B7

B8

B9-1

B9-2

B10

B11-1

B11-2

B12-1

B12-2

B12-3

B13-1

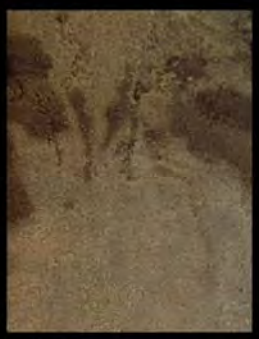
B13-2

B14-1

B14-2

B15-1

B15-2

B15-3

B16-1

B16-2

B16-3

B17

| VOLGNUMMER | VONDSTNUMMER | PUTNUMMER | VLAKNUMMER | SPOORNUMMER | TEKENINGNUMMER | foto | SPECIAL (J/N) | vondstverwerving (ABR Tab. 1) | natuurlijk/antropogeen | typologie (zie ABR 63 ev + p70 ev) | toelichting | grondstof (volgens ABR: tab. 7: materiaal + tab. 8 | verbranding | relatieve datering | afmetingen van werktuigen |
|---|---|---|---|---|---|---|---|---|---|---|---|---|---|---|---|
| 1 | R19 B9 | nvt | nvt | nvt | ja | ja | N | AKA | antropogeen | STEKER | fragment - determinatie? | SVU | niet (zichtbaar) verbrand | indet. | 7,1 - 2,5 - 1,4 |
| 2 | R14 B7 | nvt | nvt | nvt | ja | ja | N | AKA | antropogeen | AFSLAG | fragment - distaal | SVU | niet (zichtbaar) verbrand | indet. | |
| 3 | R14 B7 | nvt | nvt | nvt | ja | nvt | N | AKA | antropogeen | AFSLAG | fragment - distaal | SVU | niet (zichtbaar) verbrand | indet. | |
| 4 | R20 B13 | nvt | nvt | nvt | ja | ja | N | AKA | antropogeen | AFSLAG | fragment - proximaal | SVU | licht verbrand | indet. | |
| 5 | Proefsleuf 13 (V005) | 13 | nvt | nvt | ja | ja | N | APP | antropogeen | MICROSTE | | SVU | niet (zichtbaar) verbrand | MESO | |
| 6 | R19 B1 | nvt | nvt | nvt | ja | ja | N | AKA | antropogeen | AFSLAG | | SVU | licht verbrand | indet. | |
| 7 | R12 B7/8 | nvt | nvt | nvt | ja | ja | N | AKA | antropogeen | KLING | fragment - distaal | SVU | niet (zichtbaar) verbrand | indet. | |
| 8 | R11 B7 | nvt | nvt | nvt | ja | ja | N | AKA | antropogeen | AFSLAG | | SVU | niet (zichtbaar) verbrand | indet. | |
| 9 | R19 B19 | nvt | nvt | nvt | ja | ja | N | AKA | antropogeen | KLING | | SVU | niet (zichtbaar) verbrand | indet. | |
| 10 | R22 B18 | nvt | nvt | nvt | ja | ja | N | AKA | antropogeen | AFSLAG | | SVU | niet (zichtbaar) verbrand | indet. | |
| 11 | Proefsleuf 21 | 21 | nvt | nvt | ja | ja | N | APP | antropogeen | KLING | fragment - distaal | SVU | niet (zichtbaar) verbrand | indet. | |
| 12 | R8/9 | nvt | nvt | nvt | ja | ja | N | AKA | antropogeen | KLING | | SVU | niet (zichtbaar) verbrand | indet. | |
| 13 | R19 B1 | nvt | nvt | nvt | ja | ja | N | AKA | antropogeen | KLING | fragment - distaal | SVU | niet (zichtbaar) verbrand | indet. | |
| 14 | R13 B4 | nvt | nvt | nvt | ja | ja | N | AKA | antropogeen | AFSLAG | fragment - proximaal | SVU | niet (zichtbaar) verbrand | indet. | |
| 15 | R10 B9 | nvt | nvt | nvt | ja | nvt | N | AKA | antropogeen | AFSLAG | | SVU | niet (zichtbaar) verbrand | indet. | |
| 16 | R6 B5 | nvt | nvt | nvt | ja | ja | N | AKA | antropogeen | KLING | fragment - distaal | SVU | niet (zichtbaar) verbrand | indet. | |
| 17 | R2 B10 | nvt | nvt | nvt | ja | ja | N | AKA | antropogeen | AFSLAG | fragment - proximaal | SVU | licht verbrand | indet. | |
| 18 | R1 B11 | nvt | nvt | nvt | ja | ja | N | AKA | antropogeen | AFSLAG | fragment - proximaal | SVU | niet (zichtbaar) verbrand | indet. | |
| 19 | R23 B17 | nvt | nvt | nvt | ja | nvt | N | AKA | antropogeen | AFSLAG | | SVU | niet (zichtbaar) verbrand | indet. | |
| 20 | R18 B11 | nvt | nvt | nvt | ja | nvt | N | AKA | antropogeen | KLING | fragment - proximaal | SVU | niet (zichtbaar) verbrand | indet. | |
| 21 | R19 B19 | nvt | nvt | nvt | nvt | nvt | N | AKA | antropogeen | AFSLAG | fragment - distaal (outrepassé) | SVU | zwaar verbrand | indet. | |
| 22 | R23 B15 | nvt | nvt | nvt | nvt | nvt | N | AKA | antropogeen | AFSLAG | | SVU | niet (zichtbaar) verbrand | indet. | |
| 23 | R11 B14 | nvt | nvt | nvt | nvt | nvt | N | AKA | antropogeen? | BROK | | SVU | matig verband | indet. | |
| 24 | R3 B2 | nvt | nvt | nvt | nvt | nvt | N | AKA | antropogeen | BROK | | SVU | matig verband | indet. | |
| 25 | R19 B11 | nvt | nvt | nvt | nvt | nvt | N | AKA | antropogeen | BROK | | SVU | zwaar verbrand | indet. | |
| 26 | R10 B10 | nvt | nvt | nvt | nvt | nvt | N | AKA | antropogeen | AFSLAG | fragment - distaal? | SVU | niet (zichtbaar) verbrand | indet. | |

| VOLGNUMMER | VONDSTNUMMER | PUTNUMMER | VLAKNUMMER | SPOORNUMMER | TEKENINGNUMMER | foto | SPECIAL (J/N) | vondstverwerving (ABR Tab. 1) | natuurlijk/antropogeen | typologie (zie ABR 63 ev + p70 ev) | toelichting | grondstof (volgens ABR: tab. 7: materiaal + tab. 8 | verbranding | relatieve datering | afmetingen van werktuigen |
|---|---|---|---|---|---|---|---|---|---|---|---|---|---|---|---|
| 27 | R19 B13 | nvt | nvt | nvt | nvt | nvt | N | AKA | antropogeen | AFSLAG | fragment - mediaal | SVU | matig verband | indet. | |
| 28 | R19 B19 | nvt | nvt | nvt | ja | nvt | N | AKA | antropogeen | KLING | fragment - distaal | SVU | zwaar verbrand | indet. | |
| 29 | nvt | nvt | nvt | nvt | nvt | nvt | N | AKA | antropogeen | BROK | | SVU | matig verband | indet. | |
| 30 | nvt | nvt | nvt | nvt | ja | ja | N | AKA | antropogeen | AFSLAG | fragment - distaal | SVU | niet (zichtbaar) verbrand | indet. | |
| 31 | nvt | nvt | nvt | nvt | ja | ja | N | AKA | antropogeen | KLING | fragment - proximaal | SVU | niet (zichtbaar) verbrand | indet. | |
| 32 | nvt | nvt | nvt | nvt | nvt | nvt | N | AKA | antropogeen | KLING | fragment - mediaal | SVU | licht verbrand | indet. | |
| 33 | nvt | nvt | nvt | nvt | nvt | ja | N | AKA | antropogeen | AFSLAG | fragment - mediaal (retouches?) | SVU | niet (zichtbaar) verbrand | indet. | |
| 34 | nvt | nvt | nvt | nvt | ja | ja | N | AKA | antropogeen | KLING | fragment - proximaal | SVU | niet (zichtbaar) verbrand | indet. | |
| 35 | nvt | nvt | nvt | nvt | ja | ja | N | AKA | antropogeen | KERN | | SVU | niet (zichtbaar) verbrand | MESO? | |
| 36 | nvt | nvt | nvt | nvt | nvt | nvt | N | AKA | antropogeen | AFSLAG | fragment - distaal | SVU | niet (zichtbaar) verbrand | indet. | |
| 37 | nvt | nvt | nvt | nvt | ja | ja | N | AKA | antropogeen | AFSLAG | WSQ | SZA | niet (zichtbaar) verbrand | MESO? | |
| 38 | V003 | … | nvt | nvt | ja | ja | N | APP | antropogeen | KLING | fragment - distaal | SVU | licht verbrand | indet. | |
| 39 | V002 | … | nvt | nvt | ja | ja | N | APP | antropogeen | KLING | fragment - distaal | SVU | licht verbrand | indet. | |
| 40 | proefsleuf 24 (V013) | 24 | nvt | nvt | ja | ja | N | APP | antropogeen | KLING | fragment - proximaal | SVU | niet (zichtbaar) verbrand | indet. | |
| 41 | proefsleuf 24 (V014) | 24 | nvt | nvt | ja | ja | N | APP | antropogeen | AFSLAG (KERNVERN?) | fragment - distaal | SVU | niet (zichtbaar) verbrand | indet. | |
| 42 | proefsleuf 16 (V007) | 16 | nvt | nvt | ja | ja | N | APP | antropogeen | AFSLAG | | SVU | matig verband | indet. | |
| 43 | proefsleuf 16 (V006) | 16 | nvt | nvt | ja | ja | N | APP | antropogeen | AFSLAG (RETOUCHE) | | SVU | niet (zichtbaar) verbrand | indet. | 3,3 - 2,3 - 0,9 |
| 44 | proefsleuf 16 (V008) | 16 | nvt | nvt | nvt | nvt | N | APP | antropogeen | AFSLAG | | SVU | niet (zichtbaar) verbrand | indet. | |
| 45 | proefsleuf 16 (V010) | 16 | nvt | nvt | nvt | nvt | N | APP | antropogeen | AFSLAG | fragment - distaal | SVU | niet (zichtbaar) verbrand | indet. | |
| 46 | proefsleuf 16 (V011) | 16 | nvt | nvt | ja | ja | N | APP | antropogeen | AFSLAG | fragment - proximaal | SVU | niet (zichtbaar) verbrand | indet. | |
| 47 | proefsleuf 16 (V009) | 16 | nvt | nvt | nee | ja | N | APP | antropogeen | AFSLAG | | SVU | licht verbrand? | indet. | |
| 48 | bodemspoor P16 S17 | 16 | nvt | P16 S17 | ja | nvt | N | APP | antropogeen | KLING | | SVU | licht verbrand | indet. | |
| 49 | bodemspoor P16 S17 | 16 | nvt | P16 S17 | nvt | nvt | N | APP | antropogeen | KLING | fragment - distaal | SVU | licht verbrand? | indet. | |
| 50 | bodemspoor P16 S17 | 16 | nvt | P16 S17 | nvt | nvt | N | APP | antropogeen | AFSLAG | fragment - proximaal | SVU | niet (zichtbaar) verbrand | indet. | |
| 51 | bodemspoor P16 S17 | 16 | nvt | P16 S17 | nvt | nvt | N | APP | antropogeen | AFSLAG (RETOUCHE) | fragment - meervoudig? | SVU | niet (zichtbaar) verbrand | indet. | 0,6 - 0,6 - 0,2 |
| 52 | bodemspoor P16 S17 | 16 | nvt | P16 S17 | nvt | nvt | N | APP | antropogeen | MICROSTE? | | SVU | niet (zichtbaar) verbrand | MESO | |

| VOLGNUMMER | VONDSTNUMMER | PUTNUMMER | VLAKNUMMER | SPOORNUMMER | TEKENINGNUMMER | foto | SPECIAL (J/N) | vondstverwerving (ABR Tab. 1) | natuurlijk/antropogeen | typologie (zie ABR 63 ev + p70 ev) | toelichting | grondstof (volgens ABR: tab. 7: materiaal + tab. 8 | verbranding | relatieve datering | afmetingen van werktuigen |
|---|---|---|---|---|---|---|---|---|---|---|---|---|---|---|---|
| 53 | bodemspoor P16 S17 | 16 | nvt | P16 S17 | nvt | nvt | N | APP | antropogeen | POTLID | | SVU | matig verband | indet. | |
| 54 | bodemspoor P16 S17 | 16 | nvt | P16 S17 | nvt | nvt | N | APP | antropogeen | AFSLAG | < 1cm (chip) | SVU | niet (zichtbaar) verbrand | indet. | |
| 55 | bodemspoor P16 S17 | 16 | nvt | P16 S17 | nvt | nvt | N | APP | antropogeen | AFSLAG | < 1cm (chip) | SVU | niet (zichtbaar) verbrand | indet. | |
| 56 | bodemspoor P16 S17 | 16 | nvt | P16 S17 | nvt | nvt | N | APP | antropogeen | AFSLAG | < 1cm (chip) | SVU | niet (zichtbaar) verbrand | indet. | |
| 57 | bodemspoor P16 S17 | 16 | nvt | P16 S17 | nvt | nvt | N | APP | antropogeen | AFSLAG | < 1cm (chip) | SVU | niet (zichtbaar) verbrand | indet. | |
| 58 | bodemspoor P16 S17 | 16 | nvt | P16 S17 | nvt | nvt | N | APP | antropogeen | AFSLAG | < 1cm (chip) | SVU | niet (zichtbaar) verbrand | indet. | |
| 59 | bodemspoor P16 S17 | 16 | nvt | P16 S17 | nvt | nvt | N | APP | antropogeen | AFSLAG | < 1cm (chip) | SVU | niet (zichtbaar) verbrand | indet. | |
| 60 | bodemspoor P16 S17 | 16 | nvt | P16 S17 | nvt | nvt | N | APP | antropogeen | AFSLAG | < 1cm (chip) | SVU | niet (zichtbaar) verbrand | indet. | |
| 61 | bodemspoor P16 S17 | 16 | nvt | P16 S17 | nvt | nvt | N | APP | antropogeen | AFSLAG | < 1cm (chip) | SVU | niet (zichtbaar) verbrand | indet. | |
| 62 | bodemspoor P16 S17 | 16 | nvt | P16 S17 | nvt | nvt | N | APP | antropogeen | AFSLAG | < 1cm (chip) | SVU | niet (zichtbaar) verbrand | indet. | |
| 63 | bodemspoor P16 S17 | 16 | nvt | P16 S17 | nvt | nvt | N | APP | antropogeen | AFSLAG | < 1cm (chip) | SVU | niet (zichtbaar) verbrand | indet. | |
| 64 | bodemspoor P16 S17 | 16 | nvt | P16 S17 | nvt | nvt | N | APP | antropogeen | AFSLAG | < 1cm (chip) | SVU | niet (zichtbaar) verbrand | indet. | |
| 65 | bodemspoor P16 S17 | 16 | nvt | P16 S17 | nvt | nvt | N | APP | antropogeen | AFSLAG | < 1cm (chip) | SVU | niet (zichtbaar) verbrand | indet. | |
| 66 | bodemspoor P16 S17 | 16 | nvt | P16 S17 | nvt | nvt | N | APP | antropogeen | AFSLAG | < 1cm (chip) | SVU | niet (zichtbaar) verbrand | indet. | |
| 67 | bodemspoor P16 S17 | 16 | nvt | P16 S17 | nvt | nvt | N | APP | antropogeen | AFSLAG | < 1cm (chip) | SVU | niet (zichtbaar) verbrand | indet. | |
| 68 | bodemspoor P16 S17 | 16 | nvt | P16 S17 | nvt | nvt | N | APP | antropogeen | AFSLAG | < 1cm (chip) | SVU | niet (zichtbaar) verbrand | indet. | |
| 69 | bodemspoor P16 S17 | 16 | nvt | P16 S17 | nvt | nvt | N | APP | antropogeen | AFSLAG | < 1cm (chip) | SVU | matig verband | indet. | |
| 70 | bodemspoor P16 S17 | 16 | nvt | P16 S17 | nvt | nvt | N | APP | antropogeen | AFSLAG | < 1cm (chip) | SVU | matig verband | indet. | |
| 71 | bodemspoor P16 S17 | 16 | nvt | P16 S17 | nvt | nvt | N | APP | antropogeen | AFSLAG | < 1cm (chip) | SVU | matig verband | indet. | |
| 72 | bodemspoor P16 S17 | 16 | nvt | P16 S17 | nvt | nvt | N | APP | antropogeen | AFSLAG | < 1cm (chip) | SVU | matig verband | indet. | |
| 73 | bodemspoor P16 S17 | 16 | nvt | P16 S17 | nvt | nvt | N | APP | antropogeen | AFSLAG | < 1cm (chip) | SVU | matig verband | indet. | |
| 74 | bodemspoor P16 S17 | 16 | nvt | P16 S17 | nvt | nvt | N | APP | antropogeen | AFSLAG | < 1cm (chip) | SVU | matig verband | indet. | |
| 75 | bodemspoor P16 S17 | 16 | nvt | P16 S17 | nvt | nvt | N | APP | antropogeen | AFSLAG | < 1cm (chip) | SVU | matig verband | indet. | |
| 76 | bodemspoor P16 S17 | 16 | nvt | P16 S17 | nvt | nvt | N | APP | antropogeen | AFSLAG | < 1cm (chip) | SVU | matig verband | indet. | |
| 77 | bodemspoor P16 S17 | 16 | nvt | P16 S17 | nvt | nvt | N | APP | antropogeen | AFSLAG | < 1cm (chip) | SVU | matig verband | indet. | |
| 78 | bodemspoor P16 S17 | 16 | nvt | P16 S17 | nvt | nvt | N | APP | antropogeen | AFSLAG | < 1cm (chip) | SVU | matig verband | indet. | |

| VOLGNUMMER | VONDSTNUMMER | PUTNUMMER | VLAKNUMMER | SPOORNUMMER | TEKENINGNUMMER | foto | SPECIAL (J/N) | vondstverwerving (ABR Tab. 1) | natuurlijk/antropogeen | typologie (zie ABR 63 ev + p70 ev) | toelichting | grondstof (volgens ABR: tab. 7: materiaal + tab. 8 | verbranding | relatieve datering | afmetingen van werktuigen |
|---|---|---|---|---|---|---|---|---|---|---|---|---|---|---|---|
| 79 | bodemspoor P16 S17 | 16 | nvt | P16 S17 | nvt | nvt | N | APP | antropogeen | AFSLAG | < 1cm (chip) | SVU | zwaar verbrand | indet. | |
| 80 | bodemspoor P16 S17 | 16 | nvt | P16 S17 | nvt | nvt | N | APP | antropogeen | AFSLAG | < 1cm (chip) | SVU | zwaar verbrand | indet. | |
| 81 | bodemspoor P16 S17 | 16 | nvt | P16 S17 | nvt | nvt | N | APP | antropogeen | AFSLAG | < 1cm (chip) | SVU | zwaar verbrand | indet. | |
| 82 | bodemspoor P16 S17 | 16 | nvt | P16 S17 | nvt | nvt | N | APP | antropogeen | AFSLAG | < 1cm (chip) | SVU | matig verband | indet. | |
| 83 | bodemspoor P16 S17 | 16 | nvt | P16 S17 | nvt | nvt | N | APP | antropogeen | AFSLAG | < 1cm (chip) | SVU | matig verband | indet. | |
| 84 | bodemspoor P16 S17 | 16 | nvt | P16 S17 | nvt | nvt | N | APP | antropogeen | AFSLAG | < 1cm (chip) | SVU | matig verband | indet. | |
| 85 | bodemspoor P16 S17 | 16 | nvt | P16 S17 | nvt | nvt | N | APP | antropogeen | AFSLAG | < 1cm (chip) | SVU | matig verband | indet. | |
| 86 | bodemspoor P16 S17 | 16 | nvt | P16 S17 | nvt | nvt | N | APP | antropogeen | AFSLAG | < 1cm (chip) | SVU | matig verband | indet. | |
| 87 | bodemspoor P16 S17 | 16 | nvt | P16 S17 | nvt | nvt | N | APP | antropogeen | AFSLAG | < 1cm (chip) | SVU | matig verband | indet. | |
| 88 | bodemspoor P16 S17 | 16 | nvt | P16 S17 | nvt | nvt | N | APP | antropogeen | AFSLAG | < 1cm (chip) | SVU | matig verband | indet. | |
| 89 | bodemspoor P16 S17 | 16 | nvt | P16 S17 | nvt | nvt | N | APP | antropogeen | AFSLAG | < 1cm (chip) | SVU | matig verband | indet. | |
| 90 | bodemspoor P16 S17 | 16 | nvt | P16 S17 | nvt | nvt | N | APP | antropogeen | AFSLAG | < 1cm (chip) | SVU | matig verband | indet. | |
| 91 | bodemspoor P16 S17 | 16 | nvt | P16 S17 | nvt | nvt | N | APP | antropogeen | AFSLAG | < 1cm (chip) | SVU | zwaar verbrand | indet. | |
| 92 | bodemspoor P16 S17 | 16 | nvt | P16 S17 | nvt | nvt | N | APP | antropogeen | AFSLAG | < 1cm (chip) | SVU | zwaar verbrand | indet. | |
| 93 | bodemspoor P16 S17 | 16 | nvt | P16 S17 | nvt | nvt | N | APP | antropogeen | AFSLAG | < 1cm (chip) | SVU | niet (zichtbaar) verbrand | indet. | |
| 94 | bodemspoor P16 S17 | 16 | nvt | P16 S17 | nvt | nvt | N | APP | antropogeen | AFSLAG | < 1cm (chip) | SVU | niet (zichtbaar) verbrand | indet. | |
| 95 | bodemspoor P16 S17 | 16 | nvt | P16 S17 | nvt | nvt | N | APP | antropogeen | AFSLAG | < 1cm (chip) | SVU | niet (zichtbaar) verbrand | indet. | |
| 96 | bodemspoor P16 S17 | 16 | nvt | P16 S17 | nvt | nvt | N | APP | antropogeen | AFSLAG | < 1cm (chip) | SVU | niet (zichtbaar) verbrand | indet. | |
| 97 | bodemspoor P16 S17 | 16 | nvt | P16 S17 | nvt | nvt | N | APP | antropogeen | AFSLAG | < 1cm (chip) | SVU | niet (zichtbaar) verbrand | indet. | |
| 98 | bodemspoor P16 S17 | 16 | nvt | P16 S17 | nvt | nvt | N | APP | antropogeen | AFSLAG | < 1cm (chip) | SVU | niet (zichtbaar) verbrand | indet. | |
| 99 | bodemspoor P16 S17 | 16 | nvt | P16 S17 | nvt | nvt | N | APP | antropogeen | AFSLAG | < 1cm (chip) | SVU | niet (zichtbaar) verbrand | indet. | |
| 100 | bodemspoor P16 S17 | 16 | nvt | P16 S17 | nvt | nvt | N | APP | antropogeen | AFSLAG | < 1cm (chip) | SVU | niet (zichtbaar) verbrand | indet. | |
| 101 | bodemspoor P16 S17 | 16 | nvt | P16 S17 | nvt | nvt | N | APP | antropogeen | AFSLAG | < 1cm (chip) | SVU | niet (zichtbaar) verbrand | indet. | |
| 102 | bodemspoor P16 S17 | 16 | nvt | P16 S17 | nvt | nvt | N | APP | antropogeen | AFSLAG | < 1cm (chip) | SVU | niet (zichtbaar) verbrand | indet. | |
| 103 | bodemspoor P16 S17 | 16 | nvt | P16 S17 | nvt | nvt | N | APP | antropogeen | AFSLAG | < 1cm (chip) | SVU | niet (zichtbaar) verbrand | indet. | |
| 104 | bodemspoor P16 S17 | 16 | nvt | P16 S17 | nvt | nvt | N | APP | antropogeen | AFSLAG | < 1cm (chip) | SVU | niet (zichtbaar) verbrand | indet. | |

| VOLGNUMMER | VONDSTNUMMER | PUTNUMMER | VLAKNUMMER | SPOORNUMMER | TEKENINGNUMMER | foto | SPECIAL (J/N) | vondstverwerving (ABR Tab. 1) | natuurlijk/antropogeen | typologie (zie ABR 63 ev + p70 ev) | toelichting | grondstof (volgens ABR: tab. 7: materiaal + tab. 8 | verbranding | relatieve datering | afmetingen van werktuigen |
|---|---|---|---|---|---|---|---|---|---|---|---|---|---|---|---|
| 105 | bodemspoor P16 S17 | 16 | nvt | P16 S17 | nvt | nvt | N | APP | antropogeen | AFSLAG | < 1cm (chip) | SVU | niet (zichtbaar) verbrand | indet. | |
| 106 | bodemspoor P16 S17 | 16 | nvt | P16 S17 | nvt | nvt | N | APP | antropogeen | AFSLAG | < 1cm (chip) | SVU | niet (zichtbaar) verbrand | indet. | |
| 107 | bodemspoor P16 S17 | 16 | nvt | P16 S17 | nvt | nvt | N | APP | antropogeen | AFSLAG | < 1cm (chip) | SVU | niet (zichtbaar) verbrand | indet. | |
| 108 | bodemspoor P16 S17 | 16 | nvt | P16 S17 | nvt | nvt | N | APP | antropogeen | AFSLAG | < 1cm (chip) | SVU | niet (zichtbaar) verbrand | indet. | |
| 109 | bodemspoor P16 S17 | 16 | nvt | P16 S17 | nvt | nvt | N | APP | antropogeen | AFSLAG | < 1cm (chip) | SVU | niet (zichtbaar) verbrand | indet. | |
| 110 | bodemspoor P16 S17 | 16 | nvt | P16 S17 | nvt | nvt | N | APP | antropogeen | AFSLAG | < 1cm (chip) | SVU | niet (zichtbaar) verbrand | indet. | |
| 111 | bodemspoor P16 S17 | 16 | nvt | P16 S17 | nvt | nvt | N | APP | antropogeen | AFSLAG | < 1cm (chip) | SVU | niet (zichtbaar) verbrand | indet. | |
| 112 | bodemspoor P16 S17 | 16 | nvt | P16 S17 | nvt | nvt | N | APP | antropogeen | AFSLAG | < 1cm (chip) | SVU | niet (zichtbaar) verbrand | indet. | |
| 113 | bodemspoor P16 S17 | 16 | nvt | P16 S17 | nvt | nvt | N | APP | antropogeen | AFSLAG | < 1cm (chip) | SVU | niet (zichtbaar) verbrand | indet. | |
| 114 | bodemspoor P16 S17 | 16 | nvt | P16 S17 | nvt | nvt | N | APP | antropogeen | AFSLAG | < 1cm (chip) | SVU | niet (zichtbaar) verbrand | indet. | |
| 115 | bodemspoor P16 S17 | 16 | nvt | P16 S17 | nvt | nvt | N | APP | antropogeen | AFSLAG | < 1cm (chip) | SVU | niet (zichtbaar) verbrand | indet. | |
| 116 | bodemspoor P16 S17 | 16 | nvt | P16 S17 | nvt | nvt | N | APP | antropogeen | AFSLAG | < 1cm (chip) | SVU | niet (zichtbaar) verbrand | indet. | |
| 117 | bodemspoor P16 S17 | 16 | nvt | P16 S17 | nvt | nvt | N | APP | antropogeen | AFSLAG | < 1cm (chip) | SVU | niet (zichtbaar) verbrand | indet. | |
| 118 | bodemspoor P16 S17 | 16 | nvt | P16 S17 | nvt | nvt | N | APP | antropogeen | AFSLAG | < 1cm (chip) | SVU | niet (zichtbaar) verbrand | indet. | |
| 119 | bodemspoor P16 S17 | 16 | nvt | P16 S17 | nvt | nvt | N | APP | antropogeen | AFSLAG | < 1cm (chip) | SVU | niet (zichtbaar) verbrand | indet. | |
| 120 | bodemspoor P16 S17 | 16 | nvt | P16 S17 | nvt | nvt | N | APP | antropogeen | AFSLAG | < 1cm (chip) | SVU | niet (zichtbaar) verbrand | indet. | |
| 121 | bodemspoor P16 S17 | 16 | nvt | P16 S17 | nvt | nvt | N | APP | antropogeen | AFSLAG | < 1cm (chip) | SVU | niet (zichtbaar) verbrand | indet. | |
| 122 | bodemspoor P16 S17 | 16 | nvt | P16 S17 | nvt | nvt | N | APP | antropogeen | AFSLAG | < 1cm (chip) | SVU | niet (zichtbaar) verbrand | indet. | |
| 123 | bodemspoor P16 S17 | 16 | nvt | P16 S17 | nvt | nvt | N | APP | antropogeen | AFSLAG | < 1cm (chip) | SVU | niet (zichtbaar) verbrand | indet. | |
| 124 | bodemspoor P16 S17 | 16 | nvt | P16 S17 | nvt | nvt | N | APP | antropogeen | AFSLAG | < 1cm (chip) | SVU | niet (zichtbaar) verbrand | indet. | |
| 125 | bodemspoor P16 S17 | 16 | nvt | P16 S17 | nvt | nvt | N | APP | antropogeen | AFSLAG | < 1cm (chip) | SVU | niet (zichtbaar) verbrand | indet. | |
| 126 | bodemspoor P16 S17 | 16 | nvt | P16 S17 | nvt | nvt | N | APP | antropogeen | AFSLAG | < 1cm (chip) | SVU | niet (zichtbaar) verbrand | indet. | |
| 127 | bodemspoor P16 S17 | 16 | nvt | P16 S17 | nvt | nvt | N | APP | antropogeen | AFSLAG | < 1cm (chip) | SVU | niet (zichtbaar) verbrand | indet. | |
| 128 | bodemspoor P16 S17 | 16 | nvt | P16 S17 | nvt | nvt | N | APP | antropogeen | AFSLAG | < 1cm (chip) | SVU | niet (zichtbaar) verbrand | indet. | |
| 129 | bodemspoor P16 S17 | 16 | nvt | P16 S17 | nvt | nvt | N | APP | antropogeen | AFSLAG | < 1cm (chip) | SVU | niet (zichtbaar) verbrand | indet. | |
| 130 | bodemspoor P16 S17 | 16 | nvt | P16 S17 | nvt | nvt | N | APP | antropogeen | AFSLAG | < 1cm (chip) | SVU | niet (zichtbaar) verbrand | indet. | |

| VOLGNUMMER | VONDSTNUMMER | PUTNUMMER | VLAKNUMMER | SPOORNUMMER | TEKENINGNUMMER | foto | SPECIAL (J/N) | vondstverwerving (ABR Tab. 1) | natuurlijk/antropogeen | typologie (zie ABR 63 ev + p70 ev) | toelichting | grondstof (volgens ABR: tab. 7: materiaal + tab. 8 | verbranding | relatieve datering | afmetingen van werktuigen |
|---|---|---|---|---|---|---|---|---|---|---|---|---|---|---|---|
| 131 | bodemspoor P16 S17 | 16 | nvt | P16 S17 | nvt | nvt | N | APP | antropogeen | AFSLAG | < 1cm (chip) | SVU | niet (zichtbaar) verbrand | indet. | |
| 132 | bodemspoor P16 S17 | 16 | nvt | P16 S17 | nvt | nvt | N | APP | antropogeen | AFSLAG | < 1cm (chip) | SVU | niet (zichtbaar) verbrand | indet. | |
| 133 | bodemspoor P16 S17 | 16 | nvt | P16 S17 | nvt | nvt | N | APP | antropogeen | AFSLAG | < 1cm (chip) | SVU | niet (zichtbaar) verbrand | indet. | |
| 134 | bodemspoor P16 S17 | 16 | nvt | P16 S17 | nvt | nvt | N | APP | antropogeen | AFSLAG | < 1cm (chip) | SVU | niet (zichtbaar) verbrand | indet. | |
| 135 | bodemspoor P16 S17 | 16 | nvt | P16 S17 | nvt | nvt | N | APP | antropogeen | AFSLAG | < 1cm (chip) | SVU | niet (zichtbaar) verbrand | indet. | |
| 136 | bodemspoor P16 S17 | 16 | nvt | P16 S17 | nvt | nvt | N | APP | antropogeen | AFSLAG | < 1cm (chip) | SVU | niet (zichtbaar) verbrand | indet. | |
| 137 | bodemspoor P16 S17 | 16 | nvt | P16 S17 | nvt | nvt | N | APP | antropogeen | AFSLAG | < 1cm (chip) | SVU | niet (zichtbaar) verbrand | indet. | |
| 138 | bodemspoor P16 S17 | 16 | nvt | P16 S17 | nvt | nvt | N | APP | antropogeen | AFSLAG | < 1cm (chip) | SVU | niet (zichtbaar) verbrand | indet. | |
| 139 | bodemspoor P16 S17 | 16 | nvt | P16 S17 | nvt | nvt | N | APP | antropogeen | AFSLAG | < 1cm (chip) | SVU | niet (zichtbaar) verbrand | indet. | |
| 140 | bodemspoor P16 S17 | 16 | nvt | P16 S17 | nvt | nvt | N | APP | antropogeen | AFSLAG | < 1cm (chip) | SVU | niet (zichtbaar) verbrand | indet. | |
| 141 | bodemspoor P16 S17 | 16 | nvt | P16 S17 | nvt | nvt | N | APP | antropogeen | AFSLAG | < 1cm (chip) | SVU | niet (zichtbaar) verbrand | indet. | |
| 142 | bodemspoor P16 S17 | 16 | nvt | P16 S17 | nvt | nvt | N | APP | antropogeen | AFSLAG | < 1cm (chip) | SVU | niet (zichtbaar) verbrand | indet. | |
| 143 | bodemspoor P16 S17 | 16 | nvt | P16 S17 | nvt | nvt | N | APP | antropogeen | AFSLAG | < 1cm (chip) | SVU | niet (zichtbaar) verbrand | indet. | |
| 144 | bodemspoor P16 S17 | 16 | nvt | P16 S17 | nvt | nvt | N | APP | antropogeen | AFSLAG | < 1cm (chip) | SVU | niet (zichtbaar) verbrand | indet. | |
| 145 | bodemspoor P16 S17 | 16 | nvt | P16 S17 | nvt | nvt | N | APP | antropogeen | AFSLAG | < 1cm (chip) | SVU | niet (zichtbaar) verbrand | indet. | |
| 146 | bodemspoor P16 S17 | 16 | nvt | P16 S17 | nvt | nvt | N | APP | antropogeen | AFSLAG | < 1cm (chip) | SVU | niet (zichtbaar) verbrand | indet. | |
| 147 | bodemspoor P16 S17 | 16 | nvt | P16 S17 | nvt | nvt | N | APP | antropogeen | AFSLAG | < 1cm (chip) | SVU | niet (zichtbaar) verbrand | indet. | |
| 148 | bodemspoor P16 S17 | 16 | nvt | P16 S17 | nvt | nvt | N | APP | antropogeen | AFSLAG | < 1cm (chip) | SVU | niet (zichtbaar) verbrand | indet. | |
| 149 | bodemspoor P16 S17 | 16 | nvt | P16 S17 | nvt | nvt | N | APP | antropogeen | AFSLAG | < 1cm (chip) | SVU | niet (zichtbaar) verbrand | indet. | |
| 150 | bodemspoor P16 S17 | 16 | nvt | P16 S17 | nvt | nvt | N | APP | antropogeen | AFSLAG | < 1cm (chip) | SVU | niet (zichtbaar) verbrand | indet. | |
| 151 | bodemspoor P16 S17 | 16 | nvt | P16 S17 | nvt | nvt | N | APP | antropogeen | AFSLAG | < 1cm (chip) | SVU | niet (zichtbaar) verbrand | indet. | |
| 152 | bodemspoor P16 S17 | 16 | nvt | P16 S17 | nvt | nvt | N | APP | antropogeen | AFSLAG | < 1cm (chip) | SVU | niet (zichtbaar) verbrand | indet. | |
| 153 | bodemspoor P16 S17 | 16 | nvt | P16 S17 | nvt | nvt | N | APP | antropogeen | AFSLAG | < 1cm (chip) | SVU | niet (zichtbaar) verbrand | indet. | |
| 154 | bodemspoor P16 S17 | 16 | nvt | P16 S17 | nvt | nvt | N | APP | antropogeen | AFSLAG | < 1cm (chip) | SVU | niet (zichtbaar) verbrand | indet. | |
| 155 | bodemspoor P16 S17 | 16 | nvt | P16 S17 | nvt | nvt | N | APP | antropogeen | AFSLAG | < 1cm (chip) | SVU | niet (zichtbaar) verbrand | indet. | |
| 156 | bodemspoor P16 S17 | 16 | nvt | P16 S17 | nvt | nvt | N | APP | antropogeen | AFSLAG | < 1cm (chip) | SVU | niet (zichtbaar) verbrand | indet. | |

| VOLGNUMMER | VONDSTNUMMER | PUTNUMMER | VLAKNUMMER | SPOORNUMMER | TEKENINGNUMMER | foto | SPECIAL (J/N) | vondstverwerving (ABR Tab. 1) | natuurlijk/antropogeen | typologie (zie ABR 63 ev + p70 ev) | toelichting | grondstof (volgens ABR: tab. 7: materiaal + tab. 8 | verbranding | relatieve datering | afmetingen van werktuigen |
|---|---|---|---|---|---|---|---|---|---|---|---|---|---|---|---|
| 157 | bodemspoor P16 S17 | 16 | nvt | P16 S17 | nvt | nvt | N | APP | antropogeen | AFSLAG | < 1cm (chip) | SVU | niet (zichtbaar) verbrand | indet. | |
| 158 | bodemspoor P16 S17 | 16 | nvt | P16 S17 | nvt | nvt | N | APP | antropogeen | AFSLAG | < 1cm (chip) | SVU | niet (zichtbaar) verbrand | indet. | |
| 159 | bodemspoor P16 S17 | 16 | nvt | P16 S17 | nvt | nvt | N | APP | antropogeen | AFSLAG | < 1cm (chip) | SVU | niet (zichtbaar) verbrand | indet. | |
| 160 | bodemspoor P16 S17 | 16 | nvt | P16 S17 | nvt | nvt | N | APP | antropogeen | AFSLAG | < 1cm (chip) | SVU | niet (zichtbaar) verbrand | indet. | |
| 161 | bodemspoor P16 S17 | 16 | nvt | P16 S17 | nvt | nvt | N | APP | antropogeen | AFSLAG | < 1cm (chip) | SVU | niet (zichtbaar) verbrand | indet. | |
| 162 | bodemspoor P16 S17 | 16 | nvt | P16 S17 | nvt | nvt | N | APP | antropogeen | AFSLAG | < 1cm (chip) | SVU | niet (zichtbaar) verbrand | indet. | |
| 163 | bodemspoor P16 S17 | 16 | nvt | P16 S17 | nvt | nvt | N | APP | antropogeen | AFSLAG | < 1cm (chip) | SVU | niet (zichtbaar) verbrand | indet. | |
| 164 | bodemspoor P16 S17 | 16 | nvt | P16 S17 | nvt | nvt | N | APP | antropogeen | AFSLAG | < 1cm (chip) | SVU | niet (zichtbaar) verbrand | indet. | |
| 165 | bodemspoor P16 S17 | 16 | nvt | P16 S17 | nvt | nvt | N | APP | antropogeen | AFSLAG | < 1cm (chip) | SVU | niet (zichtbaar) verbrand | indet. | |
| 166 | bodemspoor P16 S17 | 16 | nvt | P16 S17 | nvt | nvt | N | APP | antropogeen | AFSLAG | < 1cm (chip) | SVU | niet (zichtbaar) verbrand | indet. | |
| 167 | bodemspoor P16 S17 | 16 | nvt | P16 S17 | nvt | nvt | N | APP | antropogeen | AFSLAG | < 1cm (chip) | SVU | niet (zichtbaar) verbrand | indet. | |
| 168 | bodemspoor P16 S17 | 16 | nvt | P16 S17 | nvt | nvt | N | APP | antropogeen | AFSLAG | < 1cm (chip) | SVU | niet (zichtbaar) verbrand | indet. | |
| 169 | bodemspoor P16 S17 | 16 | nvt | P16 S17 | nvt | nvt | N | APP | antropogeen | AFSLAG | < 1cm (chip) | SVU | niet (zichtbaar) verbrand | indet. | |
| 170 | bodemspoor P16 S17 | 16 | nvt | P16 S17 | nvt | nvt | N | APP | antropogeen | AFSLAG | < 1cm (chip) | SVU | niet (zichtbaar) verbrand | indet. | |
| 171 | bodemspoor P16 S17 | 16 | nvt | P16 S17 | nvt | nvt | N | APP | antropogeen | AFSLAG | < 1cm (chip) | SVU | niet (zichtbaar) verbrand | indet. | |
| 172 | bodemspoor P16 S17 | 16 | nvt | P16 S17 | nvt | nvt | N | APP | antropogeen | AFSLAG | < 1cm (chip) | SVU | niet (zichtbaar) verbrand | indet. | |
| 173 | bodemspoor P16 S17 | 16 | nvt | P16 S17 | nvt | nvt | N | APP | antropogeen | AFSLAG | < 1cm (chip) | SVU | niet (zichtbaar) verbrand | indet. | |
| 174 | bodemspoor P16 S17 | 16 | nvt | P16 S17 | nvt | nvt | N | APP | antropogeen | AFSLAG | < 1cm (chip) | SVU | niet (zichtbaar) verbrand | indet. | |
| 175 | bodemspoor P16 S17 | 16 | nvt | P16 S17 | nvt | nvt | N | APP | antropogeen | AFSLAG | < 1cm (chip) | SVU | niet (zichtbaar) verbrand | indet. | |
| 176 | bodemspoor P16 S17 | 16 | nvt | P16 S17 | nvt | nvt | N | APP | antropogeen | AFSLAG | < 1cm (chip) | SVU | niet (zichtbaar) verbrand | indet. | |
| 177 | bodemspoor P16 S17 | 16 | nvt | P16 S17 | nvt | nvt | N | APP | antropogeen | AFSLAG | < 1cm (chip) | SVU | niet (zichtbaar) verbrand | indet. | |
| 178 | bodemspoor P16 S17 | 16 | nvt | P16 S17 | nvt | nvt | N | APP | antropogeen | AFSLAG | < 1cm (chip) | SVU | niet (zichtbaar) verbrand | indet. | |
| 179 | bodemspoor P16 S17 | 16 | nvt | P16 S17 | nvt | nvt | N | APP | antropogeen | AFSLAG | < 1cm (chip) | SVU | niet (zichtbaar) verbrand | indet. | |
| 180 | bodemspoor P16 S17 | 16 | nvt | P16 S17 | nvt | nvt | N | APP | antropogeen | AFSLAG | < 1cm (chip) | SVU | niet (zichtbaar) verbrand | indet. | |
| 181 | bodemspoor P16 S17 | 16 | nvt | P16 S17 | nvt | nvt | N | APP | antropogeen | AFSLAG | < 1cm (chip) | SVU | niet (zichtbaar) verbrand | indet. | |
| 182 | bodemspoor P16 S17 | 16 | nvt | P16 S17 | nvt | nvt | N | APP | antropogeen | AFSLAG | < 1cm (chip) | SVU | niet (zichtbaar) verbrand | indet. | |

| VOLGNUMMER | VONDSTNUMMER | PUTNUMMER | VLAKNUMMER | SPOORNUMMER | TEKENINGNUMMER | foto | SPECIAL (J/N) | vondstverwerving (ABR Tab. 1) | natuurlijk/antropogeen | typologie (zie ABR 63 ev + p70 ev) | toelichting | grondstof (volgens ABR: tab. 7: materiaal + tab. 8 | verbranding | relatieve datering | afmetingen van werktuigen |
|---|---|---|---|---|---|---|---|---|---|---|---|---|---|---|---|
| 183 | bodemspoor P16 S17 | 16 | nvt | P16 S17 | nvt | nvt | N | APP | antropogeen | AFSLAG | < 1cm (chip) | SVU | niet (zichtbaar) verbrand | indet. | |
| 184 | bodemspoor P16 S17 | 16 | nvt | P16 S17 | nvt | nvt | N | APP | antropogeen | AFSLAG | < 1cm (chip) | SVU | niet (zichtbaar) verbrand | indet. | |
| 185 | bodemspoor P16 S17 | 16 | nvt | P16 S17 | nvt | nvt | N | APP | antropogeen | AFSLAG | < 1cm (chip) | SVU | niet (zichtbaar) verbrand | indet. | |
| 186 | bodemspoor P16 S17 | 16 | nvt | P16 S17 | nvt | nvt | N | APP | antropogeen | AFSLAG | < 1cm (chip) | SVU | niet (zichtbaar) verbrand | indet. | |
| 187 | bodemspoor P16 S17 | 16 | nvt | P16 S17 | nvt | nvt | N | APP | antropogeen | AFSLAG | < 1cm (chip) | SVU | niet (zichtbaar) verbrand | indet. | |
| 188 | Boring 33 (Emmahof) | nvt | nvt | nvt | nvt | nvt | N | ABO | antropogeen? | AFSLAG? | < 1cm (chip) | SVU | niet (zichtbaar) verbrand | indet. | |
| 189 | R10 B8 | nvt | nvt | nvt | nvt | nvt | N | ABO | antropogeen? | AFSLAG? | < 1cm (chip) | SVU | niet (zichtbaar) verbrand | indet. | |
| 190 | R11 B2 | nvt | nvt | nvt | nvt | nvt | N | ABO | antropogeen | KLING | fragment - distaal | SVU | niet (zichtbaar) verbrand | indet. | |
| 191 | R2 B13 | nvt | nvt | nvt | nvt | nvt | N | ABO | antropogeen | AFSLAG | < 1cm (chip) | SVU | niet (zichtbaar) verbrand | indet. | |
| 192 | R8 B10 | nvt | nvt | nvt | nvt | nvt | N | ABO | antropogeen | AFSLAG | < 1cm (chip) | SVU | niet (zichtbaar) verbrand | indet. | |
| 193 | R9 B4 | nvt | nvt | nvt | nvt | nvt | N | ABO | antropogeen | AFSLAG | < 1cm (chip) | SVU | matig verband | indet. | |
| 194 | R9 B4 | nvt | nvt | nvt | nvt | nvt | N | ABO | antropogeen | AFSLAG | < 1cm (chip) | SVU | niet (zichtbaar) verbrand | indet. | |
| 195 | R14 B15 | nvt | nvt | nvt | nvt | nvt | N | ABO | antropogeen | AFSLAG | < 1cm (chip) | SVU | matig verband | indet. | |
| 196 | R14 B15 | nvt | nvt | nvt | nvt | nvt | N | ABO | antropogeen | AFSLAG | < 1cm (chip) | SVU | niet (zichtbaar) verbrand | indet. | |
| 197 | R20 B7 | nvt | nvt | nvt | nvt | nvt | N | ABO | antropogeen | AFSLAG | < 1cm (chip) | SVU | matig verband | indet. | |
| 198 | R20 B7 | nvt | nvt | nvt | nvt | nvt | N | ABO | antropogeen | AFSLAG | < 1cm (chip) | SVU | niet (zichtbaar) verbrand | indet. | |
| 199 | R20 B7 | nvt | nvt | nvt | nvt | nvt | N | ABO | antropogeen | AFSLAG | < 1cm (chip) | SVU | niet (zichtbaar) verbrand | indet. | |
| 200 | R20 B7 | nvt | nvt | nvt | nvt | nvt | N | ABO | antropogeen | AFSLAG | < 1cm (chip) | SVU | niet (zichtbaar) verbrand | indet. | |
| 201 | R3 B5 | nvt | nvt | nvt | nvt | nvt | N | ABO | antropogeen | MICROSTE | Krukowski | SVU | niet (zichtbaar) verbrand | indet. | |
| 202 | R3 B5 | nvt | nvt | nvt | nvt | nvt | N | ABO | antropogeen | AFSLAG | < 1cm (chip) | SVU | niet (zichtbaar) verbrand | indet. | |
| 203 | R3 B5 | nvt | nvt | nvt | nvt | nvt | N | ABO | antropogeen | AFSLAG | < 1cm (chip) | SVU | niet (zichtbaar) verbrand | indet. | |
| 204 | R3 B5 | nvt | nvt | nvt | nvt | nvt | N | ABO | antropogeen | AFSLAG | < 1cm (chip) | SVU | niet (zichtbaar) verbrand | indet. | |
| 205 | R3 B5 | nvt | nvt | nvt | nvt | nvt | N | ABO | antropogeen | AFSLAG | < 1cm (chip) | SVU | niet (zichtbaar) verbrand | indet. | |
| 206 | R3 B5 | nvt | nvt | nvt | nvt | nvt | N | ABO | antropogeen | AFSLAG | < 1cm (chip) | SVU | niet (zichtbaar) verbrand | indet. | |
| 207 | R3 B5 | nvt | nvt | nvt | nvt | nvt | N | ABO | antropogeen | AFSLAG | < 1cm (chip) | SVU | niet (zichtbaar) verbrand | indet. | |
| 208 | R3 B5 | nvt | nvt | nvt | nvt | nvt | N | ABO | antropogeen | AFSLAG | < 1cm (chip) | SVU | niet (zichtbaar) verbrand | indet. | |

| FOTONUMMER | BOORRAAI | BOORNUMMER | ONDERWERP | DIGITAAL OF GEDIGITALISEERD | LOCATIE OP DVD |
|---|---|---|---|---|---|
| KOEB P 02 02 0811 | 02 | 02 | boorkolom - paleosol | digitaal (*.JPEG) | KE FOTO'S/02KOEB EMMABAAN/01 KOEB Boringen/02 Paleosol/02 |
| KOEB P 02 06 0820 | 02 | 06 | boorkolom - paleosol | digitaal (*.JPEG) | KE FOTO'S/02KOEB EMMABAAN/01 KOEB Boringen/02 Paleosol/02 |
| KOEB P 02 06 0821 | 02 | 06 | boorkolom - paleosol | digitaal (*.JPEG) | KE FOTO'S/02KOEB EMMABAAN/01 KOEB Boringen/02 Paleosol/02 |
| KOEB P 02 08 0827 | 02 | 08 | boorkolom - paleosol | digitaal (*.JPEG) | KE FOTO'S/02KOEB EMMABAAN/01 KOEB Boringen/02 Paleosol/02 |
| KOEB P 02 08 0828 | 02 | 08 | boorkolom - paleosol | digitaal (*.JPEG) | KE FOTO'S/02KOEB EMMABAAN/01 KOEB Boringen/02 Paleosol/02 |
| KOEB P 03 03 0845 | 03 | 03 | boorkolom - paleosol | digitaal (*.JPEG) | KE FOTO'S/02KOEB EMMABAAN/01 KOEB Boringen/02 Paleosol/03 |
| KOEB P 03 03 0846 | 03 | 03 | boorkolom - paleosol | digitaal (*.JPEG) | KE FOTO'S/02KOEB EMMABAAN/01 KOEB Boringen/02 Paleosol/03 |
| KOEB P 03 03 0847 | 03 | 03 | boorkolom - paleosol | digitaal (*.JPEG) | KE FOTO'S/02KOEB EMMABAAN/01 KOEB Boringen/02 Paleosol/03 |
| KOEB P 03 06 0852 | 03 | 06 | boorkolom - paleosol | digitaal (*.JPEG) | KE FOTO'S/02KOEB EMMABAAN/01 KOEB Boringen/02 Paleosol/03 |
| KOEB P 03 07 0855 | 03 | 07 | boorkolom - paleosol | digitaal (*.JPEG) | KE FOTO'S/02KOEB EMMABAAN/01 KOEB Boringen/02 Paleosol/03 |
| KOEB P 03 09 0858 | 03 | 09 | boorkolom - paleosol | digitaal (*.JPEG) | KE FOTO'S/02KOEB EMMABAAN/01 KOEB Boringen/02 Paleosol/03 |
| KOEB P 03 11 0864 | 03 | 11 | boorkolom - paleosol | digitaal (*.JPEG) | KE FOTO'S/02KOEB EMMABAAN/01 KOEB Boringen/02 Paleosol/03 |
| KOEB P 03 11 0865 | 03 | 11 | boorkolom - paleosol | digitaal (*.JPEG) | KE FOTO'S/02KOEB EMMABAAN/01 KOEB Boringen/02 Paleosol/03 |
| KOEB P 04 02 0879 | 04 | 02 | boorkolom - paleosol | digitaal (*.JPEG) | KE FOTO'S/02KOEB EMMABAAN/01 KOEB Boringen/02 Paleosol/04 |
| KOEB P 04 02 0880 | 04 | 02 | boorkolom - paleosol | digitaal (*.JPEG) | KE FOTO'S/02KOEB EMMABAAN/01 KOEB Boringen/02 Paleosol/04 |
| KOEB P 04 03 0881 | 04 | 03 | boorkolom - paleosol | digitaal (*.JPEG) | KE FOTO'S/02KOEB EMMABAAN/01 KOEB Boringen/02 Paleosol/04 |
| KOEB P 04 03 0884 | 04 | 03 | boorkolom - paleosol | digitaal (*.JPEG) | KE FOTO'S/02KOEB EMMABAAN/01 KOEB Boringen/02 Paleosol/04 |
| KOEB P 04 04 0886 | 04 | 04 | boorkolom - paleosol | digitaal (*.JPEG) | KE FOTO'S/02KOEB EMMABAAN/01 KOEB Boringen/02 Paleosol/04 |
| KOEB P 04 05 0889 | 04 | 05 | boorkolom - paleosol | digitaal (*.JPEG) | KE FOTO'S/02KOEB EMMABAAN/01 KOEB Boringen/02 Paleosol/04 |
| KOEB P 04 05 0890 | 04 | 05 | boorkolom - paleosol | digitaal (*.JPEG) | KE FOTO'S/02KOEB EMMABAAN/01 KOEB Boringen/02 Paleosol/04 |
| KOEB P 04 08 0893 | 04 | 08 | boorkolom - paleosol | digitaal (*.JPEG) | KE FOTO'S/02KOEB EMMABAAN/01 KOEB Boringen/02 Paleosol/04 |
| KOEB P 04 10 0896 | 04 | 10 | boorkolom - paleosol | digitaal (*.JPEG) | KE FOTO'S/02KOEB EMMABAAN/01 KOEB Boringen/02 Paleosol/04 |
| KOEB P 04 12 0900 | 04 | 12 | boorkolom - paleosol | digitaal (*.JPEG) | KE FOTO'S/02KOEB EMMABAAN/01 KOEB Boringen/02 Paleosol/04 |
| KOEB P 05 02 0916 | 05 | 02 | boorkolom - paleosol | digitaal (*.JPEG) | KE FOTO'S/02KOEB EMMABAAN/01 KOEB Boringen/02 Paleosol/05 |
| KOEB P 05 03 0918 | 05 | 03 | boorkolom - paleosol | digitaal (*.JPEG) | KE FOTO'S/02KOEB EMMABAAN/01 KOEB Boringen/02 Paleosol/05 |
| KOEB P 05 08 0923 | 05 | 08 | boorkolom - paleosol | digitaal (*.JPEG) | KE FOTO'S/02KOEB EMMABAAN/01 KOEB Boringen/02 Paleosol/05 |
| KOEB P 05 09 0926 | 05 | 09 | boorkolom - paleosol | digitaal (*.JPEG) | KE FOTO'S/02KOEB EMMABAAN/01 KOEB Boringen/02 Paleosol/05 |
| KOEB P 05 10 0930 | 05 | 10 | boorkolom - paleosol | digitaal (*.JPEG) | KE FOTO'S/02KOEB EMMABAAN/01 KOEB Boringen/02 Paleosol/05 |
| KOEB P 05 11 0937 | 05 | 11 | boorkolom - paleosol | digitaal (*.JPEG) | KE FOTO'S/02KOEB EMMABAAN/01 KOEB Boringen/02 Paleosol/05 |
| KOEB P 05 12 0939 | 05 | 12 | boorkolom - paleosol | digitaal (*.JPEG) | KE FOTO'S/02KOEB EMMABAAN/01 KOEB Boringen/02 Paleosol/05 |
| KOEB P 05 12 0940 | 05 | 12 | boorkolom - paleosol | digitaal (*.JPEG) | KE FOTO'S/02KOEB EMMABAAN/01 KOEB Boringen/02 Paleosol/05 |
| KOEB P 05 13 0941 | 05 | 13 | boorkolom - paleosol | digitaal (*.JPEG) | KE FOTO'S/02KOEB EMMABAAN/01 KOEB Boringen/02 Paleosol/05 |
| KOEB P 05 13 0942 | 05 | 13 | boorkolom - paleosol | digitaal (*.JPEG) | KE FOTO'S/02KOEB EMMABAAN/01 KOEB Boringen/02 Paleosol/05 |
| KOEB P 05 13 0943 | 05 | 13 | boorkolom - paleosol | digitaal (*.JPEG) | KE FOTO'S/02KOEB EMMABAAN/01 KOEB Boringen/02 Paleosol/05 |
| KOEB P 06 01 0946 | 06 | 01 | boorkolom - paleosol | digitaal (*.JPEG) | KE FOTO'S/02KOEB EMMABAAN/01 KOEB Boringen/02 Paleosol/06 |
| KOEB P 06 01 0947 | 06 | 01 | boorkolom - paleosol | digitaal (*.JPEG) | KE FOTO'S/02KOEB EMMABAAN/01 KOEB Boringen/02 Paleosol/06 |
| KOEB P 06 02 0949 | 06 | 02 | boorkolom - paleosol | digitaal (*.JPEG) | KE FOTO'S/02KOEB EMMABAAN/01 KOEB Boringen/02 Paleosol/06 |
| KOEB P 06 02 0950 | 06 | 02 | boorkolom - paleosol | digitaal (*.JPEG) | KE FOTO'S/02KOEB EMMABAAN/01 KOEB Boringen/02 Paleosol/06 |
| KOEB P 06 04 0982 | 06 | 04 | boorkolom - paleosol | digitaal (*.JPEG) | KE FOTO'S/02KOEB EMMABAAN/01 KOEB Boringen/02 Paleosol/06 |
| KOEB P 06 05 0984 | 06 | 05 | boorkolom - paleosol | digitaal (*.JPEG) | KE FOTO'S/02KOEB EMMABAAN/01 KOEB Boringen/02 Paleosol/06 |
| KOEB P 06 06 0986 | 06 | 06 | boorkolom - paleosol | digitaal (*.JPEG) | KE FOTO'S/02KOEB EMMABAAN/01 KOEB Boringen/02 Paleosol/06 |
| KOEB P 06 06 0987 | 06 | 06 | boorkolom - paleosol | digitaal (*.JPEG) | KE FOTO'S/02KOEB EMMABAAN/01 KOEB Boringen/02 Paleosol/06 |
| KOEB P 06 07 0989 | 06 | 07 | boorkolom - paleosol | digitaal (*.JPEG) | KE FOTO'S/02KOEB EMMABAAN/01 KOEB Boringen/02 Paleosol/06 |
| KOEB P 06 08 0991 | 06 | 08 | boorkolom - paleosol | digitaal (*.JPEG) | KE FOTO'S/02KOEB EMMABAAN/01 KOEB Boringen/02 Paleosol/06 |
| KOEB P 06 09 0993 | 06 | 09 | boorkolom - paleosol | digitaal (*.JPEG) | KE FOTO'S/02KOEB EMMABAAN/01 KOEB Boringen/02 Paleosol/06 |
| KOEB P 06 10 0996 | 06 | 10 | boorkolom - paleosol | digitaal (*.JPEG) | KE FOTO'S/02KOEB EMMABAAN/01 KOEB Boringen/02 Paleosol/06 |
| KOEB P 06 11 1003 | 06 | 11 | boorkolom - paleosol | digitaal (*.JPEG) | KE FOTO'S/02KOEB EMMABAAN/01 KOEB Boringen/02 Paleosol/06 |
| KOEB P 06 12 1006 | 06 | 12 | boorkolom - paleosol | digitaal (*.JPEG) | KE FOTO'S/02KOEB EMMABAAN/01 KOEB Boringen/02 Paleosol/06 |
| KOEB P 06 13 1007 | 06 | 13 | boorkolom - paleosol | digitaal (*.JPEG) | KE FOTO'S/02KOEB EMMABAAN/01 KOEB Boringen/02 Paleosol/06 |
| KOEB P 06 13 1008 | 06 | 13 | boorkolom - paleosol | digitaal (*.JPEG) | KE FOTO'S/02KOEB EMMABAAN/01 KOEB Boringen/02 Paleosol/06 |
| KOEB P 06 14 1009 | 06 | 14 | boorkolom - paleosol | digitaal (*.JPEG) | KE FOTO'S/02KOEB EMMABAAN/01 KOEB Boringen/02 Paleosol/06 |
| KOEB P 07 02 1017 | 07 | 02 | boorkolom - paleosol | digitaal (*.JPEG) | KE FOTO'S/02KOEB EMMABAAN/01 KOEB Boringen/02 Paleosol/07 |
| KOEB P 07 03 1019 | 07 | 03 | boorkolom - paleosol | digitaal (*.JPEG) | KE FOTO'S/02KOEB EMMABAAN/01 KOEB Boringen/02 Paleosol/07 |
| KOEB P 07 05 1022 | 07 | 05 | boorkolom - paleosol | digitaal (*.JPEG) | KE FOTO'S/02KOEB EMMABAAN/01 KOEB Boringen/02 Paleosol/07 |
| KOEB P 07 06 1024 | 07 | 06 | boorkolom - paleosol | digitaal (*.JPEG) | KE FOTO'S/02KOEB EMMABAAN/01 KOEB Boringen/02 Paleosol/07 |
| KOEB P 07 08 1027 | 07 | 08 | boorkolom - paleosol | digitaal (*.JPEG) | KE FOTO'S/02KOEB EMMABAAN/01 KOEB Boringen/02 Paleosol/07 |
| KOEB P 07 10 1033 | 07 | 10 | boorkolom - paleosol | digitaal (*.JPEG) | KE FOTO'S/02KOEB EMMABAAN/01 KOEB Boringen/02 Paleosol/07 |
| KOEB P 07 12 1037 | 07 | 12 | boorkolom - paleosol | digitaal (*.JPEG) | KE FOTO'S/02KOEB EMMABAAN/01 KOEB Boringen/02 Paleosol/07 |
| KOEB P 07 13 1289 | 07 | 13 | boorkolom - paleosol | digitaal (*.JPEG) | KE FOTO'S/02KOEB EMMABAAN/01 KOEB Boringen/02 Paleosol/07 |
| KOEB P 08 01 0223 | 08 | 01 | boorkolom - paleosol | digitaal (*.JPEG) | KE FOTO'S/02KOEB EMMABAAN/01 KOEB Boringen/02 Paleosol/08 |
| KOEB P 08 02 0225 | 08 | 02 | boorkolom - paleosol | digitaal (*.JPEG) | KE FOTO'S/02KOEB EMMABAAN/01 KOEB Boringen/02 Paleosol/08 |
| KOEB P 08 03 0227 | 08 | 03 | boorkolom - paleosol | digitaal (*.JPEG) | KE FOTO'S/02KOEB EMMABAAN/01 KOEB Boringen/02 Paleosol/08 |
| KOEB P 08 04 0229 | 08 | 04 | boorkolom - paleosol | digitaal (*.JPEG) | KE FOTO'S/02KOEB EMMABAAN/01 KOEB Boringen/02 Paleosol/08 |
| KOEB P 08 04 0231 | 08 | 04 | boorkolom - paleosol | digitaal (*.JPEG) | KE FOTO'S/02KOEB EMMABAAN/01 KOEB Boringen/02 Paleosol/08 |
| KOEB P 08 05 0233 | 08 | 05 | boorkolom - paleosol | digitaal (*.JPEG) | KE FOTO'S/02KOEB EMMABAAN/01 KOEB Boringen/02 Paleosol/08 |
| KOEB P 08 06 0235 | 08 | 06 | boorkolom - paleosol | digitaal (*.JPEG) | KE FOTO'S/02KOEB EMMABAAN/01 KOEB Boringen/02 Paleosol/08 |
| KOEB P 08 07 0237 | 08 | 07 | boorkolom - paleosol | digitaal (*.JPEG) | KE FOTO'S/02KOEB EMMABAAN/01 KOEB Boringen/02 Paleosol/08 |

| FOTONUMMER | BOORRAAI | BOORNUMMER | ONDERWERP | DIGITAAL OF GEDIGITALISEERD | LOCATIE OP DVD |
|---|---|---|---|---|---|
| KOEB P 08 08 0239 | 08 | 08 | boorkolom - paleosol | digitaal (*.JPEG) | KE FOTO'S/02KOEB EMMABAAN/01 KOEB Boringen/02 Paleosol/08 |
| KOEB P 08 08 0240 | 08 | 08 | boorkolom - paleosol | digitaal (*.JPEG) | KE FOTO'S/02KOEB EMMABAAN/01 KOEB Boringen/02 Paleosol/08 |
| KOEB P 08 09 1044 | 08 | 09 | boorkolom - paleosol | digitaal (*.JPEG) | KE FOTO'S/02KOEB EMMABAAN/01 KOEB Boringen/02 Paleosol/08 |
| KOEB P 08 11 1299 | 08 | 11 | boorkolom - paleosol | digitaal (*.JPEG) | KE FOTO'S/02KOEB EMMABAAN/01 KOEB Boringen/02 Paleosol/08 |
| KOEB P 08 12 1296 | 08 | 12 | boorkolom - paleosol | digitaal (*.JPEG) | KE FOTO'S/02KOEB EMMABAAN/01 KOEB Boringen/02 Paleosol/08 |
| KOEB P 08 12 1297 | 08 | 12 | boorkolom - paleosol | digitaal (*.JPEG) | KE FOTO'S/02KOEB EMMABAAN/01 KOEB Boringen/02 Paleosol/08 |
| KOEB P 08 14 1291 | 08 | 14 | boorkolom - paleosol | digitaal (*.JPEG) | KE FOTO'S/02KOEB EMMABAAN/01 KOEB Boringen/02 Paleosol/08 |
| KOEB P 09 01 1046 | 09 | 01 | boorkolom - paleosol | digitaal (*.JPEG) | KE FOTO'S/02KOEB EMMABAAN/01 KOEB Boringen/02 Paleosol/09 |
| KOEB P 09 02 1048 | 09 | 02 | boorkolom - paleosol | digitaal (*.JPEG) | KE FOTO'S/02KOEB EMMABAAN/01 KOEB Boringen/02 Paleosol/09 |
| KOEB P 09 05 1052 | 09 | 05 | boorkolom - paleosol | digitaal (*.JPEG) | KE FOTO'S/02KOEB EMMABAAN/01 KOEB Boringen/02 Paleosol/09 |
| KOEB P 09 07 1061 | 09 | 07 | boorkolom - paleosol | digitaal (*.JPEG) | KE FOTO'S/02KOEB EMMABAAN/01 KOEB Boringen/02 Paleosol/09 |
| KOEB P 09 08 0018 | 09 | 08 | boorkolom - paleosol | digitaal (*.JPEG) | KE FOTO'S/02KOEB EMMABAAN/01 KOEB Boringen/02 Paleosol/09 |
| KOEB P 09 09 0015 | 09 | 09 | boorkolom - paleosol | digitaal (*.JPEG) | KE FOTO'S/02KOEB EMMABAAN/01 KOEB Boringen/02 Paleosol/09 |
| KOEB P 09 09 0016 | 09 | 09 | boorkolom - paleosol | digitaal (*.JPEG) | KE FOTO'S/02KOEB EMMABAAN/01 KOEB Boringen/02 Paleosol/09 |
| KOEB P 09 10 0012 | 09 | 10 | boorkolom - paleosol | digitaal (*.JPEG) | KE FOTO'S/02KOEB EMMABAAN/01 KOEB Boringen/02 Paleosol/09 |
| KOEB P 09 10 0013 | 09 | 10 | boorkolom - paleosol | digitaal (*.JPEG) | KE FOTO'S/02KOEB EMMABAAN/01 KOEB Boringen/02 Paleosol/09 |
| KOEB P 09 11 0010 | 09 | 11 | boorkolom - paleosol | digitaal (*.JPEG) | KE FOTO'S/02KOEB EMMABAAN/01 KOEB Boringen/02 Paleosol/09 |
| KOEB P 09 12 0007 | 09 | 12 | boorkolom - paleosol | digitaal (*.JPEG) | KE FOTO'S/02KOEB EMMABAAN/01 KOEB Boringen/02 Paleosol/09 |
| KOEB P 09 12 0008 | 09 | 12 | boorkolom - paleosol | digitaal (*.JPEG) | KE FOTO'S/02KOEB EMMABAAN/01 KOEB Boringen/02 Paleosol/09 |
| KOEB P 09 13 0004 | 09 | 13 | boorkolom - paleosol | digitaal (*.JPEG) | KE FOTO'S/02KOEB EMMABAAN/01 KOEB Boringen/02 Paleosol/09 |
| KOEB P 09 13 0005 | 09 | 13 | boorkolom - paleosol | digitaal (*.JPEG) | KE FOTO'S/02KOEB EMMABAAN/01 KOEB Boringen/02 Paleosol/09 |
| KOEB P 09 14 0002 | 09 | 14 | boorkolom - paleosol | digitaal (*.JPEG) | KE FOTO'S/02KOEB EMMABAAN/01 KOEB Boringen/02 Paleosol/09 |
| KOEB P 10 02 1063 | 10 | 02 | boorkolom - paleosol | digitaal (*.JPEG) | KE FOTO'S/02KOEB EMMABAAN/01 KOEB Boringen/02 Paleosol/10 |
| KOEB P 10 03 1065 | 10 | 03 | boorkolom - paleosol | digitaal (*.JPEG) | KE FOTO'S/02KOEB EMMABAAN/01 KOEB Boringen/02 Paleosol/10 |
| KOEB P 10 04 1068 | 10 | 04 | boorkolom - paleosol | digitaal (*.JPEG) | KE FOTO'S/02KOEB EMMABAAN/01 KOEB Boringen/02 Paleosol/10 |
| KOEB P 10 05 1070 | 10 | 05 | boorkolom - paleosol | digitaal (*.JPEG) | KE FOTO'S/02KOEB EMMABAAN/01 KOEB Boringen/02 Paleosol/10 |
| KOEB P 10 05 1071 | 10 | 05 | boorkolom - paleosol | digitaal (*.JPEG) | KE FOTO'S/02KOEB EMMABAAN/01 KOEB Boringen/02 Paleosol/10 |
| KOEB P 10 06 1075 | 10 | 06 | boorkolom - paleosol | digitaal (*.JPEG) | KE FOTO'S/02KOEB EMMABAAN/01 KOEB Boringen/02 Paleosol/10 |
| KOEB P 10 07 1077 | 10 | 07 | boorkolom - paleosol | digitaal (*.JPEG) | KE FOTO'S/02KOEB EMMABAAN/01 KOEB Boringen/02 Paleosol/10 |
| KOEB P 10 07 1078 | 10 | 07 | boorkolom - paleosol | digitaal (*.JPEG) | KE FOTO'S/02KOEB EMMABAAN/01 KOEB Boringen/02 Paleosol/10 |
| KOEB P 10 08 1080 | 10 | 08 | boorkolom - paleosol | digitaal (*.JPEG) | KE FOTO'S/02KOEB EMMABAAN/01 KOEB Boringen/02 Paleosol/10 |
| KOEB P 10 09 0034 | 10 | 09 | boorkolom - paleosol | digitaal (*.JPEG) | KE FOTO'S/02KOEB EMMABAAN/01 KOEB Boringen/02 Paleosol/10 |
| KOEB P 10 10 0032 | 10 | 10 | boorkolom - paleosol | digitaal (*.JPEG) | KE FOTO'S/02KOEB EMMABAAN/01 KOEB Boringen/02 Paleosol/10 |
| KOEB P 10 11 0030 | 10 | 11 | boorkolom - paleosol | digitaal (*.JPEG) | KE FOTO'S/02KOEB EMMABAAN/01 KOEB Boringen/02 Paleosol/10 |
| KOEB P 10 12 1026 | 10 | 12 | boorkolom - paleosol | digitaal (*.JPEG) | KE FOTO'S/02KOEB EMMABAAN/01 KOEB Boringen/02 Paleosol/10 |
| KOEB P 10 12 1027 | 10 | 12 | boorkolom - paleosol | digitaal (*.JPEG) | KE FOTO'S/02KOEB EMMABAAN/01 KOEB Boringen/02 Paleosol/10 |
| KOEB P 10 13 0023 | 10 | 13 | boorkolom - paleosol | digitaal (*.JPEG) | KE FOTO'S/02KOEB EMMABAAN/01 KOEB Boringen/02 Paleosol/10 |
| KOEB P 10 13 0024 | 10 | 13 | boorkolom - paleosol | digitaal (*.JPEG) | KE FOTO'S/02KOEB EMMABAAN/01 KOEB Boringen/02 Paleosol/10 |
| KOEB P 10 14 0021 | 10 | 14 | boorkolom - paleosol | digitaal (*.JPEG) | KE FOTO'S/02KOEB EMMABAAN/01 KOEB Boringen/02 Paleosol/10 |
| KOEB P 10 15 0019 | 10 | 15 | boorkolom - paleosol | digitaal (*.JPEG) | KE FOTO'S/02KOEB EMMABAAN/01 KOEB Boringen/02 Paleosol/10 |
| KOEB P 11 01 0036 | 11 | 01 | boorkolom - paleosol | digitaal (*.JPEG) | KE FOTO'S/02KOEB EMMABAAN/01 KOEB Boringen/02 Paleosol/11 |
| KOEB P 11 02 0038 | 11 | 02 | boorkolom - paleosol | digitaal (*.JPEG) | KE FOTO'S/02KOEB EMMABAAN/01 KOEB Boringen/02 Paleosol/11 |
| KOEB P 11 04 0041 | 11 | 04 | boorkolom - paleosol | digitaal (*.JPEG) | KE FOTO'S/02KOEB EMMABAAN/01 KOEB Boringen/02 Paleosol/11 |
| KOEB P 11 06 0003 | 11 | 06 | boorkolom - paleosol | digitaal (*.JPEG) | KE FOTO'S/02KOEB EMMABAAN/01 KOEB Boringen/02 Paleosol/11 |
| KOEB P 11 07 0007 | 11 | 07 | boorkolom - paleosol | digitaal (*.JPEG) | KE FOTO'S/02KOEB EMMABAAN/01 KOEB Boringen/02 Paleosol/11 |
| KOEB P 11 08 1109 | 11 | 08 | boorkolom - paleosol | digitaal (*.JPEG) | KE FOTO'S/02KOEB EMMABAAN/01 KOEB Boringen/02 Paleosol/11 |
| KOEB P 11 10 1096 | 11 | 10 | boorkolom - paleosol | digitaal (*.JPEG) | KE FOTO'S/02KOEB EMMABAAN/01 KOEB Boringen/02 Paleosol/11 |
| KOEB P 11 10 1097 | 11 | 10 | boorkolom - paleosol | digitaal (*.JPEG) | KE FOTO'S/02KOEB EMMABAAN/01 KOEB Boringen/02 Paleosol/11 |
| KOEB P 11 11 1091 | 11 | 11 | boorkolom - paleosol | digitaal (*.JPEG) | KE FOTO'S/02KOEB EMMABAAN/01 KOEB Boringen/02 Paleosol/11 |
| KOEB P 11 11 1092 | 11 | 11 | boorkolom - paleosol | digitaal (*.JPEG) | KE FOTO'S/02KOEB EMMABAAN/01 KOEB Boringen/02 Paleosol/11 |
| KOEB P 11 12 1088 | 11 | 12 | boorkolom - paleosol | digitaal (*.JPEG) | KE FOTO'S/02KOEB EMMABAAN/01 KOEB Boringen/02 Paleosol/11 |
| KOEB P 11 12 1089 | 11 | 12 | boorkolom - paleosol | digitaal (*.JPEG) | KE FOTO'S/02KOEB EMMABAAN/01 KOEB Boringen/02 Paleosol/11 |
| KOEB P 11 13 1086 | 11 | 13 | boorkolom - paleosol | digitaal (*.JPEG) | KE FOTO'S/02KOEB EMMABAAN/01 KOEB Boringen/02 Paleosol/11 |
| KOEB P 11 14 1083 | 11 | 14 | boorkolom - paleosol | digitaal (*.JPEG) | KE FOTO'S/02KOEB EMMABAAN/01 KOEB Boringen/02 Paleosol/11 |
| KOEB P 11 14 1084 | 11 | 14 | boorkolom - paleosol | digitaal (*.JPEG) | KE FOTO'S/02KOEB EMMABAAN/01 KOEB Boringen/02 Paleosol/11 |
| KOEB P 12 01 0011 | 12 | 01 | boorkolom - paleosol | digitaal (*.JPEG) | KE FOTO'S/02KOEB EMMABAAN/01 KOEB Boringen/02 Paleosol/12 |
| KOEB P 12 02 0013 | 12 | 02 | boorkolom - paleosol | digitaal (*.JPEG) | KE FOTO'S/02KOEB EMMABAAN/01 KOEB Boringen/02 Paleosol/12 |
| KOEB P 12 03 0015 | 12 | 03 | boorkolom - paleosol | digitaal (*.JPEG) | KE FOTO'S/02KOEB EMMABAAN/01 KOEB Boringen/02 Paleosol/12 |
| KOEB P 12 04 0017 | 12 | 04 | boorkolom - paleosol | digitaal (*.JPEG) | KE FOTO'S/02KOEB EMMABAAN/01 KOEB Boringen/02 Paleosol/12 |
| KOEB P 12 04 0018 | 12 | 04 | boorkolom - paleosol | digitaal (*.JPEG) | KE FOTO'S/02KOEB EMMABAAN/01 KOEB Boringen/02 Paleosol/12 |
| KOEB P 12 05 0020 | 12 | 05 | boorkolom - paleosol | digitaal (*.JPEG) | KE FOTO'S/02KOEB EMMABAAN/01 KOEB Boringen/02 Paleosol/12 |
| KOEB P 12 06 0022 | 12 | 06 | boorkolom - paleosol | digitaal (*.JPEG) | KE FOTO'S/02KOEB EMMABAAN/01 KOEB Boringen/02 Paleosol/12 |
| KOEB P 12 06 0023 | 12 | 06 | boorkolom - paleosol | digitaal (*.JPEG) | KE FOTO'S/02KOEB EMMABAAN/01 KOEB Boringen/02 Paleosol/12 |
| KOEB P 12 07 0025 | 12 | 07 | boorkolom - paleosol | digitaal (*.JPEG) | KE FOTO'S/02KOEB EMMABAAN/01 KOEB Boringen/02 Paleosol/12 |
| KOEB P 12 08 0027 | 12 | 08 | boorkolom - paleosol | digitaal (*.JPEG) | KE FOTO'S/02KOEB EMMABAAN/01 KOEB Boringen/02 Paleosol/12 |
| KOEB P 12 09 1126 | 12 | 09 | boorkolom - paleosol | digitaal (*.JPEG) | KE FOTO'S/02KOEB EMMABAAN/01 KOEB Boringen/02 Paleosol/12 |
| KOEB P 12 09 1127 | 12 | 09 | boorkolom - paleosol | digitaal (*.JPEG) | KE FOTO'S/02KOEB EMMABAAN/01 KOEB Boringen/02 Paleosol/12 |

| FOTONUMMER | BOORRAAI | BOORNUMMER | ONDERWERP | DIGITAAL OF GEDIGITALISEERD | LOCATIE OP DVD |
|---|---|---|---|---|---|
| KOEB P 12 09 1128 | 12 | 09 | boorkolom - paleosol | digitaal (*.JPEG) | KE FOTO'S/02KOEB EMMABAAN/01 KOEB Boringen/02 Paleosol/12 |
| KOEB P 12 10 1124 | 12 | 10 | boorkolom - paleosol | digitaal (*.JPEG) | KE FOTO'S/02KOEB EMMABAAN/01 KOEB Boringen/02 Paleosol/12 |
| KOEB P 12 11 1121 | 12 | 11 | boorkolom - paleosol | digitaal (*.JPEG) | KE FOTO'S/02KOEB EMMABAAN/01 KOEB Boringen/02 Paleosol/12 |
| KOEB P 12 11 1122 | 12 | 11 | boorkolom - paleosol | digitaal (*.JPEG) | KE FOTO'S/02KOEB EMMABAAN/01 KOEB Boringen/02 Paleosol/12 |
| KOEB P 12 12 1119 | 12 | 12 | boorkolom - paleosol | digitaal (*.JPEG) | KE FOTO'S/02KOEB EMMABAAN/01 KOEB Boringen/02 Paleosol/12 |
| KOEB P 12 13 1117 | 12 | 13 | boorkolom - paleosol | digitaal (*.JPEG) | KE FOTO'S/02KOEB EMMABAAN/01 KOEB Boringen/02 Paleosol/12 |
| KOEB P 12 14 1115 | 12 | 14 | boorkolom - paleosol | digitaal (*.JPEG) | KE FOTO'S/02KOEB EMMABAAN/01 KOEB Boringen/02 Paleosol/12 |
| KOEB P 12 15 1110 | 12 | 15 | boorkolom - paleosol | digitaal (*.JPEG) | KE FOTO'S/02KOEB EMMABAAN/01 KOEB Boringen/02 Paleosol/12 |
| KOEB P 13 01 0028 | 13 | 01 | boorkolom - paleosol | digitaal (*.JPEG) | KE FOTO'S/02KOEB EMMABAAN/01 KOEB Boringen/02 Paleosol/13 |
| KOEB P 13 02 0030 | 13 | 02 | boorkolom - paleosol | digitaal (*.JPEG) | KE FOTO'S/02KOEB EMMABAAN/01 KOEB Boringen/02 Paleosol/13 |
| KOEB P 13 02 0031 | 13 | 02 | boorkolom - paleosol | digitaal (*.JPEG) | KE FOTO'S/02KOEB EMMABAAN/01 KOEB Boringen/02 Paleosol/13 |
| KOEB P 13 03 0033 | 13 | 03 | boorkolom - paleosol | digitaal (*.JPEG) | KE FOTO'S/02KOEB EMMABAAN/01 KOEB Boringen/02 Paleosol/13 |
| KOEB P 13 04 0035 | 13 | 04 | boorkolom - paleosol | digitaal (*.JPEG) | KE FOTO'S/02KOEB EMMABAAN/01 KOEB Boringen/02 Paleosol/13 |
| KOEB P 13 05 0037 | 13 | 05 | boorkolom - paleosol | digitaal (*.JPEG) | KE FOTO'S/02KOEB EMMABAAN/01 KOEB Boringen/02 Paleosol/13 |
| KOEB P 13 06 0039 | 13 | 06 | boorkolom - paleosol | digitaal (*.JPEG) | KE FOTO'S/02KOEB EMMABAAN/01 KOEB Boringen/02 Paleosol/13 |
| KOEB P 13 07 0041 | 13 | 07 | boorkolom - paleosol | digitaal (*.JPEG) | KE FOTO'S/02KOEB EMMABAAN/01 KOEB Boringen/02 Paleosol/13 |
| KOEB P 13 08 1154 | 13 | 08 | boorkolom - paleosol | digitaal (*.JPEG) | KE FOTO'S/02KOEB EMMABAAN/01 KOEB Boringen/02 Paleosol/13 |
| KOEB P 13 09 1152 | 13 | 09 | boorkolom - paleosol | digitaal (*.JPEG) | KE FOTO'S/02KOEB EMMABAAN/01 KOEB Boringen/02 Paleosol/13 |
| KOEB P 13 10 1150 | 13 | 10 | boorkolom - paleosol | digitaal (*.JPEG) | KE FOTO'S/02KOEB EMMABAAN/01 KOEB Boringen/02 Paleosol/13 |
| KOEB P 13 11 1140 | 13 | 11 | boorkolom - paleosol | digitaal (*.JPEG) | KE FOTO'S/02KOEB EMMABAAN/01 KOEB Boringen/02 Paleosol/13 |
| KOEB P 13 12 1136 | 13 | 12 | boorkolom - paleosol | digitaal (*.JPEG) | KE FOTO'S/02KOEB EMMABAAN/01 KOEB Boringen/02 Paleosol/13 |
| KOEB P 13 13 1134 | 13 | 13 | boorkolom - paleosol | digitaal (*.JPEG) | KE FOTO'S/02KOEB EMMABAAN/01 KOEB Boringen/02 Paleosol/13 |
| KOEB P 13 15 1130 | 13 | 15 | boorkolom - paleosol | digitaal (*.JPEG) | KE FOTO'S/02KOEB EMMABAAN/01 KOEB Boringen/02 Paleosol/13 |
| KOEB P 13 15 1131 | 13 | 15 | boorkolom - paleosol | digitaal (*.JPEG) | KE FOTO'S/02KOEB EMMABAAN/01 KOEB Boringen/02 Paleosol/13 |
| KOEB P 14 01 1186 | 14 | 01 | boorkolom - paleosol | digitaal (*.JPEG) | KE FOTO'S/02KOEB EMMABAAN/01 KOEB Boringen/02 Paleosol/14 |
| KOEB P 14 02 1188 | 14 | 02 | boorkolom - paleosol | digitaal (*.JPEG) | KE FOTO'S/02KOEB EMMABAAN/01 KOEB Boringen/02 Paleosol/14 |
| KOEB P 14 02 1189 | 14 | 02 | boorkolom - paleosol | digitaal (*.JPEG) | KE FOTO'S/02KOEB EMMABAAN/01 KOEB Boringen/02 Paleosol/14 |
| KOEB P 14 03 1192 | 14 | 03 | boorkolom - paleosol | digitaal (*.JPEG) | KE FOTO'S/02KOEB EMMABAAN/01 KOEB Boringen/02 Paleosol/14 |
| KOEB P 14 03 1193 | 14 | 03 | boorkolom - paleosol | digitaal (*.JPEG) | KE FOTO'S/02KOEB EMMABAAN/01 KOEB Boringen/02 Paleosol/14 |
| KOEB P 14 04 1195 | 14 | 04 | boorkolom - paleosol | digitaal (*.JPEG) | KE FOTO'S/02KOEB EMMABAAN/01 KOEB Boringen/02 Paleosol/14 |
| KOEB P 14 04 1196 | 14 | 04 | boorkolom - paleosol | digitaal (*.JPEG) | KE FOTO'S/02KOEB EMMABAAN/01 KOEB Boringen/02 Paleosol/14 |
| KOEB P 14 05 1198 | 14 | 05 | boorkolom - paleosol | digitaal (*.JPEG) | KE FOTO'S/02KOEB EMMABAAN/01 KOEB Boringen/02 Paleosol/14 |
| KOEB P 14 05 1199 | 14 | 05 | boorkolom - paleosol | digitaal (*.JPEG) | KE FOTO'S/02KOEB EMMABAAN/01 KOEB Boringen/02 Paleosol/14 |
| KOEB P 14 05 1200 | 14 | 05 | boorkolom - paleosol | digitaal (*.JPEG) | KE FOTO'S/02KOEB EMMABAAN/01 KOEB Boringen/02 Paleosol/14 |
| KOEB P 14 05 1202 | 14 | 05 | boorkolom - paleosol | digitaal (*.JPEG) | KE FOTO'S/02KOEB EMMABAAN/01 KOEB Boringen/02 Paleosol/14 |
| KOEB P 14 05 1203 | 14 | 05 | boorkolom - paleosol | digitaal (*.JPEG) | KE FOTO'S/02KOEB EMMABAAN/01 KOEB Boringen/02 Paleosol/14 |
| KOEB P 14 06 1207 | 14 | 06 | boorkolom - paleosol | digitaal (*.JPEG) | KE FOTO'S/02KOEB EMMABAAN/01 KOEB Boringen/02 Paleosol/14 |
| KOEB P 14 06 1208 | 14 | 06 | boorkolom - paleosol | digitaal (*.JPEG) | KE FOTO'S/02KOEB EMMABAAN/01 KOEB Boringen/02 Paleosol/14 |
| KOEB P 14 07 1212 | 14 | 07 | boorkolom - paleosol | digitaal (*.JPEG) | KE FOTO'S/02KOEB EMMABAAN/01 KOEB Boringen/02 Paleosol/14 |
| KOEB P 14 08 1215 | 14 | 08 | boorkolom - paleosol | digitaal (*.JPEG) | KE FOTO'S/02KOEB EMMABAAN/01 KOEB Boringen/02 Paleosol/14 |
| KOEB P 14 08 1216 | 14 | 08 | boorkolom - paleosol | digitaal (*.JPEG) | KE FOTO'S/02KOEB EMMABAAN/01 KOEB Boringen/02 Paleosol/14 |
| KOEB P 14 08 1217 | 14 | 08 | boorkolom - paleosol | digitaal (*.JPEG) | KE FOTO'S/02KOEB EMMABAAN/01 KOEB Boringen/02 Paleosol/14 |
| KOEB P 14 11 0007 | 14 | 11 | boorkolom - paleosol | digitaal (*.JPEG) | KE FOTO'S/02KOEB EMMABAAN/01 KOEB Boringen/02 Paleosol/14 |
| KOEB P 14 11 0008 | 14 | 11 | boorkolom - paleosol | digitaal (*.JPEG) | KE FOTO'S/02KOEB EMMABAAN/01 KOEB Boringen/02 Paleosol/14 |
| KOEB P 14 13 0004 | 14 | 13 | boorkolom - paleosol | digitaal (*.JPEG) | KE FOTO'S/02KOEB EMMABAAN/01 KOEB Boringen/02 Paleosol/14 |
| KOEB P 14 14 0002 | 14 | 14 | boorkolom - paleosol | digitaal (*.JPEG) | KE FOTO'S/02KOEB EMMABAAN/01 KOEB Boringen/02 Paleosol/14 |
| KOEB P 15 01 0012 | 15 | 01 | boorkolom - paleosol | digitaal (*.JPEG) | KE FOTO'S/02KOEB EMMABAAN/01 KOEB Boringen/02 Paleosol/15 |
| KOEB P 15 02 0014 | 15 | 02 | boorkolom - paleosol | digitaal (*.JPEG) | KE FOTO'S/02KOEB EMMABAAN/01 KOEB Boringen/02 Paleosol/15 |
| KOEB P 15 03 0016 | 15 | 03 | boorkolom - paleosol | digitaal (*.JPEG) | KE FOTO'S/02KOEB EMMABAAN/01 KOEB Boringen/02 Paleosol/15 |
| KOEB P 15 04 0018 | 15 | 04 | boorkolom - paleosol | digitaal (*.JPEG) | KE FOTO'S/02KOEB EMMABAAN/01 KOEB Boringen/02 Paleosol/15 |
| KOEB P 15 05 0020 | 15 | 05 | boorkolom - paleosol | digitaal (*.JPEG) | KE FOTO'S/02KOEB EMMABAAN/01 KOEB Boringen/02 Paleosol/15 |
| KOEB P 15 07 0023 | 15 | 07 | boorkolom - paleosol | digitaal (*.JPEG) | KE FOTO'S/02KOEB EMMABAAN/01 KOEB Boringen/02 Paleosol/15 |
| KOEB P 15 07 0024 | 15 | 07 | boorkolom - paleosol | digitaal (*.JPEG) | KE FOTO'S/02KOEB EMMABAAN/01 KOEB Boringen/02 Paleosol/15 |
| KOEB P 15 08 1235 | 15 | 08 | boorkolom - paleosol | digitaal (*.JPEG) | KE FOTO'S/02KOEB EMMABAAN/01 KOEB Boringen/02 Paleosol/15 |
| KOEB P 15 08 1236 | 15 | 08 | boorkolom - paleosol | digitaal (*.JPEG) | KE FOTO'S/02KOEB EMMABAAN/01 KOEB Boringen/02 Paleosol/15 |
| KOEB P 15 09 1232 | 15 | 09 | boorkolom - paleosol | digitaal (*.JPEG) | KE FOTO'S/02KOEB EMMABAAN/01 KOEB Boringen/02 Paleosol/15 |
| KOEB P 15 09 1233 | 15 | 09 | boorkolom - paleosol | digitaal (*.JPEG) | KE FOTO'S/02KOEB EMMABAAN/01 KOEB Boringen/02 Paleosol/15 |
| KOEB P 15 11 1229 | 15 | 11 | boorkolom - paleosol | digitaal (*.JPEG) | KE FOTO'S/02KOEB EMMABAAN/01 KOEB Boringen/02 Paleosol/15 |
| KOEB P 15 11 1230 | 15 | 11 | boorkolom - paleosol | digitaal (*.JPEG) | KE FOTO'S/02KOEB EMMABAAN/01 KOEB Boringen/02 Paleosol/15 |
| KOEB P 15 13 1224 | 15 | 13 | boorkolom - paleosol | digitaal (*.JPEG) | KE FOTO'S/02KOEB EMMABAAN/01 KOEB Boringen/02 Paleosol/15 |
| KOEB P 15 13 1225 | 15 | 13 | boorkolom - paleosol | digitaal (*.JPEG) | KE FOTO'S/02KOEB EMMABAAN/01 KOEB Boringen/02 Paleosol/15 |
| KOEB P 15 13 1226 | 15 | 13 | boorkolom - paleosol | digitaal (*.JPEG) | KE FOTO'S/02KOEB EMMABAAN/01 KOEB Boringen/02 Paleosol/15 |
| KOEB P 15 14 1222 | 15 | 14 | boorkolom - paleosol | digitaal (*.JPEG) | KE FOTO'S/02KOEB EMMABAAN/01 KOEB Boringen/02 Paleosol/15 |
| KOEB P 15 15 1219 | 15 | 15 | boorkolom - paleosol | digitaal (*.JPEG) | KE FOTO'S/02KOEB EMMABAAN/01 KOEB Boringen/02 Paleosol/15 |
| KOEB P 15 15 1220 | 15 | 15 | boorkolom - paleosol | digitaal (*.JPEG) | KE FOTO'S/02KOEB EMMABAAN/01 KOEB Boringen/02 Paleosol/15 |
| KOEB P 16 02 0027 | 16 | 02 | boorkolom - paleosol | digitaal (*.JPEG) | KE FOTO'S/02KOEB EMMABAAN/01 KOEB Boringen/02 Paleosol/16 |
| KOEB P 16 02 0028 | 16 | 02 | boorkolom - paleosol | digitaal (*.JPEG) | KE FOTO'S/02KOEB EMMABAAN/01 KOEB Boringen/02 Paleosol/16 |

| FOTONUMMER | BOORRAAI | BOORNUMMER | ONDERWERP | DIGITAAL OF GEDIGITALISEERD | LOCATIE OP DVD |
|---|---|---|---|---|---|
| KOEB P 16 03 0030 | 16 | 03 | boorkolom - paleosol | digitaal (*.JPEG) | KE FOTO'S/02KOEB EMMABAAN/01 KOEB Boringen/02 Paleosol/16 |
| KOEB P 16 04 0034 | 16 | 04 | boorkolom - paleosol | digitaal (*.JPEG) | KE FOTO'S/02KOEB EMMABAAN/01 KOEB Boringen/02 Paleosol/16 |
| KOEB P 16 05 0035 | 16 | 05 | boorkolom - paleosol | digitaal (*.JPEG) | KE FOTO'S/02KOEB EMMABAAN/01 KOEB Boringen/02 Paleosol/16 |
| KOEB P 16 06 0038 | 16 | 06 | boorkolom - paleosol | digitaal (*.JPEG) | KE FOTO'S/02KOEB EMMABAAN/01 KOEB Boringen/02 Paleosol/16 |
| KOEB P 16 07 0040 | 16 | 07 | boorkolom - paleosol | digitaal (*.JPEG) | KE FOTO'S/02KOEB EMMABAAN/01 KOEB Boringen/02 Paleosol/16 |
| KOEB P 16 08 1259 | 16 | 08 | boorkolom - paleosol | digitaal (*.JPEG) | KE FOTO'S/02KOEB EMMABAAN/01 KOEB Boringen/02 Paleosol/16 |
| KOEB P 16 09 1256 | 16 | 09 | boorkolom - paleosol | digitaal (*.JPEG) | KE FOTO'S/02KOEB EMMABAAN/01 KOEB Boringen/02 Paleosol/16 |
| KOEB P 16 09 1257 | 16 | 09 | boorkolom - paleosol | digitaal (*.JPEG) | KE FOTO'S/02KOEB EMMABAAN/01 KOEB Boringen/02 Paleosol/16 |
| KOEB P 16 10 1254 | 16 | 10 | boorkolom - paleosol | digitaal (*.JPEG) | KE FOTO'S/02KOEB EMMABAAN/01 KOEB Boringen/02 Paleosol/16 |
| KOEB P 16 11 1252 | 16 | 11 | boorkolom - paleosol | digitaal (*.JPEG) | KE FOTO'S/02KOEB EMMABAAN/01 KOEB Boringen/02 Paleosol/16 |
| KOEB P 16 12 1246 | 16 | 12 | boorkolom - paleosol | digitaal (*.JPEG) | KE FOTO'S/02KOEB EMMABAAN/01 KOEB Boringen/02 Paleosol/16 |
| KOEB P 16 13 1240 | 16 | 13 | boorkolom - paleosol | digitaal (*.JPEG) | KE FOTO'S/02KOEB EMMABAAN/01 KOEB Boringen/02 Paleosol/16 |
| KOEB P 16 13 1241 | 16 | 13 | boorkolom - paleosol | digitaal (*.JPEG) | KE FOTO'S/02KOEB EMMABAAN/01 KOEB Boringen/02 Paleosol/16 |
| KOEB P 16 14 1238 | 16 | 14 | boorkolom - paleosol | digitaal (*.JPEG) | KE FOTO'S/02KOEB EMMABAAN/01 KOEB Boringen/02 Paleosol/16 |
| KOEB P 17 01 0042 | 17 | 01 | boorkolom - paleosol | digitaal (*.JPEG) | KE FOTO'S/02KOEB EMMABAAN/01 KOEB Boringen/02 Paleosol/17 |
| KOEB P 17 02 0044 | 17 | 02 | boorkolom - paleosol | digitaal (*.JPEG) | KE FOTO'S/02KOEB EMMABAAN/01 KOEB Boringen/02 Paleosol/17 |
| KOEB P 17 03 0046 | 17 | 03 | boorkolom - paleosol | digitaal (*.JPEG) | KE FOTO'S/02KOEB EMMABAAN/01 KOEB Boringen/02 Paleosol/17 |
| KOEB P 17 05 0049 | 17 | 05 | boorkolom - paleosol | digitaal (*.JPEG) | KE FOTO'S/02KOEB EMMABAAN/01 KOEB Boringen/02 Paleosol/17 |
| KOEB P 17 05 0050 | 17 | 05 | boorkolom - paleosol | digitaal (*.JPEG) | KE FOTO'S/02KOEB EMMABAAN/01 KOEB Boringen/02 Paleosol/17 |
| KOEB P 17 06 0052 | 17 | 06 | boorkolom - paleosol | digitaal (*.JPEG) | KE FOTO'S/02KOEB EMMABAAN/01 KOEB Boringen/02 Paleosol/17 |
| KOEB P 17 10 0058 | 17 | 10 | boorkolom - paleosol | digitaal (*.JPEG) | KE FOTO'S/02KOEB EMMABAAN/01 KOEB Boringen/02 Paleosol/17 |
| KOEB P 17 10 0059 | 17 | 10 | boorkolom - paleosol | digitaal (*.JPEG) | KE FOTO'S/02KOEB EMMABAAN/01 KOEB Boringen/02 Paleosol/17 |
| KOEB P 17 11 1301 | 17 | 11 | boorkolom - paleosol | digitaal (*.JPEG) | KE FOTO'S/02KOEB EMMABAAN/01 KOEB Boringen/02 Paleosol/17 |
| KOEB P 17 12 1298 | 17 | 12 | boorkolom - paleosol | digitaal (*.JPEG) | KE FOTO'S/02KOEB EMMABAAN/01 KOEB Boringen/02 Paleosol/17 |
| KOEB P 17 12 1299 | 17 | 12 | boorkolom - paleosol | digitaal (*.JPEG) | KE FOTO'S/02KOEB EMMABAAN/01 KOEB Boringen/02 Paleosol/17 |
| KOEB P 17 13 1292 | 17 | 13 | boorkolom - paleosol | digitaal (*.JPEG) | KE FOTO'S/02KOEB EMMABAAN/01 KOEB Boringen/02 Paleosol/17 |
| KOEB P 17 14 1289 | 17 | 14 | boorkolom - paleosol | digitaal (*.JPEG) | KE FOTO'S/02KOEB EMMABAAN/01 KOEB Boringen/02 Paleosol/17 |
| KOEB P 17 15 1286 | 17 | 15 | boorkolom - paleosol | digitaal (*.JPEG) | KE FOTO'S/02KOEB EMMABAAN/01 KOEB Boringen/02 Paleosol/17 |
| KOEB P 17 15 1287 | 17 | 15 | boorkolom - paleosol | digitaal (*.JPEG) | KE FOTO'S/02KOEB EMMABAAN/01 KOEB Boringen/02 Paleosol/17 |
| KOEB P 17 16 1278 | 17 | 16 | boorkolom - paleosol | digitaal (*.JPEG) | KE FOTO'S/02KOEB EMMABAAN/01 KOEB Boringen/02 Paleosol/17 |
| KOEB P 17 17 1275 | 17 | 17 | boorkolom - paleosol | digitaal (*.JPEG) | KE FOTO'S/02KOEB EMMABAAN/01 KOEB Boringen/02 Paleosol/17 |
| KOEB P 17 18 1272 | 17 | 18 | boorkolom - paleosol | digitaal (*.JPEG) | KE FOTO'S/02KOEB EMMABAAN/01 KOEB Boringen/02 Paleosol/17 |
| KOEB P 17 19 1268 | 17 | 19 | boorkolom - paleosol | digitaal (*.JPEG) | KE FOTO'S/02KOEB EMMABAAN/01 KOEB Boringen/02 Paleosol/17 |
| KOEB P 17 19 1269 | 17 | 19 | boorkolom - paleosol | digitaal (*.JPEG) | KE FOTO'S/02KOEB EMMABAAN/01 KOEB Boringen/02 Paleosol/17 |
| KOEB P 18 01 0061 | 18 | 01 | boorkolom - paleosol | digitaal (*.JPEG) | KE FOTO'S/02KOEB EMMABAAN/01 KOEB Boringen/02 Paleosol/18 |
| KOEB P 18 02 0063 | 18 | 02 | boorkolom - paleosol | digitaal (*.JPEG) | KE FOTO'S/02KOEB EMMABAAN/01 KOEB Boringen/02 Paleosol/18 |
| KOEB P 18 03 0065 | 18 | 03 | boorkolom - paleosol | digitaal (*.JPEG) | KE FOTO'S/02KOEB EMMABAAN/01 KOEB Boringen/02 Paleosol/18 |
| KOEB P 18 05 0068 | 18 | 05 | boorkolom - paleosol | digitaal (*.JPEG) | KE FOTO'S/02KOEB EMMABAAN/01 KOEB Boringen/02 Paleosol/18 |
| KOEB P 18 06 0070 | 18 | 06 | boorkolom - paleosol | digitaal (*.JPEG) | KE FOTO'S/02KOEB EMMABAAN/01 KOEB Boringen/02 Paleosol/18 |
| KOEB P 18 07 0072 | 18 | 07 | boorkolom - paleosol | digitaal (*.JPEG) | KE FOTO'S/02KOEB EMMABAAN/01 KOEB Boringen/02 Paleosol/18 |
| KOEB P 18 16 1315 | 18 | 16 | boorkolom - paleosol | digitaal (*.JPEG) | KE FOTO'S/02KOEB EMMABAAN/01 KOEB Boringen/02 Paleosol/18 |
| KOEB P 18 16 1316 | 18 | 16 | boorkolom - paleosol | digitaal (*.JPEG) | KE FOTO'S/02KOEB EMMABAAN/01 KOEB Boringen/02 Paleosol/18 |
| KOEB P 18 17 1309 | 18 | 17 | boorkolom - paleosol | digitaal (*.JPEG) | KE FOTO'S/02KOEB EMMABAAN/01 KOEB Boringen/02 Paleosol/18 |
| KOEB P 18 17 1310 | 18 | 17 | boorkolom - paleosol | digitaal (*.JPEG) | KE FOTO'S/02KOEB EMMABAAN/01 KOEB Boringen/02 Paleosol/18 |
| KOEB P 18 17 1311 | 18 | 17 | boorkolom - paleosol | digitaal (*.JPEG) | KE FOTO'S/02KOEB EMMABAAN/01 KOEB Boringen/02 Paleosol/18 |
| KOEB P 18 17 1312 | 18 | 17 | boorkolom - paleosol | digitaal (*.JPEG) | KE FOTO'S/02KOEB EMMABAAN/01 KOEB Boringen/02 Paleosol/18 |
| KOEB P 18 18 1306 | 18 | 18 | boorkolom - paleosol | digitaal (*.JPEG) | KE FOTO'S/02KOEB EMMABAAN/01 KOEB Boringen/02 Paleosol/18 |
| KOEB P 18 18 1307 | 18 | 18 | boorkolom - paleosol | digitaal (*.JPEG) | KE FOTO'S/02KOEB EMMABAAN/01 KOEB Boringen/02 Paleosol/18 |
| KOEB P 18 19 1304 | 18 | 19 | boorkolom - paleosol | digitaal (*.JPEG) | KE FOTO'S/02KOEB EMMABAAN/01 KOEB Boringen/02 Paleosol/18 |
| KOEB P 19 02 0077 | 19 | 02 | boorkolom - paleosol | digitaal (*.JPEG) | KE FOTO'S/02KOEB EMMABAAN/01 KOEB Boringen/02 Paleosol/19 |
| KOEB P 19 04 0080 | 19 | 04 | boorkolom - paleosol | digitaal (*.JPEG) | KE FOTO'S/02KOEB EMMABAAN/01 KOEB Boringen/02 Paleosol/19 |
| KOEB P 19 05 0082 | 19 | 05 | boorkolom - paleosol | digitaal (*.JPEG) | KE FOTO'S/02KOEB EMMABAAN/01 KOEB Boringen/02 Paleosol/19 |
| KOEB P 19 06 0084 | 19 | 06 | boorkolom - paleosol | digitaal (*.JPEG) | KE FOTO'S/02KOEB EMMABAAN/01 KOEB Boringen/02 Paleosol/19 |
| KOEB P 19 07 0086 | 19 | 07 | boorkolom - paleosol | digitaal (*.JPEG) | KE FOTO'S/02KOEB EMMABAAN/01 KOEB Boringen/02 Paleosol/19 |
| KOEB P 19 11 1361 | 19 | 11 | boorkolom - paleosol | digitaal (*.JPEG) | KE FOTO'S/02KOEB EMMABAAN/01 KOEB Boringen/02 Paleosol/19 |
| KOEB P 19 11 1366 | 19 | 11 | boorkolom - paleosol | digitaal (*.JPEG) | KE FOTO'S/02KOEB EMMABAAN/01 KOEB Boringen/02 Paleosol/19 |
| KOEB P 19 11 1367 | 19 | 11 | boorkolom - paleosol | digitaal (*.JPEG) | KE FOTO'S/02KOEB EMMABAAN/01 KOEB Boringen/02 Paleosol/19 |
| KOEB P 19 11 1368 | 19 | 11 | boorkolom - paleosol | digitaal (*.JPEG) | KE FOTO'S/02KOEB EMMABAAN/01 KOEB Boringen/02 Paleosol/19 |
| KOEB P 19 11 1369 | 19 | 11 | boorkolom - paleosol | digitaal (*.JPEG) | KE FOTO'S/02KOEB EMMABAAN/01 KOEB Boringen/02 Paleosol/19 |
| KOEB P 19 12 1354 | 19 | 12 | boorkolom - paleosol | digitaal (*.JPEG) | KE FOTO'S/02KOEB EMMABAAN/01 KOEB Boringen/02 Paleosol/19 |
| KOEB P 19 12 1355 | 19 | 12 | boorkolom - paleosol | digitaal (*.JPEG) | KE FOTO'S/02KOEB EMMABAAN/01 KOEB Boringen/02 Paleosol/19 |
| KOEB P 19 12 1356 | 19 | 12 | boorkolom - paleosol | digitaal (*.JPEG) | KE FOTO'S/02KOEB EMMABAAN/01 KOEB Boringen/02 Paleosol/19 |
| KOEB P 19 14 1347 | 19 | 14 | boorkolom - paleosol | digitaal (*.JPEG) | KE FOTO'S/02KOEB EMMABAAN/01 KOEB Boringen/02 Paleosol/19 |
| KOEB P 19 16 1342 | 19 | 16 | boorkolom - paleosol | digitaal (*.JPEG) | KE FOTO'S/02KOEB EMMABAAN/01 KOEB Boringen/02 Paleosol/19 |
| KOEB P 19 16 1343 | 19 | 16 | boorkolom - paleosol | digitaal (*.JPEG) | KE FOTO'S/02KOEB EMMABAAN/01 KOEB Boringen/02 Paleosol/19 |
| KOEB P 19 17 1337 | 19 | 17 | boorkolom - paleosol | digitaal (*.JPEG) | KE FOTO'S/02KOEB EMMABAAN/01 KOEB Boringen/02 Paleosol/19 |
| KOEB P 19 17 1338 | 19 | 17 | boorkolom - paleosol | digitaal (*.JPEG) | KE FOTO'S/02KOEB EMMABAAN/01 KOEB Boringen/02 Paleosol/19 |

| FOTONUMMER | BOORRAAI | BOORNUMMER | ONDERWERP | DIGITAAL OF GEDIGITALISEERD | LOCATIE OP DVD |
|---|---|---|---|---|---|
| KOEB P 19 18 1335 | 19 | 18 | boorkolom - paleosol | digitaal (*.JPEG) | KE FOTO'S/02KOEB EMMABAAN/01 KOEB Boringen/02 Paleosol/19 |
| KOEB P 19 19 1327 | 19 | 19 | boorkolom - paleosol | digitaal (*.JPEG) | KE FOTO'S/02KOEB EMMABAAN/01 KOEB Boringen/02 Paleosol/19 |
| KOEB P 19 19 1328 | 19 | 19 | boorkolom - paleosol | digitaal (*.JPEG) | KE FOTO'S/02KOEB EMMABAAN/01 KOEB Boringen/02 Paleosol/19 |
| KOEB P 19 19 1329 | 19 | 19 | boorkolom - paleosol | digitaal (*.JPEG) | KE FOTO'S/02KOEB EMMABAAN/01 KOEB Boringen/02 Paleosol/19 |
| KOEB P 19 19 1330 | 19 | 19 | boorkolom - paleosol | digitaal (*.JPEG) | KE FOTO'S/02KOEB EMMABAAN/01 KOEB Boringen/02 Paleosol/19 |
| KOEB P 19 19 1331 | 19 | 19 | boorkolom - paleosol | digitaal (*.JPEG) | KE FOTO'S/02KOEB EMMABAAN/01 KOEB Boringen/02 Paleosol/19 |
| KOEB P 19 19 1332 | 19 | 19 | boorkolom - paleosol | digitaal (*.JPEG) | KE FOTO'S/02KOEB EMMABAAN/01 KOEB Boringen/02 Paleosol/19 |
| KOEB P 19 19 1333 | 19 | 19 | boorkolom - paleosol | digitaal (*.JPEG) | KE FOTO'S/02KOEB EMMABAAN/01 KOEB Boringen/02 Paleosol/19 |
| KOEB P 20 01 0092 | 20 | 01 | boorkolom - paleosol | digitaal (*.JPEG) | KE FOTO'S/02KOEB EMMABAAN/01 KOEB Boringen/02 Paleosol/20 |
| KOEB P 20 02 1371 | 20 | 02 | boorkolom - paleosol | digitaal (*.JPEG) | KE FOTO'S/02KOEB EMMABAAN/01 KOEB Boringen/02 Paleosol/20 |
| KOEB P 20 03 0094 | 20 | 03 | boorkolom - paleosol | digitaal (*.JPEG) | KE FOTO'S/02KOEB EMMABAAN/01 KOEB Boringen/02 Paleosol/20 |
| KOEB P 20 04 1374 | 20 | 04 | boorkolom - paleosol | digitaal (*.JPEG) | KE FOTO'S/02KOEB EMMABAAN/01 KOEB Boringen/02 Paleosol/20 |
| KOEB P 20 05 0096 | 20 | 05 | boorkolom - paleosol | digitaal (*.JPEG) | KE FOTO'S/02KOEB EMMABAAN/01 KOEB Boringen/02 Paleosol/20 |
| KOEB P 20 06 1378 | 20 | 06 | boorkolom - paleosol | digitaal (*.JPEG) | KE FOTO'S/02KOEB EMMABAAN/01 KOEB Boringen/02 Paleosol/20 |
| KOEB P 20 07 0098 | 20 | 07 | boorkolom - paleosol | digitaal (*.JPEG) | KE FOTO'S/02KOEB EMMABAAN/01 KOEB Boringen/02 Paleosol/20 |
| KOEB P 20 07 0099 | 20 | 07 | boorkolom - paleosol | digitaal (*.JPEG) | KE FOTO'S/02KOEB EMMABAAN/01 KOEB Boringen/02 Paleosol/20 |
| KOEB P 20 08 1380 | 20 | 08 | boorkolom - paleosol | digitaal (*.JPEG) | KE FOTO'S/02KOEB EMMABAAN/01 KOEB Boringen/02 Paleosol/20 |
| KOEB P 20 09 1382 | 20 | 09 | boorkolom - paleosol | digitaal (*.JPEG) | KE FOTO'S/02KOEB EMMABAAN/01 KOEB Boringen/02 Paleosol/20 |
| KOEB P 20 10 1386 | 20 | 10 | boorkolom - paleosol | digitaal (*.JPEG) | KE FOTO'S/02KOEB EMMABAAN/01 KOEB Boringen/02 Paleosol/20 |
| KOEB P 20 10 1387 | 20 | 10 | boorkolom - paleosol | digitaal (*.JPEG) | KE FOTO'S/02KOEB EMMABAAN/01 KOEB Boringen/02 Paleosol/20 |
| KOEB P 20 11 0114 | 20 | 11 | boorkolom - paleosol | digitaal (*.JPEG) | KE FOTO'S/02KOEB EMMABAAN/01 KOEB Boringen/02 Paleosol/20 |
| KOEB P 20 12 1390 | 20 | 12 | boorkolom - paleosol | digitaal (*.JPEG) | KE FOTO'S/02KOEB EMMABAAN/01 KOEB Boringen/02 Paleosol/20 |
| KOEB P 20 13 0116 | 20 | 13 | boorkolom - paleosol | digitaal (*.JPEG) | KE FOTO'S/02KOEB EMMABAAN/01 KOEB Boringen/02 Paleosol/20 |
| KOEB P 20 14 1394 | 20 | 14 | boorkolom - paleosol | digitaal (*.JPEG) | KE FOTO'S/02KOEB EMMABAAN/01 KOEB Boringen/02 Paleosol/20 |
| KOEB P 20 15 0118 | 20 | 15 | boorkolom - paleosol | digitaal (*.JPEG) | KE FOTO'S/02KOEB EMMABAAN/01 KOEB Boringen/02 Paleosol/20 |
| KOEB P 20 15 0119 | 20 | 15 | boorkolom - paleosol | digitaal (*.JPEG) | KE FOTO'S/02KOEB EMMABAAN/01 KOEB Boringen/02 Paleosol/20 |
| KOEB P 20 16 1399 | 20 | 16 | boorkolom - paleosol | digitaal (*.JPEG) | KE FOTO'S/02KOEB EMMABAAN/01 KOEB Boringen/02 Paleosol/20 |
| KOEB P 20 18 1401 | 20 | 18 | boorkolom - paleosol | digitaal (*.JPEG) | KE FOTO'S/02KOEB EMMABAAN/01 KOEB Boringen/02 Paleosol/20 |
| KOEB P 20 18 1402 | 20 | 18 | boorkolom - paleosol | digitaal (*.JPEG) | KE FOTO'S/02KOEB EMMABAAN/01 KOEB Boringen/02 Paleosol/20 |
| KOEB P 20 18 1403 | 20 | 18 | boorkolom - paleosol | digitaal (*.JPEG) | KE FOTO'S/02KOEB EMMABAAN/01 KOEB Boringen/02 Paleosol/20 |
| KOEB P 20 18 1404 | 20 | 18 | boorkolom - paleosol | digitaal (*.JPEG) | KE FOTO'S/02KOEB EMMABAAN/01 KOEB Boringen/02 Paleosol/20 |
| KOEB P 20 19 0122 | 20 | 19 | boorkolom - paleosol | digitaal (*.JPEG) | KE FOTO'S/02KOEB EMMABAAN/01 KOEB Boringen/02 Paleosol/20 |
| KOEB P 20 19 0123 | 20 | 19 | boorkolom - paleosol | digitaal (*.JPEG) | KE FOTO'S/02KOEB EMMABAAN/01 KOEB Boringen/02 Paleosol/20 |
| KOEB P 20 19 0124 | 20 | 19 | boorkolom - paleosol | digitaal (*.JPEG) | KE FOTO'S/02KOEB EMMABAAN/01 KOEB Boringen/02 Paleosol/20 |
| KOEB P 20 19 0125 | 20 | 19 | boorkolom - paleosol | digitaal (*.JPEG) | KE FOTO'S/02KOEB EMMABAAN/01 KOEB Boringen/02 Paleosol/20 |
| KOEB P 20 19 0126 | 20 | 19 | boorkolom - paleosol | digitaal (*.JPEG) | KE FOTO'S/02KOEB EMMABAAN/01 KOEB Boringen/02 Paleosol/20 |
| KOEB P 20 20 1406 | 20 | 20 | boorkolom - paleosol | digitaal (*.JPEG) | KE FOTO'S/02KOEB EMMABAAN/01 KOEB Boringen/02 Paleosol/20 |
| KOEB P 20 20 1407 | 20 | 20 | boorkolom - paleosol | digitaal (*.JPEG) | KE FOTO'S/02KOEB EMMABAAN/01 KOEB Boringen/02 Paleosol/20 |
| KOEB P 20 20 1408 | 20 | 20 | boorkolom - paleosol | digitaal (*.JPEG) | KE FOTO'S/02KOEB EMMABAAN/01 KOEB Boringen/02 Paleosol/20 |
| KOEB P 20 20 1409 | 20 | 20 | boorkolom - paleosol | digitaal (*.JPEG) | KE FOTO'S/02KOEB EMMABAAN/01 KOEB Boringen/02 Paleosol/20 |
| KOEB P 20 20 1410 | 20 | 20 | boorkolom - paleosol | digitaal (*.JPEG) | KE FOTO'S/02KOEB EMMABAAN/01 KOEB Boringen/02 Paleosol/20 |
| KOEB P 21 02 1412 | 21 | 02 | boorkolom - paleosol | digitaal (*.JPEG) | KE FOTO'S/02KOEB EMMABAAN/01 KOEB Boringen/02 Paleosol/21 |
| KOEB P 21 02 1413 | 21 | 02 | boorkolom - paleosol | digitaal (*.JPEG) | KE FOTO'S/02KOEB EMMABAAN/01 KOEB Boringen/02 Paleosol/21 |
| KOEB P 21 03 0129 | 21 | 03 | boorkolom - paleosol | digitaal (*.JPEG) | KE FOTO'S/02KOEB EMMABAAN/01 KOEB Boringen/02 Paleosol/21 |
| KOEB P 21 03 0130 | 21 | 03 | boorkolom - paleosol | digitaal (*.JPEG) | KE FOTO'S/02KOEB EMMABAAN/01 KOEB Boringen/02 Paleosol/21 |
| KOEB P 21 04 1417 | 21 | 04 | boorkolom - paleosol | digitaal (*.JPEG) | KE FOTO'S/02KOEB EMMABAAN/01 KOEB Boringen/02 Paleosol/21 |
| KOEB P 21 04 1418 | 21 | 04 | boorkolom - paleosol | digitaal (*.JPEG) | KE FOTO'S/02KOEB EMMABAAN/01 KOEB Boringen/02 Paleosol/21 |
| KOEB P 21 05 0132 | 21 | 05 | boorkolom - paleosol | digitaal (*.JPEG) | KE FOTO'S/02KOEB EMMABAAN/01 KOEB Boringen/02 Paleosol/21 |
| KOEB P 21 06 1421 | 21 | 06 | boorkolom - paleosol | digitaal (*.JPEG) | KE FOTO'S/02KOEB EMMABAAN/01 KOEB Boringen/02 Paleosol/21 |
| KOEB P 21 07 0134 | 21 | 07 | boorkolom - paleosol | digitaal (*.JPEG) | KE FOTO'S/02KOEB EMMABAAN/01 KOEB Boringen/02 Paleosol/21 |
| KOEB P 21 08 1423 | 21 | 08 | boorkolom - paleosol | digitaal (*.JPEG) | KE FOTO'S/02KOEB EMMABAAN/01 KOEB Boringen/02 Paleosol/21 |
| KOEB P 21 09 0136 | 21 | 09 | boorkolom - paleosol | digitaal (*.JPEG) | KE FOTO'S/02KOEB EMMABAAN/01 KOEB Boringen/02 Paleosol/21 |
| KOEB P 21 09 0137 | 21 | 09 | boorkolom - paleosol | digitaal (*.JPEG) | KE FOTO'S/02KOEB EMMABAAN/01 KOEB Boringen/02 Paleosol/21 |
| KOEB P 21 11 0139 | 21 | 11 | boorkolom - paleosol | digitaal (*.JPEG) | KE FOTO'S/02KOEB EMMABAAN/01 KOEB Boringen/02 Paleosol/21 |
| KOEB P 21 11 0140 | 21 | 11 | boorkolom - paleosol | digitaal (*.JPEG) | KE FOTO'S/02KOEB EMMABAAN/01 KOEB Boringen/02 Paleosol/21 |
| KOEB P 21 11 0141 | 21 | 11 | boorkolom - paleosol | digitaal (*.JPEG) | KE FOTO'S/02KOEB EMMABAAN/01 KOEB Boringen/02 Paleosol/21 |
| KOEB P 21 12 1427 | 21 | 12 | boorkolom - paleosol | digitaal (*.JPEG) | KE FOTO'S/02KOEB EMMABAAN/01 KOEB Boringen/02 Paleosol/21 |
| KOEB P 21 12 1428 | 21 | 12 | boorkolom - paleosol | digitaal (*.JPEG) | KE FOTO'S/02KOEB EMMABAAN/01 KOEB Boringen/02 Paleosol/21 |
| KOEB P 21 13 0143 | 21 | 13 | boorkolom - paleosol | digitaal (*.JPEG) | KE FOTO'S/02KOEB EMMABAAN/01 KOEB Boringen/02 Paleosol/21 |
| KOEB P 21 14 1431 | 21 | 14 | boorkolom - paleosol | digitaal (*.JPEG) | KE FOTO'S/02KOEB EMMABAAN/01 KOEB Boringen/02 Paleosol/21 |
| KOEB P 21 14 1432 | 21 | 14 | boorkolom - paleosol | digitaal (*.JPEG) | KE FOTO'S/02KOEB EMMABAAN/01 KOEB Boringen/02 Paleosol/21 |
| KOEB P 21 15 0145 | 21 | 15 | boorkolom - paleosol | digitaal (*.JPEG) | KE FOTO'S/02KOEB EMMABAAN/01 KOEB Boringen/02 Paleosol/21 |
| KOEB P 21 16 1437 | 21 | 16 | boorkolom - paleosol | digitaal (*.JPEG) | KE FOTO'S/02KOEB EMMABAAN/01 KOEB Boringen/02 Paleosol/21 |
| KOEB P 21 16 1438 | 21 | 16 | boorkolom - paleosol | digitaal (*.JPEG) | KE FOTO'S/02KOEB EMMABAAN/01 KOEB Boringen/02 Paleosol/21 |
| KOEB P 21 17 0147 | 21 | 17 | boorkolom - paleosol | digitaal (*.JPEG) | KE FOTO'S/02KOEB EMMABAAN/01 KOEB Boringen/02 Paleosol/21 |
| KOEB P 21 17 0148 | 21 | 17 | boorkolom - paleosol | digitaal (*.JPEG) | KE FOTO'S/02KOEB EMMABAAN/01 KOEB Boringen/02 Paleosol/21 |
| KOEB P 21 17 0149 | 21 | 17 | boorkolom - paleosol | digitaal (*.JPEG) | KE FOTO'S/02KOEB EMMABAAN/01 KOEB Boringen/02 Paleosol/21 |

| FOTONUMMER | BOORRAAI | BOORNUMMER | ONDERWERP | DIGITAAL OF GEDIGITALISEERD | LOCATIE OP DVD |
|---|---|---|---|---|---|
| KOEB P 21 17 0150 | 21 | 17 | boorkolom - paleosol | digitaal (*.JPEG) | KE FOTO'S/02KOEB EMMABAAN/01 KOEB Boringen/02 Paleosol/21 |
| KOEB P 21 18 1441 | 21 | 18 | boorkolom - paleosol | digitaal (*.JPEG) | KE FOTO'S/02KOEB EMMABAAN/01 KOEB Boringen/02 Paleosol/21 |
| KOEB P 21 18 1442 | 21 | 18 | boorkolom - paleosol | digitaal (*.JPEG) | KE FOTO'S/02KOEB EMMABAAN/01 KOEB Boringen/02 Paleosol/21 |
| KOEB P 21 18 1443 | 21 | 18 | boorkolom - paleosol | digitaal (*.JPEG) | KE FOTO'S/02KOEB EMMABAAN/01 KOEB Boringen/02 Paleosol/21 |
| KOEB P 21 18 1444 | 21 | 18 | boorkolom - paleosol | digitaal (*.JPEG) | KE FOTO'S/02KOEB EMMABAAN/01 KOEB Boringen/02 Paleosol/21 |
| KOEB P 21 18 1445 | 21 | 18 | boorkolom - paleosol | digitaal (*.JPEG) | KE FOTO'S/02KOEB EMMABAAN/01 KOEB Boringen/02 Paleosol/21 |
| KOEB P 21 19 0152 | 21 | 19 | boorkolom - paleosol | digitaal (*.JPEG) | KE FOTO'S/02KOEB EMMABAAN/01 KOEB Boringen/02 Paleosol/21 |
| KOEB P 21 19 0153 | 21 | 19 | boorkolom - paleosol | digitaal (*.JPEG) | KE FOTO'S/02KOEB EMMABAAN/01 KOEB Boringen/02 Paleosol/21 |
| KOEB P 21 19 0154 | 21 | 19 | boorkolom - paleosol | digitaal (*.JPEG) | KE FOTO'S/02KOEB EMMABAAN/01 KOEB Boringen/02 Paleosol/21 |
| KOEB P 22 01 0156 | 22 | 01 | boorkolom - paleosol | digitaal (*.JPEG) | KE FOTO'S/02KOEB EMMABAAN/01 KOEB Boringen/02 Paleosol/22 |
| KOEB P 22 02 1447 | 22 | 02 | boorkolom - paleosol | digitaal (*.JPEG) | KE FOTO'S/02KOEB EMMABAAN/01 KOEB Boringen/02 Paleosol/22 |
| KOEB P 22 02 1448 | 22 | 02 | boorkolom - paleosol | digitaal (*.JPEG) | KE FOTO'S/02KOEB EMMABAAN/01 KOEB Boringen/02 Paleosol/22 |
| KOEB P 22 03 0158 | 22 | 03 | boorkolom - paleosol | digitaal (*.JPEG) | KE FOTO'S/02KOEB EMMABAAN/01 KOEB Boringen/02 Paleosol/22 |
| KOEB P 22 05 0160 | 22 | 05 | boorkolom - paleosol | digitaal (*.JPEG) | KE FOTO'S/02KOEB EMMABAAN/01 KOEB Boringen/02 Paleosol/22 |
| KOEB P 22 05 0161 | 22 | 05 | boorkolom - paleosol | digitaal (*.JPEG) | KE FOTO'S/02KOEB EMMABAAN/01 KOEB Boringen/02 Paleosol/22 |
| KOEB P 22 06 1452 | 22 | 06 | boorkolom - paleosol | digitaal (*.JPEG) | KE FOTO'S/02KOEB EMMABAAN/01 KOEB Boringen/02 Paleosol/22 |
| KOEB P 22 08 1454 | 22 | 08 | boorkolom - paleosol | digitaal (*.JPEG) | KE FOTO'S/02KOEB EMMABAAN/01 KOEB Boringen/02 Paleosol/22 |
| KOEB P 22 10 1456 | 22 | 10 | boorkolom - paleosol | digitaal (*.JPEG) | KE FOTO'S/02KOEB EMMABAAN/01 KOEB Boringen/02 Paleosol/22 |
| KOEB P 22 10 1457 | 22 | 10 | boorkolom - paleosol | digitaal (*.JPEG) | KE FOTO'S/02KOEB EMMABAAN/01 KOEB Boringen/02 Paleosol/22 |
| KOEB P 22 12 1462 | 22 | 12 | boorkolom - paleosol | digitaal (*.JPEG) | KE FOTO'S/02KOEB EMMABAAN/01 KOEB Boringen/02 Paleosol/22 |
| KOEB P 22 12 1463 | 22 | 12 | boorkolom - paleosol | digitaal (*.JPEG) | KE FOTO'S/02KOEB EMMABAAN/01 KOEB Boringen/02 Paleosol/22 |
| KOEB P 22 12 1464 | 22 | 12 | boorkolom - paleosol | digitaal (*.JPEG) | KE FOTO'S/02KOEB EMMABAAN/01 KOEB Boringen/02 Paleosol/22 |
| KOEB P 22 13 0165 | 22 | 13 | boorkolom - paleosol | digitaal (*.JPEG) | KE FOTO'S/02KOEB EMMABAAN/01 KOEB Boringen/02 Paleosol/22 |
| KOEB P 22 13 0166 | 22 | 13 | boorkolom - paleosol | digitaal (*.JPEG) | KE FOTO'S/02KOEB EMMABAAN/01 KOEB Boringen/02 Paleosol/22 |
| KOEB P 22 13 0167 | 22 | 13 | boorkolom - paleosol | digitaal (*.JPEG) | KE FOTO'S/02KOEB EMMABAAN/01 KOEB Boringen/02 Paleosol/22 |
| KOEB P 22 14 1466 | 22 | 14 | boorkolom - paleosol | digitaal (*.JPEG) | KE FOTO'S/02KOEB EMMABAAN/01 KOEB Boringen/02 Paleosol/22 |
| KOEB P 22 14 1467 | 22 | 14 | boorkolom - paleosol | digitaal (*.JPEG) | KE FOTO'S/02KOEB EMMABAAN/01 KOEB Boringen/02 Paleosol/22 |
| KOEB P 22 14 1468 | 22 | 14 | boorkolom - paleosol | digitaal (*.JPEG) | KE FOTO'S/02KOEB EMMABAAN/01 KOEB Boringen/02 Paleosol/22 |
| KOEB P 22 14 1469 | 22 | 14 | boorkolom - paleosol | digitaal (*.JPEG) | KE FOTO'S/02KOEB EMMABAAN/01 KOEB Boringen/02 Paleosol/22 |
| KOEB P 22 15 0169 | 22 | 15 | boorkolom - paleosol | digitaal (*.JPEG) | KE FOTO'S/02KOEB EMMABAAN/01 KOEB Boringen/02 Paleosol/22 |
| KOEB P 22 15 0170 | 22 | 15 | boorkolom - paleosol | digitaal (*.JPEG) | KE FOTO'S/02KOEB EMMABAAN/01 KOEB Boringen/02 Paleosol/22 |
| KOEB P 22 15 0171 | 22 | 15 | boorkolom - paleosol | digitaal (*.JPEG) | KE FOTO'S/02KOEB EMMABAAN/01 KOEB Boringen/02 Paleosol/22 |
| KOEB P 22 16 1471 | 22 | 16 | boorkolom - paleosol | digitaal (*.JPEG) | KE FOTO'S/02KOEB EMMABAAN/01 KOEB Boringen/02 Paleosol/22 |
| KOEB P 22 16 1472 | 22 | 16 | boorkolom - paleosol | digitaal (*.JPEG) | KE FOTO'S/02KOEB EMMABAAN/01 KOEB Boringen/02 Paleosol/22 |
| KOEB P 22 16 1473 | 22 | 16 | boorkolom - paleosol | digitaal (*.JPEG) | KE FOTO'S/02KOEB EMMABAAN/01 KOEB Boringen/02 Paleosol/22 |
| KOEB P 22 16 1474 | 22 | 16 | boorkolom - paleosol | digitaal (*.JPEG) | KE FOTO'S/02KOEB EMMABAAN/01 KOEB Boringen/02 Paleosol/22 |
| KOEB P 22 16 1475 | 22 | 16 | boorkolom - paleosol | digitaal (*.JPEG) | KE FOTO'S/02KOEB EMMABAAN/01 KOEB Boringen/02 Paleosol/22 |
| KOEB P 22 16 1476 | 22 | 16 | boorkolom - paleosol | digitaal (*.JPEG) | KE FOTO'S/02KOEB EMMABAAN/01 KOEB Boringen/02 Paleosol/22 |
| KOEB P 22 17 0173 | 22 | 17 | boorkolom - paleosol | digitaal (*.JPEG) | KE FOTO'S/02KOEB EMMABAAN/01 KOEB Boringen/02 Paleosol/22 |
| KOEB P 22 18 0174 | 22 | 18 | boorkolom - paleosol | digitaal (*.JPEG) | KE FOTO'S/02KOEB EMMABAAN/01 KOEB Boringen/02 Paleosol/22 |
| KOEB P 23 01 1478 | 23 | 01 | boorkolom - paleosol | digitaal (*.JPEG) | KE FOTO'S/02KOEB EMMABAAN/01 KOEB Boringen/02 Paleosol/23 |
| KOEB P 23 01 1479 | 23 | 01 | boorkolom - paleosol | digitaal (*.JPEG) | KE FOTO'S/02KOEB EMMABAAN/01 KOEB Boringen/02 Paleosol/23 |
| KOEB P 23 01 1480 | 23 | 01 | boorkolom - paleosol | digitaal (*.JPEG) | KE FOTO'S/02KOEB EMMABAAN/01 KOEB Boringen/02 Paleosol/23 |
| KOEB P 23 02 1482 | 23 | 02 | boorkolom - paleosol | digitaal (*.JPEG) | KE FOTO'S/02KOEB EMMABAAN/01 KOEB Boringen/02 Paleosol/23 |
| KOEB P 23 05 0177 | 23 | 05 | boorkolom - paleosol | digitaal (*.JPEG) | KE FOTO'S/02KOEB EMMABAAN/01 KOEB Boringen/02 Paleosol/23 |
| KOEB P 23 05 0178 | 23 | 05 | boorkolom - paleosol | digitaal (*.JPEG) | KE FOTO'S/02KOEB EMMABAAN/01 KOEB Boringen/02 Paleosol/23 |
| KOEB P 23 05 0179 | 23 | 05 | boorkolom - paleosol | digitaal (*.JPEG) | KE FOTO'S/02KOEB EMMABAAN/01 KOEB Boringen/02 Paleosol/23 |
| KOEB P 23 08 1486 | 23 | 08 | boorkolom - paleosol | digitaal (*.JPEG) | KE FOTO'S/02KOEB EMMABAAN/01 KOEB Boringen/02 Paleosol/23 |
| KOEB P 23 08 1487 | 23 | 08 | boorkolom - paleosol | digitaal (*.JPEG) | KE FOTO'S/02KOEB EMMABAAN/01 KOEB Boringen/02 Paleosol/23 |
| KOEB P 23 09 0182 | 23 | 09 | boorkolom - paleosol | digitaal (*.JPEG) | KE FOTO'S/02KOEB EMMABAAN/01 KOEB Boringen/02 Paleosol/23 |
| KOEB P 23 09 0183 | 23 | 09 | boorkolom - paleosol | digitaal (*.JPEG) | KE FOTO'S/02KOEB EMMABAAN/01 KOEB Boringen/02 Paleosol/23 |
| KOEB P 23 10 1490 | 23 | 10 | boorkolom - paleosol | digitaal (*.JPEG) | KE FOTO'S/02KOEB EMMABAAN/01 KOEB Boringen/02 Paleosol/23 |
| KOEB P 23 10 1494 | 23 | 10 | boorkolom - paleosol | digitaal (*.JPEG) | KE FOTO'S/02KOEB EMMABAAN/01 KOEB Boringen/02 Paleosol/23 |
| KOEB P 23 10 1495 | 23 | 10 | boorkolom - paleosol | digitaal (*.JPEG) | KE FOTO'S/02KOEB EMMABAAN/01 KOEB Boringen/02 Paleosol/23 |
| KOEB P 23 11 0185 | 23 | 11 | boorkolom - paleosol | digitaal (*.JPEG) | KE FOTO'S/02KOEB EMMABAAN/01 KOEB Boringen/02 Paleosol/23 |
| KOEB P 23 11 0186 | 23 | 11 | boorkolom - paleosol | digitaal (*.JPEG) | KE FOTO'S/02KOEB EMMABAAN/01 KOEB Boringen/02 Paleosol/23 |
| KOEB P 23 12 1497 | 23 | 12 | boorkolom - paleosol | digitaal (*.JPEG) | KE FOTO'S/02KOEB EMMABAAN/01 KOEB Boringen/02 Paleosol/23 |
| KOEB P 23 12 1498 | 23 | 12 | boorkolom - paleosol | digitaal (*.JPEG) | KE FOTO'S/02KOEB EMMABAAN/01 KOEB Boringen/02 Paleosol/23 |
| KOEB P 23 12 1499 | 23 | 12 | boorkolom - paleosol | digitaal (*.JPEG) | KE FOTO'S/02KOEB EMMABAAN/01 KOEB Boringen/02 Paleosol/23 |
| KOEB P 23 12 1500 | 23 | 12 | boorkolom - paleosol | digitaal (*.JPEG) | KE FOTO'S/02KOEB EMMABAAN/01 KOEB Boringen/02 Paleosol/23 |
| KOEB P 23 12 1501 | 23 | 12 | boorkolom - paleosol | digitaal (*.JPEG) | KE FOTO'S/02KOEB EMMABAAN/01 KOEB Boringen/02 Paleosol/23 |
| KOEB P 23 12 1502 | 23 | 12 | boorkolom - paleosol | digitaal (*.JPEG) | KE FOTO'S/02KOEB EMMABAAN/01 KOEB Boringen/02 Paleosol/23 |
| KOEB P 23 12 1503 | 23 | 12 | boorkolom - paleosol | digitaal (*.JPEG) | KE FOTO'S/02KOEB EMMABAAN/01 KOEB Boringen/02 Paleosol/23 |
| KOEB P 23 13 0188 | 23 | 13 | boorkolom - paleosol | digitaal (*.JPEG) | KE FOTO'S/02KOEB EMMABAAN/01 KOEB Boringen/02 Paleosol/23 |
| KOEB P 23 13 0189 | 23 | 13 | boorkolom - paleosol | digitaal (*.JPEG) | KE FOTO'S/02KOEB EMMABAAN/01 KOEB Boringen/02 Paleosol/23 |
| KOEB P 23 13 0190 | 23 | 13 | boorkolom - paleosol | digitaal (*.JPEG) | KE FOTO'S/02KOEB EMMABAAN/01 KOEB Boringen/02 Paleosol/23 |
| KOEB P 23 14 1506 | 23 | 14 | boorkolom - paleosol | digitaal (*.JPEG) | KE FOTO'S/02KOEB EMMABAAN/01 KOEB Boringen/02 Paleosol/23 |

| FOTONUMMER | BOORRAAI | BOORNUMMER | ONDERWERP | DIGITAAL OF GEDIGITALISEERD | LOCATIE OP DVD |
|---|---|---|---|---|---|
| KOEB P 23 14 1507 | 23 | 14 | boorkolom - paleosol | digitaal (*.JPEG) | KE FOTO'S/02KOEB EMMABAAN/01 KOEB Boringen/02 Paleosol/23 |
| KOEB P 23 15 0192 | 23 | 15 | boorkolom - paleosol | digitaal (*.JPEG) | KE FOTO'S/02KOEB EMMABAAN/01 KOEB Boringen/02 Paleosol/23 |
| KOEB P 23 15 0193 | 23 | 15 | boorkolom - paleosol | digitaal (*.JPEG) | KE FOTO'S/02KOEB EMMABAAN/01 KOEB Boringen/02 Paleosol/23 |
| KOEB P 23 15 0194 | 23 | 15 | boorkolom - paleosol | digitaal (*.JPEG) | KE FOTO'S/02KOEB EMMABAAN/01 KOEB Boringen/02 Paleosol/23 |
| KOEB P 23 16 1509 | 23 | 16 | boorkolom - paleosol | digitaal (*.JPEG) | KE FOTO'S/02KOEB EMMABAAN/01 KOEB Boringen/02 Paleosol/23 |
| KOEB P 23 16 1510 | 23 | 16 | boorkolom - paleosol | digitaal (*.JPEG) | KE FOTO'S/02KOEB EMMABAAN/01 KOEB Boringen/02 Paleosol/23 |
| KOEB P 23 16 1511 | 23 | 16 | boorkolom - paleosol | digitaal (*.JPEG) | KE FOTO'S/02KOEB EMMABAAN/01 KOEB Boringen/02 Paleosol/23 |
| KOEB P 23 16 1512 | 23 | 16 | boorkolom - paleosol | digitaal (*.JPEG) | KE FOTO'S/02KOEB EMMABAAN/01 KOEB Boringen/02 Paleosol/23 |
| KOEB P 23 16 1513 | 23 | 16 | boorkolom - paleosol | digitaal (*.JPEG) | KE FOTO'S/02KOEB EMMABAAN/01 KOEB Boringen/02 Paleosol/23 |
| KOEB P 23 16 1514 | 23 | 16 | boorkolom - paleosol | digitaal (*.JPEG) | KE FOTO'S/02KOEB EMMABAAN/01 KOEB Boringen/02 Paleosol/23 |
| KOEB P 23 17 0196 | 23 | 17 | boorkolom - paleosol | digitaal (*.JPEG) | KE FOTO'S/02KOEB EMMABAAN/01 KOEB Boringen/02 Paleosol/23 |
| KOEB P 23 17 0197 | 23 | 17 | boorkolom - paleosol | digitaal (*.JPEG) | KE FOTO'S/02KOEB EMMABAAN/01 KOEB Boringen/02 Paleosol/23 |
| KOEB P 24 01 1516 | 24 | 01 | boorkolom - paleosol | digitaal (*.JPEG) | KE FOTO'S/02KOEB EMMABAAN/01 KOEB Boringen/02 Paleosol/24 |
| KOEB P 24 02 0199 | 24 | 02 | boorkolom - paleosol | digitaal (*.JPEG) | KE FOTO'S/02KOEB EMMABAAN/01 KOEB Boringen/02 Paleosol/24 |
| KOEB P 24 03 1519 | 24 | 03 | boorkolom - paleosol | digitaal (*.JPEG) | KE FOTO'S/02KOEB EMMABAAN/01 KOEB Boringen/02 Paleosol/24 |
| KOEB P 24 03 1520 | 24 | 03 | boorkolom - paleosol | digitaal (*.JPEG) | KE FOTO'S/02KOEB EMMABAAN/01 KOEB Boringen/02 Paleosol/24 |
| KOEB P 24 05 1523 | 24 | 05 | boorkolom - paleosol | digitaal (*.JPEG) | KE FOTO'S/02KOEB EMMABAAN/01 KOEB Boringen/02 Paleosol/24 |
| KOEB P 24 05 1524 | 24 | 03 | boorkolom - paleosol | digitaal (*.JPEG) | KE FOTO'S/02KOEB EMMABAAN/01 KOEB Boringen/02 Paleosol/24 |
| KOEB P 24 06 0202 | 24 | 06 | boorkolom - paleosol | digitaal (*.JPEG) | KE FOTO'S/02KOEB EMMABAAN/01 KOEB Boringen/02 Paleosol/24 |
| KOEB P 24 07 1526 | 24 | 07 | boorkolom - paleosol | digitaal (*.JPEG) | KE FOTO'S/02KOEB EMMABAAN/01 KOEB Boringen/02 Paleosol/24 |
| KOEB P 24 08 0204 | 24 | 08 | boorkolom - paleosol | digitaal (*.JPEG) | KE FOTO'S/02KOEB EMMABAAN/01 KOEB Boringen/02 Paleosol/24 |
| KOEB P 24 09 1528 | 24 | 09 | boorkolom - paleosol | digitaal (*.JPEG) | KE FOTO'S/02KOEB EMMABAAN/01 KOEB Boringen/02 Paleosol/24 |
| KOEB P 24 09 1529 | 24 | 09 | boorkolom - paleosol | digitaal (*.JPEG) | KE FOTO'S/02KOEB EMMABAAN/01 KOEB Boringen/02 Paleosol/24 |
| KOEB P 24 10 0206 | 24 | 10 | boorkolom - paleosol | digitaal (*.JPEG) | KE FOTO'S/02KOEB EMMABAAN/01 KOEB Boringen/02 Paleosol/24 |
| KOEB P 24 11 1533 | 24 | 11 | boorkolom - paleosol | digitaal (*.JPEG) | KE FOTO'S/02KOEB EMMABAAN/01 KOEB Boringen/02 Paleosol/24 |
| KOEB P 24 11 1534 | 24 | 11 | boorkolom - paleosol | digitaal (*.JPEG) | KE FOTO'S/02KOEB EMMABAAN/01 KOEB Boringen/02 Paleosol/24 |
| KOEB P 24 12 0206 | 24 | 12 | boorkolom - paleosol | digitaal (*.JPEG) | KE FOTO'S/02KOEB EMMABAAN/01 KOEB Boringen/02 Paleosol/24 |
| KOEB P 24 12 0209 | 24 | 12 | boorkolom - paleosol | digitaal (*.JPEG) | KE FOTO'S/02KOEB EMMABAAN/01 KOEB Boringen/02 Paleosol/24 |
| KOEB P 24 12 0210 | 24 | 12 | boorkolom - paleosol | digitaal (*.JPEG) | KE FOTO'S/02KOEB EMMABAAN/01 KOEB Boringen/02 Paleosol/24 |
| KOEB P 24 13 1536 | 24 | 13 | boorkolom - paleosol | digitaal (*.JPEG) | KE FOTO'S/02KOEB EMMABAAN/01 KOEB Boringen/02 Paleosol/24 |
| KOEB P 24 13 1537 | 24 | 13 | boorkolom - paleosol | digitaal (*.JPEG) | KE FOTO'S/02KOEB EMMABAAN/01 KOEB Boringen/02 Paleosol/24 |
| KOEB P 24 13 1538 | 24 | 13 | boorkolom - paleosol | digitaal (*.JPEG) | KE FOTO'S/02KOEB EMMABAAN/01 KOEB Boringen/02 Paleosol/24 |
| KOEB P 24 13 1539 | 24 | 13 | boorkolom - paleosol | digitaal (*.JPEG) | KE FOTO'S/02KOEB EMMABAAN/01 KOEB Boringen/02 Paleosol/24 |
| KOEB P 24 13 1540 | 24 | 13 | boorkolom - paleosol | digitaal (*.JPEG) | KE FOTO'S/02KOEB EMMABAAN/01 KOEB Boringen/02 Paleosol/24 |
| KOEB P 24 14 0212 | 24 | 14 | boorkolom - paleosol | digitaal (*.JPEG) | KE FOTO'S/02KOEB EMMABAAN/01 KOEB Boringen/02 Paleosol/24 |
| KOEB P 24 15 1542 | 24 | 15 | boorkolom - paleosol | digitaal (*.JPEG) | KE FOTO'S/02KOEB EMMABAAN/01 KOEB Boringen/02 Paleosol/24 |
| KOEB P 24 15 1543 | 24 | 15 | boorkolom - paleosol | digitaal (*.JPEG) | KE FOTO'S/02KOEB EMMABAAN/01 KOEB Boringen/02 Paleosol/24 |
| KOEB P 24 15 1544 | 24 | 15 | boorkolom - paleosol | digitaal (*.JPEG) | KE FOTO'S/02KOEB EMMABAAN/01 KOEB Boringen/02 Paleosol/24 |
| KOEB P 24 16 0215 | 24 | 16 | boorkolom - paleosol | digitaal (*.JPEG) | KE FOTO'S/02KOEB EMMABAAN/01 KOEB Boringen/02 Paleosol/24 |
| KOEB P 24 16 0216 | 24 | 16 | boorkolom - paleosol | digitaal (*.JPEG) | KE FOTO'S/02KOEB EMMABAAN/01 KOEB Boringen/02 Paleosol/24 |
| KOEB P 24 16 0217 | 24 | 16 | boorkolom - paleosol | digitaal (*.JPEG) | KE FOTO'S/02KOEB EMMABAAN/01 KOEB Boringen/02 Paleosol/24 |
| KOEB P 24 17 0218 | 24 | 17 | boorkolom - paleosol | digitaal (*.JPEG) | KE FOTO'S/02KOEB EMMABAAN/01 KOEB Boringen/02 Paleosol/24 |
| KOEB T 02 01 0809 | 02 | 01 | boorkolom - top bodem | digitaal (*.JPEG) | KE FOTO'S/02KOEB EMMABAAN/01 KOEB Boringen/01 Top/02 |
| KOEB T 03 02 0842 | 03 | 02 | boorkolom - top bodem | digitaal (*.JPEG) | KE FOTO'S/02KOEB EMMABAAN/01 KOEB Boringen/01 Top/03 |
| KOEB T 03 02 0843 | 03 | 02 | boorkolom - top bodem | digitaal (*.JPEG) | KE FOTO'S/02KOEB EMMABAAN/01 KOEB Boringen/01 Top/03 |
| KOEH P 01 0647 | - | 01 | boorkolom - paleosol | digitaal (*.JPEG) | KE FOTO'S/02KOEH EMMAHOF/01 KOEH Boringen/02 Paleosol |
| KOEH P 06 0668 | - | 06 | boorkolom - paleosol | digitaal (*.JPEG) | KE FOTO'S/02KOEH EMMAHOF/01 KOEH Boringen/02 Paleosol |
| KOEH P 06 0669 | - | 06 | boorkolom - paleosol | digitaal (*.JPEG) | KE FOTO'S/02KOEH EMMAHOF/01 KOEH Boringen/02 Paleosol |
| KOEH P 06 0670 | - | 06 | boorkolom - paleosol | digitaal (*.JPEG) | KE FOTO'S/02KOEH EMMAHOF/01 KOEH Boringen/02 Paleosol |
| KOEH P 06 0671 | - | 06 | boorkolom - paleosol | digitaal (*.JPEG) | KE FOTO'S/02KOEH EMMAHOF/01 KOEH Boringen/02 Paleosol |
| KOEH P 07 0679 | - | 07 | boorkolom - paleosol | digitaal (*.JPEG) | KE FOTO'S/02KOEH EMMAHOF/01 KOEH Boringen/02 Paleosol |
| KOEH T 07 0673 | - | 07 | boorkolom - top bodem | digitaal (*.JPEG) | KE FOTO'S/02KOEH EMMAHOF/01 KOEH Boringen/01 Top |
| KOEH T 07 0674 | - | 07 | boorkolom - top bodem | digitaal (*.JPEG) | KE FOTO'S/02KOEH EMMAHOF/01 KOEH Boringen/01 Top |
| KOEH T 07 0675 | - | 07 | boorkolom - top bodem | digitaal (*.JPEG) | KE FOTO'S/02KOEH EMMAHOF/01 KOEH Boringen/01 Top |
| KOEH T 07 0676 | - | 07 | boorkolom - top bodem | digitaal (*.JPEG) | KE FOTO'S/02KOEH EMMAHOF/01 KOEH Boringen/01 Top |
| KOEH T 02 0650 | - | 02 | boorkolom - top bodem | digitaal (*.JPEG) | KE FOTO'S/02KOEH EMMAHOF/01 KOEH Boringen/01 Top |
| KOEH T 07 0679 | - | 07 | boorkolom - top bodem | digitaal (*.JPEG) | KE FOTO'S/02KOEH EMMAHOF/01 KOEH Boringen/01 Top |
| KOEH P 09 0710 | - | 09 | boorkolom - paleosol | digitaal (*.JPEG) | KE FOTO'S/02KOEH EMMAHOF/01 KOEH Boringen/02 Paleosol |
| KOEH P 09 0711 | - | 09 | boorkolom - paleosol | digitaal (*.JPEG) | KE FOTO'S/02KOEH EMMAHOF/01 KOEH Boringen/02 Paleosol |

| | |
|---|---|
| ***ONDERZOEKSPROJECT*** | **Koewacht - Emmabaan** |
| ***CIS-ONDERZOEKSMELDING*** | **47114** |
| ***DATUM*** | **woe, 15/06/2011** |
| ***RAPPORTEUR*** | **Gunther Noens** |
| ***WEERSOMSTANDIGHEDEN*** | **bewolkt - warm** |
| ***AANWEZIGHEDEN*** | **Pieter Laloo (PL)**<br>**Gunther Noens (GN)** |

**voor akkoord:**

**Pieter Laloo**

***BEZOEKERS***

| NAAM | ORGANISATIE |
|---|---|
| **M. de Koning** | **SCEZ** |
| **J. Everaert** | **gemeente Terneuzen** |

***WERKZAAMHEDEN***

| ACTIVITEIT | PERSONELE INZET |
|---|---|
| **levering & installatie toilet op akker Emmabaan** | **firma** |
| **(informeel) startoverleg** | **opdrachtgever, bevoegd gezag, uitvoerders en bewoners Emmahof** |
| **rondleiding Emmahof** | ***idem*** |
| **boringen Emmahof (N=13)** | **PL / GN** |

***(GEPLAND) OVERLEG***

| TOELICHTING | AFSPRAKEN |
|---|---|
| **het Emmahof is quasi volledig betegeld** | **tegels mogen (en moeten) worden verwijderd om te kunnen boren. Hiervoor hebben we toestemming gekregen, maar is tevens overleg met de lokale residenten nodig** |

***ONTWIKKELINGEN***

| TECHNISCHE - | WETENSCHAPPELIJKE - |
|---|---|
| **gezien de intensieve bebouwing op het Emmahof, de quasi volledige betegeling van niet bebouwde oppervlakken (dat het boren in sterke mate vertraagt), en de verregaande verstoring van de ondergrond door rioleringsbuizen en leidingen is het niet haalbaar om in een regelmatig en verspringend 10m-grid te boren. Er wordt gepoogd zo regelmatig mogelijk te boren. Het max. aantal van 135 boringen op het Emmahof zal en kan hierdoor niet gehaald worden.** | **De bodemopbouw onder de tegels is sterk verstoord: naast een ophogingslaag in verschillende boringen, wordt enkel nog een B/C en vaak slechts enkel een C-horizont waargenomen.**<br><br>**In de meeste boringen werd tussen 1.5 en 2 m diepte een organisch pakket aangetroffen (paleosequentie), met variabele dikte (5-15cm) en morfologie (gelaagd organisch zand, evt met plantenresten en/of een veenpakket)** |

***SELECTIE VAN MATERIAAL***

| MATERIAAL | KEUZEMOTIVATIE |
|---|---|

| | |
|---|---|
| ***ONDERZOEKSPROJECT*** | **Koewacht - Emmabaan** |
| ***CIS-ONDERZOEKSMELDING*** | **47114** |
| ***DATUM*** | **do, 16/06/2011** |
| ***RAPPORTEUR*** | **Gunther Noens** |
| ***WEERSOMSTANDIGHEDEN*** | **bewolkt met opklaringen en soms (felle) regenbuien - warm** |
| ***AANWEZIGHEDEN*** | **Pieter Laloo (PL)**<br>**Gunther Noens (GN)** |

**voor akkoord:**

**Pieter Laloo**

| | | |
|---|---|---|
| ***BEZOEKERS*** | **NAAM** | **ORGANISATIE** |
| ***WERKZAAMHEDEN*** | **ACTIVITEIT** | **PERSONELE INZET** |
| | **levering en installatie keet en container op akker Emmabaan** | **firma** |
| | **boringen Emmahof (N=20)** | **PL / GN** |
| ***(GEPLAND) OVERLEG*** | **TOELICHTING** | **AFSPRAKEN** |
| ***ONTWIKKELINGEN*** | **TECHNISCHE -** | **WETENSCHAPPELIJKE -** |
| | **boring nr. 14 bestaat niet** | **De observaties omtrent de top van de bodem en de paleosequentie sluiten aan bij deze van gisteren.**<br><br>**In sommige gevallen in de top een 'vuilgrijze' zeer losse laag zand (vermoedelijk geen E- horizont)**<br><br>**Een enkele keer werd de paleosequentie niet aangetroffen. Veel variatie, met soms op een hoger niveau een zeer dun humeus bandje.** |
| ***SELECTIE VAN MATERIAAL*** | **MATERIAAL** | **KEUZEMOTIVATIE** |

| | |
|---|---|
| ***ONDERZOEKSPROJECT*** | **Koewacht - Emmabaan** |
| ***CIS-ONDERZOEKSMELDING*** | **47114** |
| ***DATUM*** | **vr, 17/06/2011, voormiddag** |
| ***RAPPORTEUR*** | **Gunther Noens** |
| ***WEERSOMSTANDIGHEDEN*** | **bewolkt met opklaringen - warm** |
| ***AANWEZIGHEDEN*** | **Pieter Laloo (PL)**<br>**Gunther Noens (GN)**<br>**Landmeter Jonas** |

**voor akkoord:**

**Pieter Laloo**

| ***BEZOEKERS*** | **NAAM** | **ORGANISATIE** |
|---|---|---|

| ***WERKZAAMHEDEN*** | **ACTIVITEIT** | **PERSONELE INZET** |
|---|---|---|
| | **uitzetten proefsleuven op akker Emmabaan en inmeten uitgevoerde boringen op Emmahof** | **landmeter** |
| | **afronden boringen Emmahof (N=4)** | **PL / GN** |
| | **namiddag: afzetten bodemmonsters in Gent en weekadministratie op punt zetten** | **PL / GN** |

| ***(GEPLAND) OVERLEG*** | **TOELICHTING** | **AFSPRAKEN** |
|---|---|---|

| ***ONTWIKKELINGEN*** | **TECHNISCHE -** | **WETENSCHAPPELIJKE -** |
|---|---|---|
| | | **twee boringen verstoord tot op grote diepte en nadien ondoordringbaar (verklaring?)**<br><br>**In één boring werd tweemaal een veenlaag aangetroffen.** |

| ***SELECTIE VAN MATERIAAL*** | **MATERIAAL** | **KEUZEMOTIVATIE** |
|---|---|---|

| | |
|---|---|
| ***ONDERZOEKSPROJECT*** | **Koewacht - Emmabaan** |
| ***CIS-ONDERZOEKSMELDING*** | **47114** |
| ***DATUM*** | **ma, 20/06/2011** |
| ***RAPPORTEUR*** | **Gunther Noens** |
| ***WEERSOMSTANDIGHEDEN*** | **bewolkt met regenbuien** |
| ***AANWEZIGHEDEN*** | **Pieter Laloo (PL)**<br>**Gunther Noens (GN)**<br>**Frederik Wuyts (FW)**<br>**Aäron Sterubaut (AS)**<br>**Kraanman** |

**voor akkoord:**

**Pieter Laloo**

***BEZOEKERS***

| NAAM | ORGANISATIE |
|---|---|
| **M. de Koning + collega** | **SCEZ** |

***WERKZAAMHEDEN***

| ACTIVITEIT | PERSONELE INZET |
|---|---|
| **aanvang boringen Emmabaan (N=12)** | **GN / FW** |
| **aanleg proefsleuven 1 - 6** | **Kraanman / PL / AS / GN** |

***(GEPLAND) OVERLEG***

| TOELICHTING | AFSPRAKEN |
|---|---|

***ONTWIKKELINGEN***

| TECHNISCHE - | WETENSCHAPPELIJKE - |
|---|---|
| **Eerste boorraai werd manueel uitgezet.** | **Noch in de boringen, noch in de proefsleuven wordt een intacte podzolbodem aangetroffen: het terrein lijkt zwaar te zijn verstoord.**<br><br>**De paleosequentie wordt in alle boringen aangetroffen, in de eerste boringen als veenpakket, vervolgens als één of twee opeenvolgende organische zandige lagen.**<br><br>**Er worden geen sporen aangetroffen in de proefsleuven. Het eerste deel van het terrein waar zich voorheen het dijklichaam bevond lijkt sterk te zijn verstoord.** |

***SELECTIE VAN MATERIAAL***

| MATERIAAL | KEUZEMOTIVATIE |
|---|---|
| **Er wordt telkens geboord tot max. 2,30m onder het niveau van de proefsleuven (= 1 verlengstuk); d.w.z. dat boringen steeds tussen 2 en 3 meter onder maaiveld worden gezet, dieper dan voorzien.**<br><br>**Na enkele experimenten blijkt het verdiepen met Edelman, 12 cm de beste keuze te zijn.**<br><br>**Er wordt tevens en buiten het PvE om beslist om ook de paleosequentie systematisch te bemonsteren voor archeologische doeleinden** | **Door dieper te boren (tevens met Edelman, 12 cm) vanuit de proefsleuven hopen we een beter inzicht te verwerven in de paleosequentie.**<br><br>**Door het paleoniveau mee te bemonsteren bestaat de mogelijkheid inzicht te verwerven over eventueel aanwezige vindplaatsen geassocieerd met de paleosequentie.** |

| | |
|---|---|
| ***ONDERZOEKSPROJECT*** | **Koewacht - Emmabaan** |
| ***CIS-ONDERZOEKSMELDING*** | **47114** |
| ***DATUM*** | **di, 21/06/2011** |
| ***RAPPORTEUR*** | **Gunther Noens** |
| ***WEERSOMSTANDIGHEDEN*** | **bewolkt met opklaringen** |
| ***AANWEZIGHEDEN*** | **Pieter Laloo (PL)**<br>**Gunther Noens (GN)**<br>**Frederik Wuyts (FW)**<br>**Aäron Steurbaut (AS)**<br>**Landmeter Jonas**<br>**Kraanman** |

**voor akkoord:**

**Pieter Laloo**

***BEZOEKERS***

| NAAM | ORGANISATIE |
|---|---|

***WERKZAAMHEDEN***

| ACTIVITEIT | PERSONELE INZET |
|---|---|
| **vervolg boringen Emmabaan (N=9)** | **GN / FW** |
| **vervolg aanleg proefsleuven 7 - 11** | **kraanman / PL / AS / GN /FW** |
| **uitzetten proefsleuven, riolering en boorpunten** | **landmeter / GN** |

***(GEPLAND) OVERLEG***

| TOELICHTING | AFSPRAKEN |
|---|---|

***ONTWIKKELINGEN***

| TECHNISCHE - | WETENSCHAPPELIJKE - |
|---|---|
| | **De inzichten inzake boringen (top en paleosequentie) en proefsleuven sluiten goed aan bij de observaties van gisteren.** |

***SELECTIE VAN MATERIAAL***

| MATERIAAL | KEUZEMOTIVATIE |
|---|---|
| **Er wordt beslist om ter hoogte van alle boorpunten systematisch een klein profiel langs de proefsleufwand proper te maken en te registreren (foto). Daarnaast worden ook alle paleosequenties (in de mate van het mogelijke) gefotografeerd.** | **De registratie van profielen ter hoogte van de boringen dient om de verstoring van de bodemopbouw goed in kaart te kunnen brengen. Het fotograferen van de paleosequenties in de boringen dient om de beschrijvingen te ondersteunen en de variatie ervan beter in kaart te kunnen brengen** |

| | |
|---|---|
| ***ONDERZOEKSPROJECT*** | **Koewacht - Emmabaan** |
| ***CIS-ONDERZOEKSMELDING*** | **47114** |
| ***DATUM*** | **woe, 22/06/2011** |
| ***RAPPORTEUR*** | **Gunther Noens** |
| ***WEERSOMSTANDIGHEDEN*** | **bewolkt met opklaringen** |
| ***AANWEZIGHEDEN*** | **Pieter Laloo (PL)**<br>**Gunther Noens (GN)**<br>**Frederik Wuyts (FW)**<br>**Aäron Steurbaut (AS)**<br>**Landmeter Jonas (namiddag)** |

**voor akkoord:**

**Pieter Laloo**

***BEZOEKERS***

| NAAM | ORGANISATIE |
|---|---|

***WERKZAAMHEDEN***

| ACTIVITEIT | PERSONELE INZET |
|---|---|
| **vervolg boringen Emmabaan, t.e.m. R4 B10** | **GN / FW** |
| **vervolg aanleg proefsleuven 12 - 16** | **kraanman / PL / AS** |

***(GEPLAND) OVERLEG***

| TOELICHTING | AFSPRAKEN |
|---|---|
| | **PL wordt op de hoogte gebracht van een opensleuvennamiddag volgende dinsdag (actie ondernomen door SCEZ)**<br><br>**Er is (telefonische) toestemming om de sleuven door te trekken op de ingezaaide akker in het noordwestelijke deel van het onderzoeksgebied.** |

***ONTWIKKELINGEN***

| TECHNISCHE - | WETENSCHAPPELIJKE - |
|---|---|
| **De uitgezette boorpunten van raaien 8 en 9 waren verdwenen** | **boringen: cfr. gisteren**<br><br>**In sleuf 16 werd een bodemspoor met houtskool en vuursteen aangetroffen.**<br><br>**Zeer lokaal werd in sleuf 16 een grotendeels intact podzolprofiel waargenomen. Voor de rest komen verschillende natuurlijke grondsporen voor met podzol-opvullingspakket.**<br><br>**Er is een greppeltje aanwezig. Voor de rest weinig bodemsporen.** |

***SELECTIE VAN MATERIAAL***

| MATERIAAL | KEUZEMOTIVATIE |
|---|---|
| **het bodemspoor met houtskool en vuursteen werd geregistreerd in grondplan en doorsnede en werd vervolgens integraal bemonsterd om later te worden uitgezeefd op 1 mm.** | **Mogelijk gaat het hier om een mesolithisch spoor. Recuperatie van vondstmateriaal (vuursteen - houtskool - hazelnoot - bot). Zeven en selecteren zal meer inzicht hieromtrent moeten opleveren.** |

| | |
|---|---|
| ***ONDERZOEKSPROJECT*** | **Koewacht - Emmabaan** |
| ***CIS-ONDERZOEKSMELDING*** | **47114** |
| ***DATUM*** | **do, 23/06/2011** |
| ***RAPPORTEUR*** | **Gunther Noens** |
| ***WEERSOMSTANDIGHEDEN*** | **bewolkt met zware onweersbuien** |
| ***AANWEZIGHEDEN*** | **Pieter Laloo (PL, namiddag)**<br>**Gunther Noens (GN)**<br>**Frederik Wuyts (FW)**<br>**Aäron Steurbaut (AS)**<br>**Kraanman** |

**voor akkoord:**

**Pieter Laloo**

| ***BEZOEKERS*** | NAAM | ORGANISATIE |
|---|---|---|
| | **een vrijwilliger meldt zich aan** | **-** |
| | **vertegenwoordiger** | **gemeente Terneuzen** |

| ***WERKZAAMHEDEN*** | ACTIVITEIT | PERSONELE INZET |
|---|---|---|
| | **vervolg boringen Emmabaan** | **GN / AS (vm) - GN / FW (nm)** |
| | **vervolg aanleg proefsleuven 17 - 23** | **kraanman / PL / AS / FW** |

| ***(GEPLAND) OVERLEG*** | TOELICHTING | AFSPRAKEN |
|---|---|---|
| | **er wordt een brief geleverd in verband met de opensleuvendag volgende dinsdag** | |

| ***ONTWIKKELINGEN*** | TECHNISCHE - | WETENSCHAPPELIJKE - |
|---|---|---|
| | | **boringen, cfr. gisteren**<br><br>**Enkele vuurstenen artefacten uit storthoop gehaald. Vanaf nu tevens wordt een oppervlaktekartering uitgevoerd nabij de sleuven en tussen de verschillende boorpunten.** |

| ***SELECTIE VAN MATERIAAL*** | MATERIAAL | KEUZEMOTIVATIE |
|---|---|---|

| | |
|---|---|
| ***ONDERZOEKSPROJECT*** | **Koewacht - Emmabaan** |
| ***CIS-ONDERZOEKSMELDING*** | **47114** |
| ***DATUM*** | **vr, 24/06/2011** |
| ***RAPPORTEUR*** | **Gunther Noens** |
| ***WEERSOMSTANDIGHEDEN*** | **bewolkt met buien** |
| ***AANWEZIGHEDEN*** | **Pieter Laloo (PL, namiddag)**<br>**Gunther Noens (GN)**<br>**Frederik Wuyts (FW)**<br>**Landmeter Jonas (voormiddag)** |

**voor akkoord:**

**Pieter Laloo**

| ***BEZOEKERS*** | NAAM | ORGANISATIE |
|---|---|---|

| ***WERKZAAMHEDEN*** | ACTIVITEIT | PERSONELE INZET |
|---|---|---|
| | **inmeten sleuven en uitzetten boorpunten** | **landmeter** |
| | **vervolg boringen Emmabaan** | **GN (vm) - GN & PL / FW (nm)** |
| | **einde aanleg proefsleuven** | **kraanman FW** |

| ***(GEPLAND) OVERLEG*** | TOELICHTING | AFSPRAKEN |
|---|---|---|

| ***ONTWIKKELINGEN*** | TECHNISCHE - | WETENSCHAPPELIJKE - |
|---|---|---|
| | **Vanaf nu wordt in twee teams geboord.** | **Regelmatig is de onderzijde van het bortraject moeilijk waarneembaar wegens dichtslibben van boorgat en/of verlies van boorlading.** |

| ***SELECTIE VAN MATERIAAL*** | MATERIAAL | KEUZEMOTIVATIE |
|---|---|---|

| | |
|---|---|
| ***ONDERZOEKSPROJECT*** | **Koewacht - Emmabaan** |
| ***CIS-ONDERZOEKSMELDING*** | **47114** |
| ***DATUM*** | **ma, 27/06/2011** |
| ***RAPPORTEUR*** | **Gunther Noens** |
| ***WEERSOMSTANDIGHEDEN*** | **Tropisch > 30°** |
| ***AANWEZIGHEDEN*** | **Pieter Laloo (PL)**<br>**Gunther Noens (GN)** |

**voor akkoord:**

**Pieter Laloo**

| | NAAM | ORGANISATIE |
|---|---|---|
| ***BEZOEKERS*** | **F. Weemaes** | **gemeente Terneuzen** |

| | ACTIVITEIT | PERSONELE INZET |
|---|---|---|
| ***WERKZAAMHEDEN*** | **vervolg boringen Emmabaan** | **GN / PL** |

| | TOELICHTING | AFSPRAKEN |
|---|---|---|
| ***(GEPLAND) OVERLEG*** | | |

| | TECHNISCHE - | WETENSCHAPPELIJKE - |
|---|---|---|
| ***ONTWIKKELINGEN*** | | **boringen, cfr. gisteren en eerder** |

| | MATERIAAL | KEUZEMOTIVATIE |
|---|---|---|
| ***SELECTIE VAN MATERIAAL*** | | |

| | |
|---|---|
| ***ONDERZOEKSPROJECT*** | **Koewacht - Emmabaan** |
| ***CIS-ONDERZOEKSMELDING*** | **47114** |
| ***DATUM*** | **di, 28/06/2011** |
| ***RAPPORTEUR*** | **Gunther Noens** |
| ***WEERSOMSTANDIGHEDEN*** | **bewolkt met buien - warm** |
| ***AANWEZIGHEDEN*** | **Pieter Laloo (PL)**<br>**Gunther Noens (GN)** |

**voor akkoord:**

**Pieter Laloo**

***BEZOEKERS***

| NAAM | ORGANISATIE |
|---|---|
| rondleiding (ca. 15-20 personen) | |

***WERKZAAMHEDEN***

| ACTIVITEIT | PERSONELE INZET |
|---|---|
| rondleiding opensleuvendag | PL / GN |
| vervolg boringen Emmabaan | GN / PL |

***(GEPLAND) OVERLEG***

| TOELICHTING | AFSPRAKEN |
|---|---|

***ONTWIKKELINGEN***

| TECHNISCHE - | WETENSCHAPPELIJKE - |
|---|---|
| | boringen, cfr. gisteren |

***SELECTIE VAN MATERIAAL***

| MATERIAAL | KEUZEMOTIVATIE |
|---|---|

| | |
|---|---|
| ***ONDERZOEKSPROJECT*** | **Koewacht - Emmabaan** |
| ***CIS-ONDERZOEKSMELDING*** | **47114** |
| ***DATUM*** | **woe, 29/06/2011** |
| ***RAPPORTEUR*** | **Gunther Noens** |
| ***WEERSOMSTANDIGHEDEN*** | **bewolkt met buien** |
| ***AANWEZIGHEDEN*** | **Pieter Laloo (PL)**<br>**Gunther Noens (GN)** |

**voor akkoord:**

**Pieter Laloo**

| | | |
|---|---|---|
| ***BEZOEKERS*** | **NAAM** | **ORGANISATIE** |
| ***WERKZAAMHEDEN*** | **ACTIVITEIT** | **PERSONELE INZET** |
| | **vervolg boringen Emmabaan** | **GN / PL** |
| ***(GEPLAND) OVERLEG*** | **TOELICHTING** | **AFSPRAKEN** |
| ***ONTWIKKELINGEN*** | **TECHNISCHE -** | **WETENSCHAPPELIJKE -** |
| | | **boringen, cfr. gisteren** |
| ***SELECTIE VAN MATERIAAL*** | **MATERIAAL** | **KEUZEMOTIVATIE** |

| | |
|---|---|
| ***ONDERZOEKSPROJECT*** | **Koewacht - Emmabaan** |
| ***CIS-ONDERZOEKSMELDING*** | **47114** |
| ***DATUM*** | **do, 30/06/2011** |
| ***RAPPORTEUR*** | **Gunther Noens** |
| ***WEERSOMSTANDIGHEDEN*** | **bewolkt** |
| ***AANWEZIGHEDEN*** | **Pieter Laloo (PL)**<br>**Gunther Noens (GN)** |

**voor akkoord:**

**Pieter Laloo**

| | | |
|---|---|---|
| ***BEZOEKERS*** | **NAAM** | **ORGANISATIE** |
| ***WERKZAAMHEDEN*** | **ACTIVITEIT** | **PERSONELE INZET** |
| | **vervolg boringen Emmabaan** | **GN / PL** |
| ***(GEPLAND) OVERLEG*** | **TOELICHTING** | **AFSPRAKEN** |
| ***ONTWIKKELINGEN*** | **TECHNISCHE -** | **WETENSCHAPPELIJKE -** |
| | | **boringen, cfr. gisteren** |
| ***SELECTIE VAN MATERIAAL*** | **MATERIAAL** | **KEUZEMOTIVATIE** |

| | |
|---|---|
| ***ONDERZOEKSPROJECT*** | **Koewacht - Emmabaan** |
| ***CIS-ONDERZOEKSMELDING*** | **47114** |
| ***DATUM*** | **vr, 01/07/2011** |
| ***RAPPORTEUR*** | **Gunther Noens** |
| ***WEERSOMSTANDIGHEDEN*** | **bewolkt** |
| ***AANWEZIGHEDEN*** | **Pieter Laloo (PL)**<br>**Gunther Noens (GN)** |

**voor akkoord:**

**Pieter Laloo**

| | | |
|---|---|---|
| ***BEZOEKERS*** | **NAAM** | **ORGANISATIE** |
| ***WERKZAAMHEDEN*** | **ACTIVITEIT** | **PERSONELE INZET** |
| | **vervolg boringen Emmabaan** | **GN / PL** |
| ***(GEPLAND) OVERLEG*** | **TOELICHTING** | **AFSPRAKEN** |
| ***ONTWIKKELINGEN*** | **TECHNISCHE -** | **WETENSCHAPPELIJKE -** |
| | | **boringen, cfr. gisteren** |
| ***SELECTIE VAN MATERIAAL*** | **MATERIAAL** | **KEUZEMOTIVATIE** |

| | |
|---|---|
| ***ONDERZOEKSPROJECT*** | **Koewacht - Emmabaan** |
| ***CIS-ONDERZOEKSMELDING*** | **47114** |
| ***DATUM*** | **ma, 04/07/2011** |
| ***RAPPORTEUR*** | **Gunther Noens** |
| ***WEERSOMSTANDIGHEDEN*** | **bewolkt met opklaringen** |
| ***AANWEZIGHEDEN*** | **Pieter Laloo (PL)**<br>**Gunther Noens (GN)**<br>**Rapfaël de Brandt (RdB)** |

**voor akkoord:**

**Pieter Laloo**

| | | |
|---|---|---|
| ***BEZOEKERS*** | **NAAM** | **ORGANISATIE** |
| ***WERKZAAMHEDEN*** | **ACTIVITEIT** | **PERSONELE INZET** |
| | **vervolg boringen Emmabaan** | **GN / PL / RdB** |
| ***(GEPLAND) OVERLEG*** | **TOELICHTING** | **AFSPRAKEN** |
| ***ONTWIKKELINGEN*** | **TECHNISCHE -** | **WETENSCHAPPELIJKE -** |
| | | **boringen, cfr. gisteren** |
| ***SELECTIE VAN MATERIAAL*** | **MATERIAAL** | **KEUZEMOTIVATIE** |

| | |
|---|---|
| ***ONDERZOEKSPROJECT*** | **Koewacht - Emmabaan** |
| ***CIS-ONDERZOEKSMELDING*** | **47114** |
| ***DATUM*** | **di, 05/07/2011** |
| ***RAPPORTEUR*** | **Gunther Noens** |
| ***WEERSOMSTANDIGHEDEN*** | **zonnig - warm** |
| ***AANWEZIGHEDEN*** | **Pieter Laloo (PL)**<br>**Gunther Noens (GN)**<br>**Rapfaël de Brandt (RdB)** |

**voor akkoord:**

**Pieter Laloo**

| | | |
|---|---|---|
| ***BEZOEKERS*** | **NAAM** | **ORGANISATIE** |
| ***WERKZAAMHEDEN*** | **ACTIVITEIT** | **PERSONELE INZET** |
| | **einde boringen Emmabaan** | **GN / PL / RdB** |
| ***(GEPLAND) OVERLEG*** | **TOELICHTING** | **AFSPRAKEN** |
| ***ONTWIKKELINGEN*** | **TECHNISCHE -** | **WETENSCHAPPELIJKE -** |
| | | **boringen, cfr. gisteren** |
| ***SELECTIE VAN MATERIAAL*** | **MATERIAAL** | **KEUZEMOTIVATIE** |

| | |
|---|---|
| ***ONDERZOEKSPROJECT*** | **Koewacht - Emmabaan** |
| ***CIS-ONDERZOEKSMELDING*** | **47114** |
| ***DATUM*** | **woe, 06/07/2011** |
| ***RAPPORTEUR*** | **Gunther Noens** |
| ***WEERSOMSTANDIGHEDEN*** | **zonnig** |
| ***AANWEZIGHEDEN*** | **Gunther Noens (GN)** |

**voor akkoord:**

**Pieter Laloo**

| | | |
|---|---|---|
| ***BEZOEKERS*** | **NAAM** | **ORGANISATIE** |
| ***WERKZAAMHEDEN*** | **ACTIVITEIT** | **PERSONELE INZET** |
| | **uitzeven monsters in Gent** | **GN** |
| ***(GEPLAND) OVERLEG*** | **TOELICHTING** | **AFSPRAKEN** |
| ***ONTWIKKELINGEN*** | **TECHNISCHE -** | **WETENSCHAPPELIJKE -** |
| ***SELECTIE VAN MATERIAAL*** | **MATERIAAL** | **KEUZEMOTIVATIE** |

| | |
|---|---|
| ***ONDERZOEKSPROJECT*** | **Koewacht - Emmabaan** |
| ***CIS-ONDERZOEKSMELDING*** | **47114** |
| ***DATUM*** | **do, 07/07/2011** |
| ***RAPPORTEUR*** | **Gunther Noens** |
| ***WEERSOMSTANDIGHEDEN*** | **zonnig** |
| ***AANWEZIGHEDEN*** | **Gunther Noens (GN)** |

**voor akkoord:**

**Pieter Laloo**

| | | |
|---|---|---|
| ***BEZOEKERS*** | **NAAM** | **ORGANISATIE** |
| ***WERKZAAMHEDEN*** | **ACTIVITEIT** | **PERSONELE INZET** |
| | **uitzeven monsters in Gent** | **GN** |
| ***(GEPLAND) OVERLEG*** | **TOELICHTING** | **AFSPRAKEN** |
| ***ONTWIKKELINGEN*** | **TECHNISCHE -** | **WETENSCHAPPELIJKE -** |
| ***SELECTIE VAN MATERIAAL*** | **MATERIAAL** | **KEUZEMOTIVATIE** |

| | |
|---|---|
| ***ONDERZOEKSPROJECT*** | **Koewacht - Emmabaan** |
| ***CIS-ONDERZOEKSMELDING*** | **47114** |
| ***DATUM*** | **di, 12/07/2011** |
| ***RAPPORTEUR*** | **Gunther Noens** |
| ***WEERSOMSTANDIGHEDEN*** | **zonnig** |
| ***AANWEZIGHEDEN*** | **Gunther Noens (GN)** |

**voor akkoord:**

**Pieter Laloo**

| | | |
|---|---|---|
| ***BEZOEKERS*** | **NAAM** | **ORGANISATIE** |
| ***WERKZAAMHEDEN*** | **ACTIVITEIT** | **PERSONELE INZET** |
| | **uitzeven monsters in Gent** | **GN** |
| ***(GEPLAND) OVERLEG*** | **TOELICHTING** | **AFSPRAKEN** |
| ***ONTWIKKELINGEN*** | **TECHNISCHE -** | **WETENSCHAPPELIJKE -** |
| ***SELECTIE VAN MATERIAAL*** | **MATERIAAL** | **KEUZEMOTIVATIE** |

| | |
|---|---|
| ***ONDERZOEKSPROJECT*** | **Koewacht - Emmabaan** |
| ***CIS-ONDERZOEKSMELDING*** | **47114** |
| ***DATUM*** | **vr, 08/07/2011** |
| ***RAPPORTEUR*** | **Gunther Noens** |
| ***WEERSOMSTANDIGHEDEN*** | **zonnig** |
| ***AANWEZIGHEDEN*** | **Raphaël de Brandt (RdB)** |

**voor akkoord:**

**Pieter Laloo**

| | | |
|---|---|---|
| ***BEZOEKERS*** | **NAAM** | **ORGANISATIE** |
| ***WERKZAAMHEDEN*** | **ACTIVITEIT** | **PERSONELE INZET** |
| | **uitzeven monsters in Gent** | **RdB** |
| ***(GEPLAND) OVERLEG*** | **TOELICHTING** | **AFSPRAKEN** |
| ***ONTWIKKELINGEN*** | **TECHNISCHE -** | **WETENSCHAPPELIJKE -** |
| ***SELECTIE VAN MATERIAAL*** | **MATERIAAL** | **KEUZEMOTIVATIE** |

# 1 Waardering pollenstalen Koewacht (Emmabaan)

Dr. J.A.A. Bos

## 1.1 Inleiding

In opdracht van de gemeente Terneuzen heeft het bedrijf GATE (spin-offbedrijf van de Vakgroep Archeologie van de UGENT) een archeologisch vooronderzoek uitgevoerd te Koewacht (Zeeuws Vlaanderen). Er zijn naast proefsleuven ook archeologische boringen tot ca. 2,5m onder het maaiveld uitgevoerd in een grid van 10 bij 10m. Hierbij zijn op variabele diepten veen- of organische lagen aangetroffen. Op de locaties van de veen- en organische lagen zijn inmiddels drie Begemannboringen gedaan ter bemonstering van deze oude bodems. Het doel van dit onderzoek is een paleo-ecologische waardering van de lagen aan de hand van pollenstalen en een eventuele verdere paleo-ecologische analyse van deze bodemlaag. In totaal zijn er 3 pollenstalen, een van elke laag gewaardeerd (Tabel 1).

## 1.2 Methoden

Uit een 3-tal Begemann boringen (Tabel 1) zijn uit de aangetroffen venige en organische afzettingen elk één pollenstaal genomen voor waardering. De stalen zijn door dr. Vanessa Gelorini uit de drie kernen bemonsterd. Voor de pollenstalen is een volume van ongeveer 3-4 $cm^3$ gebruikt.
De pollenstalen zijn volgens de standaard methoden van Fægri & Iversen door het Laboratorium Sedimentanalyse op de Vrije Universiteit opgewerkt.[1] Het pollen is gedetermineerd met behulp van de standaarddeterminatie werken van Moore *et al.*, Beug en de Northwest European Pollen Flora, vol. I-VIII.[2] De naamgeving van de plantensoorten is op deze determinatiewerken gebaseerd. Waardering is uitgevoerd door J.A.A. Bos.
Van alle stalen kan op basis van deze scan een indicatie gegeven worden van de (maximale) ouderdom. De exacte ouderdom van deze stalen zou met een kwantitatieve analyse mogelijk nader genuanceerd kunnen worden. De inhoud van de stalen en de geschatte ouderdom is in Tabel 1 weergegeven.

## 1.3 Resultaten

De conservering en de concentratie van de pollen en sporen is in alle drie de stalen goed. Alle drie de stalen zijn geschikt voor kwantitatieve analyse. Bij een kwantitatieve analyse wordt het preparaat geteld en op basis van een pollensom (van ca. 300 pollen en sporen van bomen, struiken en droge kruiden) de onderlinge verhoudingen tussen de verschillende pollentypen berekend.

De stalen uit de veen- of organische lagen bevatten pollen van bomen en struiken als berk (*Betula*), wilg (*Salix*), jeneverbes (*Juniperus*), duindoorn (*Hippophae rhamnoides*) en den (*Pinus sylvestris*). Ook is pollen van kruiden aanwezig, voorbeelden hiervan zijn bijvoet (*Artemisia*), ruit (*Thalictrum*) en ganzevoetachtigen (Chenopodiaceae). De onderlinge verhoudingen van bovengenoemde pollentypen variëren in de drie stalen en op basis hiervan kan er iets over de ouderdom van de stalen gezegd worden.

In de pollenstalen is pollen aanwezig van planten die in combinatie met elkaar typisch zijn voor het Laatglaciaal. De pollenstalen uit boring 1 en 2 bevatten veel pollen van berk, maar ook is pollen van den, bijvoet en in mindere mate van jeneverbes en wilg aanwezig. De onderlinge verhoudingen van de taxa suggereert dat beide stalen mogelijk dateren in de berken fase van het Allerød (zone 2a *sensu* Hoek, 1997).[3] Het feit dat dennenpollen aanwezig is zou zelfs kunnen suggereren dat hier mogelijk het einde van deze fase weerspiegeld is.

De pollenstaal uit boring 3 bevat minder pollen van berk en in verhouding meer pollen van wilg en jeneverbes. Dennenpollen is bij de scan niet aangetroffen. Dit geeft aan dat deze staal mogelijk dateert in de Oude Dryas

[1] Fægri, *et al.* 1989.
[2] Moore, *et al.* 1991.; Beug 2004; Punt 1976; Punt & Blackmore 1991; Punt, *et al.* 1988; Punt, *et al.* 1995; Punt & Clarke 1980; Punt & Clarke 1981; Punt & Clarke 1984; Punt 1976-2003.
[3] Hoek 1997a/b.

(zone 1c *sensu* Hoek, 1997) of Bølling (zone 1a/b *sensu* Hoek, 1997).[4] Over het algemeen kent jeneverbes pollen zeer hoge waarden in de Oude Dryas in dit gebied. Deze hoge waarden zijn in deze staal niet aangetroffen. Dit zou aan kunnen geven dat de ouderdom meer richting Bølling of einde Oude Dryas gezocht moet worden. Met een analyse kan de ouderdom van deze pollenstaal nog verder bepaald worden.
Een leuke vondst in de pollenstaal van boring 3 is de aanwezigheid van pollen van dwergvlas (*Radiola linoides*). Deze soort komt voor op open, vochtige zandgrond in lage duingraslanden en is vandaag de dag vrijwel verdwenen uit het Nederlandse landschap. In Zuidwest Nederland is de soort zeer zeldzaam en het betreft hier dus mogelijk een relict uit het Laatglaciaal.

In alle drie de stalen domineert pollen van zeggen (Cyperaceae). Ook is pollen van grassen (Poaceae) waaronder riet (*Phragmites*), paardenstaart (*Equisetum*), moerasspirea (*Filipendula*) en addertong (*Ophioglossum vulgatum*) aanwezig. Dit zijn taxa die lokaal in de depressie voorkwamen waar de veen- of organische laag zich gevormd heeft. Deze lagen hebben zich vermoedelijk dan ook in een ondiep zeggen/rietveenmoeras gevormd.

Alle stalen bevatten kleine hoeveelheden fragmentarisch houtskool en in sommige gevallen was het epidermis van zeggen (Cyperaceae) in te herkennen. Dit geeft aan dat er in de periode die de stalen weerspiegelen regelmatig brand voorkwam in de zeggenmoerassen. De aanwezigheid van houtskool in de stalen kan met menselijke activiteit samen hangen, maar ook natuurlijke oorzaken (natuurlijke brand) hebben.

Naast pollen en sporen zijn er in de pollenstalen ook non-pollen palynomorfen (NPP) als algen, schimmelsporen en andere botanische en dierlijke microfossielen aangetroffen.[5] In de drie stalen zijn bijvoorbeeld algen als *Botryococcus braunii* en T.128 aanwezig. Eveneens zijn taxa aangetroffen die een gastheer nodig hebben om op te parasiteren. *Gaeumannomyces* (T.126) is een schimmel die op *Carex* (zegge) parasiteert. De vondst van deze schimmel geeft aan dat *Carex* in het lokale milieu voorkomt, hetgeen door de grote hoeveelheden pollen van zeggen bevestigd wordt. De aanwezigheid van *Gaeumannomyces* vormt dus extra indicatie dat Cyperaceae (zeggen) lokaal aanwezig zijn.
Schimmelsporen van mestschimmels (zoals de hier gevonden *Sordaria* type en *Podospora* type) kunnen aanvullende informatie geven met betrekking tot de aanwezigheid van mest van grote herbivoren zoals wild. Er zijn slechts enkele mestschimmels die soortspecifiek zijn. Een voorbeeld hiervan is het hier gevonden *Bombardioidea* type, wat vaak geassocieerd wordt met de aanwezigheid van elandenpoep.[6] De meeste mestschimmels komen echter op mest van verschillende grote herbivoren voor. Vondsten van mestschimmels in de gewaardeerde stalen geven dus aan dat grote herbivoren in het gebied aanwezig waren.

## 1.4 Conclusies en advies

De kwaliteit van de drie gewaardeerde pollenstalen is goed. Alle drie de stalen zijn geschikt voor analyse. De stalen dateren allen in het Laatglaciaal.

De pollenstaal uit boring 3 dateert in de Oude Dryas (zone 1c *sensu* Hoek, 1997[7]; GI-1d[8]) of Bølling (zone 1a/b *sensu* Hoek, 1997[9]; GI-1e[10]) en de twee pollenstalen uit boring 1 en 2 dateren in de berken fase van het Allerød (zone 2a *sensu* Hoek, 1997[11]; GI-1c[12]). Analyse waarbij meer gedetailleerd naar de onderlinge verhoudingen van de verschillende pollentypen gekeken wordt. zou deze voorlopige datering nog verder kunnen bepalen. Daarbij zou door een analyse eveneens een goed beeld geschetst kunnen worden van de vegetatie in het omliggende regionale landschap en van het lokale milieu in de depressies zelf.

[4] Hoek 1997a/b.
[5] Pals*, et al.* 1980; Van Geel 1976; van Geel 2001.Van; Van van Geel & Aptroot 2006; van Geel*, et al.* 2003.
[6] Bos*, et al.* 2005, 41, Plate 41.
[7] Hoek 1997a; Hoek 1997b.
[8] Lowe, Hoek et al. 2001.
[9] Hoek 1997a; Hoek 1997b.
[10] Lowe, Hoek et al. 2001.
[11] Hoek 1997a; Hoek 1997b.
[12] Lowe, Hoek et al. 2001.

## 1.5 Literatuur


**Beug, H.J.**, 2004: *Leitfaden der Pollenbestimmung für Mitteleuropa und angrenzende Gebiete*. München.

**Bos, J.A.A., B. van Geel, B.J. Groenewoudt & R.C.G.M. Lauwerier**, 2005: Early Holocene environmental change: the presence and disappearance of early Mesolithic habitation near Zutphen (The Netherlands). *Vegetation History and Archaeobotany* 15, 27-43.

**Fægri, K., P.E. Kaland & K. Krzywinski** (red.), 1989: *Textbook of Pollen Analysis*. 4th ed. Chichester

**Hoek, W.Z.**, 1997a: Atlas to palaeogeography of late glacial vegetations – maps of late glacial and Early Holocene landscape and vegetation in The Netherlands, with an extensive review of available palynological data. *Netherlands Geographical Studies* 231, 165.

**Hoek, W.Z.**, 1997b: *Paleogeography of lateglacial Vegetations: Aspects of Lateglacial and Early Holocene Vegetation, Abiotic Landscape and Climate in the Netherlands*. proefschrift Amsterdam, Vrije Universiteit.

**Lowe, J.J., Hoek, W.Z., INTIMATE Group**, 2001: Inter-regional correlation of palaeoclimatic records for the Last Glacial-Interglacial transition: a protocol for improved precision recommended by the INTIMATE group. *Quaternary Science Reviews* 20, 1175-1187.

**Moore, P.D., J.A. Webb & M.E. Collinson**, 1991: *Pollen Analysis*. Oxford.

**Pals, J.P., B. van Geel & A. Delfos**, 1980: Paleoecological studies in the Klokkeweel bog near Hoogkarspel (prov. of Noord Holland). *Review of palaeobotany and palynology* 30, 371–418.

**Punt, W.**, 1976: *The Northwest European Pollen Flora I*. Amsterdam.

**Punt, W. & G.C.S. Clarke**, 1980: *The Northwest European Pollen Flora II*. Amsterdam.

**Punt, W. & G.C.S. Clarke**, 1981: *The Northwest European Pollen Flora III*. Amsterdam.

**Punt, W. & G.C.S. Clarke**, 1984: *The Northwest European Pollen Flora IV*. Amsterdam.

**Punt, W. & S. Blackmore**, 1991: *The Northwest European Pollen Flora VI*. Amsterdam.

**Punt, W., S. Blackmore & G.C.S. Clarke**, 1988: *The Northwest European Pollen Flora V*. Amsterdam.

**Punt, W., S. Blackmore & P.P. Hoen**, 1995: *The Northwest European Pollen Flora VII*. Amsterdam.

**Punt, W. et al.**, 1976-2003: *The Northwest European Pollen Flora*. Amsterdam (vol I (1976); vol II (1980); vol III (1981); vol IV (1984); vol V (1988); vol VI (1991); vol VII (1995); vol VIII (2003))

**Van Geel, B.**, 1976: Fossil spores of Zygnemataceae in ditches of a prehistoric settlement in Hoogkarspel (The Netherlands). *Review of palaeobotany and palynology 22*, 337-344.

**Van Geel, B.**, 2001: Non-Pollen palynomorphs. In: J.P. Smol, H.J.B. Birks & W.M. Last (red.), *Tracking Environmental Change Using Lake Sediments. Volume 3: Terrestrial, Algal, and Siliceous Indicators*. Dordrecht, 99-119.

**Van Geel, B. & A. Aptroot**, 2006: Fossil ascomycetes in Quaternary deposits. *Nova Hedwigia* 82, 313-329.

**Van Geel, B., J. Buurman, O. Brinkkemper, J. Schelvis, A. Aptroot, G.B.A. van Reenen & T. Hakbijl**, 2003: Environmental reconstruction of a Roman Period settlement site in Uitgeest (The Netherlands). *Journal of Archaeological Science* 30, 873-883.

*Tabel 1 Waardering pollenstalen Koewacht (Emmabaan). Verklaring tekens: + meer dan eenmaal aanwezig, ++ talrijk aanwezig , +++ zeer talrijk aanwezig, ++++ dominant aanwezig. De stalen die geschikt zijn voor analyse zijn met een J (=ja) aangegeven.*

| Diepte pollen stalen | volume (cm3) | Monster locatie | Lithologie | Inhoud pollenstalen | Geschatte ouderdom op basis van pollen inhoud | Analyse | Conservering | Concentratie | houtskool | schimmel-sporen, NPP | brand-indicatoren |
|---|---|---|---|---|---|---|---|---|---|---|---|
| 15-16 | 3-4 | Boring 1 | humeuze, zandige klei | Betula +++, Salix, Juniperus, Pinus +, Artemisia ++, Anthemis type, Thalictrum, Filipendula, Galium type, Peucedanum palustre type, Poaceae ++, Cyperaceae ++++ | (einde ) berken fase Allerød | J | G | G/R | x | Sordaria type, T. 126 +, T.128 | verkoold Cyperaceae epidermis |
| 17-18 | 3-4 | Boring 2 | humeuze, zandige klei | Betula +++, Salix, Juniperus, Hippophae, Pinus +, Artemisia ++, Chenopodiaceae, Ophioglussum vulgatum, Filipendula, Galium type, Poaceae +, Cyperaceae ++++, Equisetum + | (einde ) berken fase Allerød | J | G | G | x | Podospora en Sordaria type +, T. 126 +, T.128 | |
| 38.5-40 | 3-4 | Boring 3 | venige, zandige klei | Betula +, Salix +, Juniperus, Pinus, Artemisia +, Thalictrum, Radiola linoides, Ophioglussum vulgatum, Phragmites , Poaceae ++, Cyperaceae ++++, Potentilla type, Equisetum +, Potamogeton, Botryococcus | einde Oude Dryas of Bølling | J | G | G | x | Podospora type +, T. 126 +, T.128 | verkoold Cyperaceae epidermis |

# ARCHIS-waarnemingen voor het onderzoeksgebied

## Uitgebreide Rapportage Waarnemingen

| | | | | | |
|---|---|---|---|---|---|
| **Waarnemingsnr:** | 414993 | **Vondstmelding:** | 410695 | **Extern nr:** | |
| **Objectcode:** | 54HN-15 | | | **Onderzoeksmelding:** | 34221 |
| **Coördinaten:** | 55875 / 361250 | | | | |
| **Toponiem:** | Emmabaan | | | | |
| **Plaats:** | Koewacht | | | | |
| **Gemeente:** | Terneuzen | | | | |
| **Provincie:** | Zeeland | | | | |
| **Vinder/datum:** | Archeomedia / Arnicon / 01-04-2009 | | | | |
| **Invoerder/datum:** | Dasselaar, van / 14-05-2009 | | | | |
| **Beschrijver/datum:** | Dasselaar, van / 14-05-2009 | | | | |
| **Verwerving:** | Archeologisch: booronderzoek | **Geomorfologie:** | Dekzandrug/dekzandplateau | | |
| **Grondgebruik:** | Akkerbouw/tuinbouw/bouwvoor | **NAP maaiveld:** | + 3 | | |

### Beschrijving

De oppervlaktevondsten bestaan uit vuursteenafslagen en -artefacten. De twee artefacten (een steker en een spits) die met zekerheid te dateren zijn stammen uit het laat-Paleolithicum/ vroeg Mesolithicum. Op grond van een aantal afslagen is niet uit te sluiten dat zich, behalve de laat-Paleolithische/ vroeg-Mesolithische component jonger (Neolithisch of Bronstijd-?) vuursteen tussen de vondsten bevindt. Gelet op de stratigrafische positie van Allerød-veen in de ondergrond met daarop Jong Dekzand II kunnen de vondsten in het geval dat ze dateren uit het laat-Paleolithicum alleen een jongere facies van de Tjonger-cultuur of de Ahrensburg-cultuur vertegenwoordigen. Gelet op het algemene beeld gaan de gedachten eerder uit naar een datering in het vroeg-Mesolithicum.

### Vondsten

| | | | |
|---|---|---|---|
| **Complex:** | Niet van toepassing | **Cultuur:** | Onbekend |
| **Aantal:** | 23 | **Toestand:** | Compleet |
| **Materiaal:** | Vuursteen | | |
| **Code algemeen:** | Afslag | **Begindatering:** | Paleolithicum: tot 8800 vC |
| **Code specifiek:** | Niet van toepassing | **Einddatering:** | Neolithicum: 5300 - 2000 vC |
| **Toelichting:** | circa 25 afslagen en artefacten, gevonden als oppervlaktevondst bij veldkartering. | | |

---

| | | | |
|---|---|---|---|
| **Complex:** | Niet van toepassing | **Cultuur:** | Onbekend |
| **Aantal:** | 2 | **Toestand:** | Fragment |
| **Materiaal:** | Vuursteen | | |
| **Code algemeen:** | Afslag | **Begindatering:** | Paleolithicum laat: 35000 C14 - 8800 vC |
| **Code specifiek:** | Niet van toepassing | **Einddatering:** | Mesolithicum vroeg: 8800 - 7100 vC |
| **Toelichting:** | 2 vuursteenafslagjes uit monsters booronderzoek (Archeomedia Projectnummer A09-020-I). monsters van boring 032 en 079. | | |

---

| | | | |
|---|---|---|---|
| **Complex:** | Niet van toepassing | **Cultuur:** | Onbekend |
| **Aantal:** | 1 | **Toestand:** | Onbekend |
| **Materiaal:** | Vuursteen | | |
| **Code algemeen:** | Spits | **Begindatering:** | Paleolithicum: tot 8800 vC |
| **Code specifiek:** | Niet van toepassing | **Einddatering:** | Neolithicum: 5300 - 2000 vC |
| **Toelichting:** | artefact, gevonden als oppervlaktevondst bij veldkartering | | |

---

| | | | |
|---|---|---|---|
| **Complex:** | Niet van toepassing | **Cultuur:** | Onbekend |
| **Aantal:** | 1 | **Toestand:** | Onbekend |
| **Materiaal:** | Vuursteen | | |
| **Code algemeen:** | Steker | **Begindatering:** | Paleolithicum laat: 35000 C14 - 8800 vC |
| **Code specifiek:** | Niet van toepassing | **Einddatering:** | Mesolithicum vroeg: 8800 - 7100 vC |
| **Toelichting:** | artefact, gevonden als oppervlaktevondst bij veldkartering | | |

---

## Uitgebreide Rapportage Waarnemingen

### Literatuur

Timmers, A. en M. van Dasselaar 2009 Archeologisch onderzoek aan de Emmabaan te Koewacht, gemeente Terneuzen, in: Arnicon/Archeomedia-rapport A09-020-I

## Uitgebreide Rapportage Waarnemingen

| | | | | | |
|---|---|---|---|---|---|
| **Waarnemingsnr:** | 421303 | **Vondstmelding:** | 415406 | **Extern nr:** | |
| **Objectcode:** | 54HN-16 | | | **Onderzoeksmelding:** | |
| **Coördinaten:** | 55860 / 361255 | | | | |
| **Toponiem:** | Emmabaan | | | | |
| **Plaats:** | Koewacht | | | | |
| **Gemeente:** | Terneuzen | | | | |
| **Provincie:** | Zeeland | | | | |
| **Vinder/datum:** | Jongepier / 28-04-2010 | | | | |
| **Invoerder/datum:** | Jongepier / 06-10-2010 | | | | |
| **Beschrijver/datum:** | Jongepier / 06-10-2010 | | | | |
| **Verwerving:** | Archeologisch: (veld)kartering | | | **Geomorfologie:** | Dekzandrug/dekzandplateau |
| **Grondgebruik:** | Akkerbouw/tuinbouw/bouwvoor | | | **NAP maaiveld:** | |

### Beschrijving

Op 28 april 2010 voerde de Stichting Cultureel Erfgoed Zeeland in samenwerking met de AWN en de gemeente Terneuzen een veldverkenning uit op een akker langs de Emmabaan te Koewacht. In totaal werden 19 vuurstenen artefacten aan de oppervlakte gevonden, in hoofdzaak afslagen. Ze kunnen nog uit het jong-paleolithicum dateren, maar gezien het geringe formaat van de afslagen/klingen is een datering in het mesolithicum iets waarschijnlijker.

### Vondsten

| | | | |
|---|---|---|---|
| **Complex:** | Vuursteenbewerking | **Cultuur:** | Onbekend |
| **Aantal:** | 19 | **Toestand:** | Fragment |
| **Materiaal:** | Vuursteen | | |
| **Code algemeen:** | Klopsteen/retouchoir | **Begindatering:** | Paleolithicum laat: 35000 C14 - 8800 vC |
| **Code specifiek:** | Niet van toepassing | **Einddatering:** | Neolithicum laat: 2850 - 2000 vC |
| **Toelichting:** | | | |

### Documentatie

| | |
|---|---|
| **Type:** | Verslag |
| **Beheerder:** | Stichting Cultureel Erfgoed Zeeland Archeologie |
| **Toelichting:** | |

# ARCHIS-onderzoeken voor het onderzoeksgebied

## Uitgebreide Rapportage Onderzoeksmeldingen

| | | | | | |
|---|---|---|---|---|---|
| **Onderzoeksmelding:** | 3413 | **Kaartblad:** | 54H | **Coördinaten:** | 55763 / 361185 |
| **Naam onderzoek:** | | | | | |
| **Toponiem:** | | | | | |
| **Plaats:** | Koewacht | | | | |
| **Gemeente:** | Terneuzen | | | | |
| **Provincie:** | Zeeland | | | | |
| **Type onderzoek:** | Archeologisch: booronderzoek | | | | |
| **Uitvoerder:** | Archeomedia / Arnicon | | | | |
| **Projectleider:** | Bulten | | | | |
| **Opdrachtgever:** | Niet van toepassing | | | | |
| **Bevoegd gezag:** | Niet van toepassing | | | | |
| **Aanmelding:** | 30-10-2002 | **Aanvang:** | 30-10-2002 | **Geschatte duur:** | 0 |
| **Motief:** | Overige grondwerkzaamheden | | | | |
| **Ingevoerd door/op:** | fbrou / 25-11-2002 | | | | |

**Toelichting**

Booronderzoek. Er zijn geen archeologische indicatoren aangetroffen, zodat in Archis geen Waarneming is aangemaakt. Het rapport (Archeomedia Rapport A02-340-Z) bevindt zich (o.a.) in de bibliotheek ROB.

Kaartblad: 67H
Coordinaten: 055750 / 361160
Toponiem: Oude Molen 19
Gemeente: Axel
Aanvang: 08-2002
Duur: 2 dagen
Motief: bouwwerkzaamheden (uitbreiding school)
Complextype: onbekend
Periode: onbekend

## Uitgebreide Rapportage Onderzoeksmeldingen

| | | | | | |
|---|---|---|---|---|---|
| **Onderzoeksmelding:** | 34221 | **Kaartblad:** | 54H | **Coördinaten:** | 55787 / 361330 |
| **Naam onderzoek:** | Emmabaan te Koewacht | | | | |
| **Toponiem:** | Emmabaan | | | | |
| **Plaats:** | Koewacht | | | | |
| **Gemeente:** | Terneuzen | | | | |
| **Provincie:** | Zeeland | | | | |
| **Type onderzoek:** | Archeologisch: booronderzoek | | | | |
| **Uitvoerder:** | Archeomedia / Arnicon | | | | |
| **Projectleider:** | Wagner | | | | |
| **Opdrachtgever:** | Niet van toepassing | | | | |
| **Bevoegd gezag:** | Niet van toepassing | | | | |
| **Aanmelding:** | 19-03-2009 | **Aanvang:** | 02-04-2009 | **Geschatte duur:** | 3 |
| **Motief:** | Bouwwerkzaamheden | | | | |
| **Ingevoerd door/op:** | mdass / 19-03-2009 | | | | |

**Toelichting**
ArcheoMedia Projectnummer A09-020-I.

### Onderzoek bij deze melding

| | | | | | |
|---|---|---|---|---|---|
| **Onderzoeksnummer:** | 26748 | **Type onderzoek:** | Archeologisch: booronderzoek | | |
| **Diepte onderzoek:** | 200 | **Aantal putten:** | | **Aantal boringen:** | 81 |
| **Gereedmelding:** | 30-06-2009 | | | | |
| **Ingevoerd door /op:** | atimm / 30-06-2009 | | | | |

**Selectieadvies**
Er dient vervolgonderzoek plaats te vinden in de vorm van een waarderend archeologisch gravend onderzoek.

**Selectiebesluit**
Er dient archeologisch vervolgonderzoek plaats te vinden.

**Toelichting**
Literatuur:
Timmers, A. en M. van Dasselaar, 2009: Archeologisch onderzoek aan de Emmabaan te Koewacht, gemeente Terneuzen. Arnicon/ArcheoMedia-rapport A09-020-I.

## Uitgebreide Rapportage Onderzoeksmeldingen

| | | | | | |
|---|---|---|---|---|---|
| **Onderzoeksmelding:** | 46655 | **Kaartblad:** | 54H | **Coördinaten:** | 55783 / 361294 |
| **Naam onderzoek:** | | | | | |
| **Toponiem:** | Emmabaan | | | | |
| **Plaats:** | Koewacht | | | | |
| **Gemeente:** | Terneuzen | | | | |
| **Provincie:** | Zeeland | | | | |
| **Type onderzoek:** | Archeologisch: proefputten/proefsleuven | | | | |
| **Uitvoerder:** | Universiteit Gent | | | | |
| **Projectleider:** | Bats | | | | |
| **Opdrachtgever:** | Gemeente Terneuzen | | | | |
| **Bevoegd gezag:** | Gemeente Terneuzen | | | | |
| **Aanmelding:** | 10-05-2011 | **Aanvang:** | 30-05-2011 | **Geschatte duur:** | 15 |
| **Motief:** | Bouwwerkzaamheden | | | | |
| **Ingevoerd door/op:** | jjong / 10-05-2011 | | | | |

**Toelichting**
Uitvoerder en datum nog niet zeker.

## Uitgebreide Rapportage Onderzoeksmeldingen

| | | | | | |
|---|---|---|---|---|---|
| **Onderzoeksmelding:** | 47114 | **Kaartblad:** | 54H | **Coördinaten:** | 55788 / 361301 |
| **Naam onderzoek:** | | | | | |
| **Toponiem:** | Emmabaan | | | | |
| **Plaats:** | Koewacht | | | | |
| **Gemeente:** | Terneuzen | | | | |
| **Provincie:** | Zeeland | | | | |
| **Type onderzoek:** | Archeologisch: proefputten/proefsleuven | | | | |
| **Uitvoerder:** | Bats | | | | |
| **Projectleider:** | Bats | | | | |
| **Opdrachtgever:** | Niet van toepassing | | | | |
| **Bevoegd gezag:** | Niet van toepassing | | | | |
| **Aanmelding:** | 04-06-2011 | **Aanvang:** | 15-06-2011 | **Geschatte duur:** | 20 |
| **Motief:** | Bouwwerkzaamheden | | | | |
| **Ingevoerd door/op:** | mbats / 14-06-2011 | | | | |

**Toelichting**

Het onderzoek bestaat uit een combinatie van booronderzoek (IVO-B) en proefsleuven (IVO-P)

# Programma van Eisen

| | | | |
|---|---|---|---|
| **Locatie** | Terneuzen | | |
| **Projectnaam** | Koewacht - Emmabaan | | |
| **Plaats binnen archeologisch proces** | | | |
| x IVO - Proefsleuven (IVO-P) | | | |
| x IVO - Overig (IVO-O) | | | |
| 0 Opgraven | | | |
| 0 Archeologische begeleiding (AB) | | | |
| 0 Archeologische begeleiding met beperkte verstoring (AB-bv) | | | |
| **Opsteller** | Naam, adres, telefoon, e-mail | datum | paraaf |
| Auteur | Prof. dr. P. Crombé<br>Universiteit Gent<br>Vakgroep Archeologie<br>Sint-Pietersnieuwstraat 35<br>B-9000 Gent<br>0032-93310153<br>philippe.crombe@ugent.be | | |
| Senior KNA-archeoloog (controle/goedkeuring) | Prof. dr. P. Crombé<br>Universiteit Gent<br>Vakgroep Archeologie<br>Sint-Pietersnieuwstraat 35<br>B-9000 Gent<br>0032-93310153<br>philippe.crombe@ugent.be | | |
| **Opdrachtgever** | Naam, adres, telefoon, e-mail | datum | paraaf |
| | Gemeente Terneuzen<br>Contactpersoon: J. Everaert<br>Postbus 35<br>4530 AA Terneuzen | | |
| **Goedkeuring bevoegde overheid** | | | |
| | Naam, adres, telefoon, e-mail | datum | paraaf |
| x Gemeente<br>0 Provincie<br>0 Rijk<br>0 Overig | Gemeente Terneuzen<br>C.M. de Vos,<br>afdelingshoofd O&E<br>Postbus 35<br>4530 AA Terneuzen | | |
| Adviseur bevoegde overheid | SCEZ, Middelburg<br>drs. M.W.A. de Koning<br>Postbus 49<br>4330 AA Middelburg<br>T 0118-670611<br>M 06-23391972<br>e-mail mwa.de.koning@scez.nl | | |

**INHOUDSOPGAVE**

**HOOFDSTUK 1 Administratieve gegevens onderzoeksgebied** **4**

**HOOFDSTUK 2 Aanleiding en motivering van het onderzoek** **5**

2.1 Aanleiding en motivering

**HOOFDSTUK 3 Eerder uitgevoerd onderzoek** **7**

**HOOFDSTUK 4 Archeologische verwachting** **9**

4.1 Regionale archeologische en cultuurlandschappelijke context
4.2 Aard en ouderdom van de vindplaats(en)
4.3 Begrenzing en oppervlakte van de vindplaats(en)
4.4 Structuren en sporen
4.5 Anorganische artefacten
4.6 Organische artefacten
4.7 Archeozoölogische en botanische resten
4.8 Archeologische stratigrafie en diepte van vondstlagen
4.9 Gaafheid en conservering

**HOOFDSTUK 5 Doelstelling en vraagstelling** **13**

5.1 Doelstelling
5.2 Relatie met NOaA en/of andere onderzoekskaders
5.3 Vraagstelling
5.4 Onderzoeksvragen

**HOOFDSTUK 6 Methoden en technieken** **15**

6.1 Methoden en technieken
6.2 Strategie
6.3 Structuren en grondsporen
6.4 Aardwetenschappelijk onderzoek
6.6 Anorganische artefacten
6.7 Organische artefacten
6.8 Archeozoölogische en -botanische resten
6.9 Overige resten
6.10 Dateringstechnieken
6.11 Beperkingen

**HOOFDSTUK 7 Uitwerking en conservering** **18**

7.1 Structuren, grondsporen, vondstspreidingen
7.2 Analyse aardwetenschappelijke gegevens
7.3 Anorganische artefacten
7.4 Organische artefacten
7.5 Archeozoölogische en -botanische resten
7.6 Beeldrapportage
7.7 Selectie materiaal
7.8 Conservering materiaal

**HOOFDSTUK 8 Deponering** **21**

8.1 Eisen betreffende depot
8.2 Te leveren product

**HOOFDSTUK 9 Randvoorwaarden en aanvullende eisen** **23**

9.1 Personele randvoorwaarden
9.2 Overlegmomenten
9.3 Kwaliteitsbewaking, toezicht, overleg en evaluatie
9.4 Overige randvoorwaarden en aanvullende eisen

**HOOFDSTUK 10 Wijzigingen ten opzichte van het vastgestelde PvE** **25**

10.1 Wijzigingen tijdens het veldwerk
10.2 Belangrijke wijzigingen
10.3 Procedure van wijziging na de evaluatiefase van het veldwerk
10.4 Procedure van wijziging tijdens uitwerking en conservering

**Literatuur** **26**

**Bijlagen** **28**

## HOOFDSTUK 1 ADMINISTRATIEVE GEGEVENS ONDERZOEKSGEBIED

| | |
|---|---|
| Projectnaam | Emmabaan - Koewacht |
| Provincie | Zeeland |
| Gemeente | Terneuzen |
| Plaats | Koewacht |
| Toponiem | Emmabaan |
| Kaartbladnummer | gemeente Axel, sectie N, perceelnummer 833 |
| x,y–coördinaten | X= 055.737 Y= 361.471 (NW)<br>X= 055.940 Y= 361.330 (NO)<br>X= 055.892 Y= 361.214 (ZW)<br>X= 055.648 Y= 361.277 (ZO) |
| CMA/AMK-status | Geen |
| Archis-monumentnummer | Geen |
| ARCHIS-onderzoeks-meldingnummer | 46655 |
| ARCHIS-waarnemingsnummers | 414993 en 421303 |
| Oppervlakte plangebied | ca. 5,5ha |
| Oppervlakte onderzoeksgebied | ca. 5,5ha |
| Huidig grondgebruik | Het terrein is momenteel in gebruik als akkerland en deels als woonwagencentrum |

## HOOFDSTUK 2 AANLEIDING EN MOTIVERING VAN HET ONDERZOEK

### 2.1 Aanleiding en motivering

De opdrachtgever plant op de onderzoekslocatie aan de Emmabaan te Koewacht een uitbreiding van een woonwagencentrum en een woonwijk te realiseren met in de noordwesthoek van het perceel een vijver (bijlage 1). Nadere gegevens omtrent de diepte van de toekomstige verstoringen voor de nieuwbouw zijn nog niet bekend.

Op basis van nieuwe inzichten, wordt gesteld dat een deel van de Emmahof (zie bijlage 1, groen omlijnde zone) aan een IVO-O moet worden onderworpen. Het IVO-O bestaat uit archeologische boringen in een - waar mogelijk - verspringend driehoeksgrid van 10 x 10m. Daar dit gebied al grotendeels is ingevuld met standplaatsen, zal daar alleen om de standplaatsen geboord worden. Op locaties die niet bebouwd/ ingenomen zijn wordt volgens het driehoeksgrid geboord.
Uit het onderzoek uit 2002 (Holthausen & Bulten, 2002) blijkt dat er weliswaar geen directe aanwijzingen zijn gevonden voor resten van bewoning in het verleden, maar dat de mogelijkheid bestaat dat zich toch kleine archeologische sites in het plangebied bevinden. Op basis van de onderzoeksresultaten van het onderzoek op de Emmahof, genaamd Oude Molen 19 te Koewacht, is aanbevolen om eventuele werkzaamheden (in het plangebied), zoals het graven van cunetten of funderingssleuven archeologisch te laten begeleiden. Op basis hiervan heeft de toenmalig provinciaal archeoloog dhr. drs. R.M. van Dierendonck in 2003 geadviseerd: “dan ook in de verdere planvorming en uitwerking in bestekken uitvoering te geven aan de aanbeveling van archeologische begeleiding in de vorm van inspectie van door graafwerkzaamheden ontsloten delen van het plangebied, zoals de wegcunetten, funderingssleuven en bouwput” (brief 03U.0030, d.d. 16-1-2003 Reactie archeologie Vastgesteld bp Axel-Oude Molen, 19de herziening). Het boormethode in voorgaand onderzoek was niet geschikt om te beantwoorden aan de onderzoeksvragen m.b.t. de aard, de omvang en de datering van steentijdvindplaatsen op deze locatie. Er werden 23 gutsboringen uitgevoerd om een beeld te krijgen van de bodemopbouw. Vervolgens werd, zoals beschreven in het rapport “daar waar de noodzaak van monstername bestond” (Holthausen & Bulten, 2002, p.12) bemonsterd met een 20cm edelmanboor. Dit resulteerde in 19 monsters. Uitgebreid steentijdonderzoek in het dekzandgebied in Vlaanderen heeft al aangetoond dat bij booronderzoek een dicht en regelmatig grid nodig is (in combinatie met voldoende grote monsters en een fijne zeefmaas) om vuursteenvindplaatsen te detecteren en te evalueren (zie oa. De Clercq et al., 2011). Bovendien kunnen vraagtekens gezet worden bij de boorbeschrijvingen ten aanzien van de mate van intactheid van de bodem. Aangezien een archeologische begeleiding vertragingen kan veroorzaken bij de civiele werkzaamheden, praktisch lastig uitvoerbaar is en er bovendien voldoende geschoven kan worden bij de inrichtingsplannen, heeft de gemeente Terneuzen er voor gekozen op het noordelijke deel van de Emmahof een IVO-O volgens de door De Clerq etal (2011) voor archeologisch booronderzoek beschreven werkwijze.

Op basis van eerder onderzoek op het terrein aan de Emmabaan (bijlage x, rood omlijnde zone) (Timmers & van Dasselaar, 2009; Jongepier, 2010; De Koning en Jongepier, 2011) werd gesteld dat in de zuidoostelijke hoek van het onderzoeksterrein een minstens gedeeltelijk intacte vindplaats uit de steentijd aanwezig was, omdat hier een vuursteenconcentratie aan het oppervlak werd gevonden. Door ArcheoMedia BV werd voorgesteld hier een waarderend archeologisch gravend onderzoek uit te voeren. De aanwezigheid van het vuursteen aan het oppervlak wijst echter op minstens een gedeeltelijke verstoring van de site door ploegactiviteiten. In de andere delen van het terrein werd geen vuursteen in de boringen waargenomen, maar bleek het podzolprofiel wel matig tot goed bewaard. Gezien de toegepaste methode wordt verwacht dat archeologische indicatoren, zoals vuurstenen artefacten, gemist kunnen zijn. Door ploegen werd het oorspronkelijk reliëf, met een microtopografie van kleine zandkopjes, genivelleerd. Terwijl de top van deze zandkopjes werd afgesneden, kunnen de tussenliggende lagere delen goed bewaard zijn. Daarom is het van belang deze zones in detail te onderzoeken op steentijdsites. Een intensief booronderzoek met dicht grid en

het uitzeven van monsters over fijne mazen zal daarbij meer informatie verschaffen over de aard, omvang en type van steentijdvindplaats(en).

Over een groot deel van het plangebied komt een paleosol (begraven oude bodem) op geringe diepte (ca. 1,50-1,90m -mv) voor. Hoewel archeologische vindplaatsen met deze bodem gerelateerd kunnen zijn, is er in deze fase te weinig informatie voor handen om gericht onderzoek te doen. Bovendien bestaat geen informatie omtrent de datering van deze organische laag (in het vooronderzoek wordt deze bodem onder voorbehoud in de Allerød chronozone geplaatst). Daarom wordt voorgesteld eerder te opteren voor een gericht paleo-ecologisch onderzoek van de paleosol. Voor jongere perioden is het aangewezen het volledige terrein te onderzoeken op grondsporen, dit door middel van proefsleuven.
De volgende acties worden, in combinatie met elkaar en uit te voeren volgens de provinciale richtlijnen, uitgevoerd:

*IVO met boringen (IVO-b).* Het doel ligt hier specifiek op het aanvullen van de boringen die hier reeds in 2002 en 2009 gezet zijn door de ArcheoMedia. De aard en omvang van de vindplaatsen uit 2009 zijn nog niet voldoende bekend. Aan de hand van de boringen moet het reeds verkregen beeld aangescherpt en bevestigd worden, met de nadruk op de datering, conservering en afbakening van de steentijdvindplaatsen.

*IVO met proefsleuven (IVO-p).* Het doel ligt hier in het precies in kaart brengen van de specifieke aard, datering en conservering van eventuele resten en sporen van menselijke aanwezigheid. Deze zijn voornamelijk te verwachten vanaf het neolithicum maar ook uit oudere perioden (op deze locatie met name uit het finaalpaleolithicum en het mesolithicum) kunnen nog sporen, zoals haardkuilen, voorkomen. Het booronderzoek is gericht op waardering van de archeologische resten van bewoning uit de steentijd in de vorm van lithische artefactenclusters.

## HOOFDSTUK 3 EERDER UITGEVOERD ONDERZOEK

| | |
|---|---|
| Soort onderzoek | Bureau- en booronderzoek |
| Uitvoerder | ArcheoMedia |
| Uitvoeringsperiode | April 2002 |
| Rapportage | Holthausen, O. en Bulten, E. (2002) Verkennend archeologisch bodemonderzoek Oude Molen 19 te Koewacht (gemeente Axel) (=ArcheoMedia projectnummer A02-340-Z). |
| Vondsten/documentatie | Beheer en plaats van documentatie: Zeeuws Archeologisch Archief (ZAA)<br>Stichting Cultureel Erfgoed Zeeland (SCEZ)<br>Postbus 49<br>4330 AA Middelburg<br>Beheerder: dhr. J.J.B. Kuipers<br>0118-670879<br>e-mail: jjb.kuipers@scez.nl |

| | |
|---|---|
| Soort onderzoek | Bureauonderzoek |
| Uitvoerder | ArcheoMedia |
| Uitvoeringsperiode | April 2009 |
| Rapportage | Timmers, A., van Dasselaar M. (2009) Archeologisch onderzoek aan de Emmabaan te Koewacht, gemeente Terneuzen. Bureauonderzoek en inventariserend veldonderzoek met boringen (ArcheoMedia Rapport A09-020-I) |
| Vondsten/documentatie | Beheer en plaats van documentatie: Zeeuws Archeologisch Archief (ZAA)<br>Stichting Cultureel Erfgoed Zeeland (SCEZ)<br>Postbus 49<br>4330 AA Middelburg<br>Beheerder: dhr. J.J.B. Kuipers<br>0118-670879<br>e-mail: jjb.kuipers@scez.nl |

| | |
|---|---|
| Soort onderzoek | Karterend booronderzoek en veldkartering |
| Uitvoerder | ArcheoMedia |
| Uitvoeringsperiode | April 2009 |
| Rapportage | Timmers, A., van Dasselaar M. (2009) Archeologisch onderzoek aan de Emmabaan te Koewacht, gemeente Terneuzen. Bureauonderzoek en inventariserend veldonderzoek met boringen (ArcheoMedia Rapport A09-020-I) |
| Vondsten/documentatie | Beheer en plaats van documentatie: Zeeuws Archeologisch Archief (ZAA)<br>Stichting Cultureel Erfgoed Zeeland (SCEZ)<br>Postbus 49<br>4330 AA Middelburg<br>Beheerder: dhr. J.J.B. Kuipers<br>0118-670879<br>e-mail: jjb.kuipers@scez.nl |

| | |
|---|---|
| Soort onderzoek | veldkartering |
| Uitvoerder | SCEZ i.s.m. de AWN afd. Zeeland, de Werkgroep Archeologie Hulst en de gemeente Terneuzen |
| Uitvoeringsperiode | April 2010 |
| Rapportage | Jongepier, J. (2010) Dagrapport. Ongepubliceerd Rapport SCEZ. |
| Vondsten/documentatie | Beheer en plaats van documentatie: Zeeuws Archeologisch Archief (ZAA)<br>Stichting Cultureel Erfgoed Zeeland (SCEZ)<br>Postbus 49<br>4330 AA Middelburg<br>Beheerder: dhr. J.J.B. Kuipers<br>0118-670879<br>e-mail: jjb.kuipers@scez.nl |

| | |
|---|---|
| Soort onderzoek | veldkartering |
| Uitvoerder | SCEZ i.s.m. de AWN afd. Zeeland, de Werkgroep Archeologie Hulst en de gemeente Terneuzen |
| Uitvoeringsperiode | Februari 2011 |
| Rapportage | De Koning, M.W.A. en J. Jongepier (2011) Ongepubliceerde rapportage veldkartering. |
| Vondsten/documentatie | Beheer en plaats van documentatie: Zeeuws Archeologisch Archief (ZAA)<br>Stichting Cultureel Erfgoed Zeeland (SCEZ)<br>Postbus 49<br>4330 AA Middelburg<br>Beheerder: dhr. J.J.B. Kuipers<br>0118-670879<br>e-mail: jjb.kuipers@scez.nl |

## HOOFDSTUK 4 ARCHEOLOGISCHE VERWACHTING

### 4.1 Regionale archeologische en cultuurlandschappelijke context

Volgens de Geologische kaart van Nederland (Van Rummelen, 1977) behoort het plangebied tot Formatie van Boxtel -Laagpakket van Wierden, ontwikkeld als dekzand dikker dan 2 m (Code TW). De onderzoekslocatie is gelegen op de noordelijke rand van de dekzandrug, al dan niet met een oud landbouwdek (code 3K14 op de Geomorfologische kaart - ArchisII). De noordwestelijke hoek van de locatie betreft een lage vlakte van ten dele verspoelde dekzanden (Code 2M9). Het plangebied wordt op de geomorfologische kaart van De Moor en Heyse (1990) beschreven als een Tardiglaciair dekzandreliëf - dekzandrug (3.1.1b). Het betreft hier de zgn. Laatglaciale dekzandrug Maldegem-Stekene.

De Bodemkaart (Archis II) geeft hier laarpodzolgronden met leemarm en zwak lemig fijn zand (code cHn21). Het in 2009 uitgevoerde booronderzoek op de akker aan de Emmabaan (Timmers & Van Dasselaar, 2009) leverde volgend globaal beeld van de plaatselijke bodemopbouw:

| | |
|---|---|
| 0,0 - 0,3 à 0,4 m -mv | zeer humeus zand donkerbruin Ap-horizont (bouwvoor) |
| 0,3 à 0,4 - 0,35 à 0,45 m -mv | grijsbruin/grijs zand (E-horizont) |
| 0,35 à 0,45 - 0,5 à 0,8 m -mv | licht bruin/oranje roestig zand (B-horizont) |
| 0,5 à 0,8 -1,7 à 1,8 m -mv | lichtgeel/beige zand, C1- horizont |
| 1,7 à 1,8 -1,75 à 1,85 m -mv | lemig, humeus zand of venig laagje, bruin/grijs (Allerød-laag[1]) |
| 1,75 à 1,85 - 2,0 m -mv | lichtgeel/beige zand, C2- horizont |

Tijdens het vooronderzoek werd op het onderzoeksterrein in verschillende boringen een oude, begraven bodem (zgn. paleosol) vastgesteld (Timmers & Van Dasselaar, 2009). Dergelijke paleosols werden ook vastgesteld op de locatie Koewacht - Oude Molen (= Emmahof) (Holthausen & Bulten, 2002). Momenteel wordt aan de Universiteit Utrecht een venige paleosol uit een profiel in Heikant paleoecologisch onderzocht en absoluut gedateerd (mondelinge mededeling W. Hoek). Deze paleosols worden meestal gekenmerkt door humeuze tot venig bandjes in het dekzand en wijzen op stabiele fasen tijdens de vorming van de dekzandrug in het Laatglaciaal. De twee fasen worden gekenmerkt door een milder klimaat (interstadialen) en zijn gedateerd tussen 12.720 en 12.090 BC (Bølling) en tussen 11.015-11.625 BC (Allerød) (Terberger et al., 2009). De veenlaag in Heikant kan vermoedelijk gedateerd worden in de Allerød, maar dit moet nog bevestigd worden. In Rieme bij Gent (België) werden recent verschillende stratigrafisch gescheiden veenlaagjes in het dekzand onderzocht (Bos & Verbruggen, 2011; Hoorne et al., 2009). Deze konden gedateerd worden in de Bølling en de Allerød. In het kader van een lopend onderzoeksproject aan de Universiteit Gent (Bats et al., 2009; 2010) werden paleosols op verschillende locaties op de dekzandrug aangeboord en onderzocht.

De vorming van het landschap tijdens het laatglaciaal is een zeer complex en nog niet volledig begrepen gegeven. De studie van dergelijke paleosols is van belang voor de landschapsreconstructie in deze periode. Daarnaast moet het warmere klimaat van deze interstadialen zeker geschikt geweest zijn voor finaal-paleolithische menselijke bewoning. Voor de Bøllingfase is hiervan echter (voorals)nog geen bewijs gevonden op of langs de dekzandrug. De bewoning in deze regio tijdens de Allerød wordt meestal aangetroffen in verploegde contexten (Van Vlaenderen et al. 2006). *In situ* vindplaatsen uit de Allerød zijn hier nog weinig bekend. In Verrebroek en Doel (België) werden tijdens graafwerken i.h.k. van de Antwerpse havenuitbreiding meerdere finaal-paleolithische vuursteenconcentratie opgegraven (Crombé, 2005; Perdaen et al., 2004). De concentratie in Verrebroek werd aangetroffen in associatie met een humeuze paleosol.

Behalve onderzoek naar de landschapsreconstructie uit die tijd, zijn deze paleosols ook interessant voor onderzoek naar klimaatsveranderingen. De overgang van de Allerød naar de laatste koude ijstijdfase, de Jonge Dryas, gebeurde zeer abrupt en wereldwijd zoeken onderzoekers naar een

[1] Deze laag werd niet absoluut gedateerd

verklaring van deze ongewoon snelle klimaatswijziging. Momenteel wordt aan de Universiteit Utrecht onderzocht of de overgang van veen naar zand (en dus de overgang van warmere naar koudere fase) kan veroorzaakt zijn door de inslag van een meteoriet (lopend promotieonderzoek door A. Van Hoesel, Universiteit Utrecht).

Op de dekzandrug zijn in de ruimere omgeving archeologische sites gekend uit verschillende perioden. Dichtbij de onderzoekslocatie werden al enkele prehistorische vondsten bekend, waaronder een neolithische vuurstenen bijl (ARCHIS-waarnemingsnr. 22071) en mesolithische vuursteenafslagen (ARCHIS-waarnemingsnr. 21148). Op basis van al eerder gedane vuursteenvondsten uit de vroege prehistorie en de bodemkundige situatie met een dagzomende dekzandrug kan al op voorhand gesteld worden dat Koewacht bijzondere archeologische waarden herbergt. Aan de Boerenkavelweg in de Nieuw-Beoosten-Blij-Bezuidenpolder ten zuiden van Koewacht is een vuurstenen bijl gevonden (Archis-waarnemingsnr. 22071). Het vermoeden bestaat dat de grond waarin de bijl gevonden is, tijdens de ruilverkaveling uit de directe omgeving is aangevoerd. Deze bijl wijst op menselijke aanwezigheid in het neolithicum (jonge steentijd).
In Koewacht (Nieuwemolen) zijn langs de Hazelarenstraat vondsten van vuursteen uit het mesolithicum aangetroffen (waarnemingsnummer 21148). Deze zijn in 1972 gevonden tijdens het graven van een grote kuil voor de aanleg van een zwembad aan de Hazelarenstraat 70. De eigenaar bleek een verwoed verzamelaar. Hij toonde slechts een aantal afslagjes (vermoedelijk van mesolithische ouderdom). Door de toenmalig provinciaal archeoloog ing. J. A. Trimpe Burger konden nog slechts enkele intacte bodemprofielen gedocumenteerd worden (podzol). Direct ten zuiden van deze waarneming is een vindplaats bekend van een middeleeuwse nederzetting en vondsten uit het neolithicum (waarnemingsnummer 408086).
In 1999 zijn hier door het toenmalige PACZ (voorganger SCEZ) door dhr. drs. J. Jongepier in een weiland aan de Hazelarenstraat 35, archeologische waarnemingen en boringen verricht in verband met het graven van een drinkput door de Stichting Landschapsbeheer Zeeland (waarnemingsnummer 408086). Het uitgraven van de drinkput leverde geen vondsten op. Op de plaats waar een rij bomen zou worden geplant is vanwege de hoge archeologische verwachting een proefsleuf gegraven met een lengte van 30 m en een breedte van 1,5 m. In de sleuf werden onmiddellijk onder de bouwvoor sporen aangetroffen in de vorm van een laag met middeleeuws aardewerk (onder meer randen van kogelpotten uit de periode 10$^{e}$-12$^{e}$ eeuw), twee kuilen en vijf paalgaten, gelegen in een rij. De eerste kuil bevatte enkele kleine middeleeuwse aardewerkscherven. In de tweede kuil direct daarnaast werden dertien vuursteenafslagen aangetroffen. Verderop in de sleuf werden nog eens vier afslagen en klingen gevonden. Waarschijnlijk dateren ze alle uit het neolithicum, maar een oudere datering is niet uitgesloten. In de paalgaten zijn geen vondsten gedaan, zodat niet kon worden aangetoond of deze tot een neolithische of middeleeuwse constructie hebben behoord.
In 2009 werd langs de Hazelarenstraat een booronderzoek uitgevoerd, waarbij geen vindplaatsen zijn ontdekt (onderzoeksmeldingsnummer 1974). Bij een archeologische begeleiding tijdens de aanleg van een fietspad langs het Zand, zijn ter hoogte van Het Zand 44 op een diepte van ca. 0,3 m –mv enkele vage restanten van ploegsporen aangetroffen. Er zijn geen vondsten aangetroffen die de ploegsporen kunnen dateren, maar een middeleeuwse of hogere ouderdom kan niet worden uitgesloten (Archis-vondstmeldingsnr. 416501 en 416502).

Op een luchtfoto uit 2003 zijn ten zuiden van Zuiddorpe (ten oosten van AMK-terrein 11356) twee circulaire structuren zichtbaar. Het betreft mogelijke resten van grafheuvels uit de bronstijd (?), die zichtbaar zijn geworden doordat het pleistocene dekzand hier slechts door een dun kleidek is afgedekt. Eerder werden door dhr. J. Semey van de Universiteit Gent vele luchtfoto-opnames gemaakt van het noorden van Vlaanderen en Zeeuws-Vlaanderen (Ampe et al., 1995; Bourgeois et al., 1998; 1999). Een deel van de sporen zichtbaar op deze luchtfoto’s is opgenomen in Archis. Zo bevinden zich op de akkers ten noorden en ten zuiden van Zuiddorpe en ten zuiden van Koewacht een zestal waarnemingen van opvallende grondsporen/ bodemverkleuringen. Verspreid over de dekzandrug zijn aan Vlaamse zijde bovendien al talrijke vindplaatsen uit de steen-, brons- en ijzertijd gekend (zie o.a.

Crombé & Verbruggen, 1999; De Bock & De Meireleir, 2005; De Reu et al., 2010; Lauwers & De Reu, 2011; Van Vlaenderen et al., 2006).

Het huidige dorp Koewacht zelf kent een betrekkelijk jonge geschiedenis. Door militaire inundaties tijdens de Tachtigjarige Oorlog was er een grote kreek ontstaan tussen Axel en Koewacht. In verband met de dreiging door de Staatse troepen werden bestaande schansen verbeterd en nieuwe werken aangelegd. Hierdoor ontstond o.a. een Spaanse linie aan de zuidzijde van de Axelse kreek. Na de inneming van Hulst in 1645 kwam het gebied in handen van de Staatse troepen. Koewacht wordt genoemd in een stuk uit 1590 waarin wordt opgemerkt: "er moet haast gemaakt worden met het fort Masereels, anders genoemd de Koewagt". In 1687 werd in Spaans (Belgisch) Koewacht een kapel gesticht ten behoeve van de geheel katholieke bevolking van de grensstreek. Pas in 1912 werd op Nederlands grondgebied een R.K.-kerk gebouwd.

In de wijdere omgeving van de huidige onderzoekslocatie bevinden zich twee AMK-terreinen. Het betreft twee sites uit de late middeleeuwen: de ondergrondse resten van het Cisterciënzer nonnenklooster Ter Haghen (AMK-terrein 13790) uit 1236-1578, op ca. 3 km ten westen van de onderzoekslocatie en de resten van het laatmiddeleeuwse kasteel van Zuiddorpe, de Monnikenhof of het hof van de heren van Moere (AMK-terrein 11356), op ca. 4,3 km ten westen van de onderzoekslocatie. Het kasteel werd in 1516 ingericht als mannenklooster. Wellicht werd toen het voormalige kasteel omgevormd tot woon- en gebruiksruimten bij de boerderij.
Ten noordwesten, ten westen en ten zuidwesten van de huidige onderzoekslocatie bevindt zich een fortenlinie die door de Spanjaarden n.a.v. de 80-jarige oorlog opgericht is. De meeste forten vervielen in de tweede helft van de zeventiende eeuw, met uitzondering van het thans gerestaureerde fort St. Jacob.

### 4.2 Aard en ouderdom van de vindplaats(en)

Tijdens het karterend veldonderzoek en het booronderzoek werden vuurstenen artefacten aangetroffen (bijlage 3). Het merendeel van het vondstmateriaal kon niet nader gedateerd worden. Twee artefacten kunnen typologisch in het finaal-paleolithicum / vroeg-mesolithicum geplaatst worden (Timmers & Van Dasselaar, 2009). In 2010 en 2011 is o.l.v. de SCEZ door de Werkgroep Archeologie Hulst (WAH) en de AWN-afdeling Zeeland op verzoek van de gemeente Terneuzen tweemaal een oppervlaktekartering uitgevoerd. Het oppervlaktemateriaal van de 2$^{e}$ veldkartering wordt algemeen in het mesolithicum gedateerd (Jongepier 2010). Mogelijk komen ook jongere perioden uit de steentijd voor. De vuurstenen artefacten uit de 3$^{e}$ veldkartering worden in het vroeg-mesolithicum gedateerd, hoewel enkele stukken ook uit het neolithicum kunnen dateren. De kleine scherfjes handgevormd aardewerk duiden mogelijk op bewoning in of vanaf het neolithicum. (De Koning & Jongepier, 2011).

### 4.3 Begrenzing en oppervlakte van de vindplaats(en)

De afbakening van vindplaatsen blijft na het vooronderzoek problematisch (Timmers & Van Dasselaar, 2009). De oppervlakteverkenning heeft een groot aantal vuursteenafslagen en artefacten opgeleverd. In twee boringen zijn ook telkens één vuursteenafslag aangetoond. In de zuidoosthoek van de onderzoekslocatie is de concentratie aangetroffen vuursteen zo groot dat dit gebied als vindplaats gedefinieerd werd.
Afgezien van deze vindplaats zijn verspreid over de onderzoekslocatie nog meer fragmenten vuursteen aan het oppervlak aangetroffen, waarvan niet duidelijk is of zij een intacte vindplaats aanduiden, of losse vondsten, mogelijk behorend tot een verploegde vindplaats. De monsters die van deze plaatsen genomen zijn, bevatten geen archeologische indicatoren die duiden op een intacte vindplaats. Vanwege de mogelijk geringe afmetingen van tijdelijke jachtkampjes, kunnen deze in de boringen gemist zijn. Zowel visueel (in het veld) als in de gezeefde monsters zijn geen archeologische indicatoren in de laag van Usselo aangetroffen.

### 4.4 Structuren en sporen

Op basis van de geologische ligging van de onderzoekslocatie op een laatglaciale dekzandrug kunnen archeologische resten verwacht worden vanaf het (finaal-)paleolithicum tot en met de nieuwe tijd.
Voor de periode finaalpaleolithicum/mesolithicum worden algemeen geen zichtbare sporen en of structuren verwacht, met uitzondering van eventuele haardkuilen. Vanaf het neolithicum kunnen grondsporen verwacht worden.

### 4.5 Anorganische artefacten

Vondstmateriaal kan verwacht worden uit (de restanten van) eventuele loopniveaus en uit de opvullingen van eventueel aanwezige grachten en kuilen. Aan vondstmateriaal wordt verwacht: lithische artefacten en vanaf het neolithicum ook aardewerk, leem, metaal, glas, bouwmateriaal.

### 4.6 Organische artefacten

De bewaringsomstandigheden in de zure dekzandgrond zijn boven de grondwaterspiegel niet ideaal voor organisch materiaal. Met uitzondering van uitzonderlijke contexten (bv. in een waterput), zal enkel verkoold/verbrand organisch materiaal bewaard gebleven zijn.
In de diepere niveaus, ter hoogte van de paleosols, is eventueel een betere bewaring mogelijk in de venige lagen.

### 4.7 Archeozoölogische en botanische resten

Naar verwachting zijn ook pollen en andere plantresten op het niveau van de (venige) paleobodem goed bewaard gebleven, evenals eventueel aanwezig botmateriaal en hout en houtskool. Een en ander zal tevens geschikt zijn voor $^{14}C$- en dendrodateringen.
In het dekzand zullen ecofacten enkel in verkoolde/verbrande toestand bewaard zijn gebleven (bv. verkoolde hazelnootdoppen, verbrand bot, houtskool).

### 4.8 Archeologische stratigrafie en diepte van vondstlagen

De boringen vertoonden volgende archeologische stratigrafie: bouwvoor (zand) op dekzand (laatglaciale afzettingen) met vorming van podzol in de top. Dieper in het dekzand komt een paleosol voor tussen 1,5 en 1,9m -mv.

Archeologische resten in de vorm van grondsporen zijn te verwachten in de top van het dekzand, direct onder de bouwvoor. Archeologische resten uit de steentijd (lithisch materiaal en ecofacten) zijn te verwachten in een goed geconserveerde podzolbodem, eveneens in de top van het dekzand.

### 4.9 Gaafheid en conservering

In een deel van de boringen is een bijna intacte podzolbodem aangetroffen. De bodemopbouw is door ploegen op circa 50 % van de onderzoekslocatie tot in de B- of C-horizont verstoord tot op een diepte van ca. 0,4 m -mv. In circa de andere 50 % is een dunne E-horizont aanwezig.
Als gevolg van de ploegactiviteit werden aan het oppervlak verschillende lithische artefacten gevonden; met name in het zuidoostelijke deel is een duidelijke concentratie waargenomen die overeenstemt met de zone waar het podzolprofiel afgeknot is.
Daarnaast werd in een aantal boringen in het noordwestelijke deel van de onderzoekslocatie een mogelijk laatglaciale paleosol aangetroffen. In één boring (B 006, zie: Timmers & Van Dasselaar, 2009) ) bestaat deze uit een dun veenlaagje.

## HOOFDSTUK 5 DOELSTELLING EN VRAAGSTELLING

### 5.1 Doelstelling

Het doel het IVO-p en IVO-b is het documenteren van gegevens en het veiligstellen van materiaal van vindplaatsen om daarmee informatie te behouden die van belang is voor de kennisvorming over het verleden. Deze informatie dreigt door de voorgenomen bodemingrepen verloren te gaan. Met deze gegevens kan de gespecificeerde archeologische verwachting, die gebaseerd is op het vooronderzoek, worden aangevuld en getoetst. Het onderzoek moet resulteren in een archeologische waardering van het onderzoeksgebied. Het onderzoek dient antwoord te geven op de vraag hoe de resten het beste *in situ* (in de bodem) behouden kunnen worden. Op terreindelen waar geen behoudenswaardige resten aanwezig zijn / te verwachten zijn, kan bodemverstoring door herinrichtingswerkzaamheden plaatsvinden; op locaties waar behoudenswaardige resten aanwezig zijn, zullen afdoende beschermingsmaatregelen genomen worden ten behoeve van behoud in situ.

### 5.2 Relatie met NOaA en/of andere onderzoekskaders

Hierover is nog niks bekend bij het aantreffen van archeologische vindplaatsen kunnen, afhankelijk van de ouderdom en aard van de archeologische vindplaats, hoofdstuk 11, 14, 15, 16 en 17 van de NOaA relevant zijn. Zowel in de Nationale Onderzoeksagenda Archeologie (NOaA) als die van de provincie (POAZ 2009-2012) wordt, gelet op de bestaande kennislacunes, een groot archeologisch en wetenschappelijk belang toegekend aan overdekte vindplaatsen, in het bijzonder uit de vroege prehistorie. Gezien tegen deze achtergrond past het waarderend proefputtenonderzoek uitstekend in deze beleidskaders en de thema's die hierin zijn ondergebracht. De gemeente Terneuzen heeft op dit punt een interim beleid geformuleerd, dat slechts op onderdelen afwijkt van dat van de provincie. De uitkomsten van het waarderend proefputtenonderzoek in het kader van de aanleg van de Kanaalkruising Sluiskil zullen vergeleken worden met de resultaten van het waarderend proefsleuvenonderzoek aan de Emmabaan en informatie van andere onderzoeken op (nabijgelegen) vindplaatsen in Zeeuws-Vlaanderen en Vlaanderen om zodoende te komen tot een betere afweging van de waarden van de vindplaatsen. Tevens kunnen de resultaten bijdragen in het stimuleren en verkrijgen van basale harde gegevens, aanvullen en ontwikkelen van diachrone datasets op het terrein van absolute dateringen ($^{14}C$, luminiscentie (OSL), archeobotanie), zoals aangegeven in hoofdstukken 3, 4, 5 van de NOaA en hoofdstuk 1 van de Provinciale Onderzoeksagenda Archeologie Zeeland 2009-2012.

### 5.3 Vraagstelling

Het proefsleuvenonderzoek is gericht op de vaststelling van de aanwezigheid dan wel afwezigheid van resten en sporen van menselijke aanwezigheid in het verleden. Deze zijn voornamelijk te verwachten vanaf het neolithicum maar ook uit oudere perioden (op deze locatie met name uit het finaalpaleolithicum en het mesolithicum) kunnen nog sporen, zoals haardkuilen, voorkomen. Het booronderzoek is gericht op waardering van de archeologische resten van bewoning uit de steentijd in de vorm van lithische artefactenclusters.

Van belang voor het onderzoek zijn de aard, de omvang, de mate van conservering en de datering van de eventueel aanwezige grondsporen/artefactenclusters.

### 5.4 Onderzoeksvragen

Het onderzoek moet antwoord geven op de vraag hoe de archeologische resten behouden kunnen worden en op welke deellocaties, waar de bodem desondanks geroerd gaat worden, er een beperkt vervolgonderzoek dient plaats te vinden

Specifiek gelden de volgende onderzoeksvragen

1) Wat kan er worden gezegd over de mate van gaafheid van de top van het dekzand (onder de ploeglaag)? Is hier sprake van erosie en/ of verspoeling, en zo ja waaruit blijkt dat? Geldt in dat

geval de erosie van de toplaag voor de gehele pleistocene ondergrond in de werkput of zijn er nog delen intact? Zo ja, waar? Zijn er in de toplaag sporen van bodemvorming aanwezig? Wat kan hier verder over worden gezegd? Zijn er elders in het profiel sporen van bodemvorming aanwezig? Wat kan hier verder over worden gezegd?

2) Zijn in het onderzoeksgebied archeologische resten aanwezig die (mogelijk) bedreigd worden door de herinrichting van het gebied? Zo ja:
   a) Wat is de aard en datering (periodisering) daarvan, en op grond waarvan?
   b) Wat is de (horizontale) verspreiding daarvan?
   c) Wat is de diepteligging (en spreiding) daarvan?
   d) Wat is de gaafheid en conservering daarvan?
   e) Is binnen het onderzoeksgebied onderscheid te maken tussen kerngebied(en) en perifere activiteiten?
3) Welke materiaalcategorieën zijn aanwezig, wat is de vondstdichtheid en hoe is de conserveringstoestand?
4) Wat kan er worden gezegd over het gebruik van het dekzandlandschap ter plekke?
5) Bestaat er een relatie tussen eventuele opeenhopingen van (vuurstenen) artefacten en aangetroffen grondsporen?
6) Kunnen er, indien er grondsporen worden aangetroffen, uitspraken worden gedaan over de functie ervan?
7) Kunnen op basis van het waarderend onderzoek concrete uitspraken worden gedaan omtrent de intensiteit en duur van de prehistorische bewoning ter plekke? En welke conclusies zijn hier aan te verbinden ten aanzien van de informatie- (en zeldzaamheids)waarde?
8) Kan er, voor wat de aangetroffen archeologische resten, een verband worden gelegd met soortgelijke vindplaatsen in de directe of wijdere omgeving (lees: Zeeuws-Vlaanderen en het noorden van Vlaanderen)?
9) Zijn de archeologische resten behoudenswaardig en om welke reden(en)?
10) Hoe kunnen de resten *in situ* behouden worden?
11) Voor de resten die niet *in situ* behouden kunnen worden geldt: wat is de omvang van het eventuele vervolgonderzoek om de resten *ex situ* te behouden? Wat zijn daarvoor de aanvullende onderzoeksvragen?

## HOOFDSTUK 6 METHODEN EN TECHNIEKEN

### 6.1 Methoden en technieken

Het veldwerk van dit onderzoek dient uitgevoerd te worden door een team geleid door een ervaren KNA-archeoloog met ruime ervaring in proefsleuvenonderzoek in dekzandcontexten. De boringen moeten gebeuren o.l.v. een KNA-archeoloog met ruime steentijdervaring in dekzandcontexten. Het veldwerk wordt uitgevoerd conform de KNA 3.2.
Het onderzoek bestaat uit een archeologisch booronderzoek in een dicht grid op het noordelijke deel van de Emmahof (bijlage 1, groen omlijnde zone, verder de *groene* zone genoemd) en een sleuvenonderzoek gecombineerd een archeologisch booronderzoek in een dicht grid op de noordelijk daarvan gelegen akker aan de Emmabaan (bijlage 1, rood omlijnde zone, verder de *rode* zone genoemd).

*proefsleuven*
De proefsleuven in de rode zone, ter hoogte van de akker en de voormalige wal, moeten in functie van het archeologisch booronderzoek aangelegd worden met een tussenafstand van 10 meter tussen de sleufassen. De sleuven lopen telkens over de volledige breedte van het terrein, loodrecht op de helling (noord-zuid gericht, parallel met de perceelsgrens). De rode zone is ca. 4ha groot; dit zal neerkomen op ca. 25 sleuven. Het puttenplan in bijlage 4 geeft een indicatie van de ligging en het aantal putten. De sleuven zijn ca. 2m, d.w.z. één kraanbak, breed. Om te zorgen dat eventuele resten herkenbaar zijn bij het uitgraven, moet de graafmachine voorzien zijn van een gesloten bak met vlak snijvlak (dus geen ‘tandenbak’). De archeoloog inspecteert visueel de profielen en vlakken die tijdens het graafwerk ontstaan. Daar waar een archeologische registratie nodig is, wordt het vlak of het profiel “leesbaar” gemaakt. Bij de aanleg van de sleuven mag enkel de ploeglaag afgegraven worden en moet er nauwkeurig op toegezien worden dat de aanwezige podzol niet afgegraven wordt. De locatie van de proefsleuven wordt ingemeten met totaalstation.
Bij twijfel wordt in overleg met de deskundig adviseur van het bevoegd gezag bepaald of en welke sporen worden gecoupeerd. Vanzelfsprekend kan op basis van de bevindingen tijdens het veldonderzoek deze strategie worden bijgesteld.

*boringen*
In de rode zone wordt in de proefsleuven, voor het couperen van eventuele sporen, eerst archeologisch geboord in een 10x10m verspringend driehoeksgrid. Voor de rode zone met oppervlakte van ca. 4ha komt dit neer op ca. 360 boringen. De sleufassen fungeren daarbij als (noord-zuid georiënteerde) boorraaien van het grid. In de groene zone wordt vanaf het maaiveld geboord, eveneens in een verspringend driehoeksgrid van 10x10m dat bij voorkeur aansluit op het grid uit de rode zone. Daar de groene zone al grotendeels is ingevuld met standplaatsen, zal hier, in samenspraak met de adviseur van het bevoegde gezag, van het boorgrid moeten afgeweken worden van het vaste grid en om deze standplaatsen geboord worden. Op locaties die niet bebouwd/ ingenomen zijn wordt wel volgens het driehoeksgrid geboord. De groene zone heeft een oppervlakte van ca. 1,5ha; in deze zone worden maximaal 135 boringen geplaatst.

De locatie van alle boringen (x-y-z) wordt met totaalstation opgemeten. Het bemonsteren gebeurt met een 12cm edelmanboor waarbij de volledige podzol (A/E/B-horizonten, indien aanwezig) en de top van de C-horizont bemonsterd wordt. Het bemonsteren gebeurt tot en met minstens één volle boorkop in de C-horizont. Om enig zicht te verwerven in de verticale spreiding van vondsten, mag één monster maximaal twee volle boorkoppen bevatten. De monsters worden apart bewaard en gelabeld. Na bemonstering van de C-horizont wordt vervolgens verder geboord tot op een diepte van 2m -mv (hierbij kan eventueel overgeschakeld worden op een 7cm Edelmanboor of een smallere zandguts). Doel van deze boringen is het opsporen en beschrijven van eventueel aanwezige paleosols. Deze kunnen moeilijk zichtbaar zijn indien uitgeloogd; de boringen moeten daarom uitgevoerd worden door een archeoloog of fysisch geograaf met ervaring in het onderzoek naar begraven paleobodems in dekzanden.

Per boring wordt een profielbeschrijving gemaakt en de diepte van elk verzameld monster en aanwezige paleosols genoteerd. De verzamelde monsters worden zorgvuldig nat gezeefd over een maaswijdte van 1,0x1,0 mm. Het zeefresidu wordt (aan de lucht) gedroogd. Het droge zeefresidu wordt door een archeoloog met de nodige ervaring in steentijdmateriaal uitgeselecteerd op archeologische indicatoren. Deze worden per vondstcategorie en per monster apart bewaard.

Het veldwerk en de voorbereiding ervan geschiedt conform KNA 3.2 protocol Inventariserend Veldonderzoek Proefsleuvenonderzoek (IVO-P) en (IVO-O), met dien verstande dat wanneer een sporenconstellatie duidelijk wijst op de aanwezigheid van de archeologische resten van een structuur, slechts een verstandige selectie van de sporen wordt gecoupeerd. Indien in een sleuf slechts een paar sporen aangetroffen worden, die niet tot één en dezelfde structuur lijken te behoren, worden alle sporen gecoupeerd. Complexe sporen, zoals waterputten, worden pas na overleg met de bevoegde overheid en diens adviseur archeologie gecoupeerd, dan wel voor vervolgonderzoek met rust gelaten. Indien nodig wordt, in samenspraak met de bevoegde overheid en diens adviseur archeologie, een kijkvenster aangelegd (in totaal maximaal 2% van het totale terreinoppervlak) voor de een beter begrip bepaalde sporen(groepen) en/of de begrenzing van eventuele nederzettingsstructuren). In alle sleuven wordt uitgegaan van één onderzoeksvlak.

Na afloop van het booronderzoek (incl. zeven en uitselecteren) worden in overleg met de adviseur van het bevoegd gezag twee tot drie locaties uitgezocht waar uit de boringen bleek dat een goed bewaarde paleosol voorkomt. Bij voorkeur liggen deze locaties in vondstloze zones. Op deze locaties wordt telkens (machinaal) een put gegraven tot 2m diepte, om een gedetailleerd beeld van de stratigrafie en de bewaring van deze bodems te krijgen en om deze zorgvuldig te bemonsteren (deze techniek werd ook succesvol toegepast in Rieme bij Gent, zie: Hoorne et al., 2009). Bij het graven wordt zorgvuldig toegezien of er archeologische vondsten in de bodem bevinden; deze worden op gepaste wijze geregistreerd en verzameld. De paleosols worden grondig geregistreerd d.m.v. foto's en profielbeschrijvingen; de diepte van top en basis van de laag wordt ingemeten. Op één locatie, waar de bewaring het best is, wordt boven en onder de paleosol bemonsterd voor OSL-datering. Dit moet tevens de locatie zijn voor bemonstering voor palynologie (zie 6.7).

### 6.2 Strategie

De strategie is erop gericht om door middel van de combinatie van proefsleuven en archeologisch bemonsteren in één beweging voldoende informatie te verkrijgen ten behoeve van de bevestiging dan wel weerlegging van de verwachting, zoals opgesteld tijdens het bureauonderzoek en het inventariserend veldonderzoek in de vorm van boringen. Door de combinatie van onderzoeksmethoden wordt tijd gespaard zonder daarbij informatieverlies te lijden.

### 6.3 Structuren en grondsporen

Zie 6.1. Indien een sporenconstellatie aanwezig is die niet tot een structuur, maar een andersoortige vindplaats behoort, wordt eveneens met de deskundig adviseur van het bevoegd gezag bepaald welke sporen gecoupeerd en afgewerkt worden. Doel is het onderzoeken van de aard, omvang, datering en mate van conservering van de (andersoortige) vindplaats.

### 6.4 Aardwetenschappelijk onderzoek

Fysisch-geografische en bodemkundige analyse vinden plaats in het veld door specialisten. Per proefsleuf worden, in dien de aanwezigheid van eventueel archeologische resten het toelaat, telkens twee profielputten gemaakt t.b.v. het onderzoek naar paleosols. Het precieze aantal putten wordt bepaald in overleg met de adviseur van het bevoegd gezag. In elke profielput wordt telkens de meest relevante profielwand gedetailleerd beschreven en (met baak) gefotografeerd. Op de locatie waar de paleosol het best bewaard is (keuze in overleg met de adviseur van het bevoegd gezag) wordt deze op gepaste wijze bemonsterd voor paleo-ecologisch onderzoek (zie 6.1).
Het veldonderzoek naar en de onderzoeksresultaten van de paleosols worden opengesteld voor derden. De Universiteit Utrecht wordt hiertoe tijdig ingelicht.

### 6.5 Anorganische artefacten

In de proefsleuf dienen de vondsten buiten de sporen te worden verzameld en 3D geregistreerd, in geval besloten wordt sporen te couperen:
Uit eventuele grondsporen anders dan perceleringsgreppels dienen alle vondsten te worden verzameld. Uit de sloot- en greppelopvullingen dienen bij (zeer) grote hoeveelheden alleen diagnostische en bijzondere stukken te worden verzameld. De selectie kan worden gemaakt door de KNA-archeoloog in het veld. Het verzamelen moet gericht zijn op de beantwoording van de onderzoeksvragen. Verzameling geschiedt conform KNA versie 3.2.
Vondsten uit het proefsleuvenonderzoek worden geregistreerd, ingemeten en apart verzameld. Bijzondere vondsten worden *in situ* gefotografeerd. Eventuele anorganische artefacten worden geborgen volgens de KNA 3.2 en de Veldhandleiding archeologie (CvAK).

Uit de boormonsters worden de vondsten verzameld op de in 6.1 beschreven wijze.

### 6.6 Organische artefacten

Vondsten uit het proefsleuvenonderzoek worden geregistreerd, ingemeten en apart verzameld. Bijzondere vondsten worden *in situ* gefotografeerd. Eventuele organische artefacten worden geborgen volgens de KNA 3.2 en de Veldhandleiding archeologie (CvAK). Artefacten van organisch materiaal worden na het verzamelen zodanig verpakt dat geen degradatie van het vondstmateriaal plaatsvindt.

Uit de boormonsters worden de vondsten verzameld op de in 6.1 beschreven wijze.

### 6.7 Archeozoölogische en -botanische resten

De venige paleosol moet ten behoeve van in eerste instantie waarderend paleo-ecologisch onderzoek op minstens één locatie volledig bemonsterd worden.
Verkoolde hazelnootschelpen die bij het uitselecteren van de boormonsters verzameld worden, moeten apart verpakt en bewaard worden met het oog op eventuele $^{14}$C-datering (zie 6.10).
Indien wel tot couperen van grondsporen wordt besloten, dienen enkele veelbelovende sporen bemonsterd te worden. In een evaluatiefase na afloop van het veldwerk wordt besloten welke monsters gewaardeerd moeten worden.

### 6.8 Overige resten

Eventuele overige resten worden geborgen en bemonsterd volgens de KNA 3.2 en de Veldhandleiding archeologie (CvAK).

### 6.10 Dateringstechnieken

Op 1 locatie met een goed bewaarde paleosol moet, bij het graven van de diepe putten (zie 6.1), bemonsterd worden voor OSL, waarbij het dekzand net boven en net onder de paleosol met gepaste technieken verzameld wordt. Indien bij het uitselecteren van de boormonsters verkoolde hazelnootschelpen worden aangetroffen, dienen deze apart gehouden te worden voor eventuele $^{14}$C-datering.

### 6.11 Beperkingen

n.v.t.

## HOOFDSTUK 7 UITWERKING EN CONSERVERING

### 7.1 Structuren, grondsporen, vondstspreidingen

Eventueel optredende archeologische sporen en structuren van het terrein dienen te worden geanalyseerd (voor zover mogelijk), waarbij gelet wordt op de reconstructie van de mogelijke structuren en gebouwen. Hierbij dient gelet te worden op niet alleen de bepaling van de aard en de datering maar ook op de gaafheid en de staat van conservering.
Een en ander geschiedt in overleg met de deskundig adviseur van de gemeente.

### 7.2 Analyse aardewetenschappelijke gegevens

Door de bodemkundige of fysisch-geograaf wordt i.s.m. de KNA-archeoloog een deelrapport opgesteld met een geologische, landschappelijke en bodemkundige beschrijving van de profielen (met tekeningen en foto's geïllustreerd).

### 7.3 Anorganische artefacten

Voorafgaand aan de uitwerking, na afloop van het veldonderzoek, dient een gedegen evaluatie plaats te vinden. Het gaat om een nieuw moment waarop een selectie van het uit te werken materiaal en de uit te werken monsters en laboratoriumdateringen plaats zal vinden. De selectie is ook bedoeld om de kosten voor de opdrachtgever zo beperkt mogelijk te houden. Bij deze evaluatie bespreken deskundig adviseur van het bevoegd gezag, opdrachtgever en uitvoerder wat tot op welk niveau wordt uitgewerkt. De evaluatie resulteert in een door de uitvoerder op te stellen, en door de bevoegde overheid en diens adviseur archeologie en opdrachtgever te accorderen evaluatie- en selectierapport, alsmede een plan van aanpak voor de uitwerking en rapportage.
De selectie van de vondsten is gericht op de beantwoording van de vraagstelling. De geselecteerde vondsten worden uitgewerkt tot op een niveau dat nodig is voor de beantwoording van de onderzoeksvragen.

Alle geselecteerde anorganische artefacten worden per spoor, laag en vondstnummer beschreven op materiaalsoort en gedetermineerd, conform het Archeologisch BasisRegister (ABR) of andere in de beroepsgroep geldende richtlijnen, indien hierdoor meer details te vergaren zijn. De vondsten, worden mede gezien de gerede kans op het aantreffen van vuursteen, prehistorisch aardewerk, etc., uitgewerkt door materiaalspecialisten. De anorganische artefacten worden in de tekst van het rapport en in de vondstenlijst weergegeven. Alle geselecteerde artefacten worden per spoor, laag en vondstnummer door een materiaalspecialist gedetermineerd en beschreven in specialistendatabases. De beschrijving wordt voorafgegaan door motivatie t.a.v. selectie van materiaal. De vondsten, die van wezenlijk belang zijn, worden in de tekst beschreven.

Lithische vondsten worden geclassificeerd als natuurlijk of antropogeen (artefacten). De vondsten worden beschreven op typologie, grondstof en mate van verbranding. Indien mogelijk wordt een datering (op basis van typologische kenmerken of debitagestijl) gegeven. Van de werktuigen worden de afmetingen genoteerd. Natuursteen wordt op werktuig en op steensoort gedetermineerd. Het herkomstgebied van de steensoort wordt zo nauwkeurig mogelijk bepaald. In het rapport komt een overzichtstabel van de lithische vondsten en van relevante artefacten eveneens een tekening (selectie in overleg met het bevoegd gezag).

Van het aardewerk wordt ook het soort baksel/ aardewerksoort, type, vorm, rand/ wand/ bodem en MAI aangeduid. Van handgevormd aardewerk worden de magering, het baksel, de vorm, de oppervlaktebewerking (afwerking) en de versiering in detail beschreven en zo nauwkeurig mogelijk gedateerd. Voor Romeins import aardewerk, vooral van versierde terra sigillata, geldt een determinatie tot op detailniveau, met het oog op het scherp dateren. In het rapport komt een overzichtstabel van de aardewerkvondsten en van relevante stukken eveneens een tekening (selectie in overleg met de adviseur van het bevoegd gezag).

Metaalvondsten uit de late prehistorie, Romeinse tijd, vroege en late middeleeuwen worden volgens de standaardmethoden in detail beschreven en gedateerd. Van de gebruiksvoorwerpen uit de nieuwe tijd wordt volstaan met een determinatie eventueel met afbeelding. Glas uit de Romeinse tijd wordt tot op detailniveau beschreven.

**7.4 Organische artefacten**

Alle organische artefacten worden per spoor en vondstnummer beschreven op materiaalsoort en gedetermineerd, conform het Archeologisch BasisRegister (ABR) of andere in de beroepsgroep geldende richtlijnen, indien hierdoor meer details te vergaren zijn. De organische artefacten worden in de tekst van het rapport in detail beschreven en in de vondstenlijst verwerkt. De conservering van organische artefacten moet dusdanig zijn dat behoud van deze artefacten gewaarborgd is.

**7.5 Archeozoölogische en -botanische resten**

Monsters uit het veen van de paleosol worden op gepaste wijze verpakt en tijdelijk opgeslagen en ter beschikking gesteld voor verder wetenschappelijk onderzoek (buiten dit kader). Hetzelfde geldt voor monsters voor OSL-onderzoek.

Na afloop van het veldwerk zullen i.s.m. de adviseur van het bevoegd gezag in de evaluatiefase per vindplaats en per bewoningsfase twee monsters worden geselecteerd voor bewerking en analyse op waarderingsaspecten door specialisten in paleo-ecologisch onderzoek.

Dierlijk bot wordt op soortniveau gedetermineerd, Voor zover het goed dateerbare sporen of structuren betreft. Opvallende anomalieën worden genoteerd. Het botmateriaal wordt per spoor beschreven en samenvattend geïnterpreteerd t.a.v. sociaal-economische aspecten. Er dient ook rekening gehouden te worden met analyse van een monster van klein zoölogisch materiaal (o.a. visresten) door een specialist.
De selectie wordt gemaakt door de senior archeoloog en geaccordeerd door de deskundig adviseur van het bevoegd gezag. Welke en het aantal nader te analyseren monsters is afhankelijk van de onderzoeksresultaten en in hoeverre de uitwerking ervan bij kan dragen aan de beantwoording van de vraagstellingen.

**7.6 Beeldrapportage**

Zie KNA 3.2
In aanvulling daarop worden in het rapport ook opgenomen: een locatiekaart, een overzicht van de aangelegde putten en gezette boringen, een overzicht van de aangetroffen sporen en structuren (allesporenkaart en een kaart met fasering), een overzicht van de positieve boringen per vondstcategorie, een overzicht van de bewaring van de podzol. Waar nodig dient vondstmateriaal door middel van objecttekeningen en foto’s te worden uitgelicht/verduidelijkt. Er dienen zoveel kaarten, objecttekeningen en -foto's van voorwerpen vervaardigd te worden als nodig zijn om de tekst van het rapport te adstrueren en de argumentatie te onderbouwen

Alle archeologisch relevante sporen dienen gefotografeerd en gedigitaliseerd te worden en op een overzichtstekening opgenomen te worden (1:50). Tijdens de uitwerking worden tekeningen, kaarten, materiaalfoto's en objecttekeningen gemaakt ten einde de vraagstelling te beantwoorden, argumentatie te onderbouwen en advisering te verantwoorden. Van alle sporenvlakken wordt een overzichtsfoto genomen en een vlaktekening gemaakt. De vlaktekeningen worden gedigitaliseerd.
Een selectie van de profielen van de onderzochte sporen wordt afgebeeld door middel van een foto en gedigitaliseerde veldtekening. Tijdens de uitwerking worden kaarten gemaakt voor zover nodig om de vraagstellingen te beantwoorden. De foto’s zijn minimaal een halve bladzijde groot en de tekst op foto’s (fotobordjes) is duidelijk leesbaar.

Van archeologisch complete voorwerpen dienen foto's gemaakt te worden; van nieuwe typen objecttekeningen. Vuurstenen artefacten worden voor zover ze illustratief zijn voor de vindplaatsen getekend en indien noodzakelijk gefotografeerd (herkomst vuursteen).
Van handgevormd aardewerk worden kenmerkende (versierde) scherven en randscherven getekend. Herkenbare archeologisch complete aardewerkvondsten en herkenbare metalen voorwerpen uit de late prehistorie, Romeinse tijd en middeleeuwen worden objectfoto´s opgenomen, of als deze slecht herkenbaar zijn op foto worden tekeningen gemaakt. Andere bijzondere vondsten en herkenbare organische vondsten worden afgebeeld. In het rapport worden eveneens enkele foto's afgebeeld die een sfeerimpressie van het onderzoek geven.

**7.7 Selectie materiaal**

In het evaluatie- en selectierapport wordt bepaald of er materiaal in aanmerking moet komen voor conservering. Vondstmateriaal wordt geselecteerd indien de analyse ervan kan bijdragen aan de beantwoording van de onderzoeksvragen.

**7.8 Conservering materiaal**

Met name de metaalvondsten en andere kwetsbare vondsten als organisch materiaal (textiel, leer, hout) en soms ook glas worden zo geconserveerd en verpakt dat ze zo stabiel mogelijk worden opgeslagen in het (transito)depot en dat hun conditie zo stabiel mogelijk blijft totdat het materiaal wordt overgedragen aan het definitieve depot. Regelmatig wordt dit gecontroleerd. Indien noodzakelijk worden maatregelen getroffen. Conservering vindt pas plaats na overleg met of analyse door ter zake deskundige specialisten.

## HOOFDSTUK 8 DEPONERING

Alle vondsten zijn vanaf het moment van vinden eigendom van de provincie (WAMZ art. 50), tenzij zij gedaan zijn in een gemeente met een eigen erkend depot (zie ook WAMZ art. 51) dan wel van de Staat indien zij buiten het grondgebied van enige gemeente zijn gevonden. In deze gevallen valt het eigendom toe aan respectievelijk gemeente of Staat.
Kwetsbaar vondstmateriaal dient zodanig geconserveerd te worden dat de toestand stabiel blijft. De projectleider kan na de uitwerking het depot voorstellen een deel van de vondsten te selecteren voor definitieve verwijdering uit de collectie. Het is aan de beheerder van het depot hierover te beslissen. De vondsten die gedeponeerd worden moeten voldoen aan de richtlijnen van het betreffende depot.
Vondstmateriaal en opgravingsdocumentatie dienen conform de eisen van het Provinciaal Archeologisch Depot Zeeland te worden aangeleverd zoals geformuleerd in het document *Eisen aan de aanlevering van vondsten en onderzoeksdocumentatie aan het Provinciaal Archeologisch Depot Zeeland (PAD Zeeland) en het Zeeuws Archeologisch Archief (ZAA)*.

De documentatie van het onderzoek dient gedeponeerd te worden in het_Zeeuws Archeologisch Archief (ZAA)
Stichting Cultureel Erfgoed Zeeland (SCEZ)
Postbus 49; 4330 AA Middelburg
Beheerder: dhr. J.J.B. Kuipers
0118-670879; e-mail: jjb.kuipers@scez.nl

Het vondstmateriaal dient gedeponeerd te worden bij het
Zeeuws Archeologisch Depot
Stichting Cultureel Erfgoed Zeeland
Armeniaans Schuitvlot 1; 4331 NL Middelburg
Depotbeheerder: dhr. H. Hendrikse
0118-670618; e-mail: h.hendrikse@scez.nl

Deponering van de vondsten en de documentatie bij bovenvermelde instituten dient plaats te vinden conform de daarvoor opgestelde eisen van aanlevering. Deze zijn op de website van de SCEZ, www.scez.nl, terug te vinden.
Bij aanvang van de voorbereiding van het onderzoek neemt de opdrachtnemer contact op met de depotbeheerder van het PAD en het ZAA omtrent de eisen van aanlevering van de vondsten, vondstdocumentatie en opgravingsdocumentatie.
Deponering van vondsten en documentatie vindt plaats na afronding van het eindrapport.
Het onderzoeksrapport wordt uitgegeven door het uitvoerend bedrijf (opdrachtnemer). De opdrachtnemer verstrekt het conceptrapport aan de opdrachtgever en de bevoegde overheid. Na beoordeling van de bevoegde overheid wordt het rapport in tweevoud verstrekt aan de opdrachtgever. Tevens worden exemplaren verzonden aan de Koninklijke Bibliotheek (KB), de Rijksdienst voor het Cultureel Erfgoed (RCE), het Zeeuws Archeologisch Depot van de Stichting Cultureel Erfgoed Zeeland (SCEZ) en het Zeeuws Archeologisch Archief (ZAA) van de SCEZ. Eveneens dient het rapport geleverd te worden aan het e-depot (www.edna.nl).
Aan de gemeente Terneuzen en de SCEZ wordt het rapport ook digitaal ter beschikking gesteld.

### 8.2 e-Depot

De digitale documentatie wordt binnen 2 jaar na afronding van het veldwerk overgedragen aan het e-Depot (http://easy.dans.knaw.nl/dms).

### 8.3 Te leveren product

Binnen 4 weken na beëindiging van het veldwerk wordt een evaluatierapport aangeleverd. In dit evaluatierapport wordt aangegeven waar zich intacte bodems bevinden en/ of waar sporen en vuursteen zijn aangetroffen. Van het conceptrapport worden, en dat binnen een termijn

van 4 maanden na het einde van het veldwerk, 3 exemplaren geleverd, waarvan één aan de bevoegde overheid. Het eindconcept wordt voor toetsing voorgelegd aan de bevoegde overheid en diens adviseur archeologie. Na het commentaar van de bevoegde overheid en diens adviseur archeologie volgt binnen een maand een nieuw eindconcept waarbij separaat is aangegeven wat er met de opmerkingen is gedaan. Dit nieuwe conceptrapport wordt opnieuw ter beoordeling aan de bevoegde overheid gestuurd. Pas na een definitieve goedkeuring door de bevoegde overheid kan het rapport definitief worden gemaakt.

Het eindproduct is een rapport dat voldoet aan de voorwaarden uit de KNA, de eisen uit dit PvE en de richtlijnen van de provincie Zeeland checklist archeologische rapportages.
Bij het eindproduct hoort een bewijs (af te geven door de ontvangende instantie) van overdracht van vondsten en documentatie.
Uitvoering van het veldwerk vindt plaats op en binnen een termijn in afspraak met de opdrachtgever. Deze afspraak wordt schriftelijk vastgelegd, bij voorkeur in het Plan van Aanpak.

## HOOFDSTUK 9 RANDVOORWAARDEN EN AANVULLENDE EISEN

### 9.1 Personele randvoorwaarden

Het onderzoek moet verricht worden door een gecertificeerd archeologisch bedrijf. Het onderzoek (veldwerk en rapportage) moet door een veldteam onder leiding van een KNA-archeoloog met aantoonbare opgravings- en uitwerkingservaring op het gebied van onderzoek in dekzand en steentijdonderzoek. Zowel voor veldwerk als voor uitwerking, conservering en rapportage is de (tijdelijke) aanwezigheid van een senior archeoloog en specialisten met periode- / materiaal- / gebiedspecifieke kennis en/of ervaring vereist. In dit specifieke geval wordt een lijst met vijf bedrijven aan de aannemer gegeven, waaraan de gemeente Terneuzen en diens archeologische adviseur hun akkoord hebben gegeven. Uit de lijst wordt een keuze gemaakt, op basis van kwaliteit en prijsverhoudingen. Alle partijen dienen vooraf hun vertrouwen aan de archeologisch uitvoerder en diens aanpak uit te spreken. De kennis en kunde blijken uit bijgeleverde CV en publicatielijst. De CV van alle medewerkers en hun eventuele vervangers worden voorgelegd aan de bevoegde overheid en diens adviseur archeologie.
De gemeente Terneuzen, de provincie Zeeland en de SCEZ stimuleren de inzet van lokale amateurarcheologen. Voor lokale amateurarcheologen, leden van de Werkgroep Archeologie Hulst en leden van de AWN-Zeeland dient de gelegenheid te bestaan, indien mogelijk, voor deelname aan het veldwerk en assistentie bij de vondstverwerking en uitwerking. Zij kunnen hiervoor contact opnemen met de opdrachtnemer of de adviseur van het bevoegd gezag. Voor het veldwerk dienen zij hiervoor collectief verzekerd te zijn. De opdrachtnemer en de amateurarcheologen dienen hiertoe een contract te sluiten. De verantwoordelijkheid voor het onderzoek ligt bij de opdrachtnemer.

### 9.2 Overlegmomenten

Tijdens het veldwerk dienen overlegmomenten tussen uitvoerder en opdrachtgever ingepland te worden, indien de omstandigheden daartoe aanleiding geven. Indien het noodzakelijk blijkt om van het PvE af te wijken dient bij dit overleg ook het bevoegd gezag en diens adviseur betrokken te worden.
Na afsluiting van het veldwerk dient een evaluatie- en selectierapport opgesteld te worden. In dit rapport wordt de selectie van het vondstmateriaal, dat voor verdere uitwerking in aanmerking komt, beargumenteerd.

### 9.3 Kwaliteitsbewaking, toezicht, overleg en evaluatie

Het onderzoek dient conform de KNA te worden uitgevoerd door een gecertificeerd archeologisch bedrijf of instelling met opgravingsvergunning. Het onderzoek dient te worden geautoriseerd door een senior archeoloog.

De bevoegde overheid en diens archeologisch adviseur houden toezicht op de werkzaamheden. Het onderzoek dient conform de KNA versie 3.2 en het PvE te worden uitgevoerd door een bedrijf of instelling met opgravingsvergunning. De verantwoordelijkheid van het onderzoek ligt bij de senior KNA-archeoloog, indien noodzakelijk ondersteund door periode- en materiaalspecialisten.
De opdrachtnemer is verantwoordelijk voor de uitvoering van de opdracht. Het door de bevoegde overheid geaccordeerde Programma van Eisen, met eventuele wijzigingen, is altijd aanwezig op de werkplek. De uitvoerders getuigen van kennis en inzicht in het PvE en de onderzoeken uit deze perioden in de regio.
Tijdens overleg zijn aanwezig: namens de opdrachtnemer de KNA-archeoloog en indien noodzakelijk de senior KNA-archeoloog, de opdrachtgever, de bevoegde overheid en diens archeologisch adviseur. Gemaakte afspraken worden schriftelijk vastgelegd en aan de partijen voorgelegd ter accordering. De bevoegde overheid en de opdrachtgever houden toezicht op de werkzaamheden. Voorafgaand aan het veldwerk wordt, liefst in het veld, een overleg gehouden met de opdrachtgever met betrekking tot praktische zaken van het veldwerk.

Indien substantieel van het PvE afgeweken dient te worden, bijvoorbeeld bij het aantreffen van onverwachte sporen en structuren of indien een geringer deel van het onderzoeksterrein kan worden

onderzocht, dan dient hiervoor schriftelijk toestemming verkregen te worden van de opdrachtgever en de bevoegde overheid. Er is pas sprake van meer- of minderwerk wanneer dit door de opdrachtgever schriftelijk is goedgekeurd. Wijzigingen ten opzichte van het PvE is alleen mogelijk met toestemming van de bevoegde overheid.

Na afloop van het veldwerk wordt in overleg met de opdrachtgever en de bevoegde overheid bepaald óf en hoe het PvE gewijzigd moet worden, welke monsters nader gewaardeerd en geanalyseerd dienen te worden en welke voorwerpen in aanmerking komen voor conservering. Dit alles wordt gemotiveerd in een evaluatieverslag, die door zowel de opdrachtgever als de bevoegde overheid en diens adviseur archeologie goedgekeurd moet worden.

De oplevering van het conceptrapport vindt plaats binnen 4 maanden na afloop van het veldwerk (tenzij anders overeengekomen en als zodanig schriftelijk vastgelegd). Het eindconcept wordt voor toetsing voorgelegd aan de bevoegde overheid en diens adviseur archeologie. Na het commentaar van de bevoegde overheid en diens adviseur archeologie volgt binnen een maand een nieuw eindconcept. Dit nieuwe conceptrapport wordt opnieuw ter beoordeling aan de bevoegde overheid gestuurd. Pas na een definitieve goedkeuring door de bevoegde overheid kan het rapport definitief worden gemaakt. Indien deze gestelde termijn niet haalbaar is, zal de opdrachtgever hiervan zo snel mogelijk op de hoogte worden gesteld.

### 9.4 Overige randvoorwaarden en aanvullende eisen

Voorafgaand aan het onderzoek dient door de opdrachtgever een KLIC-melding gedaan te worden in verband met de ligging van kabels en leidingen. De betredingstoestemming, toegankelijkheid, bereikbaarheid, afzetting, afvoer van de grond, vergunningen, vrijwaring van explosieven en verontreiniging en de oplevering van het terrein zijn de verantwoordelijkheid van de opdrachtgever.
De toegang van het onderzoeksterrein dient adequaat afgezet te zijn om ongelukken te voorkomen en om zoveel mogelijk ongewenste bezoeken te ontmoedigen. Met het oog op schatgraverij dienen archeologische waardevolle sporen en vondsten op de dag van de ontdekking zelf te worden afgewerkt en verzameld.
De uitvoerder meldt ten minste 10 werkdagen voor aanvang het onderzoek bij de RCE (artikel 41-melding), en meldt het onderzoek aan in ARCHIS II.
De deskundig adviseur van het bevoegd gezag wordt ten minste vijf werkdagen voor aanvang van het onderzoek op de hoogte gesteld van de startdatum en de duur van het onderzoek.

## HOOFDSTUK 10 WIJZIGINGEN TEN OPZICHTE VAN HET VASTGESTELDE PVE

### 10.1 Wijzigingen tijdens het veldwerk

Belangrijke wijzigingen worden vastgelegd in een Nota van wijziging die geaccordeerd dient te worden door de bevoegde overheid en diens archeologisch adviseur Indien een vondst van hoge of zeer hoge waarde wordt aangetroffen, dan legt de archeoloog de werken op die locatie stil. Aan de bevoegde overheid en diens adviseur archeologie worden nadere instructies gevraagd.
In het geval dat de bevoegde overheid oordeelt dat een aangetroffen archeologische waarde behoudenswaardig is, dan moet een behoudsmaatregel getroffen worden. Dit kan betekenen dat een opgraving plaatsvindt of dat de archeologische waarde beschermd wordt. Ook kan een dergelijke vondstsituatie betekenen dat het begeleidingsprogramma wordt uitgebreid. Indien de onderzoeksstrategie moet worden aangepast en er sprake is van meerwerk dienen de extra kosten hiervoor in een aanvullende offerte te worden uitgebracht.

### 10.2 Belangrijke wijzigingen

Onderstaande belangrijke wijzigingen worden te allen tijde aantoonbaar voorgelegd aan alle betrokken partijen:

- Afwijking van de archeologische verwachting;
- Wijzigingen van de gehanteerde onderzoeksmethode;
- Wijzigingen van de fysieke en/of technische omstandigheden;
- Vastleggen overleg- en evaluatiemomenten;
- Onvoorziene omstandigheden (bijvoorbeeld met betrekking tot omvang vindplaats, aantallen $m^2$, vlakken, vondsten, vondsttypen et cetera).

### 10.3 Procedure van wijziging na de evaluatiefase van het veldwerk

Na afloop van het veldwerk wordt in overleg tussen opdrachtgever en bevoegde overheid en diens adviseur archeologie besloten welke vondsten en monsters in aanmerking komen voor nadere uitwerking en conservering. Hiertoe wordt door de opdrachtnemer een evaluatieverslag opgesteld. Belangrijke wijzigingen worden vastgelegd in een Nota van wijziging die geaccordeerd dient te worden door de bevoegde overheid en diens archeologisch adviseur.

### 10.4 Procedure van wijziging tijdens uitwerking en conservering

Kwetsbaar vondstmateriaal dient zodanig te worden geconserveerd dat de toestand stabiel blijft. De keuze voor de te conserveren vondsten ligt bij de beheerder van het depot (zie ook onder hoofdstuk 7 van dit PvE). Wijzigingen die van invloed zijn op het conserveren van de vondsten, dienen schriftelijk aan de opdrachtgever te worden medegedeeld. Belangrijke wijzigingen worden vastgelegd in een Nota van wijziging die geaccordeerd dient te worden door de bevoegde overheid en diens archeologisch adviseur.
Kwetsbaar vondstmateriaal dient te worden geconserveerd op een dusdanige wijze dat de conserveringstoestand stabiel blijft.
De keuze voor het conserveren van vondstmateriaal wordt beargumenteerd in het selectierapport. In overleg tussen de seniorarcheoloog, materiaalspecialisten, het bevoegd gezag en diens archeologisch adviseur kan deze keuze worden bijgesteld/aangepast.
Niet-geselecteerd materiaal dient, na tussenkomst van het Zeeuws Archeologisch Depot, ter beschikking te worden gesteld voor amateurarcheologen voor verder onderzoek.

**LITERATUUR**

**Ampe, C., Bourgeois, J., Fockedey, L., Langohr, R., Meganck, M. & Semey, J. (1995)** *Cirkels in het land. Een inventaris van cirkelvormige structuren in de provincies Oost- en West-Vlaanderen*, I. Arch.I.V. vzw., Gent (= Archeologische Inventaris Vlaanderen. Buitengewone Reeks 4).

**Bourgeois, J., Meganck, M. & Semey, J. (1998)** *Cirkels in het land. Een inventaris van cirkelvormige structuren in de provincies Oost- en West-Vlaanderen, II*. Arch.I.V. vzw., Gent (= Archeologische Inventaris Vlaanderen. Buitengewone Reeks 5).

**Bourgeois, J., Meganck, M., Semey, J. & Verlaeckt, K. (1998)** *Cirkels in het land. Een inventaris van cirkelvormige structuren in de provincies Oost- en West-Vlaanderen, III.* Arch.I.V. vzw., Gent (= Archeologische Inventaris Vlaanderen. Buitengewone Reeks 7).

**Bos, J.A.A. & Verbruggen, F. (2011)** *Van jeneverbes naar berkenbos. Een laatglaciaal paleoecologisch onderzoek te Rieme-noord, België*. ADC ArcheoProjecten, Amersfoort (=ADC Rapport 2667).

**Crombé, P. (2005)** The last hunter-gatherer-fishermen in sandy-Flanders (NW Belgium). The Verrebroek and Doel excavation projects (Vol.1: Palaeo-environment, chronology and features). Universiteit Gent, Gent.

**Crombé, P., Van Roeyen, J., Sergant, J., Perdaen, Y., Cordemans, K. & Van Strydonck, M. (2000)** Doel "Deurganckdok" (Flanders, Belgium): settlement traces from the Final Palaeolithic and the Early to Middle Neolithic, *Notae Praehistoricae* 20, 111-119.

**Crombé, P. & Verbruggen, C. (1999)** The Lateglacial and early Postglacial occupation of northern Belgium: the evidence from Sandy Flanders. In: B.V. Eriksen, B. Bratlund (eds.) *Recent studies in the Final Palaeolithic of the Europian plain, Proceedings of a U.I.S.P.P. Symposium, Stockholm 14.-17.October 1999*. Jutland Archaeological Society, Stockholm, 165-180.

**De Bock, H., De Meireleir, M. (2005)** Steentijdvondsten in het Waasland. De prospectieverzamelingen van H. de Bock en M. de Meireleir. *VOBOV*-info, 61, 4-14.

**De Clercq, W., M. Bats, Laloo, P., Sergant, J. & Crombé, P.** (2011). Beware of the known. Methodological issues in the detection of low density rural occupation in large surface archaeological landscape assessment in Northern-Flanders (Belgium), In: G. Blancquaert, F. Malrain, H. Stäuble & J. Vanmoerkerke (eds.) *Understanding the Past: A Matter of Surface-Area. Acts of the XIIIth Session of the EAA Congress, Zadar 2007.* Oxford, Archeaopress**,** 73-89 (= BAR International Series, 2194).

**De Moor, G. & Heyse, I. (1990)** Geomorfologische kaart van België, Kaartblad Lokeren, schaal 1:50000.

**De Reu, J., Bats, M., De Smedt, P., Bourgeois, J., et al. (2010)** Bronze and Iron Age landscapes in Sandy Flanders (NW-Belgium): a geoarchaeological approach. *Lunula, Archaeologia Protohistorica,* 18, 17-22.

**Holthausen, O. & Bulten, B. (2002)** *Verkennend archeologisch bodemonderzoek Oude Molen 19 te Koewacht (gemeente Axel)* (=ArcheoMedia projectnummerA02-340-Z).

**Hoorne, J., Laloo, P., Crombé, P. & de Clerq, W**. (2009) *Archeologisch vooronderzoek te Rieme-Noord (gem. Evergem, prov. Oost-Vlaanderen). Juli tot oktober 2009* (=UGent Archeologische Rapporten19).

**Jongepier, J**. (2010) Dagrapport. Ongepubliceerd Rapport SCEZ.

**Koning, M.W.A., de & J. Jongepier (2011)** Ongepubliceerde rapportage veldkartering.
**Perdaen, Y., Crombé, P. & Sergant, J. (2004).** "Federmessergroepen in de Scheldepolders (Oost-Vlaanderen, België): Technologische variabiliteit binnen een vast schema." *Notae Praehistoricae,* 24, 81-88.

**Lauwers, B. & De Reu, J. (2011)** Een midden-bronstijdbewoning te Sint-Gillis-Waas - Kluizenmolen (prov. Oost-Vlaanderen, België). *Lunula, Archaeologia Protohistorica,* 19, 27-33.

**Terberger, T., Barton, N. & Street, M. (2006)** The Late Glacial reconsidered - recent progress and interpretations. In: M. Street, N. Barton & T. Terberger (eds.) *Humans, environment and chronology of the Late Glacial of the North European Plain. Proceedings of Workshop 14 (Commission XXXII "The Final Palaeolithic of the Great European Plain / Le paléolithique Final de la Grande Plaine Européenne") of the 15th U.I.S.P.P. congress, Lisbon, September 2006.* Mainz, Verlag des Römisch-Germanischen Zentralmuseums**:** 189-207.

**Timmers, A. & M. van Dasselaar (2009)** *Archeologisch onderzoek aan de Emmabaan te Koewacht, gemeente Terneuzen. Bureauonderzoek en inventariserend veldonderzoek met boringen* (= ArcheoMedia Rapport A09-020-I).

**Van Rummelen, F.F.F.E. (1977)** *Toelichtingen bij de Geologische kaart van Nederland 1:50.000. Bladen Zeeuwsch-Vlaanderen West en Oost.* Tweede druk. Rijks Geologische Dienst, Haarlem.

**Van Vlaenderen, L., Sergant, J., De Bock, H. & De Meireleir, M. (2006)** Steentijdvondsten in de Moervaartdepressie (Oost-Vlaanderen, België): Inventaris en geografische analyse. Arch.I.V. vzw.
(= Archeologische Inventaris Vlaanderen, buitengewone reeks 9).

**BIJLAGEN**

1. Lokalisatiegegevens:
   - Locatiekaart
   - schets planontwikkeling
   - IKAW met AMK-terreinen en waarnemingen
   - Detail met topgrafische ondergrond en Archis-waarnemingen
2. Lokalisatie van het onderzoeksgebied op de geomorfologische kaart (DeMoor & Heyse, 1995)
3. Resultaten van de veldkartering door de SCEZ (Bron: H. Jongepier en M. de Koning, SCEZ)
4. Indicatief puttenplan

**Bijlage 1. Locatiekaart**

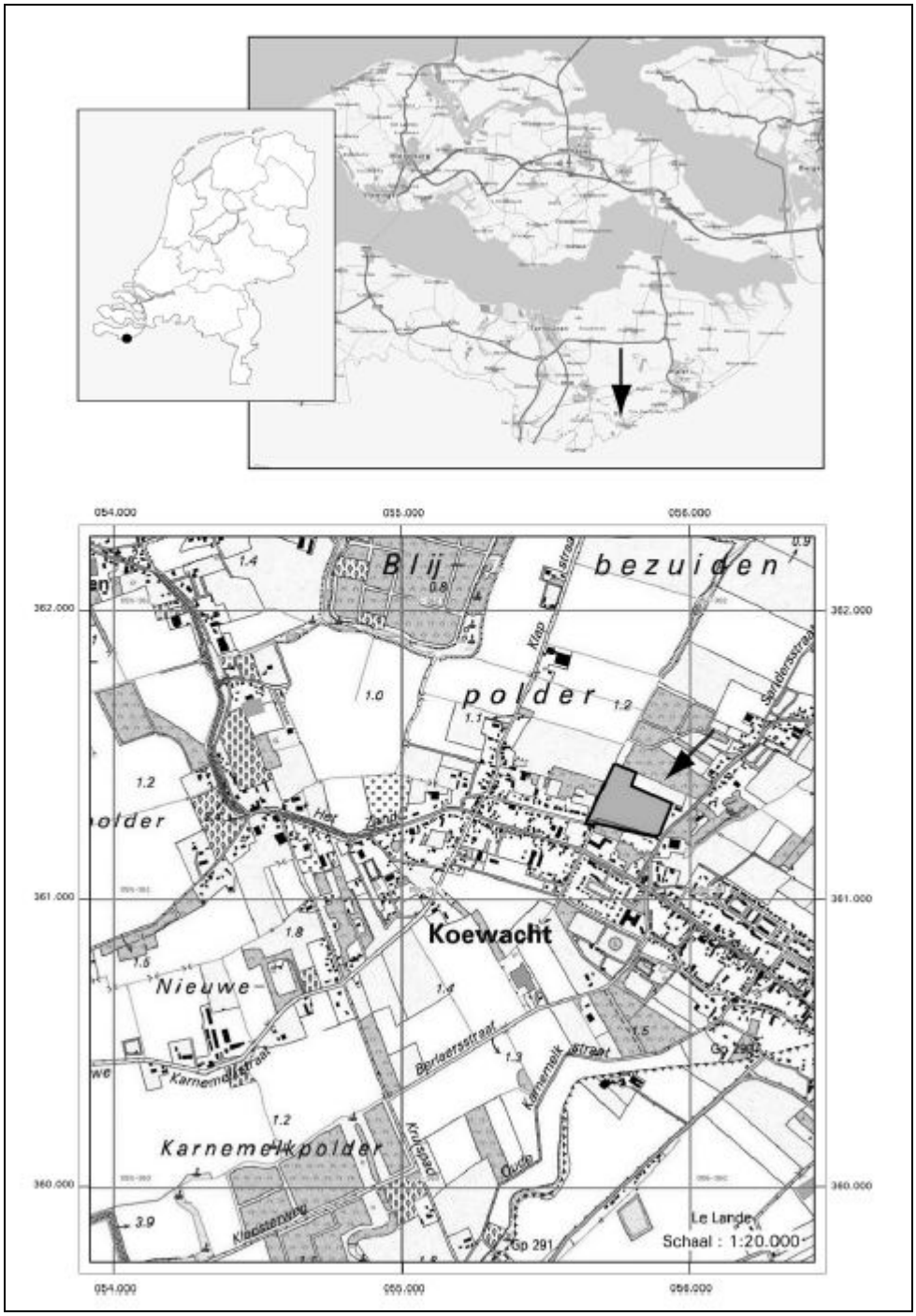


Regionale overzichtskaart met de ligging van de onderzoekslocatie aan de Emmabaan. Bron: Timmers & Van Dasselaar, 2009.

**Schets planontwikkeling**

Rood omlijnd: onderzoeksgebied sleuven in 10m interval en boringen in verspringend 10x10 m grid (ca. 4ha); groen omlijnd: onderzoeksgebied boringen 10x10m grid (ca. 1,5ha) Bron: Scez

**IKAW met AMK-terreinen en waarnemingen**

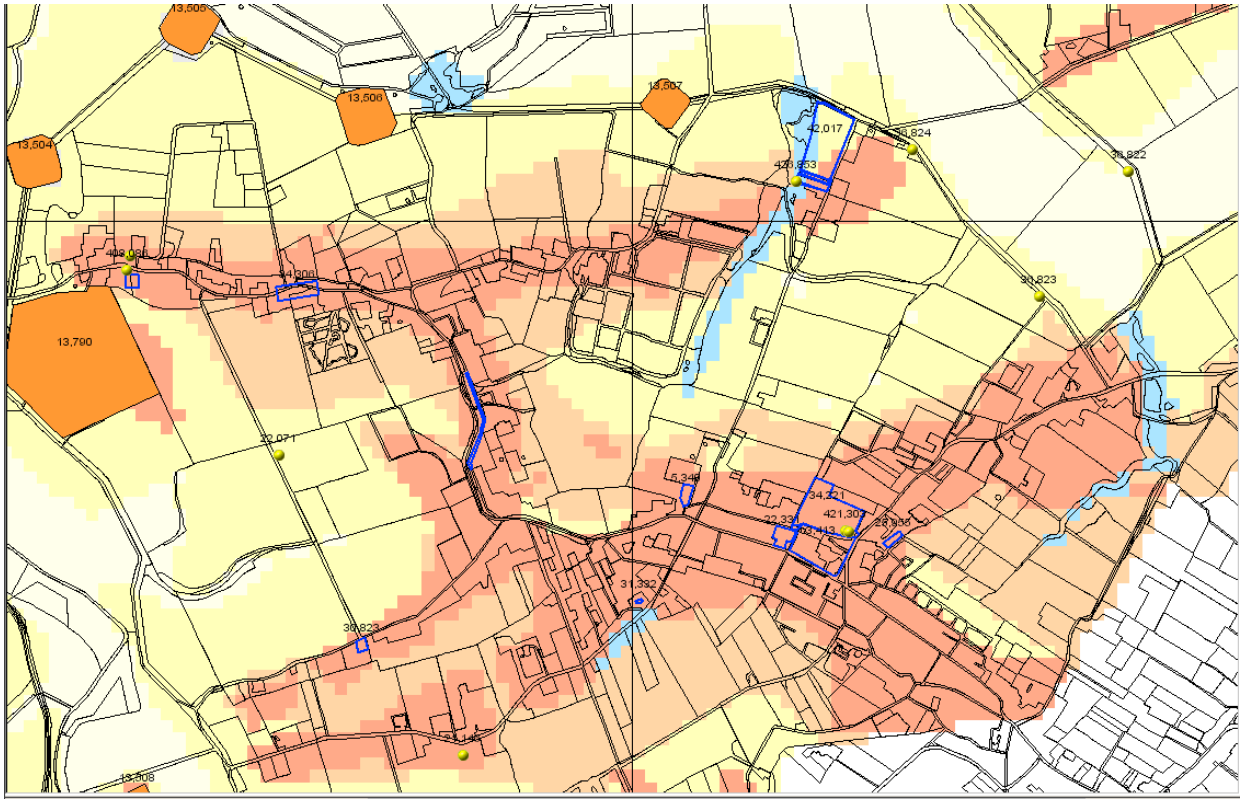


**Detail met topgrafische ondergrond en Archis-waarnemingen**

Bron: Archis2.

**Bijlage 2: Lokalisatie van het onderzoeksgebied op de geomorfologische kaart.**

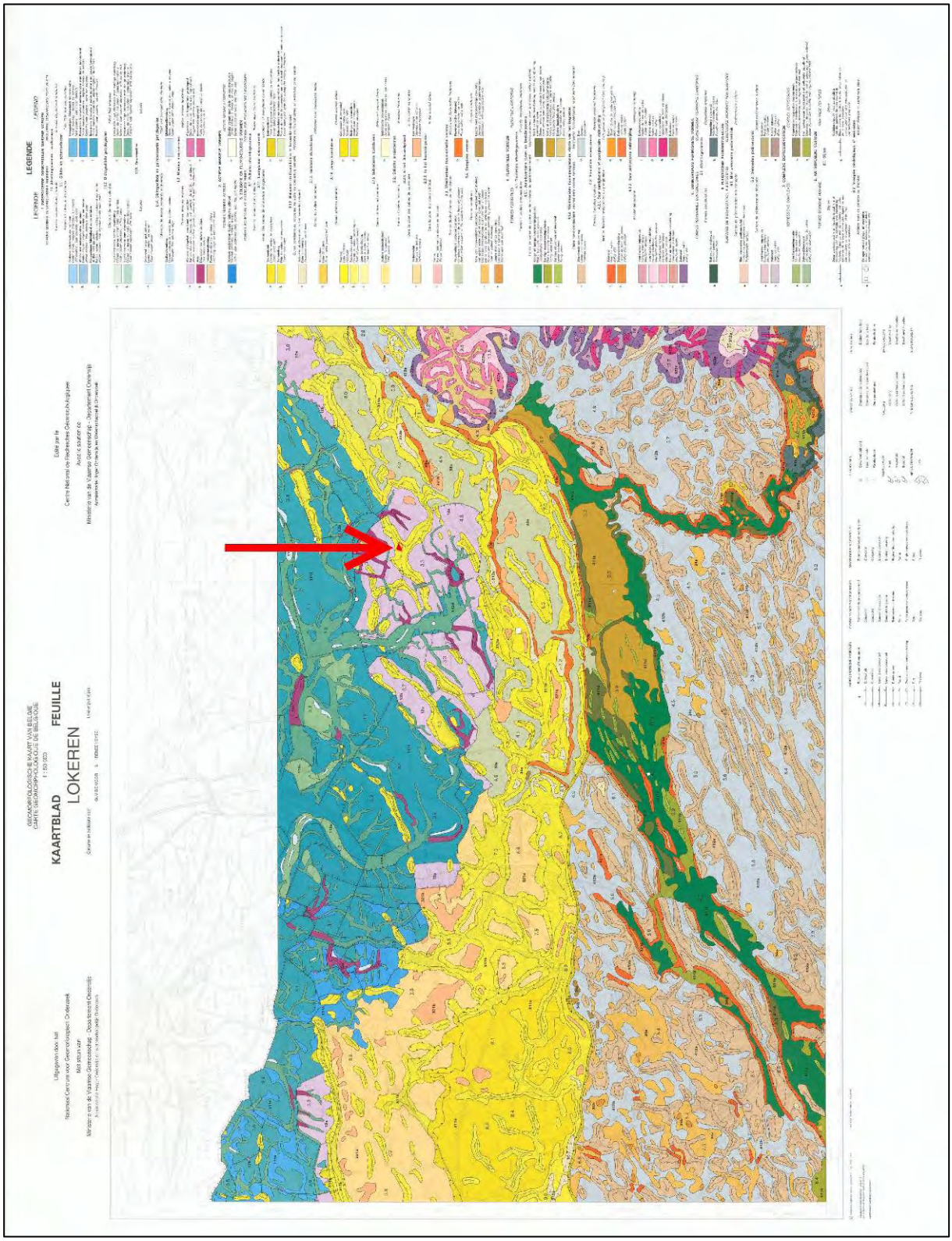


Ligging van het onderzoeksgebied (aangeduid in rood) op de noordelijke rand van de dekzandrug. Bron: DeMoor & Heyse, 1995.

**Bijlage 3. Resultaten van de veldkartering door ArcheoMedia en de SCEZ/ WAH/ AWN**

Afbeelding 5a, b en c: L-Paleo spits (1:1), oppervlaktevondsten B068 (1:2), en L-Paleo steker (1:1).
Vondsten uit de veldkartering 2009. Foto's: ArcheoMedia.

Vondsten uit de veldkartering 2010. Foto: J. Jongepier, SCEZ.

Vondsten uit de veldkartering 2011. Foto: J. Jongepier, SCEZ.

**Koewacht-Emmabaan: verspreiding oppervlaktevondsten**

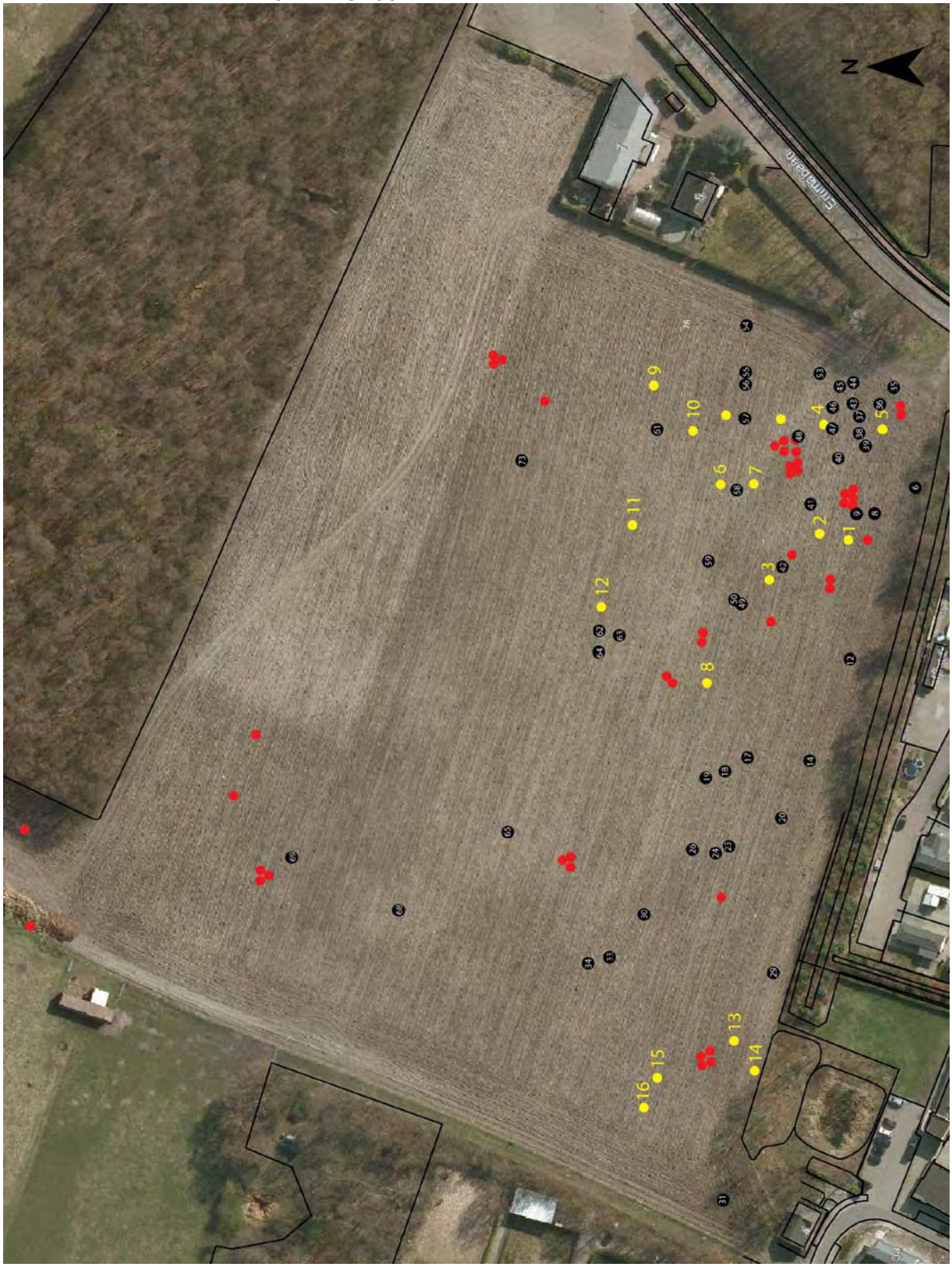


rood: veldkartering ArcheoMedia 2009; geel: veldkartering SCEZ/ WAH 2010 en zwart: veldkartering SCEZ/ WAH/ AWN 2011. Kaart: R. Danker.

## Vondstenlijsten oppervlaktekarteringen

### Veldkartering Koewacht Emmabaan 1, april 2009

Tabel 1: oppervlaktevondsten (verspreidingskaart zie bijlage 2). Determinatie vuursteen: drs. E Drenth.

| Boring: | Aantal VS | Beschrijving/bijzonderheden | datering: |
|---|---|---|---|
| 002 | - | 4 fragmentjes aardewerk | LME-NT |
| 003 | 3 | 1 klingkern, 1 precore, 1 afslag | - |
| 005 | - | 1 verbrand bot | - |
| 009 | 3 | 1 afslag, 1 verbrand, vermoedelijk afslag, 1 geteste knol | - |
| 026 | 2 | 1 kling, 1 afslag | - |
| 026/054 | 2 | 1 kling, 1 afslag | - |
| 032 | 2 | 2 afslagen | - |
| 033 | 5 | 5 afslagen | - |
| 037 | 1 | Maasei met afsplinteringen (natuurlijk?) | - |
| 038 | 1 | verbrand brokje | - |
| 048 | 1 | afslag | - |
| 056 | 3 | 1 kern, 1 afslag,1 fragment van afslag | - |
| 063 | 1 | gebroken kling | - |
| 066/067 | 2 | 1 kern, 1 afslag | - |
| 067 | 1 | gebroken, verbrande Tjonger- of grote A-spits (afb. 5a) | Laat PALEO- vroeg MESO |
| 068 | 9 | 5 klingen, deels gebroken, 2 afslagen, 1 verbrand brokje, 1 brok met afslagnegatief (afb. 5b) | - |
| 069 | 1 | klingfragment | - |
| 070 | 1 | afslag | - |
| 071 | 4 | 1 viervoudige steker (afb. 5c)<br>1 kling, 1 klingkern, 1 verbrand stukje | Laat PALEO- vroeg MESO |
| -- | 5 | 4 afslagen, 1 klingfragment | - |
| Verzameld van laaggelegen veldje ten noorden van onderzoekslocatie | | | |
| (001) | 1 | 1 kern + circa 10 fragmentjes aardewerk | LME-NT |
| (002) | 1 | klingfragment | - |

Bron: Timmers & Van Dasselaar, 2009.

**veldkartering Koewacht Emmabaan 2**

28-4-2010

| vnr. | vondstcategorie | determinatie | N | bijzonderheden |
|---|---|---|---|---|
| 1 | vuursteen | afslag | 1 | |
| 2 | vuursteen | afslag | 1 | |
| 3 | vuursteen | kling | 1 | |
| 4 | vuursteen | afslag | 1 | |
| 5 | vuursteen | afslag | 1 | |
| 6 | vuursteen | afslag | 1 | |
| 7 | vuursteen | kern | 1 | |
| 8 | vuursteen | afslag | 1 | |
| 9 | vuursteen | afslag | 1 | |
| 10 | vuursteen | afslag | 1 | |
| 11 | vuursteen | afslag | 1 | |
| 12 | vuursteen | afslag | 1 | |
| 13 | vuursteen | afslag | 1 | |
| 14 | vuursteen | afslag | 1 | |
| 15 | vuursteen | kling | 1 | |
| 16 | vuursteen | afslag | 1 | |
| 17 | vuursteen | afslag | 1 | |
| 18 | vuursteen | afslag | 1 | |
| 19 | vuursteen | afslag | 1 | |

**veldkartering Koewacht Emmabaan 3**

12-2-2011

| vnr. | vondstcategorie | determinatie | N | bijzonderheden |
|---|---|---|---|---|
| 1 | vuursteen | natuurlijk? | 1 | |
| 2 | vuursteen | natuurlijk | 1 | verwijderd |
| 3 | vuursteen | natuurlijk | 1 | |
| 4 | vuursteen | natuurlijk | 1 | |
| 5 | 26x grind/vuursteen | natuurlijk | | verwijderd |
| 6 | vuursteen | schrabbertje? | 1 | |
| 7 | 9x vuursteen | natuurlijk | | verwijderd |
| 8 | vuursteen | kling/steker | 1 | |
| 9 | vuursteen | afslagje | 1 | |
| 10 | aardewerk | roodbakkend | 1 | nieuwe tijd |
| 11 | aardewerk | roodbakkend | 1 | nieuwe tijd |
| 12 | vuursteen | afslag | 1 | (kernvernieuwing) |
| 13 | vuursteen | natuurlijk | | |
| 14 | vuursteen | afslag | 1 | cortex, verbrand |
| 15 | natuursteen | leisteen | | verwijderd |
| 16 | vuursteen | natuurlijk | | verwijderd |
| 17 | vuursteen | kernstuk | 1 | |
| 17 | vuursteen | werktuig | 1 | fragment geslepen bijl |
| 18 | vuursteen | afslag | 1 | deels verbrand |
| 19 | vuursteen | afslag | 1 | cortex, waarschijnlijk. neolithisch |
| 20 | vuursteen | afslag | 1 | restant pseudosteker |
| 21 | 8x grind | | | verwijderd |
| 22 | natuurteen | leisteen | | brok, verwijderd |
| 23 | vuursteen | werktuig | 1 | retouche |
| 24 | aardewerk | roodbakkend | 1 | nieuwe tijd |
| 24 | aardewerk | roodbakkend | 1 | nieuwe tijd |
| 24 | vuursteen. | klingfragment | 1 | |
| 24 | vuursteen | natuurlijk/schrabber? | 1 | |
| 25 | natuursteen | | | verwijderd |

| | | | | |
|---|---|---|---|---|
| 26 | vuursteen | afslag | 1 | spitsvormig, geen retouche |
| 27 | vuursteen | waarsch. natuurlijk | 1 | |
| 28 | aardewerk | steengoed | 1 | 16-17e eeuw |
| 29 | vuursteen | afslag | 1 | mogelijk kernvernieuwing |
| 30 | vuursteen | afslag | 1 | |
| 30 | vuursteen | kling, | 1 | |
| 31 | vuursteen | natuurlijk | 1 | gebroken rolkei |
| 32 | vuursteen | waarsch. natuurlijk | | verwijderd |
| 33 | vuursteen | afslag | 1 | |
| 34 | vuursteen | natuurlijk/ kern | 1 | |
| 35 | vuursteen | fragment vuursteen | 1 | |
| 36 | vuursteen | afslag | 1 | verbrand |
| 37 | vuursteen | afslag? | 1 | |
| 38 | vuursteen | afslag | 1 | |
| 39 | vuursteen | afslag | 1 | verbrand |
| 40 | vuursteen | afslag | 1 | |
| 41 | aardewerk | handgevormd | 1 | neolithisch - inheems Romeins (indet.) |
| 42 | aardewerk | roodbakkend | 1 | nieuwe tijd |
| 42 | vuursteen | natuurlijk/afslag? | 1 | |
| 43 | vuursteen | afslag | 1 | |
| 44 | vuursteen | afslag | 1 | cortex |
| 45 | vuursteen | afslag | 1 | verbrand |
| 46 | vuursteen | kling | 1 | gebroken |
| 47 | vuursteen | afslag | 1 | (debitage materiaal) |
| 48 | vuursteen | afslag | 1 | met veel cortex, verbrand |
| 49 | natuursteen | indet. | 1 | verwijderd |
| 49 | vuursteen | fragment vuursteen | 1 | verbrand |
| 50 | vuursteen | cortexafslag | 1 | deels verbrand |
| 51 | vuursteen | natuurlijk | 1 | verwijderd |
| 52 | vuursteen | natuurlijk | | verwijderd |
| 52 | vuursteen | natuurlijk | 1 | |
| 53 | vuursteen | afslag | 1 | |
| 54 | vuursteen | afslag | 1 | |
| 54 | vuursteen | afslag | 1 | |
| 55 | vuursteen | afslag | 1 | |
| 56 | vuursteen | afslag | 1 | |
| 57 | aardewerk | handgevormd | 1 | geen magering; neolithisch - inheems Romeins (indet.) |
| 58 | vuursteen | mogelijk natuurlijk | 1 | |
| 58 | vuursteen | afslag | 1 | |
| 59 | vuursteen | natuurlijk | 1 | stuk (groot) |
| 60 | vuursteen | natuurlijk | | verwijderd |
| 61 | vuursteen | waarschijnlijk afslagje | 1 | |
| 62 | vuursteen | natuurlijk | | verwijderd |
| 62 | vuursteen | afslag | 1 | |
| 63 | vuursteen | waarschijnlijk afslag | 1 | |
| 64 | vuursteen | afslag | 1 | |
| 65 | vuursteen | afslag | 1 | verbrand |
| 66 | vuursteen | natuurlijk | | stuk (groot), verwijderd |
| 67 | aardewerk | roodbakkend | 1 | late middeleeuwen, rand grote kom |
| 68 | vuursteen | mogelijk afslag | 1 | |
| 68 | vuursteen | afslag | 1 | |
| 69 | vuursteen | natuurlijk | 1 | stuk (groot) |
| 70 | jaspis? | kernstuk? | 1 | licht blauw gesteente |
| 71 | vuursteen | natuurlijk | 1 | verwijderd |
| 72 | vuursteen | natuurlijk | 1 | verwijderd |
| 73 | vuursteen | afslag | 1 | klingvormig |

| | | | | |
|---|---|---|---|---|
| 74 | vuursteen | natuurlijk | 1 | verwijderd |
| 75 | vuursteen | natuurlijk | 1 | verwijderd |
| 76 | vuursteen | natuurlijk | 1 | verwijderd |
| 77 | vuursteen | natuurlijk | 1 | verwijderd |
| 78 | aardewerk | roodbakkend | 1 | nieuwe tijd, indet. |
| 78 | aardewerk<br>totaal | roodbakkend | 1<br>78 | nieuwe tijd, indet. |

**Bijlage 4: indicatief puttenplan**

Bron: onderliggende kaart: Timmers & Van Dasselaar, 2009.

# KOEWACHT-EMMABAAN
**(GEMEENTE TERNEUZEN, PROVINCIE ZEELAND)**

## Standaardrapport van een inventariserend veldonderzoek (IVO-O/P)

*Gunther* NOENS
*Pieter* LALOO
*Jari H.* MIKKELSEN

met een bijdrage van J.A.A. BOS
(ADC Archeoprojecten)

# FIGUREN

**GATE** – rapport 33

Ghent Archaeological Team bvba
Eindeken 18
9940 Evergem

**Project:**
Koewacht-Emmabaan (gemeente Terneuzen, provincie Zeeland): Standaardrapport van een inventariserend veldonderzoek (IVO-O/P)

**Opdrachtgever:**
GEMEENTE TERNEUZEN
Postbus 35 - 4530 AA Terneuzen

**Uitvoerder:**
GHENT ARCHAOLOGICAL TEAM bvba (GATE)
o.l.v. Pieter Laloo (IVO-P) & Gunther Noens (IVO-O)

ISSN: 2033 8678
D/2012/33

© 2012 - GHENT ARCHAOLOGICAL TEAM bvba

Niets uit deze uitgave mag vermenigvuldigd of aangepast worden, opgeslagen in een geautomatiseerd gegevensbestand en/of openbaar gemaakt worden onder enige vorm of wijze ook, elektronisch, mechanisch, door fotokopie, zonder toestemming van Ghent Archaeological Team bvba.

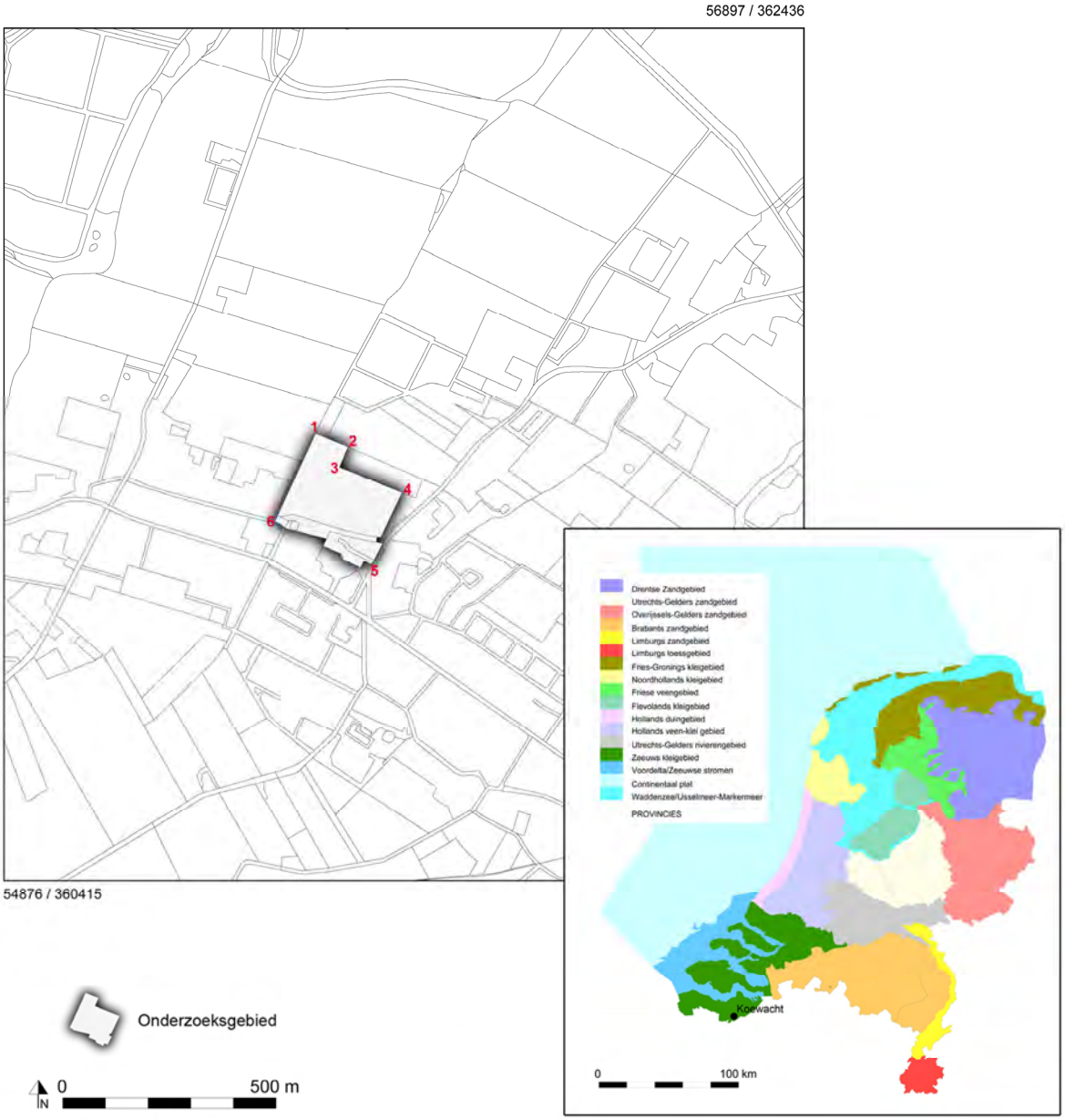


**Figuur 1** | De topografische locatie van het onderzoeksgebied en een situering binnen de archeoregio's (bron: Archis 2, © TDN).

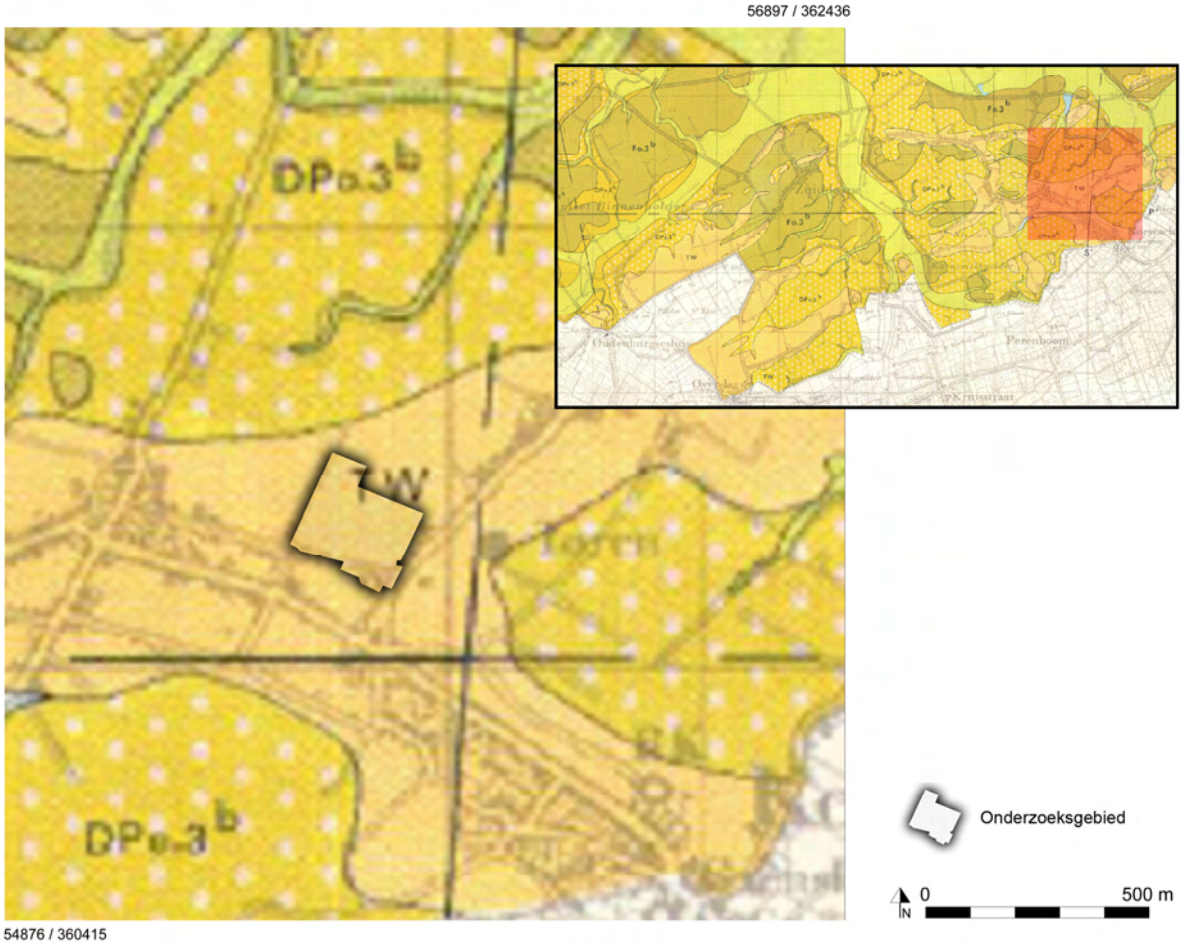


**Figuur 2** | De lokale geologische situatie volgens Van Rummelen 1977.

**Figuur 3** | De lokale geomorfologische situatie volgens Archis 2 (bron: Archis 2, © Alterra).

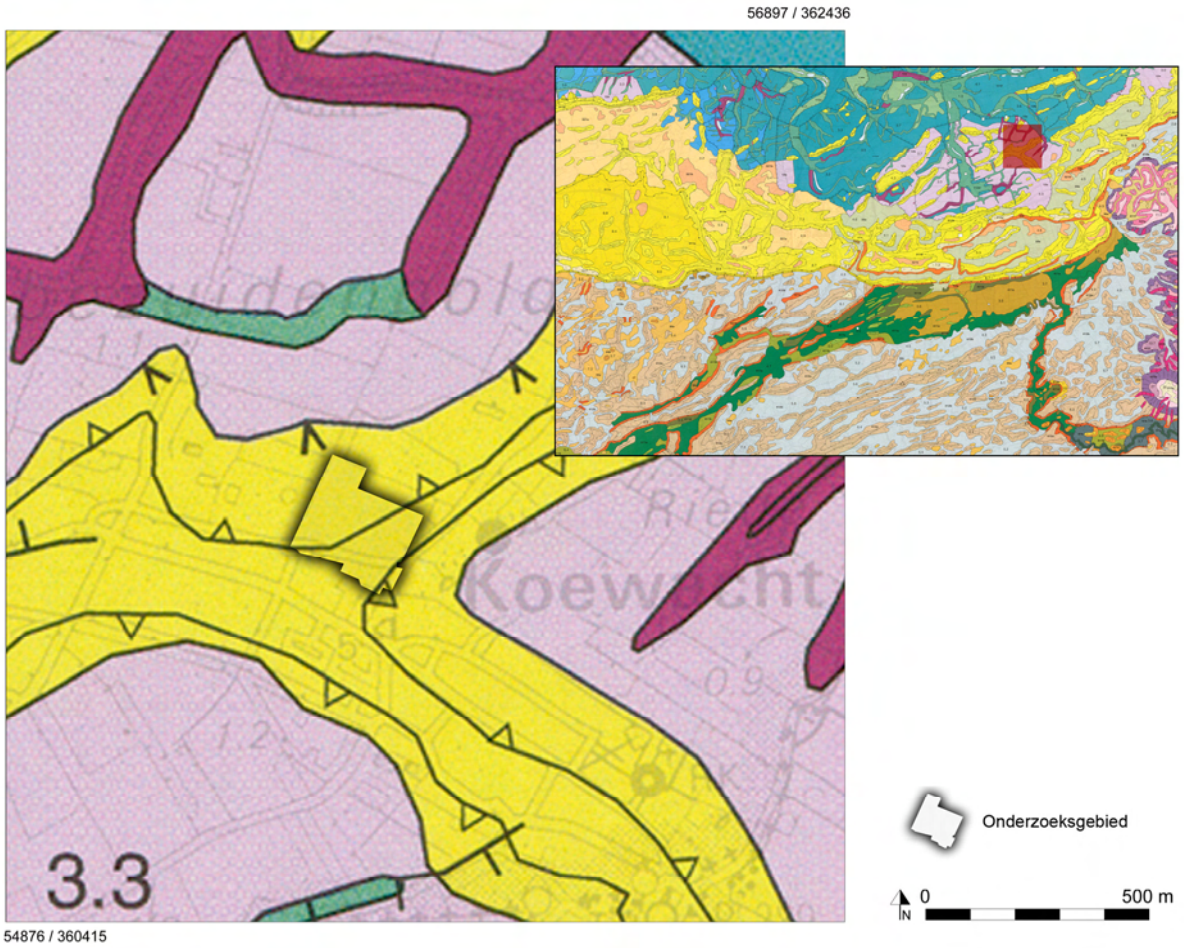


**Figuur 4** | De lokale geomorfologische kaart volgens de Moor & Heyse 1990.

**Figuur 5** | De lokale bodemkundige situatie (bron: Archis 2, © Alterra).

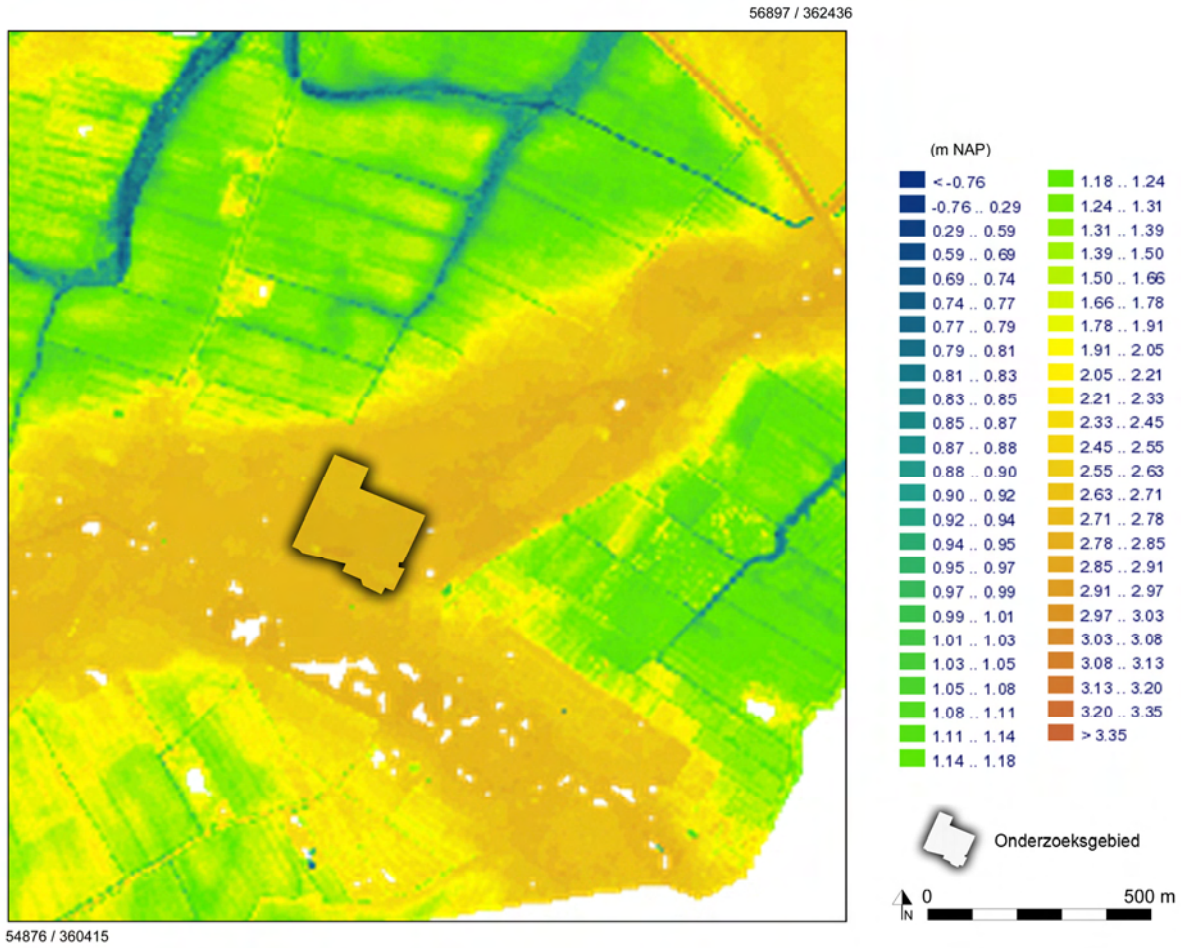


**Figuur 6** | De lokale topografie op basis van het Actueel Hoogtebestand Nederland (AHN, bron: www.ahn.nl).

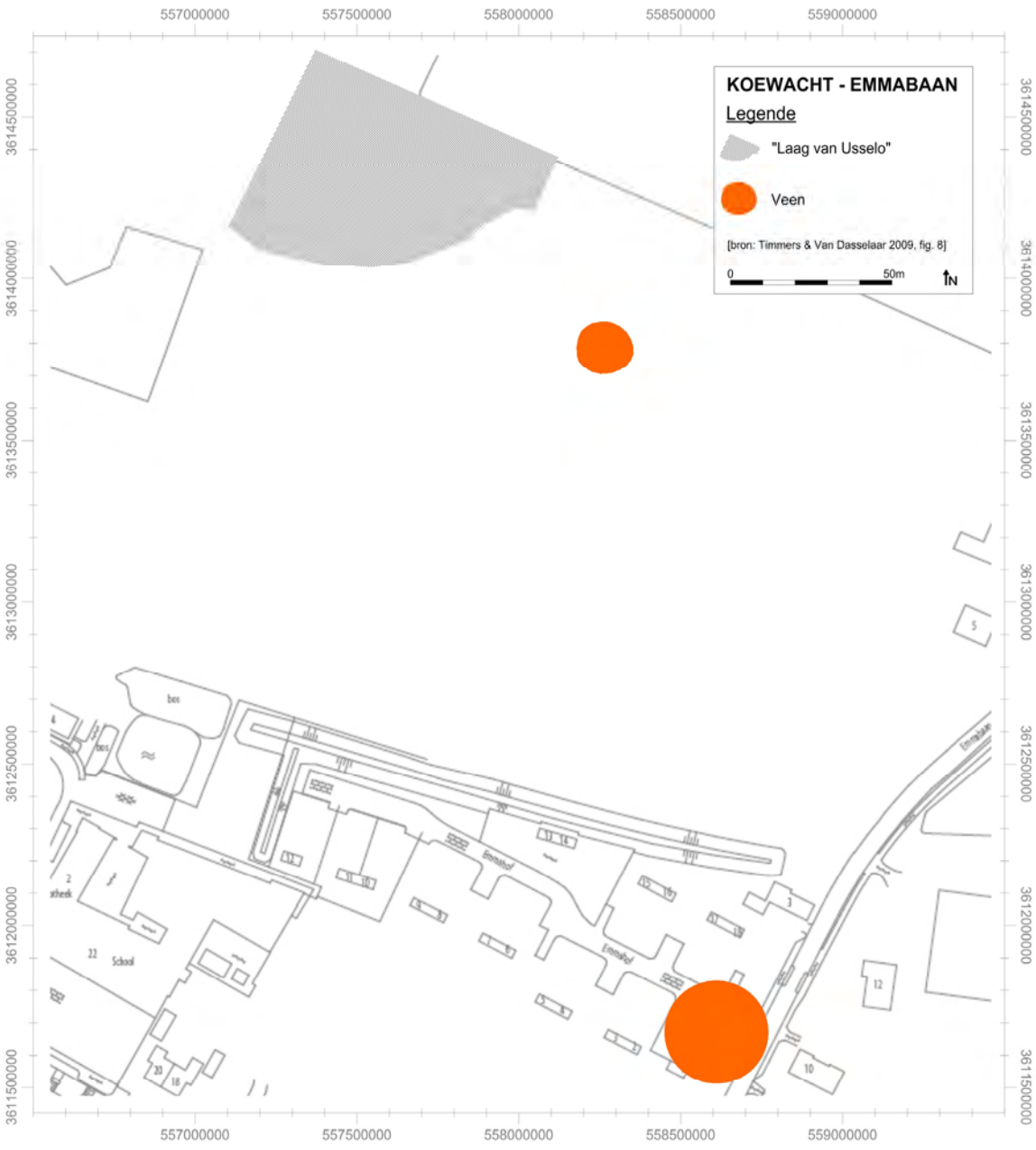


**Figuur 7** De ruimtelijke verspreiding van een paleosol ter hoogte van de akker langsheen de Emmabaan zoals geobserveerd en geïnterpoleerd in 2009 (aangepast naar Timmers & van Dasselaar 2009, figuur 8).

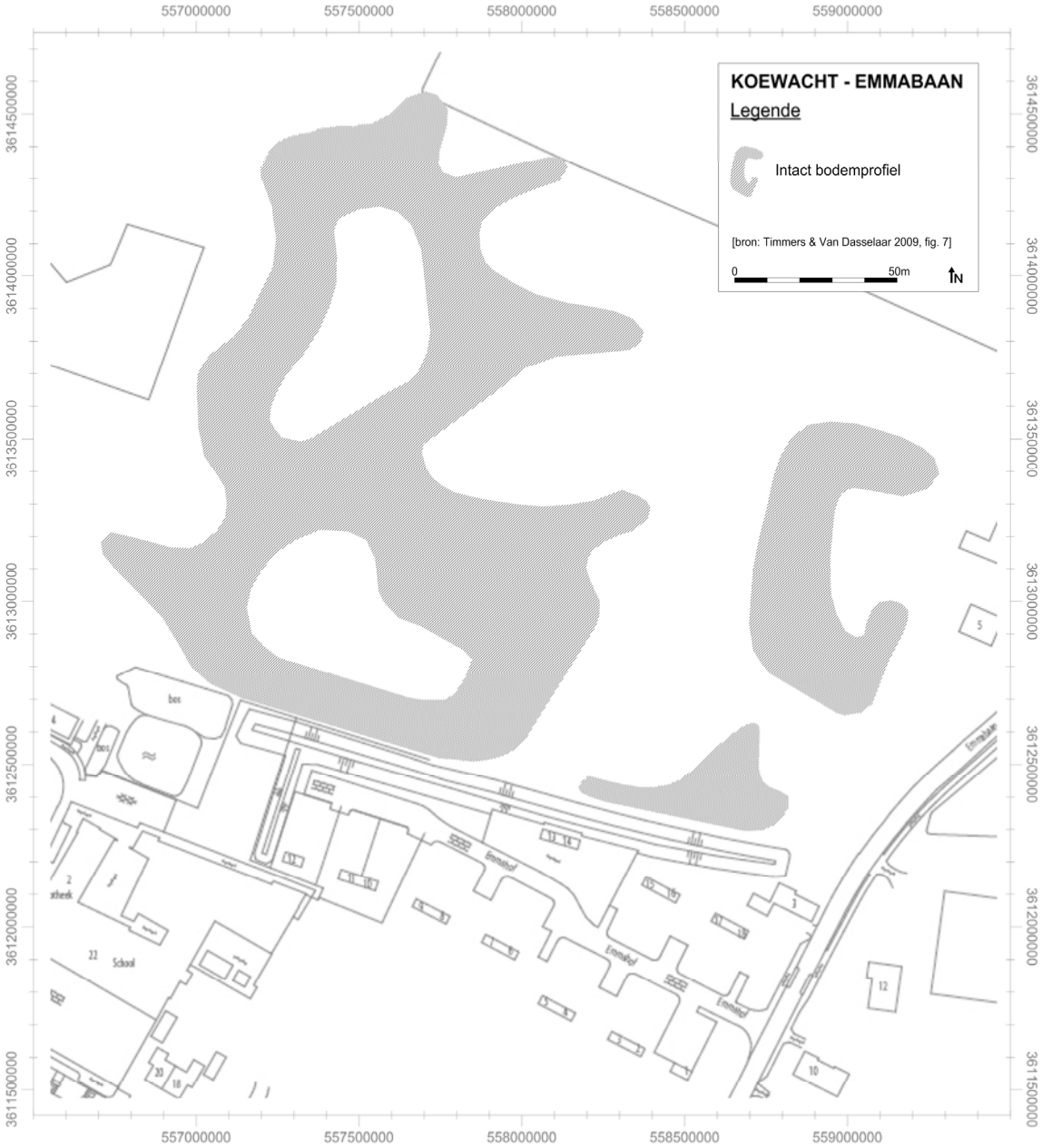


**Figuur 8** De ruimtelijke verspreiding van de podzol ter hoogte van de akker langsheen de Emmabaan zoals geobserveerd en geïnterpoleerd in 2009 (aangepast naar Timmers & van Dasselaar 2009, afb. 7).

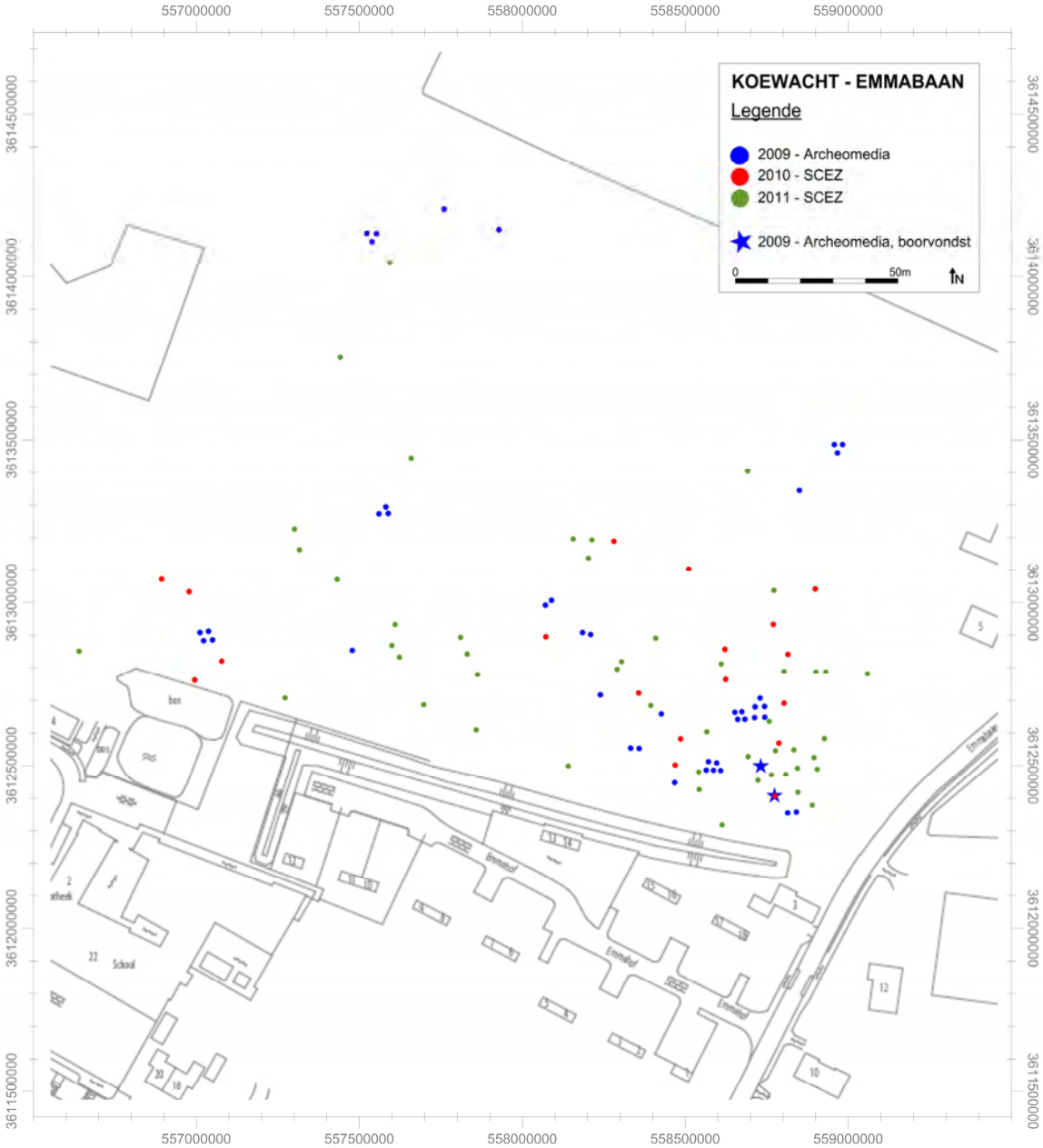


**Figuur 9** De ruimtelijke verspreiding van de prehistorische indicatoren ter hoogte van de onderzoekslocatie, op basis van voorgaande onderzoeken (aangepast naar Crombé 2011: 35 en Timmers & van Dasselaar 2009, bijlage 2).

**Figuur 10** | Sfeeropname van de rondleiding die op 28 juni 2011 werd georganiseerd, tijdens de uitvoering van het veldwerk.

**Figuur 11** | Sfeeropnames van de uitvoering van het onderzoek, deel 1 (90° gedraaid): uitvoeren van manuele boringen en aanleg van proefsleuven.

**Figuur 12** | Sfeeropnames van de uitvoering van het onderzoek, deel 2: uitzeven van archeologische monsters, manuele en mechanische bemonstering, veldkartering en studie van paleosequentie.

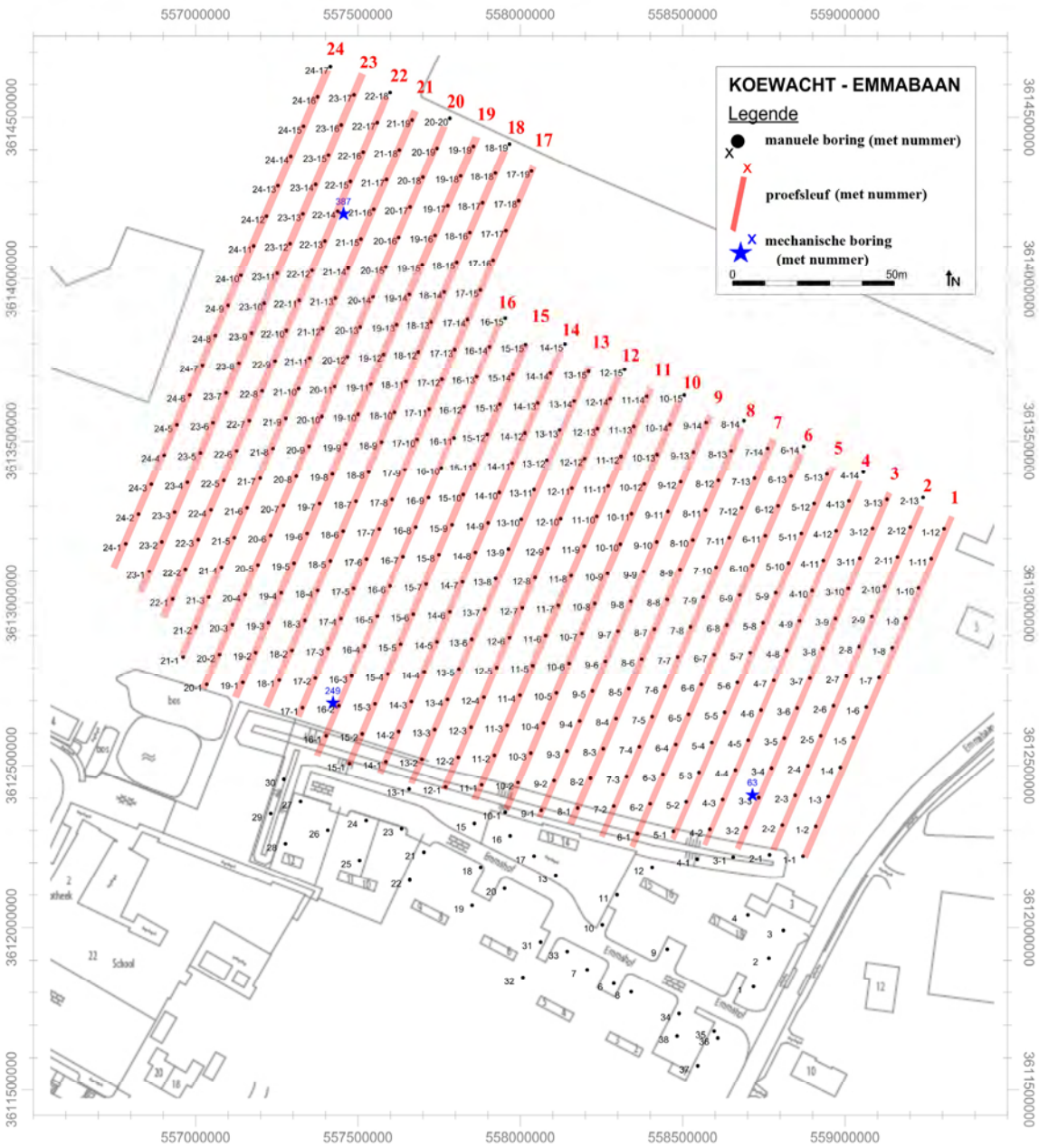


**Figuur 13** Ruimtelijk overzicht van de archeologische ingrepen (proefsleuven, manuele en mechanische boringen) uitgevoerd in het kader van het IVO-O/P.

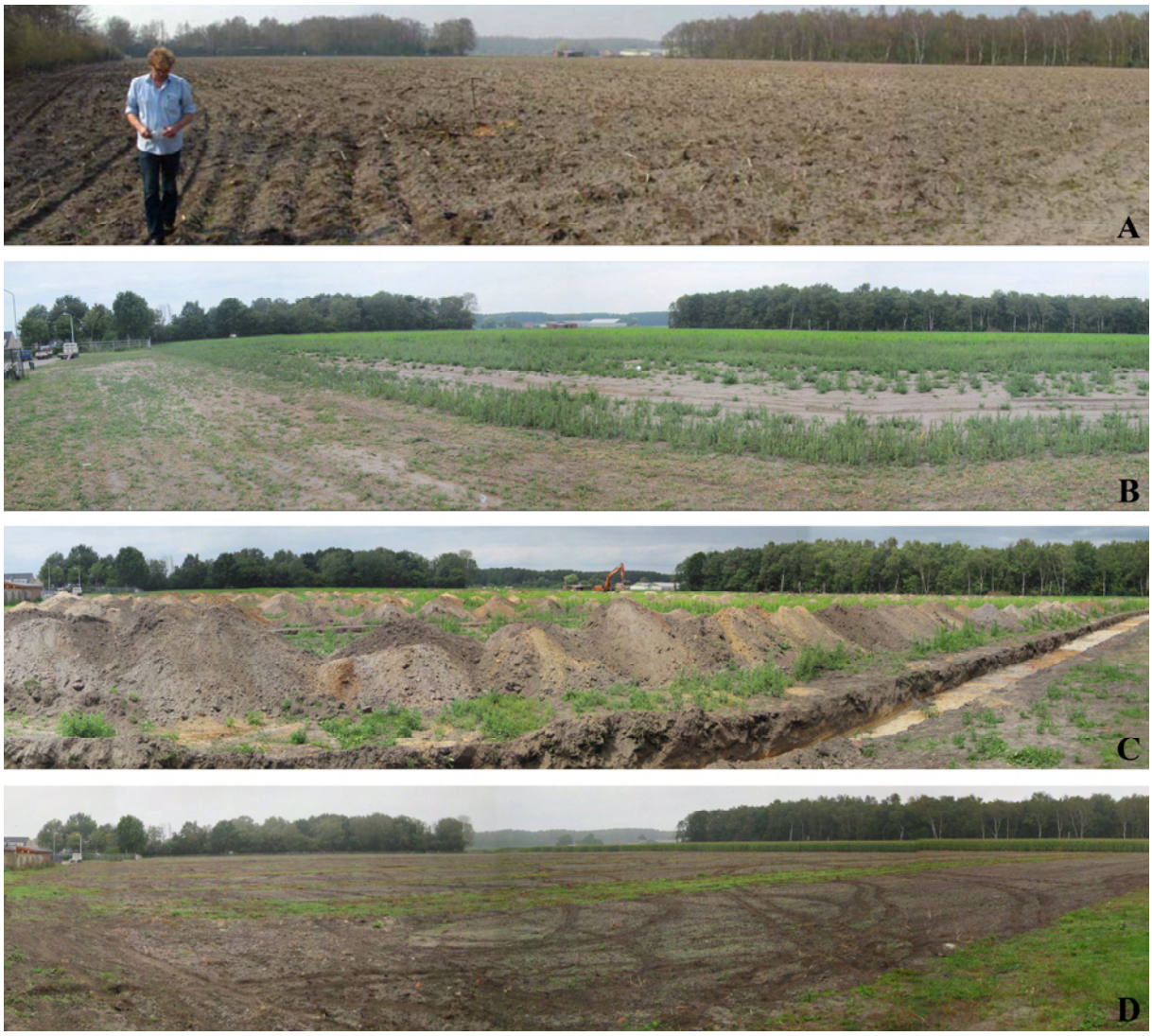


**Figuur 14** Het akkerperceel langsheen de Emmabaan gefotografeerd vanuit het zuidoosten op verschillende tijdstippen tussen 2009 en 2011 (van boven naar onder): (1) tijdens het onderzoek van ArcheoMedia (bron: Timmers & van Dasselaar 2009, afb. 2), (2) bij aanvang van het onderzoek van GATE, (3) tijdens de aanleg van de proefsleuven en (4) na het opnieuw dichtgooien van de proefsleuven.

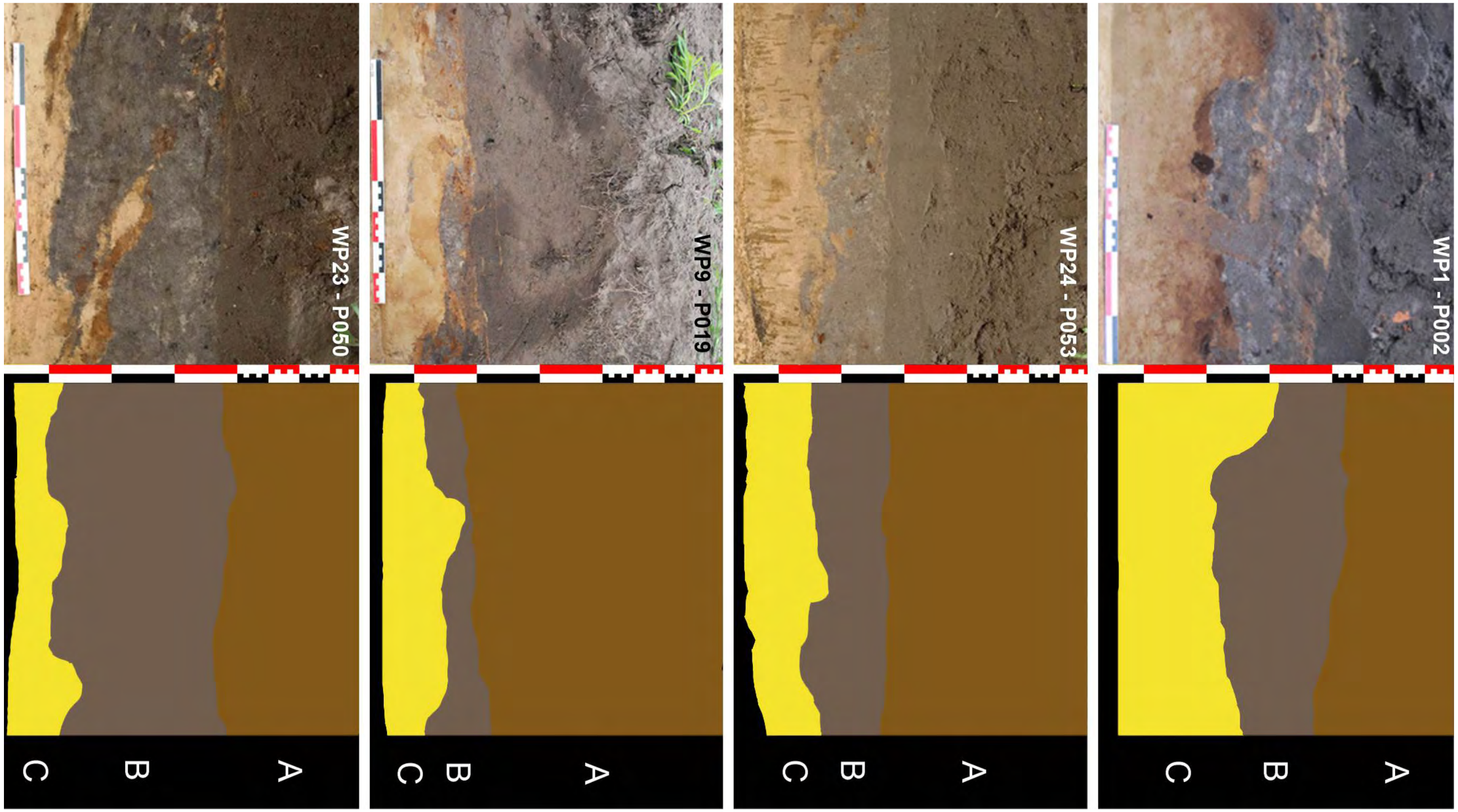


**Figuur 15** | De intactheid van de bodemopbouw zoals geobserveerd in de profielwanden tijdens de uitvoering van het proefsleuvenonderzoek (90° gedraaid). (A) = ploeglaag, (B) = tweede ploeglaag, (C) = moederbodem.

**Figuur 16** | Natuurlijke bodemsporen in het onderzoeksvlak van de proefsleuven suggereren de voormalige aanwezigheid van een (intact) podzolprofiel op de onderzoekslocatie (90° gedraaid).

**Figuur 17** | Ruimtelijke verspreiding van de archeologische bodemsporen aangetroffen tijdens het proefsleuvenonderzoek.

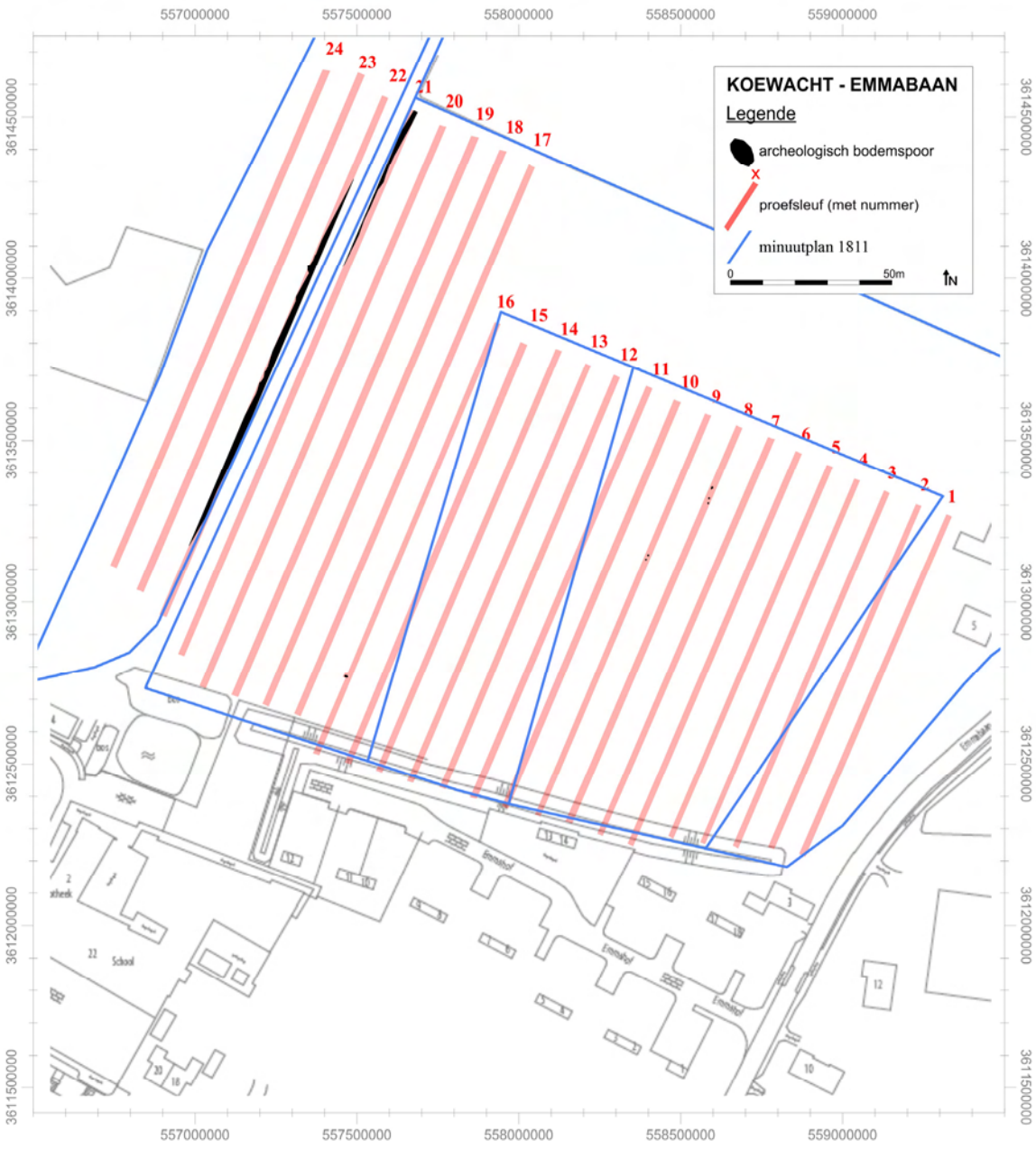


**Figuur 18** | Ruimtelijke verspreiding van de gracht vergeleken met het minuutplan uit 1811.

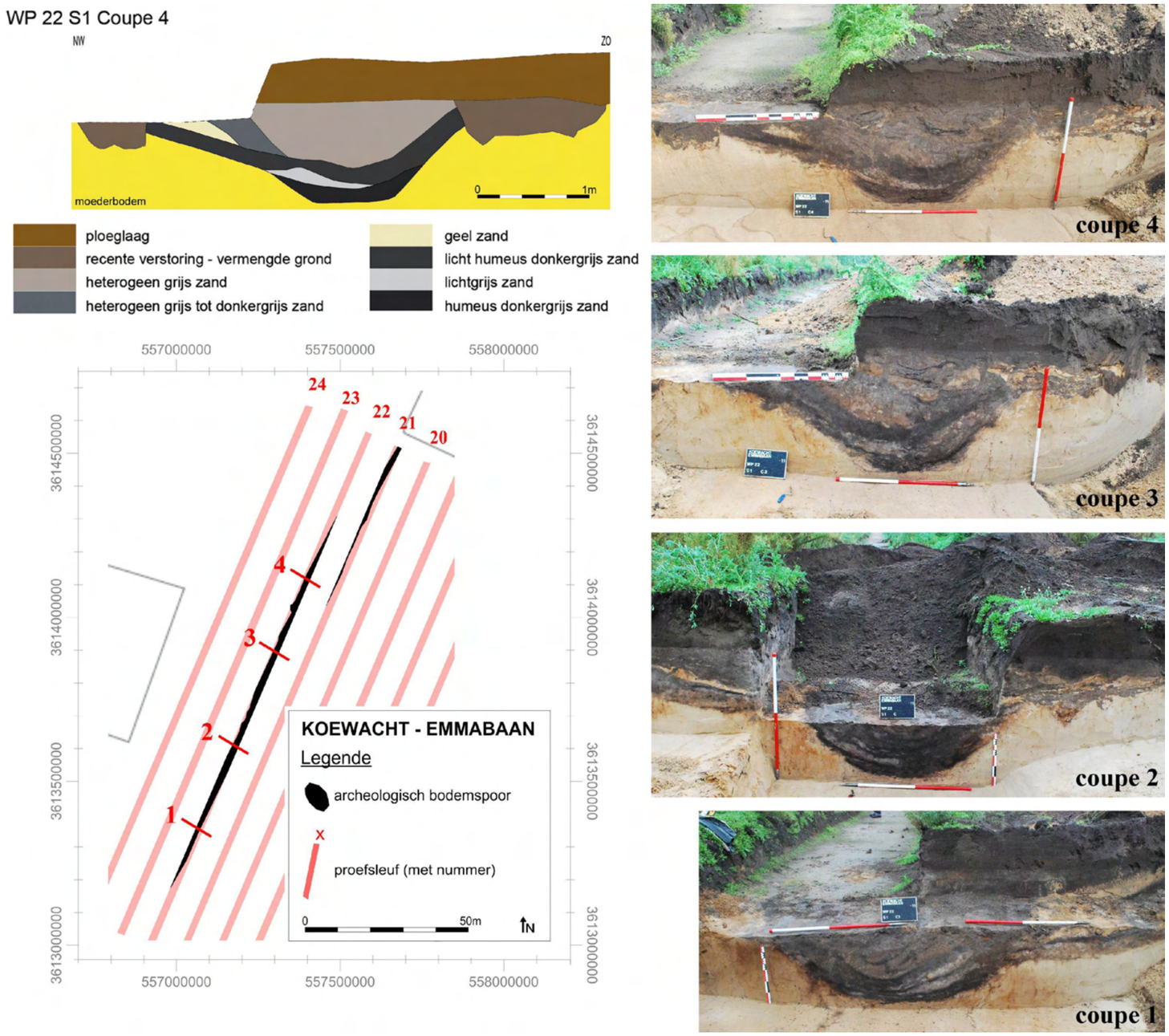


**Figuur 19** | Locatie en doorsnede van de gracht zoals geobserveerd en geregistreerd in verschillende coupes.

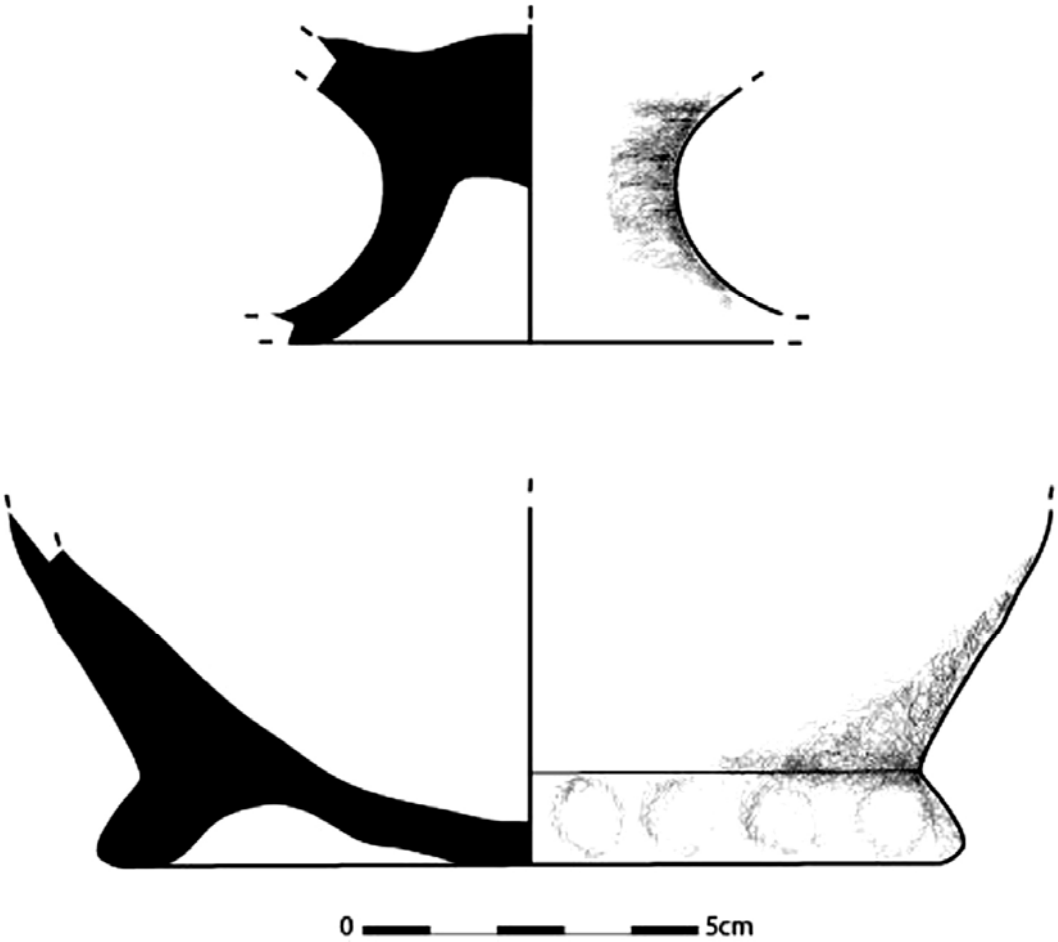


**Figuur 20** Het vondstmateriaal gerecupereerd uit de grachtvulling, bestaande uit aardewerkfragmenten die wijzen op een datering in de Nieuwe of Nieuwste Tijd (tekeningen: Bert de Bruyne & Wouter Beek).

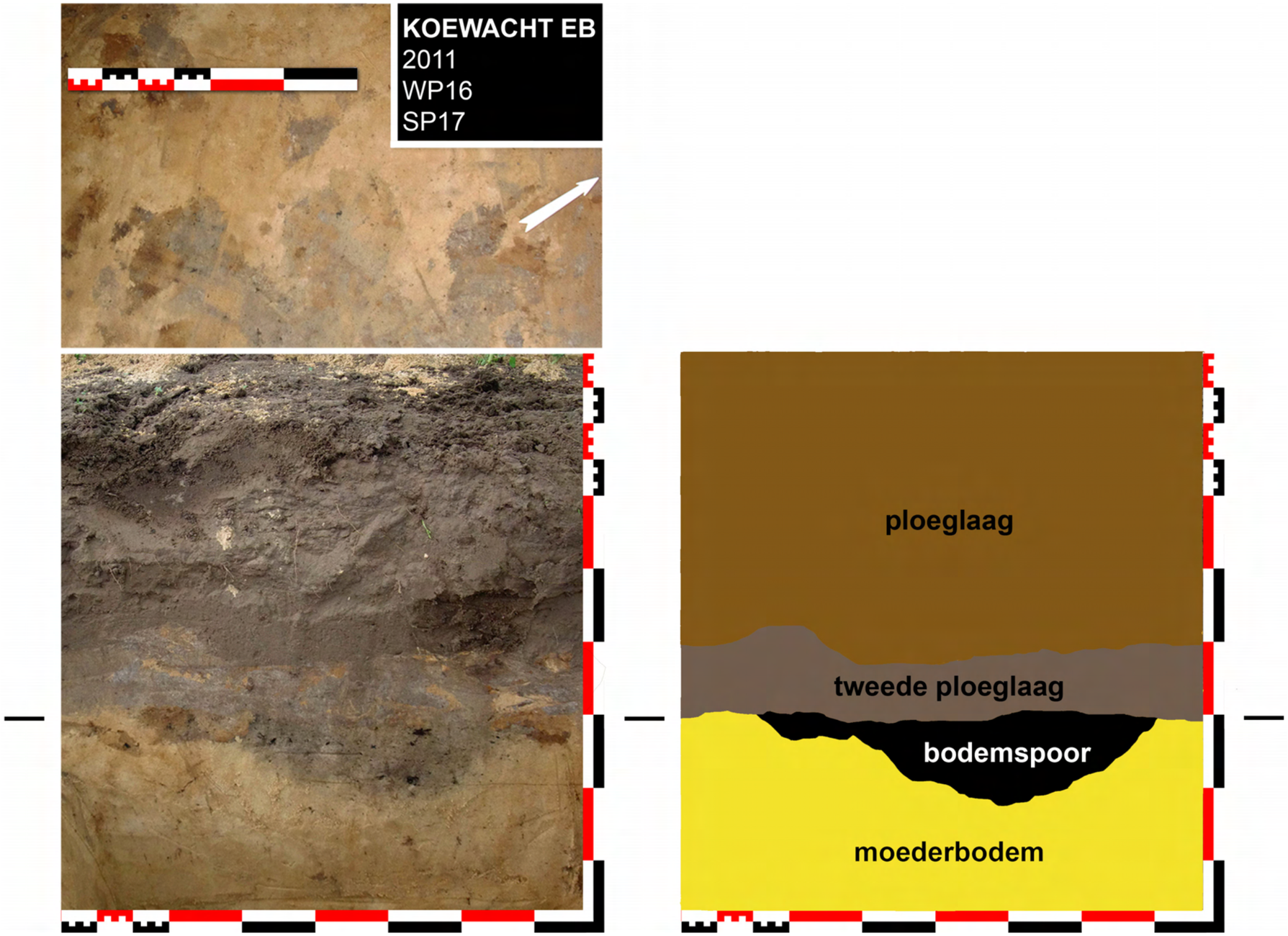


**Figuur 21** | Opnames en schematische voorstelling van het bodemspoor P16 S17, waarvan de inhoud volledig werd bemonsterd en uitgezeefd; het leverde 146 lithische artefacten, verkoolde hazelnootfragmenten en houtskool op.

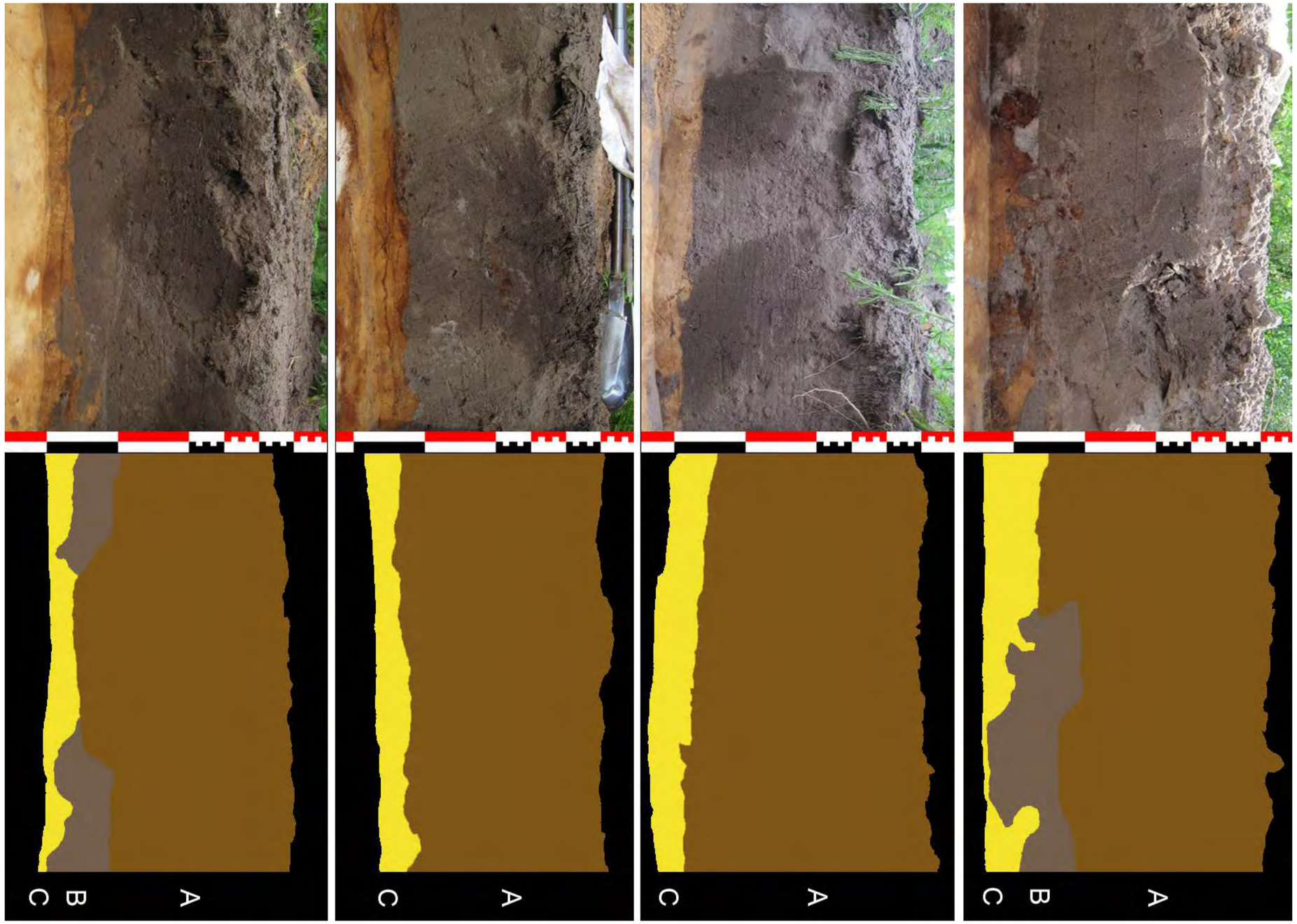


**Figuur 22** | De intactheid van de bodemopbouw zoals geobserveerd in de profielwanden tijdens de uitvoering van het manuele booronderzoek (90° gedraaid). (A) = ploeglaag, (B) = tweede ploeglaag, (C) = B- en/of C-horizonten.

**Figuur 23** Ruimtelijke verspreiding van de bewaring van de top van het bodemprofiel zoals geregistreerd tijdens het manuele booronderzoek.

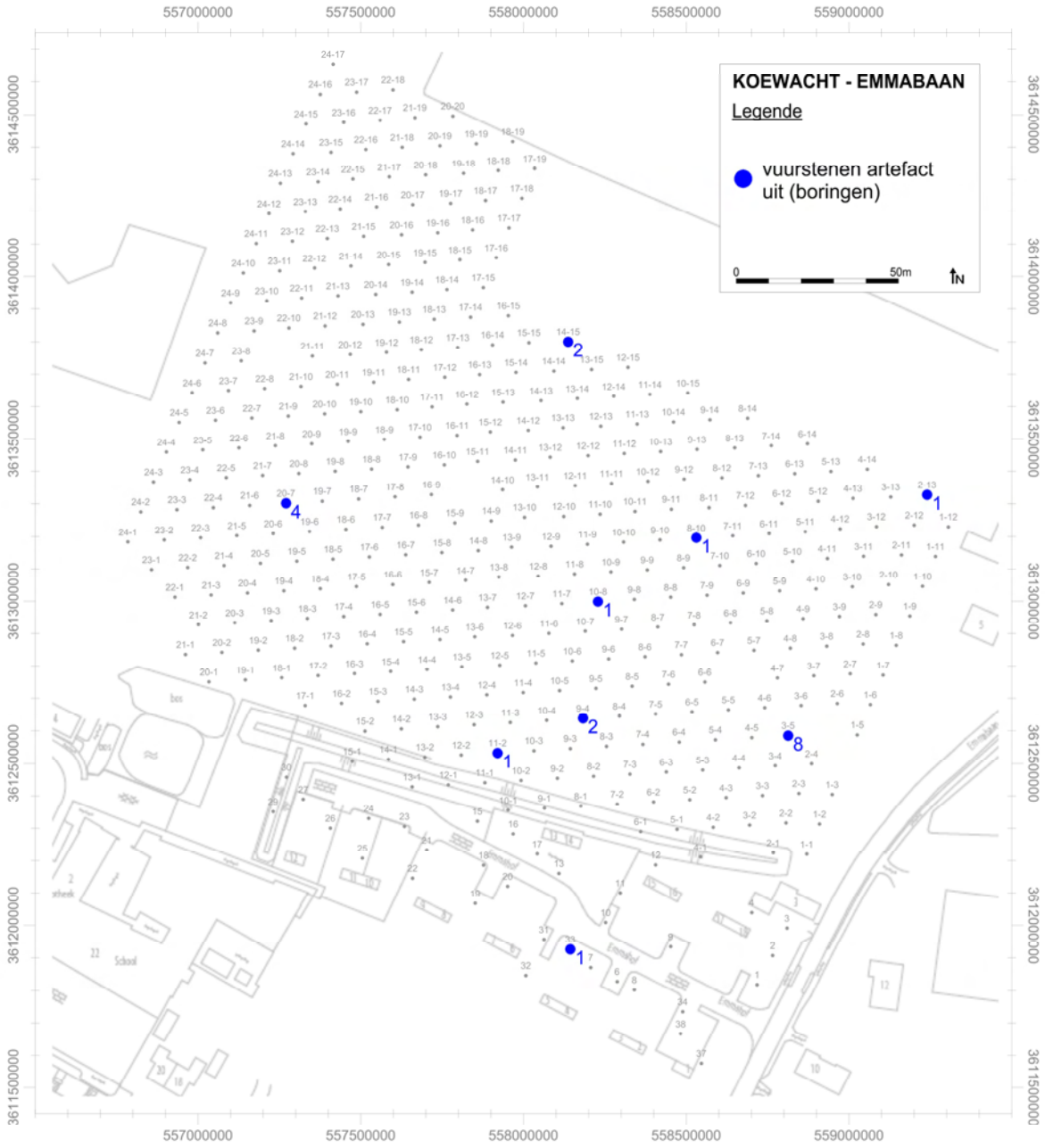


**Figuur 24** Ruimtelijke verspreiding van de manuele boringen waarin vuurstenen artefacten werden aangetroffen, indicatief voor de aanwezigheid van prehistorische vindplaatsen.

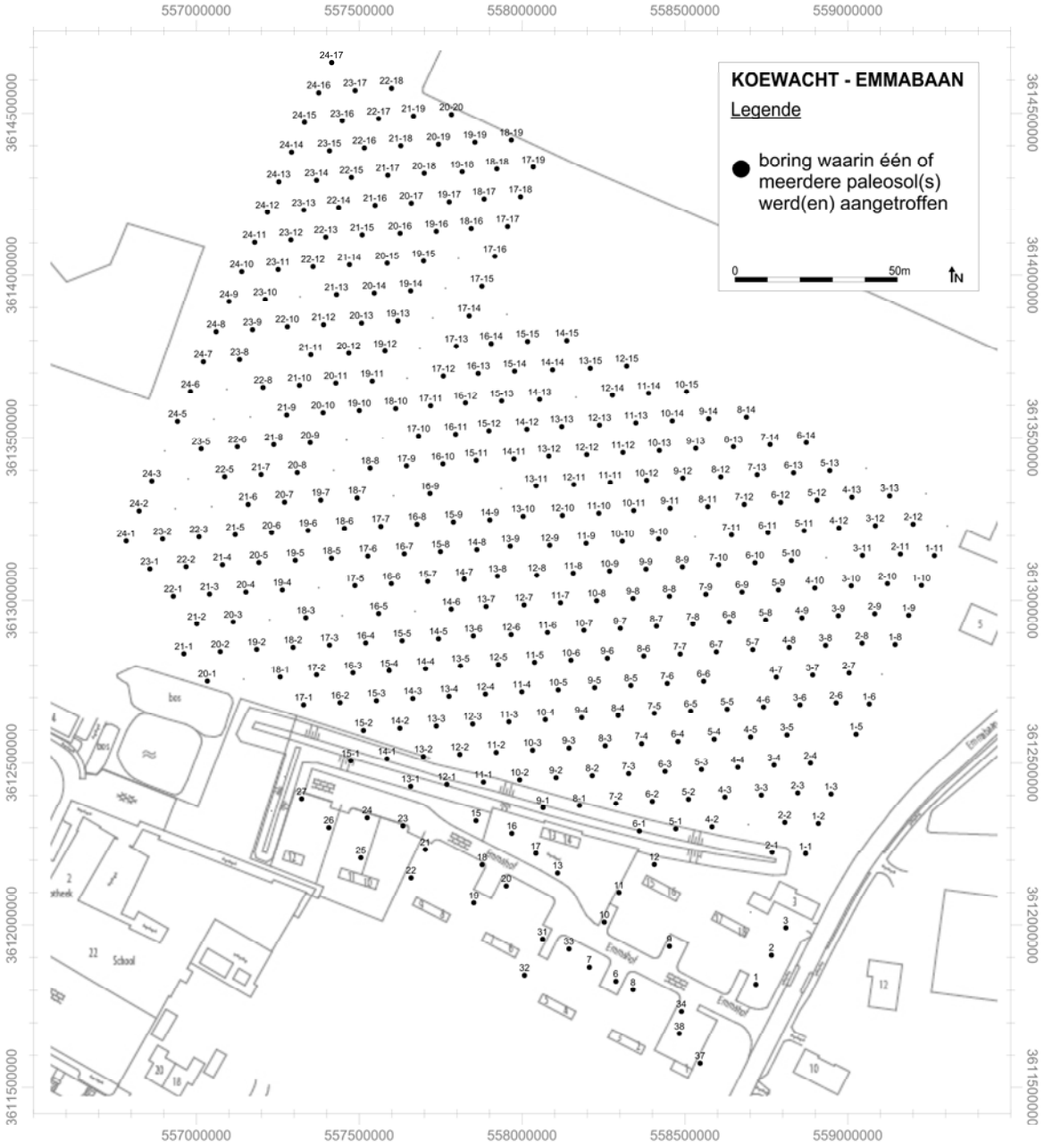


**Figuur 25** Ruimtelijke verspreiding van de manuele boringen waarin één of meerdere (vermeende) afgedekte paleobodem(s) werd(en) aangetroffen.

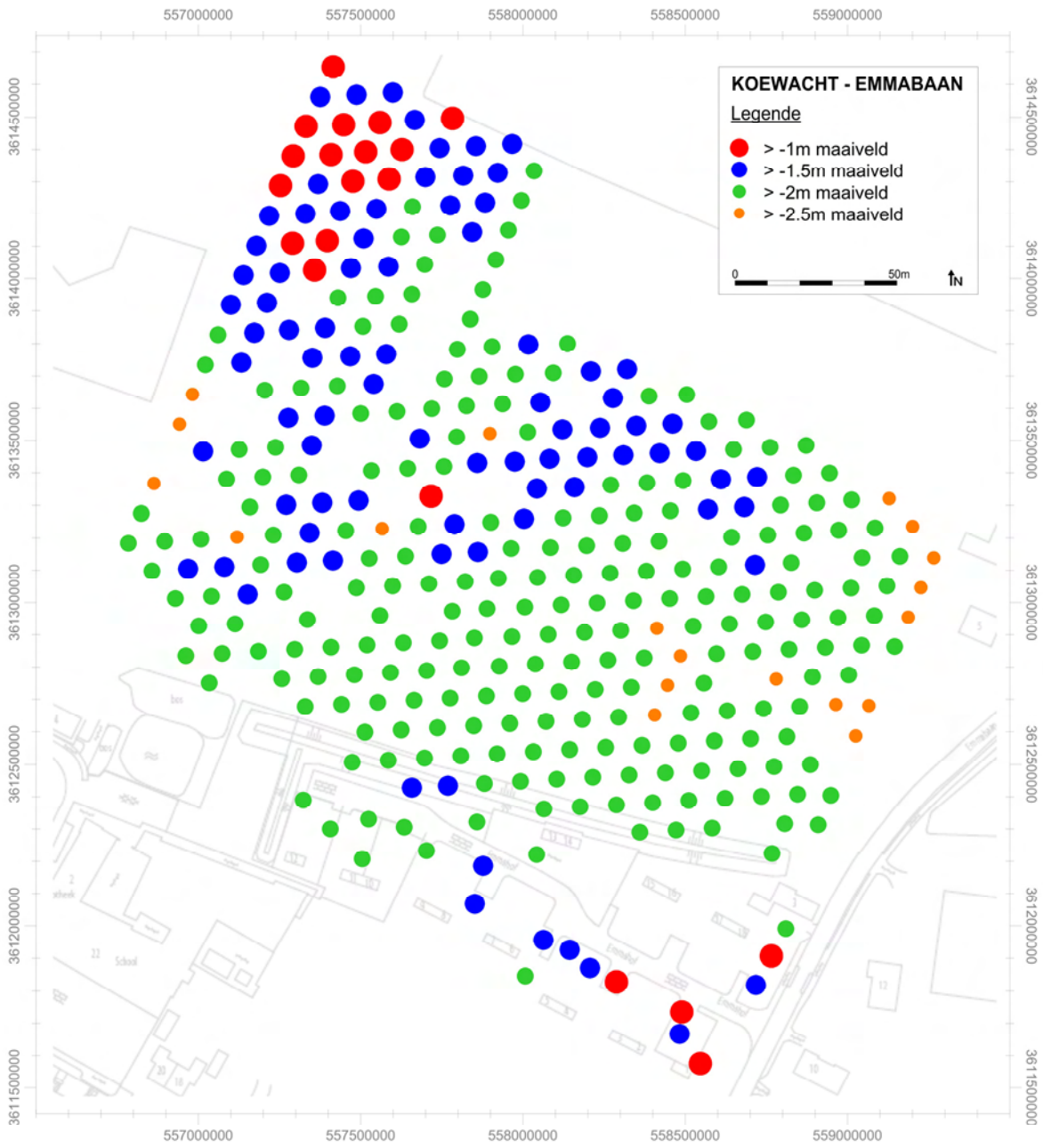


**Figuur 26** Indicatie van de diepte van de top van het (bovenste) venige en/of humeus zandige pakket, in het veld geïnterpreteerd als potentiële paleosol.

**Figuur 27** Opnames van de variatie van de paleobodem zoals geobserveerd in de manuele boringen (90° gedraaid). Op de foto boven is een venig pakket zichtbaar (B05 02); op de twee overige foto's zijn meerdere opeenvolgende humeuze lagen zichtbaar (resp. B23 16 en B22 16).

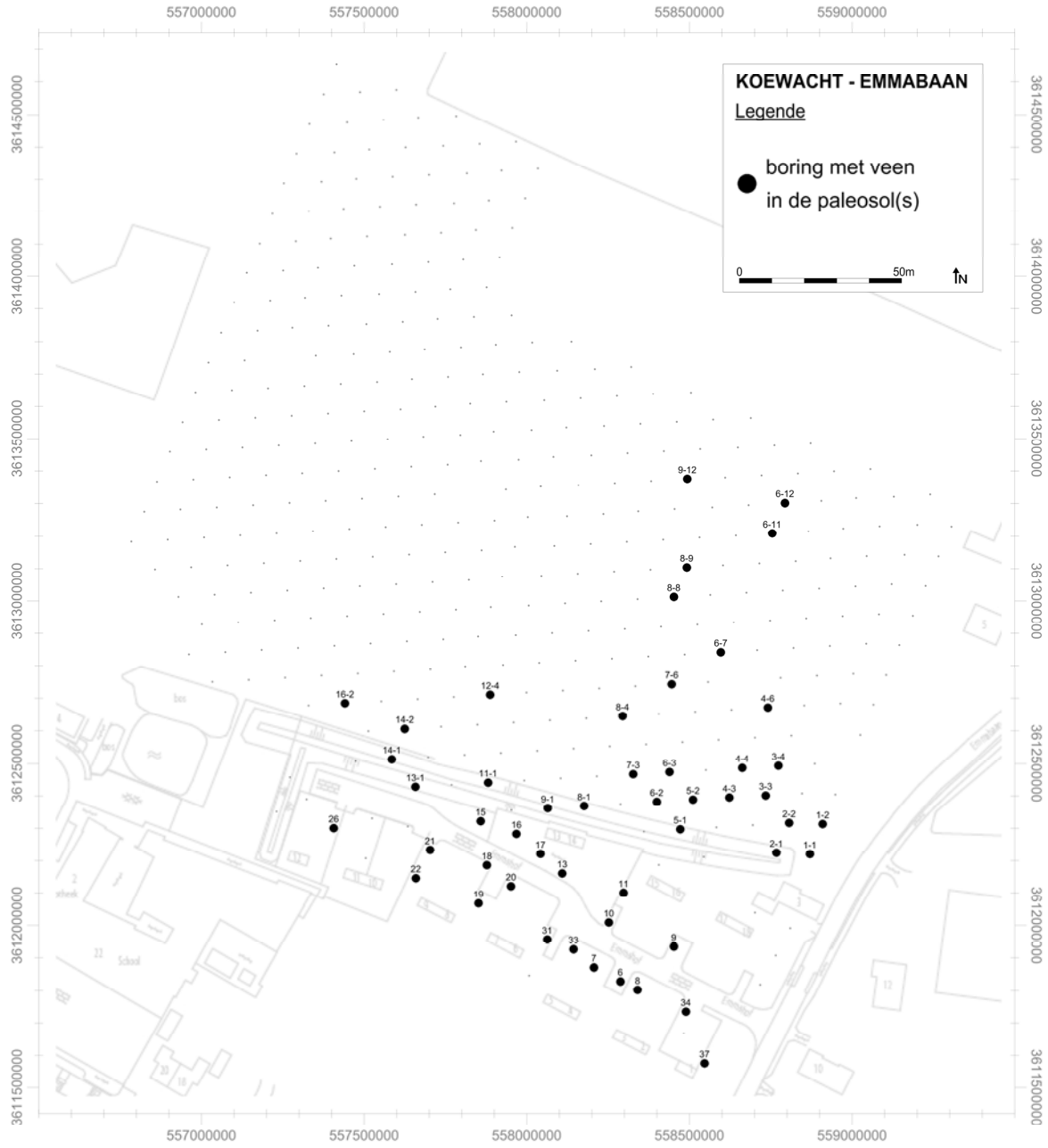


**Figuur 28** | Ruimtelijke verspreiding van de manuele boringen waarin een venig pakket werd aangetroffen.

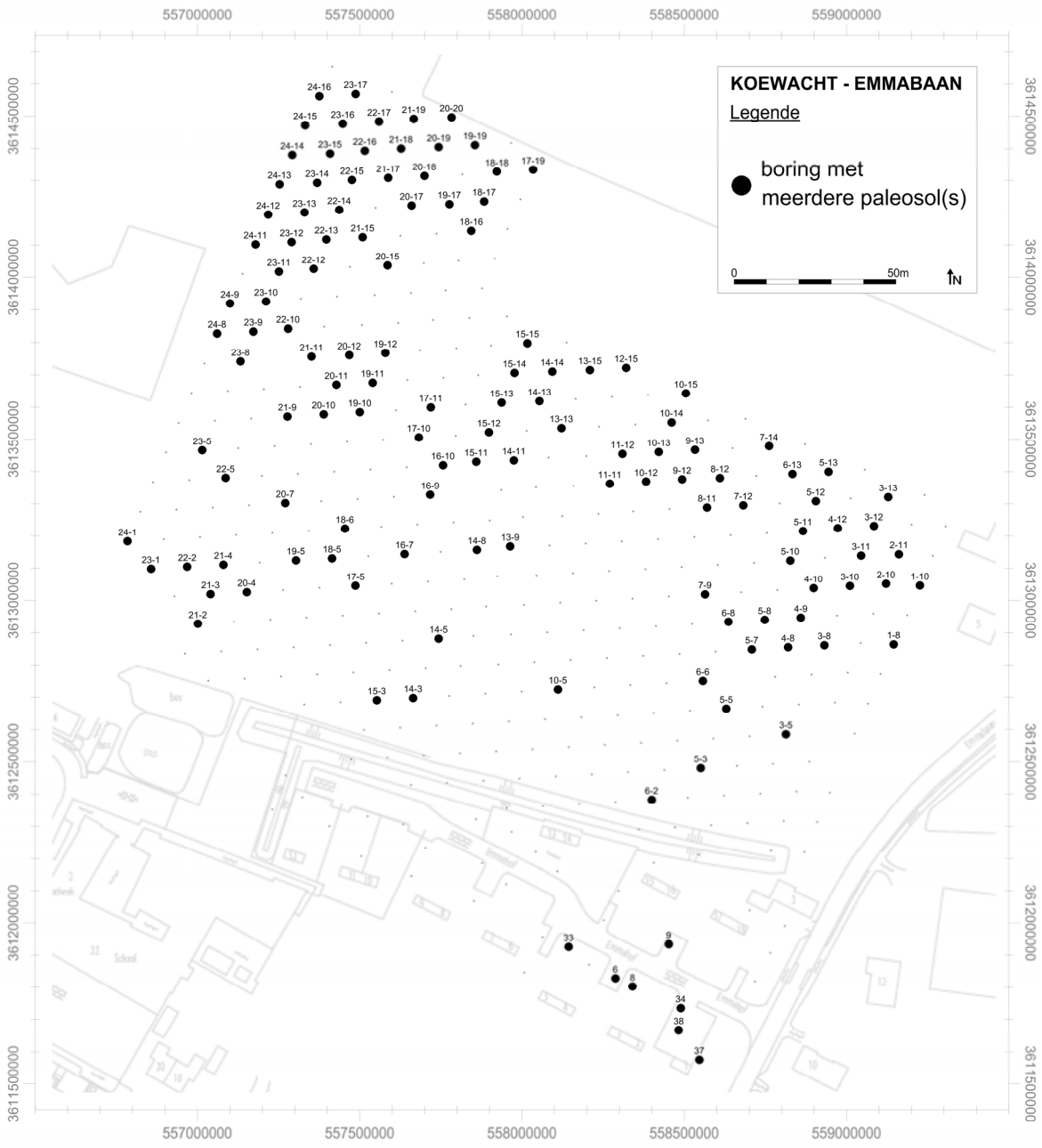


**Figuur 29** Ruimtelijke verspreiding van de manuele boringen waarin meerdere opeenvolgende humeuze zandige laagjes werden aangetroffen.

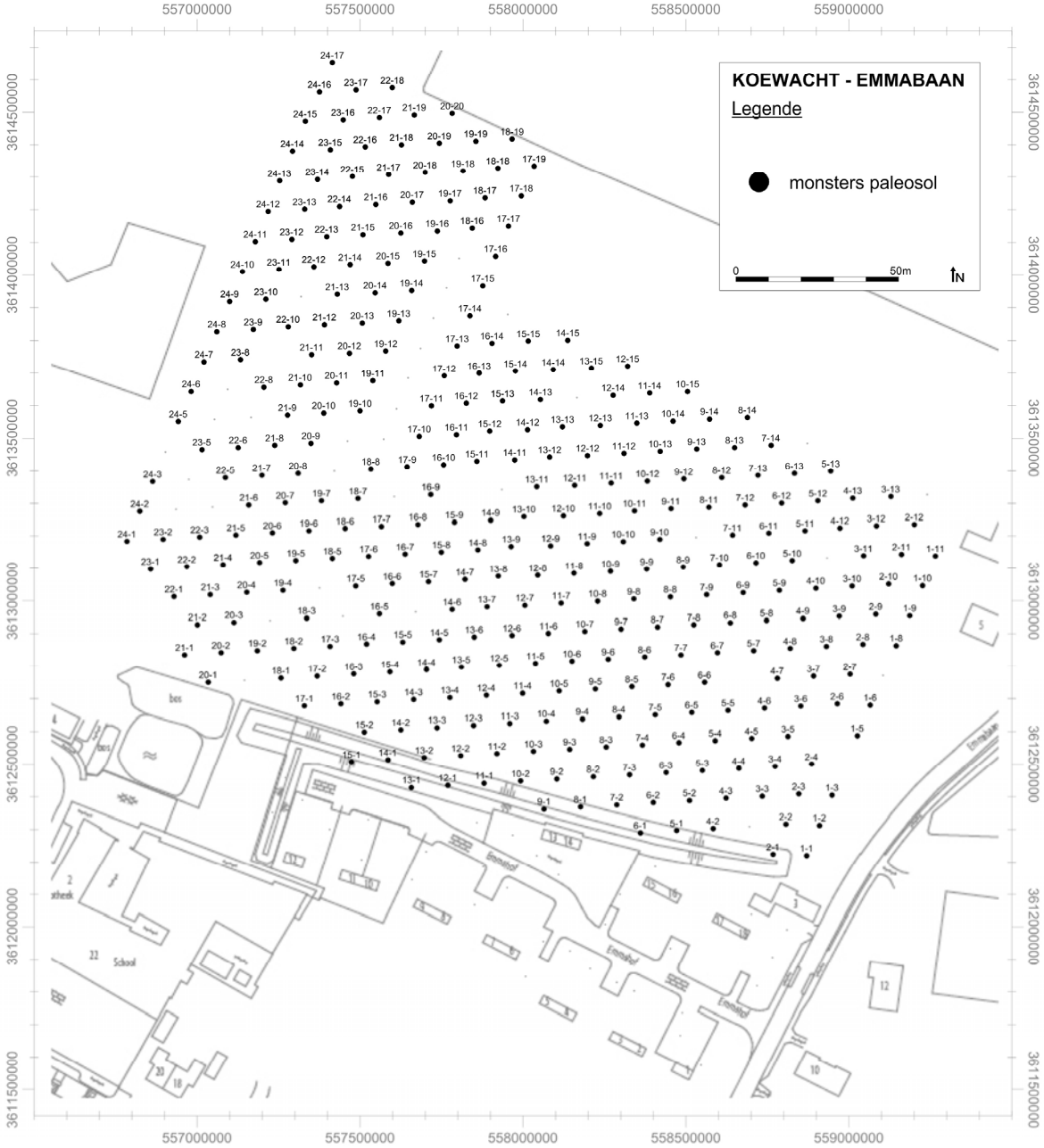


**Figuur 30** Ruimtelijke verspreiding van de manuele boringen waarvoor één of meerdere archeologische monsters uit de paleobodem(s) kon worden genomen.

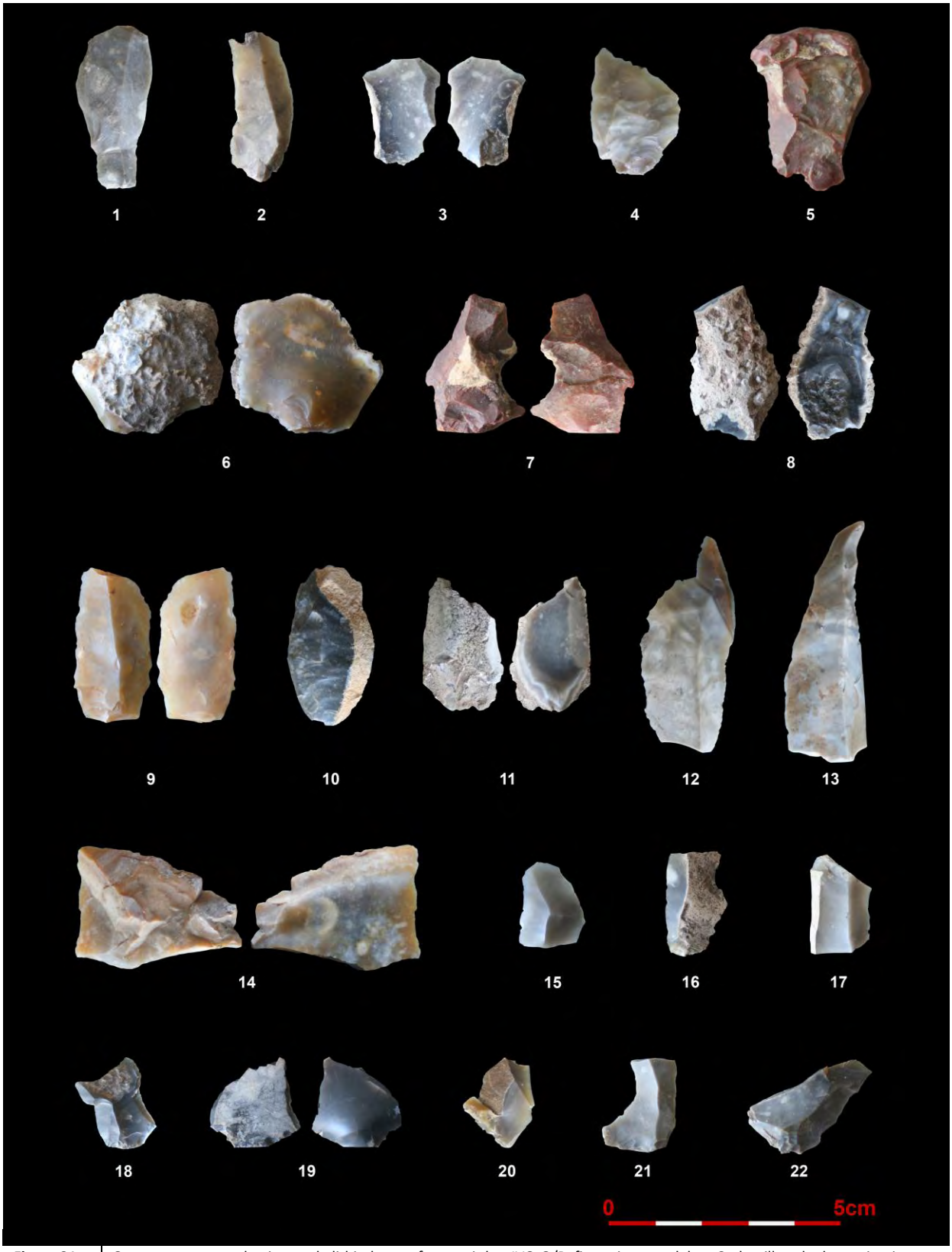


**Figuur 31** Opname van een selectie van de lithische artefacten uit het IVO-O/P; figuur in twee delen. Gedetailleerde determinaties van deze vondsten, inclusief verwijzingen naar deze figuur, zijn opgenomen in bijlage 7.

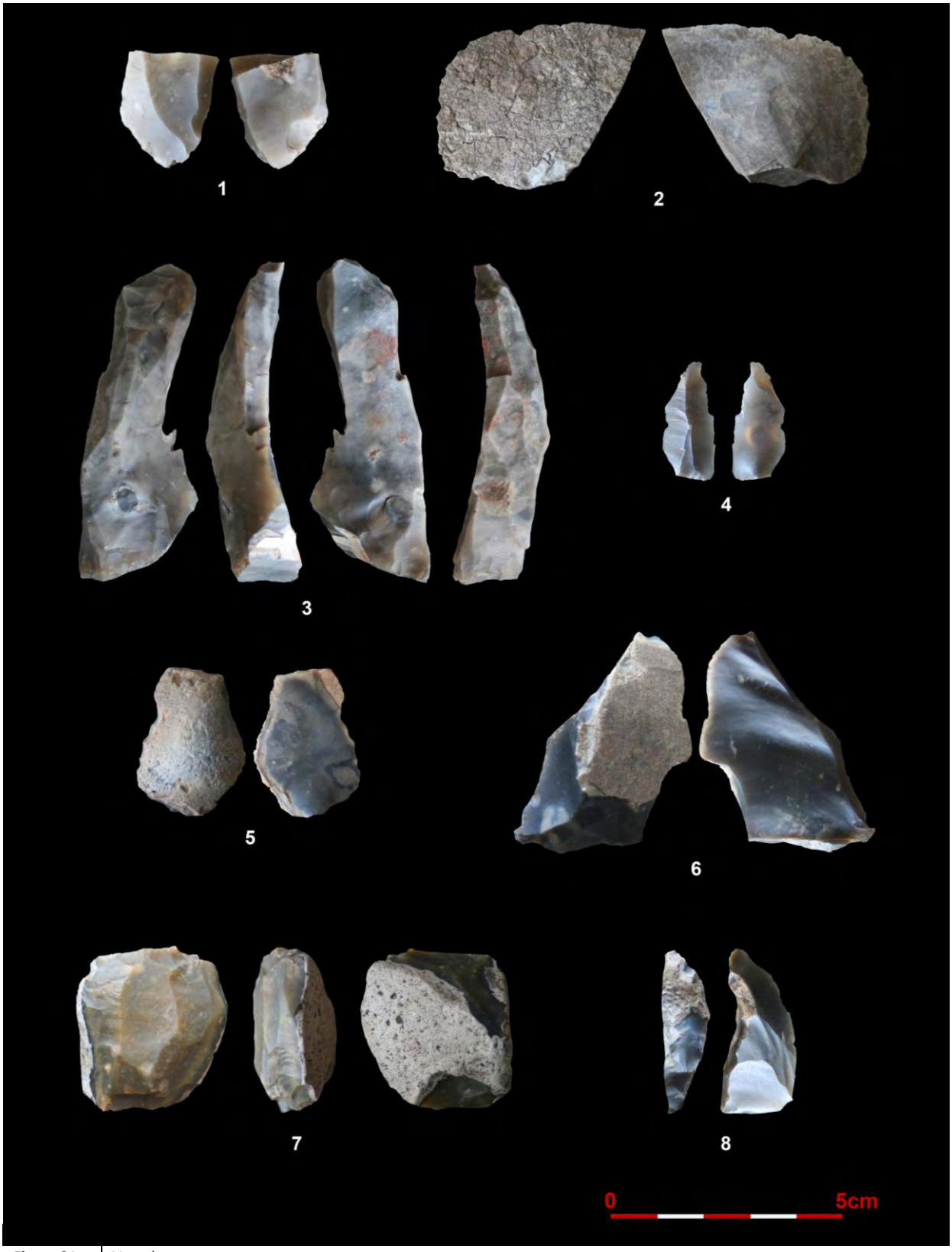


**Figuur 31** | Vervolg.

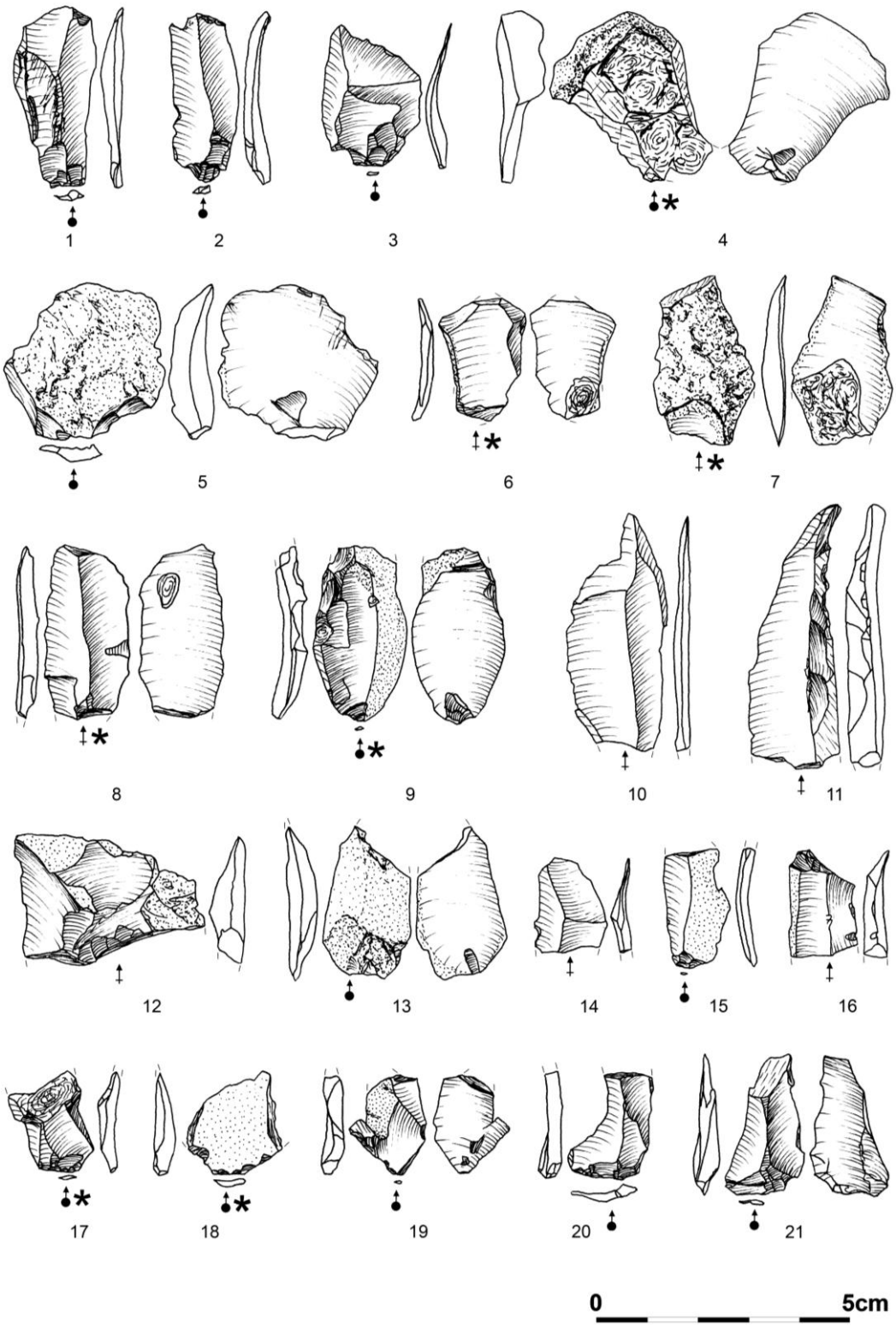


**Figuur 32** Tekening van een selectie van de lithische artefacten uit het IVO-O/P; figuur in twee delen. Gedetailleerde determinaties van deze vondsten, inclusief verwijzingen naar deze figuur, zijn opgenomen in bijlage 7.

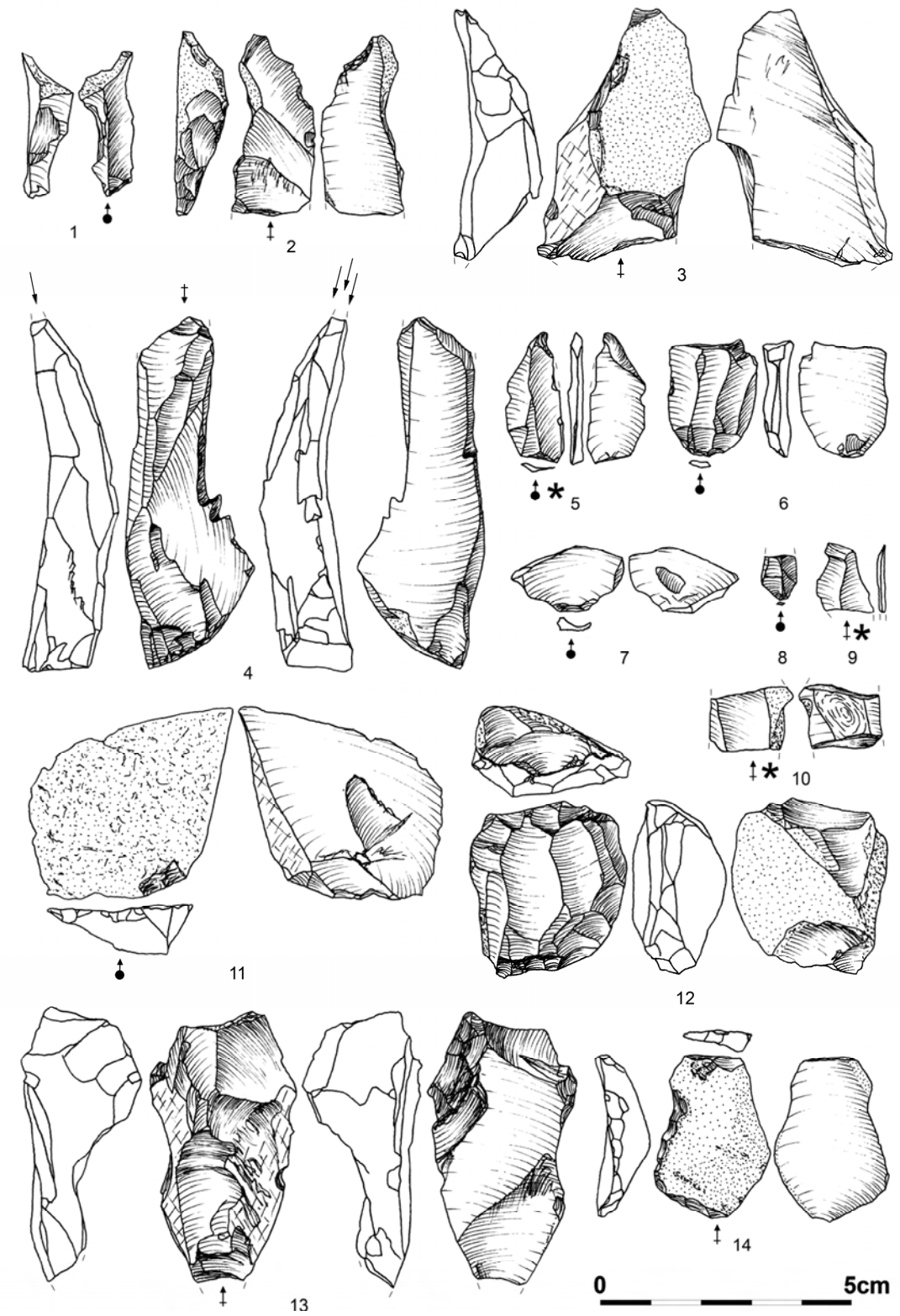


**Figuur 32** | Vervolg.

**Figuur 33** Opname van een selectie van brokken, knollen en kernfragmenten uit vuursteen aangetroffen tijdens verschillende oppervlaktekarteringen; figuur in twee delen: deel 1: vondsten uit de kartering uitgevoerd door ArcheoMedia, deel 2: vondsten uit de karteringen uitgevoerd door GATE. Gedetailleerde determinaties van deze vondsten, inclusief verwijzingen naar deze figuur, zijn opgenomen in bijlage 7.

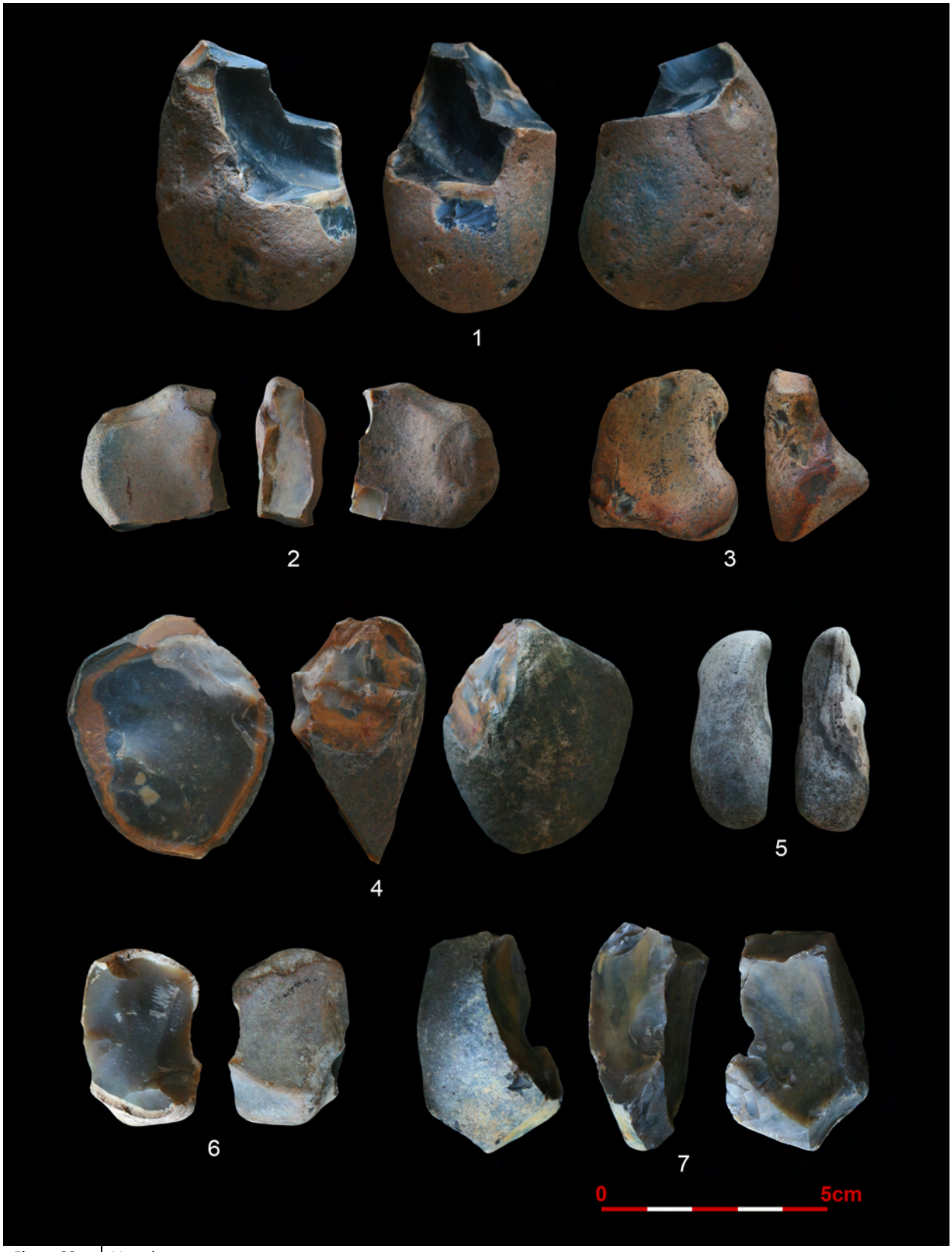


**Figuur 33** | Vervolg.

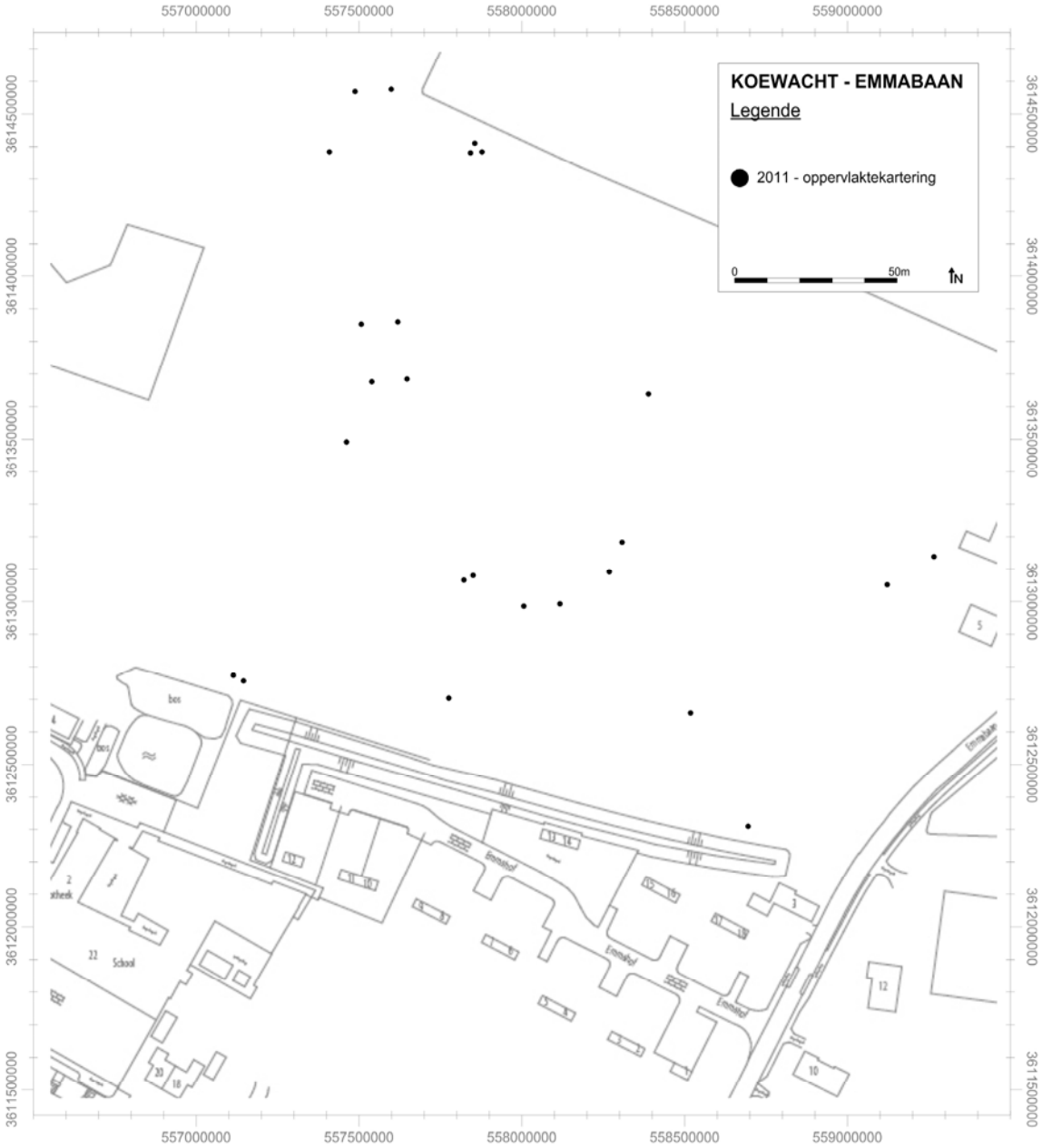


**Figuur 34** Ruimtelijke verspreiding van lithische artefacten aangetroffen tijdens de veldkarteringen uit het IVO-O/P. De locaties zijn bij benadering.

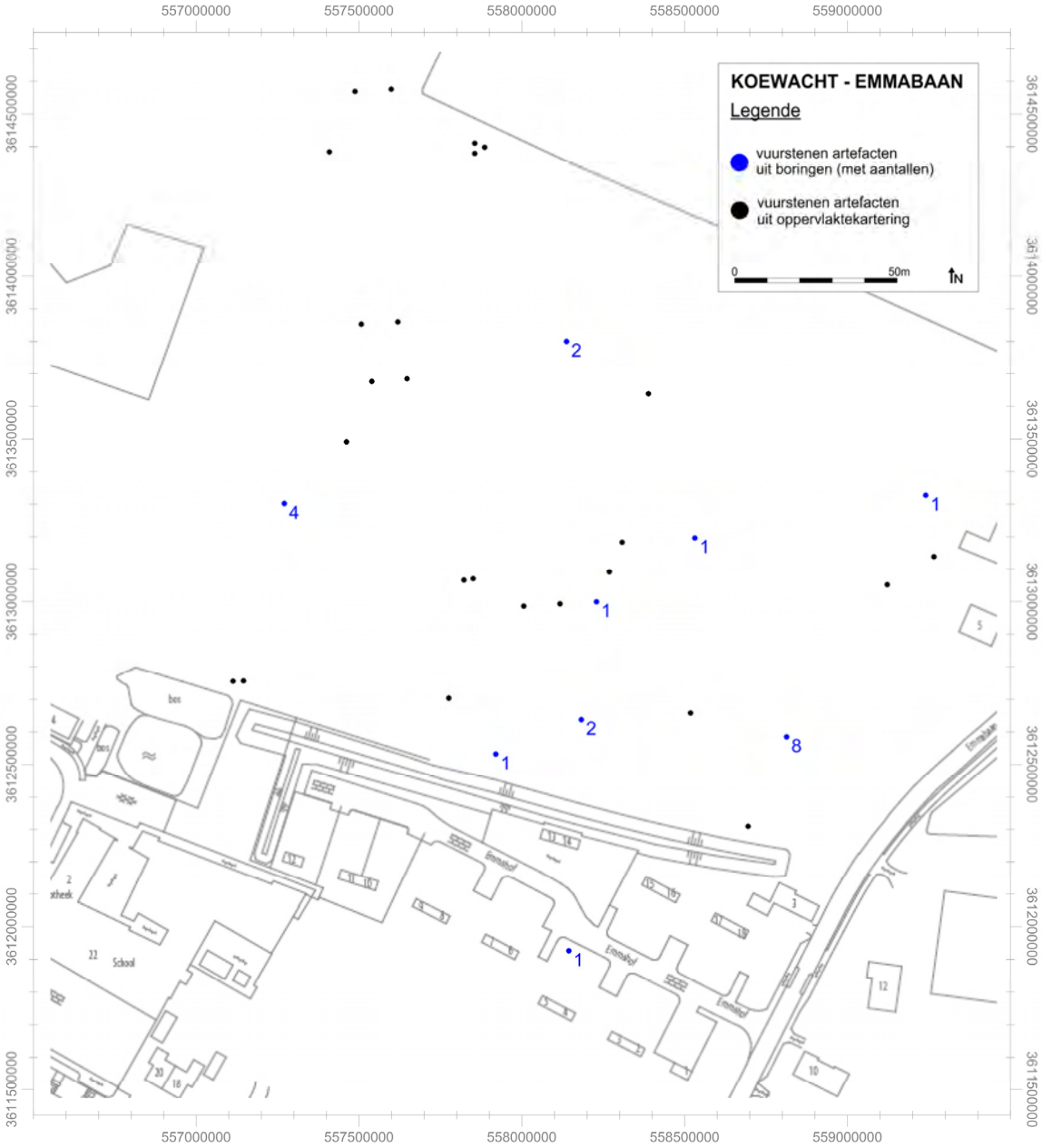


**Figuur 35** Samenvattend overzicht van de ruimtelijke verspreiding van de gekarteerde lithische vondsten uit de opppervlaktekarteringen en uit het manuele booronderzoek van het IVO-O/P. De locaties van de oppervlaktevondsten zijn bij benadering.

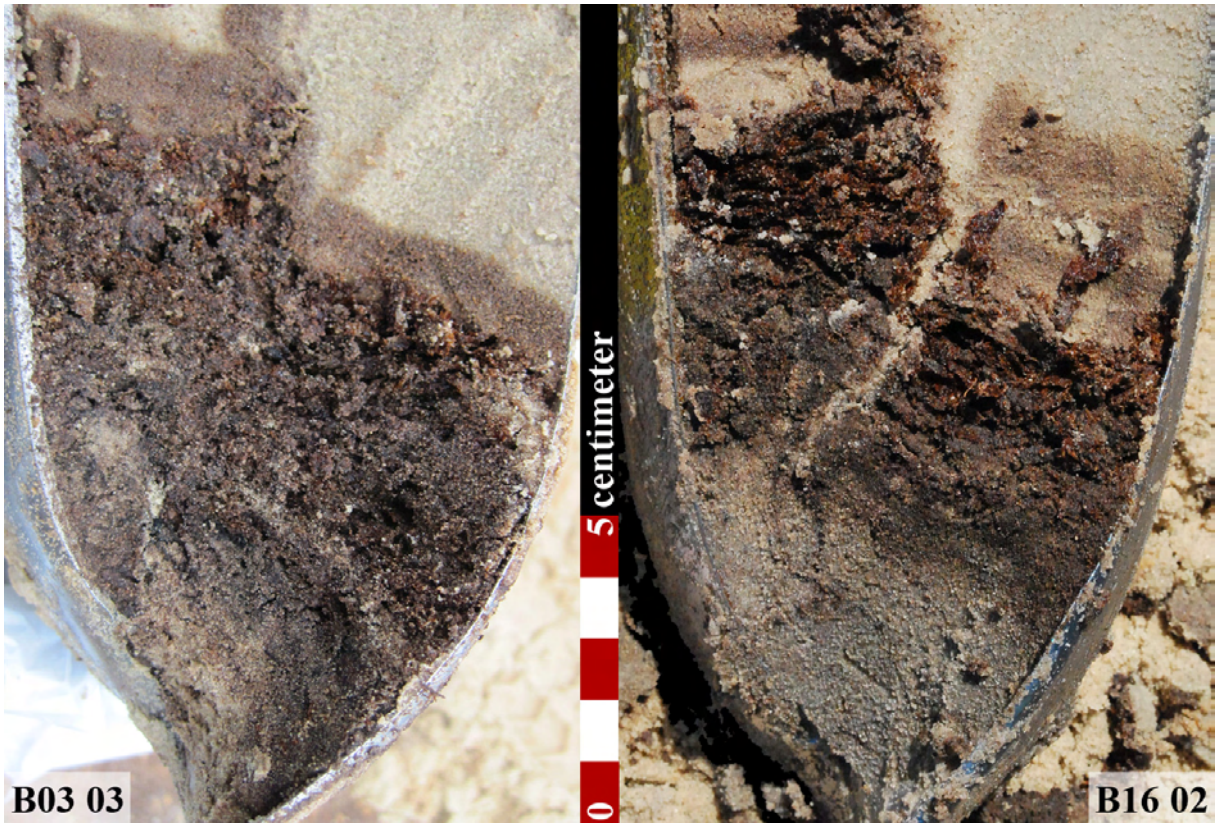


**Figuur 36** Observaties uit het manuele booronderzoek die mee aan de basis lagen voor de locatiekeuze van de mechanische Begemann-boringen. In beide boringen is een venig pakket zichtbaar.

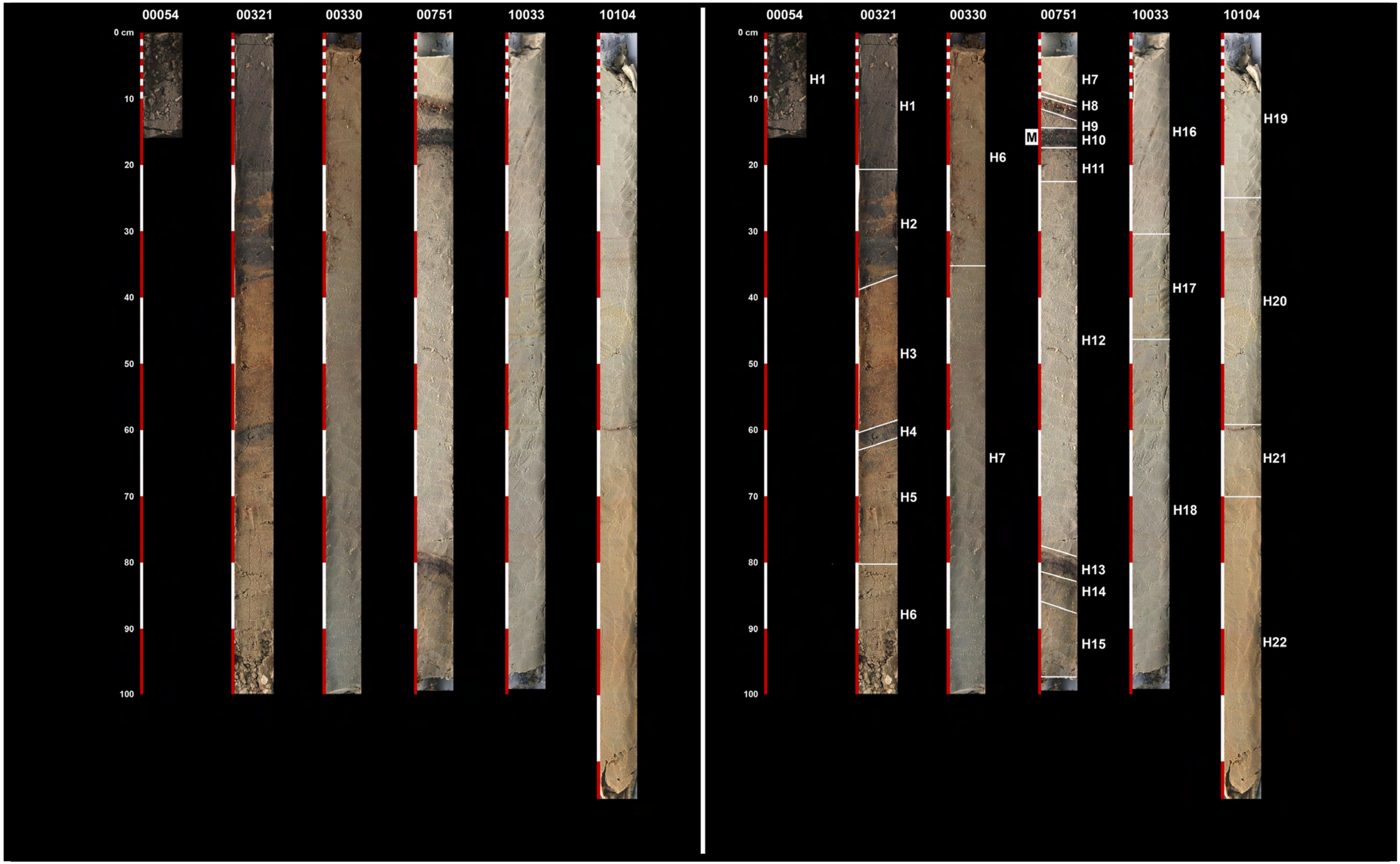


**Figuur 37** | Opname van de bodemopbouw zoals geobserveerd in de eerste mechanische boring (boring 63). Voor een toelichting hiervan wordt verwezen naar tabel 6.

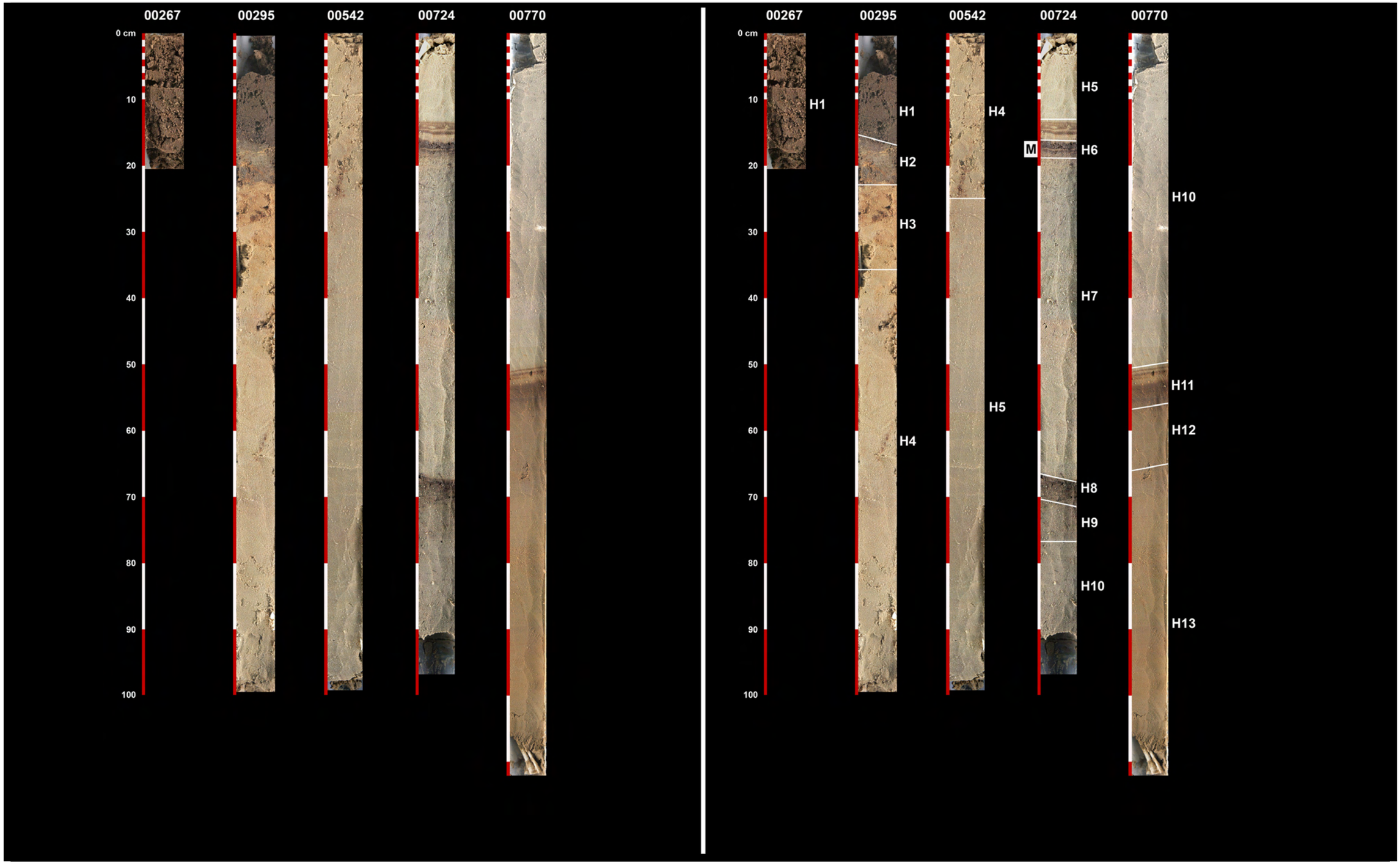


**Figuur 38** | Opname van de bodemopbouw zoals geobserveerd in de tweede mechanische boring (boring 249). Voor een toelichting hiervan wordt verwezen naar tabel 6.

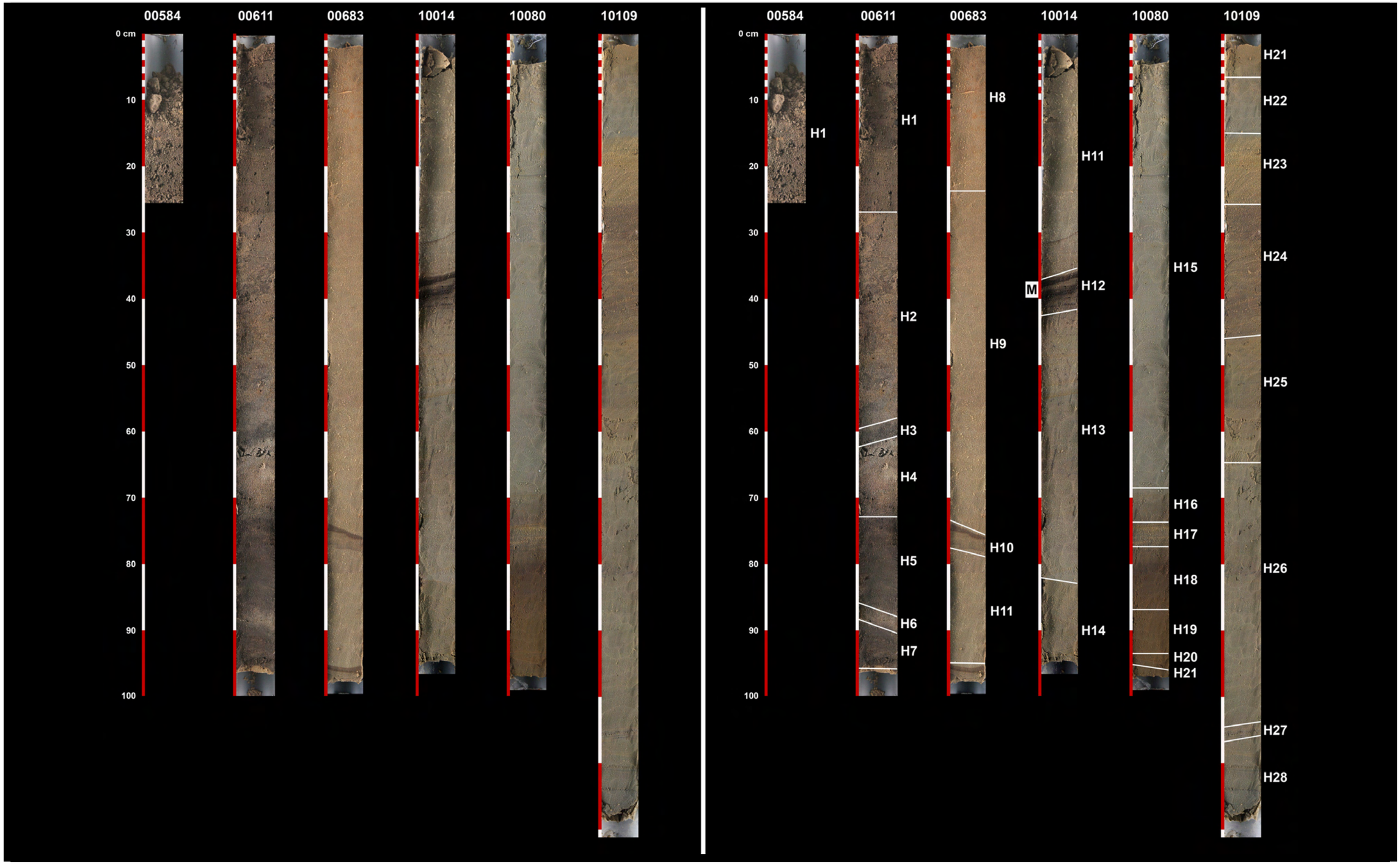


**Figuur 39** | Opname van de bodemopbouw zoals geobserveerd in de derde mechanische boring (boring 387). Voor een toelichting hiervan wordt verwezen naar tabel 6.

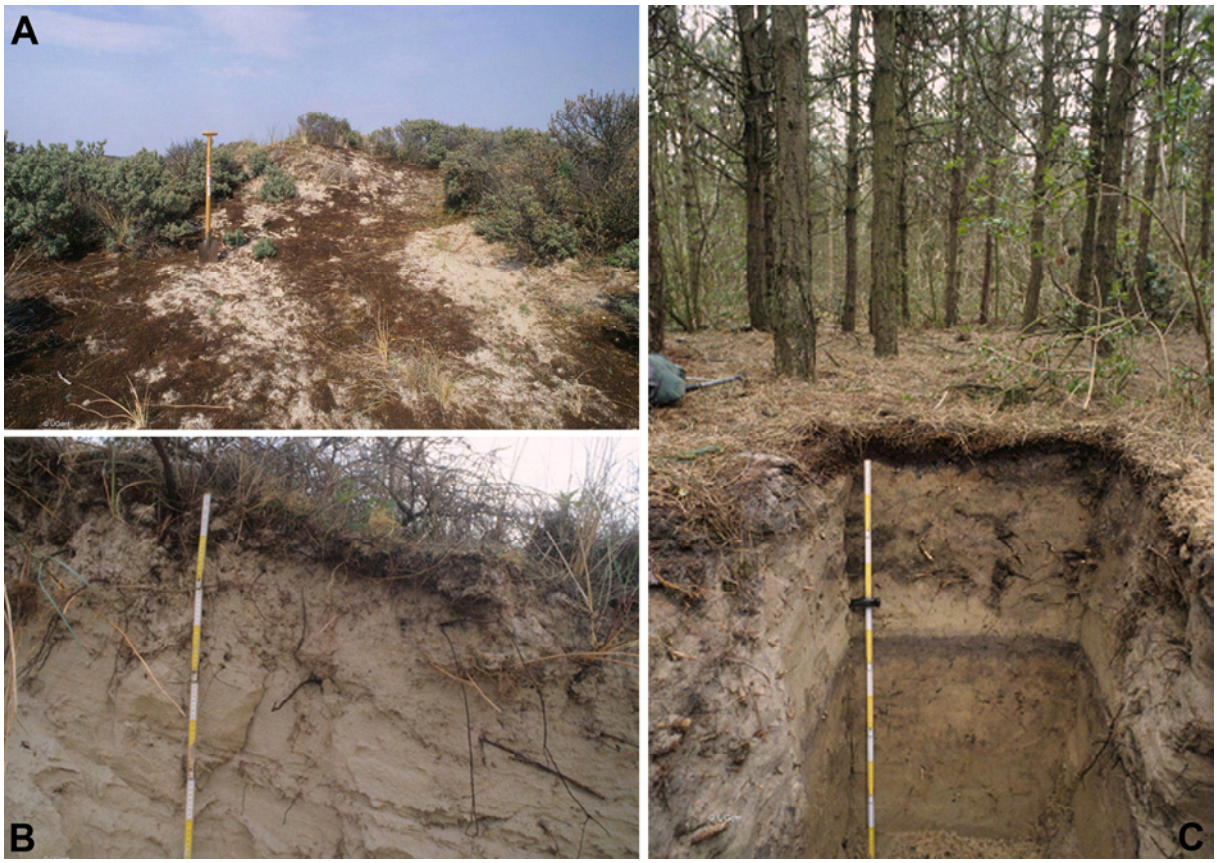


**Figuur 40** Voorbeelden van referentieprofielen voor duinbodems (opnames © R. Langohr, UGent). Opname A is een voorbeeld van een duinlandschap met een droge zandige bodem die kwetsbaar is voor winderosie. Opname B is een voorbeeld van een duinbodem met een humusrijke A-horizont en onderaan een bodem die amper verkleurd is door humusaanrijking; er is sprake van een zeer jonge bodem, gekenmerkt door een A-C profielopbouw zoals dit te Koewacht werd aangetroffen in de drie diepe boringen op verschillende dieptes. Opname C is een voorbeeld van een zandige bodem in een fossiel duinlandschap; de huidige bodem is ontwikkeld in eolisch zand (0-50 cm) en is minstens even oud als de bomen; onderaan is er een begraven bodem (50-110 cm). In de besproken diepe boringen is er eveneens sprake van polysequentie van eolisch sediment met tussenin de ontwikkeling van stabilisatiehorizonten en bodemontwikkeling.

**Figuur 41** Vergelijking van de intactheid van de top van het bodemprfiel zoals waargenomen (en geïnterpoleerd) in 2009 (Archeomedia) en in 2011 (GATE). Er is nauwelijks overeenstemming tussen beide observaties.

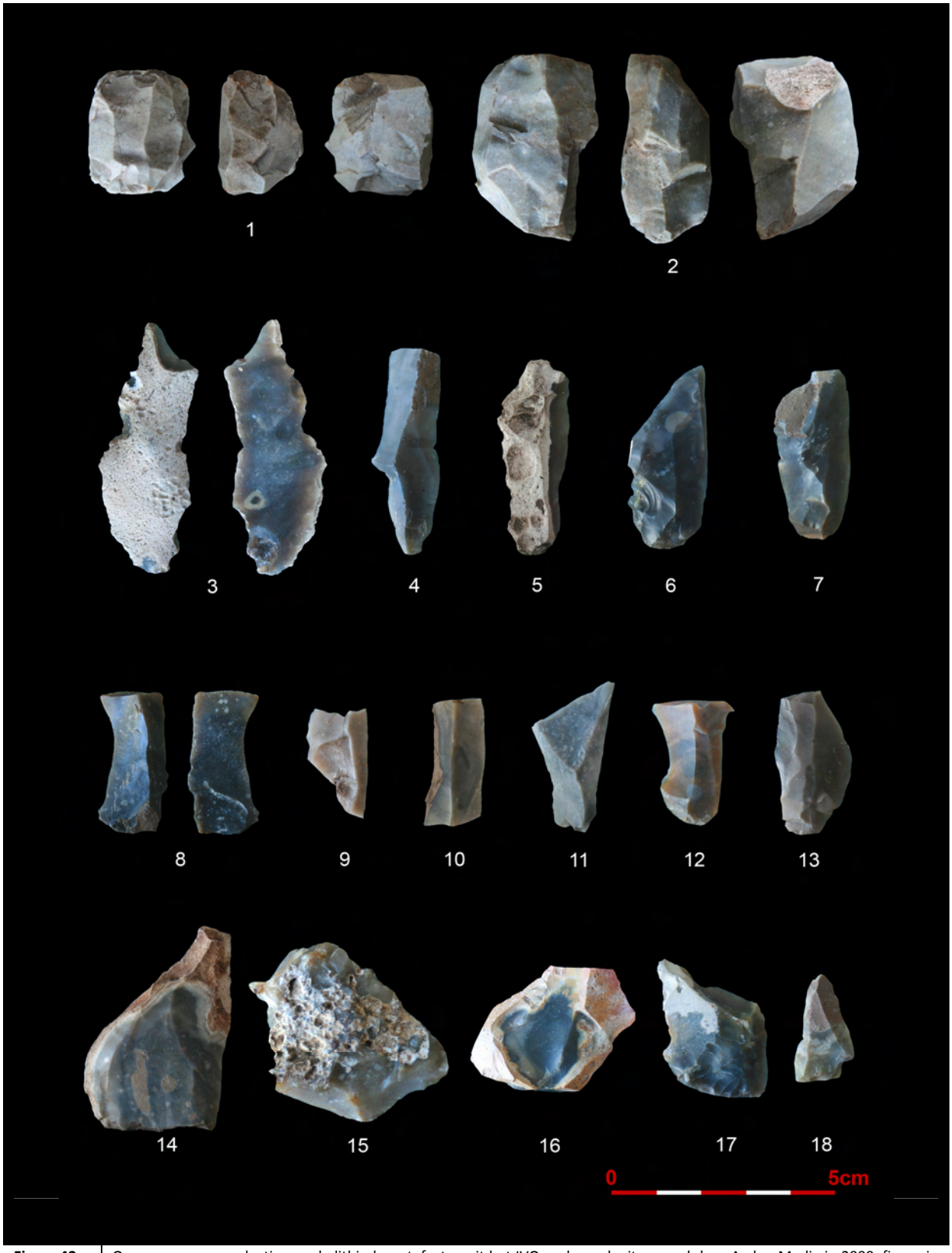


**Figuur 42** Opname van een selectie van de lithische artefacten uit het IVO-onderzoek uitgevoerd door ArcheoMedia in 2009, figuur in twee delen. Gedetailleerde determinaties van deze vondsten, inclusief verwijzingen naar deze figuur, zijn opgenomen in bijlage 7.

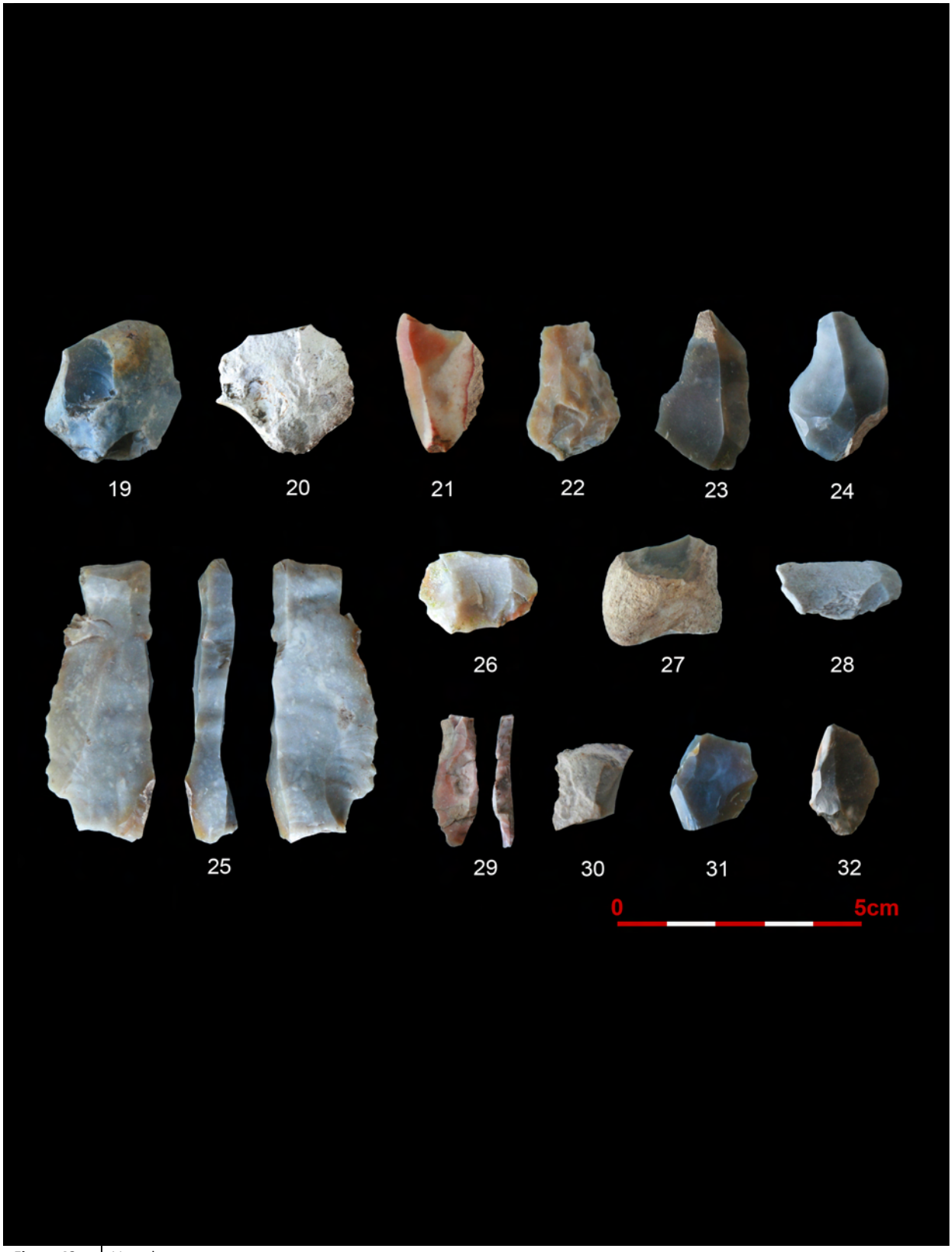


**Figuur 42** | Vervolg.

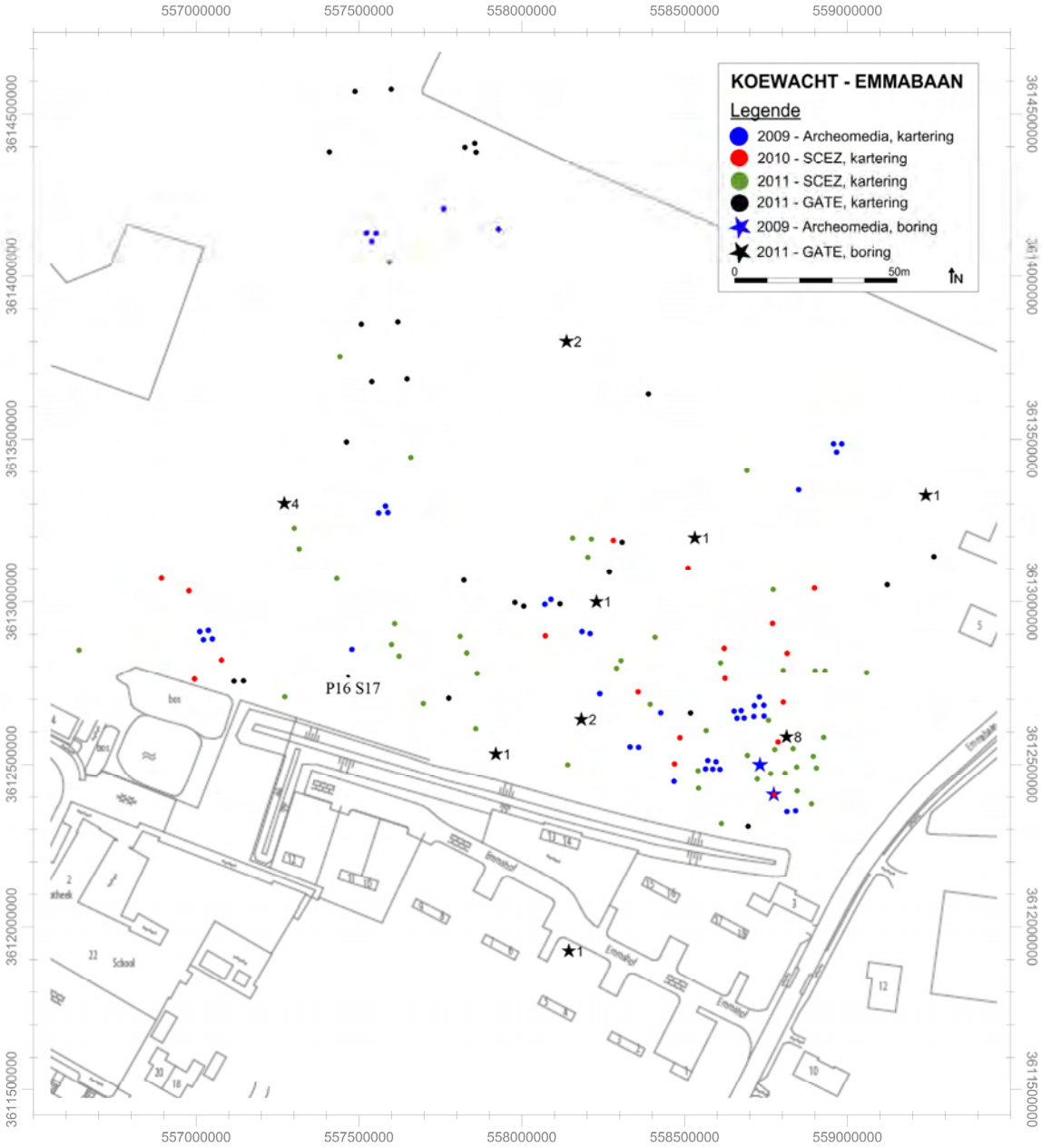


**Figuur 43** Samenvattend overzicht van de ruimtelijke verspreiding van alle gekarteerde lithische vondsten uit de verschillende onderzoeken. Tevens is het bodemspoor P16 S17 aangegeven, waarin lithisch en verkoold organisch materiaal werd aangetroffen.

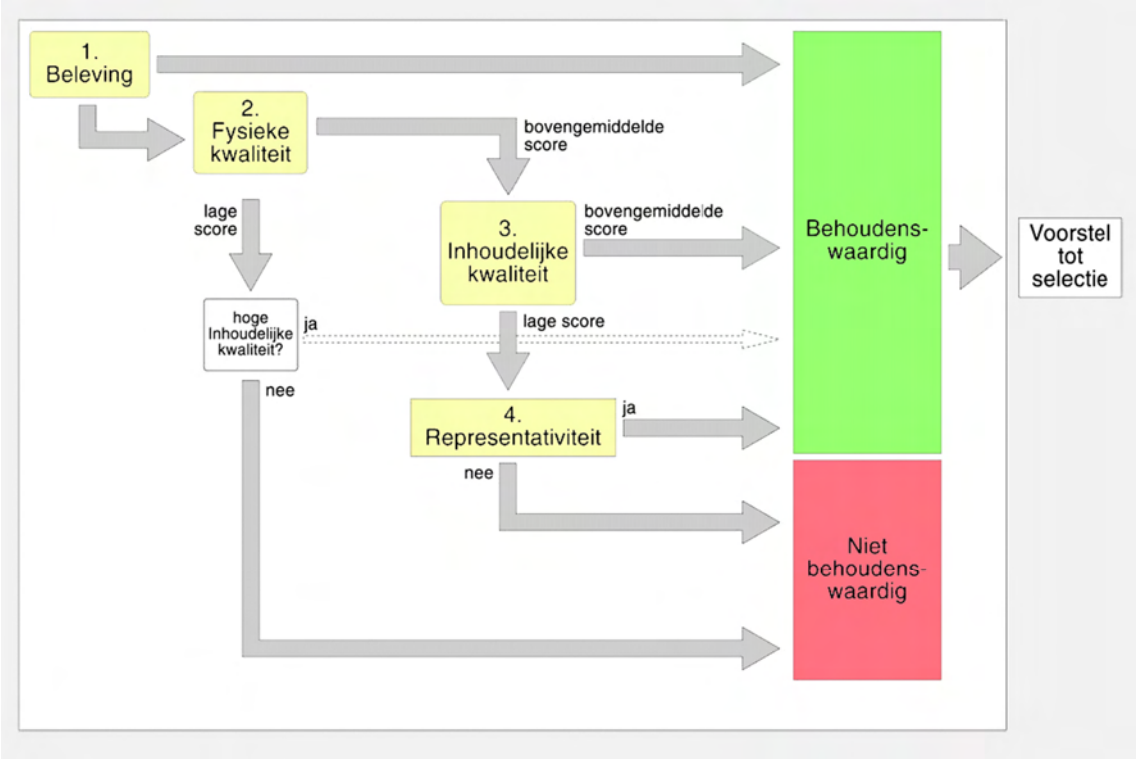


**Figuur 44** Het gevolgde stroomdiagram voor het waarderingsproces van de archeologische vindplaatsen aangetroffen te Koewacht-Emmabaan (aangepast naar KNA 3.2.).